



This is a digital copy of a book that was preserved for generations on library shelves before it was carefully scanned by Google as part of a project to make the world's books discoverable online.

It has survived long enough for the copyright to expire and the book to enter the public domain. A public domain book is one that was never subject to copyright or whose legal copyright term has expired. Whether a book is in the public domain may vary country to country. Public domain books are our gateways to the past, representing a wealth of history, culture and knowledge that's often difficult to discover.

Marks, notations and other marginalia present in the original volume will appear in this file - a reminder of this book's long journey from the publisher to a library and finally to you.

### Usage guidelines

Google is proud to partner with libraries to digitize public domain materials and make them widely accessible. Public domain books belong to the public and we are merely their custodians. Nevertheless, this work is expensive, so in order to keep providing this resource, we have taken steps to prevent abuse by commercial parties, including placing technical restrictions on automated querying.

We also ask that you:

- + *Make non-commercial use of the files* We designed Google Book Search for use by individuals, and we request that you use these files for personal, non-commercial purposes.
- + *Refrain from automated querying* Do not send automated queries of any sort to Google's system: If you are conducting research on machine translation, optical character recognition or other areas where access to a large amount of text is helpful, please contact us. We encourage the use of public domain materials for these purposes and may be able to help.
- + *Maintain attribution* The Google "watermark" you see on each file is essential for informing people about this project and helping them find additional materials through Google Book Search. Please do not remove it.
- + *Keep it legal* Whatever your use, remember that you are responsible for ensuring that what you are doing is legal. Do not assume that just because we believe a book is in the public domain for users in the United States, that the work is also in the public domain for users in other countries. Whether a book is still in copyright varies from country to country, and we can't offer guidance on whether any specific use of any specific book is allowed. Please do not assume that a book's appearance in Google Book Search means it can be used in any manner anywhere in the world. Copyright infringement liability can be quite severe.

### About Google Book Search

Google's mission is to organize the world's information and to make it universally accessible and useful. Google Book Search helps readers discover the world's books while helping authors and publishers reach new audiences. You can search through the full text of this book on the web at <http://books.google.com/>



## Über dieses Buch

Dies ist ein digitales Exemplar eines Buches, das seit Generationen in den Regalen der Bibliotheken aufbewahrt wurde, bevor es von Google im Rahmen eines Projekts, mit dem die Bücher dieser Welt online verfügbar gemacht werden sollen, sorgfältig gescannt wurde.

Das Buch hat das Urheberrecht überdauert und kann nun öffentlich zugänglich gemacht werden. Ein öffentlich zugängliches Buch ist ein Buch, das niemals Urheberrechten unterlag oder bei dem die Schutzfrist des Urheberrechts abgelaufen ist. Ob ein Buch öffentlich zugänglich ist, kann von Land zu Land unterschiedlich sein. Öffentlich zugängliche Bücher sind unser Tor zur Vergangenheit und stellen ein geschichtliches, kulturelles und wissenschaftliches Vermögen dar, das häufig nur schwierig zu entdecken ist.

Gebrauchsspuren, Anmerkungen und andere Randbemerkungen, die im Originalband enthalten sind, finden sich auch in dieser Datei – eine Erinnerung an die lange Reise, die das Buch vom Verleger zu einer Bibliothek und weiter zu Ihnen hinter sich gebracht hat.

## Nutzungsrichtlinien

Google ist stolz, mit Bibliotheken in partnerschaftlicher Zusammenarbeit öffentlich zugängliches Material zu digitalisieren und einer breiten Masse zugänglich zu machen. Öffentlich zugängliche Bücher gehören der Öffentlichkeit, und wir sind nur ihre Hüter. Nichtsdestotrotz ist diese Arbeit kostspielig. Um diese Ressource weiterhin zur Verfügung stellen zu können, haben wir Schritte unternommen, um den Missbrauch durch kommerzielle Parteien zu verhindern. Dazu gehören technische Einschränkungen für automatisierte Abfragen.

Wir bitten Sie um Einhaltung folgender Richtlinien:

- + *Nutzung der Dateien zu nichtkommerziellen Zwecken* Wir haben Google Buchsuche für Endanwender konzipiert und möchten, dass Sie diese Dateien nur für persönliche, nichtkommerzielle Zwecke verwenden.
- + *Keine automatisierten Abfragen* Senden Sie keine automatisierten Abfragen irgendwelcher Art an das Google-System. Wenn Sie Recherchen über maschinelle Übersetzung, optische Zeichenerkennung oder andere Bereiche durchführen, in denen der Zugang zu Text in großen Mengen nützlich ist, wenden Sie sich bitte an uns. Wir fördern die Nutzung des öffentlich zugänglichen Materials für diese Zwecke und können Ihnen unter Umständen helfen.
- + *Beibehaltung von Google-Markenelementen* Das "Wasserzeichen" von Google, das Sie in jeder Datei finden, ist wichtig zur Information über dieses Projekt und hilft den Anwendern weiteres Material über Google Buchsuche zu finden. Bitte entfernen Sie das Wasserzeichen nicht.
- + *Bewegen Sie sich innerhalb der Legalität* Unabhängig von Ihrem Verwendungszweck müssen Sie sich Ihrer Verantwortung bewusst sein, sicherzustellen, dass Ihre Nutzung legal ist. Gehen Sie nicht davon aus, dass ein Buch, das nach unserem Dafürhalten für Nutzer in den USA öffentlich zugänglich ist, auch für Nutzer in anderen Ländern öffentlich zugänglich ist. Ob ein Buch noch dem Urheberrecht unterliegt, ist von Land zu Land verschieden. Wir können keine Beratung leisten, ob eine bestimmte Nutzung eines bestimmten Buches gesetzlich zulässig ist. Gehen Sie nicht davon aus, dass das Erscheinen eines Buchs in Google Buchsuche bedeutet, dass es in jeder Form und überall auf der Welt verwendet werden kann. Eine Urheberrechtsverletzung kann schwerwiegende Folgen haben.

## Über Google Buchsuche

Das Ziel von Google besteht darin, die weltweiten Informationen zu organisieren und allgemein nutzbar und zugänglich zu machen. Google Buchsuche hilft Lesern dabei, die Bücher dieser Welt zu entdecken, und unterstützt Autoren und Verleger dabei, neue Zielgruppen zu erreichen. Den gesamten Buchtext können Sie im Internet unter <http://books.google.com> durchsuchen.

NYPL RESEARCH LIBRARIES

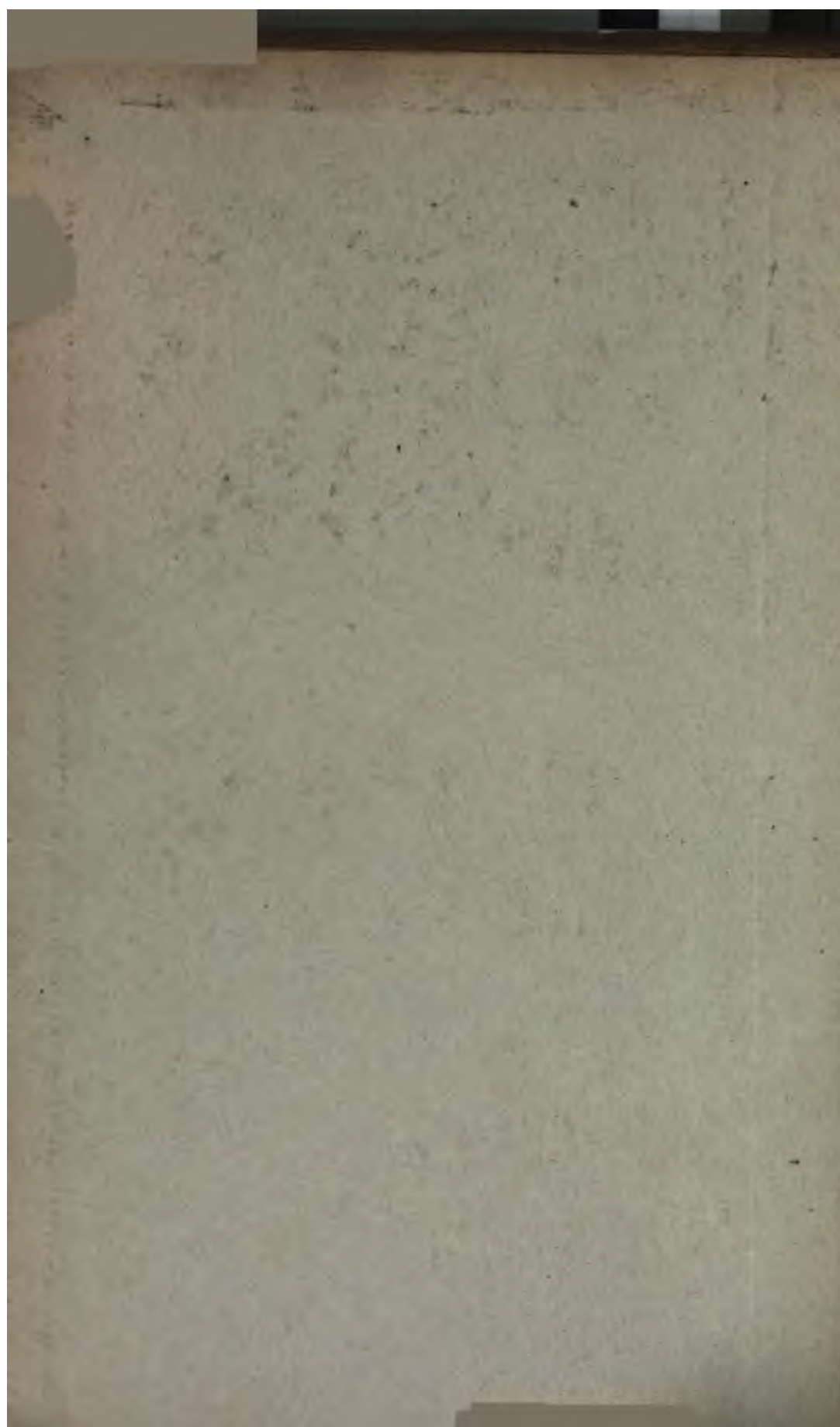


3 3433 06639628 8



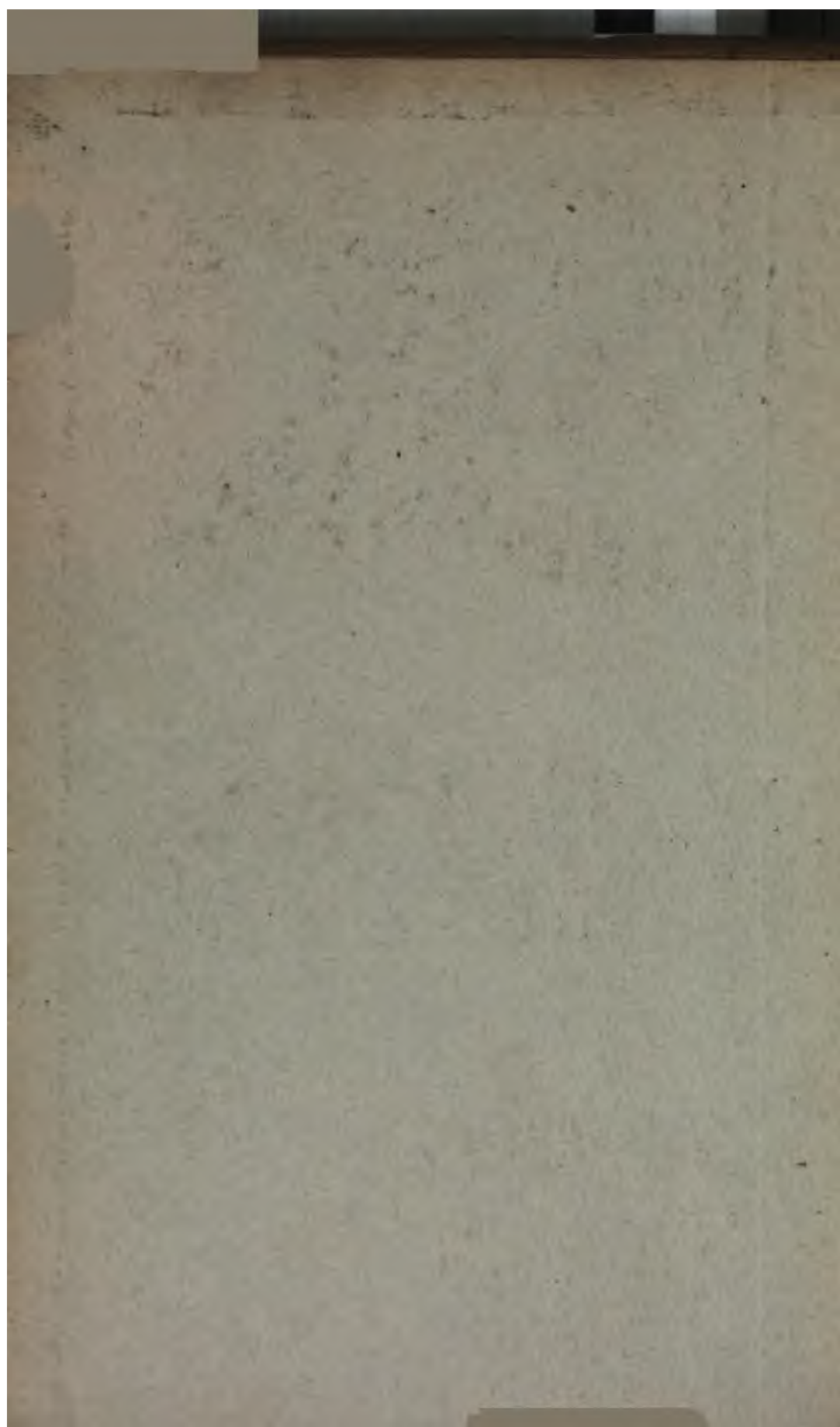


Handbook



Handbuch

PLD





Handbuch









HANDBUCH DER  
ANGEWANDTEN PHYSIKALISCHEN CHEMIE

HERAUSGEGEBEN VON  
PROF. DR. G. BREDIG

**BAND V**

**KURZER ABRISS**  
DER  
**PEKTROSKOPIE UND KOLORIMETRIE**

VON

**DR. EMIL BAUR**  
A. O. PROFESSOR AN DER HERZOGLICH TECHNISCHEN  
HOCHSCHULE IN BRAUNSCHWEIG

MIT 29 ABBILDUNGEN IM TEXT



**LEIPZIG 1907**  
VERLAG VON JOHANN AMBROSIOUS BARTH

Verlag von Johann Ambrosius Barth in Leipzig.

**BERTHELOT, M., Praktische Anleitung zur Ausführung thermochemischer Messungen.** Oberstalt von Professor G. Siebert. 8°. [VIII, 111 Seiten mit 26 Figuren.] 1893. M. 2.—

Die Thermochemie gewinnt von Tag zu Tag eine größere Bedeutung, weil sie das Maß für die bei chemischen Vorgängen geleistete Arbeit liefert. Eine genaue Beschreibung der Meßmethoden und Instrumente in kalorimetrischen Bestimmungen, in der Chemie fehlte noch, und Berthelot hat es verstanden, im vorliegenden Buch ein Spezialwerk zu schaffen, das auch in der flüchtigen Übersetzung Prof. Sieberts großen Anklang gefunden hat.

**BOLTZMANN, L., Populäre Schriften.** [VII, 440 Seiten.] 1905. M. 10.—; geb. M. 11.—

Die Populären Schriften des zu früh Verstorbenen sind von verschiedenem Inhalt, teils Reden, teils populärwissenschaftliche Vorträge, Abhandlungen mehr philosophischen Inhalts, Rezensionen usw. Die Anschauungen des Verfassers sind immer originell, und deshalb werden seiner Populären Schriften nicht nur im Kreise der Fachgenossen sondern weit darüber hinaus Freunde finden.

**EBERT, H., Anleitung zum Glasblasen.** 3., völlig umgearbeitete Auflage. [XII, 120 Seiten mit 68 Abbildungen.] 1904. M. 1.40; geb. M. 3.—

**Chemiker-Zeitung:** Die Erfahrungen, welche der Verfasser sowohl beim Glasblasen wie beim Umrichten gewonnen hat, haben ihn auf den fruchtbaren Gedanken gebracht, die Anleitung zum Glasblasen in die Form eines systematischen, aus fünf Übungsstufen bestehenden Unterrichtskurses zu bringen, welcher alle im Laboratorium gewöhnlich zur Anwendung kommenden Glasbläserarbeiten berücksichtigt. . . Die Darstellung ist knapp und übersichtlich und läßt überall erkennen, daß der Verfasser, welcher es in seiner Wissenschaft zu hohem Ansehen gebracht hat, auch in der Kunst des Glasblasens Meister ist. Wir wünschen dem Werkchen eine weite Verbreitung und eine Übersetzung, daß kein Chemiker und Physiker es unbedrückt aus der Hand legen wird.

**ELBS, KARL, Die Akkumulatoren.** Eine gemeinverständliche Darstellung ihrer Wirkungsweise, Lebensdauer und Behandlung. 3. Auflage. [48 Seiten mit 3 Figuren.] 1901. M. 1.—

Das Schriftchen gibt eine äußerst klare und gemeinverständliche Erklärung des Prinzips der Akkumulatoren, sowie die Regeln für deren Behandlung und Benützung. Es wendet sich nicht nur an Chemiker und Physiker, sondern ebenso an Physiker, Gymnasial- und Mittelschullehrer, Ärzte und Zahnärzte, welche aus Unkenntnis so schlimme Erfahrungen mit Akkumulatoren machen.

**GIBBS, J. Willard, Elementare Grundlagen der statistischen Mechanik,** entwickelt besonders im Hinblick auf eine rationelle Begründung der Thermodynamik. Deutsch bearbeitet von Ernst Zermelo. [XI, 216 Seiten.] 1905. M. 10.—; geb. M. 11.—

Das letzte Werk des jüngst verstorbenen amerikanischen Physikers wird hiermit dem deutschen Publikum in einer guten Übersetzung gegeben. Es ist der erste Versuch, die statistischen und die Wahrscheinlichkeitstheorien in der Mechanik, wie sie auf verschiedenen Gebieten der Physik, namentlich aber in der kinetischen Gastheorie entwickelt sind, unabhängig von ihrem Anwendungsgebiet auf festerer Grundlage mathematisch streng zu entwickeln.

**Handbuch der Physik.** 2. Auflage. Unter Mitwirkung von zahlreichen Fachgelehrten herausgegeben von Prof. Dr. A. Winkelmann in Jena. Lex. 8°.

Die Erscheinungsfolge der einzelnen Bände ist nicht an die Bandzahl geknüpft. Bisher erschienen:  
Band I: Allgemeine Physik. 1. Abteilung. [IV, 544 Seiten mit 164 Abbildungen.] 1906. M. 17.—

Band III: Wärme. Vollständig. [XII, 1180 Seiten mit 206 Abbildungen.] 1906. M. 37.—, geb. M. 39.—

Band IV: Elektrizität und Magnetismus I. Vollständig. [XIV, 1014 Seiten mit 282 Abbildungen.] 1905. M. 32.—, geb. M. 34.—

Band V: Elektrizität und Magnetismus II. 1. Abteilung. [VIII, 515 Seiten mit 215 Abbildungen.] 1905. M. 16.—

Band VI: Optik. Vollständig. [XII, 1004 Seiten mit 388 Abbildungen.] 1906. M. 44.—, geb. M. 46.—

Die noch fehlenden Bände sollen im Jahre 1907 erscheinen.

**Natur und Offenbarung:** Nicht nur in den Reihen der Fachphysiker, sondern auch aller Naturwissenschaftler, welche sich mit den der Physik verwandten Gebieten befassen, wird die Neubearbeitung des Handbuchs der Physik von Winkelmann als eine erfreuliche Tatsache begrüßt werden. Denn seit dem Abschluß, noch mehr aber seit Beginn der Auflage des vierbändigen Werkes wurden nicht nur in einzelnen Disziplinen anwühlende Entdeckungen gemacht, sondern es sind damals vollkommen neue Gebiete unserer Wissenschaft erschlossen worden. Das immer gibt in besonders hohem Grade von der Elektrizität und es ist deshalb sehr dankenswert, daß gerade der die Lehre von der Elektrizität und dem Magnetismus enthaltende Band zuerst erschien.

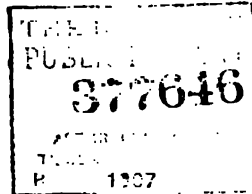
**HANTZSCH, A., Grundriß der Stereochemie.** 2. vermehrte und verbesserte Auflage. [VIII, 188 S.] 1904. M. 5.60; geb. M. 6.40.

Trotz vielfacher Erweiterung hat diese 2. Auflage den Charakter eines Grundrisses durchwegs gewahrt. Bei dem Streben nach möglicher Konzentration des Inhaltes sind alle Detailangaben vermieden und die Literaturnachweise auf das notwendigste beschränkt worden. Für die Brauchbarkeit des Buches spricht neben dem Erfordernis einer neuen Auflage der Umstand, daß das Buch sowohl eine französische Bearbeitung als auch eine Übersetzung ins Englische und ins Russische gefunden hat.

**HUFMANN, K., Die radioaktiven Stoffe nach dem gegenwärtigen Stande der wissenschaftlichen Erkenntnisse.** Zweite Aufl. [76 Seiten.] 1904. M. 2.—

**Elektrochemische Zeitschrift:** Wenn es der Verfasser unternommen hat, durch vorliegendes Werk die Kenntnisse von den radioaktiven Stoffen und ihren Wirkungen auch in den Kreisen zu verbreiten, die diesem Gebiete bisher fern standen, so hat er sich damit sicherlich eine sehr verdienstvolle Aufgabe gestellt. Das Werk enthält einen vollständigen Überblick über unser gesamtes Wissen von den Erscheinungen der Radioaktivität und zwar in kurzer, prägnanter Darstellung. Trotz dieser Kürze wird es jedoch auch für denjenigen von Nutzen sein, der sich eingehend über das vorliegende Gebiet unterrichten will, oder der es durch eigene Forschungen weiter ausbauen gedenkt.





NEW YORK  
PUBLIC  
LIBRARY

**HANDBUCH**  
DER  
**ANGEWANDTEN PHYSIKALISCHEN CHEMIE**  
IN EINZELDARSTELLUNGEN

UNTER MITWIRKUNG VON

Prof. Dr. R. ABEGG-BRESLAU, Prof. Dr. E. BAUR-BRAUNSCHWEIG, Dr. W. BÖTTGER-LEIPZIG  
Prof. Dr. G. BRUNI-PARMA, Dr. H. BRUNSWIG-NEU-BABELSBERG, Prof. Dr. E. COHEN-UTRECHT  
Prof. Dr. C. DOELTER-GRAZ, Prof. Dr. F. DOLEZALEK-GÖTTINGEN, Dr. ALEX. FINDLAY  
BIRMINGHAM, Prof. Dr. F. FOERSTER-DRESDEN, Prof. Dr. H. GOLDSCHMIDT-KRISTIANIA, Prof. Dr.  
F. HABER-KARLSRUHE, Dr. M. HERSCHKOWITSCH-JENA, Prof. Dr. L. HOLBORN-CHARLOTTEN  
BURG, Regierungsrat A. v. IHERING-BERLIN, Dr. K. KNÖPFFER-SCHLÜSSELBURG, Dr. TH. KOER  
NER IN SUMATRA UND Dr. A. MÜLLER-FÖRSTENWALDE, Prof. Dr. J. P. KUENEN-DUNDEE, Dr. W.  
LENZ-BERLIN, Prof. Dr. C. UND Dr. FR. LINDE-MÜNCHEN, Prof. Dr. R. LORENZ-ZÜRICH, Prof. Dr.  
W. MEYERHOFFER†-BERLIN, Prof. Dr. V. ROTHMUND-PRAG, Prof. Dr. K. SCHAUM-MARBURG

HERAUSGEGEBEN

VON

**DR. GEORG BREDIG**

A. O. PROFESSOR AN DER UNIVERSITÄT HEIDELBERG

Band V:

KURZER ABRISSE  
DER SPEKTROSKOPIE UND KOLORIMETRIE

VON

**Prof. Dr. EMIL BAUR**

JOHANN  
AMBROSIIUS  
BARTH

---

LEIPZIG

VERLAG VON JOHANN AMBROSIIUS BARTH

1907

**KURZER ABRISS**  
DER  
**SPEKTROSKOPIE UND KOLORIMETRIE**

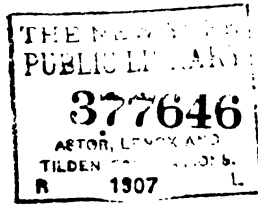
VON

**DR. EMIL BAUR**  
A. O. PROFESSOR AN DER HERZOGLICH TECHNISCHEN  
HOCHSCHULE IN BRAUNSCHWEIG

MIT 29 ABBILDUNGEN IM TEXT



LEIPZIG  
VERLAG VON JOHANN AMBROSIOUS BARTH  
1907



NOY WEN  
ALLEN  
VIA SRI

## Vorbemerkung.

Nachfolgende Darstellung ist mit Rücksicht auf diejenigen Seiten der Spektroskopie verfaßt, welche für den Chemiker von Bedeutung sind. In knapper Form soll sie diesem eine Orientierung in dem vielfach verzweigten Gebiet der Spektroskopie verschaffen. Danach richtet sich Wahl und Ordnung des Stoffes.

Die Interessen des Chemikers an der Spektroskopie sind mannigfaltig. Eine ganze Reihe von Grundstoffen wurden durch dieselbe entdeckt, bei den Arbeiten im Gebiete der inaktiven Gase und der seltenen Erden ist sie von beständigem und unersetzlichem Gebrauch, sie liefert Verfahren zur Erkennung und Messung farbiger Stoffe, sie trägt bei zur Einsicht in die Struktur organischer Verbindungen, in die Konstitution der Lösungen, in die Chemie der extrem hohen Temperaturen, sie bringt Nachricht von der chemischen Zusammensetzung der Himmelskörper, sie ermöglicht optische Temperaturbestimmungen, sie ist die Vorschule zur Behandlung photochemischer Probleme und sie dringt am weitesten vor in der Frage nach der letzten und innersten Beschaffenheit der Materie.

**Dr. Emil Baur.**





# Inhaltsübersicht.

|   | Seite     |
|---|-----------|
| <b>1. Der Spektralapparat . . . . .</b>                                 | <b>1</b>  |
| Apparat von KIRCHHOFF und BUNSEN . . . . .                              | 1         |
| Eichung . . . . .   | 3         |
| Spektralphotographie . . . . .  | 4         |
| Konkavgitter, Stufengitter, Interferometer . . . . .                    | 6         |
| Geradsichtige Spektroskope . . . . .                                    | 7         |
| <b>2. Das Gesetz von Kirchhoff und das Spektrum der Sonne . . . . .</b> | <b>8</b>  |
| Ableitung des Gesetzes . . . . .  | 8         |
| Folgerung daraus . . . . .  | 10        |
| FRAUNHOFERsche Linien . . . . .   | 11        |
| Umkehrende Schicht der Sonne . . . . .                                  | 13        |
| Endotherme Verbindungen . . . . .                                       | 13        |
| Experimentelle Linienumkehrung . . . . .                                | 13        |
| Gültigkeitsbereich des KIRCHHOFFschen Satzes . . . . .                  | 14        |
| <b>3. Die Strahlung fester Körper . . . . .</b>                         | <b>15</b> |
| Schwarzer Körper . . . . .  | 15        |
| Bolometer . . . . .   | 15        |
| Satz von STEFAN-BOLTZMANN . . . . .                                     | 16        |
| Verschiebungssatz von W. WIEN . . . . .                                 | 19        |
| WIEN-PLANCKsche Formel . . . . .  | 21        |
| Optische Pyrometer . . . . .  | 22        |
| Selektive Strahler . . . . .  | 23        |
| Lumineszenz fester Körper . . . . .                                     | 24        |
| <b>4. Die Strahlung der Gase . . . . .</b>                              | <b>28</b> |
| Linien- und Bandenspektren . . . . .                                    | 28        |
| Thermische Natur der Strahlung der Gase . . . . .                       | 28        |
| Herstellung leuchtender Gase . . . . .                                  | 31        |
| 1. Flammenspektren . . . . .  | 31        |
| Vorrichtungen . . . . .   | 31        |
| Natur der Bunsenflamme . . . . .  | 32        |
| Andere Flammen . . . . .  | 33        |
| Empfindlichkeit des Nachweises . . . . .                                | 34        |
| Verbindungsspektren . . . . .   | 34        |
| 2. Bogenspektren . . . . .  | 35        |
| Temperatur des Bogens . . . . .   | 35        |
| Spektrum des Kohlebogens . . . . .                                      | 35        |
| Lange und kurze Linien . . . . .  | 36        |
| 3. Funkenspektren . . . . .   | 36        |
| Veränderlichkeit derselben . . . . .                                    | 36        |
| Temperatur des Funkens . . . . .  | 37        |
| Vorrichtungen . . . . .   | 38        |
| 4. Entladungsröhren . . . . .   | 39        |
| Verfahren . . . . .   | 39        |
| Temperatur in Vakuumröhren . . . . .                                    | 40        |
| Lumineszenzspektren . . . . .   | 41        |

|   | Seite      |
|---|------------|
| <b>- § 5. Über den Bau der Linienspektren</b>                               | <b>43</b>  |
| Formeln der Serien  | 43         |
| Die universelle Konstante   | 44         |
| Beziehung zum Atomgewicht   | 45         |
| Tabelle der Serien  | 48         |
| Wasserstoffserien   | 48         |
| Theorie der Serien  | 49         |
| <b>§ 6. Konstanz und Variabilität der Spektren</b>                          | <b>52</b>  |
| Temperatureinflüsse   | 53         |
| Mehrfache Spektren  | 54         |
| Prinzip von DOPPLER   | 55         |
| Druckverschiebung   | 56         |
| ZEEMANN-Effekt  | 56         |
| <b>§ 7. Die Absorption des Lichtes</b>                                      | <b>57</b>  |
| Farbe   | 57         |
| Streifige Absorption  | 58         |
| Veränderlichkeit mit den chemischen Bedingungen                             | 58         |
| Einfluß der Konzentration   | 60         |
| Gesetz von BEER   | 61         |
| Einfluß des Lösungsmittels  | 62         |
| KUNDTsche Regel   | 62         |
| Verhalten der Elektrolyte (Farbe der Ionen)                                 | 63         |
| Ionisation und tautomere Umlagerung   | 65         |
| Theorie der Indikatoren   | 65         |
| Chromophore   | 67         |
| Chromophore Gruppen   | 68         |
| Häufung von Doppelbindungen   | 70         |
| Chinoide Struktur   | 70         |
| Hypsochrome und bathochrome Substitution                                    | 71         |
| Auxochrome Gruppen  | 71         |
| Halochromie   | 72         |
| Leukobasen  | 72         |
| Pseudosäuren  | 74         |
| Keto-Enol-Tautomerie  | 74         |
| Folgeerscheinungen der auswählenden Absorption                              | 76         |
| Anomale Dispersion  | 76         |
| Fluoreszenz   | 76         |
| Photochemie   | 77         |
| Theorie der Absorption  | 79         |
| <b>§ 8. Spektrophotometrie und Kolorimetrie</b>                             | <b>81</b>  |
| Extinktionskoeffizient und Absorptionsverhältnis                            | 81         |
| Apparat von VIERORDT  | 83         |
| Apparat von GLAN  | 85         |
| Apparat von MARTENS und GRÜNBAUM  | 87         |
| Kolorimetrie  | 89         |
| Kolorimeter von WOLFF, DUBOSCQ, J. KÖNIG, DONNAN, A. KRÜSS                  | 90         |
| <b>§ 9. Spektralanalytische Daten der Elemente und einiger Verbindungen</b> | <b>95</b>  |
| Inaktive Gase   | 95         |
| Metalloide  | 97         |
| Metalle   | 103        |
| Organische Farbstoffe   | 115        |
| <b>Autorenregister</b>  | <b>118</b> |
| <b>Sachregister</b>   | <b>120</b> |

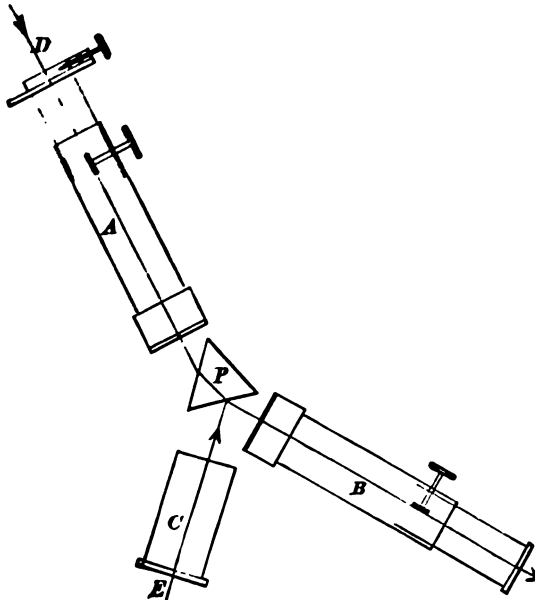
## § 1. Der Spektralapparat.

Die Untersuchung des von den Körpern ausgesandten und verschluckten Lichtes, das im allgemeinen aus Strahlen verschiedener Periode besteht, macht Vorrichtungen erforderlich, welche dasselbe in Strahlen einheitlicher Perioden zerlegen. Solche Apparate heißen Spektroskope; die durch sie bewirkte Auflösung oder Dispersion des Lichtes in eine Reihe von Strahlen verschiedener Brechbarkeit heißt Spektrum. Je nach der Größe der spektralen Zerlegung, die man erreichen will, sind die Mittel, mit denen sie hervorgebracht wird, verschieden zu wählen. Für den Chemiker liegt der nächste Zweck spektroskopischer Untersuchung in der Erkennung von Stoffen an ihrem Spektrum, in der Spektralanalyse. Hierfür genügen Apparate mit mäßiger Dispersion, wie sie hervorgebracht wird durch prismatische Gläser und Kristalle oder durch Flüssigkeiten von hohem Brechungsvermögen, wie Schwefelkohlenstoff oder Monobromnaphtalin, die in hohlen prismatischen Glasgefäßen eingeschlossen sind. Wir beschränken uns hier auf die Beschreibung der Prismenapparate, die seit KIRCHHOFF und BUNSEN in die Laboratoriumspraxis eingeführt sind.

Die Einrichtung des Spektralapparates von KIRCHHOFF und BUNSEN ist die folgende: Auf einem festen Fuße ist eine Platte befestigt, welche zur Aufstellung eines Glasprismas dient. Außerdem trägt der Fuß drei Röhren, welche um eine senkrechte Achse drehbar sind. Die erste der Röhren trägt vorn einen Deckel, der mit einer spaltförmigen Öffnung versehen ist, am anderen Ende befindet sich eine Linse, deren Brennweite gleich der Länge der Röhre ist. Durch die Linse werden die Strahlen, welche durch den Spalt eintreten, parallel gemacht. Dies Rohr heißt Kollimatorrohr. Das zweite Rohr ist ein achromatisches Fernrohr, das dritte enthält vorn eine Skala auf einer Glasplatte; auf der anderen Seite eine Linse in Brennweite von der Skala. Der Gang der Strahlen ist aus Figur 1 ersichtlich. *D* ist der Spalt, *A* das Kollimatorrohr, *P* das Prisma, *B* das Fernrohr. Das Prisma ist so aufgestellt, daß für Licht mittlerer Wellenlänge, z. B. für gelbes Natriumlicht, das Minimum der Ablenkung besteht. Das Fernrohr *B* ist so einzustellen, daß ein sehr entfernter Gegenstand (der Mond) scharf gesehen wird. *C* ist das Skalenrohr mit der Skala *E*. Diese wird durch eine Lampe beleuchtet. Das Rohr *C* ist so gestellt, daß die von ihm auf das Prisma fallenden Strahlen an letzterem reflektiert und in das Fernrohr geworfen werden, so daß der Beobachter zugleich mit dem Spektrum des von *D* kommenden Lichtes die Skala wahrnimmt und so die Orte im Spektrum zählen kann.

Das Spektrum besteht aus den nebeneinanderliegenden, monochromatischen Bildern des Spaltes und kommt bekanntlich dadurch zustande, daß die Brechbarkeit der Prismensubstanz für Licht verschiedener Farbe verschieden ist. Sie nimmt von Rot nach Violett zu, jedoch nicht proportional der Wellenlänge,

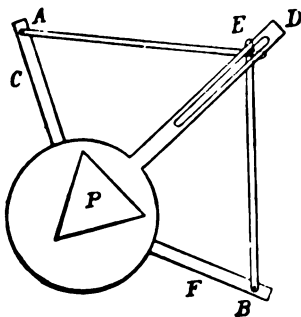
sondern bei Gläsern im allgemeinen stärker im Violett als im Rot. Das Spektrum ist um so reiner, je weniger die vom Licht benachbarter Wellenlängen erzeugter Spaltbilder mit ihren Rändern übereinandergreifen. Dazu ist zunächst nötig, daß das auf das Prisma auffallende Licht parallel sei, was durch die Linse des Kollimatorrohres erreicht wird. Sodann ist die Reinheit um so größer, je



Figur 1.

schmäler der Spalt und je größer die Dispersion ist. Sehr schmale Spalte stellt man her, indem man mit dem Rasiermesser in einen Silberspiegel, der auf einer Glasplatte niedergeschlagen ist, einen Schnitt macht.<sup>1</sup> Auch ein scharfer, gerader Schnitt in Stanniolpapier liefert einen feinen Spalt. Zur Vergrößerung der Dispersion muß man brechende Prisma in mehrfacher Anzahl verwenden. Hierbei kommt man jedoch bald an die Grenze des technisch Möglichen wegen der Lichtabsorption in den Glaskörpern und wegen der zunehmenden Unhandlichkeit und Kostspieligkeit der Apparate. Für sehr große Dispersion bedient man sich daher einer ganz anderen Methode, nämlich der spektralen Zerlegung des Lichtes durch Gitter.

An den meisten Spektralapparaten kann die Spaltbreite durch Drehen einer Schraube verändert werden, die an dem aus zwei beweglichen Stahlschneide gefertigten Spalte angebracht ist. Verschiebt sich dabei nur eine Backe der Schraube, so verbreitert sich das Spaltbild einseitig. Bei der Ortsbestimmung einer Spektrallinie ist es aber bequem, für deren Mitte die Ablesung zu machen. Damit nun diese bei der Verbreiterung des Spaltes sich nicht verrücke, ist es nötig, daß die beiden Backen des Spaltes sich zugleich in symmetrischer Weise öffnen und schließen.



Figur 2.

Die Ortsbestimmung einer Spektrallinie mit Hilfe der Skala ist wenig genau. Für feinere Messungen ersetzt man sie durch Fadenkreuz und Mikrometerschraube. Man gibt dem Kollimatorrohr eine feste Aufstellung und versieht das Fernrohr, das an einer Mikrometerschraube beweglich ist, seiner Fokalebene mit einem Fadenkreuze. Die Bewegungen der Mikrometerschraube sind an einer Teilung ablesbar. Außerdem haben solche Instrumente meist eine Vorrichtung, wie sie Figur

wiedergibt, wodurch das Prisma zugleich mit den Bewegungen des Fernrohrs so gedreht wird, daß das Prisma für die im Fadenkreuz gesehene Spektrallinie im Minimum der Ablenkung sich befindet. Nur im Minimum der A

<sup>1</sup> FRITSCH, Spaltvorrichtung am Spektralapparat, Physikal. Zeitschr. L. 545. 1900.



lenkung sind benachbarte Teile des Spektrums gleichzeitig scharf einstellbar. Das Prisma  $P$  steht zu diesem Zweck auf einem drehbaren Tisch, der mit einem Arm  $D$  versehen ist. In einem Schlitz desselben bewegt sich ein Zapfen, der zwei gleichlange Stangen vereinigt, die in  $A$  und  $B$  beweglich an dem Kollimatorrohr  $C$  und an dem Fernrohr  $F$  enden. Bei Bewegung des Fernrohres dreht sich  $P$  um den halben Winkelbetrag, wodurch die verlangte Minimumstellung erreicht wird.

Die Einstellung des Fadenkreuzes auf eine zu messende Spektrallinie ist oft durch die Dunkelheit des Gesichtsfeldes erschwert. Dieses Hindernis läßt sich meist so überwinden, daß man das Gesichtsfeld durch ein kontinuierliches Spektrum von passender geringer Helligkeit aufhellt. Man erzeugt dasselbe, indem man Licht von einer kleinen Lampe zugleich mit den Strahlen der zu untersuchenden Lichtquelle in den Apparat eintreten läßt.

Wenn eine Spektrallinie auf das Minimum der Ablenkung eingestellt wird, so kann man aus dem an einem Teilkreis abzulesenden Ablenkungswinkel  $D$  des Lichtstrahles und dem brechenden Winkel  $g$  des Prismas zunächst den Brechungs-exponenten  $n$  für die betreffende Strahlenart berechnen nach der Formel:

$$n = \frac{\sin \frac{g + D}{2}}{\sin \frac{g}{2}},$$

und hieraus nach der Dispersionsformel von CAUCHY:

$$n = a + \frac{B}{\lambda^2}$$

die Wellenlänge  $\lambda$  der Spektrallinie berechnen. Zuvor müssen die Konstanten  $a$  und  $B$  des Prismas ermittelt werden durch Bestimmung von  $n$  für zwei Lichtarten bekannter Wellenlänge. Instrumente, welche für diese spezielle Art der Handhabung eingerichtet sind, heißen Spektrometer.

Die an Skala oder Mikrometerschraube oder Teilkreis gemachten Ablesungen müssen, um mit Angaben in der Literatur verglichen zu werden, in Wellenlängen umgerechnet werden; der Apparat muß auf Wellenlängen geeicht werden. Dies geschieht so, daß für Licht bekannter Wellenlängen die entsprechenden Ablesungen gemacht werden. Dann trägt man die Skalenteile als Abszissen und die Wellenlängen als Ordinaten in Millimeterpapier ein und verbindet die erhaltenen Punkte durch eine Kurve. Als bekannte Wellenlängen dienen am besten die FRAUNHOFERSchen Linien des Sonnenspektrums oder, an ihrer Statt, einige Linien leuchtender Salzdämpfe in der Bunsenflamme. Die im einen und anderen Falle zu benutzenden Wellenlängen (in milliontel Millimeter:  $\mu\mu$ ) sind:

#### FRAUNHOFERSche Linien:

|                             |                 |                             |                 |
|-----------------------------|-----------------|-----------------------------|-----------------|
| $A$ (Luft) . . . . .        | 760,4 $\mu\mu$  | $b_1$ (Magnesium) . . . . . | 517,84 $\mu\mu$ |
| $B$ (Luft) . . . . .        | 686,74 $\mu\mu$ | $b_2$ (Eisen) . . . . .     | 516,77 $\mu\mu$ |
| $C$ (Wasserstoff) . . . . . | 656,30 $\mu\mu$ | $F$ (Wasserstoff) . . . . . | 486,15 $\mu\mu$ |
| $D_1$ (Natrium) . . . . .   | 589,62 $\mu\mu$ | $G$ (Eisen) . . . . .       | 430,80 $\mu\mu$ |
| $D_2$ (Natrium) . . . . .   | 589,02 $\mu\mu$ | $h$ (Wasserstoff) . . . . . | 410,20 $\mu\mu$ |
| $E$ (Eisen) . . . . .       | 526,97 $\mu\mu$ | $H$ (Calcium) . . . . .     | 396,86 $\mu\mu$ |
|                             |                 | $K$ (Calcium) . . . . .     | 393,38 $\mu\mu$ |

## Wellenlängen gebräuchlicher Lichtarten:

|   |                |           |             |                         |       |  |
|---|----------------|-----------|-------------|-------------------------|-------|--|
| Kalium $\alpha$ . . . . .   | 766,9 $\mu\mu$ | (rot)     | Wasserstoff | $\alpha = 656,3 \mu\mu$ |       |  |
| Lithium $\alpha$ . . . . .  | 670,8 $\mu\mu$ |           |             | $\beta = 486,1 \mu\mu$  |       |  |
| Natrium $\left\{ \begin{array}{l} D_1 \\ D_2 \end{array} \right.$ . . . . . | 589,6 $\mu\mu$ | (gelb)    |             | $\gamma = 434,0 \mu\mu$ |       |  |
|   | 589,0 $\mu\mu$ |           |             | $\delta = 410,2 \mu\mu$ |       |  |
| Thallium . . . . .  | 535,1 $\mu\mu$ | (grün)    | Quecksilber | 615,2 (rot)             | 491,6 |  |
| Strontium $\delta$ . . . . .  | 460,7 $\mu\mu$ | (blau)    |             | 579,0 (gelb)            | 435,9 |  |
| Kalium $\beta$ . . . . .  | 404,4 $\mu\mu$ | (violett) |             | 576,9                   | 407,8 |  |
|   |                |           |             | 546,1 (grün)            | 404,7 |  |

Die Linien des Wasserstoffes und Quecksilbers werden in Vakuumröhren unter dem Einfluß elektrischer Entladungen beobachtet (näheres über die Bedingungen siehe § 4).

Das Zeichen  $\mu\mu$  bedeutet milliontel Millimeter. An Stelle dieser Einheit wird in der Spektroskopie vielfach eine zehnmal kleinere verwendet, die „STRÖM-Einheit“, mit *A. E.* bezeichnet ( $= 10^{-8}$  cm).

Für Messungen von größerer Genauigkeit als 1 *A. E.* ist die Eichkurve unzulänglich. Man bewerkstelligt die Messung dann so, daß man ein vor dem Spalt des Spektroskops angebrachtes kleines Reflexionsprisma der Seite her Sonnen- (oder Himmels-) Licht in den Apparat eintreten läßt, so über dem zu messenden Spektrum das Sonnenspektrum zu sehen. Man dann den Abstand einer Spektrallinie von den beiderseits benachbarten Fraunhofer'schen Linien, deren Wellenlängen aus dem ANGSTRÖM'schen, oder besser aus dem jetzt allein maßgeblichen ROWLAND'schen<sup>1</sup> Sonnenatlas zu entnehmen sind, und interpoliert geradlinig.

Statt des Sonnenspektrums kann man auch das Funken- oder Bogenpektrum eines gut bekannten Metalles, etwa von Eisen, Kupfer oder Cadmium nutzen. Der Standard von Wellenlängen, auf den man sich hier zu stützen ist von ROWLAND festgestellt und findet sich in KAYSER, Handbuch der Spektroskopie,<sup>2</sup> Band I, p. 720—723, wiedergegeben.

Als Normale dienten ROWLAND die beiden gelben Emissionslinien Natriums mit den Wellenlängen:  $D_1 = 589,0186 \mu\mu$ ,  $D_2 = 589,635 \mu\mu$ . MICHELSON<sup>3</sup> wurden als Normale Linien im Bogenspektrum des Cadmiums geschlagen mit den genauen Wellenlängen:

$$\begin{aligned} Cd 1 \text{ (rot)} &= 643,87422 \mu\mu, & Cd 4 \text{ (grün)} &= 508,5824 \mu\mu, \\ Cd 5 \text{ (blau)} &= 479,99107 \mu\mu. \end{aligned}$$

Auf diese Zahlen stützen sich gegenwärtig sämtliche übrigen Wellenlängenangaben.

Das direkte Ausmessen eines Spektrums ist ein sehr mühsames Gegenwärtig verfährt man immer so, daß man ein Spektrum zuerst photographiert und darauf das photographische Negativ mikrometrisch ausmißt. Zur Aufnahme der Photographie entfernt man das Fernrohr des Spektroskops und bringt an dessen Stelle eine Kamera, deren Objektiv eine große Brennweite besitzt. empfindliche Platte muß sich in der Fokalebene des Objektivs befinden. Prisma stellt man für den brechbarsten Teil des zu photographierenden Spektrums in das Minimum der Ablenkung. Das entstehende Bild des Spektrums besteht nicht aus geraden Linien, sondern aus gekrümmten, die ihre ko-

<sup>1</sup> H. A. ROWLAND, A preliminary table of solar spectrum wave-lengths. Chicago 1898. — Korrekturen hierzu siehe HARTMANN, Zeitschr. wiss. Photogr. 1. 215. 1903; 2. 1904; sowie PEROT und FABRY, Ann. chim. phys. (8) 1. 5. 1904 und EBERHARDT, Astr. Journ. 17. 141. 1903. — <sup>2</sup> Leipzig, Hirzel, 1900. — <sup>3</sup> Trav. et Mém. du bur. inter. poids et mesures. 11. 1895.



Seite dem violetten Ende zukehren. Diese Konkavität ist um so größer, je kleiner die Brennweite des Objektives und je größer der brechende Winkel des Prismas ist.

Durch die Photographie wird namentlich der ultraviolette Teil des Spektrums zugänglich, welcher gerade der wichtigste ist wegen des Linienreichtums der elementaren Emissionsspektren im Ultraviolett. Zur Photographie des ultravioletten Spektrums sind Linsen und Prismen aus Quarz oder Flußspat zu verwenden, da Glas die ultravioletten Strahlen absorbiert. Mit der gewöhnlichen Bromsilbergelatine-Trockenplatte kann das Spektrum zwischen den Grenzen  $\lambda 470$  und  $\lambda 220 \mu$  photographiert werden. Für längere Wellenlängen nimmt die Empfindlichkeit des Bromsilbers sehr stark ab, so daß sie nur bei sehr langer Exposition wirken. Für das Gebiet der längeren Wellen sind daher an Stelle der gewöhnlichen Trockenplatten die durch Zusatz von Farbstoff sensibilisierten zu verwenden. Für das Gebiet der sichtbaren Strahlen ( $\lambda 770 - \lambda 360$ ) sind solche im Handel zu haben, als sogenannte „orthochromatische Platten“. <sup>1</sup> Über das sichtbare Gebiet hinaus lassen sich die Platten sensibilisieren bis etwa  $\lambda 900 \mu$  durch Baden der Platte in Nigrosin, Cyanin, Alizarinblau S. <sup>2</sup> Für das sichtbare Gebiet gelten als wichtigste Sensibilatoren Erythrosin, Cyanin, Chinolinrot, Acridin und Äthylrot. <sup>3</sup>

Nach ABNEY <sup>4</sup> ist ein weiteres Vordringen in das Gebiet der ultraroten Strahlen auf photographischem Wege möglich durch besondere Präparation einer sehr grobkörnigen Bromsilberemulsion, welche rot absorbiert und daher blau durchsichtig ist, im Gegensatz zum gewöhnlichen Bromsilber, das blau absorbiert und orangerot durchsichtig ist. Mit dieser Emulsion konnte ABNEY das Sonnenspektrum und Absorptionsspektren bis zu  $\lambda 2 \mu$  photographieren. Doch ist die Herstellung dieser Emulsion sehr schwierig, so daß sie bis jetzt noch nicht allgemeiner verwendbar wurde.

Um im Ultraviolett über  $\lambda 220 \mu$  vorzudringen, muß man die Gelatine und auch die Luft ausschalten, welche beide die kürzesten Wellen stark absorbieren. Man muß also im Vakuum photographieren und Platten verwenden, welche bindemittelfrei sind. Auf diese Weise ist es V. SCHUMANN <sup>5</sup> gelungen, bis zu  $\lambda 160 \mu$  die Emission des Wasserstoffs, der Luft, des Kohlenoxyds und einer Anzahl Metalle zu photographieren. Es beansprucht dieses Gebiet der SCHUMANNschen Strahlen hohes Interesse, da sich daselbst die Emissionslinien in überaus großer Zahl sammendrängen.

Das darüber hinausgehende Gebiet noch kürzerer Wellen hat wohl geringere Bedeutung, da dieselben auch für die höchsten zugänglichen Temperaturen nur sehr geringe Stärke besitzen.

Nach der Seite der langen Wellen läßt sich die Emission der Körper über  $1 \mu$  hinaus verfolgen, wenn man an die Stelle der photographischen Fixierung die Messung mit dem Bolometer (s. § 3) setzt. Da Glas längere Wellen als  $3 \mu$  zu stark absorbiert, so muß man zur Erzeugung des äußersten ultraroten Spektrums andere Stoffe zur Herstellung des brechenden Prismas verwenden; geeignet sind nur Steinsalz, Sylvin und Flußspat. Die mit diesen Stoffen entworfenen Spektren reichen etwa bis  $9 \mu$ . Längere Wellen werden auch von ihnen nicht mehr durchgelassen, sondern zum Teil absorbiert, zum Teil reflektiert. Um Spektren von noch längeren Wellen zu erhalten, kann man nun aber nach RUBENS gerade Gebrauch machen von der selektiven Reflexion langer Wellen an Sylvin, Steinsalz

<sup>1</sup> VON PERUTZ, SCHLEUSSNER, LUMIÈRE u. a. hergestellt. — <sup>2</sup> Vergl. LEHMANN, DRUDES ANN. 7. 633. 1901. — <sup>3</sup> Vergl. A. v. HÜBL, EDERS Jahrbuch f. Photographie. 2. 168. 1897. — MIETHE, Phot. Korr. 1903, p. 385. — EDERS Jahrbuch f. Photographie. 18. 384. 1904. — <sup>4</sup> Phil. Trans. 171. II. 653. 1880; 177. II. 457. 1886. — <sup>5</sup> Smithsonian Contributions to knowledge. 29. Wash. 1903. — DRUDES ANN. 5. 349. 1901. — Sitz. Ber. Akad. Wiss. Wien. 102. II. 415, 625, 994. 1893.



und Flußspat. Man läßt Licht auf Platten aus diesen Stoffen fallen und zerlegt das nach mehrmaliger Reflexion übrigbleibende Licht (die „Reststrahlen“) an Gittern. So erhält man infrarote Spektren, deren Wellenlängen bis etwa  $60\ \mu$  oder  $0,06\ \text{mm}$  reichen.<sup>1</sup> Man steht damit ziemlich an der Grenze des Meßbaren, längere Wellen auch bei den höchsten Temperaturen nur noch mit äußerst geringer Stärke ausgesandt werden.

Danach umfaßt die Spektroskopie gegenwärtig den Bereich der Wellenlängen  $6 \times 10^{-3}\ \text{cm}$  bis  $15 \times 10^{-6}\ \text{cm}$ .

Um einzelne Gebiete des Spektrums gesondert untersuchen zu können, bedient man sich geeigneter Absorptionsmittel als Strahlenfilter. Um Ultraviolett abzublenken, dient Lösung von Chininsulfat, um das sichtbare Spektrum abzublenken und Ultraviolett durchzulassen, ist Nitrosodimethylanilin zu empfehlen. Den blauen Teil des Spektrums (bis  $480\ \mu\mu$  herauf) absorbiert Pikrinsäure; den roten Teil (bis  $474\ \mu\mu$  herab) absorbiert Kobaltglas in Verbindung mit Chinsulfat (dieses absorbiert von  $388\ \mu\mu$  abwärts).<sup>3</sup>

Anstatt durch Prismen können Spektren durch Gitter erzeugt werden. Eigentlich sind die Gitterspektren für die Spektroskopie wichtiger, als die Prismenspektren, da sowohl die Kenntnis von der Wellenlänge der Lichtarten in letzter Linie überhaupt auf der Ausmessung von Gitterspektren beruht, als auch deswegen, weil die Gitter viel stärkere Dispersion zulassen, als mit Prismen erreicht werden kann, so daß die Bestimmung der Wellenlänge der Spektrallinien durch Gitterspektren um mehrere Stellen genauer ausgeführt werden kann, als mit Prismenspektren. Dies gilt namentlich von den großen Konkavgittern, welche ROWLAND hergestellt hat. Allein für die Zwecke des Chemikers kommen diese dielben seltener in Betracht wegen ihrer geringeren Lichtstärke, so daß wegen der Handhabung und der Aufstellung der reflektierenden Konkavgitter auf ausführlichen einschlägigen Werke<sup>4</sup> verwiesen werden muß. Kleinere ebene Transmissionsgitter (Kollodionabzüge von ROWLANDSchen Originalgittern nach THOMSON) finden neuerdings mehr Verwendung in Spektralapparaten an Stelle von Prismen, namentlich dann, wenn der Apparat zugleich mit photographischer Einrichtung versehen ist. Spektralphotographien von Gittern haben den großen Vorteil, daß die Ablenkung jedes Strahles proportional seiner Wellenlänge ist, so daß die mikrometrische Ausmessung des Spektrums sofort alle Wellenlängen ergibt, während man nur zwei Spektrallinien von bekannter Wellenlänge auf das Photographen gebracht hat.

Gitter werden hergestellt, indem man in Platten aus Glas oder (für Reflexionsgitter) aus Metall mit einer feinen Teilmaschine eine möglichst große Anzahl feinsten paralleler Linien in gleichen, möglichst geringen Abständen einritzet. Die großen ROWLANDSchen, auf konkaver und spiegelnder Fläche eingeritzten Gitter zeichnen sich außer durch die enorme Zahl der Linien noch dadurch aus, daß sie die Eigenschaften eines Hohlspiegels mit denen eines Gitters verbinden und daher reelle Bilder der von ihnen erzeugten Spektren entwerfen. Bringt man eine photographische Platte in die Bildebene, so erhält man Spektralaufnahmen unter völliger Vermeidung von Linsen, die daher frei sind von allen Verzeichnungen, die von diesen herrühren könnten. Alle neueren, größeren Untersuchungen über die Emissionsspektren der Elemente und über das Spektrum der Sonne sind mit ROWLANDSchen Konkavgittern ausgeführt (ROWLAND, KAYSER und RUNGE, HASSELBERG, EDER und VALENTA, EXNER und HASCHKE).

In neuerer Zeit ist die auflösende Kraft der Gitter noch übertroffen worden.

<sup>1</sup> RUBENS u. ASCHKINASS, WIED. ANN. 65. 241. 1898. — <sup>2</sup> R. W. WOOD, PHOT. ZT. 4. 337. 1903. — <sup>3</sup> J. HARTMANN, Sitz. Ber. Berl. Akad. 1905. 360; vergl. auch HARTMANN, Zeitschr. wiss. Phot. 1903. 259. — LANDOLT, Ber. chem. Ges. 27. 2872. — <sup>4</sup> Siehe KAYSER, Handbuch der Spektroskopie, 1. 1900.

durch das „Stufengitter“ („Echelon-Spektroskop“) von MICHELSON<sup>1</sup> und durch das Interferometer von LUMMER.<sup>2</sup> Mit diesen Instrumenten, auf die hier nur verwiesen werden kann, lassen sich Wellenlängenunterschiede von  $\frac{1}{100\,000}$  bis  $\frac{1}{400\,000}$  ihres Wertes feststellen. Die Genauigkeit von Wellenlängenbestimmungen kann somit ungemein weit geführt werden.

Für die verschiedenen Zwecke der chemischen Spektralanalyse sind Apparate mit verschiedener Dispersion nötig. Für Funkenspektren braucht man große, für Absorptionsspektren geringe Dispersion und dementsprechend verschiedene Prismen oder Prismensätze. Für Betriebsanalysen werden die Spektroskope so konstruiert, daß Fernrohr und Kollimatorrohr in einer Richtung liegen. Das ganze Spektroskop hat dann die Gestalt einer Röhre, die bei der Beobachtung in der Hand gehalten oder an einem Stativ befestigt wird.<sup>3</sup> Man erreicht die gerade Durchsicht entweder durch eine Kombination von Crown- und Flintglasprismen, von denen die einen große Dispersion und geringe Ablenkung, die anderen kleine Dispersion und große Ablenkung haben, oder durch Spiegelung.

---

<sup>1</sup> Astrophys. Journ. 8. 36. 1898. — Journ. de phys. (3) 8. 305. 1899. — PEROT u. FARRY, Ann. chim. phys. (7) 16. 1899. — <sup>2</sup> DRUDES Ann. 10. 457. 1903. — <sup>3</sup> Bezugsquelle: Firma Schmidt & Hänsch, Berlin S. 42.

## § 2. Das Gesetz von Kirchhoff und das Spektrum der Sonne.

---

Wir verstehen unter dem Emissionsvermögen eines Körpers bestimmte Wellenlänge  $\lambda$  und Temperatur  $T$  die Intensität seiner Strahlung diese Wellenlänge und Temperatur, in beliebiger Einheit gezählt. Unter Absorptionsvermögen verstehen wir das Verhältnis der Intensität einem Körper absorbierten Strahlen zu derjenigen der auffallenden, ebenfalls bestimmte Wellenlänge und Temperatur. Ist  $J_0$  die Intensität des auffallenden Lichtes,  $J$  diejenige des durchgelassenen, so ist, wenn Reflexion ausgeschlossen wird,  $J_0 - J$  absorbiert worden, und das Absorptionsvermögen  $A$  stellt sich als  $A = \frac{J_0 - J}{J_0}$ . Die Größe  $A$  schwankt zwischen null und eins. Wenn die auf einen beliebigen Körper auffallende Lichtstärke von bestimmter Wellenlänge  $J_0 = 1$  setzen, so können wir das Absorptionsvermögen auf folgende Weise ausdrücken. Ein Teil  $A$  des auffallenden Lichtes wird absorbiert, ein Teil  $D$  wird durchgelassen, und ein dritter Teil  $R$  wird zurückgeworfen ist nun:

$$A + D + R = 1 \quad .$$

Für Metalle, welche praktisch undurchsichtig sind, wird

$$A = 1 - R \quad ,$$

und für Gase, welche praktisch nichts reflektieren,

$$A = 1 - D \quad .$$

Wie ersichtlich, entspricht  $A$  der obigen Definition des Absorptionsvermögens.

Nun besteht zwischen Emissions- und Absorptionsvermögen eine fundamentale Beziehung, welche für alle Körper gilt, und deren Entdeckung die wichtigste Grundlage der Spektroskopie wurde. Diese Beziehung ist das G. KIRCHHOFF<sup>1</sup> (1859). Sie lautet: Das Verhältnis zwischen dem Emissionsvermögen und dem Absorptionsvermögen ist für alle Körper derselben Temperatur dasselbe.

Heißt das Emissionsvermögen zweier Körper  $E$  und  $E'$  und ihr Absorptionsvermögen für dieselbe Wellenlänge und Temperatur  $A$  und  $A'$ , so

---

<sup>1</sup> G. KIRCHHOFF, Untersuchungen über das Sonnenspektrum und die Spektren der chemischen Elemente. OSTWALD'S Klassiker, Nr. 100. Leipzig. 1898.



$$\frac{E}{A} = \frac{E'}{A'} = \text{konst.}$$

Die Bedeutung der Konstante tritt hervor, wenn wir berücksichtigen, daß das Absorptionsvermögen des vollkommen schwarzen Körpers, d. h. eines Körpers, der alle auf ihn fallenden Strahlen völlig absorbiert und nichts durchläßt oder zurückwirft, der Definition gemäß gleich eins zu setzen ist. Nennen wir nun  $\epsilon$  die Emission des schwarzen Körpers, so ergibt sich das Verhältnis von Emission und Absorption eines beliebigen Körpers  $\frac{E}{A} = \epsilon$ . Es ist danach das Verhältnis des Emissions- und Absorptionsvermögens aller Körper zahlenmäßig gleich dem Emissionsvermögen des schwarzen Körpers für dieselbe Temperatur und Wellenlänge.

Der Sinn dieser Aussage erhellt alsbald, wenn wir eine so dicke Masse eines Gases betrachten, daß vom auffallenden Licht von der betrachteten Wellenlänge nichts mehr durchgelassen wird. Dann muß die Emission dieser Gasmasse gleich der des schwarzen Körpers sein für die betrachtete Temperatur und Wellenlänge. Denn denken wir uns eine Gasmasse in parallele Schichten gleicher Dicke geteilt; jede Schicht des Gases strahlte  $E_1$  aus und ihr Absorptionsvermögen sei  $A$ . Von der Emission  $E_1$  der zweiten Schicht absorbiert die erste  $E_1 A$ , so daß aus der Tiefe der zweiten Schicht an die Oberfläche gelangt

$$E_1 - E_1 A = E_1 (1 - A) \quad .$$

Die dritte Schicht strahlt  $E_1$  aus, davon läßt die zweite  $E_1 (1 - A)$  durch und davon die vordere  $E_1 (1 - A) (1 - A)$  usw. Die Summe des an die Oberfläche gelangenden und ausgestrahlten Lichtes  $E$  ergibt also:

$$\begin{aligned} E &= E_1 [1 + (1 - A) + (1 - A)^2 + \dots + (1 - A)^{n-1}] = E_1 \frac{(1 - A)^n - 1}{(1 - A) - 1} \\ &= \frac{E_1}{A} [1 - (1 - A)^n] \quad . \end{aligned}$$

Nun kann man, da  $A$  ein echter Bruch ist,  $(1 - A)^n$  durch Vergrößerung von  $n$ , der Zahl der Schichten, der Null annähern, so daß wird:  $E = \frac{E_1}{A}$ . Das Verhältnis von Emissions- und Absorptionsvermögen soll aber nach KIRCHHOFF gleich der Emission des schwarzen Körpers sein, somit finden wir  $E = \epsilon$ . In der Tat nähert sich für die betrachtete sehr große Schichtdrüse des Gases dessen Absorptionsvermögen der Einheit, da ja das Gas in so dicker Schicht vorausgesetzt wurde, daß es (für die betrachtete Temperatur und Wellenlänge) undurchsichtig ist.

Um eine Vorstellung von der Strahlung  $\epsilon$  des schwarzen Körpers im KIRCHHOFFSchen Sinne, kurzweg schwarze Strahlung genannt, zu gewinnen, betrachten wir einen von undurchsichtigen Wänden umschlossenen, z. B. kugelförmigen, Hohlraum, der nur eine kleine Öffnung besitzt und auf bestimmter Temperatur gehalten wird. Aus einem solchen Hohlraum gelangen Strahlen, welche durch die kleine Öffnung eintreten, im allgemeinen erst nach unendlich wiederholter Reflexion wieder nach außen, es wird also von der eintretenden Strahlung praktisch nichts reflektiert. Daher folgt, wegen  $D = 0$  und  $R = 0$ ,  $A = 1$  und damit nach KIRCHHOFF  $E = \epsilon$ . D. h. im Inneren eines von undurchsichtigen Wänden umschlossenen Hohlraumes herrscht die Emission des schwarzen Körpers. Man bedient sich dieses Umstandes zur experimentellen Darstellung schwarzer Körper.

Die Betrachtung der strahlenden Gasmasse in großer Dicke, sowie die



des strahlenden Hohlraumes läßt erkennen, daß es zwar in der Definition liegt, daß alle Körper die Emission  $\epsilon$  des schwarzen Körpers erreichen, wenn man ihr Absorptionsvermögen bis zur Einheit anwachsen läßt. Das KIRCHHOFFsche Gesetz sagt aber mehr aus; es behauptet, daß unter allen Umständen Emission und Absorption in einer und derselben Proportion zu einander stehen. KIRCHHOFF hat gezeigt, daß das Bestehen dieser Beziehung, welche individuelle stoffliche Eigenschaften einer für alle Stoffe gültigen Bedingung unterwirft, aus dem Grundsatz der Thermodynamik folgt, wonach Wärme nicht von selbst auf höhere Temperatur übergehen kann.

Ist nämlich ein strahlender Körper umgeben von einer schwarzen Hülle, welche auf derselben Temperatur gehalten wird, so darf sich die Temperatur durch die gegenseitige Strahlung vom Körper nach der Hülle und umgekehrt nicht ändern. Nun verliert der Körper Wärme durch seine Strahlung  $E$ . Er gewinnt aber auch Wärme, indem er von der Strahlung  $\epsilon$  der schwarzen Hülle den Bruchteil  $A$  absorbiert. Die Größe  $A$  stellt offenbar das eingangs definierte Absorptionsvermögen vor. Damit das Temperaturgleichgewicht nicht gestört werden muß, sei:

$$E = \epsilon A \quad .$$

Andererseits strahlt die Hülle aus:  $\epsilon$ , sie erhält davon durch Reflexion zurück:  $\epsilon - \epsilon A$  und außerdem die Strahlung  $E$  des Körpers; beides absorbiert die Hülle vollständig. Wieder muß sein:

$$\epsilon - \epsilon A + E = \epsilon \quad ,$$

d. h.

$$\frac{E}{A} = \epsilon \quad ,$$

was zu beweisen war.

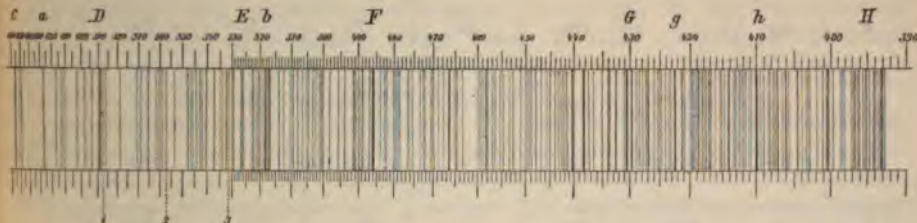
Unschwer ist zu erkennen, daß sich, in derselben Weise argumentierend, nachweisen läßt, daß diese Beziehung auch für jede einzelne emittierte und absorbierte Wellenlänge gilt, nur wird das Gedankenexperiment verwickelter, indem KIRCHHOFF dazu den vollkommen reflektierenden Hohlspiegel und, zur Erzeugung eines Spektrums, eine dünne, vollkommen diathermane Platte, welche die Farben dünnbläulich zeigt, zu Hilfe nehmen muß.

Die nächste und wichtigste Folgerung aus dem KIRCHHOFFschen Satz besteht nun darin, daß jeder Körper gerade diejenigen Strahlen absorbiert, die er aussendet, und nur diese. Nun wird von glühenden elementaren Gasen, wenn sie nicht in zu großer Dichte vorhanden sind, nicht Licht aller möglichen, sondern nur einzelner Wellenlängen emittiert, sie liefern, wenn sie glühen, ein diskontinuierliches Spektrum, das aus einzelnen farbigen Linien besteht, die für jedes Gas charakteristisch verschieden und in weitem Umfange unabhängig von der Temperatur sind. Bringen wir diese Tatsachen in Verknüpfung mit dem KIRCHHOFFschen Gesetz, so finden wir eine höchst überraschende Deutung der dunklen Linien des Sonnenspektrums, der FRAUNHOFERSchen Linien, jener Erscheinung, von deren Aussehen im mäßig dispergierten Sonnenspektrum Figur 3 eine Vorstellung vermitteln mag.

Läßt man das Licht eines glühenden festen Körpers, der ein kontinuierliches Spektrum liefert, durch eine leuchtende Gasmasse von genügender Dicke gehen und untersucht es dann spektroskopisch, so kann dreierlei eintreten: Entweder sind die Emissionslinien des Gases heller als der kontinuierliche Grund des Spektrums, dann muß die Temperatur des Gases höher als die der Lichtquelle sein, oder die Gaslinien sind ebenso hell, dann haben Gas und Lichtquelle gleiche Temperatur, wenn wir solche Schichtdicke des Gases voraussetzen, daß alles Licht der Lichtquelle von den Wellenlängen, die das Gas aussendet, absorbiert wird, oder die Gaslinien sind

dunkler als der Grund des Spektrums, sie erscheinen als Absorptionslinien, dann ist die Temperatur niedriger als die der Lichtquelle. Diese letztere Erscheinung nennt man die Umkehrung einer Emissionslinie. Dies hat seinen Grund darin, daß vom Gas bei der niederen Temperatur Strahlen geringerer Intensität ausgesandt werden, als die Intensität derjenigen war, die von der Lichtquelle her kamen und auf ihrem Wege durch das Gas von diesem absorbiert wurden.

Die FRAUNHOFERSchen Linien des Sonnenspektrums deuten demnach auf eine Atmosphäre glühender Dämpfe, die kälter ist als die darunter liegende



Figur 3.

Spektrum der Sonne bei mäßiger Dispersion.

C = Wasserstoff ( $\lambda$  656)

D = Natrium ( $\lambda$  289)

E = Eisen ( $\lambda$  527)

b = Magnesium ( $\lambda$  518)

F = Wasserstoff ( $\lambda$  486)

G = Eisen ( $\lambda$  431)

h = Wasserstoff ( $\lambda$  410)

H = Calcium ( $\lambda$  397)

1 = Stelle der Heliumlinie ( $D_3 = \lambda$  587,6)

2 = Stelle der Nordlichtlinie (Krypton =  $\lambda$  557)

3 = Stelle der Coronalinie (=  $\lambda$  532)

Schicht der Sonne (die Photosphäre), welche Licht mit kontinuierlichem Spektrum aussendet. Und man kann die chemische Natur dieser Dämpfe ermitteln, wenn man die Wellenlängen der FRAUNHOFERSchen Linien mit denjenigen vergleicht, welche die glühenden Dämpfe der irdischen chemischen Elemente aussenden. Alle glühenden Dämpfe, deren Emissionslinien mit FRAUNHOFERSchen Linien übereinstimmende Wellenlänge haben, sind in der Sonnenatmosphäre als vorhanden zu betrachten. Das Sonnenspektrum mit seinen vielen tausend feiner Absorptionslinien ist zuerst von KIRCHHOFF, sodann von ANGSTRÖM und anderen und neuerdings von ROWLAND<sup>1</sup> genau durchgemessen worden. Der Vergleich mit den Spektren der irdischen Stoffe, die als leuchtende Gase im elektrischen Lichtbogen oder im elektrischen Induktionsfunken beobachtet werden, ergab, daß eine große Anzahl der irdischen Grundstoffe in der Sonnenatmosphäre enthalten ist. In der folgenden Tabelle der Elemente (angeordnet nach den Vorschlägen von ZENGEHELIS) sind die fett gedruckten sicher in der „umkehrenden Schicht“ der Sonne vorhanden, die kursiv gedruckten sind wegen wenig zahlreichen Koinzidenzen zweifelhaft, die gewöhnlich gedruckten nicht vorhanden oder (wegen mangelhafter Bekanntschaft mit den betreffenden elementaren Spektren) noch nicht identifiziert.

Durch die Linien der in der Tabelle fettgedruckten Elemente wird zwar nicht der Ursprung aller, aber doch des größten Teiles der Absorptionslinien der Sonne auf bekannte Elemente zurückgeführt. Naturgemäß erscheinen von den Emissionslinien der Metalle, die in ihren Bogen- oder Funkenspektren auftreten, im Sonnenspektrum im allgemeinen nur die stärkeren umgekehrt. Die Bedingung zur Umkehrung ist ja nur dann gegeben, wenn das Absorptionsvermögen des Dampfes für die betreffenden Wellenlängen genügend groß ist, um das aus den tieferen Schichten der Sonne kommende Licht geeignet zu schwächen.

<sup>1</sup> Preliminary table of solar spectrum wave-lengths. Chicago. 1898. Abgedruckt in LANDOLT-BÖRNSTEIN-MEYERHOFFERS Tabellen. Tafel 188. 3. Aufl. Berlin. 1905.

Tabelle der Elemente nach dem periodischen System.

|    | 0  | I  | II | III   | IV | V  | VI | VII |
|----|----|----|----|---|----|----|----|-----|
| 1  |    | H  |    |   |    |    |    |     |
| 2  | He | Li | Be | B   | C  | N  | O  |     |
| 3  | Ne | Na | Mg | Al  | Si | P  | S  |     |
| 4  | Ar | K  | Ca | Sc  | Ti | V  | Cr | }   |
| 5  | —  | Cu | Zn | Ga  | Ge | As | Se |     |
| 6  | Kr | Rb | Sr | Y   | Zr | Nb | Mo | }   |
| 7  | —  | Ag | Cd | Jn  | Sn | Sb | Te |     |
| 8  | X  | Cs | Ba | <div style="display: inline-block; vertical-align: middle;"> <div style="display: inline-block; vertical-align: middle;"> La<br/>Ce<br/>Pr<br/>Nd </div> </div>               | —  | —  | —  |     |
| 9  |    | —  | —  | <div style="display: inline-block; vertical-align: middle;"> <div style="display: inline-block; vertical-align: middle;"> Sa<br/>Gd<br/>Tb<br/>Er<br/>Tu<br/>Yb </div> </div> | —  | Ta | W  |     |
| 10 |    | Hg | —  | Tl  | Pb | Bi | —  |     |
| 11 |    |    | Ra | —   | Th | —  | U  |     |

Wie man aus der Tabelle erkennt, fehlen in der umkehrenden Schicht der Sonne die Elemente mit hohem Atomgewicht; vielleicht weil ihre Dämpfe ihres hohen spezifischen Gewichtes in tieferen Schichten der Sonne angesammelt sind. Demnächst fällt das Fehlen der Metalloide auf. Man kann hier sagen, daß dieselben bei der Temperatur der Sonne in Verbindungen existieren, welche sehr endotherm sind und deren Spektra wir noch nicht kennen. Tatsächlich geht die Anwesenheit von Kohle und Stickstoff in der Sonne aus den Banden (Gruppen) des Cyans hervor, auch die Banden des sogen. „Swan“-Spektrums im Sonnenspektrum vorhanden, was auf Acetylen (oder verwandte Kohlenwasserstoffe) hindeutet. Der Theorie nach<sup>1</sup> sind in der Sonne gerade die stark thermischen Verbindungen zu erwarten, also außer Cyan und Acetylen, Stickchloroxyde, Chlor- und Jodstickstoff, der explosive Schwefelstickstoff, explosiver Phosphorwasserstoff, Ozon u. dgl. Wir kennen die Spektren dieser Verbindungen

<sup>1</sup> OSTWALD, Grundriß der allgem. Chemie. 3. Aufl. 1899. p. 343 — G. BREDIG, über die extremen Temperaturen, Physikal. Zeitschr. 2. 1901. Es ist übrigens zu bemerken, daß nicht für alle endothermen Verbindungen ein Gebiet wirklicher Stabilität zu geben ist. Z. B. ist Benzol bei keiner Temperatur beständig gegen Wasserstoff und Kohle. (Vergl. N. ÜBER die Berechnung chem. Gleichgewichte aus thermischen Messungen, Göttinger Nachr. 1906, Heft 1, p. 1). Auch Stickoxydul scheint bei allen Temperaturen unbeständig gegen Stickstoff und Sauerstoff, wie gegen Stickoxyd.



nicht; es steht zu vermuten, daß es „Bandenspektren“ sein würden. Bandenspektren eignen sich aber schlecht zur Umkehrung, weil sie im allgemeinen weniger ausgeprägte Stellen bedeutender Emission und Absorption enthalten, so daß sie sich unter Umständen im Sonnenspektrum gar nicht bemerklich machen können. Übrigens muß man sich beim Fehlen der Metalloide im Sonnenspektrum daran erinnern, daß auch beim Verdampfen von Metallsalzen im elektrischen Bogen oder Funken die Metalloide nicht zur Lichtemission kommen, ein Umstand, der noch nicht genügend aufgeklärt ist, aber wohl mit dem Fehlen der Metalloidspektren in der Sonne zusammenhängt.

Außerhalb der „umkehrenden Schicht“ der Sonne, in der Sonnenkorona bemerkt man eine eigentümliche grüne Linie,  $\lambda 531,59$ , welche mit irdischen Stoffen bis jetzt noch nicht identifiziert werden konnte. Sie heißt Coroniumlinie und deutet auf ein uns unbekanntes Element „Coronium“ hin.

Die Umkehrung von Emissionslinien leuchtender Dämpfe im Laboratorium, war Gegenstand vielfacher experimenteller Untersuchungen, insbesondere von LIVING und DEWAR.<sup>1</sup> Als Vorlesungsversuch läßt sich die Umkehrung bequem an der gelben Emissionslinie des Natriums ( $D$  des Sonnenspektrums) zeigen, wenn man dicht vor einer Bogenlampe etwas von dem Metall in einem eisernen Löffel in der Gebläseflamme verdampft und dahinter das Spektroskop aufstellt.

Ein besonderer Fall von Umkehr ist die sogen. „Selbstumkehr“. Wenn man das Spektrum eines glühenden Metaldampfes in der Bogenlampe photographiert, so erhält man häufig gerade die stärksten Linien in Absorption oder so, daß der mittlere Teil der Linie dunkel ist und die Ränder hell. Dies kommt von der reichlichen Dampfbildung im Bogen her. Der Dampf verbreitet sich von der heißesten Stelle ausgehend ringsum und kühlt sich dabei ab. Diese kühlere Hülle absorbiert dann die Strahlen, die von der heißeren Mitte herkommen. Von der Selbstumkehr werden jedoch nur diejenigen Linien betroffen, für welche die kühlere Hülle noch ein genügendes Absorptionsvermögen besitzt.

Der KIRCHHOFFSche Satz ist unter der Voraussetzung abgeleitet, daß der emittierende und absorbierende Körper dieselbe Temperatur haben. Seine praktische Gültigkeit geht aber sehr viel weiter wegen der schon erwähnten bedeutenden Unveränderlichkeit des Spektrums eines Stoffes mit der Temperatur.

Als KIRCHHOFF und BUNSEN Natrium in verschiedenen heißen Flammen, nämlich des Schwefels, des Schwefelkohlenstoffs, des wasserhaltigen Alkohols, des Bunsenbrenners, des Kohlenoxyds, des Wasserstoffs und des Knallgasgebläses, sodann im elektrischen Lichtbogen und im Induktionsfunken verdampften, fanden sie, daß die gelbe Emissionslinie des Natriums ( $589 \mu\mu$ ) ihre Wellenlänge dabei nicht ändert. Nur treten in der höheren Temperatur des Lichtbogens und des Funkens, namentlich nach der Seite der kürzeren Wellenlängen, noch Linien hinzu, die in den kühleren Flammen wegen zu großer Lichtschwäche nicht gesehen werden. Ebenso liegen die Absorptionsbanden der kalten Kohlensäure fast an der nämlichen Stelle wie die Emissionsbanden der erhitzten.<sup>2</sup> Wasser gibt sogar als Flüssigkeit und als Eis dieselben Absorptionsbanden, die der erhitzte Wasserdampf emittiert.<sup>3</sup>

Eine zweite theoretische Grenze des KIRCHHOFFSchen Satzes liegt darin, daß er unter der Voraussetzung abgeleitet ist, daß der strahlende Körper „die Eigenschaft besitzt, weder durch die Strahlen, die er aussendet oder absorbiert, noch durch andere Einflüsse, denen er ausgesetzt ist, irgend eine Veränderung zu erleiden, wenn seine Temperatur durch Zuführung oder Entziehung von Wärme konstant erhalten wird“ (KIRCHHOFF).

<sup>1</sup> Proc. Roy. Soc. 27. 28. 29. 32. 1878—1881. — <sup>2</sup> PASCHEN, WIED. ABH. 51. 1. 1894. — <sup>3</sup> PASCHEN, WIED. ANN. 52. 209. 1894. — SAUNDERS, John Hopkins Univ. Circ. 18. 58. 1899.

Die Strahlung soll also reine Temperaturfunktion sein. Sobald Leuchten eintritt durch eine Verwandlung einer anderen Energie in strahlende, gilt der Satz von der Proportionalität von Absorption und Emission nicht mehr. Nach WIEDEMANN bezeichnet man alle Lichterscheinungen, welche nicht von der Temperatur herrühren, als Lumineszenz. Z. B. haben wir es mit Elektrolumineszenz zu tun, wenn verdünnte Gase im elektrischen Wechselfeld leuchten, mit Photolumineszenz, wenn ein Körper durch Bestrahlung mit Licht leuchtend wird (Fluoreszenz) usw. Doch beobachtet man auch bei Lumineszenzen, z. B. in Geißler-  
röhren, Umkehrerscheinungen, so daß also auch in diesem Fall die praktische Gültigkeit des KIRCHHOFFschen Satzes weiter reicht als seine theoretische Begründung.

---



### § 3. Die Strahlung fester Körper.

Glühende, feste und flüssige Körper senden Licht von allen Wellenlängen, also Licht mit kontinuierlichem Spektrum, aus. Die Intensität der Strahlung nimmt mit der Temperatur zu und zwar schneller für die kürzeren Wellenlängen.

Das Gesetz der Zunahme der Strahlungsintensität in seiner Abhängigkeit von Temperatur und Wellenlänge ist für den schwarzen Körper bekannt. Nicht schwarze Körper weichen davon in gewissem Sinne ab, doch nähert sich, soviel man weiß, ihre Strahlung der schwarzen um so mehr, je höher die Temperatur ist. Die Erkenntnis der Strahlungsgesetze gehört der jüngsten Vergangenheit an; ihre experimentelle Ermittlung wurde erst durch die Konstruktion des Bolometers durch LANGLEY einerseits und des schwarzen Körpers durch PASCHEN, LUMMER und PRINGSHEIM anderseits ermöglicht. Mit dem Bolometer mißt man die Energie der einzelnen Teile der spektral zerlegten Strahlung eines Körpers durch die Erwärmung, die ein feiner berußter Platindraht erfährt, den man durch das Spektrum hindurchwandern läßt. Die stattgefundenene Erwärmung beurteilt man nach der dadurch hervorgebrachten elektrischen Widerstandsänderung des Drahtes. Dies kann auf  $\frac{1}{1000000}^{\circ}\text{C}$  genau bewerkstelligt werden.

Um das Bolometer empfindlich zu machen, muß der Draht oder Streifen sehr dünn sein. Man stellt sich solche dünne Streifen nach LUMMER und KURLBAUM<sup>1</sup> dar durch Aufschweißen von Platinblech auf Silber, Auswalzen und darauf Lösen des Silbers in Salpetersäure. Der berußte Streifen hat eine Breite von etwa 0,2 mm und eine Dicke von 0,5  $\mu$ . Die Messung wird so ausgeführt, daß man den berußten zu belichtenden Streifen in den einen und einen gleichen, dahinter im Dunkeln angebrachten Streifen in den gegenüberliegenden Zweig der WHEATSTONESchen Brücke einschaltet und mit einem hochempfindlichen Galvanometer den Differenzialstrom mißt, der nach Kompensation im Dunkeln durch die Belichtung des Bolometerstreifens auftritt.

An die Stelle des Bolometers kann auch die lineare Thermosäule von RUBENS<sup>2</sup> aus Eisen und Konstantan treten, die auf die Länge von 1 cm 10 Lötstellen besitzt und mit einem empfindlichen Galvanometer so rasche und genaue Temperaturbestimmungen auszuführen gestattet, wie das Bolometer.

Schwarze Strahler werden nach LUMMER und PRINGSHEIM<sup>3</sup> dargestellt durch einen doppelwandigen Kupferwürfel oder andere geeignete metallene Hohlgefäße mit kleiner Öffnung zum Austritt der Strahlen oder nach PASCHEN<sup>4</sup> durch einen Kohlefaden, der in der Mitte einer spiegelnden Hohlkugel aufgestellt und zum Glühen erhitzt wird.<sup>5</sup>

<sup>1</sup> Zeitschr. f. Instrumentenkunde, 12, 81, 1892. — <sup>2</sup> Zeitschr. f. Instrumentenkunde, 18, 252, 1898. — <sup>3</sup> WIED. Ann. 63, 395. — <sup>4</sup> WIED. Ann. 60, 719. — <sup>5</sup> Über die Herstellung des schwarzen Körpers vergl. LUMMER, Die Ziele der Leuchttechnik, München, 1903.

Bis etwa  $700^{\circ}$  ist die schwarze Strahlung von den genannten Forschern durch doppelwandige Gefäße aus Kupfer hergestellt worden, aus deren Innenraum durch ein enges Rohr die Strahlung austreten konnte, und deren Zwischenraum durch Siedeflüssigkeiten oder geschmolzenen Salpeter auf bestimmter Temperatur gehalten wurde. Von  $700^{\circ}$  bis  $1500^{\circ}$  diente ein elektrisch geglühtes Porzellanrohr, das mit einer Reihe von Diaphragmen versehen war, welche den Strahlungsraum vor Abkühlung zu schützen hatten. Die Temperatur des Strahlungsraumes wurde durch ein Thermoelement gemessen, das an die Skala des Stickstoffthermometers von HOLBORN und DAY<sup>1</sup> angeschlossen war. Von  $1500^{\circ}$  bis  $2300^{\circ}$  wurde die schwarze Strahlung durch ein elektrisch geglühtes Kohlerohr verwirklicht.<sup>2</sup> In diesem Bereich ist die Temperatur strahlungstheoretisch bestimmt, unter Anwendung der nun zu besprechenden, bis  $1500^{\circ}$  geprüften und ganz allgemein theoretisch begründeten Zusammenhänge der schwarzen Strahlung mit der absoluten Temperatur.

Folgendes sind die Eigenschaften der schwarzen Strahlung:

1. Die Gesamtstrahlung ist proportional der vierten Potenz der absoluten Temperatur. Dieses Gesetz wurde von STEFAN aufgestellt, von BOLTZMANN<sup>3</sup> unter Berücksichtigung des Lichtdruckes thermodynamisch abgeleitet und von LUMMER, PRINGSHEIM und KURLBAUM<sup>4</sup> experimentell bestätigt. Wenn  $S$  die Gesamtstrahlung und  $T$  die absolute Temperatur des strahlenden und  $T_0$  die des absorbierenden Körpers bedeutet, so gilt:

$$S = \sigma(T^4 - T_0^4) .$$

$\sigma$  ist eine Naturkonstante von fundamentaler Bedeutung. Ihr Zahlenwert beträgt nach KURLBAUM  $5,32 \cdot 10^{-5}$  Erg pro Quadratzentimeter und Sekunde. Es läßt sich mit ihrer Hilfe aus der kalorimetrisch gemessenen Strahlung auf die Temperatur voll strahlender Körper schließen. Wir berechnen nach der angegebenen Formel die folgende Tabelle der bei verschiedenen Temperaturen von 1 qcm schwarzer Oberfläche in einer Sekunde ausströmenden Energien in kleinen Kalorien:

| Absol. Temp.                  | Kalorien |
|-------------------------------|----------|
| $100^{\circ}$ (Luft siedet)   | 0,000127 |
| $300^{\circ}$ (Erdoberfläche) | 0,0103   |
| $1000^{\circ}$ (Rotglut)      | 1,27     |
| $3000^{\circ}$ (Kohlebogen)   | 103      |
| $6250^{\circ}$ (Sonne)        | 1930     |

Zur Berechnung der Sonnentemperatur bedürfen wir der „Solarkonstante“, der Zahl, welche die von 1 qcm schwarzer Fläche absorbierte Sonnenstrahlung in der Zeiteinheit angibt. Dieselbe ist von LANGLEY<sup>5</sup> in langjährigen Untersuchungen bolometrisch bestimmt worden. Dabei hat sich herausgestellt, daß die Solarkonstante Schwankungen unterliegt, die mit dem wechselnden Zustande der Sonnenatmosphäre zusammenhängen müssen. Im Mittel beträgt ihr Wert 3 cal. pro Minute und Quadratzentimeter, gemessen an der äußeren Grenze der Erdatmosphäre. FOYNTING<sup>6</sup> nimmt als Mittelwert  $1,34$  cal. pro Quadratzentimeter und Sekunde. Damit folgt mit Rücksicht darauf, daß im Abstand der Erde die Oberfläche einer Kugel um die Sonne als Mittelpunkt 46000 mal so groß ist

<sup>1</sup> DRUPES Ann. 2. 303. 1900. — <sup>2</sup> LUMMER und PRINGSHEIM, Verhdlg. deutsch. phys. Ges. 1903. — <sup>3</sup> WIED. Ann. 22. 201. 1884. — <sup>4</sup> WIED. Ann. 63. 395. 1897 und Verh. phys. Ges. Berl. 17. 100. 1898. — <sup>5</sup> Astrophys. Journ. 17. 89. 1903; 19. 395. 1904. — Über die Messung des ultravioletten Sonnenspektrums mit dem Bolometer (bis  $3,3 \mu$  herauf) vergl. LANGLEY, Annals of the Astrophys. Observatory of the Smithsonian Institution, Vol. 1. 1900 — <sup>6</sup> Nature. 70. 512. 1904.



wie die Oberfläche der Sonne, die Strahlung von 1 qcm derselben zu  $46000 \cdot \frac{1}{24} = 1920$  cal. sek. Hieraus folgt die in der obigen Tabelle verzeichnete Temperatur der Sonne. Die mittlere Temperatur der Erde stimmt damit insofern, als sie den stationären Zustand, bei dem Gleichheit der Zu- und Austrahlung herrscht, darstellt. Da die Oberfläche einer Kugel viermal so groß ist wie ihr Durchschnitt, so beträgt beim stationären Zustand die Ausstrahlung pro Quadratcentimeter  $\frac{1}{4} \cdot \frac{1}{24} = \frac{1}{96}$  cal., was nach obiger Tabelle etwa  $300^\circ$  abs. ( $= 27^\circ \text{C}$ ) entspricht, in Bestätigung der dargelegten, zuerst von W. WIEN erwarteten, Beziehung.

Das STEFAN-BOLTZMANNsche Gesetz ist eine thermodynamische Konsequenz, zu der wir durch Berücksichtigung der Arbeitsfähigkeit der Strahlung gelangen. Daß letztere existieren muß, erkennt man nach BARTOLI (1876) daraus, daß es möglich ist, Wärme von niederem Niveau  $T_2$  auf ein höheres  $T_1$  zu schaffen durch bewegte Spiegel. Denken wir uns einen Zylinder mit spiegelnden Wänden und spiegelndem verschiebbarem Stempel. Auf dem Boden des übrigens evakuierten Zylinders, sei ein schwarzer Punkt, der bei niedergedrücktem Stempel in wärmeleitende Verbindung mit einem großen Wärmebehälter mit der Temperatur  $T_2$  gesetzt werden könne. Ziehen wir nun den Stempel heraus, so füllt sich der Zylinder mit Strahlung, die der schwarze Punkt aussendet, während er dem Behälter eine gewisse Wärmemenge entzieht. Nun trennen wir den Zylinder vom Wärmebehälter und drücken den Stempel adiabatisch um eine gewisse Strecke hinein. Dabei wird die Strahlung von dem schwarzen Punkt im Zylinder absorbiert und in Strahlung höherer Temperatur  $T_1$  verwandelt. Nun setzen wir den schwarzen Punkt in wärmeleitende Verbindung mit einem Wärmebehälter mit der Temperatur  $T_1$  und drücken den Stempel ganz hinein, wobei die im Zylinder befindliche Strahlung in Wärme verwandelt und an den Behälter  $T_1$  abgeführt wird. Zu diesem Prozeß muß nach dem zweiten Hauptsatz Arbeit aufgewendet werden, da Wärme von niedriger auf höhere Temperatur gebracht ist. Es muß daher auf den Stempel ein Druck wirken, der einen bestimmten Betrag erreicht, den wir folgendermaßen finden.

Wir denken uns eine, ins Unendliche sich erstreckende Röhre vom Querschnitt 1 qcm, in welcher sich ein körperliches Medium mit verschwindend geringem Absorptionsvermögen befindet.<sup>1</sup> Dieses Medium erfülle aber die Röhre in nahezu unendlicher Erstreckung, so daß paralleles Licht, welches am Ende der Röhre senkrecht zum Querschnitt einströmt, auf dem Wege durch das Medium doch ganz absorbiert wird. Dann ist dasselbe als schwarzer Körper zu betrachten.

Die Röhre empfangt als Zustrahlung pro Sekunde die Energie von  $q$  cal. Ist der absorbierende Körper in Ruhe, so geht dieser ganze Betrag in Wärme über. Lassen wir ihn jedoch in  $a$  Sekunden um  $v = 3 \cdot 10^{10}$  cm in Richtung der Fortpflanzung des Lichtes sich verschieben, so tritt eine relative Verzögerung des Fortschrittes der Wellenfront ein, welche bewirkt, daß in ihm nur  $(a - 1) q$  cal. entwickelt werden.

Die Röhre hat aber wie vordem  $q$  cal. als Strahlung empfangen; auch enthält wegen der nahezu unendlich schwachen Absorption des gedachten Körpers der Raum  $v$ , um den der Körper verschoben wurde, merklich die gleiche Energie der Strahlung, unabhängig davon, ob dieser Raum von dem Körper eingenommen wird oder nicht. Da also der Energieinhalt der Röhre bei der Bewegung des Körpers sich nicht geändert hat, wohl aber die Wärmeentwicklung um  $q$  cal. kleiner geworden ist, so muß dafür ein äquivalenter Betrag an Arbeit gewonnen worden sein, nämlich der Betrag  $p v = q$  cal., wenn wir unter  $p$  den auf 1 qcm wirkenden Druck senkrechter Strahlung verstehen.

<sup>1</sup> Vergl. P. DRUDE, Lehrbuch der Optik. Leipzig. 1900. p. 449.

BAUR, Kurzer Abriss d. Spektroskopie u. Kolorimetrie.



Wir finden daher den auf eine schwarze Fläche von 1 qcm wirkenden Lichtdruck numerisch gleich der in 1 ccm enthaltenen Strahlungsenergie. Für eine spiegelnde Fläche würde sich dieser Betrag unter sonst gleichen Umständen verdoppeln, da durch vollkommene Reflexion der Energieinhalt der Strahlung sich verdoppelt. Zusammengefaßt erhalten wir für den Strahlungsdruck auf 1 qcm einer undurchsichtigen Substanz mit dem Reflexionsvermögen  $\rho$  den Ausdruck:

$$p = \frac{1}{3} \cdot 10^{10} (1 + \rho) \text{ Dynen} ,$$

wenn  $\rho$  in Ergs gemessen wird. Für die vollkommen spiegelnde Fläche ist  $\rho = 1$ , für die vollkommen schwarze gleich null.

Aus der Solarkonstante (3 cal. pro Minute oder  $\frac{4,2}{20} \cdot 10^7$  Erg/sek.) finden wir danach den Strahlungsdruck gegen 1 qcm schwarzer Oberfläche zu:

$$\frac{420}{20 \cdot 3} \cdot 10^{-5} = 7 \cdot 10^{-5} \text{ Dynen} .$$

Durch die Arbeiten von LEBEDEV<sup>1</sup> und NICHOLS und HULL<sup>2</sup> ist die Existenz dieses Druckes experimentell nachgewiesen und sein Betrag in Übereinstimmung mit der Theorie BARTOLIS gefunden worden. Die alte KEPLERSche Ansicht von der Entstehung der Kometenschweife hat damit eine späte exakte Begründung erfahren. Hinzugefügt sei, daß der Lichtdruck auch eine Konsequenz der elektromagnetischen Lichttheorie ist und als solche von MAXWELL schon ausgesprochen wurde. Es zeigt sich also auch hier die Überlegenheit dieser Theorie über die klassische Lichttheorie.

Um nun zur STEFAN-BOLTZMANNschen Gesetz zu kommen, haben wir nur noch einen Umstand zu erwägen. Denken wir uns 1 ccm gleichgerichtete Strahlung, deren Energieinhalt  $S$  beträgt, in einen Winkel von 1 cm Seitenlänge parallel zur Strahlungsrichtung eingeschlossen. Die Wände sollen schwarz sein, von unendlich geringer Wärmekapazität und ausdehnbar. Es wird zwar im ersten Moment die auf eine Wäre des Lichtdruck  $p$  numerisch gleich der Strahlungsenergie  $S$  sein, als die Wände sich ausdehnen, sich die gleichgerichtete Strahlung durch die Ausstrahlung der Seitenflächen in diffuse und die Intensität der Strahlung nach jeder der drei Hauptachsen halbiert, und damit der Druck auf ein Drittel des früheren Wertes sinkt. Es zeigt sich, daß die maximale Strahlungsenergie der Strahlung von 1 ccm gleichgerichteter Strahlung gegeben ist durch



Wenn wir nun mit Hilfe eines Strahlungszyinders zwischen den Temperaturen  $T$  und  $T + dT$  einen Kreisprozeß ausführen, wobei wir mit der Strahlung genau wie mit einer verdampfenden oder kondensierenden Flüssigkeit umgehen können, so muß die Beziehung  $dA = Q \frac{dT}{T}$ , worin  $dA$  die gewonnene äußere Arbeit und  $Q$  die unter Arbeitsleistung dem Wärmebehälter mit der Temperatur  $T + dT$  entzogene Wärme bedeutet, uns das gesuchte Strahlungsgesetz liefern. Wir beachten, daß nach dem vorigen die mit Leistung äußerer Arbeit dem oberen Wärmebehälter entzogene Wärme um  $\frac{1}{4}$  größer ist, als sie ohne dieselbe wäre. Bezeichnen wir letztere mit  $S$  — es ist dies im Kreisprozeß der Energieinhalt des mit Strahlung erfüllten Zylinders bei der Temperatur  $T + dT$  —, so ist  $Q = S + \frac{1}{3}S = \frac{4}{3}S$ . Andererseits ist  $A = \frac{1}{3}S$ ,  $dA = \frac{1}{3}dS$ ; damit wird:

$$\frac{1}{3}dS = \frac{4}{3}S \frac{dT}{T}$$

oder

$$d \ln S = 4 d \ln T$$

und integriert

$$S = \sigma T^4,$$

worin  $\sigma$  eine Konstante bedeutet.

2. Die Energiekurve der Strahlung hat eine bergförmige Gestalt. Ihr Maximum verschiebt sich mit der Temperatur nach den kürzeren Wellenlängen, wovon die nebenstehende Figur 4 eine Vorstellung gibt.

In bezug auf das Energiemaximum und seine Verschiebung sind von W. WIEN die beiden folgenden Sätze hergeleitet worden: Das Produkt aus der Wellenlänge maximaler Strahlung und der absoluten Temperatur ist konstant. Die Intensität der Wellenlänge maximaler Strahlung dividiert durch die fünfte Potenz der absoluten Temperatur ist konstant. Also:

$$\lambda_m T = C_1 \text{ und } J_m T^{-5} = C_2,$$

wenn  $T$  die absolute Temperatur und  $\lambda_m$  die Wellenlänge der maximalen Intensität  $J_m$  bedeutet. Diese Gesetze, die zur Ermittlung von Temperaturen aus bolometrischen Bestimmungen von größtem Werte sind, haben PASCHEN<sup>1</sup> und LUMMER und PRINGSHEIM<sup>2</sup> für die schwarze Strahlung mit vortrefflicher Genauigkeit bestätigt gefunden. Die letzteren Autoren fassen ihre Versuche in folgende Tabelle zusammen:

| $T$ abs. | $\lambda_m$ in $\mu$<br>gemessen | $J_m$<br>in willkür-<br>lichem Maße | $C_1 = \lambda_m T$ | $C_2 = \frac{J_m}{T^5}$ | $T$<br>berechnet | Diff.<br>Grad |
|----------|----------------------------------|-------------------------------------|---------------------|-------------------------|------------------|---------------|
| 1646     | 1,78                             | 270,6                               | 2928                | 2246                    | 1653,5           | + 7,5         |
| 1460,4   | 2,04                             | 145,0                               | 2979                | 2184                    | 1460             | - 0,4         |
| 1259     | 2,35                             | 68,8                                | 2959                | 2176                    | 1257,5           | - 1,5         |
| 1094,5   | 2,71                             | 34,0                                | 2966                | 2164                    | 1092,3           | - 2,2         |
| 998,5    | 2,96                             | 21,50                               | 2956                | 2166                    | 996,5            | - 2,0         |
| 908,5    | 3,28                             | 13,66                               | 2980                | 2208                    | 910,1            | + 1,6         |
| 723      | 4,08                             | 4,28                                | 2950                | 2166                    | 721,5            | - 1,5         |
| 621,2    | 4,53                             | 2,026                               | 2810                | 2190                    | 621,3            | + 0,1         |
|          |                                  |                                     | Mittel: 2940        | 2188                    |                  |               |

<sup>1</sup> Sitz. Ber. Akad. Wiss. Berl. 1899. 405, 959. — <sup>2</sup> Verh. deutsch. phys. Ges. 1. 23 215. 1899; 2. 163. 1900.

Mit Hilfe der Konstante  $C_1 = 2940$  und der Wellenlänge des Energie maximums der Sonnenstrahlung, das nach LANGLEY im Gelbgrün liegt bei  $\lambda = 0,5 \mu$  ergibt sich die Temperatur der Sonne zu  $T = 5880^\circ$  abs., während wir aus der Solarkonstante und der Konstante des STEFANSchen Gesetzes  $6250^\circ$  abs. erhalten hatten, so daß man für die Sonnentemperatur im Mittel  $6000^\circ$  abs. annehmen kann.

Es ist bemerkenswert, daß die größte Empfindlichkeit des Auges in der Gegend des Maximums der Sonnenstrahlung liegt (im Gelbgrün) und daß ferner diese Strahlen das Chlorophyll die größte photochemische Empfindlichkeit besitzt. Die Beziehung  $\lambda_m T = 2940$  belehrt uns darüber, daß der Gipfel der Strahlungskurve zwischen den Temperaturen  $3700^\circ$  und  $7400^\circ$  abs. in das sichtbare Spektrum fällt.

Die in Rede stehenden beiden Gesetze, die „Verschiebungssätze“, sind von W. WIEN<sup>1</sup> thermodynamisch abgeleitet worden durch Betrachtung der Vorgänge im Strahlungszylinder bei adiabatischer Verdichtung der in ihm befindlichen Strahlung durch Bewegung eines spiegelnden Stempels. Durch Hinzuziehung des Prinzips von DOPPLER, wonach jede Wellenlänge durch Reflexion an einer gegen die Strahlungsquelle bewegten Fläche in berechenbarer Weise verkürzt wird, findet sich, daß jeder Wellenlänge bei der Temperatur  $T$  eine nach violett verschobene entspricht bei der höheren Temperatur  $T'$ . Die quantitative Verfolgung der hierdurch angedeuteten Beziehung, auf welche hier nur verwiesen werden kann, führt zu den beiden dargelegten Sätzen.

Fragt man, wie nahe die Strahlung wirklicher, quasi schwarzer Körper der vollkommen schwarzen Strahler kommt, für den allein die WIENSchen Sätze gelten können, so geben die Untersuchungen PASCHENS<sup>2</sup> an Platin, Eisenoxyd, Kupferoxyd, Ruß und Kohle die Auskunft, daß die Gesamtstrahlung ( $S$ ) etwas schneller als die vierte Potenz und die Strahlung der Wellenlänge maximal Intensität ( $J_m$ ) etwas schneller als die fünfte Potenz der Temperatur anwächst, während die Beziehung  $\lambda_m T = \text{konst.}$  für die genannten Stoffe Gültigkeit behält. Für blankes Platin, das sich unter den genannten Stoffen am weitesten vom schwarzen Körper entfernt, hat die Konstante nach LUMMER und PRINGSHEIM den Wert 2630, der von dem für den schwarzen Strahler gültigen 2940 nur um etwa 9% abweicht. Da nun die Emission der Kohle zwischen der des Platins und des schwarzen Strahlers liegt, so ist man berechtigt, anzunehmen, daß sich für die Temperatur von Flammen, deren Emission durch glühende Kohle bewirkt wird, Maximal- und Minimalwerte ergeben werden, wenn an ihrer bolometrischen Strahlungskurve mit  $\lambda_m T = 2940$  und  $\lambda_m T = 2630$  die Temperatur bestimmt wird. So erhält man für einige gebräuchliche Lampen die folgenden Temperaturen:<sup>4</sup>

|                         | $\lambda_m$ | Absolute Temperatur |      | Mittelwerte<br>in $^\circ\text{C}$ |
|-------------------------|-------------|---------------------|------|------------------------------------|
|                         |             | Max.                | Min. |                                    |
| Bogenlampe . . . . .    | $0,7 \mu$   | 4200                | 3750 | 3700                               |
| Acetylenlampe . . . . . | $1,0 \mu$   | 3000                | 2700 | 2550                               |
| Glühlampe . . . . .     | $1,4 \mu$   | 2100                | 1875 | 1700                               |
| Kerze . . . . .         | $1,5 \mu$   | 1960                | 1750 | } 1500                             |
| Argandlampe . . . . .   | $1,55 \mu$  | 1900                | 1700 |                                    |

Während die Energiekurven der Strahlung dieser Körper derjenigen des schwarzen Strahlers ganz ähnlich sind, muß man bei Körpern mit selektiver

<sup>1</sup> WIED. Ann. 52. 132. 1894. — <sup>2</sup> WIED. Ann. 58. 455. 1896; 60. 662. 1897.  
<sup>3</sup> Verh. deutsch. phys. Ges. 1. 230. 1899. — <sup>4</sup> Vergl. LUMMER, Ziele der Leuchttechnik München. 1903.



Reflexionsvermögen (Quarz) oder selektivem Absorptionsvermögen (seltene Erden) auf größere Abweichungen stoßen, worauf weiter unten zurückzukommen sein wird. Immer aber muß bei gegebener Temperatur die Strahlungskurve eines farbigen Strahlers innerhalb der des schwarzen liegen, soweit es sich um Wärmestrahlung handelt, Lumineszenz also ausgeschlossen ist.

Die Theorie der schwarzen Strahlung erhält ihren Abschluß, wenn es gelingt, eine Formel herzuleiten, welche den Zusammenhang zwischen der Strahlungsintensität und der Wellenlänge für alle Temperaturen darstellt und somit die ganze Schaar von Strahlungskurven, welche der Reihe der Temperaturen entspricht, wiedergibt. Die erste brauchbare Formel dieser Art hat W. WIEN im Anschluß an seine Verschiebungssätze abgeleitet, doch gab dieselbe den Verlauf der Strahlungskurven im Gebiete der langen Wellen unvollkommen wieder. Durch verwickelte Betrachtungen kam darauf PLANCK<sup>1</sup> zu einer Verbesserung der Formel, welche dieselbe von ihrem früheren Mangel befreit.<sup>2</sup> Die Formel lautet:

$$J = \frac{a \lambda^{-5}}{e^{\frac{b}{\lambda T}} - 1}$$

$a$  und  $b$  sind zwei empirisch zu bestimmende Konstante,  $e$  die Basis der natürlichen Logarithmen,  $J$  die mittlere Energie der Emission beliebiger Wellenlänge zwischen  $\lambda$  und  $\lambda + d\lambda$  bei der absoluten Temperatur  $T$ . Man erkennt, daß bei jeder Temperatur  $J = 0$  wird für  $\lambda = 0$  und  $\lambda = \infty$ ; im übrigen emittiert der schwarze Strahler bei jeder Temperatur alle Wellenlängen, wenn auch zum Teil nahezu unendlich schwach. Man kann nun offenbar aus dieser Formel die Temperaturen berechnen, die wachsenden Intensitäten einer bestimmten Wellenlänge entsprechen, und so eine Temperaturbestimmung auf Spektralphotometrie gründen. Hierzu führen wir die PLANCK'sche Formel zunächst in die einfachere WIEN'sche Formel über, in die sie für kleine Wellenlängen, auf die es hier allein ankommt, übergeht. Durch Multiplikation des Zählers und Nenners mit  $e^{-\frac{b}{\lambda T}}$  entsteht:

$$J = a \lambda^{-5} \cdot e^{-\frac{b}{\lambda T}} \left( \frac{1}{1 - e^{-\frac{b}{\lambda T}}} \right)$$

Der Klammerausdruck ist für alle praktisch vorkommenden Temperaturen im Gebiet der sichtbaren Strahlung sehr nahe gleich eins, so daß er vernachlässigt werden kann. Durch Logarithmieren erhält man sodann:

$$\ln J = \ln a - 5 \ln \lambda - \frac{b}{\lambda T}$$

und für das Verhältnis der Helligkeiten  $J_1$  und  $J_2$  der Wellenlänge  $\lambda$  bei den Temperaturen  $T_1$  und  $T_2$ :

$$\ln \frac{J_1}{J_2} = \frac{b}{\lambda} \left( \frac{1}{T_2} - \frac{1}{T_1} \right)$$

Die Konstante  $b$  hat den Wert 14600. Derselbe ergibt sich aus der PLANCK'schen Formel durch Bildung des Differenzialquotienten  $\frac{dJ}{d\lambda}$ , der für  $\lambda_m$  Null wird, zu  $b = 4,965 \cdot \lambda_m \cdot T = 4,965 \cdot 2940 = 14600$ .

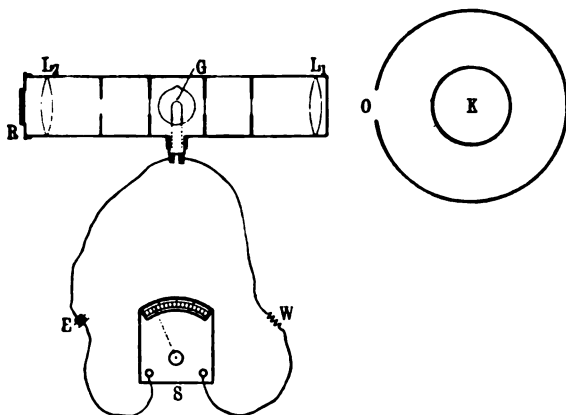
Die optischen Pyrometer beruhen nun darauf, daß man in einem zu wählenden Spektralgebiet die Helligkeit  $J_1$  eines schwarzen Körpers, der auf eine

<sup>1</sup> Verh. deutsch. phys. Ges. 2. 202. 1900. — <sup>2</sup> Vergl. RUBENS u. KURLBAUM, Sitz. Ber. Akad. Wiss. Berlin. 1900. 929.

bekannte und reproduzierbare Temperatur eingestellt wird (eine elektrische Glühlampe), photometrisch vergleicht mit der Helligkeit  $J_2$  eines glühenden Körpers oder Ofenraumes auf der zu bestimmenden Temperatur  $T_2$ . Nach der angegebenen Formel läßt sich diese sofort berechnen.

Das nach diesen Grundsätzen konstruierte optische Pyrometer von WANNE hat die folgende Einrichtung<sup>1</sup>: Durch den Spalt eines Spektroskopes mit gerader Durchsicht dringt Licht einer kleinen, auf bestimmte Helligkeit gestellten, Glühlampe und Licht von dem Ofen, dessen Temperatur bestimmt werden soll. Von den beiden Spektren schneidet man dann zweckmäßig schmale Teile im Rot zur Beobachtung aus und vergleicht deren Helligkeiten mit Hilfe von zwei drehbaren Nicols.

Ein noch einfacheres Instrument ist das neuerdings von KURLBAUM<sup>2</sup> angegebene optische Pyrometer. „Die Wirkungsweise desselben soll an der Hand des nachstehenden Schemas Figur 5 erörtert werden.



Figur 5.

Ein Körper  $K$ , dessen Temperatur bestimmt werden soll, befindet sich in einem Ofen mit der Öffnung, durch welche der Körper betrachtet werden kann. Das Pyrometer selbst besteht wesentlich aus einem Fernrohr, dessen Objektivlinse auf das Loch des Ofens gerichtet ist. Diese Linse erzeugt ein Bild des glühenden Körpers  $K$  an der Stelle, wo sich der Kohlebügel der Glühlampe befindet. Der Beobachter

welcher durch das rote Glas  $R$  und die Okularlinse  $L_2$  blickt, sieht daher zunächst den schwarzen Kohlebügel der Glühlampe auf leuchtend rotem Grunde. Es kann nun die Glühlampe durch einen Strom, welcher von der Elektrizitätsquelle  $E$  kommt, geheizt werden, und zwar kann der Strom, welcher auch durch den Strommesser  $S$  passiert, mit Hilfe des Regulierwiderstandes  $W$  so reguliert werden, daß die Glühlampe eben so hell erscheint, wie der leuchtende Hintergrund. In diesem Falle wird der Kohlebügel der Glühlampe unsichtbar, da er sich vom Hintergrunde nicht mehr abhebt.“

Man hat nun noch den Strommesser  $S$  mit Hilfe eines Thermoelementes auf Temperaturen zu eichen, um das Instrument gebrauchsfertig zu machen.

Die Messung hoher Temperaturen ist damit zu einer sehr bequemen und genauen Operation geworden. Festzuhalten bleibt aber, daß die Angaben des optischen Pyrometers zunächst nur für die Strahlung von Hohlräumen, d. h. für die schwarze Strahlung richtig sind.<sup>3</sup>

Wesentlich abweichend von der Strahlungskurve schwarzer Körper ist diejenige des AUERSCHEN Glühstrumpfes, wie aus der folgenden von LECHATELIER und BOUDOUARD<sup>4</sup> gegebenen Tabelle hervorgeht. — Dieselbe wurde so erhalten, daß die Lötstelle eines Platin-Platinrhodium-Thermoelementes mit den nachstehenden Substanzen bestrichen und jeweils in die gleiche Zone derselben Bunsenflamme

<sup>1</sup> Vergl. die Beschreibung des Instrumentes in der Zeitschr. angew. Chem. 1902. 715.

<sup>2</sup> Vergl. DRUDES Ann. 10. 225. 1903. — <sup>3</sup> Vergl. über die photometr. Messung der Temperatur, LUMMER, Ziele der Leuchttechnik, München, 1903. — HABER, Thermodynamik der Gaskreaktionen, München, 1905. — <sup>4</sup> Compt. Rend. 126. 1861.



gebracht wurde. Dann las man die Temperatur ab und bestimmte mit dem Spektralphotometer die Strahlung in Rot, Grün und Blau im Vergleich mit der des schmelzenden Platins, die für alle Strahlen gleich 100 gesetzt wurde.

|  | Temp. | Rot  | Grün | Blau |
|--|-------|------|------|------|
| Thor-Cer-Körper                          | 1380° | 7,0  | 12,5 | 12,5 |
| ThO <sub>2</sub> . . . . .               | 1290° | 1,45 | 1,4  | 0,3  |
| CeO <sub>2</sub> . . . . .               | 1110° | 1,9  | 0,7  | 0,15 |
| Pt . . . . .                             | 1290° | 8,5  | 4,0  | 1,4  |
| Fe <sub>2</sub> O <sub>4</sub> . . . . . | 1080° | 1,5  | 0,48 | 0,1  |

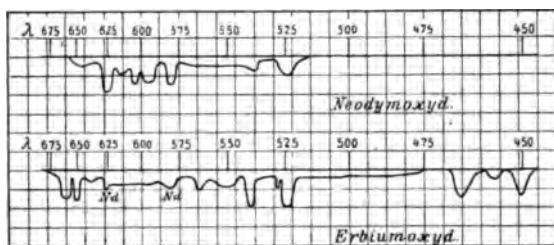
Aus dieser Zusammenstellung ergibt sich zuerst, daß der Thor-Cer-Körper um 300° heißer wird, als unter den gleichen Umständen ein schwarzer Körper, wie das magnetische Eisenoxyd annähernd einer ist. Sodann fällt auf, daß die Strahlungsintensität von Rot nach Blau beim Eisenoxyd, Platin und Cerdioxid in normaler Weise stark abnimmt, während dieselbe beim Thoroxyd in dem ganzen Bereiche des Spektrums ungefähr gleich bleibt und beim Thor-Cer-Körper sogar umgekehrt von Blau nach Rot abnimmt.<sup>1</sup> Man wird annehmen dürfen, daß die Abnahme der Strahlungsintensität des Thor-Cer-Körpers sich in das Infrarot fortsetzt, während sie für die schwarzen Körper in dieser Spektralregion gerade am größten wird. Dadurch erklärt sich dann die hohe Temperatur, die jener in der Bunsenflamme annimmt. Denn die Temperatur, bei der für einen glühenden Körper Gleichgewicht eintritt zwischen dem Wärmegewinn von seiten der Flamme und dem Wärmeverlust durch Strahlung, wird um so höher liegen, wenn statt eines annähernd schwarzen Körpers, etwa Kohle, ein solcher vorliegt, der im Infrarot wenig Strahlen aussendet. Die besondere Leuchtkraft des AUERSCHEN Glühstrumpfes ist hiermit auf seine spezifische Farbigkeit zurückgeführt.

Neuerdings ist die geringe Emission des Thor-Cer-Körpers im Ultrarot durch die bolometrische Aufnahme seiner Strahlungskurve durch RUBENS<sup>2</sup> evident gemacht worden. Nur für sehr langwellige Strahlen ist das Strahlungsvermögen wieder groß. RUBENS hat auch die Temperatur des Auerstrumpfes bestimmt, indem er durch geeignetes Zusammenstellen einer Anzahl Brenner einen Hohlraum schuf, in dem schwarze Strahlung herrschte. Dabei ergab sich durch Anwendung der Gesetze schwarzer Strahlung eine Temperatur von rund 1600°C. Dieselbe erscheint etwas niedrig, verglichen mit der Temperatur der Argandlampe und Glühlampe. Doch muß man bedenken, daß die Helligkeit mit der Temperatur ungeheuer rasch ansteigt, so daß ein Temperaturunterschied von 100° schon einen sehr bedeutenden ökonomischen Vorteil verschafft. Was die rein chemische Frage betrifft, wieso die Strahlungskurve des AUERSCHEN Glühstrumpfes so sehr von derjenigen abweicht, welche sich nach der Mischungsregel aus den Strahlungskurven der Komponenten ergeben würde, so kann man hier, ähnlich wie beim Stahl, den Begriff der festen Lösung heranziehen, um die Abweichung vom additiven Verhalten zu erklären, wenn es auch vorläufig ausgeschlossen erscheint, durch geeignete Versuche beim Glühstrumpf nachzuweisen, ob derselbe wirklich den Lösungsgesetzen gehorcht oder nicht. Eigentümlich ist, daß die Leuchtkraft des Thor-Cer-Körpers ein Maximum hat bei einem Gehalt von 0,9% CeO<sub>2</sub>.<sup>3</sup> Dies erinnert ebenfalls an entsprechende Verhältnisse beim Stahl. Man hätte sich vorzustellen, daß jeder weitere Zusatz von Cerdioxid im Thoroxyd nicht mehr gelöst enthalten, sondern bloß darin mechanisch verteilt wäre und wie ein Fremdkörper die Leuchtkraft dadurch beeinträchtigte, daß er

<sup>1</sup> Dasselbe wurde auch von NERNST und BOSE beobachtet. Vergl. Physikal. Zeitschrift. 1. 291. — <sup>2</sup> Phys. Zeitschr. 6. 790, 1905. — <sup>3</sup> DROSSBACH, Journ. f. Gasbel. 41. 253.

im Infrarot bedeutend strahlte und so den Glühstrumpf verhinderte, die Temperatur anzunehmen, die er zu seiner vollen Lichtentwicklung braucht.

Eine noch eigentümlichere Lichtentwicklung weisen die Oxyde der bunten seltenen Erden auf. Man überzeugt sich davon am leichtesten, wenn man sie



Figur 6.

Emission von Neodym- und Erbiumoxyd.

Man erkennt die eigentümliche selektive Emission dieser Oxyde, welche zu einer Art Bandenspektrum Veranlassung gibt und sich auch dadurch kennt macht, daß die Gesamtfarbe des Lichtes des Erbinstrumpfes grün, die des Neodymstrumpfes orangegelb ist. Bemerkenswert ist, daß einige der Emissionsbanden der Oxyde näherungsweise mit den Absorptionsbanden der Lösungen ihrer Salze übereinstimmen.<sup>2</sup>

### Lumineszenz fester Körper.

Viele Körper können durch Bestrahlung mit Licht, Kathoden-, Röntgen-, Becquerel-Strahlen, sowie durch chemische und mechanische Vorgänge, durch Kristallisation, Lösung, Zerreiben, Zerschlagen und durch mäßiges Erwärmen dazu angeregt werden, Licht auszustrahlen. Diese von der Wärmeemission unterscheidende Strahlung heißt Lumineszenz. Die durch Bestrahlung zur Lumineszenz angeregten Substanzen behalten diese Eigenschaft nach Aufhebung der Bestrahlung meist noch kürzere oder längere Zeit bei: sie „phosphoreszieren“.

Die Lumineszenz nach Bestrahlung mit Licht oder mit Kathodenstrahlung zeigt sich im allgemeinen an denselben Stoffen und unterliegt ganz den gleichen Gesetzmäßigkeiten, so daß wir beide zusammen betrachten können. Die Kathodenlumineszenz pflegt intensiver zu sein, als die Photolumineszenz, entsprechend der höheren Energie einigermaßen dichter Kathodenstrahlen gegenüber Sonnenstrahlung.<sup>3</sup>

Die hauptsächlichsten Phosphore sind die Oxyde, Sulfide, Sulfate, Carbonate usw. der alkalischen Erden und der Erden, nämlich vom Calcium, Strontium, Barium, Magnesium, Zink, Aluminium, Yttrium, Lanthan. Doch hat man herausgestellt, daß diese Stoffe in ganz reinem Zustand nicht oder nur äußerst schwach lumineszieren, stark jedoch, wenn sie geringe Mengen von Metalloxyden z. B. Oxyde von Cu, Bi, Mn, Pb, Ag, Zn, Ni, Sb, Er, Nd, Pr, Pt, Fe, oder deren Sulfide oder Sulfate enthalten. Das Licht, welches sie nach Bestrahlung emittieren, besteht aus einem mehr oder minder ausgedehnten spektralen Emissionsband oder aus deren mehreren. Aus besonders zahlreichen, scharf begrenzten, glänzenden Bändern besteht die Lumineszenz, welche die farbigen seltenen Erden

<sup>1</sup> Originalzeichnung. — Ein Glühstrumpf aus dem schwarzbraunen Praseodymsuperoxid, wie er durch Verglühen des mit Praseodymnitrat getränkten Gewebes erhalten wird, hat kontinuierliche Emission. — <sup>2</sup> Vergl. BAHR und BUNSEN, Ann. d. Chem. u. Pharm. 137. 187. — <sup>3</sup> Vergl. LENARD u. KLATT, DRUDES Ann. 15. 476. 1904.

(Pr, Nd, Er) den Oxyden und Sulfaten von Calcium, Yttrium und Lanthan erteilen. Die allgemeine Erkenntnis, daß die reinen Oxyde und Sulfide nicht lumineszieren, wurde lange dadurch erschwert, daß äußerst geringe Mengen (ein Milliontel und darunter) von den farbigen Beimengungen genügen, um die Lumineszenz hervorzubringen. Die wesentliche Rolle derselben wurde für die Phosphoreszenz der Erdalkalisulfide zuerst entdeckt von EDM. BECQUEREL,<sup>1</sup> dann von LECOQ,<sup>2</sup> E. WIEDEMANN u. C. G. SCHMIDT,<sup>3</sup> LENARD u. KLATT,<sup>4</sup> E. GOLDSTEIN,<sup>5</sup> MOURELO<sup>6</sup> und DE VISSER<sup>7</sup> allgemeiner dargetan, schließlich auch für Yttrium- und Lanthanpräparate von BAUR und MARC<sup>8</sup> und für Zinksulfid („SIDOTSche Blende“) von K. A. HOFMANN u. DUCCA<sup>9</sup> nachgewiesen. Daß eine bläuliche Phosphoreszenz des reinsten Calcium- und Strontiumsulfides von Eisen herrührt und eine gewisse rosa Phosphoreszenz, die auftritt, wenn in Platingefäßen gearbeitet wird, von Platin, ist jüngst von WAENTIG<sup>10</sup> gezeigt worden.

Man stellt sich den farbigen Bestandteil, der in geringer Menge in dem leuchtfähigen Sulfid oder Oxyd vorhanden ist, in diesem gelöst vor. Dazu wird man geführt durch Erscheinungen, die als Sättigung zu deuten sind und bei der Darstellung der Leuchtsteine auffällig werden. Das Verfahren zur Herstellung leuchtender Erdalkalisulfide besteht darin, daß Erdalkalicarbonat mit Schwefel vermischt wird, das Gemenge mit einer geringen Menge einer verdünnten Lösung eines Schwermetallsalzes befeuchtet, getrocknet und geglüht wird. Vor dem Glühen setzt man zweckmäßig noch eine gewisse Menge eines „Schmelzmittels“, Natriumsulfat, Flußspat u. dergl., zu. Nun erhält man leuchtkräftige Präparate nur, wenn dieselben nach dem Glühen homogen sind. Besteht das Schwermetallsulfid neben dem Erdalkalisulfid, was sich durch graue Färbung des Präparates bemerkbar macht, so erhält man keine Lumineszenz. Um homogene Präparate zu erzielen, muß man dieselben von der Glühtemperatur rasch abkühlen (abschrecken). Hierdurch wird vermieden, daß der Schwermetallzusatz, dessen Löslichkeit mit fallender Temperatur abnimmt, sich ausscheidet. Die Verhältnisse liegen ähnlich wie beim Härten des Stahles. Bei gewöhnlicher Temperatur stellen die leuchtenden Sulfide also übersättigte feste Lösungen dar,<sup>11</sup> die sich aber erhalten, da die Abscheidungs-geschwindigkeit des Schwermetalls bei niedriger Temperatur praktisch null ist.

Der Zusatz des Schmelzmittels scheint die Herstellung der homogenen Lösung beim Glühen zu befördern.

Die leuchtenden Sulfate und Oxyde stellt man im allgemeinen durch gemeinsame Fällung der entsprechenden Lösungen her. Auch hier gibt es eine Grenze für den Gehalt der farbigen, in dem farblosen festen Lösungsmittel zu lösenden Substanz, oberhalb deren die Phosphoreszenz wegen eintretender Inhomogenität allmählich aufhört.

Für Schwefelcalcium-Phosphore geben LENARD und KLATT die optimalen Dosen zu 0,00008 CuO, 0,0013 Bi<sub>2</sub>O<sub>3</sub>, 0,08 MnO auf 1 CaO an.

Die Farbe der Phosphoreszenz ist sowohl vom Lösungsmittel, als von der gelösten Substanz abhängig. Für Calciumsulfid mit Mn liegt das Maximum des Phosphoreszenzbandes bei  $\lambda$  611, mit Cu bei  $\lambda$  511, mit Bi bei  $\lambda$  455.

Kupfer in Schwefelcalcium leuchtet blaugrün, in Schwefelstrontium gelbgrün, in Schwefelbaryum rot (KLATT und LENARD). Die Kathodenlumineszenz von Mangansulfat in CaSO<sub>4</sub> ist grün, in SrSO<sub>4</sub> hellrötlich, in BaSO<sub>4</sub> blau, in MgSO<sub>4</sub> dunkelrot, in ZnSO<sub>4</sub> rot, in Na<sub>2</sub>SO<sub>4</sub> gelbbraun, in CdSO<sub>4</sub> gelb (E. WIEDEMANN und C. G. SCHMIDT).

Am ausführlichsten untersucht ist die Lumineszenz der Sulfide von LENARD

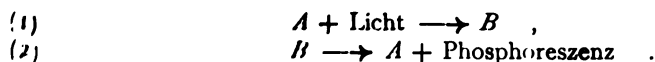
<sup>1</sup> La Lumière, Paris, 1867. — <sup>2</sup> Compt. Rend. 103—109. 1886—1889. — <sup>3</sup> Zeitschr. phys. Chem. 18. 529. 1895. — <sup>4</sup> WIED. Ann. 38. 90. 1889. — <sup>5</sup> Ebenda 60. 491. 1897; Sitz. Ber. d. Akad. d. Wiss. Berlin. 1900. 824. — <sup>6</sup> Compt. Rend. 124—129. 1897—1899. — <sup>7</sup> Rec. Trav. chim. Pays-Bas. 22. 133. 1903. — <sup>8</sup> Ber. d. deutsch. chem. Ges. 34. 2460. 1901. — <sup>9</sup> Ebenda 37. 3407. — <sup>10</sup> Zeitschr. phys. Chem. 51. 435. 1905. — <sup>11</sup> WAENTIG, l. c.



und KLATT.<sup>1</sup> Dabei ergaben sich als allgemeinste Eigenschaften der Lumineszenzbänder zunächst deren konservativer Charakter in bezug auf die Wellenlänge unabhängig von Erregungsart und Temperatur durchaus analog der Emission der Gase, vorläufig das individuelle Verhalten jedes einzelnen Emissionsbandes im Falle, daß einer Leuchtsubstanz deren mehrere zukommen. Jedem Lumineszenzband entspricht ein eigener Bereich von erregenden Strahlen, die der Leuchtstoff absorbiert. Stets sind die erregenden Strahlen brechbarer, als das Phosphoreszenzlicht (Regel von STOKES). Die erregenden Strahlen liegen meist im Ultraviolett, wenn sie bis ins Sichtbare sich ausbreiten, erhält der Leuchtstoff durch ihre Wirkung eine gelbliche Farbe (z. B. Erdaikalisulfide mit Wismut).

Alle Phosphoreszenzbänder haben eine obere Temperaturgrenze; dies ist für die einzelnen Bänder verschieden, für die beständigsten nahe der Rotglut. Die Bariumphosphore mit Blei und Wismut hören schon bei 100° C. zu leuchten auf. In der Kälte sind die Bänder schmaler, als in der Hitze.

Die auffallendste und offenbar für die Deutung der ganzen Erscheinung wichtigste Eigenschaft ist der Umstand, daß nicht nur während der Bestrahlung die Leuchtstoffe leuchten (Fluoreszenz), sondern auch nach Aufhören derselben (Phosphoreszenz). Nach Beginn der Bestrahlung braucht der Leuchtstoff eine Zeit, um zu seiner vollen Eigenemission zu kommen, um „anzuklingen“, nach Schluß der Bestrahlung braucht er wieder Zeit, um „abzuklingen“. Erfolgt An- und Abklingen symmetrisch; entweder geht beides schnell (Fluoreszenz kurz) oder beides langsam (Phosphoreszenz lang). Offenbar hat man hier mit zwei Vorgängen zu tun, Speicherung der absorbierten Strahlung einerseits und Ausgabe der gespeicherten Energie andererseits, die bei genügend langer fortgesetzter Bestrahlung zu einem stationären Zustande führen. Von einem solchen Verlauf verleiht die chemische Kinetik leicht Rechenschaft zu geben, wenn man mit R. LUTHER die Absorption von Licht durch den Leuchtstoff *A* verbunden mit einer chemischen Umwandlung in *B* und die Phosphoreszenz Begleiterscheinung der Rückumwandlung in *A*, etwa nach dem Schema:



Anhäufung des Reaktionsproduktes *B* muß den ersten Vorgang hemmen, den zweiten beschleunigen, bis der stationäre Zustand erreicht ist, in dem Zeiteinheit gleich viel *A* in *B* verwandelt wird, wie *B* in *A* zurück (oder weiter in andere Produkte *C*, *D*).

Sehr bemerkenswert ist, daß die Temperatur auf beide Vorgänge (1) und (2) von großem Einfluß ist, wie dies für chemische Vorgänge zu erwarten. Bei manchen Leuchtstoffen in der Kälte und erwärmt ihn sodann im Dunkeln tritt starkes Aufleuchten ein, entsprechend der Beschleunigung der Reaktion durch die Temperaturerhöhung. Während bei niedriger Temperatur die längere Belichtung in Form des unbeständigen Reaktionsproduktes *B* gespeicherte Energie sich erst im Verlauf mehrerer Monate allmählich verliert, kann sie beim mäßigen Erwärmen innerhalb weniger Minuten ausgetrieben werden. Es darauf an, zu untersuchen, ob die Abnahme der Phosphoreszenz mit der chemischen Exponentialgesetze folgt. Damit steht in Übereinstimmung, daß bei hoher Temperatur (um 300° C.) das Nachleuchten praktisch ausbleibt, indem hier An- und Abklingen praktisch momentan erfolgt. In der Kälte (–80° bis –180°) scheint manchmal der Vorgang (1) praktisch allein zu erfolgen, so daß wohl Absorption eintritt, aber kein gleichzeitig damit anhebendes Leuchten bemerkt. Dieses kommt (Vorgang (2)) vielmehr erst später zum Ausbruch, wenn nach Schluß der Exposition der Leuchtstoff erwärmt wird. Dies läßt sich nach LE

<sup>1</sup> PROCKS Ann. 15, 225, 425, 633, 1904.

LATT z. B. an dem blauen Phosphoreszenzband des Calciumsulfids mit Zink beobachten. In anderen Fällen, z. B. beim grünen Band des Calciumsulfids mit Wismut, hat man in der Kälte wohl Fluoreszenz während der Bestrahlung, nach derselben keine merkliche Phosphoreszenz, welche nämlich erst beim Erwärmen herauskommt. Vermutlich handelt es sich hier mehr um quantitative, als qualitative Unterschiede. In mittleren Temperaturen (Zimmertemperatur) besteht der Verlauf der Lumineszenz immer in mehr oder minder langsamem Ansteigen während der Bestrahlung bis zum stationären Zustand und in einem dazu annähernd symmetrischen Abklingen nach Schluß der Belichtung.

Versuche, die hypothetischen Zwischenprodukte *B* chemisch zu fassen, sind bis jetzt noch nicht von Erfolg.<sup>1</sup>

Die Wahrscheinlichkeit chemischer Vorgänge bei der Photolumineszenz wird durch die in weiter Verbreitung vorkommende Lichtentwicklung in chemischen Verbindungen mit chemischen Vorgängen. Das älteste und typische Beispiel dieser Erscheinung, die den Namen der Chemi- oder Reaktionslumineszenz trägt, ist das Leuchten des Phosphors bei seiner langsamen Oxydation an der Luft. Spektroskopisch erweist sich das bei Reaktionslumineszenz entstehende Licht in den bis jetzt untersuchten Fällen als kontinuierliches Band.

Fall zu Fall wechselnder Ausdehnung und Lage. Die hellste, bis jetzt beobachtete Reaktionslumineszenz ist das Leuchten beim Versetzen einer Lösung von Pyrogallol und Formaldehyd mit starkem Hydroperoxyd;<sup>2</sup> ihr Spektrum reicht von Rot bis Blaugrün mit Helligkeitsmaximum im Orange. Reaktionslumineszenz kommt bei den verschiedensten Reaktionen in Gasen und Lösungen vor; eine Zusammenstellung über alle bekannten Fälle siehe bei LATT, Studien über Chemilumineszenz.<sup>3</sup>

<sup>1</sup> Vergl. WAENTIG, Zeitschr. phys. Chem. **51**, 435. 1905. — <sup>2</sup> TRAUTZ u. SCHORIGIN, Z. f. wiss. Photogr. u. Photochem. **3**, 121. 1905. — <sup>3</sup> Zeitschr. phys. Chem. **53**, 1. 1905.

## § 4. Die Strahlung der Gase.

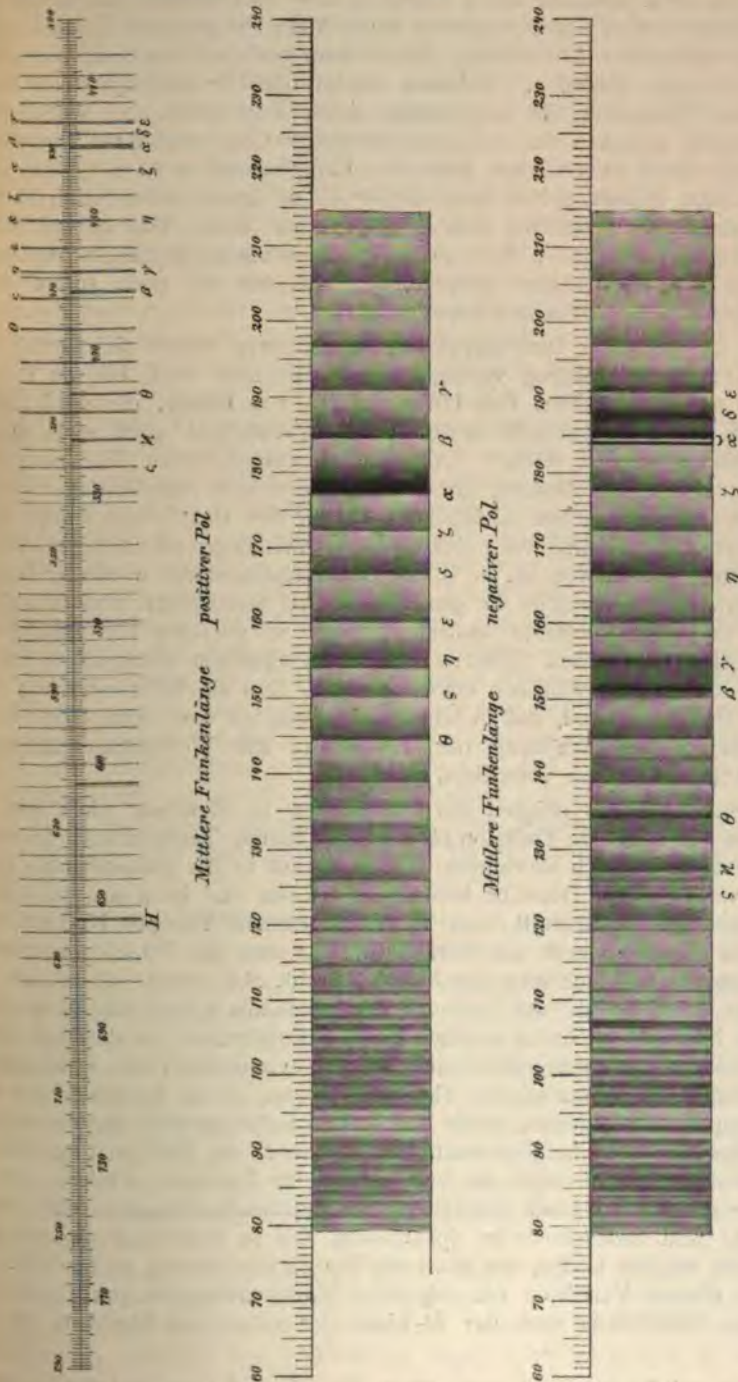
Zwischen der Emission fester und flüssiger Stoffe einerseits und derjenigen der Gase andererseits besteht ein durchgreifender, sehr auffallender Unterschied. Während jene stetig und daher für die chemische Natur der emittierenden Körper sehr wenig charakteristisch ist, treten uns in der Emission geglühter Gase ganz unetstetige Spektren entgegen, die das eigentliche Gebiet der spektralen chemischen Analyse schaffen. Es besteht das Spektrum genügend verdünnter Gase stets aus äußerst schmalen Linien, die durch annähernd völlig dunkle Zwischenräume getrennt sind. Wie aber Gase in Flüssigkeiten stetig übergeführt werden können, so findet auch bei zunehmender Verdichtung der Gase ein allmählicher Übergang statt von der Linienemission der Gase zu mehr und mehr stetiger Emission, indem die schmalen Linien sich verbreitern und ihre Ränder unscharf werden, und indem die dunklen Zwischenräume sich aufhellen.

Man unterscheidet bei glühenden Gasen zweierlei Sorten von Linienspektren: die einen heißen kurzweg „Linienspektren“, die anderen „Bandenspektren“. Unter einer „Bande“ versteht man im spektroskopischen Sinne eine Gruppe von zusammenstehenden Linien. Bandenspektren bestehen nun aus mehreren oder vielen solchen Liniengruppen. Diese Definition könnte unzureichend scheinen, wenn nicht gesagt ist, wann das enge gruppenweise Zusammenstehen gegeben ist. Tatsächlich gibt es jedoch so wenig Übergänge vom Bandenspektrum zum gewöhnlichen Linienspektrum, daß es noch nie zweifelhaft war, wie ein vorgelegtes Gasspektrum zu klassifizieren sei. Die Liniengruppen der Bandenspektren sind ihrer Stärke meist gesetzmäßig angeordnet; innerhalb einer Gruppe nimmt die Stärke nach der violetten oder roten Seite zu, so daß der Eindruck von scharf getrennten Kanten oder Kannellierungen entsteht, woran man Bandenspektren auf einem Blick erkennt. Die nebenstehende Abbildung, Figur 7, der Bandenspektrum des Stickstoffs (schlechthin der Luft), die am positiven und negativen Pol einer Funkenstrecke in Luft auftreten, vermittelt eine Vorstellung von dem typischen Aussehen eines Bandenspektrums.

Wie schon der Anblick der FRAUNHOFERschen Linien des Sonnenspektrums zeigt, sind die Emissionslinien der glühenden Gase ganz außerordentlich scharf, und die Steigerung unserer Hilfsmittel in der Vergrößerung der Dispersion konfirmiert die Homogenität der Gaslinien nur noch deutlicher zur Anschauung bringt. Man hat die Meinung ausgesprochen, die Wahrscheinlichkeit, daß die Strahlung der Gase reine Temperaturstrahlung sei, nehme um so mehr ab, je homogener das Licht der Gaslinien sich erweise.<sup>1</sup> Da aber bloße Kompression eines emittierenden glühenden Gases genügt, um seine Linien zu verbreitern und schließlich

<sup>1</sup> Vergl. LUMMER, Ziele der Leuchttechnik, München. 1903. p. 53.

ineinanderfließen zu lassen zu einem stetigen Spektrum, so sieht man nicht ein, warum die Linienemission keine reine Wärmestrahlung sein soll, wenn man nur



Figur 7.

Bandenspektren des Stickstoffs nach der Zeichnung von LECOQ DE BOISBAUDRAN. Die Kanten der Banden sind mit griechischen Buchstaben bezeichnet; ihre Wellenlängen sind aus der oben angebrachten Wellenlängenskala zu entnehmen.

ergibt, daß die stetigen Spektren solche Strahlung vorstellen, woran nicht ge-  
zweifelt wird.



Von anderer Seite her erweckt die Stärke der Linienemission der glühenden Gase Zweifel daran, ob es sich bei ihnen um reine Wärmestrahlung handeln kann, oder ob nicht vielmehr diese Emission eine Lumineszenz sei, so daß sie das KIRCHHOFFSCHE Gesetz zunächst keine Anwendung finden könnte. Gase sind ja meist sehr durchsichtig. Dieser ihrer geringen Absorption entspricht eine ebenso geringe Emission. Indessen nimmt die Durchsichtigkeit der Gase mit steigender Temperatur im allgemeinen sicher sehr rasch ab, so daß ein Widerstreit zwischen der Emission glühender Gase und ihrer Temperatur von vornherein nicht zu erblicken braucht. Experimentell steht soviel fest, daß Kohlenwasserstoffe und Wasser schon über  $1100^{\circ}\text{C.}$  so stark emittieren,<sup>1</sup> daß das Licht, das aus Banden besteht, dem Auge sichtbar wird. Das schwache Licht der Kohlenwasserstoff-, Kohlenoxyd- und Wasserstoffflammen rührt von der Emission von Kohlenwasserstoffen und Wasser her, für die nach JULIUS PASCHEN<sup>3</sup> das KIRCHHOFFSCHE Gesetz gilt.

Wenn es somit für Bandenspektren in mehreren Fällen sichergestellt ist, daß reine Temperaturstrahlung vorliegt, so konnte man doch bis vor kurzem immer noch geltend machen, daß Linienspektren von Gasen, die durch Erhitzen zum Leuchten gebracht worden wären, tatsächlich noch nicht experimentell hergestellt worden seien.<sup>4</sup> Denn bei der gewöhnlichen Herstellung von Spektren, namentlich der Metalle, durch Einbringen der betreffenden Stoffe in Flammen, in den elektrischen Lichtbogen oder in den elektrischen Funken, sind die gemutmaßten chemischen oder elektrischen Einwirkungen nicht ausgeschlossen. Inzwischen sind jedoch von A. S. KING<sup>5</sup> die Linienspektren mehrerer Metalle photographiert worden, welche in einem nach Art elektrischer Widerstand auf  $2500^{\circ}$  erhitzten Kohlerohr auftreten, wenn in dasselbe die betreffenden Metalle eingebracht werden. Die so erhaltenen Spektren entsprechen den schwachen Lichtbögen gewöhnlich erscheinenden. Daß sie Wärmestrahlung darstellen, gibt sich darin kund, daß in Übereinstimmung mit den thermodynamischen Strahlungsgesetzen bei Erhöhung der Temperatur die Wellenlänge der Strahlung nach Violett sich verschiebt.

Übrigens ist die Helligkeit der Metalllinien in Flammen nicht so groß, daß sie die schwarze Emission für die obwaltenden Temperaturen überwiegen, wie aus folgendem Versuch hervorgeht:<sup>6</sup> Man spannt in der Bunsenflamme einen Platindraht vertikal aus. Derselbe kommt ins Glühen und kann als spaltförmige Lichtquelle dienen. Verdampft man nun in derselben Flamme Kochsalz, betrachtet die Flamme durch ein Prisma, so sieht man die *D*-Linien umgeben von Platin (und somit auch der schwarze Körper) strahlt also stärker als Natriumlicht, daß man aus der Intensität des Natriumlichtes jedenfalls nicht auf Luminosität schließen braucht. Vielmehr machen gewisse Erfahrungen es durchaus wahrscheinlich, daß die Flammenspektren reine Temperaturemission sind. Dahin weist, daß die Temperatur verschiedener Flammen richtig, d. h. übereinstimmend mit direkten Temperaturmessungen, sowie mit kalorimetrischen und photometrischen Temperaturbestimmungen herauskommt, wenn sie nach der Helligkeit der *D*-Linie bestimmt wird, welche dieselbe in den betreffenden Flammen erreicht. Man stellte hinter die mit Kochsalz gespeisten nichtleuchtenden Flammen einen Lichtfaden auf und beobachtete im Spektroskop, bis zu welcher Temperatur letztere erhitzt werden mußte, um eben die Umkehrerscheinung zu bewirken, erhielt nach diesem Verfahren die folgenden Flammentemperaturen, indem die Emission des Glühfadens und der *D*-Linie der schwarzen Strahlung fi-

<sup>1</sup> HABER und RICHARDT, Z. anorg. Chem. 38. 58. — <sup>2</sup> Licht- und Wärmestrahlung verbrannter Gase, Berlin, 1890. — <sup>3</sup> WIED. Ann. 52. 209. 1894. — <sup>4</sup> Vergl. PRINGS, Arch. d. Mathem. (3) 1. 289. 1901. — <sup>5</sup> DRUDES Ann. 16. 360. 1905. — <sup>6</sup> GÜNTHER, Ann. 2. 477. 1878. — <sup>7</sup> Compt. rend. 137. 909. 1903.



betreffende Wellenlänge gleich gesetzt wird: Bunsenflamme mit voller Luftzufuhr:  $1871^{\circ}$ , mit halber Luftzufuhr  $1812^{\circ}$ , Acetylenflamme  $2548^{\circ}$ , Alkoholflamme  $1705^{\circ}$ , Knallgasflamme  $2420^{\circ}$ .

Diese Temperaturen stimmen mit den anderweitig bestimmten Flammentemperaturen (für die Bunsenflamme rund  $1800^{\circ}$  siehe weiter unten, für die Acetylenflamme rund  $2500^{\circ}$ , siehe § 3) genügend überein, um die Grundlagen der Bestimmung, nämlich die rein thermische Natur der Strahlung der Metall-dämpfe in der Flamme zu rechtfertigen.

Nach der Ansicht PRINGSHEIMS<sup>1</sup> sollte man in der Flamme Natrium und andere Metalle nur im Entstehungszustand leuchten sehen, wenn sie gerade durch die reduzierende Wirkung der Flamme aus ihren Salzen in Freiheit gesetzt worden sind. Es würde also zuerst Natrium in unbeständiger Form entstehen, das beim Übergang in die beständige Form lumineszierte. Da aber fertig gebildeter Natriumdampf, der in einer Porzellanröhre zum Glühen gebracht wird, wobei Reduktionen faktisch ausgeschlossen sind, nach PRINGSHEIMS eigenen Versuchen auch sein bekanntes Emissionsspektrum liefert, so scheint die Hypothese einer Lumineszenz in Flammen überflüssig. Neuerdings ist von FREDENHAGEN<sup>2</sup> eine der PRINGSHEIMSchen entgegengesetzte Ansicht vertreten worden, wonach der in der Flamme vorhandene Sauerstoff die Flammenspektren der Alkalien hervorbringe infolge von Reaktionslumineszenz während der Verbrennung. Nun besteht im Inneren der Bunsenflamme nach HABER und RICHARDT<sup>3</sup> Wassergasgleichgewicht, die Temperatur bewegt sich zwischen  $1500^{\circ}$  und  $1800^{\circ}$ . Aus den Dissoziationskonstanten der Kohlensäure oder des Wassers kann man die zugehörige Konzentration des Sauerstoffs berechnen. Man findet dieselbe der Größenordnung nach durchschnittlich zu  $10^{-8}$  Atmosphären. Für Natrium liegt nun zwar die Grenze der spektroskopischen Nachweisbarkeit in derselben Gegend; für alle anderen Metalle, die in bedeutend höherer Konzentration in der Flamme vorhanden sein müssen, als einem Partialdruck von  $10^{-8}$  Atmosphären entspricht, um spektroskopisch sichtbar zu sein, reicht die im Inneren der Bunsenflamme vorhandene Sauerstoffmenge aber nicht hin, so daß Oxydation als Ursache des Leuchtens so gut wie ausgeschlossen erscheint.

Soviel sich beim derzeitigen Stande des Wissens übersehen läßt, spricht bei Flammen- und Bogenspektren alles für Temperaturstrahlung, nichts für Lumineszenz.

**Herstellung leuchtender Gase.** Man unterscheidet Flammen-, Bogen-, Funkenspektren und Spektren in Entladungsröhren.

1. Flammenspektren. Flammenspektren erhält man, wenn man eine Substanz in einer Flamme, gemeinhin in der nicht leuchtenden Bunsenflamme, zum Verdampfen bringt. Praktisch kommen hier hauptsächlich Salze in Betracht. Man bewirkt die Verdampfung am einfachsten so, daß man an einem vorn zu einer Öse umgebogenen Platindraht eine Salzperle anschnilt und diese in die heißeste Zone des Bunsenbrenners hält. Gelegentlich benutzt man mit Vorteil auch Reiskohlen, die in einen dicken, wässerigen Brei der zu untersuchenden Salze getaucht und danach in die Flamme gehalten werden. Nach HAGENBACH und KONEN nimmt man dazu zweckmäßig Carbonate und Formiate, weil diese nicht zerspritzen.

Um während längerer Zeit die Flamme mit Salz zu versehen, bedient man sich passender Zerstäuber. Quantitativen Zwecken gilt die Anordnung von GOUY,<sup>4</sup> die aus nachfolgender Figur 8 ersichtlich ist. Durch  $a$  wird Luft in das Röhrchen  $b$  eingeblasen, wodurch aus  $c$  Salzlösung aspiriert wird, die sich in Form feinsten

<sup>1</sup> Rapp. Congr. Phys. Paris. 2. 122—126. 1900. — <sup>2</sup> DRUDES Ann. 20. 133. 1906.

— <sup>3</sup> Zeitschr. anorgan. Chem. 38. 1. — <sup>4</sup> Recherches photométriques sur les flammes colorées, Ann. chim. phys. (5) 18. 5. 1879.



Tröpfchen in *d* verbreitet. Die größeren Tröpfchen fallen in *d* und *c* zu Boden während die feineren mit der Luft durch *f* der Flamme zugeführt werden. Dadurch, daß man den Salzverbrauch in bestimmter Zeit feststellt, erhält man Aufschluß über die Konzentration des Salzes in der Flamme.

Eine andere für qualitative bzw. analytische Zwecke geeignete Zerstäubungsvorrichtung rührt von BECKMANN<sup>1</sup> her. Die Brenneröffnung umgibt eine kleine Porzellanschale, die mit der Salzlösung beschickt ist und in der ein Zylinder aus



Figur 8.

poröser Porzellanmasse liegt. In diese wird Luft eingepreßt, wodurch die Lösung ins Sprudeln kommt und zerstäubt wird.

Im inneren Kegel der Bunsenflamme sieht man das SWANSCHE Kohlenwasserstoffspektrum (s. d.),<sup>2</sup> ferner kommen in der Spitze der Flamme die ultraviolette Banden des Wasserdampfes<sup>3</sup> bei  $\lambda$  80 und 281 vor, während man im Infrarot Banden des Wasserdampfes und der Kohlensäure wahrnimmt.<sup>4</sup> Darauf ist gegebenenfalls Rücksicht zu nehmen.

Die Emission der Bunsenflamme sowie anderer Kohlenwasserstoffflamme gehört nach PASCHEN<sup>5</sup> den Verbrennungsprodukten, Wasser und Kohlensäure, an und entspricht einer reinen Temperaturstrahlung, wie aus der Vergleichung der bolometrisch ermittelten Emission dieser Flammen mit dem Absorptionsspektrum des Wasserdampfes und der Kohlensäure hervorgeht.

Dagegen soll der innerste grüne Kegel der Bunsen- oder vielmehr der Tecluflamme, der nicht mehr als  $\frac{1}{2}$  mm breit ist, das Swanspektrum aussenden und die eigentliche Explosionszone des Luft-Gasgemenges darstellen, nach Ansicht von HABER und RICHARDT<sup>6</sup> ein Lumineszenzspektrum sein. Denn die Zone sendet ein weit helleres Licht aus, als das der unmittelbar daran grenzende Aureole. Allein die Emission der letzteren wird durch Kohlensäure und Wasser bewirkt, während die Emission der Verbrennungszone von Kohlenwasserstoffen speziell von Methan (vielleicht auch von Äthylen und Acetylen) herrührt, welches nach TYNDALL<sup>7</sup> 4,5 mal stärker absorbiert als Kohlensäure und daher auch stärker emittieren muß, so daß die Annahme der Chemilumineszenz zunächst entbehrlich scheint. Aus demselben Grunde darf man auch nicht annehmen, daß die grüne Zone der Bunsenflamme heißer sei, weil sie heller ist, als die umgebende Aureole. Diese Annahme entfällt zudem durch den von HABER und RICHARDT<sup>8</sup> experimentell erbrachten, sehr wichtigen Nachweis, daß die Temperatur der Aureole (oder des inneren Kegels der Bunsenflamme, der Reduktionsflamme) einige Hundert Grad geringer ist als die Temperatur des äußeren Flammenmantels (der Oxydationsflamme). Sie findet sich nämlich sowohl thermometrisch, wie kalorimetrisch, wie chemisch (aus der Zusammensetzung des

<sup>1</sup> Zeitschr. physik. Chem. **35**, 340, 1900. — <sup>2</sup> EDER, Wien, Denkschr. **57**, 1890. — <sup>3</sup> LIVEING u. DEWAR, Proc. Roy. Soc. **30**, 1880. — <sup>4</sup> PASCHEN, WIED. Ann. **51**, 1, 1852, 209, 1894. — <sup>5</sup> I. c. vergl. weiter RUBENS u. ASCHKINASS, WIED. Ann. **64**, 584, 1898 sowie: JULIUS, Arch. néerl. **22**, 310, 1888, und „Die Licht- und Wärmestrahlung verbrannter Gase“, Berlin, 1890. — <sup>6</sup> Z. anorg. Chem. **38**, 53. — <sup>7</sup> Vergl. E. PRINGSHEIM, Sur le rayonnement des gaz, Rapp. Congr. Phys. Paris, 1900, **2**, p. 121. — <sup>8</sup> I. c. p. 5—52.



$\text{CO}$ ,  $\text{CO}_2$ ,  $\text{H}_2$ ,  $\text{H}_2\text{O}$  bestehenden Gases der Aureole) zu rund  $1500^\circ \text{C}$ . Die „chemische“ Temperaturbestimmung gründet sich auf den Nachweis, daß im Zwischenraum zwischen dem inneren (grünen) Flammenkegel und dem äußeren Flammensaum, in welchem die völlige Verbrennung zu Kohlensäure und Wasser stattfindet, das Wassergasgleichgewicht besteht.<sup>1</sup>

Flammen von den gewöhnlichen Dimensionen sind nicht undurchsichtig. Da die Durchsichtigkeit mit zunehmender Dicke der Flamme rasch abnimmt, so erhöht sich die Helligkeit von Spektrallinien bedeutend, wenn man nach Flammen von möglichst großer Dicke blickt. Nach ROSETTI<sup>2</sup> sind Bunsenflammen von weniger als 1 m Dicke für die von ihnen ausgesandten Wellenlängen bereits vollständig undurchsichtig, strahlen also dann bereits so wie der schwarze Körper.

Die Temperatur des heißesten Teiles der Bunsenflamme, nämlich der äußeren Oxydationszone, ergibt sich, gemessen mit Thermoelementen, nach Extrapolation auf unendlich geringe Dicke der Drähte zu  $1785^\circ \text{C}$ .<sup>3</sup> welcher Wert allerdings hinter der wirklichen Temperatur noch etwas zurückbleiben möchte. Ebenfalls nur eine untere Grenze für diese liefert die Bemerkung BUNTES,<sup>4</sup> daß man einen haarfeinen Platindraht in der Bunsenflamme zum Schmelzen bringen kann, was einer Temperatur von etwa  $1800^\circ \text{C}$ . entspricht, da der Schmelzpunkt des Platins bei  $1780^\circ$  liegt.

Benötigt man zum Verdampfen der zu untersuchenden Substanzen höhere Temperatur, so steht die Knallgasgebläseflamme zur Verfügung. Doch findet sie nicht viel Anwendung, da das Einbringen der Substanzen in die Flamme gewisse Schwierigkeiten macht. Sie hat mit der Bunsenflamme den Vorteil gemein, fast lichtlos zu sein; im Spektrum dieser Flamme kommen nur im Ultraviolett die Wasserbanden vor. Die im Knallgasgebläse zu erhaltenden Spektren nähern sich sehr denen des elektrischen Lichtbogens, sind aber frei von dessen störenden Kohlenstoffbanden. — Sehr hohe Temperatur haben auch nicht leuchtende Acetylenbrenner und Sauerstoffleuchtgasflammen. Solche sind neuerdings von HAGENBACH und KONEN bei der Herstellung ihres Atlases mit Vorteil verwendet worden, da diese Flammen, wie Gebläseflammen, horizontal gestellt werden können, so daß man die zu verdampfenden Substanzen als Pulver bequem von oben in die Flamme einstreuen kann. Man gewinnt nebenbei den Vorteil, in Richtung der Flammenachse beobachten zu können, wobei wegen der größeren Schichtdicke vermehrte Lichtstärke erzielt wird.

Kühle Flammen erhält man, wenn man dem brennbaren Gasgemisch indifferente Gase, wie Stickstoff oder Kohlensäure, in größerer Menge beimischt. Flammen mit beliebig niedrigen Temperaturen kann man durch Entzündung von Gemischen von Schwefelkohlenstoff mit Luft<sup>5</sup> herstellen.

Die niedrigste Temperatur, bei der man in Schwefelkohlenstoffflammen die Natriumlinie sieht, liegt nach PRINGSHEIM bei  $1300^\circ \text{C}$ . Entzündet man die Dämpfe, die aus einer flachen mit Schwefelkohlenstoff beschickten Schale sich entwickeln, so erhält man eine wohl sichtbare Flamme, deren Temperatur nur etwa  $150^\circ$  beträgt. Die Emission dieser Flamme gehört daher sicher in das Gebiet der chemischen Lumineszenz, ebenso wie die Leuchterscheinung von Gemischen von Brom und Ammoniak, Chlor und Acetylen.<sup>6</sup>

Die Spektren brennbarer Gase können manchmal in ihren Flammen beobachtet werden, häufig erhält man jedoch auf diesem Wege stetige Spektren, offenbar wegen zu großer Dichte der in den gewöhnlichen Flammen glühenden

<sup>1</sup> Zu diesem Gleichgewicht gehören außer  $\text{CO}$ ,  $\text{CO}_2$ ,  $\text{H}_2$ ,  $\text{H}_2\text{O}$  noch kleine, analytisch jedoch sicher erkennbare Mengen von Methan und Formaldehyd. — <sup>2</sup> Ann. chim. phys. (5) 18. 457. — <sup>3</sup> MC. CRAE, WIED. ANN. 55. 95. 1895 und WAGGENER, WIED. ANN. 58. 579. 1896; vergl. auch HABER, Thermodynamik der Gasreaktionen. München. 1905. p. 280. — <sup>4</sup> Journ. f. Gasbel. 1898. 20. — <sup>5</sup> PRINGSHEIM, WIED. ANN. 49. 347. 1893. — <sup>6</sup> Vergl. TRAUTZ, Zeitschr. phys. Chem. 53. 1. 1905.



Gase. Brennendes Cyan gibt das Bandenspektrum des Cyans; Ammoniak, mit Wasserstoff oder Leuchtgas zusammen verbrannt, gibt das Bandenspektrum des Ammoniaks. Dagegen kann z. B. das Spektrum des Wasserstoffs auf diese Weise nicht erhalten werden, sondern nur dasjenige des Wassers.<sup>1</sup>

Die Empfindlichkeit des spektroskopischen Nachweises eines Metalles durch Verdampfen seiner Salze in der Bunsenflamme ist häufig ungeheuer groß, wie die nachfolgende Tabelle zeigt.

Es sind spektroskopisch noch erkennbar nach KIRCHHOFF und BUNSEN,<sup>2</sup> wenn in dem von der Flamme eingenommenen Raum enthalten sind:

|  |                           |
|--|---------------------------|
| $\frac{1}{60\,000}$ mg Li                  | $\frac{1}{25\,000}$ mg Cs |
| $\frac{1}{14\,000\,000}$ mg Na             | $\frac{1}{50\,000}$ mg Ca |
| $\frac{1}{3000}$ mg K                      | $\frac{1}{30\,000}$ mg Sr |
| $\frac{1}{7000}$ mg Rb                     | $\frac{1}{2000}$ mg Ba    |
| $\frac{1}{2000}$ mg Jn (nach CAPPEL)       |                           |
| $\frac{1}{100\,000}$ mg Tl (nach CROOKES). |                           |

Die Empfindlichkeit ist verschieden, je nach der Art des Salzes, da es auf die Verdampfbarkeit desselben ankommt. Nach KIRCHHOFF und BUNSEN sind die Chloride am geeignetsten. Es empfiehlt sich daher, die zu untersuchende Salzperle, wenn sie teilweise oxydisch ist, mit Salzsäure zu befeuchten.

Da sämtliche Salze des Natriums in der Flamme dasselbe Spektrum geben, so folgt, daß dasselbe von dem den verschiedenen Salzen gemeinsamen Bestandteil, nämlich dem Natrium, herrührt. In der Tat gibt der glühende Dampf des Natriums für sich allein dasselbe Spektrum (bei mäßigen Temperaturen die beiden Linien  $D_1$  und  $D_2$  des Sonnenspektrums).

Es gilt aber nicht allgemein, daß in den Flammenspektren die Linien des Metalles auftreten, vielmehr werden vielfach daneben oder auch ausschließlich die Spektren der Salzdämpfe und diejenigen der Oxyde gesehen, wie MITSCHERLICH<sup>3</sup> nachwies. Z. B. sind die Spektren der Chloride der alkalischen Erden in der Bunsenflamme ein Gemisch aus den Metall- und Oxydspektren, während die Halogensalze des Kupfers darin nur die Spektren von bezw. Chlor-, Brom-, Jodkupfer geben.

Die Metalle mögen in der Flamme teils durch die Dissoziation des Salzdampfes entstehen, z. B. bei Chlornatrium nach der Gleichung:  $\text{NaCl} = \text{Na} + \text{Cl}$ . Hiermit steht im Zusammenhang, daß die Metalllinien in Flammen, denen man Salzsäure oder Salmiak zuführt, abgeschwächt werden (MITSCHERLICH) wegen der Zurückdrängung der Dissoziation nach den Grundsätzen der Massenwirkung. Zum anderen Teil rührt aber das Metall von der Reduktion des Salzes her durch den Wasserstoff der Flamme. Diese Reduktion kann man außerhalb der Flamme durch folgenden Versuch erkennen (PRINGSHEIM):<sup>4</sup> Ein Porzellanrohr wird mit einem Natrium-Salz beschickt, mit Luft, Stickstoff oder Kohlensäure gefüllt, vorn und hinten mit Glimmerblättchen verschlossen und auf  $1060^\circ$  erhitzt. Dann sieht man weder in Emission, noch in Absorption die  $D$ -Linien. Wird aber in das Rohr Wasserstoff oder Leuchtgas eingefüllt, so treten dieselben auf, offenbar deswegen, weil Natriumdampf entstanden ist. Die Natriumlinien werden auch gesehen, wenn das Rohr mit Luft gefüllt ist und neben dem Salz Eisen, Koh-

<sup>1</sup> Über Flammenspektren siehe H. C. DIBBITS, POGG. Ann. 122. 497. 1864. — I. Wasserstofflinien sind übrigens in der Konverterflamme beim Bessemerprozeß gesehen worden HARTLEY, Phil. Trans. 185 A. 1041. — <sup>2</sup> POGG. Ann. 110. 161. 1860; 113. 337. 1861.

<sup>3</sup> POGG. Ann. 116. 499. 1862 und 121. 459. 1864. Vergl. auch LOCKYER, Phil. Trans. 16 639. 1873. — <sup>4</sup> WIED. Ann. 45. 428. 1892. PRINGSHEIM hat diesen Versuch anders interpretiert. Vergl. die Kritik KAYERS: Handbuch der Spektroskopie. 2. p. 150. 1902.

oder Aluminium als Reduktionsmittel angewandt werden. Ebenso erscheinen dieselben, wenn in der Röhre metallisches Natrium verdampft wird. — Vermindert man die reduzierende Wirkung der Flamme durch Einleiten von Chlor oder Chloroform, so werden die Metalllinien geschwächt (MITSCHERLICH), was im Sinne der dargelegten Auffassung ist.

Aus der anscheinend elektrolytischen Leitfähigkeit der mit Salzen gespeisten Flammen schließt man, daß die Salze in den Flammen außerdem bis zu einem gewissen Grade elektrolytisch dissoziiert, in ihnen also auch (elektrolytische) Ionen vorhanden seien. Vorübergehend schien es, als ob zwischen der Ionenkonzentration, genauer gesagt: zwischen der Leitfähigkeit der Flammen, und der Helligkeit der Spektrallinien ein einfacher Zusammenhang stattfinde,<sup>1</sup> jedoch hat sich dies später nicht bestätigt, so daß es also wahrscheinlich nicht Ionen sind, welche in der Flamme leuchten.<sup>2</sup>

2. Bogenspektren. Zur Verdampfung der schweren Metalle und ihrer Salze ist die Temperatur der Bunsenflamme nicht hoch genug. Um die Spektren von deren Dämpfen zu beobachten, muß man daher den elektrischen Lichtbogen oder den Induktionsfunken anwenden. Aber auch die Spektren der Leichtmetalle erscheinen im Lichtbogen verändert, indem einesteils die Banden der Verbindungen verschwinden, andernteils neue Metalllinien auftreten, welche in der Flamme wegen zu großer Lichtschwäche nicht gesehen werden.

Zur Untersuchung im Bogen eignen sich namentlich die Metalle, sei es in reiner Form oder in Gestalt ihrer Salze. Die Metalloide sind in elementarer Form zur Untersuchung im Bogen meist ungeeignet, weil sie zu niedrig siedend, wodurch die Dampfentwicklung zu rapid wird. Wendet man sie aber in Form von Salzen an, so kommt merkwürdigerweise nur das betreffende Metallspektrum zur Entwicklung. Wenn man den Grund für dieses Verhalten aufklären könnte, würde man wohl zugleich erfahren, warum die Metalloide im Sonnenspektrum gänzlich zurücktreten.

Die Bogenspektren besitzen die größte Intensität im sichtbaren Spektrum, entsprechend den im Lichtbogen herrschenden Temperaturen.

Die Temperatur des Kohlebogens ist diejenige, bei der die Kohle lebhaft verdampft. Die Verdampfung findet hauptsächlich am positiven Krater statt, der sich dabei aushöhlt. Er strahlt das meiste Licht aus und es berechnet sich aus der Emission unter Benutzung der Strahlungsgesetze des schwarzen Körpers (vergl. § 3) für den positiven Krater eine Temperatur von  $3980^{\circ}\text{C}$ , bzw. von  $3480^{\circ}\text{C}$ , je nachdem man die für die Strahlung des schwarzen Körpers oder die für die Strahlung des Platins ermittelten Konstanten verwendet.<sup>3</sup> Diese Temperatur ist von der Stromstärke jedenfalls nicht sehr abhängig, dagegen kann die Temperatur im Lichtbogen selbst höher sein und zwar um so höher, je größer die Stromstärke ist.<sup>4</sup> Andererseits ist die Temperatur an der negativen Kohle um rund  $1000^{\circ}$  geringer als an der positiven. Auf ihr schlagen sich pilzförmige Höcker von Graphit nieder, die wohl als von der positiven Kohle herüber sublimierte Kohle zu betrachten sind. Entsprechend den verschiedenen Temperaturen im Bogen fallen die Spektren an den einzelnen Stellen verschieden aus, insbesondere treten in der Nähe der Kathode Banden von Oxyden, speziell beim Calcium- und Baryumspektrum, auf.

Das Spektrum des elektrischen Lichtbogens, der in Luft brennt, besteht zunächst aus dem sehr linienreichen Spektrum des Kohlenstoffs und des Cyans, welches letzteres sich aus dem Stickstoff der Luft und dem Kohledampf bildet.

<sup>1</sup> ARRHENIUS, WIED. Ann. 42. 18. 1891. — <sup>2</sup> WILSON, Proc. Roy. Soc. 65. 120. 1899 und Phil. Trans. 193A. 89. 1899. — <sup>3</sup> LUMMER u. PRINGSHEIM, Verh. deutsch. phys. Ges. 1. 215. 1899. — Neuere Bestimmungen haben für den positiven Krater  $3700^{\circ}$  absolut und für den negativen  $3140^{\circ}$  absolut ergeben. REICH, Physikal. Zeitschr. 6. 73. 1906. — <sup>4</sup> VIOLLE, Compt. Rend. 119. 949. 1894.



Außerdem treten noch zahlreiche Metalllinien auf, welche von den Verunreinigungen der Kohle herrühren. Die häufigsten darunter sind: Fe, Ca, Mn, Al, Mg, As. Dadurch wird die Untersuchung von Spektren im Lichtbogen sehr erschwert. Doch tritt glücklicherweise das Spektrum der Kohle und ihrer Verunreinigungen zurück, wenn Metalle oder deren Salze in den Bogen eingeführt werden.

Von weiteren Vorgängen im Lichtbogen ist noch die Bildung von Stickoxyd zu erwähnen durch Verbindung des Stickstoffs und Sauerstoffs der Luft. Brennt der Bogen in einer Wasserstoffatmosphäre, so bildet sich Acetylen; brennt er in Wasserstoff und Stickstoff, so erhält man Blausäure.<sup>3</sup>

Die Einführung der zu untersuchenden Substanzen geschieht entweder so, daß man in eine Höhlung der positiven Kohle ein Stückchen der Substanz legt, oder die Kohle mit einer axialen Bohrung versieht und diese mit der Substanz ausfüllt. Bei vielen Metallen, z. B. bei Al, Pb, Cd, Fe, Cu, Mg, Tl, Zn, Sn kann man zu Elektroden die Metalle selbst nehmen; manchmal stößt man dabei auf Schwierigkeiten wegen zu schlechten Brennens des Lichtbogens.

Schon in § 2 wurde erwähnt, daß im Bogenspektrum häufig Emissionslinien „umgekehrt“ gesehen werden, d. h. so, daß sie in der Mitte dunkel erscheinen. Dies ist so zu erklären, daß das vom Kern des Bogens ausgestrahlte Licht von der kühleren Dampfhülle absorbiert wird.

Entwirft man mit einer Linse ein Bild des Bogens auf dem Spalt des Spektroskops und steht dieser senkrecht zu den Elektroden, so sieht man das Spektrum zusammengesetzt aus Linien, welche durch das ganze Gesichtsfeld gehen, und aus solchen, welche nur den mittleren Teil desselben einnehmen. Nun entspricht bei dieser Anordnung der mittlere Streifen des Gesichtsfeldes dem Kern des Bogens, die seitlichen seinen Randpartien. Der mittlere Teil gibt also die Emission der heißesten Stelle des Bogens. Hier sieht man Linien, welche in den Randpartien wegen zu großer Lichtschwäche nicht auftreten. Man bekommt also nebeneinander die Spektren des vorliegenden Dampfes bei verschiedenen Temperaturen, so daß man den Einfluß der Temperatur bequem erkennen kann. Dies ist LOCKYERS Methode der langen und kurzen Linien. Die langen Linien zeigen sich häufig in der Mitte verbreitert, was damit zusammenhängt, daß die Spektrallinien mit zunehmender Dichtigkeit des Dampfes im allgemeinen sich verbreitern. Gleichzeitig erkennt man durch das Studium solcher Spektren die langen und kurzen Linien, daß die langen Linien, welche also schon bei niedrigeren Temperaturen sichtbar sind, keineswegs die hellsten zu sein brauchen.

3. Funkenspektren. Das allgemeinste Mittel, um Substanzen zu verdampfen und leuchtend zu machen, besteht in der Anwendung elektrischer Entladungen. Zur Herstellung von elektrischen Funkenentladungen dient entweder eine Hochspannungsbatterie oder eine Elektrisiermaschine oder — am häufigsten — ein Induktorium. Wird dieses mit einem Batteriestrom betrieben, so kommt im Sekundärstrom, der den Funken liefert, nur der Öffnungsstrom zur Geltung, die beiden Elektroden des Funkens sind daher als Anode und Kathode unterscheidbar. Der negative Pol der Funkenstrecke ist an dem blauen Lichtschein, der ihn in Luft umgibt, wenn die Elektroden aus Platin bestehen, leicht kenntlich. Dieses blaue Licht besteht aus dem Bandenspektrum des Stickstoffs. Bei Einschaltung einer Leydener Flasche in den Sekundärkreis geht das Bandenspektrum in das Linienspektrum des Stickstoffs über.

Die Funkenspektren sind je nach den gewählten elektrischen Verhältnissen der Entladung sehr veränderlich in bezug auf die Zahl und die relative Stärke der auftretenden Linien. Die wesentlichsten Einflüsse üben die Länge des Funken-

<sup>1</sup> DEWAR, Proc. Roy. Soc. 30. 85. 1880. — <sup>2</sup> BERTHELOT, Compt. Rend. 54. 64. 1862. — <sup>3</sup> DEWAR, c. l.



die Kapazität und die Selbstinduktion im Stromkreis aus,<sup>1</sup> da von diesen Faktoren die in einer Entladung verschwindende elektrische Energie und damit die Wärmeerzeugung abhängt, während die Länge des Funkens den durch die erzeugte Wärme gleichzeitig zu erhitzenden Gasraum und somit die zu erreichende Temperatur bestimmt. Selbstinduktion schwächt und Kapazität verstärkt die Linien, namentlich diejenigen, welche nicht zu Serien gehören.<sup>2</sup>

Durch die Einschaltung von Leydener Flaschen wird der Funke kürzer, aber brillanter, was damit im Zusammenhang steht, daß die in einer Entladung übergehende Elektrizitätsmenge größer ist, während die Spannung durch die als Kondensatoren wirkenden Leydener Flaschen herabgemindert wird, so daß die Elektrodenentfernung verringert werden muß. Die Anwendung so kondensierter Funken empfiehlt sich deswegen, weil die Metalllinien in ihm die Luftlinien bedeutend an Intensität übertreffen, während dies im nicht kondensierten Funken umgekehrt ist. Die Leydener Flaschen bringt man so an, daß der eine Pol der Sekundärspule des Induktoriums mit der inneren, der andere Pol mit der äußeren Belegung der Flasche verbunden wird. Zwei weitere Drähte gehen dann von den Polen des Induktoriums nach den Elektroden der Funkenstrecke. Bei eingeschalteter Flasche bilden sich bei der Entladung Oszillationen aus, es wird daher die Natur der Entladung durch Einschaltung einer Flasche nicht nur quantitativ, sondern auch qualitativ geändert.

Man kann vermuten, daß die Oszillationen auf die Zusammensetzung der Funkenspektren spezifische Einflüsse ausüben, und daß sie wesentlich beteiligt sind an auffallenden Unterschieden, die zwischen Funken- und Bogenspektren desselben Elementes bestehen. Zu den Bogenlinien treten im Funken häufig neue starke Linien hinzu, während andere Linien in ihrer relativen Intensität geändert erscheinen. Ob diese Veränderungen sämtlich durch höhere Temperaturen erklärbar sind, oder durch damit in Zusammenhang stehende chemische Veränderungen, speziell Dissoziation der Elemente, oder ob die reguläre Strahlung durch Lumineszenz, hervorgerufen durch die elektrischen Oszillationen, getrübt ist, bleibt noch zu entscheiden.

Fügt man in einem der zur Funkenstrecke führenden Drähte Selbstinduktion ein, bestehend aus einer in Öl eingebetteten Teslaspule, so nähern sich die Funkenspektren in ihrem Aussehen den Bogenspektren, namentlich nimmt die relative Intensität im Ultraviolett ab. Im gewöhnlichen Funken ist die Intensität der ultravioletten Strahlen ungemein groß. Nach A. PFLÜGER,<sup>3</sup> der die Energieverteilung im Funkenspektrum neuerdings mit der Thermosäule von RUBENS<sup>4</sup> gemessen hat, liegt die Strahlung maximaler Intensität im Funkenspektrum des Eisens bei etwa  $\lambda 275 \mu\mu$ , des Magnesiums bei  $\lambda 280 \mu\mu$ , des Aluminiums und anderer Elemente sogar bei noch kleineren Wellenlängen als  $\lambda 260 \mu\mu$ . Darf man die Funkenspektren als reguläre Wärmestrahlung ansehen und will man außerdem annehmen, daß die gemessenen Intensitäten schwarzer Strahlung entsprechen, so würden sich daraus nach den Gesetzen, die für schwarze Strahlung gelten, Temperaturen zwischen 11000 und 12000° ergeben.

Daß die Temperatur des Funkens tatsächlich sehr hoch sei, darf man aus dem Umstand schließen, daß im elektrischen Funken alle Stoffe, einschließlich der Kohle, verdampfen. Bisher war man auch allgemein geneigt, den Funken für außerordentlich heiß zu halten, und konnte dann die besonderen Spektrallinien der Metalle, welche in deren Funkenspektren auftreten, eben dieser hohen Temperatur zuschreiben. Je nachdem nun Sternspektren mehr die Funken- oder mehr die Bogenlinien der Metalle enthielten, schloß man auf deren höhere oder

<sup>1</sup> Vergl. G. A. HEMSALECH, Recherches sur les spectres d'étincelles. Thèse. Paris. 1901.

— <sup>2</sup> Vergl. A. S. KING, Über die Ursachen der Veränderlichkeit der Funkenspektren. Astrophys. Journ. 19. 225. 1904. — <sup>3</sup> DRUDES Ann. 13. 892. 1903. — <sup>4</sup> HAGEN u. RUBENS, ebenda 8. 1. 1902.

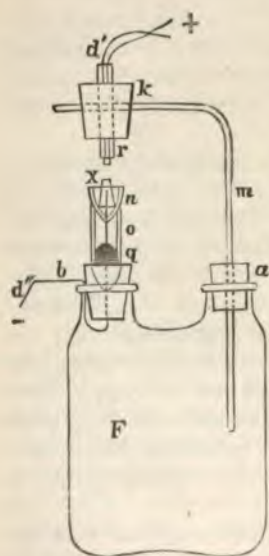


niedrigere Temperatur.<sup>1</sup> Diese Folgerungen sind aber durch neobachtungen sehr erschüttert worden. Es hat sich zunächst gezeigt, das Bogenspektrum der Metalle in deren Funkenspektrum übergeht, wenn zwischen Elektroden aus den zu untersuchenden Metallen in einer Atmosphäre aus Wasserstoff brennt. Dasselbe findet statt, wenn der Bogen unter Wasser weiterhin ist es gelungen, das Bogenspektrum auch in Luft in das Funkenspektrum überzuführen, und dabei hat sich zur Überraschung herausgestellt, gerade dann stattfindet, wenn die Temperatur des Bogens erniedrigt.

Die Versuche bezogen sich namentlich auf das Spektrum des Magnesiums, das im gewöhnlichen Bogenspektrum eine sehr starke Linie bei  $\lambda 435$  während sein Funkenspektrum durch die Linie  $\lambda 4481$  ausgezeichnet ist. Es gelang es, durch Verringerung der Stromstärke, wodurch also die Temperatur des Bogens sinken muß, im Bogenspektrum die letztere Linie so stark wie im Funkenspektrum werden zu lassen, während die erstere gleichzeitig sich mehr abschwächte.<sup>2</sup> Es mag sein, daß die Ähnlichkeit des Bogenspektrums mit dem Funkenspektrum unter Wasser und in der Wasserstoffatmosphäre ebenfalls von einer Temperaturniedrigung herrührt, wenn man bedenkt, daß Wasserstoff eine so starke Wärmeleitfähigkeit besitzt, wie Luft.

Nach diesen Erfahrungen wäre also die Temperatur im Funken unter diesen Umständen sogar niedriger anzusetzen, als im Bogen. Durch diese noch bestehenden Widersprüche in der Schätzung der Temperaturen der Funken entsteht eine bedauerliche Unsicherheit in der Beurteilung der Funken.

Man untersucht im elektrischen Funken sowohl feste Stoffe, wie auch



Figur 9.

manchmal auch Gase. Stoffe von genügendem Leitvermögen, z. B. Metalle, werden einfach so untersucht, daß man sie zu Elektroden macht. Dabei bekommt man neben den Linien der Luftlinien in das Spektrum. Am kompliziert gestaltet sich die Untersuchung des Kohlenfunken, denn hier können neben dem Linienspektrum des Kohlenstoffs und dem Linien- und Bandenspektrum des Stickstoffs folgende Verbindungsspektren auftreten: Das SWANSche (Kohlenwasserstoff-)Spektrum, in einer Wasserstoffatmosphäre bei schwacher Funkenstärke die Banden des Cyans; die Banden des Cyandampfes, wenn die Kohlen feucht sind, dazu Wasserstoff- und Sauerstofflinien, oder, wenn der Funken schwach ist, Ammoniaklinien; Kohlenlinien in der Aureole des Funkens. In geschlossenen Gefäßen, in Luft, bemerkt man auch die Banden des Stickstoffdioxids.

Sind Salze zu untersuchen, so verwendet man zweckmäßig einen von VOGEL<sup>4</sup> angegebenen, einfach abgezeichneten, einfachen Apparat, Figur 9. Dieser besteht aus einer zweihalsigen WOULFsche Flasche, mit zwei durch Korken a und b versehen. Durch b wird ein Glasrohr o gesteckt, in das unten ein Platindraht eingeschmolzen ist, der mit dem negativen Pol des Funkenapparats verbunden wird. In das Röhrchen q wird etwas Quecksilber gegossen, das das Hütchen n aufgesetzt, welches zur Aufnahme der Salzlösung dient. Ein Platindraht ist in das Quecksilber taucht.

<sup>1</sup> Vergl. NORMANN LOCKYER, Inorganic evolution, as studied by spectroanalysis 1900. — <sup>2</sup> HARTMANN u. EBERHARDT, Sitz. Ber. Akad. Berl. 1903. 40. — <sup>3</sup> Ebenda. 1903. 234. — <sup>4</sup> Vergl. EDER u. VALENTA, Wien. Denkschr. 60. 241. <sup>4</sup> Praktische Spektralanalyse. 2. Aufl. 1889.



Über den Platindraht stülpt man ein konisches Haarröhrchen  $x$ , das über den Rand von  $n$  herausragen soll. Dasselbe hat den Zweck, die Lösung anzusaugen, wodurch verhindert wird, daß der Funke unregelmäßig auf der Flüssigkeitsoberfläche hin und her springt. Der Kork  $a$  führt den beweglichen Glasstab  $m$ , der einen Kork  $k$  mit dem positiven Pol  $d'$  trägt, welcher letzterer aus einer Schleife von Platindraht, die durch das Glasrohr  $r$  gesteckt ist, gebildet wird. Das Hütchen  $n$  füllt man zur Hälfte mit der zu untersuchenden Salzlösung. Man verwendet Funken von 2—3 mm Länge. Nach LECOQ<sup>1</sup> verwendet man am zweckmäßigsten die Lösungen der Chloride.

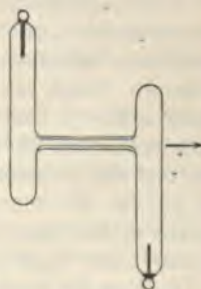
Man sieht dann nur die Linien des Metalls der Salze. Linien der Metalloide treten nur auf, wenn man den Funken sehr stark (durch Leydener Flaschen) kondensiert. Man kann dann in Sulfiden, Phosphaten, Karbonaten bzw. die Linien des Schwefels, Phosphors und der Kohle auftreten sehen. Die reinen Säuren geben ebenfalls die Spektra der Metalloide, doch verschwinden diese, sobald gelöstes Metall vorhanden ist.

Eine andere Anordnung, welche BUNSEN zur Untersuchung der Funkenpektren der seltenen Erden anwandte, besteht darin, Holzkohlen, die durch Glühen und Auskochen mit Salzsäure und Flußsäure gereinigt sind, als Elektroden zu verwenden und diese mit der Salzlösung zu tränken. Diese Methode ist neuerdings von HAGENBACH und KONEN bei der Herstellung ihres Atlases vielfach in Anwendung gebracht worden. Es ist dabei zu beachten, daß Holzkohle nie völlig von Aschenbestandteilen zu befreien ist. Namentlich Calciumlinien können nicht völlig entfernt werden.

Vor kurzem wurde zur Untersuchung der Spektra der Metallsalze und Metalle eine Anordnung empfohlen, welche auf dem Prinzip des WEHNELT-Unterbrechers beruht. Wenn zwei Platindrähte in die Lösung eines Metallsalzes eintauchen und in einen Stromkreis mit etwa 110 Volt Spannung eingeschaltet werden, so gerät die Umgebung der Kathode ins Glühen, indem der Mantel von Wasserstoff, mit dem die Elektrode sich belegt, einen sehr hohen Widerstand an dieser Stelle des Stromkreises erzeugt. In dem Lichte, das an der Elektrode auftritt, erkennt man das Linienspektrum des Metalles, dessen Salz im Elektrolyt aufgelöst ist. Die Methode läßt sich auch dahin abändern, daß als Kathode ein Draht aus dem zu untersuchenden Metall genommen wird und als Elektrolyt Schwefelsäure 1 : 20 oder Salpetersäure 1 : 4. Um Knallgasexplosionen zu vermeiden, führt man die Kathode durch ein Glasrohr, das etwa 1 cm tiefer in den Elektrolyten hinabreicht, als jene. Die Anode wird zweckmäßig um das Glasrohr außerhalb herumgeschlungen.<sup>2</sup>

4. Entladungsröhren. Gase werden im allgemeinen im gasverdünnten Raum von Vakuumröhren den Funkenentladungen ausgesetzt, um spektroskopisch untersucht zu werden. Der Grund liegt hauptsächlich darin, daß man von Gasen, wie Wasserstoff, Sauerstoff, Kohlenoxyd, Chlor u. s. w. meist stetige Spektra bekommt, wenn man sie bei Atmosphärendruck zum Glühen bringen wollte, etwa durch Verwendung langer Lichtbögen, wie sie durch hochgespannten Wechselstrom hergestellt werden können. Hiervon wird man frei, wenn man die Gase unter vermindertem Druck den Entladungen in Vakuumröhren aussetzt.

Eine zweckmäßige Form derselben stellt Figur 10 dar. Das Leuchten findet namentlich in dem verengten Teil der Röhre statt. Man blickt mit dem Spektroskop der Länge nach (in der Richtung des Pfeiles)



Figur 10.

<sup>1</sup> LECOQ DE BOISBAUDRAN, Spectres lumineux. Paris. 1874. — <sup>2</sup> Vergl. E. HOPPE, Elektrotechn. Zeitschr. 1900. p. 507 und W. v. BOLTON, Zeitschr. Elektrochemie. 9. 913. 1903.



durch die Röhre hindurch. Als Elektrodenmaterial empfiehlt sich vielfach Aluminium, da es weniger zerstäubt als Platin. Auch hat es die Eigenschaft, Spuren von Stickstoff und Kohlenstoffverbindungen zu absorbieren. Für Sauerstoffröhren ist es aber unzweckmäßig, da Aluminiumelektroden in diesem Gas stets Kohlenoxyd abgeben. Hier sind Platinelektroden vorzuziehen, die naturgemäß auch zur Untersuchung der Halogene, des Phosphors und Schwefels verwendet werden müssen.

Die Füllung der Röhren muß sehr vorsichtig geschehen, da kleine Verunreinigungen mit fremden Gasen der spektroskopischen Untersuchung sehr störend sein können. Am widrigsten sind die Spektren des Kohlenstoffs und seiner Wasserstoff, Sauerstoff- und Stickstoffverbindungen, bezw. also das Linienspektrum des Kohlenstoffs, das SWAN-Spektrum, das Kohlenoxyd- und Cyanspektrum. Außer dem organischen Staub scheinen die Fettdichtungen der Hähne u. s. f. die Hauptquelle dieser verunreinigenden Spektren zu sein. Kohlenoxyd ist namentlich in Sauerstoffröhren störend, zusammen mit dem Linienspektrum des Kohlenstoffs; Cyan in Stickstoffröhren. Um sich von der Störung der Kohlenoxydbanden und Kohlelinien zu befreien, empfehlen HAGENBACH und KÖNEN Einschaltung von Kapazität, sowie Vorschaltung einer Funkenstrecke vor die Röhre. Bei passender Länge der Funkenstrecke nimmt die Stärke der verunreinigenden Spektren auf ein Minimum ab. Als weitere Verunreinigungen hat man bei starken Entladungen Natrium, Calcium, Aluminium aus dem Glas der Kapillare.

Die mit dem zu untersuchenden Gase gefüllten Röhren werden auf einige Millimeter Quecksilberdruck ausgepumpt und hierauf zugeschmolzen. Anfänglich zeigen sie häufig die Linien des Quecksilbers, das jedoch, wenn die Entladung hindurchgeht, von den Elektroden bald absorbiert wird.<sup>1</sup> Zur Abhaltung der Quecksilberdämpfe kann man zwischen Pumpe und Vakuumröhre eine U-Röhre mit Schwefelstücken und dahinter eine solche mit Kupferspänen einschalten. Durch längeren Gebrauch verändert sich das Spektrum des eingeschlossenen Gases häufig infolge chemischer Reaktionen, sowie durch Okklusion der Gase an den Elektroden. Am stärksten tritt die letztere bei Argon auf. Röhren mit Argon werden nach längerem Gebrauch so leer, daß keine Entladungen mehr durchgehen.

Soll vermieden werden, daß ultraviolette Strahlung absorbiert wird, so verwendet man Glasröhren mit eingeschliffenem Quarzstöpsel oder auch das neuerdings von SCHOTT in Jena hergestellte ultraviolett durchlässige Glas.

In einem Gemisch von Gasen sieht man nicht immer die Spektren aller vorhandenen Gase. Welche Gase leuchten, hängt sowohl von dem Mengenverhältnis derselben, als von der Intensität der Entladung ab. Luft gibt bei höherem Druck nur das Stickstoffspektrum, bei niederem erscheint auch das des Sauerstoffs. 1 Teil Argon ist noch in 2000 Teilen Helium sichtbar; dagegen kann man erst 25% Helium in Argon erkennen.<sup>2</sup> — Auch in Vakuumröhren die Art der Entladung von Einfluß auf das Spektrum, ebenso, wie dies oben (p. 36) für Funkenentladungen angemerkt wurde. Z. B. geht das rote Argonspektrum bei Einschaltung eines Kondensators, also bei oszillierender Entladung in das blaue Spektrum über.<sup>3</sup>

Was die Temperatur in Vakuumröhren anlangt, so fand WIEDEMANN,<sup>4</sup> daß die Temperatursteigerungen in verschiedenen weiten Teilen umgekehrt sich verhalten wie die Querschnitte der Röhre. Kapillare Teile der Röhre erhitzen sich demgemäß sehr bedeutend, auch wenn die Temperatur in weiteren Teilen der Röhre

<sup>1</sup> Vergl. M. W. TRAVERS, *Experimental Study of Gases*, London. 1901. p. 313.

<sup>2</sup> COLLIE u. RAMSAY, *Proc. Roy. Soc.* 59. 257. 1896. — <sup>3</sup> TROWBRIDGE u. RICHARDSON, *Amer. J. of sc.* (4) 3. 15. 1897. — <sup>4</sup> POGG, *Ann.* 158. 1876.



niedrig bleibt. Nach WARBURG<sup>1</sup> ist die Wärmeentwicklung an jeder Stelle des Rohres durch die Stromarbeit gegeben, nämlich durch

$$q = 0,237 \frac{v i}{r^2 \pi},$$

wenn  $q$  die Wärmeentwicklung,  $v$  den Potentialgradienten pro Zentimeter,  $i$  die Stromstärke und  $r$  den Radius der Röhre bedeutet. Danach lassen sich nach den Gesetzen der Wärmeleitung die Temperaturen an den einzelnen Stellen der Röhren berechnen. In Übereinstimmung mit der Rechnung fand WOOD<sup>2</sup> z. B. in einem Vakuumrohr von 1,5 cm Durchmesser, das mit Stickstoff von 5 mm Druck gefüllt war, eine Erwärmung von 23° bis 73° für Ströme von 1 bis 4,6 Milliampères.

In Vakuumröhren können sich demnach hohe Temperaturen jedenfalls nur in kapillaren Verengungen finden. Daß in diesen tatsächlich sehr hohe Temperaturen herrschen, scheint mit Sicherheit aus dem Verhalten der Verunreinigungen hervorzugehen. Schon daß die Metalle der Glassubstanz der Kapillarröhren, Natrium, Calcium, Aluminium, sich gelegentlich spektroskopisch bemerkbar machen, deutet darauf hin, noch mehr die häufige Bildung von Cyan, das als endotherme Verbindung nur bei hoher Temperatur sich bilden kann, desgleichen das Vorkommen von Kohlenoxyd in Sauerstoffröhren, wo ohne ganz extreme Temperaturwirkung Kohlensäure zu erwarten wäre.

Da aber auch in den weiteren und kühleren Teilen der Vakuumröhren die in ihnen eingeschlossenen Gase zum Leuchten kommen, so ist klar, daß es sich an diesen Stellen nicht um normales Leuchten, sondern nur um eine Lumineszenz der Gase handeln kann. Von so erhaltenen Spektren kann man nicht ohne weiteres erwarten, daß sie übereinstimmen mit denen, welche durch Erhitzung der betreffenden Gase zum Glühen erhalten werden würden. Um so wichtiger ist es, zu erfahren, daß die Spektren in Vakuumröhren in den Fällen, wo man Flammen-, Bogen- und Funkenspektren von denselben Stoffen zum Vergleich heranziehen kann, mit diesen sehr häufig übereinstimmen. Als Beispiele seien die Linienspektren des Quecksilbers und Wasserstoffs erwähnt. Es zeigt dies jene bemerkenswerte, noch mehrfach zu erwähnende Unabhängigkeit der Emission von der Art der Erregung und lehrt, in wie hohem Maße die Spektren für die stoffliche Natur des emittierenden Körpers spezifisch sind. Daneben entstehen allerdings im Vakuumrohr manchmal gänzlich abweichend gebaute Spektren, wie das Bandenspektrum des Quecksilbers und das sogen. zweite Wasserstoffspektrum. Man spricht dann von „mehrfachen“ Spektren. Durch diese wird also die allgemeine Regel von der Eindeutigkeit der Beziehung zwischen Spektrum und chemischer Natur durchbrochen.

Lumineszenzspektren werden auch erhalten, wenn verdünnte Gase, in einem Glasrohr eingeschlossen, in ein elektrisches Wechselfeld gebracht werden, wie es gegeben ist zwischen den Endkondensatoren eines LECHERSchen Drahtsystems. Man kann auch das Rohr mit äußeren Belegen versehen und an diese die Drähte eines TESLA-Transformators führen.<sup>3</sup> Da die Röhren unter diesen Umständen sich fast nicht erwärmen, so kann man auf diese Weise Dämpfe organischer Verbindungen, die durch höhere Temperatur zersetzt wurden, spektroskopisch untersuchen. Die Energiequelle zur Erzeugung der Lumineszenz ist hier durch die elektrischen Schwingungen gegeben.

Daß man es in Vakuumröhren häufig nicht mit reiner Wärmestrahlung zu tun hat, zeigt schon der Umstand, daß in Gasgemischen die Bestandteile häufig

<sup>1</sup> WIED. Ann. 54. 265. 1895. — <sup>2</sup> WIED. Ann. 59. 238. 1896. — <sup>3</sup> Vergl. EBERT, WIED. Ann. 53. 144. 1894.

nicht gleichzeitig und nicht im Verhältnis zu ihrer vorhandenen Menge<sup>1</sup> oder der eine oder andere Bestandteil überhaupt nicht zum Leuchten kommen, wie man es erwarten müßte, wenn die Temperatur des kapillaren Entladungsraumes allein maßgebend für die Strahlung wäre. Anders, wenn dieselbe aus einer Transformation elektrischer Schwingungen hervorgeht. Dann werden vorherrschend diejenigen Stoffe leuchten, deren Vermögen, die vorhandenen elektrischen Schwingungen zu absorbieren, am meisten entwickelt ist.

Andererseits kann man die Spektren in Vakuumröhren auch nicht bloß als Lumineszenzen behandeln. Denn abgesehen von den zuvor erörterten Gründen für die extreme Temperatur der Gase in den kapillaren Teilen der Vakuumröhren ergab eine darauf gerichtete Untersuchung von LANGENBACH<sup>2</sup> über die Emission des Wasserstoffs in Vakuumröhren, daß sich die Energie der Strahlung den Gesetzen fügt, die für schwarze Strahlung gelten. Es fand sich nämlich, daß bei zunehmender Helligkeit, hervorgebracht durch wachsende Stromstärke, die photometrische Helligkeit, also auch die Energie, von  $H\beta$  und  $H\gamma$  stärker wächst als die von  $H\alpha$ . Nimmt man an, daß unter den Verhältnissen des Versuches für diese Wellenlängen schwarze Strahlung herrschte, so kann man aus den gemessenen Intensitäten durch Anwendung der Formel W. WIENS (siehe p. 21) die Temperatur berechnen. Aus den Intensitäten von  $H\alpha$  und  $H\beta$  bei bestimmter Stromstärke erhält man dabei nach H. KAYSER<sup>3</sup> die ganz plausiblen Werte von 2200° und 2340°.

— — —  
<sup>1</sup> Vergl. E. WAETZMANN, Über die Intensitätsverhältnisse der Spektren von Gasgemischen. DRUDES Ann. 14. 772. 1904. — <sup>2</sup> DRUDES Ann. 10. 789. 1903. — <sup>3</sup> BOLZMANN-Festschrift. 1904. p. 38.



## § 5. Über den Bau der Linienspektren.

Abgesehen von der auffälligen Regelmäßigkeit, mit der die Linien in den Spektren der Elemente zu Paaren oder Trillingen zusammenstehen, und von der allgemein verbreiteten Zusammendrängung der Linien nach dem violetten Ende des Spektrums, lassen sich in den meist so linienreichen Emissionsspektren bei oberflächlicher Betrachtung keine weiteren Gesetzmäßigkeiten erkennen. Auch hat die Rechnung bald gezeigt, daß in den Abständen der Linien harmonische Intervalle nicht häufiger vorkommen, als die Wahrscheinlichkeit an und für sich verlangt. Erst bei der eingehendsten Untersuchung hat sich die Menge der Linien im Blick entwirrt, und ist in einer Reihe von Linienspektren ein äußerst merkwürdiger Konstruktionsplan entdeckt worden. Nachdem BALMER<sup>1</sup> den Typus der Verteilung der Spektrallinien zuerst beim Wasserstoff an den Tag gelegt hatte, gelang es RYDBERG<sup>2</sup> und KAYSER und RUNGE<sup>3</sup> denselben Typus in weiterer Gestalt bei einer großen Anzahl von Elementen aufzufinden. Danach läßt sich die Verteilung der Spektrallinien häufig durch Formeln darstellen von der Gestalt:

$$\lambda^{-1} = A - B m^{-2} - C m^{-4}$$

oder:

$$\lambda^{-1} = A - B m^{-2} - C m^{-3} .$$

Hier bedeuten  $A, B, C$  Konstante, die von der Natur des Stoffes abhängen,  $m$  ist die Reihe der ganzen Zahlen einzusetzen, die Wellenlänge  $\lambda$  pflegt man in Å. E. ( $= 10^{-8}$  cm) auszudrücken. Dann bedeutet ihr reziproker Wert die Wellenzahl pro Zentimeter Weglänge („Schwingungszahl“).

Meist genügt eine derartige Formel zur Darstellung aller Linien des betrachteten Elementes nicht, sondern es sind mehrere Formeln nötig, die sich durch verschiedene Werte der Konstanten  $A, B, C$  unterscheiden, ohne daß dieselben jedoch ganz bedeutungslos zueinander dastünden. Alle Linien, welche sich derselben Formel zuordnen, nennt man eine Linienserie. Findet man im Spektrum eines Elementes mehrere Serien, so unterscheidet man sie als Haupt- und Nebenserien, bei man naturgemäß die Serie der starken Linien als Hauptserie definiert. Häufig stehen die Linien der Serien zu zweien oder dreien eng beisammen, durch man zwei oder drei fast gleichlaufende Serien erhält, die man dann regelmäßig auch als eine Serie von Zwillingen oder Trillingen auffassen kann.

Es sind bis jetzt Serien bei den Elementen der drei ersten Gruppen des

<sup>1</sup> WIED. Ann. 25. 81, 1885. — <sup>2</sup> Zeitschr. physik. Chem. 5. 227, 1890. — <sup>3</sup> WIED. Ann. 41. 302, 1890.

MENDELEJEFFSchen Systems, außerdem bei Sauerstoff, Schwefel, Selen und beim Helium gefunden worden. Die übrigen Elemente zeigen nur Regelmäßigkeiten geringeren Grades;<sup>1</sup> aber auch die Spektren mit Serien lassen sich nicht immer ohne Rest in diese auflösen, z. B. gehören die einander entsprechenden Linien Ca  $\lambda$  4226, Sr  $\lambda$  4607, Ba  $\lambda$  5535 keinen Serien an. Um die Linien eines Spektrums in Serien unterzubringen, ist man zunächst auf Probieren angewiesen. Doch wird man in dem Aussuchen der zusammengehörigen Linien dadurch unterstützt, daß dieselben gleichen Habitus besitzen, in der Stärke gesetzmäßig nach Violett hin abnehmen und im magnetischen Feld eine qualitativ und quantitativ gleiche Zerlegung erfahren.

Wenden wir uns nun zur Diskussion der Formeln der Serien. Man sieht zunächst, daß die Linien sich bei wachsendem  $m$ , also bei abnehmender Wellenlänge, mehr und mehr zusammendrängen, um schließlich bei  $m = \infty$  mit  $\lambda^{-1} = A$  ihr Ende zu erreichen. Die Serien laufen also in eine Kante aus, die aus einer Häufung unendlich vieler Linien besteht. Es liegt diese Grenze in der Mehrzahl der Fälle im Ultraviolett, tatsächlich entzieht sie sich der Beobachtung, da die Stärke der Linien mit zunehmendem  $m$  immer mehr abnimmt. Sie kann also nur aus der Formel berechnet werden. (In der Tafel, Figur 29, ist die Grenze der Serien durch eine punktierte Linie eingetragen.)

Empirisch ergibt sich, daß zwei Serien desselben Elementes, von KAYSER und RUNGE als erste und zweite Nebenserie bezeichnet, dieselbe Grenze haben, also gleiches  $A$ . Besteht eine Serie aus Zwillingen und Trillingen nahe benachbarter Linien, so sind bei den Nebenserien die Differenzen der Schwingungszahlen aller Paare derselben Serie gleich. Es sind also von den sechs Konstanten der Doppel- oder neun Konstanten der Tripelserie:  $A_1, A_2, A_3; B_1, B_2, B_3; C_1, C_2, C_3$  die  $B$ - und  $C$ -Konstanten einander gleich. Für die sogen. Hauptserien der Alkalien gilt dies aber nicht, hier nimmt die Schwingungsdifferenz der Paare mit wachsendem  $m$  ab, und zwar proportional der vierten Potenz von  $m$ , so daß für die Doppelserie ein gemeinsamer Konvergenzpunkt herauskommt. Damit werden für die Hauptserie  $A_1$  und  $A_2$ , sowie  $B_1$  und  $B_2$  einander merklich gleich.

Der Anschluß der Rechnung an die Beobachtung ist bei den Seriengliedern mit niedrigem  $m$  ( $= 2, 3 \dots$ ) meist nicht vollkommen, indem die Unterschiede gegen die beobachteten Wellenlängen die mögliche Unsicherheit der Werte übersteigen. Für die höheren Glieder paßt nach RUNGE und PASCHEN<sup>2</sup> beim Helium und in der Sauerstoffgruppe die Formel (II) mit der zweiten und dritten Potenz von  $m$  besser; in den übrigen Fällen ist die nach geraden Potenzen fortschreitende Formel (I) von KAYSER und RUNGE der anderen etwas überlegen. Jene (II) ist von RYDBERG in der Gestalt gegeben worden:

$$(III) \quad \frac{1}{\lambda} = A + \frac{B}{(m + \mu)^2},$$

wobei  $m$  die Reihe der ganzen Zahlen durchlaufen und  $\mu$  zwischen 0 und 1 liegen soll. Entwicklung dieses Ausdruckes in eine Reihe führt ihn in die Formel (II) über. Allerdings betrachtet RYDBERG die Zahl  $B$  als universelle Konstante. Dann enthielte die RYDBERGSche Formel nur zwei individuelle Konstanten an Stelle der drei Konstanten in Formel (I). In der Tat schwanken die  $B$ -Werte in (I) und (II) innerhalb enger Grenzen, nämlich zwischen 106152,4 für eine der Nebenserien des Heliums und 156662 für die erste Nebenserie des Aluminiums, deren  $B$ -Wert ganz abnorm hoch ist. Man kann daher wohl vermuten, daß  $B$  wirklich als universelle Naturkonstante behandelt werden kann,

<sup>1</sup> Vergl. H. KAYSER, Handbuch. 2. 573 ff. — 2 WIED. ANN. 61. 641. 1897. — Sitz. Ber. Akad. Wiss. Berlin. 1895. 639.

wenn die Formeln in anderer Weise vervollkommen werden (s. w. u.). Der Zahlenwert  $N_0$  dieser Konstante wäre nach RYDBERG, gemessen in ROWLAND'schen Wellenlängen:

$$N_0 = 109\,675,0 \quad .$$

Setzt man diesen Wert für  $B$  in die Formel (III) ein und berechnet nach ihr die Gleichungen der Serien, wie RYDBERG tut, wobei freilich die Übereinstimmung mit der Erfahrung nicht so weit geht, als mit den Seriengleichungen (I), so findet man empirisch einen interessanten Zusammenhang zwischen der sogen. Hauptserie und der zweiten Nebenserie. Heißen für beide die Gleichungen beziehentlich:

$$\frac{1}{\lambda} = A - \frac{N_0}{(m+a)^2} \quad ; \quad \frac{1}{\lambda} = S - \frac{N_0}{(m+s)^2} \quad ,$$

so findet RYDBERG<sup>1</sup>, daß die zweite Nebenserie mit  $m=2$  beginnt und die Hauptserie mit  $m=1$ , und ferner, daß die erste Linie der zweiten Nebenserie identisch ist mit der ersten Linie der Hauptserie. Es soll sich nämlich ergeben:

$$A = \frac{N_0}{(1+a)^2} \quad \text{und} \quad S = \frac{N_0}{(2+a)^2} \quad ,$$

so daß sich die Gleichungen beider Serien zusammenfassen lassen in eine einzige von der Form:

$$\pm \lambda^{-1} = N_0 [(m+s)^{-2} - (n+a)^{-2}] \quad .$$

Für die Hauptserie ist zu setzen:

$$m=1; \quad n=1, 2, 3, \dots \quad ;$$

für die zweite Nebenserie:

$$n=2; \quad m=2, 3, 4, \dots \quad .$$

Das Vorzeichen ist natürlich so zu wählen, daß die Schwingungszahl positiv wird. Ihre Exaktheit zugestanden, gestattet diese Gleichung, eine etwa noch unbekannte Hauptserie aus der zweiten Nebenserie zu berechnen, oder anders ausgedrückt: beide Serien zusammen mit nur zwei individuellen Konstanten zu berechnen. Über eine Vervollkommenung dieser Formel s. w. u.

Eine letzte wichtige empirische Regel betrifft den Umstand, daß die Schwingungsdifferenz der Zwillinge, bezw. Trillinge der Serienlinien für jedes Element eine Konstante ist, welche in einer bestimmten Beziehung zum Atomgewicht steht. Es zeigt sich nämlich, daß diese charakteristische Schwingungsdifferenz  $\gamma$  jeweils annähernd proportional dem Quadrat des Atomgewichts  $a$  ist, wobei der Proportionalitätsfaktor  $\frac{\gamma}{a^2}$  von Gruppe zu Gruppe einen anderen, aber annähernd konstanten Wert hat. Diese von KAYSER und RUNGE aufgefundene Beziehung ist neuerdings von RUNGE und PRECHT<sup>2</sup> in der Form ausgesprochen worden: „In jeder natürlichen Gruppe chemischer Elemente ist der Logarithmus des Atomgewichtes proportional dem Logarithmus der Differenz der Schwingungszahlen homologer Linienpaare.“ Beispielsweise für die Gruppe Mg, Ca, Sr, Ba, Ra finden die genannten Autoren:

$$\log a = -0,2005 + 0,5997 \log \gamma \quad .$$

<sup>1</sup> Vergl. RYDBERG, Rapports Congr. intern. phys. Paris. 2. 212. 1900. — <sup>2</sup> Zeitschr. Elektrochem. 10. 119. 1904 und Sitz. Ber. Akad. Wiss. Berlin. 1904. p. 417.

Mit dieser Formel berechnen sich unter Verwendung der unten tabellierten Schwingungsdifferenzen  $\gamma$  die folgenden Atomgewichte  $\alpha$ :

|          | Berechnet | Analytisch gefunden |
|----------|-----------|---------------------|
| Mg . . . | 23,84     | 24,36               |
| Ca . . . | 40,6      | 40,1                |
| Sr . . . | 87,5      | 87,6                |
| Ba . . . | 136,9     | 137,4               |
| Ra . . . | 257,8     | 225                 |

Die Schwingungsdifferenzen  $\gamma$  sind aus folgenden Wellenlängen von Z linien bzw. Trillingen abgeleitet:

| Element | Wellenlänge in $10^{-8}$ cm | Schwingungszahl pro cm<br>Welllänge | $\gamma$ |
|---------|-----------------------------|-------------------------------------|----------|
| Mg      | 2802,80                     | 35678,6                             | } 91,5   |
|         | 2795,63                     | 35770,1                             |          |
|         | 2798,07                     | 35738,9                             | } 92,1   |
|         | 2790,88                     | 35831,0                             |          |
|         | 2936,61                     | 34052,9                             | } 91,5   |
|         | 2928,74                     | 34144,4                             |          |
| Ca      | 3968,63                     | 25197,6                             | } 222,9  |
|         | 3933,83                     | 25420,5                             |          |
|         | 3181,40                     | 31432,7                             | } 223,1  |
|         | 3179,45                     | 31452,0                             |          |
|         | 3158,98                     | 31655,8                             | } 223,1  |
|         | 3737,08                     | 26758,9                             |          |
| Sr      | 3706,18                     | 26982,0                             | } 801,4  |
|         | 4215,66                     | 23721,9                             |          |
|         | 4077,88                     | 24522,5                             | } 801,1  |
|         | 3475,09                     | 28776,9                             |          |
|         | 3464,58                     | 28863,5                             | } 801,6  |
|         | 3380,89                     | 39578,0                             |          |
| Ba      | 4305,60                     | 23225,6                             | } 1691,1 |
|         | 4161,95                     | 24027,2                             |          |
|         | 4934,24                     | 20266,6                             | } 1691,4 |
|         | 4554,21                     | 21957,7                             |          |
|         | 4166,24                     | 24002,5                             | } 1690,9 |
|         | 4130,88                     | 24207,9                             |          |
| Ra      | 3891,97                     | 25693,9                             | } 4858,4 |
|         | 4900,13                     | 20407,6                             |          |
|         | 4525,19                     | 22098,5                             | } 4858,8 |
|         | 4682,36                     | 21356,8                             |          |
|         | 3814,58                     | 26215,2                             | } 4858,6 |
|         | 4436,49                     | 22540,3                             |          |
|         | 4340,83                     | 23037,1                             | } 4858,6 |
|         | 3649,75                     | 27399,1                             |          |
|         | 5813,85                     | 17200,3                             | } 4858,6 |
|         | 4533,33                     | 22058,9                             |          |

Die aufgeführten Linien sind Linien der Funkenspektren der betreffenden Metallsalze und gehören nicht den beiden Nebenserien derselben an.



In der Gruppe der Alkalien haben die Differenzen der Schwingungszahlen  $\gamma$  der Zwillinge der beiden Nebenserien und die nach der Formel  $\frac{\gamma}{a^2} = \text{konst.}$  daraus abgeleiteten Atomgewichte (unter Zugrundelegung des Atomgewichtes des Natriums) die folgenden Werte:

|            | $\gamma$ | A. G.<br>berechnet | A. G.<br>analytisch<br>(1906) |
|------------|----------|--------------------|-------------------------------|
| Na . . . . | 172      | 23,0               | 23,05                         |
| K . . . .  | 568      | 40,6               | 39,15                         |
| Rb . . . . | 2344     | 82,6               | 85,5                          |
| Cs . . . . | 5450     | 126                | 132,9                         |

Beim Lithium stehen die Paare so eng beisammen, daß es erst neuerdings gelungen ist, eine Linie der ersten Nebenserie, nämlich  $\lambda 4603$  in ein Paar aufzulösen. Während jedoch nach der Formel  $\frac{\gamma}{a^2} = \text{konst.}$  aus dem Atomgewicht des Lithiums ein Abstand des Linienpaares von 0,4 A. E. sich berechnet, findet HAGENBACH<sup>1</sup> experimentell eine Wellenlängendifferenz von 1,04 A. E. Das Gesetz gilt also nur annähernd und scheint gerade für die äußersten Glieder der Gruppen des natürlichen Systems, wie Li, Cs und Ra zeigen, am schlechtesten zu stimmen. Auch für die Serien der Elemente der dritten Gruppe, Al, Jn, Tl, ist die Konstanz des Ausdruckes  $\frac{\gamma}{a^2}$  weniger vollkommen, als der Genauigkeit der Beobachtungsdaten entsprechen würde. Nach der Rechnung RUDORFS<sup>2</sup> schwankt hier die Konstante zwischen 2,02 und 2,16.

Trotz diesem näherungsweisen Charakter der KAYSER-RUNGESchen Regel muß man in ihr einen sehr bedeutsamen Fund erblicken. Denn daß man aus dem Spektrum auf das Atomgewicht schließen kann, ist eine ebenso merkwürdige Tatsache, wie etwa das Gesetz der Atomwärmen von DULONG und PETIT. Beide Beziehungen lassen sich nicht im mindesten erwarten. Dafür zeigen sie, daß dem Begriff der Verbindungsgewichte eine über den Bereich seiner Aufstellung hinausreichende Realität zukommt. Die rein chemischen Tatsachen des chemischen Umsatzes verknüpfen sich an diesen Stellen mit den physikalischen Erscheinungsformen der Stoffe.

In der folgenden Tabelle finden sich die Konstanten  $A$ ,  $B$  und  $C$  der Serien der Elemente der drei ersten Reihen des periodischen Systems nach der KAYSER-RUNGESchen Formel:

$$\lambda^{-1} = A - Bm^{-2} - Cm^{-4}$$

und die Konstanten der Serien der Sauerstoffgruppe und des Heliums nach der Formel von RUNGE-PASCHEN:

$$\lambda^{-1} = A - Bm^{-2} - Cm^{-8} .$$

Die Nebenserien der Alkalien, der Gruppe des Zinks und des Heliums, bestehen aus äquidistanten Paaren, die der Gruppe der alkalischen Erden und des Sauerstoffs aus äquidistanten Trillingen. Die entsprechenden Schwingungsdifferenzen, die den Konstanten  $A$  hinzuzufügen sind, um von einer Abteilung der Doppel- oder Tripelserie zur anderen überzugehen, finden sich unter  $\gamma$ . Bei den Tripelserien bezieht sich die nicht eingeklammerte Zahl auf die Schwingungs-

<sup>1</sup> DRUDES Ann. 9. 729. 1902. — <sup>2</sup> Z. ph. Chem. 50. 100. 1904.

differenz zwischen der ersten und zweiten Komponente des Trillings, die geklammerte auf die zwischen der zweiten und dritten. Figur 29 (am dieses Bandes) zeigt die Serien der Elemente der drei ersten Gruppen des p schen Systems und der Sauerstoffgruppe. Dabei sind die Zwillinge und T als einfache Linien gezeichnet. Die punktierten Linien geben das Ende der Serien (die Schwingungszahlen  $A$ ) an.

|    | Hauptserie |         |         | Erste Nebenserie |         |         | Zweite Nebenserie |         |         |    |
|----|------------|---------|---------|------------------|---------|---------|-------------------|---------|---------|----|
|    | $A$        | $B$     | $C$     | $A$              | $B$     | $C$     | $A$               | $B$     | $C$     |    |
| Li | 43 585     | 133669  | 1100084 | 28 587           | 109 825 | 1847    | 28 667            | 122 391 | 231 700 | —  |
| Na | 41 543     | 130233  | 800791  | 24 492           | 110 585 | 177     | 24 549            | 120 726 | 197 891 | —  |
|    | 41 550     | 130710  | 793751  |                  |         |         |                   |         |         |    |
| K  | 35 087     | 126983  | 625318  | 21 991           | 114 450 | 111 146 | 22 021            | 119 363 | 62 506  | —  |
|    | 35 086     | 126903  | 621633  |                  |         |         |                   |         |         |    |
| Rb | 33 762     | 125521  | 562255  | 20 939           | 121 193 | 134 616 | 20 899            | 113 566 | 76 590  | 2  |
|    | 33 765     | 125431  | 514679  |                  |         |         |                   |         |         |    |
| Cs | 31 509     | 125395  | 486773  | 19 743           | 122 869 | 305 824 | —                 | —       | —       | 5  |
|    | 31 473     | 125302  | 461517  |                  |         |         |                   |         |         |    |
| Cu |            |         |         | 31 592           | 131 150 | 1085060 | 31 592            | 124 809 | 440 582 | 2  |
| Ag |            |         |         | 30 712           | 130 621 | 1093823 | 30 696            | 123 788 | 394 303 | 9  |
| Mg |            |         |         | 39 796           | 130 398 | 1432090 | 39 837            | 125 471 | 518 781 | —  |
| Ca |            |         |         | 33 919           | 123 547 | 961 696 | 34 041            | 120 398 | 346 097 | 1  |
| Sr |            |         |         | 31 031           | 122 328 | 837 473 | 31 066            | 118 044 | 296 136 | 3  |
| Zn |            |         |         | 42 945           | 131 641 | 1236125 | 42 955            | 126 919 | 632 850 | 3  |
| Cd |            |         |         | 40 755           | 128 635 | 1289619 | 40 797            | 126 146 | 555 137 | 11 |
| Hg |            |         |         | 40 159           | 127 484 | 1252695 | 40 218            | 126 361 | 613 268 | 46 |
| Al |            |         |         | 48 308           | 156 662 | 2505331 | 48 244            | 127 527 | 687 819 | 1  |
| In |            |         |         | 44 515           | 139 308 | 1311032 | 44 535            | 126 766 | 643 584 | 22 |
| Tl |            |         |         | 41 542           | 132 393 | 125 622 | 41 506            | 122 617 | 790 693 | 77 |
| He | 38 455     | 109 892 | 14 507  | 29 224           | 109 836 | 167     | 29 198            | 106 152 | 86 560  | —  |
|    | 32 030     | 109 537 | 1 964   | 27 175           | 109 759 | 273     | 27 169            | 108 826 | 35 960  | —  |
| O  | {          |         |         | 23 208           | 110 388 | 4 814   | 23 194            | 107 567 | 63 108  | —  |
|    |            |         |         | 21 203           | 108 793 | 39 825  | 21 211            | 110 330 | 2 485   | —  |
| S  |            |         |         | 20 087           | 109 598 | 113 556 | 20 078            | 108 745 | 18 268  | —  |
| Se |            |         |         | 19 267           | 108 900 | 94 293  | 19 287            | 111 960 | 1 227   | 1  |

Besondere Verhältnisse liegen bei den Serien des Wasserstoffs vor: vor kurzem war nur eine einzige Serie bekannt, die, wie erwähnt, von H entdeckt worden war. Für diese ist die Konstante  $C$  gleich null, während  $A$  und  $B$  zueinander in einem einfachen multiplen Verhältnis stehen, so dass die Serienformel in besonders einfacher Gestalt geschrieben werden kann. Sie lautet:

$$\lambda^{-1} = 109\,675,0 \left( \frac{1}{4} - m^{-2} \right) .$$

Diese Formel stellt das gewöhnliche Wasserstoffspektrum, wie es im Vakuumrohr auftritt und umgekehrt im Sonnenspektrum enthalten ist, mit ganz völler Genauigkeit dar, wie die folgende Tabelle zeigt, welche die nach der Formel für  $m = 3$  bis  $m = 15$  berechneten Wellenlängen neben den von gemessenen enthält:

<sup>1</sup> Phil. Mag. (5) 30. 48. 1890.



## Wasserstoffspektrum.

| Linie        | m  | berechnet | beobachtet | Differenz |
|--------------|----|-----------|------------|-----------|
| H $\alpha$   | 3  | 6561,8    | 6562,1     | + 0,3     |
| H $\beta$    | 4  | 4860,8    | 4860,7     | + 0,1     |
| H $\gamma$   | 5  | 4339,8    | 4339,5     | - 0,3     |
| H $\delta$   | 6  | 4101,1    | 4101,2     | + 0,1     |
| H $\epsilon$ | 7  | 3969,5    | 3969,2     | - 0,3     |
| H $\zeta$    | 8  | 3888,4    | 3888,1     | - 0,3     |
| H $\eta$     | 9  | 3834,8    | 3834,9     | + 0,1     |
| H $\theta$   | 10 | 3797,3    | 3797,3     | + 0,0     |
| H $i$        | 11 | 3770,0    | 3769,9     | - 0,1     |
| H $\kappa$   | 12 | 3749,6    | 3750,2     | + 0,6     |
| H $\lambda$  | 13 | 3733,8    | 3734,1     | + 0,3     |
| H $\mu$      | 14 | 3721,4    | 3721,1     | - 0,3     |
| H $\nu$      | 15 | 3711,4    | 3711,2     | - 0,2     |

Neuerdings ist nun in dem Spektrum des Sternes  $\zeta$ -Puppis, das fast ausschließlich aus Wasserstofflinien besteht, neben der bekannten Serie noch eine zweite, aus schwächeren Linien bestehende Serie von PICKERING<sup>1</sup> gefunden worden, welche mit jener zusammen an derselben Stelle des Spektrums ausläuft (d. h. beide Serien haben gleiche Konstante  $A$ ). Daher stehen die beiden Serien zueinander in dem Verhältnis von Nebenserien, und man kann sie als erste und zweite Nebenserie unterscheiden. Die PICKERINGSche Serie ist ganz ähnlich gebaut, wie die BALMERSche; sie läßt sich nach RYDBERG<sup>2</sup> durch eine analog gebaute Formel darstellen, nämlich:

$$\lambda^{-1} = 109675,0 \left[ \frac{1}{4} - (m + 0,500737)^{-2} \right] .$$

Nun kann man nach RYDBERG mittelst einer an den Serien der Alkalien empirisch von ihm gefundenen Beziehung (vergl. p. 45) aus der zweiten Nebenserie die zugehörige Hauptserie berechnen. Dabei ergeben sich für diese die Wellenlängen  $\lambda = 4688, 2735, 2387, 2254, 2188$ . Tatsächlich existiert in den Sternen vom Spektraltypus von  $\zeta$ -Puppis eine sehr starke Linie 4688, welche danach wahrscheinlich den Anfang der Hauptserie des Wasserstoffs vorstellt, deren Fortsetzung im äußersten Ultraviolett liegt, so daß dieselbe bis jetzt noch nicht hat beobachtet werden können.

Es hat nicht an Versuchen gefehlt, die Serienspektren mechanisch zu erklären, d. h. sie darzustellen als die Eigenschwingungen der in Erschütterung versetzten elementaren Atome. Das Problem ist ein mathematisches; es besteht darin, anzugeben, welche Gestalt oder Struktur ein Körper haben muß, um, in Erschütterung versetzt, so zu schwingen, wie die in seinem Spektrum zur Beobachtung gelangenden, ausgesandten Wellenlängen es anzeigen. Bei der Kompliziertheit der spektroskopischen Tatsachen ist es indessen noch nicht gelungen, eine derartige Theorie völlig befriedigend zu entwickeln.

Jedenfalls muß man von vornherein dem schwingenden Gebilde wegen der großen Zahl der Spektrallinien — der Bau der Serien zeigt, daß diese Zahl strenggenommen sogar mehrfach unendlich ist — eine sozusagen hohe Organisation zuschreiben, so daß dieses Gebilde mit den herkömmlichen, absolut harten Atomen, die nur als Ganzes schwingen können, keine Ähnlichkeit mehr hat. Doch bietet auch dann die Zurückführung der Spektren auf elastisch, elektrodynamisch oder hydrodynamisch schwingende Körper die größte Schwierigkeit, denn die Eigenschwingungen dieser, dargestellt als Funktionen ganzer Zahlen,

<sup>1</sup> Astrophys. Journ. 4. 369. 1896. — <sup>2</sup> Ebenda, 6. 233. 1897.



nähern sich niemals einer endlichen Grenze, während die Serienspektren dies tun. Um Systeme von schwingenden Körpern zu ersinnen, deren Eigenschwingungen mit steigender Schwingungszahl sich häufen und in eine „Kante“ auslaufen, denkt sich FITZGERALD<sup>1</sup> Anordnungen, z. B. Systeme von Magneten, in denen die Fortpflanzungsgeschwindigkeit ihrer Schwingungen eine Funktion der Wellenlänge ist, RAYLEIGH<sup>2</sup> offene Ketten, deren Glieder durch Kräfte miteinander verbunden sind, RIECKE<sup>3</sup> die Schwingungen eines Kreisringes in zwei zueinander senkrechten Richtungen. Andere untersuchen die elektromagnetischen Schwingungen von Leitern gewisser Gestalt<sup>4</sup> oder die Schwingungen von Systemen rotierender Elektronen,<sup>5</sup> die beispielsweise Ähnlichkeit haben mit den Ringen des Saturns. Doch kommen dabei die Eigentümlichkeiten der Serienspektren nur unvollkommen und teilweise heraus. Dasselbe gilt von den Untersuchungen von LINDEMANN,<sup>6</sup> die sich auf die Emission einer Kugel, bzw. eines Ellipsoides, beziehen, deren Oberfläche in Ruhe bleibt (eine Knotenfläche darstellt), während elastische Verrückungen in ihrem Inneren stattfinden. Ein einigermaßen bemerkenswertes Ergebnis dieser Theorie ist aber der folgende an der Erfahrung prüfbare Satz: „Die Wellenlängen der Spektren von zwei verschiedenen einatomigen Gasen verhalten sich angenähert wie die Kubikwurzeln aus den Atomgewichten.“ In der Tat konnte LINDEMANN mit befriedigendem Erfolg das Serienspektrum des Magnesiums aus dem des Calciums, des Calciums und Baryums aus dem des Strontiums, des Zinks aus dem des Cadmiums, des letzteren wieder aus dem des Quecksilbers, des Natriums und Kaliums aus dem des Lithiums, des Silbers und Goldes aus dem des Kupfers berechnen, unter Berücksichtigung ihrer Atomgewichte. Allerdings werden bei diesen Rechnungen die einzelnen Serienglieder häufig in anderer Weise einander zugeordnet, als die Formeln von KAYSER und RUNGE es verlangen würden. Hierdurch wird das Stimmen der Theorie zum Teil illusorisch.

Eine erfolgreichere Behandlung der Theorie der Serienspektren scheint neuerdings durch W. RITZ<sup>7</sup> dadurch angebahnt worden zu sein, daß von elastischen Schwingungen ganz abgesehen wird. Es wird vielmehr nur gefragt, ob sich ein einfacher Ansatz für die potentielle Energie eines geeigneten Modells findet, dessen Schwingungen Serienemission ergeben, und es ergibt sich, daß ein ebenes schwingendes Quadrat, dessen Kanten festgehalten werden, ein hier geeignetes Modell ist. Die Theorie führt zu einer Vervollkommnung der p. 4 angegebenen Formel RYDBERGS für Haupt- und zweite Nebenserie:

$$\pm \lambda^{-1} = N_0 [(m + s)^{-2} - (n + a)^{-2}] .$$

Wie dort erwähnt, kann diese Gleichung, in der  $N_0$  als universelle Konstante auftritt, nicht genau sein, da die Konstante  $B$  in den KAYSER-RUNGESchen Formeln individuellen Schwankungen ausgesetzt ist, wenn dieselben auch nicht bedeutend sind. In der Theorie von RITZ spielt nun die Zahl  $N_0$  die Rolle einer exakt universellen Größe, zugleich wird aber auch klar, daß die Konstanten  $s$  und  $a$  für niedere  $m$  und  $n$  durch Reihenentwickelungen ersetzt werden müssen. Faktisch genügen zwei Glieder der letzteren, so daß die Schlußformel für Haupt- und zweite Nebenserie vier individuelle Konstanten enthält, also zwar mehr als die RYDBERGSche, aber zwei weniger als die KAYSER-RUNGESchen Formeln. Dabei ist in der neuen Fassung der Anschluß der Rechnung an die Beobachtung für die niederen Serienglieder besser, als bisher erreicht war. RITZ gibt die Schlußformel in der Gestalt:

<sup>1</sup> Rep. Britt. Ass. 1894. 689. — <sup>2</sup> Phil. Mag. (5) 44. 356. 1897. — <sup>3</sup> DRUDES Ann. 1. 399. 1900. — <sup>4</sup> KOLÁČEK, WIED. Ann. 58. 271. 1896. — GARBASSO, BOLTZMANN-Festschrift, 469. 1904. — <sup>5</sup> NAGAOKA, Phil. Mag. (6) 7. 445. 1904. — <sup>6</sup> Sitz. Ber. d. bay. Akad. d. Wiss. 31. 441. 1901; 33. 27. 1903. — <sup>7</sup> DRUDES Ann. 12. 264. 1903.



$$\pm \lambda^{-1} = N_0 \left[ \left( m + a + \frac{b}{m^2} \right)^{-2} - \left( n + 0,5 a' + \frac{b'}{(n + 0,5)^2} \right)^{-2} \right] .$$

$a, b, a', b'$  sind Konstante,

$N_0$  hat den Wert 109675,0,

für die Hauptserie ist  $n = 1$ ;  $m = 2, 3, 4, \dots$

für die zweite Nebenserie ist  $m = 2$ ;  $n = 1, 2, 3, \dots$

Die Prüfung dieser Formel an den Serien der Alkalien, des Heliums, Wasserstoffs u. s. f. zeigt ihre Überlegenheit über die rein empirischen Formeln und läßt hoffen, daß ihre theoretischen Grundlagen fruchtbar sein werden.<sup>1</sup>

Abschließend wollen wir uns die Bedeutsamkeit einer Theorie der Serienspektren überhaupt vor Augen stellen. Wenn irgend etwas, so würde sie uns aufhelfen, in das „Innere“ des Wesens der Stoffe zu blicken. Doch ist sehr zu merken, daß die geläufige Atomtheorie hier, an ihrem eigentlichen Prüfstein, gänzlich gescheitert ist. Die Spektroskopie scheint dazu berufen, den feinsten Aufbau der Materie — das ist eben der für die Lichtentwicklung maßgebliche — zu enthüllen. Nur ist das Grundgesetz auf diesem Gebiete noch nicht gefunden; das Grundgesetz, das etwa in seinem Umfang dem Grundgesetz der Kristallophysik über den Zusammenhang zwischen Form und Struktur der Kristalle entsprechen würde.

---

<sup>1</sup> Man möchte vermuten, daß die Strahlungsvorgänge einerseits und die Mechanik andererseits sich künftig als zwei verschiedene Spezialfälle einer allgemeinen Kinematik darstellen werden.

## § 6. Über Konstanz und Variabilität der Spektren.

Zwei Tatsachen sind für die Spektroskopie überhaupt und die Spektralanalyse im besonderen, namentlich in ihrer Anwendung auf Himmelskörper, fundamental. Die eine besteht darin, daß das Spektrum eines Gases von der gleichzeitigen Gegenwart anderer Gase, solange sie überhaupt zusammen bestehen, chemische Wirkung also nicht eintritt, stets gänzlich unabhängig ist. Die zweite besagt, daß die Perioden des von Gasen emittierten Lichtes von der Temperatur gänzlich unabhängig sind. Zu bemerken bleibt, daß beide Gesetze sich nur auf reguläre Wärmestrahlung beziehen.

Was die genaue Additivität der Emission von Gemischen betrifft, so ist uns diese so vertraut, und wir halten sie für so natürlich, daß sie nie bezweifelt wurde und kaum der Erwähnung zu bedürfen scheint. Es beruht darauf die Möglichkeit, Stoffe in homogenen Gemengen zu erkennen, ohne sie vorher von ihren Begleitern durch chemische Operationen abzusondern. Ein beliebiges Salzgemisch, in der Flamme oder dem Bogen verdampft, läßt sich mit einem Blick durch das Spektroskop analysieren, und ebenso unterscheiden wir ja die Stoffe der Sonnenatmosphäre und der Sterne. Wir wollen gleich hinzufügen, daß für die Absorptionsspektren dasselbe gilt. Im Luftspektrum erkennen wir unmittelbar eine Reihe ihrer Bestandteile, Wasserdampf und Kohlensäure im Infrarot Sauerstoff in den Fraunhoferlinien *A*, *B*, *a*, Ozon im Ultraviolett. Ebenso erlaubt das Spektroskop die Zusammensetzung wässriger Lösungen, die beispielsweise beliebige Salzgemische bunter Erden enthalten, ohne weiteres zu erkennen. In der Tat drückt dieses Verhalten nur das chemisch unveränderte Fortbestehen der Bestandteile des Gemisches in demselben aus.

Aber dies ist gerade eine äußerst wichtige Erscheinung. Denn die Aussage, daß ein vorliegendes homogenes Gemisch, sei es übrigens Gas, Lösung, Glas, Legierung, aus diesen und jenen Stoffen besteht, hat im Grunde eine umständliche experimentelle Bedeutung. Wir müssen dazu entweder nach GIBBS die vorgelegte Phase mit Hilfe von halbdurchlässigen Wänden äußerlich abtasten und die chemischen Potentiale (Partialdrucke) der Komponenten außerhalb der halbdurchlässigen Wände messen, oder wir müssen die Phase nach OSTWALD in ihre konstituierenden Phasen auseinander fraktionieren. Beide Methoden erfordern zu ihrer Durchführung gegebenenfalls vorher noch Zusatz des unendlich negativen Katalysators. Mit dem Spektroskop aber können wir in das Inner einer (durchsichtigen) Phase hineindringen und unmittelbar erschauen, was wir sonst nur durch begrifflich, wie experimentell umständliche, chemische Arbeit erschließen.

Der zweite Satz, der sich auf die Unveränderlichkeit der emittierten Wellenlänge von der Temperatur bezieht, ist mehrmals in Frage gestellt worden, hat sich aber bis jetzt behauptet, indem sich kleine Verschiebungen von Spektrallinien, die wirklich beobachtet werden, als von anderen Ursachen herrührend herausstellten, die alsbald zur Erwähnung kommen werden. Die völlige Konstanz der emittierten Wellenlängen innerhalb der Meßgenauigkeit bedeutet um so mehr, als Wellenlängenbestimmungen bei großer Dispersion zu den genauesten Messungen gehören, über die man in der Physik überhaupt verfügt. Und daß die Stoffe so überaus konservativ sind in der Qualität ihrer Emission (und Absorption), steht in einem jedenfalls sehr bedeutungsvollen Gegensatz zu ihrem sonstigen Verhalten. Sehen wir von der Schwere ab, die von der stofflichen Natur überhaupt unabhängig ist, so finden wir, daß alle Eigenschaften der Stoffe Temperaturfunktionen sind, mit der einzigen Ausnahme der Wellenlängen ihrer Strahlung.

Um so mannigfaltiger ist dagegen die Beziehung zwischen der Intensität der Strahlung mit der Temperatur. Für die schwarze Strahlung wissen wir zwar aus der W. WIENSchen Formel, in welcher Weise die Intensität jeder Wellenlänge mit der Temperatur variiert. Und insofern man die Strahlung eines Gases für die emittierten Wellenlängen stets in die schwarze Strahlung verwandeln kann durch Betrachtung genügend dicker Schichten, vermögen wir wohl den individuellen Einfluß der Substanz auszuschalten. Es steckt aber eben in der Schichtdicke. Für die schwachen Linien eines Spektrums ist die zur Erzielung schwarzer Emission zu nehmende Schichtdicke sehr viel größer als für die starken. Mit zunehmender Temperatur werden die Gase im allgemeinen wohl undurchsichtiger, so daß bei höherer Temperatur schon in geringerer Schichtdicke schwarze Strahlung erreicht ist; von Fall zu Fall kann dies aber ganz verschieden sein; es könnte selbst vorkommen, daß der Emissionskoeffizient für gewisse Linien eines Spektrums mit steigender Temperatur nicht wüchse oder sogar abnähme, so daß für gleichbleibende Schichtdicke die relative Helligkeit dieser Linien mit steigender Temperatur in einem gewissen Intervall gelegentlich geringer würde.

Da wir in Flammen, in Bogen und Funken selten oder nie leuchtende Gase in solchen Schichtdicken vor uns haben, daß ihre Emission der schwarzen gleichkommt, so werden diese Betrachtungen erklären, daß man in dem Linienreichtum und dem Stärkeverhältnis der Linien der elementaren Emissionsspektren beträchtlichen Veränderungen begegnet, wenn man dasselbe unter den verschiedenen Temperaturbedingungen erzeugt, die in Flammen und im Bogen und Funken obwalten.

Einige dieser Intensitätsveränderungen sind aber so auffällig, daß sie zu besonderen Vermutungen auffordern. Sie beziehen sich auf das Verhältnis der Bogen- und Funkenspektren der Metalle. Hier findet man vielfach, daß starke Bogenlinien im Funken schwach und ebenso, daß starke Funkenlinien im Bogen schwach sind. Darauf bezügliche Daten sind namentlich von NORMAN LOCKYER gesammelt und zusammengestellt worden. Bedürfen dieselben auch noch sehr der weiteren experimentellen Bearbeitung, so kann man doch nicht ihre problematische Natur verkennen. Einerlei, ob die Funkenstrecke oder der Raum des Lichtbogens heißer ist, worüber man nichts sicheres weiß, scheint die Tatsache, daß gewisse starke Liniengruppen verblassen und andere schwache hell werden, wenn man vom Bogen zum Funken übergeht, zu lehren, daß der leuchtende Metaldampf, etwa Eisen oder Kupfer, aus mehreren Stoffarten besteht, die miteinander im chemischen Gleichgewicht stehen. Bei Temperatursteigerung würde sich dieses Gleichgewicht zugunsten der endothermen Allotropen verschieben. Das Spektrum, das wir beobachten, wäre die Zusammensetzung der Einzelspektren der gleichzeitig vorhandenen allotropen Formen. Dabei bleibt es vorderhand naturgemäß unbestimmt, ob es sich bei den einatomigen Metalldämpfen um Dissoziationen in Unteratome handelt, analog der Joddissoziation:  $J_2 = 2J$ , oder



um Assoziation, analog der Ozonbildung bei hoher Temperatur:  $3 \text{ O}_2 = 2 \text{ O}_3$ , oder ob die Molekulargröße ungeändert bleibt, analog den Isomeren der Kohlenstoffverbindungen. Daß im ersten und dritten Fall eine Unterteilung des chemischen Atoms vorzunehmen wäre, um die Erscheinung in den Rahmen der üblichen Mosaiktheorie der chemischen Verbindung einzubeziehen, wäre dabei von minderem Belang, als es die Konstatierung chemisch unterschiedener Formen in elementaren Metaldämpfen an und für sich wäre. Obwohl nun hierzu das von LOCKYER beigebrachte Material noch nicht völlig auszureichen scheint, so gewinnen seine Beobachtungen von der gruppenweisen Unabhängigkeit elementarer Spektrallinien voneinander doch an Gewicht, wenn man sie zusammenhält mit dem von Serie zu Serie wechselnden Verhalten der Serienlinien gegenüber dem magnetischen Feld, gegenüber Druckeinwirkung (s. w. u.) und auch gegenüber den Bedingungen der Temperatur. Letztere zeigen sich z. B. darin, daß die zweite PICKERINGSche Nebenserie des Wasserstoffs bis jetzt nur in Sternspektren gefunden worden ist und unter irdischen Bedingungen noch nicht hergestellt werden können.<sup>1</sup>

Innerhalb des engen, uns hier gesteckten Rahmens muß es genügen, auf die hier vielleicht vorhandenen Keime hinzuweisen, die eine Umgestaltung der Chemie der Elemente bewirken könnten. Alles deutet darauf hin, daß das Spektroskop Verschiedenheiten in der Natur der Stoffe, speziell der Elemente aufdecken wird, welche der rein chemischen Erforschung zunächst verborgen bleiben.

Anders geartet als die vorstehend besprochene, verhältnismäßig geringfügige Variabilität ist eine Mannigfaltigkeit in der spektroskopischen Erscheinungsform der Stoffe, die man als „mehrfache Spektren“ bezeichnet und ihre Ursache wohl in dem durch elektrische Schwingungen erzwungenen Leuchten hat.

Wir verstehen unter „mehrfachen Spektren“ die Tatsache, daß von einem und demselben Stoff manchmal mehr als ein Emissionsspektrum bekannt ist. Mit „Stoff“ meinen wir hier eine bestimmte Molekulgattung. Denn da beispielsweise  $\text{O}$ ,  $\text{O}_2$ ,  $\text{O}_3$  drei chemisch verschiedene Stoffe sind, so ist es natürlich, daß sie auch drei verschiedene Spektren besitzen. Allein es kommen mehrere Spektren auch vor bei Elementen, bei denen man von verschiedenen Molekulargrößen, d. h. von allotropen Formen, nichts weiß. So kennt man vom einatomigen Argon zwei Spektren, das rote und das blaue. Das letztere ist für oszillierende Entladung (Kondensator und Funkenstrecke im Stromkreis) charakteristisch. Ähnlich sendet destillierender Quecksilberdampf nach EDER und VALENTA bei gewissen Bedingungen der Erregung ein Bandenspektrum aus, während es sonst ein Linienspektrum zeigt. Daß die mehrfachen Spektren nicht mit verschiedenen Temperatur des leuchtenden Gases zusammenhängen, läßt sich daran erkennen, daß sie häufig nebeneinander auftreten. Besonders oft kommt dies beim Argon

<sup>1</sup> Daß die Serien der Alkalien in gewissen Temperaturgebieten gesondert auftreten und daß hieraus Schlüsse auf eine Unterteilung der elementaren Atome zu ziehen seien, ist von LENARD ausgesprochen worden. Er beobachtete die Bogenspektren der Alkalien in der Weise, wie die Spektren der Protuberanzen der Sonne untersucht werden. Nach Entfernung des Spalts des Spektroskops wird ein reelles Bild des Lichtbogens vor dem Kollimator entworfen. Dieses wird durch das Prisma in so viele nebeneinander liegende Bilder homogenen Lichtes zerlegt, als die im Bogen leuchtenden Metaldämpfe Lichtarten emittieren. Mit dieser Anordnung beobachtete LENARD, daß die von den Linien der Hauptserien herrührenden Bogenbilder, welche die Größe des ganzen Bogens haben, aus einem inwendig anscheinend hohlen Mantel bestehen. Die Bilder der Nebenserien zeigen dagegen an, daß sie nur im Kern des Bogens emittiert werden. LENARD fügte den Schluß hinzu, daß die Hauptserien nur vom Saum des Bogens ausgesandt wurden. Doch scheint hier nicht berücksichtigt zu sein, daß die anscheinende Hohlform der Bilder der Hauptserien nur der Selbstumkehr entspricht, die man an den „langen“ Linien in deren Mitte bemerkt, wenn man nach LOCKYERs Methode mit Spalt beobachtet und quer zu dessen Längserstreckung ein reelles Bild des Bogens auf ihm entwirft (vergl. p. 36).



vor, dessen beide Spektren man in verschiedenem Stärkeverhältnis häufig zusammen erblickt. Im kapillaren Teil eines mit Stickstoff gefüllten Geißlerrohres sieht man bei gewöhnlicher Entladung ein Banden-, und nach Zwischenschaltung einer Leydener Flasche das Linienspektrum des Stickstoffs. Versieht man aber das Geißlerrohr mit vier Elektroden und läßt gleichzeitig durch das eine Paar eine gewöhnliche und das andere Paar eine Flaschenentladung durchgehen, so treten nach MONKHOEVEN<sup>1</sup> beide Spektre zusammen auf. Nimmt man das eine Spektrum als reguläre Strahlung des glühenden Gases, so muß das andere eine erzwungene Strahlung sein, eine Lumineszenz.

Grundsätzlich anders ist die Sachlage, wenn zwei beobachtete Emissionsspektren desselben Elementes nachweislich verschiedenen Temperaturgebieten angehören. So z. B. kennt man vom Jod zwei Emissionsspektre, das eine existiert bei tieferer, das andere bei höherer Temperatur, und es findet der Umschlag in dem Temperaturgebiet statt, wo die Dissoziation des Joddampfes in Atome beträchtlich wird.<sup>2</sup> Das Emissionsspektrum bei niederen Temperaturen ist identisch mit dem Absorptionsspektrum des Joddampfes. Man wird daher dieses Spektrum den Molekülen  $J_2$ , das andere dagegen, welches bei sehr hohen Temperaturen hervortritt, den Molekülen  $J$  zuschreiben.

Während hier die Verhältnisse durchsichtig sind, liegen sie beispielsweise beim Sauerstoff um so verwickelter. Entsprechend den drei chemischen Zuständen,  $O$ ,  $O_2$ ,  $O_3$ , zu denen sich vielleicht noch ein vierter,  $O_4$ , gesellt, wären drei (bezw. vier) reguläre Emissionsspektren in verschiedenen Temperaturzonen zu erwarten, je nach dem Vorwiegen einer der drei Sauerstoffarten im Gleichgewicht. Es sollte  $O_2$  das Absorptionsspektrum des kalten Sauerstoffs (die FRAUNHOFERSchen Liniengruppen  $A$ ,  $B$ ,  $\alpha$ ) emittieren und  $O_3$  das des kalten Ozons. In Wirklichkeit aber kennt man weder diese beiden Absorptionsspektren in Emission, noch auch das weitere, von JANSSEN entdeckte Absorptionsspektrum (das vielleicht  $O_4$  zuzuschreiben ist). Dafür gibt es drei andere Emissionsspektre des Sauerstoffs, die unter verschiedenen Bedingungen im Vakuumrohr wahrgenommen werden, nämlich ein Bandenspektrum<sup>3</sup> am negativen Pol bei mäßigem Druck, das Serienspektrum von RUNGE und PASCHEN bei der Entladung ohne Flasche, und das „elementare“ Linienspektrum von PLÜCKER bei der Entladung mit Flasche und Funkenstrecke.

Wie man sieht, kann das gesamte spektrale Verhalten eines Elementes sehr verwickelt sein. Namentlich gilt dies von Metalloiden, während von Metaldämpfen eine Mehrheit von Spektren wenig bekannt ist. Bandenspektre werden im allgemeinen von mehratomigen Gasen, namentlich durchgehends von chemischen Verbindungen, geliefert.

Wir haben nun noch drei Umstände zu nennen, welche kleine Verschiebungen in der Lage der Emissionslinien bewirken. Der erste betrifft den aus kinematischen Gründen zu erwartenden Einfluß der Bewegung der Lichtquelle in Richtung der Sehlinie. Geschieht eine solche Bewegung rasch genug, um mit der Lichtgeschwindigkeit vergleichbar zu sein, so tritt eine merkliche Verschiebung der Spektrallinien nach Rot ein, wenn der Körper sich hinwegbewegt, und im umgekehrten Falle eine ebensolche nach Blau (Prinzip von DOPPLER). Von der stofflichen Natur des emittierenden Körpers ist diese Verschiebung natürlich völlig unabhängig. Wie bekannt, vermag man aus diesem Verhalten Schlüsse zu ziehen auf die Bewegung der Himmelskörper in Richtung der Gesichtslinie.

Die beiden weiteren Umstände sind der Druck und das magnetische Feld. Sie beeinflussen nur Linien-, nicht Bandenspektre. Es wird dadurch ein tieferer Unterschied zwischen beiden aufgedeckt.

<sup>1</sup> Compt. Rend. 95. 520. 1882. — <sup>2</sup> KONEN, Über die Spektren des Jods. WIED. Ann. 85. 257. 1898. — <sup>3</sup> SCHUSTER, Phil. Trans. 170. I. 37.

Druck bringt kleine Verschiebungen der Linien nach der roten Seite hin hervor.<sup>1</sup> Sind dieselben auch so klein, daß sie für die Zwecke der Spektralanalyse nicht in Betracht kommen, so spielen sie doch bei der Normierung der Wellenlängenbestimmung eine Rolle. Auch sind sie für die Astrophysik interessant, weil man aus ihnen den Druck in der umkehrenden Schicht der Sonnenatmosphäre berechnen kann.

Die Änderung ist dem Druck und der Wellenlänge proportional, außerdem von der Natur des Stoffes abhängig (etwa der dritten Wurzel aus dem Atomgewicht proportional). Bei der Calcium-Magnesium-Gruppe verrücken sich nicht alle Linien gleichmäßig. Sie teilen sich vielmehr in zwei Gruppen, mit je einer charakteristischen Verschiebung. Für  $\lambda = 480$  sind die Verrückungen pro Atmosphäre Druckzunahme:

|                                 |                                       |
|---------------------------------|---------------------------------------|
| Na: $108 \times 10^{-5} \mu\mu$ | Ca 54 oder $27 \times 10^{-5} \mu\mu$ |
| Li: 85                          | Sr 65 „ 37                            |
| K: 132                          | Ba 58 „ 34                            |
| Cr: 26                          | Mg 44 „ 30                            |
| Fe: 25                          |                                       |
| Ni: 28                          |                                       |
| Ti: 22                          |                                       |
| Al: 55                          |                                       |
| Bi: 49                          |                                       |
| U: 9                            |                                       |

In einem magnetischen Feld erleiden die Emissionslinien der glühenden Gase eine eigentümliche Veränderung, indem sie sich in zwei oder mehrere Lichtarten von geringem Unterschiede der Wellenlänge spalten (Zeemanneffekt). Das typische Verhalten besteht darin, daß senkrecht zu den magnetischen Kraftlinien die Emissionslinie sich in drei Linien auflöst, welche polarisiert sind. Das Licht der mittleren Linie schwingt parallel, das der äußeren senkrecht zu den Kraftlinien. Parallel zu den Kraftlinien des Feldes gesehen, verdoppelt sich die Emissionslinie in zwei entgegengesetzt, kreisförmig polarisierte Strahlen. Von diesem typischen Verhalten, von dem man sich nach H. A. LORENTZ theoretische Rechenschaft geben kann, wenn man sich als Erregung der Lichtwelle die Schwingung eines Elektrons denkt, weichen indessen viele Spektrallinien ab, indem sie sich statt in drei in vier, fünf, sechs und mehr Linien spalten. Von diesen individuellen Unterschieden kann mit Vorteil ein diagnostischer Gebrauch gemacht werden, um die Zugehörigkeit einer Linie zu einer Linienserie zu entscheiden. Linien derselben Serie verhalten sich erfahrungsgemäß im magnetischen Felde übereinstimmend.

Der Betrag der Linienverschiebung macht in mäßigen magnetischen Feldern etwa  $0,02 \mu\mu$  aus; übrigens ist die Änderung der Schwingungszahl für verschiedene Linien im gleichen magnetischen Felde verschieden.<sup>2</sup>

Die theoretische Bedeutung des Zeemanneffektes wird sehr hoch angeschlagen, da derselbe zu den übrigen elektromagnetischen Charakteren der Lichtstrahlung (magnetische Drehung der Polarisationssebene, gleiche Fortpflanzungsgeschwindigkeit wie HERTZsche Wellen, deren Beziehung zur Dielektrizitätskonstante, Lichtdruck) noch den Nachweis hinzufügt, daß die Emission selber den Charakter einer elektrischen Störung an sich trage.

<sup>1</sup> W. J. HUMPHREY und J. F. MOHLER, Astrophys. Journ. 3. 114. 1896. — JEWELL, ebenda, 3. 89. 1896. — <sup>2</sup> Eingehenderes vergl. das von C. RUNGE verfaßte Kap. 9 im 2. Band von H. KAYSERS Handbuch der Spektroskopie.

## § 7. Die Absorption des Lichtes.

Ebenso wie die Emission gehört auch die Absorption des Lichtes zu der Charakteristik der Stoffe. Daß die Absorptionsspektren der glühenden Gase zu ihrer Erkennung dienen können, ist ohne weiteres klar, da sie ja die genaue Umkehrung ihrer Emissionsspektren sind und als solche in dem Spektrum der Sonne und der Fixsterne vorliegen. Bei niederen Temperaturen sind die meisten Gase so durchsichtig, daß sie Absorptionsstreifen nur erkennen lassen, wenn sie in sehr bedeutender Schichtdicke mit dem Spektroskop untersucht werden. Nur diejenigen, welche wie Jod oder Stickstoffdioxid stark gefärbt sind, erzeugen schon in geringer Schichtdicke deutliche Absorptionsbandenspektren.

Aber auch gelöste, flüssige oder feste Stoffe besitzen oft ein charakteristisches Absorptionsspektrum, welches durch die auswählende und vorzugsweise Absorption einzelner Strahlengattungen zustande kommt und die Farbe der Stoffe hervorruft. Ein Stoff ist um so durchsichtiger, je geringer sein Lichtabsorptionsvermögen ist. Ein Stoff, der alle sichtbaren Strahlengattungen in demselben Maße absorbiert, ist grau bis schwarz; absorbiert er aber einzelne der sichtbaren Strahlengattungen mehr als andere, so erscheint er gefärbt. Im Spektrum der farbigen Stoffe kommt dies durch dunkle Streifen oder Banden zum Ausdruck, an deren Lage und Form farbige Stoffe, namentlich in Lösung, häufig scharf und sicher erkannt werden können.

Am undurchsichtigsten sind die Metalle. Doch ist ihre Undurchsichtigkeit keine gleichmäßige, vielmehr zeigen sie in dünnen Schichten meist eine Farbe; z. B. ist Gold in dünnen Schichten grün, Silber blau.<sup>1</sup> Andererseits sind auch Stoffe von hoher Durchsichtigkeit, wie Wasser, Glycerin, Äthyläther, nicht gleichmäßig durchsichtig, sondern besitzen, in genügender Schichtdicke betrachtet, ausgesprochene Farben. Wasser ist blaugrün, Glycerin ebenfalls; Äthyläther und Aceton sind goldgelb. Nach SPRINGS<sup>2</sup> Versuchen erweisen sich allgemein die Hydroxylgruppe als blaufärbend und Kohlenwasserstoffketten als gelbfärbend.

Durchaus farblos sind nach SPRING<sup>3</sup> LiCl, NaCl, KCl, KBr, NaNO<sub>3</sub>, KNO<sub>3</sub>, MgCl<sub>2</sub>, CaCl<sub>2</sub>, SrCl<sub>2</sub>, BaCl<sub>2</sub>, ZnCl<sub>2</sub> in wässriger Lösung, indem durch

<sup>1</sup> Die Farbe des durchgelassenen Lichtes bei Metallen ist indessen nicht allein durch selektive Absorption bedingt, sondern daneben auch durch selektive Reflexion, durch sog. „metallische“ Reflexion. Hierunter versteht man den Umstand, daß das Reflexionsvermögen des betrachteten Stoffes für gewisse Strahlen sehr viel größer ist als für andere. Hierdurch kommen Oberflächenfarben zustande. Diese sind zur Farbe in der Durchsicht komplementär, wenn nicht selektive Absorption noch hinzukommt. — <sup>2</sup> Arch. d. sc. phys. et nat. (4) 2. 105. — <sup>3</sup> Arch. d. sc. phys. et nat. (4) 2. 5.



deren Auflösung die reine blaue Farbe des Wassers nicht verändert wird. Jedoch nimmt die Durchsichtigkeit dieser wässrigen Lösungen mit zunehmender Konzentration der Salze ab, wobei eine Beziehung zu bestehen scheint zwischen der Leitfähigkeit oder elektrolytischen Dissoziation der Lösung und ihrer Durchsichtigkeit. Die Lösungen sind um so undurchsichtiger, je besser sie leiten.

Ebenso wie in der Emissionsspektroskopie interessieren auch hier sowohl zu analytischen, wie zu sonstigen wissenschaftlichen Zwecken vorzugsweise die Stoffe mit selektiver oder streifiger Absorption, und wir begegnen derselben allgemeinen Tatsache, wie bei der Emission, daß nämlich die Absorption eines bestimmten Stoffes ziemlich unabhängig von den Bedingungen der Temperatur, des Druckes, der Formart und der Mischung mit anderen Stoffen ist. Man erkennt also auch hier wieder die feste Beziehung zwischen Stofflichkeit und Verhalten zum Licht. Dieser bedeutungsvolle Umstand ist es, der die Spektroskopie vielen Aufgaben der Chemie besonders nahe bringt.

Doch ist diese Unabhängigkeit von äußeren Bedingungen keine vollkommene. Diejenigen Veränderungen zwar, welche wir an dem absorptiven Verhalten eines Stoffes bemerken, von dem man nachweisen oder wahrscheinlich machen kann, daß sein chemischer Zustand bei der vorgenommenen Änderung der äußeren Bedingungen sich mitgeändert hat, daß also Dissoziation oder Assoziation damit verbunden ist. — diese Veränderungen werden wir nicht nur erwarten, sondern sogar verlangen. Allein anscheinend beobachtet man manche stetige Änderungen in der Lichtabsorption auch dann, wenn — soweit die Erfahrung reicht — das Auftreten anderer Molekulgattungen nicht begründet werden kann.

Beispiele von der Änderung der Lichtabsorption mit der Temperatur welche wahrscheinlich nicht von Änderungen in der Dampfdichte, d. h. im Molekulargewicht, herrühren, bieten die Dämpfe der Alkalimetalle. Nahe beim Siedepunkt sieht Kaliumdampf grün, Natriumdampf purpurrot aus, bei höherer Temperatur wird der erstere violett, der letztere gelb.<sup>1</sup> Dagegen kann man für die Absorptionsänderung des Schwefel-<sup>2</sup> und Joddampfes<sup>3</sup> deren Zusammenhang mit der Dampfdichte nachweisen oder sehr wahrscheinlich machen. Daneben gibt es allerdings beim Joddampf,  $J_2$ , noch kleine Temperaturveränderlichkeiten,<sup>4</sup> für die man wohl keinen chemischen Grund mehr angeben kann.

Bei Flüssigkeiten, Lösungen organischer Farbstoffe und bei festen Stoffen findet man mit einiger Regelmäßigkeit, daß mit steigender Temperatur die Absorption sich von Violett nach Rot verschiebt und die Farbe sich demgemäß vertieft. Als Beispiele seien genannt: Brom wird bei  $-50^\circ$  hellrotgelb nach SCHÖNBEIN;<sup>5</sup> geschmolzenes Bromsilber hat ein Absorptionsband bei  $\lambda = 470$  welches nach SCHUMANN<sup>6</sup> mit steigender Temperatur nach Gelb hinrückt; Rosanilin, in Wasser gelöst, wird dunkler rot nach HOUSTON,<sup>7</sup> die Permanganatstreife verschieben sich nach BRENNER<sup>8</sup> ebenfalls ein wenig (um 2 bis 3  $\mu$  zwischen  $20^\circ$  und  $80^\circ$ ) nach Rot. Zinkoxyd wird in der Hitze gelb, das gelbe Bleichromat orange, Realgar rot usw.,<sup>9</sup> umgekehrt wird durch Abkühlen Schwefel hellgelb, das gelbe Jodoform weiß usw.<sup>10</sup>

Mannigfaltig sind die Änderungen der Farbe mit der Temperatur bei Salzlösungen. Doch haben wir hier chemische Änderungen zur Erklärung. Sie bestehen in der Verschiebung der hydrolytischen und elektrolytischen Dissoziation, sowie in der Veränderung der Hydratation und Komplexbildung der Ionen und neutralen Molekulgattungen in der Lösung. Lehrreiche Beispiele dieser Art haben wir in Lösungen von Jod, von Kobalt- und Chromsalzen.

<sup>1</sup> DUDLEY, Ann. chem. Journ. **14**. 185. 1892. — <sup>2</sup> GERNEZ, Compt. Rend. **74**. 803. 1872. — <sup>3</sup> KONEN, WIED. Ann. **65**. 257. 1898. — <sup>4</sup> EBERT, Sitz. Ber. physic.-med. Soc. Erlange 1889. — <sup>5</sup> J. pr. Ch. **55**. 129. 1852. — <sup>6</sup> EDERS Jahrbuch. **7**. 160. 1893. — <sup>7</sup> Chem. News **24**. 177. 1871. — <sup>8</sup> Z. anorg. Chem. **1**. 104. 1892. — <sup>9</sup> HOUSTON, Chem. News. **24**. 17. 1871. — <sup>10</sup> KASTLE, Chem. News. **82**. 90. 1900.

Die braune Lösung von Jod in Fettsäureestern wird beim Erhitzen violett.<sup>1</sup> Gewisse Eigenschaften der braunen Jodlösungen (in Wasser, Alkohol, Äther, Glycerin usw.) deuten darauf hin, daß in ihnen das Jod zum Teil in Verbindung mit dem bezüglichen Lösungsmittel vorliegt, während es in den violetten Lösungen (in Schwefelkohlenstoff, Chloroform usw.) „frei“ gelöst ist.<sup>2</sup> Da die Hydrate, Glycerinate usw. der braunen Lösungen mit steigender Temperatur zunehmend zerfallen, so hat man zu erwarten, daß die Farbe der braunen Lösungen in der Hitze sich dem Violett nähert.

Konzentrierte wässrige Lösungen von Kobaltsalzen, bei gewöhnlicher Temperatur rot bis rotviolett, werden beim Erhitzen blau. Dieselbe Veränderung erleiden sie auch durch Zusätze von Alkohol, Schwefelsäure, Chlorcalcium u. s. f. Ob es sich hier immer um dieselbe chemische Veränderung handelt, steht noch dahin. Festgestellt ist jedenfalls, daß in der Lösung des Chlorides die rote Farbe von dem Kobaltion  $\text{Co}^{++}$ , die blaue Farbe von dem komplexen Ion  $\text{CoCl}_4^{--}$  herrührt.<sup>3</sup> Das blaue Ion wandert anodisch, das rote kathodisch. Durch Zusatz von Chlorion werden die roten Lösungen blau, durch Zusatz solcher Metallionen, welche selbst Komplexe mit Chlorion bilden, wie  $\text{ZnCl}_4^{--}$ ,  $\text{HgCl}_4^{--}$ , und daher Chlorion verbrauchen, werden die blauen Lösungen rot. Daneben scheint aber auch das undissoziierte Kobaltchlorid,  $\text{CoCl}_2$ , blau zu sein.

Violette Chromsalzlösungen werden beim Erhitzen grün. Hier weiß man, daß die violette Farbe dem Chromion,  $\text{Cr}^{+++}$ , in dieser oder in hydratisierter Form,  $\text{Cr}(\text{H}_2\text{O})_n^{+++}$ , zukommt, während die grüne Lösung komplexe Chromionen enthält, im Falle des Chlorides von der Zusammensetzung:<sup>4</sup>  $[\text{CrCl}_2(\text{H}_2\text{O})_6]$ .

Ersichtlich sind dergleichen Farbenänderungen beim Erhitzen von Lösungen geeignet, auf chemische Vorgänge in denselben aufmerksam zu machen.

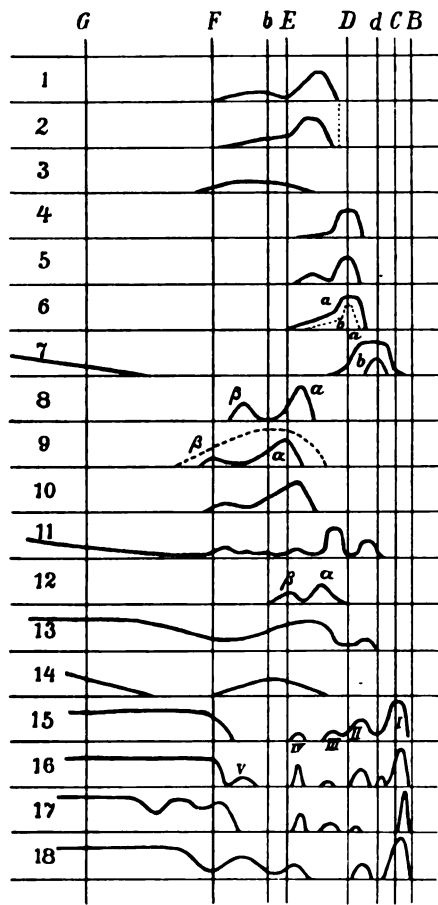
Ein Stoff, bei dem man eine Temperaturveränderlichkeit der Absorption erwarten sollte, weil er nach allen sonstigen Erfahrungen, die wir besitzen, sehr stark assoziiert ist,<sup>5</sup> und der trotzdem nichts davon verrät, ist das Wasser. Flüssiges Wasser besitzt nach PASCHEN<sup>6</sup> im Ultrarot Absorptionsbänder bei  $\lambda = 1,4 - 2,0 - 2,9 - 4,7 - 6,1 \mu$ , und diese finden sich in der Absorption des Wasserdampfes und auch in der des Eises unverändert wieder. Im glühenden Dampf erscheinen dieselben Bänder auch in Emission. In der Tat haben wir hier eines der schönsten Beispiele der Unveränderlichkeit des Spektrums von den tiefsten Temperaturen bis über  $2000^\circ \text{C}$ .

Die Absorptionsspektroskopie erhält ihr Gepräge dadurch, daß ihr Gegenstand vorzugsweise durch die Untersuchung von Flüssigkeiten, speziell Lösungen gegeben ist und deren selektive Absorption in Streifen von unscharfer Begrenzung besteht. Praktisch am wichtigsten sind Lösungen. Wir müssen für diese jetzt die Frage nach dem Einfluß der Konzentration und nach dem des Lösungsmittels erledigen.

Zunächst bringt die unscharfe Begrenzung der Absorptionsstreifen es mit sich, daß dieselben bei Betrachtung mit dem Auge nicht nur dunkler, sondern auch breiter werden, wenn man die Schichtdicke der untersuchten Substanz vergrößert. Und es erfolgt die Verbreiterung unsymmetrisch, da im allgemeinen der Abfall der Absorption von der Stelle maximaler Schwächung nach dem roten und violetten Ende des Streifens unsymmetrisch ist. So kommt es, daß ein Absorptionsband sein Aussehen und auch seine Lage zu verändern scheint, wenn man von geringer zu großer Schichtdicke übergeht. Diesem Umstand, der

<sup>1</sup> E. WIEDEMANN, WIED. ANN. 42. 299. 1890. — <sup>2</sup> Vergl. HANTZSCH, Z. physik. Chem. 30. 258. — <sup>3</sup> DONNAN, BASSETT, FOX, Journ. chem. Soc. 81. 939. 1902. — <sup>4</sup> WERNER u. GÜSSER, Ber. 34. 1579. — <sup>5</sup> Vergl. DRUCKER, Z. Elchem. 11. 845. 1905. — <sup>6</sup> WIED. Ann. 52. 209. 1894.

allerdings nur in der Optik des Auges begründet liegt, muß man bei stellung von Absorptionsstreifen Rechnung tragen. Man bedient sich einer einfachen graphischen Darstellung der Stärke der Absorption als der Wellenlänge. Vielfach genügt es, die Stärke der Absorption mit  $\alpha$  zu schätzen. Erheischt der Zweck jedoch größere Exaktheit, so nimmt von HARTLEY dazu ausgebildetes photographisches Verfahren zu Hilfe. Man erhält man als Darstellung eines Absorptionsstreifens eine im allgemeinen bergförmige Kurve, die allenfalls mehrere Gipfel besitzt. Sie stellt die



Figur 11.

Diagramme der Absorptionsspektren einiger wichtiger Farbstoffe nach H. W. VOGEL.<sup>3</sup>

ob dasselbe von Änderungen der Konzentration unabhängig ist. Es versteht sich, daß wir dabei Lösungen meinen, die bei Verdünnung chemischen Änderungen nicht unterliegen. Unter der Unabhängigkeit der Lichtabsorption einer von ihrer Konzentration verstehe man folgendes: Es werde die bei wässriger Lösung eines gefärbten Stoffes, die sich in einer langen zylindrischen

dem betrachteten Absorptions Schwächung des Lichtes von seinem violettem Ende fortschreitend und abnimmt und bei welcher Wellenlänge das Maximum der Absorption liegt. Figur 11 enthält Diagramme der Absorptionsspektren einiger wichtiger Farbstoffe nach H. W. VOGEL<sup>1</sup> und gibt eine Vorstellung von der Mannigfaltigkeit der Gestaltung der Absorptionsbänder.

Um diese Intensitätskurven graphisch zu erhalten, hat HARTLEY<sup>2</sup> bei einer Reihe von fortschreitender Schichtdicken photographische Aufnahmen des Absorptionsspektrums und bemisst die Absorptionsdauer, die bei der Aufnahme dieselbe bleibt, so, daß bei der fortschreitenden Schichtdicke nur eben die Stärke der Absorption auf der Platte wiedergegeben wird. Die Photographen werden sodann übereinander gelegt und die Ränder der nicht geschwärzten Negative durch eine Kurve verbunden. Eine Anschauung der so erhaltenen Absorptionskurven vermittelt die stehende Figur 12, welche die violette Absorption des Benzol in Alkohol zu 0,05 Mol pro Liter der Schichtdicke 1 bis 25 mm zeigt (HARTLEY).

Hat man nun auf die so beschriebene Art Kenntnis von dem absorptiven Verhalten eines Stoffes, der in einem praktisch nicht veränderlichen Lösungsmittel zu einer Konzentration gelöst ist, so kann man

<sup>1</sup> Vergl. dessen Werk: „Praktische Spektralanalyse indischer Stoffe“. 2. Aufl. Oppenheim. 1889. — <sup>2</sup> Vergl. dessen Artikel: „Beziehungen zwischen Absorption und Konstitution organischer Körper“ im 3. Bande von H. KAYSERS Handbuch der Spektroskopie. Kap. III. — <sup>3</sup> Erläuterung dazu siehe § 9, Abschnitt: Organische Farbstoffe.



befindet und dieselbe nur zum Teil anfüllt, betrachtet und ihre Absorption nach Art und Stärke gemessen. Nun verdünne man die Lösung in der durch Zusatz des Lösungsmittels. Dabei nimmt die Konzentration um viel ab, wie die Schichtdicke zu. Wenn nun bei dieser Operation die Absorption sich weder nach Art, noch nach Stärke ändert, so besteht Unabhängigkeit der Absorption von der Verdünnung. Diese Unabhängigkeit spricht sich in dem Gesetz von BEER (1852) aus.

Um die Bedingungen kennen zu lernen, welche bestehen müssen, unter denen dieses Gesetz zutrifft, bewirkt folgendes. Es ist nach BEER (1760) für einen gegebenen Stoff, auch für eine gegebene Lösung, die Schwächung durchgehenden Lichtes proportional dem Schichtelement,  $-\frac{dJ}{dx}$ , proportional der Lichtstärke  $J$ , d. h.:

$$-\frac{dJ}{dx} = k \cdot J,$$

die „Absorptionskonstante“. Hieraus ergibt sich, wenn man  $x = 0$  die einfallende Lichtstärke  $J_0$  nennen und die Lichtstärke nach Durchlaufen der Schicht auf  $J$  gesunken ist:

$$\frac{J}{J_0} = e^{-k \cdot d}.$$

Da für einen gegebenen Stoff die Absorptionskonstante  $k$  für eine Wellenlänge sehr stark konstant sein kann, so gilt die Beziehung zunächst nur für homogenes Licht oder für einen hinreichend kleinen Spektralbezirk.

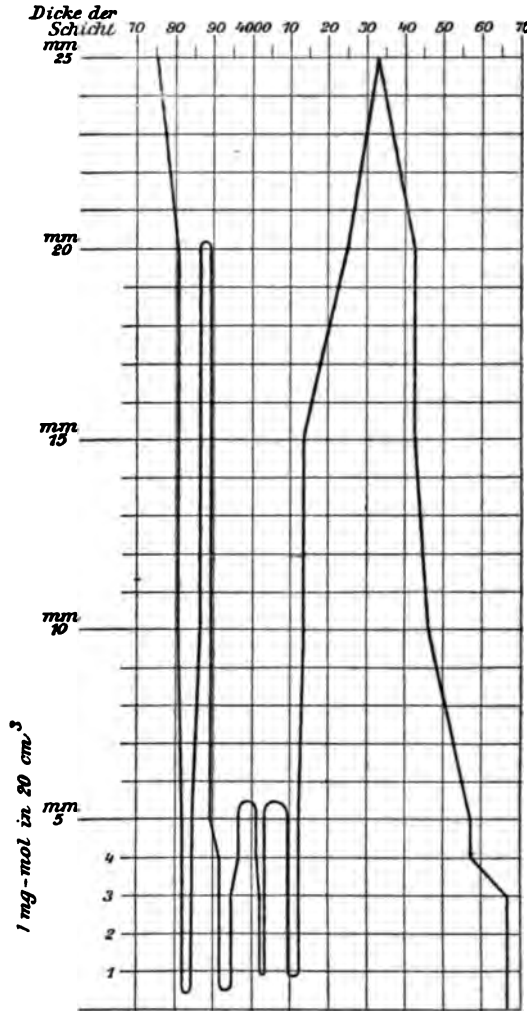
Die von der Erfahrung in diesem Umfange bestätigt ist. Für Lösungen eines gegebenen Stoffes in einem nicht absorbierenden Lösungsmittel hat BEER die einfache Annahme gemacht, daß die Schwächung

pro Schichtelement,  $-\frac{dJ}{dx}$ , außer der Lichtstärke  $J$  auch der Konzentration  $c$  proportional sei, also:

$$-\frac{dJ}{dx} = k \cdot c \cdot J$$

integriert wie oben:

$$\frac{J}{J_0} = e^{-k \cdot c \cdot d}.$$



Figur 12.

Diese Beziehung enthält die hinreichende und notwendige Bedingung des Bestehens der oben definierten Unabhängigkeit der Absorption von der Konzentration. Denn betrachten wir zwei Lösungen mit den Konzentrationen  $c_1$ ,  $c_2$  in solchen Schichtdicken  $d_1$  und  $d_2$ , daß das Verhältnis  $\frac{J}{J_0}$  beide Male selbe ist, so folgt:

$$c_1 : c_2 = d_2 : d_1 \quad .$$

Dies entspricht eben der Unveränderlichkeit der Absorption einer Lösung beim Verdünnen.

Wegen der Veränderlichkeit von  $k$  mit der Wellenlänge gilt auch BEERSche Gesetz, ebenso wie das LAMBERTSche, seiner Ableitung nach nur homogenes Licht oder für einen hinreichend kleinen Spektralbezirk.

Die Erfahrung hat die Gültigkeit des Gesetzes in weitem Umfange bestätigt. Es beruhen auf ihm die Methoden der quantitativen kolorimetrischen und spektrokolorimetrischen Analyse, worauf wir bei deren Besprechung unten zurückkommen. Hier sei jedoch hervorgehoben, daß eine strenge Gültigkeit derselben unwahrscheinlich ist. Denn es ist zu vermuten, daß die Absorptionsstreifen des gelösten Stoffes sich ein wenig verbreitern, wenn von sehr verdünnten zu konzentrierten Lösungen übergeht. Zu dieser Vermutung kommt man durch den Vergleich der Lösungen mit Gasen, von welchen wir wissen, daß sowohl ihre Emissionslinien, wie auch ihre Absorptionsbänder zunehmender Konzentration sich verbreitern. Kohlensäure von 1 Atm. absorbiert in 10 m Schicht weniger, als bei 10 Atm. in 1 m Schicht.<sup>1</sup> Man darf annehmen, daß man es hier mit einer allgemeinen Erscheinung zu tun hat, wohl auch bei gelösten Stoffen vorkommt. Nur kommt hier allenfalls noch spezielle Einwirkung des Lösungsmittels hinzu, hervorgerufen durch Assoziation desselben mit dem gelösten Stoff.

Aber auch dann, wenn chemische Wirkung nicht vorhanden ist, übt das Lösungsmittel einen gewissen Einfluß auf die Absorptionsbänder des gelösten Stoffes aus, und es scheint, daß dieser Einfluß mit dem Brechungsvermögen des Lösungsmittels zusammenhängt. Nach KUNDT<sup>2</sup> sollen die Absorptionsstreifen der gelösten farbigen Stoffe um so mehr nach Rot verschoben werden, je größer der Brechungsexponent des Lösungsmittels ist. Die Erfahrung bestätigt diese Regel nur zum Teil,<sup>3</sup> doch kann dies seinen Grund darin haben, daß in nicht stimmenden Fällen chemische Änderungen vorliegen. Man könnte umgekehrt aus dem Versagen der KUNDTschen Regel Schlüsse auf den chemischen Zustand der Lösung ziehen, wenn man wüßte, ob die Regel bei Wegfall chemischer Wirkungen streng gilt.

Wenn man die KUNDTsche Regel daraufhin prüfen will, so mußte sich zunächst auf solche binäre flüssige Gemische beschränken, die aus „normalen“ Komponenten hergestellt sind und deren Gemische selber normal wären. Unter „normal“ verstehen wir hier solche flüssige Stoffe, welche der Zustandsgleichung von VAN DER WAALS gehorchen, und solche Mischungen, deren Verdampfungs- und Schmelzkurven sich der „idealen“ Gestalt annähern. Die ideale Gestalt der Verdampfungskurve ist für die Kurve der Flüssigkeiten im  $p, \alpha$ -Diagramm gerade Linie, für die entsprechende Gaskurve eine Hyperbel. Vergleiche hierzu H. KUNDT, Heterogene Gleichgewichte, II, p. 12, 21 ff., und für die Gestalt der Schmelzkurve ebenda, p. 273 ff. Die Bedingungen für das Zustandekommen dieser sogen. „idealen“ Typen des Verhaltens binärer Gemische best-

<sup>1</sup> H. ÅNGSTRÖM, BRUDES Ann. 6. 163. 1901. — CL. SCHÄFER, ebenda. 16. 93.

<sup>2</sup> W. KUNDT Ann. 4. 34. 1878. — <sup>3</sup> Vergl. FORMANEK, Zeitschr. f. Farben- u. Textil-Chem. 1. 1904.

darin, daß die aktive Masse (Konzentration) der Bestandteile im Gemisch durch den Molenbruch gegeben und daß die letzte Lösungswärme stets der Schmelzwärme gleich sein soll. Chemisch gesprochen bedeuten diese Umstände, daß die beiden reinen Stoffe nicht assoziiert sind und daß sie auch in Mischung sich nicht gegenseitig assoziieren.

Die KUNDTSCHE Regel folgt als eine theoretische Konsequenz aus der elektromagnetischen Lichttheorie, wenn man die absorbierenden Moleküle als HERTZSCHE Resonatoren betrachtet.<sup>1</sup> Die Schwingungsdauer eines solchen Gebildes ist proportional dem Brechungsexponenten des Mediums. Für elektrische Wellen läßt sich dieses Gesetz durch Gitter, die auf Resonanz abgestimmt sind und die in Medien bekannter Lichtbrechung oder auch bekannter Dielektrizitätskonstante versenkt werden, prüfen und bestätigen.<sup>2</sup> Die Übertragung dieser Beziehung auf Moleküle setzt allerdings voraus, daß dieselbe auch dann noch gilt, wenn die Dimensionen des Resonators (des Moleküls) etwa tausendmal kleiner sind, als die Länge der erregenden Wellen (der Lichtwellen).

### Verhalten der Elektrolyte.

Der Grundsatz, daß jede Molekülgattung ihr eigenes Absorptionsspektrum besitzt, ist vielfacher Anwendung fähig zur Ermittlung des chemischen Zustandes von Lösungen farbiger Stoffe. Änderungen dieses Zustandes durch Verdünnung, Temperaturänderung oder Zusätze lassen sich danach, unter Hinzunahme des BEERSCHEN Gesetzes, auf optischem Wege quantitativ verfolgen, und man hat hierin eine elegante Methode zur Ermittlung chemischer Gleichgewichtszustände, wie sie sich namentlich bei Elektrolyten darbieten. Da in Lösungen von Elektrolyten der Zustand stark von der Verdünnung abhängt, so kann man von vornherein ein verwickeltes spektroskopisches Verhalten bei ihnen erwarten. Wären alle Ionen farblos, so müßten die sehr verdünnten Lösungen starker Elektrolyte, also namentlich die Lösungen solcher Salze, bei denen keine Hydrolyse vorkommt, alle farblos sein. Da dies nicht der Fall ist, so gibt es sicher auch farbige Ionen.

Beschränken wir uns auf Elektrolyte, deren eines Ion farblos, während das andere farbig ist, so muß man drei Fälle unterscheiden: 1. der undissoziierte Elektrolyt ist sehr schwach oder praktisch nicht gefärbt, 2. er ist gefärbt, hat aber eine andere Farbe als das Ion, 3. er ist sehr ähnlich oder praktisch gleich gefärbt, wie das Ion. Alle drei Fälle kommen vor. Im dritten gehorcht das Salz beim Verdünnen dem BEERSCHEN Gesetz, d. h. es verhält sich spektroskopisch so, als ob es nicht dissoziierte, wie ein nicht leitender organischer Stoff. Ein Beispiel dafür ist Kupfersulfat; auch die Permanganate von Kalium, Natrium, Baryum u. a. gehören anscheinend hierher. Für Lösungen von Kupfersulfat ist von E. MÜLLER<sup>3</sup> nachgewiesen worden, daß es dem BEERSCHEN Gesetze folgt. Daher muß die Farbe von  $\text{Cu}^{++}$  (allenfalls hydratisiert) merklich gleich sein der Farbe von  $\text{CuSO}_4$  (allenfalls hydratisiert). Für die Permanganate von Kalium, Natrium und Baryum findet A. PFLÜGER,<sup>4</sup> daß die Absorption für das Band  $\lambda$  576 bei der Konzentration 0,2 Mol pro Liter merklich die gleiche ist, obwohl hier Unterschiede der Dissoziation von immerhin schätzungsweise 10% (zwischen den Salzen ein- und zweiwertiger Kationen) vorhanden sind. Daher scheinen die undissoziierten Salze merklich gleich zu absorbieren wie das Ion.

Ganz ähnlich liegen die Verhältnisse bei den seltenen Erden. Für die Chloride von Didym und Erbium gilt nach LIVEING<sup>5</sup> und PURVIS<sup>6</sup> das BEERSCHE

<sup>1</sup> Vergl. O. KNOBLAUCH, WIED. ANN. 54. 193. 1895. — <sup>2</sup> Vergl. ASCHKINASS und SCHÄFER, DRUDES ANN. 5. 489. 1901 — <sup>3</sup> DRUDES ANN. 12. 767. 1903. — <sup>4</sup> Ebenda. 12. 430. 1903. — <sup>5</sup> Cambr. Phil. Trans. 18. 298. 1899. — <sup>6</sup> Cambr. Proc. 12. 206. 1903.

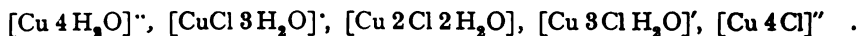


Gesetz. Es stimmt also Ionenfarbe und Farbe des undissoziierten Chlorid merklich überein. Die Sulfate und Nitrate dagegen haben zwar in großer Verdünnung mit dem Chlorid gleiches Spektrum, in geringerer Verdünnung aber entwickeln sich kleine Abweichungen, wie schon BUNSEN<sup>1</sup> bemerkt hatte. Für Azetat und Laktat werden dieselben nach MUTHMANN und STÜTZEL<sup>2</sup> noch etwas erheblicher (in der Verdünnung: 1 g Oxyde in 100 ccm Lösung, das ist etwa 0,2 normal). Hier ist also die Farbe des undissoziierten Salzes zwar nicht ganz gleich der des Ions, aber doch immer noch sehr ähnlich.

Für die Theorie der Lichtabsorption liegt in der Tatsache, daß mehrere verschiedene Stoffe, wie  $\text{KMnO}_4$ ,  $\text{HMnO}_4$ ,  $\text{MnO}_4^-$  oder  $\text{Cu}^{2+}$ ,  $\text{CuSO}_4$  das gleiche Spektrum besitzen, eine eigentümliche Schwierigkeit. Im allgemeinen hat man zu erwarten, und unter den organischen Farbstoffen bestätigt sich dies auch, daß Ersatz einer Atomgruppe im Molekül durch eine andere die Maxima der Absorptionsstreifen des farbtragenden Radikals schrittweise verändert. Hier dagegen bleibt sie gleich. Man möchte gleichsam von optischer Isomorphie sprechen.

Im zweiten, der oben aufgezählten drei Fälle kommt die Farbe durch die Übereinanderlagerung der Absorptionen des undissoziierten Salzes und des Ions zustande. Überdecken sich beide Absorptionen im Spektrum teilweise, so kann es schwer fallen, die dem Salz zukommenden Bänder von denen des Ions voneinander trennen zu können.

Die letzteren treten bei größerer Verdünnung allein hervor, wenn keine Hydrolyse störend eintritt, wodurch neue Absorptionen entstehen können, die dem undissoziierten Base oder Säure zugehören. Ein mehrfach untersuchtes Beispiel ist Kupferchlorid, dessen konzentrierte Lösung grün ist, während die verdünnte blaue Farbe hat, identisch mit der des verdünnten Kupfersulfats. Die konzentrierte Lösung absorbiert, außer im Rot noch Blau und Violett. Die letztere Absorption läßt sich auf  $\text{CuCl}^+$  und  $\text{CuCl}_2$  zu beziehen, zum Teil auch auf komplexe Anionen  $\text{CuCl}_3^-$  und  $\text{CuCl}_4^{2-}$ , deren Existenz in Lösungen von Kupferchlorid von KOHLSCHÜTTE erkannt wurde und deren Farbe gelb und braungelb ist. Gewisse Erfahrungen und Analogieschlüsse deuten übrigens darauf hin, daß auch hier der Farbwechsel vom blauen Kupriion zum grünen undissoziierten  $\text{CuCl}_2$  und gelben Anion  $\text{CuCl}_4^{2-}$  nicht allein durch die eintretende Bindung der Kupfer- und Chlorionen veranlaßt werde, sondern durch eine gleichzeitige Änderung des Hydratationszustandes mitbedingt sei, indem in Wahrheit die kupferhaltigen Molekulgattungen in der Lösung des Kupferchlorids zu schreiben wären:



Das Nitrat und Acetat des Kupfers haben in konzentrierter Lösung einen breiteren Absorptionsstreifen im Rot als dem Kupriion zukommt. In verdünnter Lösung tritt aber die Absorption des letzteren allein hervor.

Weitere Beispiele, die hierher gehören, liefern solche organische Farbstoffe, die in saurer und alkalischer Lösung verschieden gefärbt sind, z. B. Methylenorange (die Sulfonsäure des Dimethylamidoazobenzols). Das Ion ist gelb, die undissoziierte Säure rosenrot. Allerdings ist hier, abweichend vom Kupferchlorid, die Farbänderung durch bloßes Verdünnen nicht zu erreichen. Denn diese Säure ist so schwach, daß sie auch in sehr verdünnter Lösung ganz überwiegend undissoziiert vorliegt und somit die Farbe des Ions praktisch nicht zur Entwicklung gelangt. Setzt man indessen eine Base zu, so tritt Salzbildung ein, d. h. es

<sup>1</sup> POGG, Ann. **128**, 100. 1866. Vergl. auch A. LANGLET, Z. phys. Chem. **56**, 61. 1906. — <sup>2</sup> Ber. d. deutsch. chem. Ges. **32**, 2653. 1899. — <sup>3</sup> E. MÜLLER, DRUDES Ann. **707**, 1903. — VAILLANT, Ann. chim. phys. **28**, 213. 1903. — EWAN, Phil. Mag. (5) **17**, 317 und Proc. Roy. Soc. **56**, 286. 1894. — <sup>4</sup> Ber. d. d. chem. Ges. **37**, 1153. 1904.

undissoziierte Stoff verschwindet und die Lösung enthält jetzt neben dem farblosen Kation das Anion der Farbsäure, dessen Farbe nun zu Tage tritt. Allerdings ist beim Methylorange, worauf noch zurückzukommen sein wird, mit der Ionisation wahrscheinlich eine Umlagerung innerhalb des Ions verknüpft, doch stört diese Komplikation die hier anzustellenden Betrachtungen nicht.

Es ist eine Konsequenz der elektrolytischen Dissoziationstheorie, daß bei Salzen in sehr verdünnter Lösung ( $1/1000$  normal) die Ionenfarbe allein hervortritt, sofern man nur Hydrolyse vermeidet. Diese Folgerung ist von OSTWALD<sup>1</sup> an etwa 300 Salzen von Permanganaten und von organischen Farbstoffen geprüft und durchaus bestätigt gefunden worden. Allerdings verliert diese Bestätigung mehrfach an Überzeugungskraft durch den weiter oben schon behandelten Umstand, daß das undissoziierte Salz häufig merklich dieselbe Absorption ausübt, wie das farbige Ion, das aus ihm hervorgeht. Viel entscheidender für den Nachweis des Zusammenhanges der elektrolytischen Dissoziation mit der Lichtabsorption ist daher der oben unter 1) aufgeführte Fall, weil man hier tatsächlich die Möglichkeit hat, die aus der Leitfähigkeit oder durch osmotische Methoden gefundenen Dissoziationsgrade auf ganz unabhängigem Wege, nämlich durch Kolorimetrie, zu prüfen. Als Objekt zu dieser Prüfung ist namentlich Violursäure verwendet worden, deren Salze tief violett sind, während die Lösung der reinen Säure nur schwach gefärbt ist. Durch genaue Messung der Absorption sorgfältig hergestellter Lösungen (Leitfähigkeitswasser, Vermeidung von Alkali aus den Glasgefäßen und von Kohlensäure aus der Luft) konnte gezeigt werden, daß die Absorption dieselben Dissoziationsgrade ergibt, wie die Leitfähigkeit.<sup>2</sup> Ebenso konnte EWAN<sup>3</sup> die Dissoziation des Dinitrophenols spektrophotometrisch in guter Übereinstimmung mit der Leitfähigkeit ermitteln.

Zu der Gruppe: farbiges Ion und farbloser undissoziierter Stoff gehören außer der genannten Violursäure und dem Dinitrophenol noch einige Indikatoren, darunter einer der bekanntesten, das Phenolphthalein. Bei diesem, wohl auch bei der Violursäure<sup>4</sup> und den Nitrophenolen,<sup>5</sup> gesellt sich jedoch eine eigentümliche Schwierigkeit hinzu. Zwar ist undissoziiertes Phenolphthalein sowohl fest, wie in der Lösung farblos und das Ion rot, aber die Kalium-, Natrium- usw. Salze sind auch fest rot. Man sollte eigentlich erwarten, daß die Salze des Phenolphthaleins, soweit sie undissoziiert sind, farblos wären, wie die freie Säure. Offenbar verhält sich der Phenolphthaleinrest in der freien Säure anders als in deren Alkalisalzen. Diese letzteren stehen zum Phenolphthaleinion in derselben Beziehung, wie etwa Kaliumpermanganat zum Permanganation. Man hat daher die Ansicht vertreten, daß bei der Salzbildung, zugleich mit der Ionisation, noch eine Umlagerung des Phenolphthaleinrestes in eine isomere Form vor sich geht, die in den Salzen beibehalten wird. Spezielle chemische Gründe stützen diese Ansicht. Auffallend möchte es nur scheinen, daß die Geschwindigkeit der anzunehmenden Umlagerung von der Größenordnung der Ionenreaktionen sein muß, da an dem Indikator keinerlei Trägheit zu merken ist, während man andererseits gewöhnt ist, daß Umlagerungen bei organischen Stoffen merkliche Zeit brauchen. Aber freilich ist hier der Stoff, der sich umlagern soll, selber ein Ion. Auf die Natur der Umlagerung werden wir nach Besprechung der Chromophore zurückkommen.

Eine wichtige Verwertung erfährt die Farbe der Ionen in Verbindung mit den Sätzen der elektrolytischen Dissoziation in der Theorie der Indikatoren (OSTWALD 1893). Danach sind Indikatoren schwache Säuren (oder Basen), deren Anionen (oder Kationen) anders gefärbt sind, als die undissoziierten Säuren

<sup>1</sup> Zeitschr. phys. Chem. **9**, 579. 1892. — <sup>2</sup> DONNAN, Z. physik. Ch. **19**, 465. 1896. — Vergl. auch: WAGNER, ebenda. **12**, 314. 1892 und MAGNANINI, Gazz. chim. Ital. **26**, 92. 1896. — <sup>3</sup> Proc. Roy. Soc. **57**, 117. 1894. — <sup>4</sup> GUINCHARD, Ber. **32**, 1723. 1899. — <sup>5</sup> HANTZSCH, Ber. **39**, 1084. 1906.



(oder Basen). Der Farbumschlag tritt ein, wenn die Wasserstoffionkonzentration so klein geworden ist, daß die Anionkonzentration einen an der Färbung erkennbaren Betrag erreicht. Je nach der Schwäche der als Indikator verwendeten Säure findet dieser Umschlagspunkt bei verschiedenen Wasserstoffionkonzentrationen statt.

Hierauf fußend, kann man durch passende Wahl des Indikators schwache Säuren (z. B. Essigsäure) neben Mineralsäuren oder kohlen saure Alkalien neben Alkalien titrieren.<sup>1</sup> Auch sieht man unschwer ein, daß der Farbumschlag unscharf werden muß, wenn man eine schwache Base (z. B. Ammoniak) mit einer sehr schwachen Indikatorsäure (z. B. Phenolphthalein) zu titrieren versucht, da in diesem Fall wegen der Hydrolyse die Wasserstoffionkonzentration in der Nähe des Neutralisationspunktes nur langsam sich ändert. Schwache Basen muß man daher mit mittelstarken Indikatorsäuren (z. B. Paranitrophenol) titrieren.<sup>2</sup>

Die in der angedeuteten Weise, mit Rücksicht auf die elektrolytische Dissoziationsverhältnisse durchzuführende, quantitative Beurteilung der Indikatoren wird keineswegs gestört durch den Umstand, der sich mehr und mehr Geltung verschafft, daß die Ionisation der Indikatoren, wie Phenolphthalein, Methylorange, Nitrophenol u. a., kein einfacher Vorgang ist, sondern in zwei Teilvorgänge zerlegt werden muß, deren einer eine intramolekulare Umlagerung vorstellt. Die Größe, welche die Stärke einer Indikatorsäure mißt, ihre elektrolytische Dissoziationskonstante (die übrigens zahlenmäßig meist unbekannt ist), würde diesen falls noch eine Umlagerungskonstante enthalten, ähnlich wie die angebbare Dissoziationskonstante der Kohlensäure, des Ammoniaks usw. noch eine unbekannt Hydratationskonstante enthält.

Wir können hier zwei Fälle unterscheiden. Entweder existieren von der fraglichen Substanz zwei (tautomere) Formen der undissoziierten Säure, eine farblose und eine farbige, die in Lösung miteinander im Gleichgewicht stehen, oder es existieren zweierlei Anionen der Säure, farblose und farbige. Heißt im ersten Fall die Ionenkonzentration  $i$ , die Konzentration farbiger undissoziierter Säure und diejenige der farblosen  $w$ , so ist die durch Leitfähigkeit zu ermittelnde elektrolytische Dissoziationskonstante  $k_e$  gegeben durch:

$$i^2/(f + w) = k_e.$$

Gleichzeitig gilt für die Umwandlung die Gleichung:

$$f/w = k_u$$

und für die Dissoziation der farbigen Säure:

$$i^2/f = k_f.$$

Durch Kombination dieser Gleichungen<sup>3</sup> finden wir:

$$k_e = \frac{k_f \cdot k_u}{k_u + 1}.$$

Heißt im zweiten Fall  $a$  die Konzentration der undissoziierten Säure,  $b$  die des farbigen,  $c$  die des farblosen Anions,  $d$  die des Wasserstoffions, so hat man analog die Gleichgewichtsbeziehungen:

$$d^2/a = k_e; \quad b \cdot d/a = k_f; \quad c \cdot d/a = k_w; \quad b/c = k_u; \quad b + c = d.$$

Durch Kombination derselben erhält man:

<sup>1</sup> Eine Tabelle der Umschlagspunkte einer großen Reihe von Indikatorsubstanzen siehe SALM, Zeitschr. Elektrochem. 10. 341. 1904. — <sup>2</sup> Ausführlicheres in OSTWALD's Wissenschaftlichen Grundlagen der Analyse. Leipzig. 1893. — <sup>3</sup> v. ZAWIDSKI, Ber. d. d. chem. Ges. 37. 153. 1904.



$$k_e = k_w(k_u + 1) = k_f \left( \frac{1}{k_u} + 1 \right) .$$

Daß man an hinreichend verdünnten Lösungen starker Elektrolyte die Farbe der Ionen sieht und nicht die des unzerlegten Salzes, wird von einigen englischen Autoren<sup>1</sup> infolge von Mißverständnis noch immer bestritten. Das Material zu dieser Frage ist kürzlich monographisch behandelt worden von G. RUDORF: Die Lichtabsorption in Lösungen, Sammlung AHRENS, 9. 1. 1904, worauf hiermit verwiesen sein möge.

### Chromophore.

Für den Chemiker ist die Hauptfrage, ob für eine physikalische Eigenschaft ein Zusammenhang zu entdecken ist mit der chemischen Natur und Zusammensetzung der Stoffe. Was nun mit Bezug auf das periodische System die Farbe der Elemente anbetrifft, so ist zwar die Farbvertiefung mit steigendem Atomgewicht in der Gruppe des Schwefels und der Halogene so bekannt, wie auffällig; des weiteren liegen aber kaum Andeutungen vor. Auch sonst spielt in der anorganischen Chemie die Farbe bis jetzt kaum eine Rolle; nur sei erwähnt, daß jüngst R. LUTHER<sup>2</sup> für Oxydationsreduktionsvorgänge auf die merkwürdige Symbasie zwischen Reaktionsgeschwindigkeit (Reaktionsfähigkeit) und Farbe die Aufmerksamkeit gelenkt hat.

Anders in der Chemie der Kohlenstoffverbindungen. Hier hat sich in einer großen Zahl von Untersuchungen ein enger Zusammenhang zwischen der Farbigkeit und dem chemischen Bau enthüllt und ist die streifige Absorption als eminent konstitutive Eigenschaft erkannt worden. Es ist in der Tat vielfach aus der Konstitution eines Stoffes abzulesen, ob er Absorptionsbänder besitzt, speziell ob er farbig ist. Vorhersagen dieser Art sind für die Chemie der Farbstoffe praktisch wichtig. Dazu gilt es also zunächst die Regeln zu suchen, welche Konstitution und Farbe verbinden.

Der allgemeinste Satz hierfür lautet dahin, daß Doppelbindungen die wesentlichen Urheber streifiger Absorption und damit auch der Farbe sind. Nicht ohne Interesse wird man den ursprünglich dem Gebiet der Elektrochemie angehörigen Begriff der „Ungesättigtheit“, worauf Doppelbindungen hinauskommen, hier im optischen Verhalten der Stoffe eine Wesenheit entfalten sehen, die offenbar zu den Vorstellungen der modernen Elektrooptik hinüberzuleiten geeignet sind.

Die Atomgruppen mit doppelten Bindungen, die als hauptsächlichste Erreger kräftiger Absorptionsstreifen und damit als Träger intensiver Farbigkeit erkannt wurden, nennt man nach N. O. WITT<sup>3</sup> Chromophore. Nun haben aber die Absorptionsstreifen bestimmter farbtragender Atomgruppen keinen bestimmten, ihnen eigentümlichen, Ort im Spektrum, vielmehr wird dieser durch die Gesamtheit der sonstigen im Molekül mitanwesenden Atomgruppen mitbestimmt, so daß eine Reihe von Stoffen, die alle denselben Chromophor enthalten, durchaus verschiedene Farben haben können. Allenfalls können gewisse Derivate farblos erscheinen, weil gerade das Absorptionsband ins Ultraviolette oder Ultrarote sich verschoben hat. Daraus erhellt, daß eine Systematik der Chromophore notwendig die nicht sichtbaren Teile des Spektrums, die ja der Untersuchung durch die Photographie trotzdem leicht zugänglich sind, mitberücksichtigen muß. Nach dieser Hinsicht bedürfte das vorliegende Material über chromophore Gruppen noch mancher Ergänzung, da der so wichtige ultraviolette Teil des Spektrums

<sup>1</sup> Zitiert bei H. KAYSER, Handb. d. Spektroskopie. 3. Kap. 2. 1905. — <sup>2</sup> „Die Aufgaben der Photochemie.“ Vortrag. Leipzig, Barth, 1905. — <sup>3</sup> Ber. 9. 522. 1876.



in bezug auf die Absorption der Kohlenstoffverbindungen bisher fast nur durch HARTLEY erschlossen worden ist.

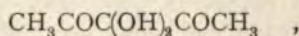
Im folgenden zählen wir die wichtigsten Chromophore in Kürze auf, indem wir gleichzeitig auf die jüngst darüber erschienene Monographie von H. KAUFFMANN: „Farbe und Konstitution“ (Sammlung chem. u. chem.-techn. Votr. 9. 277. 1904) verweisen. Zwei Bezeichnungen werden weiterhin häufig gebraucht werden: Hypsochromie und Bathochromie; darunter ist die Wanderung eines Absorptionsstreifens bezw. nach Violett und nach Rot zu verstehen.

1. Die Kohlenstoffdoppelbindung:  $C=C$ . Diese Gruppe ist ein schwacher Chromophor. Eine einmalige Doppelbindung, wie in den Olefinen, oder eine zweimalige, wie in Pyrrol, Furan, Thiophen reicht zur Entwicklung starker Absorptionsbänder nicht hin. Beim Benzol dagegen treten sie auf, zunächst im Ultraviolett, und rücken bei dessen höheren Homologen allmählich gegen die Sichtbarkeit vor. Die Hauptbänder für Benzol, Naphtalin und Anthracen, die miteinander offenbare Analogie haben, liegen nach HARTLEY<sup>1</sup> bei den Wellenlängen:

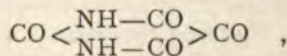
|                     |     |     |     |     |
|---------------------|-----|-----|-----|-----|
| Benzol . . . . .    | 261 | 254 | 245 | 244 |
| Naphtalin . . . . . | 285 | 272 | 263 | 255 |
| Anthracen . . . . . | —   | 360 | 343 | 328 |

Ebenfalls bis an die Grenze der Sichtbarkeit reicht die Absorption von Triphenylmethan. Noch weiter bathochrom absorbieren aber die Fulvene.<sup>2</sup> Fulvet ( $C_6H_4:CH_2$ ) ist gelb, Dimethylfulven orange, Diphenylfulven tiefrot.

2. Die Ketogruppe:  $C=O$ . Dieser Chromophor ist ebenfalls schwach und erzeugt intensive Absorptionsbänder erst bei mehrfacher Wiederholung im Molekül oder unterstützt von anderen Chromophoren (z. B. Kohlenstoffdoppelbindungen). Die CO-Gruppe im Carbonyl scheint sich anders zu verhalten und nicht chromophor zu wirken, da auch mehrwertige Carbonsäuren keine intensiven Absorptionsbänder entwickeln. Während Aceton noch zu den wenig absorbierenden Stoffen gehört (es läßt erst in dicker Schicht vermehrte Absorption bei  $\lambda$  623 und  $\lambda$  620 erkennen<sup>3</sup>), besitzt Acetylaceton,  $CH_3COCH_2COCH_3$ , ein starkes Absorptionsband bei  $\lambda$  250 im Ultraviolett,<sup>4</sup> Diacetyl,  $CH_3COCOCH_3$ , ist gelb, ebenso Benzil,  $C_6H_5COCOC_6H_5$ , und Triketopentan,<sup>5</sup>  $CH_3COCOCOCCH_3$ , orangerot. Übergang in hydratische Form hebt durch Zerstörung des Chromophors die Farbe wieder auf; so ist das Hydrat des Triketopentans:



farblos. Der Analogie nach schließen wir, daß Alloxan:

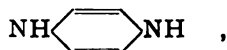


das mit 4 Mol Wasser kristallisiert, hydratisiert in Lösung geht, da seine Lösung farblos ist und auch nach HARTLEY<sup>6</sup> im Ultraviolett nicht absorbiert.

3. Die Gruppe  $C=N$  (Kohlenstoffstickstoffdoppelbindung). Die Doppelbindung entwickelt chromophore Eigenschaften in vielen Farbstoffen z. B. im Fuchsin (s. w. u.). In einfacher gebauten Stoffen tritt der Farbcharakter hervor im Benzylidenanilin,  $C_6H_5 \cdot CH=N \cdot C_6H_5$ , einer gelben Flüssigkeit

<sup>1</sup> Vergl. dessen „Beziehungen zwischen Absorption u. Konstitution organischer Körper in H. KAYSERS Handbuch. 3. Kap. 3. — <sup>2</sup> J. THIELE, Ber. 33. 660. 1900. — <sup>3</sup> SPRIN Bull. acad. Belg. (3) 33. 165. 1896. — <sup>4</sup> BALY u. DESCH, Journ. chem. soc. 85. 1029. 190 — <sup>5</sup> SACHS u. BARSCHALL, Ber. 34. 3047. 1901. — <sup>6</sup> Journ. chem. soc. 87. 1796. 1905. 7 Ber. 32. 1678. 1899.

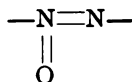
deren Reduktionsprodukt wegen Zerstörung des Chromophors farblos ist. In vergleichbaren Stoffen liegt die Absorption der Iminodoppelbindung bei kürzeren Wellenlängen als die der Ketodoppelbindung, denn Chinon ist gelb, während Chinondiimid:



farblos ist.<sup>1</sup> Vom technischen Standpunkt der Farbenerzeugung kann man daher die chromophore Wirkung der Iminodoppelbindung als „schwächer“ bezeichnen gegenüber der Ketogruppe. Das wahre Maß für die Stärke eines Chromophors ist indessen naturgemäß nicht durch die Zufälligkeit der Lage seines Absorptionsstreifens im sichtbaren Teil des Spektrums gegeben, sondern durch die Größe der Absorptionskonstante innerhalb des Streifens.

4. Die Azogruppe:  $\text{—N=N—}$ . Dies ist die auffälligste chromophore Gruppe, die die Farbe der Azofarbstoffe bedingt. Daß der Absorptionsstreifen derselben an der Stickstoffdoppelbindung liegt, erkennt man unmittelbar daran, daß durch Reduktion (Hydrazoverbindungen) farblose Stoffe entstehen. Daß die chromophore Wirkung der Azogruppe diejenige der Ketogruppe sehr übertrifft, lehrt der Vergleich des orangefarbenen Azobenzol,  $\text{C}_6\text{H}_5\text{—N=N—C}_6\text{H}_5$ , mit dem farblosen Benzophenon,  $\text{C}_6\text{H}_5\text{—CO—C}_6\text{H}_5$ . (Ob letzterer Stoff vielleicht ein Band im Ultraviolett besitzt, scheint nicht geprüft zu sein.)

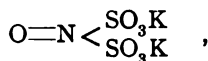
5. Die Azoxygruppe:  $\text{—N}_2\text{O—}$ . Ihre chromophore Wirkung ähnelt derjenigen der Azogruppe. Um über ihre Struktur schlüssig zu werden, kann man, von der allgemeinen Tatsache der chromophoren Natur der Doppelbindungen ausgehend, die Formel:



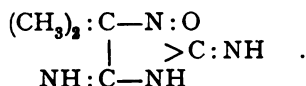
fordern (vergl. BAMBERGER,<sup>2</sup> BRÜHL,<sup>3</sup> KAUFFMANN<sup>4</sup>). Dies wäre ein Beispiel für die Art, wie das absorptive Verhalten zu Rückschlüssen auf den chemischen Bau zu verwerten ist.

6. Die Nitrosogruppe:  $\text{—N=O}$ . Diese Gruppe hat, wie man am tertiären Nitrosobutan und -pentan erkennen kann, die beide in Lösung tiefblau sind, sehr starken chromophoren Charakter. Doch kommt sie nur in wenigen Stoffen vor, da die primären und sekundären Nitrosoderivate:  $\text{—CH}_2\text{—NO}$  und  $>\text{CH—NO}$ , sich in die entsprechenden Isonitrosoverbindungen,  $>\text{C=NOH}$ , umlagern.

7. Die Gruppe  $\text{=N=O}$ . Man begegnet dieser, vierwertigen Stickstoff enthaltenden Gruppe im Stickstoffdioxyd, welches braunrot ist, im Stickoxyddisulfonsauren Kalium:



einem violetten Salz (HANTZSCH), sowie im hochroten Porphyrexid:<sup>5</sup>

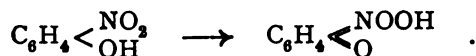


8. Die Nitrogruppe:  $\text{—N} \begin{array}{c} \text{=O} \\ \text{=O} \end{array}$ . Die chromophore Wirkung dieser Gruppe, bisher allgemein angenommen wegen der gelben Farbe der Nitrophenole, ist

<sup>1</sup> WILLSTÄTTER, Ber. 37. 4605. 1904. — <sup>2</sup> Ber. 29. 2413. 1896. — <sup>3</sup> Ebenda. 33. 123. 1900. — <sup>4</sup> Sammlung AHRENS. 9. 291. 1904. — <sup>5</sup> PILOTY u. VOGEL, Ber. 36. 1283. 1903.



neuerdings zweifelhaft geworden. Denn es ist nicht nur Nitrobenzol farblos und besitzt auch kein intensives Absorptionsband im Ultraviolett (kontinuierliche Absorption beginnt bei etwa  $\lambda$  400), sondern die Polynitrobenzole und Mono- und Dinitronaphtaline sind im reinen Zustand ebenfalls farblos. Was aber die Nitrophenole betrifft, so macht HANTZSCH<sup>1</sup> wahrscheinlich, daß dieselben tautomere sind. Es treten bei ihnen Umlagerungen in chinoide Formen ein nach der Schema:

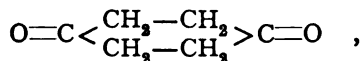


Diese Chinoide und deren Anionen sind allein die Träger der gelben Farbe der Nitrophenole. In ihnen kommt aber die Nitrogruppe gar nicht mehr vor.

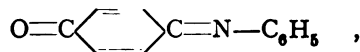
9. Die Thiogruppe:  $\text{C}=\text{S}$ . Die Absorption dieser Gruppe liegt, verglichen mit derjenigen der Ketogruppe, bei längeren Wellenlängen, wie die Thio-derivate des Xanthons und Fluoresceins zeigen, die von tieferer Farbe sind, als ihre schwefelfreien Homologen. Auch scheint die Absorption der Thiogruppe bedeutend intensiver zu sein, wie der Vergleich des tiefblauen Thioacetophenons mit dem unbeträchtlich absorbierenden Acetophenon lehrt.

10. Die Gruppe:  $\text{S}_2$  ( $\text{Se}_2$ ,  $\text{Te}_2$ ). Dieser Chromophor kommt in einigen gefärbten organischen Sulfiden vor, z. B. in dem gelben o-Diaminodiphenylsulfid  $\text{NH}_2\text{C}_6\text{H}_4-\text{S}_2-\text{C}_6\text{H}_4\text{NH}_2$ . Offenbar hat die Gruppe  $-\text{S}_2-$  ungesättigten Charakter und ist darin die Ursache für ihre chromophore Wirkung zu suchen.

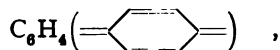
Wie schon erwähnt, unterstützen sich mehrere Chromophore gleicher Art im Molekül in ihrer Wirkung. Dasselbe gilt auch von mehreren Chromophoren verschiedener Art. Während Diketoexamethylen:



farblos ist (eine kontinuierliche Absorption beginnt nach HARTLEY und DOBBIE bei  $\lambda$  809), hat Chinon, bei dem zu den Ketodoppelbindungen noch zwei Kohlestoffdoppelbindungen hinzukommen, gelbe Farbe, und Chinonphenylimid:



dessen vier Doppelbindungen (wenn wir von denen des Phenyls absehen) zwischen drei verschiedenen Chromophoren verteilt sind, ist hochrot. Gerade die in den Chinonen und Chinoniminen vorliegende Versammlung von Doppelbindungen, sogen. chinoide Struktur, charakterisiert durch die vierwertige Gruppe:



ist hervorragend farbenentwickelnd und findet sich einer großen Reihe von Farbstoffen.

Da nun das Absorptionsband eines mit Chromophoren ausgestatteten Stoffes in seiner Lage abhängt von der Art und Zahl der sonst im Molekül vorhandenen Radikale, so kann man von einer im Ultraviolett absorbierenden Stammsubstanz ausgehend, durch geeignete Substitution die verschiedenartigsten Farben hervorbringen. Bei fortgesetzt bathochromer Substitution würde der Absorptionsstreifen von Violett nach Rot wandern. Die entsprechenden Farbstoffe hätten jeweils die der ausgelöschten Farbe komplementäre. Da die folgenden Farbenpaare komplementär sind:

<sup>1</sup> Ber. 39. 1084. 1906. — <sup>2</sup> K. A. HOFMANN, Ber. 27. 1761. 1894. — <sup>3</sup> Jour. chem. soc. 73. 598. 1898.

|           |           |
|-----------|-----------|
| Violett,  | Grüngelb, |
| Indigo,   | Gelb,     |
| Cyanblau, | Orange,   |
| Blaugrün, | Rot,      |
| Grün,     | Purpur,   |

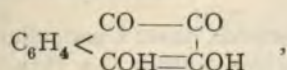
so nimmt ein fortgesetzt bathochrom substituierter Farbstoff folgeweise die Farben an: Grüngelb, Gelb, Orange, Rot, Purpur, Violett, Indigo, Blaugrün, Grün. Hypsochrome Substitution hätte die entgegengesetzte Wirkung. In Wirklichkeit kann diese typische Farbenfolge natürlich durch das Hereinrücken weiterer Absorptionsbänder gestört werden, die experimentelle Durchführbarkeit der gedachten Substitutionsreihe übrigens vorausgesetzt.

Demnächst handelt es sich darum, die bathochrome oder hypsochrome Wirkung der wichtigeren Radikale kennen zu lernen. Nach den hauptsächlich durch systematischen Vergleich von Azofarbstoffen von M. SCHÜTZE<sup>1</sup> und G. GREBE<sup>2</sup> gewonnenen Ergebnissen wirken vor allem die Hydroxylgruppe, sowie die Amidogruppe und deren Methyl-, Äthyl-, Phenyl- usw. -derivate bathochrom.

Ferner wirkt im allgemeinen Beschwerung des Moleküls durch Methylierung, Phenylierung, Carboxylierung u. s. f. bathochrom. Hypsochrom dagegen wirkt Acetylierung und Benzoylierung. Einführung der Sulfongruppe bringt unterschiedlichen Effekt hervor. Die Halogene wirken vorwiegend bathochrom, wie namentlich nach KRÜSS<sup>3</sup> und E. VOGEL<sup>4</sup> an den Fluoresceinen erkenntlich.

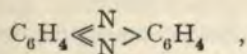
Den entschiedensten Einfluß haben die Hydroxyl- und Amidogruppe. Man vergleiche: Anthrachinon (gelb) und Dioxyanthrachinon (Alizarin, rot); Benzophenon (farblos) und o-Aminobenzophenon (gelb); Terephtalsäureester (farblos) und Diaminoterephtalsäureester (rot). Diese besonders bathochrom wirksamen Gruppen<sup>5</sup> nennt man vielfach auch „auxochrome Gruppen“.

Zu den die Absorption verschiebenden Umständen gehört auch die Salzbildung und Ionisation, und zwar wirkt Salzbildung in der Amidogruppe, wodurch  $-\text{NH}_2$  in  $-\text{NH}_3^+$  übergeht, hypsochrom und in der Hydroxylgruppe, wodurch  $-\text{OH}$  in  $-\text{O}^-$  übergeht, bathochrom. Beispiele an einfach gebauten Stoffen liefern: o-Aminobenzophenon: gelb, das Chlorhydrat: farblos. Die Farbvertiefung bei der Salzbildung in der Hydroxylgruppe kann an einer Reihe von Indikatoren verfolgt werden. Beispiele: Die Farbvertiefung beim Neutralisieren von Lackmus von Rot nach Blau, die von Isonaphtazarin:<sup>6</sup>



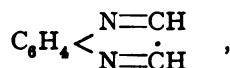
von Orangerot nach Kornblumenblau, vielleicht auch die des Phenolphthalein von farblos nach Purpur, sowie die des p-Nitrophenol von farblos nach Gelb; doch handelt es sich hier vielleicht auch um eine Umlagerung (s. w. u.).

Bathochrom wirkt auch die Salzbildung im Chromophor. Beispiele: Phenazin:



gelb, Salze rot; Chinoxalin:<sup>7</sup>

<sup>1</sup> Z. phys. Chem. **9**. 109. 1892. — <sup>2</sup> Ebenda, **10**. 674. 1892. — <sup>3</sup> Z. phys. Chem. **2**. 312. 1888. — <sup>4</sup> WIED. ANN. **43**. 449. 1891. — <sup>5</sup> Die bathochrome Wirkung von  $\text{NH}_2$  gilt nicht ganz ausnahmslos. Nach KRÜSS u. OEKONOMIDES (Ber. **16**. 2051. 1883) ist der Absorptionsstreifen von Amidoalizarin und Amidoindigo gegen den von Alizarin und Indigo nach Blau verschoben. — <sup>6</sup> BAMBERGER u. RITSCHERT, LIEB. ANN. **291**. 25. — <sup>7</sup> HINSBERG, ebenda, **237**. 327. 1887.



farblos, Salze mit Mineralsäuren gelbrot.

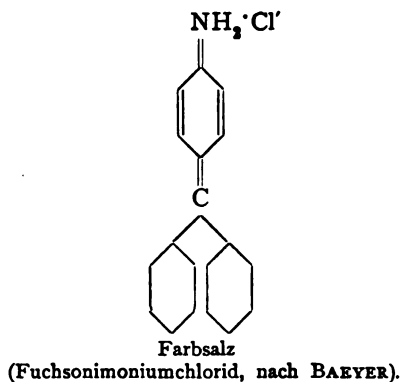
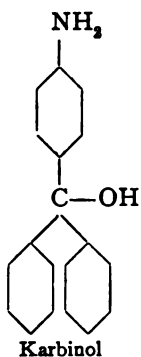
Unter die Farbvertiefung durch Salzbildung an Chromophoren gehört die sogen. „Halochromie“.<sup>1</sup> Die Besonderheit dieser Erscheinung liegt darin, daß hier die Salzbildung dem Anschein nach an der Kohlenstoffdoppelbindung eintritt, ohne daß jedoch diese etwa aufginge, da in diesem Fall der Chrom verschwinden und auch keine echten Salze entstehen würden. Beispiel: Diaceton:



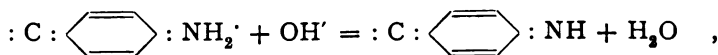
gelb; das Bishydrochlorid ist rot, das jodwasserstoffsaurer Salz schwarz.

Nicht zu verwechseln mit den besprochenen Fällen von Bathochromie Salzbildung, bei welcher die freie Base oder Säure ihren charakteristischen Absorptionstreifen schon hat, der durch die Salzbildung nur verschoben wird, eine andere Art von Farbentwicklung bei Salzbildung, die auf Umlagerung ruht, verbunden mit der Entstehung ganz neuer Chromophore.

Am besten untersucht ist diese Umlagerung bei den Farbstoffen der phenylmethanreihe. Die freien Basen sind in ihrer beständigen Form Karbinole und sind farblos (Leukobasen, Leukohydrate); die gefärbten Salze dagegen chinoider Struktur.<sup>2</sup> Der Unterschied wird durch die folgenden Strukturen dargestellt:



Der experimentelle Nachweis dieser Umwandlung besteht in der Darstellung der echten Farbbasen. Dieselben wurden von HOMOLKA entdeckt und sind HANTZSCH<sup>3</sup> und BAEYER<sup>4</sup> näher untersucht worden. Sie sind gefärbt unbeständig und gehen in Lösung mit meßbarer Geschwindigkeit in die ungeladenen Karbinole über. Ihrer Struktur nach sind die Farbbasen Imine („Fuchson nach BAEYER“); von den entsprechenden Karbinolen unterscheiden sie sich in ihrer Zusammensetzung dadurch, daß diese noch ein Verbindungsgewicht<sup>1</sup> enthalten. Die Salze des Fuchsonimoniums sind starke Elektrolyte, nicht hydrolysiert sind; das Fuchsonimoniumhydroxyd muß daher eine Base sein. Doch ist dieselbe nicht beständig, d. h. ihre Ionen treten zu hydridischen Imin zusammen:



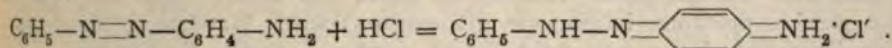
<sup>1</sup> BAEYER u. VILLIGER, Ber. **35**, 1189, 1902. — <sup>2</sup> NIETZKI, Chem. der organ. Stoffe, 4. Aufl. 1901. — <sup>3</sup> Ber. **33**, 278, 1900. — Ebenda, **37**, 3434, 1904. — <sup>4</sup> Ber. **37**, 2824, 1904.



ganz ähnlich wie Ammoniumion und Hydroxylion zu Ammoniak. Hier tritt nur nach HANTZSCH die Besonderheit auf, daß der Vorgang Zeit braucht und daher durch die allmähliche Leitfähigkeitsabnahme verfolgt werden kann, welche nach Zusatz von Natronlauge zur Lösung eines Fuchsonimoniumsalzes vor sich geht. Das unbeständige gefärbte Imin verändert sich alsbald weiter; es nimmt Wasser auf und geht in das Karbinol über. Wie jene Reaktion durch die Leitfähigkeit, ließe sich diese kolorimetrisch verfolgen.

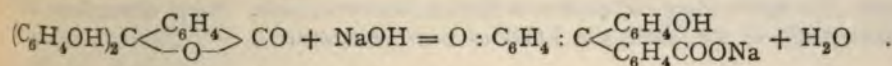
Denkbar wäre es, daß sich beim Versetzen des Karbinols mit Säure zunächst auch unbeständige Salze des Karbinols bilden würden, die dann wohl farblos sein müßten und allmählich in die beständigen farbigen Fuchsonimoniumsalze übergingen.

Eine derartige zweifache Reihe von Salzen scheint bei Azofarben wirklich vorzukommen. Von dem gelben p-Aminoazobenzol gibt es nämlich zwei Chlorhydrate, ein hellfleischrotes, von THIELE<sup>1</sup> entdecktes, unbeständiges, und das gewöhnliche, welches sich rot löst und dunkelviolette Kristalle bildet. Dieses entsteht aus ersterem offenbar unter Bildung neuer, kräftiger Chromophore, also wahrscheinlich unter Übergang zur chinoiden Struktur, so daß die Neutralisation des p-Amino-azo-benzols zum stabilen Salz die folgende Umwandlung in sich schließt:

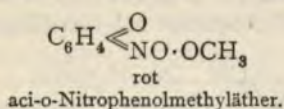
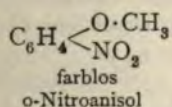


Konsequenterweise ist dieselbe Umlagerung auch bei der Neutralisation des Methylorange<sup>2</sup> anzunehmen.

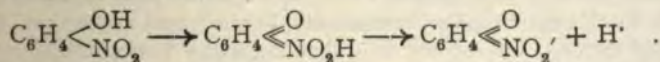
Wahrscheinlich ist die schon mehrfach erwähnte Salzbildung im Phenolphthalein ebenfalls mit Umlagerung verknüpft, derart, daß das farbige Anion chinoide Struktur annimmt:<sup>3</sup>



Diese Auffassung wird durch die Eigenschaften zweier isomerer Äthyläther des Phenolphthaleins, von denen derjenige mit der chinoiden Struktur purpurfarbig ist, der andere dagegen farblos, sehr nahe gelegt. Ganz ähnliche Verhältnisse sind von HANTZSCH<sup>4</sup> an den Nitrophenolen entdeckt worden. Außer den gewöhnlichen farblosen Äthern derselben sind von ihm neuerdings isomere Äther mit roter Farbe entdeckt worden, denen chinoide Struktur zugeschrieben wird:



In Rücksicht darauf nimmt HANTZSCH in wässrigen Lösungen ein Gleichgewicht der folgenden Stoffe an:



Zusatz von Hydroxylion verschiebt das Gleichgewicht durch Wegnahme von H' im Sinne der Pfeile von links nach rechts. Der erste Stoff wäre farblos, gelb dagegen der zweite und dritte.

Derartige Umlagerungen bei der Salzbildung scheinen überaus häufig zu sein. Nach HANTZSCH<sup>5</sup> bezeichnet man die im freien, nicht ionisierten Zustande

<sup>1</sup> Ber. 36. 3965. 1903. — <sup>2</sup> J. STIEGLITZ, Journ. Amer. chem. Soc. 25. 1112. 1903.

— <sup>3</sup> Vergl. J. STIEGLITZ, loc. cit. — <sup>4</sup> Ber. 39. 1073, 1084. 1906. — <sup>5</sup> Ber. 31. 2854. 1898.

— Ebenda. 32. 575, 607. 1899.

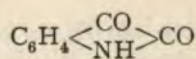


beständige Form als „Pseudosäure“ (bezw. Pseudobase), im Vergleich mit ihrem in den Salzen und als Ion beständigen Isomeren.<sup>1</sup>

Ist man erst in den Besitz des Prinzips der Zuordnung von Farbe und Struktur gelangt, so kann man, wie leicht ersichtlich, aus der Farbe, bezw. aus der spektroskopischen Eigentümlichkeit der Absorption eines Stoffes auf eine bestimmte Struktur unter mehreren sonst gleich möglichen schließen. In der Tat leistet dieses Verfahren bei der Konstitutionsbestimmung organischer Stoffe in manchen Fällen, namentlich bei Tautomeren (dies sind Isomere, die miteinander im reversiblen Gleichgewicht stehen), schätzbare Dienste; es könnte unzweifelhaft noch häufigere Anwendung erfahren, wenn nach dem Vorgange HARTLEYS die ultravioletten Absorptionsspektren mehr erforscht würden.

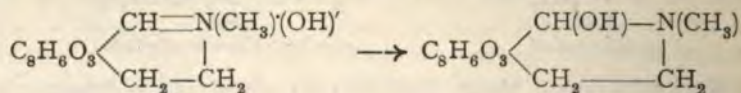
Von letzterem Forscher ist der Zustand einer Reihe von Keto-Enol-Tautomeren spektroskopisch ermittelt worden. Auch läßt sich so in trefflicher Weise die Umwandlung der einen Form in die andere innerhalb der Lösung exakt verfolgen. Da im Enol ein anderer Chromophor (nämlich:  $C=C$ ) vorhanden ist, als im Ketoderivat (nämlich  $C=O$ ), so haben die beiden Tautomere deutlich verschiedene Absorptionsspektren und können damit leicht unterschieden werden. Um für die Beziehung der beiden Spektren einen Anhalt zu gewinnen nimmt man die empirische Tatsache zu Hilfe, daß Methyl- und Äthylderivate fast gleiches Spektrum haben, wie die entsprechenden Wasserstoffverbindungen. Von jenen aber kennt man meist aus chemischen Gründen die Struktur.

HARTLEY<sup>2</sup> vergleicht beispielsweise das Spektrum von Phloroglucin mit Trimethylphloroglucin (welches sicher drei Oxymethylgruppen besitzt) und mit Diketoexamethylen (welches sicher zwei Ketogruppen besitzt). Es findet sich, daß Phloroglucin mit dem ersteren nahe identisches Spektrum besitzt und daher ein Trihydroxybenzol ist. Wäre es dagegen ein Triketoexamethylen, so müßte seine Absorption dem Diketoexamethylen verwandt sein. Nach demselben Verfahren stellt er für Isatin die Laktam- oder Ketoform:



fest.

In ähnlicher Weise, nämlich durch Vergleich mit dem Spektrum von Derivaten bekannter Struktur, konnte gezeigt werden, daß die gelbe Lösung der Cotarninsalze in Wasser Salze einer Ammoniumbase sind, welche auf Zusatz von Natron mit meßbarer Geschwindigkeit in eine isomere Carbinolform (vergl. oben) übergeht: die ähnlichen Verhältnisse bei den Triphenylmethanfarbstoffen) übergeht.<sup>3</sup>



So kann auch der Übergang von Dibenzoylmethan in saurer Lösung in die stabilere Enolform (in  $\alpha$ -Oxybenzalacetophenon) spektroskopisch in meßbarer Weise verfolgt werden, ebenso die freiwillige langsame Verwandlung von KNORR'schem enolischem  $\alpha$ -Dibenzoylsuccindiäthylester in das stabile inaktive Gemisch der beiden stereoisomeren ketonischen  $\beta$ - und  $\gamma$ -Ester.<sup>5</sup> Nämlich:

<sup>1</sup> Zur Kenntnis der Pseudosäuren vergl. H. EULER, Ber. d. d. chem. Ges. **39**, 160 (1906) und HANTZSCH, ebenda. **39**, 2068. 1906. — <sup>2</sup> Vergl. H. KAYSER, Handbuch III. Kap. — <sup>3</sup> J. J. DOBBIE, A. LAUDER u. CH. K. TINKLER, Journ. chem. soc. **83**, 598. 1903. — <sup>4</sup> LIEB. Ann. **293**, 70. 1896. — <sup>5</sup> HARTLEY u. DOBBIE, Journ. chem. soc. **77**, 498. 1900 und Report Brit. Assoc. 1902.







### Folgerscheinungen der auswählenden Absorption.

Die auswählende Absorption des Lichtes durch farbige Stoffe, welche sich im Spektrum durch Absorptionsstreifen darstellt, bedingt gewisse optische Eigentümlichkeiten der betreffenden Substanzen. Zunächst besitzen Stoffe mit Absorptionsstreifen starke anomale Dispersion. Entwirft man z. B. mit einem Prisma von Fuchsinlösung ein Spektrum, so erhält man ein Spektrum mit verkehrter Farbenfolge. Am wenigsten abgelenkt in ihm ist Blau, dann folgen Violett, Rot, Orange, Gelb. Grün fehlt fast völlig, weil das Absorptionsband des Fuchsin im Grün liegt. Dieses Verhalten des Fuchsin als dispergierender Substanz rührt daher, daß der Brechungsexponent anomal stark zunimmt, wenn man sich vom Rot her dem Anfang des Absorptionsbandes nähert. Nach Überschreitung desselben setzt er wieder mit einem anomal kleinen Werte ein. Für rotes Licht der FRAUNHOFERSchen Linie *B* ist der Brechungsexponent des Fuchsin 1,3873, er steigt bis zum Absorptionsstreifen auf 1,3982 und beginnt dahinter (bei der Linie *F'*) mit dem Werte 1,3613, um dann bis zum Violett auf 1,3759 anzuwachsen. Einen entsprechenden Verlauf der Brechungsindizes liefert auch das feste Fuchsin, wenn es als dispergierende Substanz angewendet wird, wobei besonders interessant noch die Wahrnehmung ist, daß der Brechungsindex am Ende des Absorptionsstreifens kleiner als 1 wird, die Lichtgeschwindigkeit also größer als im leeren Raum (im „Äther“), was mit den Folgerungen, die HELMHOLTZ aus seiner elektromagnetischen Dispersionstheorie gezogen hat, in Übereinstimmung steht.<sup>1</sup> Ausführlich hat KUNDT<sup>2</sup> an einer Reihe von Stoffen mit bestimmten Absorptionsbanden, an Farbstoffen wie Cyanin, Salzen wie Kaliumpermanganat, an Metallen und glühenden Metaldämpfen, wie Natriumdampf, gezeigt, daß das besprochene Verhalten der Brechungsindizes allgemein statthat.<sup>3</sup> Durch die anomale Dispersion werden viele merkwürdige Erscheinungen erklärlich, die an Sternspektren beobachtet werden. Wenn Licht etwa durch Wasserstoff hindurchgeht, in dem durch die atmosphärische Zirkulation der Sternatmosphäre, namentlich durch Wirbelwinde, Schlieren vorhanden sind, so findet an diesen Brechung des Lichtes statt. Durch die anomale Dispersion werden nun diejenigen Lichtgattungen, welche den Absorptionslinien benachbart sind, mehr abgelenkt als die übrigen. Die Folge davon sind dunkle Räume in den Spektren neben den Absorptionslinien, die sogen. „Dispersionsbänder“. Damit im Zusammenhang stehen weiterhin Verbreiterungen, Verschiebungen und Verdoppelungen von Spektrallinien, wie sie namentlich im Spektrum der Protuberanzen angetroffen werden. Früher wurden diese Erscheinungen ausschließlich nach dem DOPPLER'schen Prinzip erklärt, und es hat erst neuerdings W. H. JULIUS<sup>4</sup> auf die anomale Dispersion als ihre wahre Ursache hingewiesen.

Eine weitere Folgeerscheinung der Lichtabsorption gefärbter Flüssigkeiten und Lösungen ist die Fluoreszenz. Hierunter versteht man das Selbstleuchten eines Licht absorbierenden Körpers während der Bestrahlung. Die Fluoreszenz scheint in keinem allgemein gültigen Zusammenhang mit der Absorption zu stehen; ihr Auftreten ist mehr Ausnahme als Regel. Nur dasjenige Licht erregt Fluoreszenz, welches stark absorbiert wird. Das Fluoreszenzlicht ist meistens von geringerer Brechbarkeit, als das erregende, absorbierte Licht (Regel von STOKES). Doch kommen auch Fälle vor, in denen es umgekehrt ist. Die Energie des Fluoreszenzlichtes wird offenbar von dem absorbierten Licht geliefert. — Nach R. MEYER<sup>5</sup> lassen sich für die Fluoreszenz organischer Stoffe ganz bestimmte

<sup>1</sup> A. PFLÜGER, WIED. ANN. 56. 417. — <sup>2</sup> POGG. ANN. 143, 144, 145; WIED. ANN. 10. 321. — <sup>3</sup> Am genauesten ist die anomale Dispersion des Natriumdampfes untersucht durch R. W. WOOD, Physikal. Zeitschr. 5. 751. 1904. Vergl. auch H. EBERT, Astronom. Nachr. 155. 177. 1901; BOLTZMANN-Festschrift. 1904. p. 448. — <sup>4</sup> Akad. Wetensch. Amsterdam. 1904. 134, 140, 323. — <sup>5</sup> Z. phys. chem. 24. 468.

Atomgruppen angeben, deren Anwesenheit im Molekül Fluoreszenz veranlaßt, und die man Fluorophore nennen kann. Als solche werden von R. MEYER bezeichnet: der Pyron-, Azin-, Oxazin-, Thiazinring, sowie die im Anthracen und Akridin enthaltenen Atomringe. Damit Fluoreszenz zur Entwicklung kommt, müssen die Fluorophore zwischen anderen Atomkomplexen, z. B. zwischen Benzolkernen, eingelagert sein. HEWITT<sup>1</sup> wies sodann darauf hin, daß Fluoreszenz mit Vorliebe bei Stoffen mit nachweislicher oder wahrscheinlicher Tautomerie auftrete. Bei gelösten fluoreszierenden Stoffen hat das Lösungsmittel nach H. KAUFFMANN und BEISSWENGER<sup>2</sup> auf die Fluoreszenzfarbe einen mit der Dielektrizitätskonstante in deutlichem Zusammenhang stehenden Einfluß.

Die Fluoreszenz ist eine Art Lumineszenz. Während bei der gewöhnlichen Lichtabsorption die eingestrahlte Energie ohne Rest vernutzt (in Wärme verwandelt) wird, verläßt sie den Körper hier zum Teil noch arbeitsfähig. Die Energie des absorbierten Lichtes verbleibt wohl zunächst im absorbierenden Stoff, vermehrt dessen Eigenenergie und erhöht sein chemisches Potential um einen gewissen Betrag. Durch eine entsprechende Temperatursteigerung könnte man dasselbe erreichen; während aber der Zustand in diesem Fall in sich stabil wäre, stellt die durch Aufsaugung von Licht auf höheres Potential gebrachte (in übertragener Bedeutung könnte man sagen: gereizte, gespannte, gepreßte) Substanz eine labile Form dar, insofern es ihr möglich ist, auch im Lichtfelde selbst die eingestrahlte Energie wieder abzugeben und in die unter den obwaltenden Temperatur- und Druckverhältnissen stabile Form zurückzukehren. Einerlei nun, ob die abgegebene Energie ganz als Wärme austritt oder ob ein Teil davon als Fluoreszenzlicht ausstrahlt, immer wird sich dabei im Lichtfelde nach R. LUTHER<sup>3</sup> ein stationärer Zustand entwickeln, wobei es von der Geschwindigkeit der Rückumwandlung abhängt, ob längeres Nachleuchten (Phosphoreszenz) zu beobachten ist und ob die Eigenschaften des absorbierenden Stoffes im Lichte merklich andere sind, als im Dunkeln.

Zu der letzteren Frage sind interessante Mitteilungen jüngst von NICHOLS und MERRITT<sup>4</sup> gemacht worden, indem es gelang, Änderungen der elektrolytischen Leitfähigkeit an fluoreszierenden Lösungen festzustellen.

Die chemische Veränderung, die fluoreszenzfähige Stoffe bei der Absorption des Lichtes erfahren, scheint bei der folgenden Emission des Fluoreszenzlichtes nicht immer rückgängig zu werden. Die blau fluoreszierende Lösung des Chininsulfats zersetzt sich im Licht unter Bräunung, und es scheint diese Zersetzung mit der Fluoreszenz im Zusammenhang zu stehen, da nach C. G. SCHMIDT<sup>5</sup> durch Zusatz von Halogenion sowohl die Fluoreszenz, als auch die Zersetzung hintangehalten wird.

Diese Verhältnisse leiten über zu den photochemischen Wirkungen der Absorption. Wenn und insofern bei dieser die eingestrahlte Energie in dem absorbierenden Stoff gespeichert wird, muß auch das chemische Potential desselben im Lichtfelde verändert sein. Steht er nun mit anderen anwesenden, bzw. aus ihm durch chemische Umsetzung hervorgehenden Stoffen im Gleichgewicht, so ist es klar, daß letzteres eine Verschiebung erleiden muß.

Die Behandlung dieser durch Licht hervorgebrachten Reaktionen bildet den Gegenstand der Photochemie. Die im Licht sich verändernden Stoffe bezeichnet man als lichtempfindlich. Da nach dem obigen zur Lichtempfindlichkeit Absorption gehört, so findet sich natürlich gerade bei Farbstoffen diese Eigenschaft entwickelt. Jedoch zeigt sich, daß kein allgemeiner Zusammenhang zwischen der Stärke der Absorption und der Lichtempfindlichkeit besteht; mit

<sup>1</sup> Z. phys. chem. 34. 1. — <sup>2</sup> Ebenda, 50. 350. 1904. — <sup>3</sup> Aufgaben der Photochemie. Vortrag. Leipzig. 1905. — <sup>4</sup> Physical Review. 19. 396. 1904. — <sup>5</sup> Phys. Zeitschr. 1. 464. 1900.



anderen Worten, der als chemische Energie gespeicherte Teil der absorbierten Lichtmenge ist von Stoff zu Stoff äußerst verschieden. Der ideale photochemisch reizbare Stoff müßte die Eigenschaft haben, von der absorbierten Lichtenergie gar nichts zu Wärme zu vernutzen. Ein solcher Stoff würde, in ein Lichtfeld gebracht, nur so lange absorbieren, bis er sich mit Licht vollgesaugt hätte. Um den Vorgang vollkommen umkehrbar zu machen, müßte er außerdem die Eigenschaft haben, nach Abblendung der Lichtquelle die eingestrahelte Energie unter Rückkehr in seinen ursprünglichen Zustand als Licht wieder auszustrahlen, also zu phosphoreszieren, und damit die Arbeitsfähigkeit des Phosphoreszenzlichtes dieselbe wäre wie die des absorbierten, müßte die Intensität des ausgestrahlten Lichtes derselben Strahlungsisotherme angehören, wie die des (im allgemeinen andersfarbigen) absorbierten Lichtes. Steht nun ein Stoff mit diesen Eigenschaften mit seinen Dissoziationsprodukten im Gleichgewicht, so wird sich dieses im Licht verschieben (wegen des im Lichtfeld sich ändernden chemischen Potentials des lichtempfindlichen Stoffes), und es läßt sich ein umkehrbarer photochemischer Kreisprozeß mit dem System ausführen. Bedingung für die Umkehrbarkeit ist, daß das System nur absorbiert, während die chemische Reaktion im einen Sinne im Licht verläuft und daß es fluoresziert, wenn die Umsetzung unter Aufwand von Arbeit im Licht rückgängig gemacht wird. Es ergibt sich dann, daß die vom absorbierten Licht geleistete Arbeit dem Ausdruck  $RT \ln \frac{K_l}{K_d}$  gleich ist, wenn unter  $K_l$  die Gleichgewichtskonstante im Licht und unter  $K_d$  dieselbe im Dunkel verstanden wird.

Unter den wirklichen, lichtempfindlichen Stoffen wird sich vielleicht keiner finden, der allein in der beschriebenen Weise absorbierte, vielmehr wird neben der zu chemischer Arbeit verwendeten Lichtenergie wohl immer ein anderer Teil des absorbierten Lichtes in Wärme verwandelt. Daher kommt es, daß ein photochemisch polarisiertes System seinen Zustand nur erhalten kann, wenn dauernd Licht von außen hereinströmt. Das Plus von absorbiertem Licht, welches während der chemischen Umsetzung verschluckt wird, heißt nach BUNSEN „photochemische Extinktion“. Ihr Betrag, im Verhältnis zu der ohne chemische Arbeitsleistung absorbierten Lichtenergie, ist bis jetzt nur in einem Falle ermittelt worden, nämlich bei der von BUNSEN und ROSCOE<sup>1</sup> untersuchten Verbindung von Chlorknallgas im Licht.

Unter den bestimmten Bedingungen der Temperatur, Gaszusammensetzung usw., unter denen diese Forscher beobachteten und von denen die Reaktionsgeschwindigkeit abhängt, zeigte es sich, daß Chlor für sich allein um ein Drittel weniger absorbiert, als in Gemeinschaft mit Wasserstoff, der seinerseits nicht merklich absorbiert. Der lichtempfindliche Stoff bei dieser Reaktion ist jedenfalls das Chlor. Welche chemische Veränderung oder „Aktivierung“ mit ihm vorgeht, ist zurzeit noch unbekannt, vielleicht handelt es sich um Verschiebung des Gleichgewichtes  $\text{Cl}_2 \rightleftharpoons 2\text{Cl}$  nach der Seite des atomaren Chlors oder um eine der Ozonbildung aus Sauerstoff  $3\text{O}_2 \rightleftharpoons 2\text{O}_3$  im ultravioletten Licht analoge Reaktion. Das aktivierte Chlor verbindet sich dann mit Wasserstoff in einer Folgereaktion. Ob die photochemische Chloraktivierung oder die nachträgliche Salzsäurebildung die schnellere Reaktion ist, weiß man zurzeit nicht, kann daher auch nicht entscheiden, ob im belichteten Chlorknallgas das gewöhnliche Chlor mit seiner aktivierten Form in jedem Augenblick im Gleichgewicht ist, oder ob es stets weit davon entfernt bleibt. Die der Messung zunächst zugängliche Geschwindigkeit der Salzsäurebildung ist nach BUNSEN und ROSCOE der Lichtstärke, also auch der insgesamt, sowie der photochemisch absorbierten Lichtenergie, proportional. Daß die photochemische Extinktion der Reaktions-

<sup>1</sup> OSTWALDS Klassiker der exakten Wiss. Nr. 34 u. 38. Leipzig. Engelmann.



geschwindigkeit symbar ist, erscheint natürlich, daß aber eben diese im geraden Verhältnis zu der Lichtstärke steht, ist ein merkwürdiges Ergebnis. Befindet sich das aktivierte Chlor im stationären Zustand weit entfernt vom Gleichgewicht, so heißt dies, daß die Bildungsgeschwindigkeit des aktivierten Chlors der Lichtstärke proportional ist; befindet es sich aber im Gleichgewicht, so käme heraus, daß die Gleichgewichtskonzentration des aktivierten Chlors der Lichtstärke proportional wäre. Beides ist in gewisser Hinsicht merkwürdig. Ob diese Proportionalität für die Geschwindigkeit der Lichtreaktionen allgemein gilt, ist natürlich nicht abzusehen.

Daß die Aktivierung des Chlors im Licht kein momentan verlaufender Vorgang ist, sondern meßbare Zeit braucht, zeigt sich in der sogen. photochemischen Induktion des Chlorknallgases. Darunter versteht man, daß das Licht einige Zeit auf das Gasgemenge einwirken muß, ehe die Geschwindigkeit der Salzsäurebildung stationär geworden ist.

Zum Eindringen in die Beziehungen zwischen Lichtabsorption und chemischer Umsetzung geeigneter als die photochemische Verbindung des Chlorknallgases und ähnlicher aus einer Mehrzahl aufeinanderfolgender Reaktionen bestehender Vorgänge sind umkehrbare Gleichgewichtsänderungen. Von solchen sind bis jetzt zwei untersucht worden, die Zersetzung von Chlor- und Bromsilber von R. LUTHER<sup>1</sup> und die Polymerisierung von Anthracen zu Dianthracen von LUTHER und WEIGERT.<sup>2</sup> Beide Fälle zeigen, wie bedeutend die Wirkung des Lichtes ist. Die Tension des Chlors über Chlorsilber im Tageslicht erreicht  $\frac{1}{10}$  Atm., während sie im Dunkeln unmeßbar klein ist ( $< 10^{-12}$  Atm.), und vom gelösten Anthracen verwandeln sich im Licht der Bogenlampe bis zu 50 % in Dianthracen, das im Dunkeln praktisch völlig verschwindet. Der Beziehung dieser Gleichgewichtswerte auf eine bestimmte Lichtstärke stellt sich eine technische Schwierigkeit entgegen, welche daraus entspringt, daß in der durchstrahlten Schicht die Lichtstärke der stark absorbierten und hauptsächlich wirksamen Strahlen rasch abnimmt. Daher beobachtet man eigentlich nicht statische Gleichgewichte, sondern stationäre Zustände. Messungen der Absorption sind von den genannten Forschern nicht gemacht worden. Für die Dynamik der Lichtwirkungen gipfelt das Interesse in der Bestimmung der photochemischen Extinktion, welche stattfindet, wenn man das im Lichtfelde bestimmter Intensität befindliche System den Einheitsumsatz (z. B. Umsatz von 1 Mol) durchmachen läßt. Bei Belichtung mit steigenden Lichtstärken wächst die Größe vermutlich nicht proportional mit jenen, sondern bei höheren Lichtstärken wahrscheinlich bedeutend langsamer.

Wir haben nunmehr die für uns wichtigsten Seiten der Lichtabsorption erörtert und wollen nur noch kurz auf die allgemeine Theorie der Absorption hinweisen. Es war üblich, sich dieselbe wie eine Resonanz vorzustellen. Das Molekül des absorbierenden Stoffes soll durch den Lichtstrahl in Schwingung versetzt werden, wie die Saite einer Harfe durch den Ton, auf den sie gestimmt ist. Die Dämpfung der Schwingung durch Reibung würde der Absorption und zugleich der Verwandlung der Lichtenergie in Wärme entsprechen. Doch ist diese mechanische Analogie, wie H. KAYSER<sup>3</sup> bemerkt, nicht völlig durchzuführen, da man mit ihr in Konflikt mit dem KIRCHHOFFSchen Gesetze kommt. Es müßte nämlich, sofern die Lichtwelle überhaupt Mitschwingen des Moleküls veranlaßt, die Absorption um so stärker sein, je stärker die Dämpfung ist. Dann aber dürfte der Stoff gerade die Wellen, die er absorbiert, nicht emittieren. Nach KIRCHHOFF verlangt jedoch der zweite Hauptsatz das Gegenteil.

Dieser Schwierigkeit entzieht man sich, ohne jedoch einen mit KIRCHHOFFS

<sup>1</sup> Z. phys. Chem. 30. 628. 1899. — <sup>2</sup> Ebenda. 51. 297. 1905; 53. 385. 1905. — <sup>3</sup> Handbuch, III. Kap. 1.

Satz in Zusammenhang stehenden Standpunkt zu begründen, wenn man, im schluß an die Elektrooptik, das absorbierende Molekül als HERTZschen Resonator betrachtet. Das Licht würde dann die Oszillation einer elektrischen Ladung dem Molekül bewirken und die Absorption würde nach DRUDE<sup>1</sup> durch elektrischen Widerstand des Resonators entstehende JOULEsche Stromwärme:

Umfassender als diese Vorstellung ist vielleicht die chemische, die wir schon für Fluoreszenz, Phosphoreszenz und photochemische Gleichgewichtsverschiebung benutzt haben. Danach würde die Energie des Lichtes in chemische Energie verwandelt, d. h. der absorbierende Stoff wäre während der Absorption tatsächlich ein chemisch anderer, er würde im Licht in eine unbeständige energiereichere Form übergehen, deren Rückverwandlung in die stabile Form nach Umständen mit Entwicklung von Wärme oder Phosphoreszenzlicht sich ginge.

Bezüglich der Bedeutsamkeit der selektiven Absorption sei hier wieder auf was schon von der selektiven Emission gesagt wurde. Sie zeigt uns an, in den Stoffen gewisse Zeitperioden präformiert sind. Man wird diese Präformation schwerlich anders als räumlich, strukturell auffassen können; mit anderen Worten: die Raumerfüllung der Stoffe ist keine durchaus homogene, sondern pyknotisch oder korpuskular (OSTWALD,<sup>2</sup> R. LUTHER<sup>3</sup>).

#### Zusatz bei der Korrektur.

Zu der Bemerkung auf p. 73, daß an den Karbinolen der Triphenylmetallfarbstoffe (der Leukobasen) Salzbildung auch ohne chinoide Umlagerung eintreten möchte, ist ergänzend hinzuzufügen, daß damit Anschauungen gestreift werden zu denen A. v. BAEYER<sup>4</sup> neuerdings gelangt ist. Nach v. BAEYER erhält man beim Auflösen der Oxyderivate des Triphenylkarbinols, die der Ortho-Metareihe angehören, z. B. des Mono-ortho-oxytriphenylkarbinols, in starken Säuren farbige Lösungen, welche Salze des strukturell unveränderten Karbinols enthalten. In diesen Stoffen hat man die wahren Farbsalze des Triphenylkarbinols zu erblicken. v. BAYER unterscheidet diese als „benzoide“ Farbsalze von den entsprechenden „chinoiden“ Salzen vom Typus der Salze von Fuchsonimonium. Chemisch merkwürdig an den benzoide Farbsalzen des Triphenylkarbinols ist der Umstand, daß das Hydroxyl des Karbinols ionisiert erscheint, also das zentrale Kohlenstoffatom des Triphenylkarbinols die Eigenschaften einer Base (des Carboniums) entwickelt.<sup>5</sup>

<sup>1</sup> Lehrb. d. Optik, Leipzig. 1900. p. 330. — <sup>2</sup> Grundriß der allgem. Chem. 2. Aufl. Leipzig. 1899. p. 492. — <sup>3</sup> Aufgaben der Photochemie. Vortrag. Leipzig. 1905. — <sup>4</sup> Z. anorg. Chem. 16. 1287. 1906. — <sup>5</sup> v. BAYER, Ber. d. deutsch. chem. Ges. 38. 569. 1905.

## § 8. Spektrophotometrie und Kolorimetrie.

Die Messung der Absorption des Lichtes durch gefärbte Lösungen führt zu einem besonderen Zweig der quantitativen Analyse. Je nachdem die Absorption des spektral zerlegten oder nicht zerlegten Lichtes gemessen wird, heißt die Operation Spektrophotometrie oder Kolorimetrie. Um aus der Lichtschwächung auf den Gehalt einer Lösung zu schließen, führt man die beiden empirischen, schon in § 7 erwähnten Gesetze von LAMBERT und BEER ein, wonach die Lichtschwächung stets der Lichtstärke proportional ist und in Lösung außerdem der Konzentration des farbigen (absorbierenden) Stoffes. Wir hatten (vergl. p. 61) die Gesetze von LAMBERT und BEER auf die Formen gebracht:

$$(1) \quad \frac{J}{J_0} = e^{-k \cdot d}$$

$$(2) \quad \frac{J}{J_0} = e^{-\kappa \cdot c \cdot d} ,$$

wo  $J_0$  die einfallende Lichtstärke,  $J$  die nach Durchstrahlung der Schicht  $d$  übrigbleibende Lichtstärke,  $c$  die Konzentration einer Lösung an färbendem Stoff und  $k$ , bzw.  $\kappa$ , die Absorptionskonstante bedeuten.

Durch Kombination von (1) und (2) findet man, daß bei Lösungen, deren durchstrahlte Schicht eine gegebene, gleichbleibende Dicke hat, der Logarithmus des Verhältnisses von durchgelassener zu einfallender Lichtstärke der Konzentration proportional ist. Setzt man nämlich in (1) und (2)  $d = 1$  (cm) und logarithmiert, so folgt:

$$(3) \quad -\log \frac{J}{J_0} = k \log e = \epsilon$$

$$-\log \frac{J}{J_0} = c \log e^{\kappa}$$

und mit Rücksicht auf (3):

$$(4) \quad \frac{c}{\epsilon} = \frac{1}{\log e^{\kappa}} = A .$$

$\epsilon$  heißt nach BUNSEN der „Extinktionskoeffizient“ und  $A$  nach VIERORDT das „Absorptionsverhältnis“ einer Lösung. Die Werte von  $\epsilon$  und somit auch von  $A$  hängen für eine gegebene farbige Substanz natürlich von der Wellenlänge ab.

Um eine Vorstellung zu gewinnen von der Größe  $\epsilon$ , denken wir uns eine Schicht einer Lösung von solcher Dicke  $d$ , daß das einfallende Licht auf den zehnten Teil seiner Intensität geschwächt wird, dann ist nach (1)  $d = \frac{1}{\epsilon}$ . Der

reziproke Wert des Extinktionskoeffizienten gibt also die Dicke derjenigen Schicht



(in cm) an, welche das einfallende Licht auf ein Zehntel seiner Stärke schwächt.

Eine nur formal etwas verschiedene Ableitung von (1) und (2) ergibt sich durch die folgende Betrachtung: Beim Durchgang durch die Schicht von der Dicke Eins = 1 cm werde die Intensität  $J_0$  des auffallenden Lichtes um den Bruchteil  $a$  geschwächt. Dann beträgt die Intensität des austretenden Lichtes  $J_1 = a J_0$ . Durchläuft dieses Licht eine zweite, ebenso dicke Schicht, so wird wieder der Bruchteil  $a$  absorbiert (Satz von LAMBERT), daher die Intensität des austretenden Lichtes  $J_2 = a^2 J_0$ . Die durch  $d$  Schichten hindurchgehende Lichtstärke wird:

$$J = a^d J_0$$

oder:

$$\log \frac{J}{J_0} = d \log a$$

$a$  heißt „Absorptionskoeffizient“. Zum Extinktionskoeffizienten steht nach (3) offenbar in der Beziehung:  $-\log a = \epsilon$ .

Zur Ausführung der quantitativen Spektralanalyse stützt man sich nun auf die Gleichung (4), wonach für beliebig konzentrierte Lösungen eines gegebenen Stoffes

$$\frac{c_1}{\epsilon_1} = \frac{c_2}{\epsilon_2} = \dots = A$$

ist. Man bestimmt photometrisch für eine bekannte Konzentration  $c_1$  ein farbiges Stoffes den zugehörigen Extinktionskoeffizienten  $\epsilon_1$  und findet dann durch Bestimmung von  $\epsilon_2$  die zugehörige unbekannte Konzentration  $c_2$ .

Vorausgesetzt wird dabei, daß der farbige Stoff beim Verdünnen nicht durch chemische Umsetzung verschwindet oder gebildet wird, da sonst das BEERSche Gesetz, auf die Bruttokonzentration bezogen, natürlich nicht erfüllt sein kann. Umgekehrt vermag ein Gang im Absorptionsverhältnis  $A$ , der bei einer Serie von Verdünnungen hervortreten möchte, auf chemische Änderung in der betrachteten Lösung aufmerksam zu machen.

Im Fall eines binären Elektrolyten, dessen eines Ion farbig sei, während das andere Ion und das undissoziierte Salz farblos seien, haben wir speziell  $c = \frac{\alpha}{v}$  und damit  $\frac{\alpha}{v \cdot \epsilon} = A$ , wenn  $\alpha$  der Dissoziationsgrad,  $c$  die Konzentration des farbigen Ions und  $v$  die Verdünnung bezeichnet. Führt man dies in die Gleichung der elektrolytischen Dissoziationsisotherme

$$\frac{\alpha^2}{(1 - \alpha)v} = K$$

ein, so findet sich

$$\frac{\epsilon^2 A^2 v}{1 - \epsilon A v} = K$$

Messen wir also für eine Serie von Verdünnungen  $v_1, v_2, v_3, v_4 \dots$  zugehörigen Extinktionskoeffizienten  $\epsilon_1, \epsilon_2, \epsilon_3, \epsilon_4 \dots$ , so können wir daraus die Dissoziationskonstante  $K$  berechnen, wenn nur zuvor bei irgend einer Verdünnung  $v$  der Dissoziationsgrad  $\alpha$  bekannt war, um damit das wahre Absorptionsverhältnis  $A$  des farbigen Ions auszuwerten. Es versteht sich, daß man durch Verdünnung von

$$\alpha = \frac{Kv}{2} \left( \sqrt{1 + \frac{4}{Kv}} - 1 \right)$$

mit

$$\frac{\alpha_1}{v_1 \varepsilon_1} = \frac{\alpha_2}{v_2 \varepsilon_2}$$

auch zu einer Gleichung zwischen  $K$ ,  $v$ ,  $\varepsilon$  gelangen kann, welche gestattet,  $K$  aus optischen Messungen allein zu berechnen, doch wird der Ausdruck nicht rational. Dagegen ließe sich aus zwei Wertepaaren  $\varepsilon_1$ ,  $v_1$  und  $\varepsilon_2$ ,  $v_2$  das Absorptionsverhältnis  $A$  berechnen, welches würde:

$$A = \frac{\varepsilon_1^2 v_1 - \varepsilon_2^2 v_2}{(\varepsilon_1^2 \cdot \varepsilon_2 - \varepsilon_2^2 \cdot \varepsilon_1) v_1 v_2}$$

Umgekehrt verfahren, läßt sich bei Kenntnis von  $K$  für  $A$  der Ausdruck herleiten:<sup>1</sup>

$$A = \frac{\sqrt{K^2 + \frac{4K}{v}} - K}{2\varepsilon}$$

Wenn faktisch die quantitative Spektralanalyse farbiger Salze unter Annahme von  $A = \frac{c}{\varepsilon}$  (wobei  $c$  die Bruttokonzentration bedeutet) zu im allgemeinen brauchbaren Ergebnissen führt, so liegt dies zum Teil daran, daß innerhalb des der Messung zugänglichen, meist nicht allzuweiten Intervalles die Verschiebung der elektrolytischen Dissoziation nicht beträchtlich genug ist, um nicht innerhalb der Fehlergrenzen der bis heute noch nicht sehr empfindlichen photometrischen Bestimmungsmethoden zu fallen, zum anderen Teil daran, daß häufig der Neutralteil des Salzes mit seinem farbigen Ion annähernd gleiche Farbe besitzt.

Um nun Extinktionskoeffizienten für eine bestimmte Wellenlänge (oder einen hinreichend schmalen Spektralbereich) zu bestimmen, muß das Spektroskop mit einer photometrischen Vorrichtung ausgerüstet sein. Als solche werden entweder Polarisationsvorrichtungen verwendet oder nach VIERORDT<sup>2</sup> meßbare Verengung des Spaltes.

Der Vorteil der letzteren Methode besteht in ihrer Einfachheit und in der Lichtstärke des Gesichtsfeldes. Doch stehen dem gewisse Mängel gegenüber, von denen die Polarisationsmethode frei ist, so daß diese als die prinzipiell vollkommenere gelten muß.

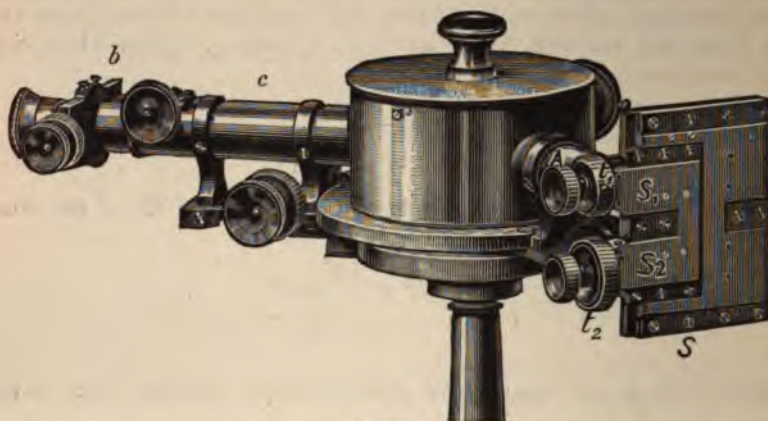
Im Apparat von VIERORDT tritt an die Stelle des gewöhnlichen Spaltes des Spektralapparates ein in zwei Hälften geteilter Spalt, dessen Einrichtung aus der nachfolgenden Abbildung (Figur 13) des „Universalspektralapparates“ von H. KRÜSS, Hamburg ersichtlich ist. Die beiden Hälften  $S_1$  und  $S_2$  des Spaltes  $S$  am Kollimator  $A$  können durch zwei Mikrometerschrauben von 0,2 mm Ganghöhe mit geteilten Trommeln  $t_1$  und  $t_2$  unabhängig voneinander und symmetrisch zur Mittellinie meßbar erweitert und verengt werden. Vor dem Spalt stellt man ein Gefäß mit planparallelen Wänden auf, dessen lichte Weite 11 mm beträgt. In demselben befindet sich ein würfelförmiger Glaskörper  $a$ , der sogen. SCHULZsche Glaskörper (Figur 14), der eine Dicke von 1 cm hat und dessen obere Fläche eben geschliffen ist. Man stellt das Gefäß so auf, daß diese obere Fläche in einer Horizontalebene mit der Trennungslinie der beiden Spalthälften zu liegen kommt. Das Gefäß wird nun mit der zu untersuchenden Lösung beschickt und

<sup>1</sup> Vergl. G. RUDOLF, Lichtabsorption in Lösungen, Sammlung AHRENS. 9. 1. 1904. —

<sup>2</sup> Vergl. G. u. H. KRÜSS, Kolorimetrie und quantitative Spektralanalyse, Hamburg. Voß, 1891, sowie VIERORDT, Die Anwendung des Spektralapparates zur Photometrie der Absorptionsspektren. Tübingen, 1873.



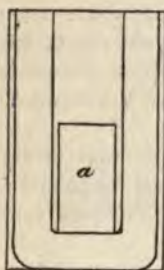
durch eine Lampe beleuchtet. Offenbar ist die auf die obere Spalthälfte fallende Lichtmenge durch eine Flüssigkeitsschicht von 1 cm Dicke mehr geschwächt als die auf die untere Spalthälfte fallende. Man hat nun in den beiden übereinander liegenden Spektren einen bestimmten, engen Spektralbezirk, den man



Figur 13.

je nach der Natur der zu analysierenden Substanz passend auswählt, in bezug auf seine Helligkeit oben und unten zu vergleichen.

Um dies bequemer ausführen zu können, blendet man den Rest des Spektrums links und rechts von dem auf seine Helligkeit zu untersuchenden Bezirk ab durch eine geeignete Blende („Okularschieber“, *b* in Figur 13), die vor das Okular des Beobachtungsfernrohrs (*c* in Figur 13) eingesetzt wird. Beide Spalthälften werden zunächst gleichweit aufgedreht, am bequemsten auf 100 Trommelteile. Dann erscheinen die beiden Spektren verschieden hell. Dreht man nun die untere Spalthälfte soweit zu, daß die Helligkeit beider Spektren gleich wird, so ergibt die an der unteren Trommel abzulesende Zahl die übrigbleibende Lichtstärke  $J$  in Prozenten der einfallenden Lichtstärke  $J_0$ . Die Ablesung ergibt daher sofort das Verhältnis  $\frac{J}{J_0}$  als Dezimalbruch. Nun ist  $\epsilon = -\log \frac{J}{J_0}$ .



Figur 14.

Wir haben also den Logarithmus des Dezimalbruchs aufzuschlagen und von seiner Charakteristik abzuziehen, um  $\epsilon$  zu erhalten.<sup>1</sup>

Bei der Ausführung der Absorptionsmessungen muß auf eine Korrektur geachtet werden, die für die Reflexion am SCHULZschen Würfel und für die Absorption des Lösungsmittels anzubringen ist. Füllt man das Absorptionsgefäß mit dem Lösungsmittel und stellt es zwischen Lampe und Doppelspalt auf, so fällt auf die untere Spalthälfte im allgemeinen eine andere Lichtmenge als auf die obere, bei Wasser auf die untere etwa 10% weniger, bei Chloroform etwa 12% mehr. Diesen Einfluß des Lösungsmittels gleicht man dadurch aus, daß man zunächst beide Spalte gleich weit, auf 100 Trommelteile, öffnet, das Absorptionsgefäß mit dem reinen Lösungsmittel davor aufstellt und nun den oberen Spalt so weit öffnet oder schließt, bis gleiche Helligkeit der beiden Spektren erreicht

<sup>1</sup> Eine Tabelle der den übrigbleibenden Lichtstärken entsprechenden Extinktionskoeffizienten enthält die „Kolorimetrie und quantitative Spektralanalyse“ von G. u. H. KÄUSS, Leipzig. 1891.



ist. Darauf beschickt man das Gefäß mit der Lösung, dreht jetzt den unteren Spalt zu und findet damit durch Ablesung der Teilung der unteren Trommel die richtige übrigbleibende Lichtstärke in Prozenten.

Wichtig für die Genauigkeit der Helligkeitsmessung ist es, daß die Trennungslinie der beiden Spektren absolut scharf sei. Bei Aufstellung des Absorptionsgefäßes unmittelbar vor dem Spalt ist dies nicht vollkommen zu erreichen; um dem Mangel abzuhelpen, empfiehlt es sich, den HÜFNER-ALBRECHTSchen Rhombus<sup>1</sup> zwischen das Absorptionsgefäß und den Doppelspalt einzufügen. Sehr wesentlich ist ferner, daß das Absorptionsgefäß in einem homogenen Lichtfelde steht. Man verwendet als Lichtquelle zweckmäßig eine Auerlampe und verbirgt dieselbe in einem undurchsichtigen Zylinder, aus dem nur durch eine kleine Öffnung Licht austritt. In Brennweite davon ist eine Linse aufzustellen, welche die Strahlen parallel macht. In dieses Lichtfeld stellt man in gehöriger Entfernung das Absorptionsgefäß.

Der prinzipielle Fehler der VIERORDTSchen Methode liegt darin, daß durch die verschiedene Spaltbreite die beiden zu vergleichenden Spektren von ungleicher Reinheit und daher auch von nicht völlig gleichem Farbentone sind. Namentlich muß die Vergleichung der Helligkeiten beider Spektren zu fehlerhaften Ergebnissen dann führen, wenn in dem betrachteten Spektralbezirk der Absorptionskoeffizient mit der Wellenlänge stark und nicht geradlinig sich ändert. Daher muß man bei Messungen mit dem VIERORDTSchen Apparat, wenn mit weißem Licht beleuchtet wird, vorzugsweise solche Stellen im Spektrum auswählen, wo die Absorptionskurve des vorliegenden Stoffes möglichst wenig mit der Wellenlänge sich ändert, jedenfalls aber solche Stellen, wo von der mittleren betrachteten Wellenlänge aus die Änderung nach beiden Seiten symmetrisch ist.

Um die Lichtschwächung gefärbter Lösungen durch Polarisation zu messen, sind eine Reihe von Apparaten konstruiert worden, von denen wir den ältesten und einfachsten und den neuesten, zur Zeit vollkommensten beschreiben wollen. Jener rührt von GLAN<sup>2</sup> her und besteht in einem Spektralapparat der BUNSENschen Form, an dessen Beobachtungsfernrohr ein Okularschieber zum Ausschneiden schmaler Streifen aus dem Spektrum angebracht ist und dessen Spalt durch eine horizontale Querleiste in zwei Abteilungen zerlegt wird. Hinter der Objektivlinse des Kollimators ist ein WOLLASTON-Prisma angebracht, dessen Hauptschnitt parallel zum Spalte liegt. Durch dieses Prisma werden von jedem der beiden übereinanderliegenden Spalte je zwei Bilder erzeugt, ein ordentliches und ein außerordentliches. Die Dicke des doppelbrechenden Prismas steht zu der Querleiste des Spaltes in solchem Verhältnis, daß für einen Strahl von mittlerer Wellenlänge der Abstand des ordentlichen vom außerordentlichen Bilde der Breite der Leiste gleich ist. Hierdurch wird bewirkt, daß die untere Kante des außerordentlichen Bildes vom oberen Spalt zusammenfällt mit der oberen Kante des ordentlichen Bildes vom unteren Spalt. Es laufen nun also senkrecht gegeneinander polarisierte Strahlenbündel von den beiden Spalten mit einer gemeinsamen Berührungslinie nebeneinander her. Sie treffen auf ein NICOLsches Prisma, das in einer Kreisteilung an einem Hebel drehbar angebracht ist und zwar so, daß in der Nullstellung das ordentliche Bild, welches vom unteren Spalt kommt, ausgelöscht wird. Nach Drehung um  $90^\circ$  wird das außerordentliche Bild (vom oberen Spalt) ausgelöscht. Dazwischen findet man eine Stellung des Nicols, wo beide Spaltbilder gleiche Helligkeit haben. Nach Durchlaufen des Nicols treten die beiden Strahlenbündel in das dispergierende Prisma und werden zu zwei übereinander liegenden Spektren auseinandergezogen, deren Helligkeit in der vom Okularschieber ausgeschnittenen Spektralgegend man nun vergleicht, indem man durch Drehung des Nicols auf gleiche Helligkeit einstellt.

<sup>1</sup> Z. phys. Chem. 3. 562. 1889. — <sup>2</sup> WIED. ANN. 1. 351. 1877.

Die genaue Berührung der beiden übereinander liegenden Spektren gilt, wenn der Spalt im Brennpunkt der Kollimatorlinse sich befindet, nur für eine mittlere Wellenlänge. Um dieselbe auch für die roten und blauen Spektralteile herzustellen, muß man den Spalt um ein geringes aus dem Brennpunkt verschieben. Strenggenommen hat man dann auch das Beobachtungsfernrohr aus seiner Einstellung auf Unendlich etwas herauszudrehen. Das Okular des Fernrohres stellt man auf Bildschärfe des Okularschiebers ein. Zur Ortsbestimmung im Spektrum ist der Apparat mit einem Skalenrohr versehen, welches wie gewöhnlich angebracht ist.

Die Berechnung der Extinktionskoeffizienten geschieht auf folgender Grundlage: Denken wir uns vor dem Spalt das gewöhnliche Absorptionsgefäß von 11 mm lichter Weite aufgestellt, mit Lösungsmittel (Wasser, Alkohol usw.) beschickt und den SCHULZschen Glaskörper darin versenkt. Das Absorptionsgefäß werde vor dem Spalt in solcher Höhe angebracht, daß das Bild der oberen Kante des Glaskörpers auf die Querleiste des Spaltes trifft. Dann ist wegen der Reflexionsverluste die Flächenhelle des oberen Spaltes nicht gleich der des unteren. Jen heiße  $i$ , diese  $i_1$ . Bezeichnen wir mit  $\alpha_0$  die Drehung des Nikols, die nötig ist, um im Gesichtsfeld gleiche Helligkeit zu erzeugen, wobei die Drehung gerechnet wird von der Stellung, wo das ordentliche Bild verschwindet, so sind die Intensitäten des Bildes der oberen Spalthälfte  $i a \cos^2 \alpha_0$  und die des unteren  $i_1 a_1 \sin^2 \alpha_0$  einander gleich.  $a$  und  $a_1$  sind Koeffizienten, welche die Schwächung des ordentlichen und außerordentlichen Strahlenbündels durch Reflexionen und Absorptionen im Apparat zum Ausdruck bringen. Es ist also

$$\frac{i}{i_1} = \frac{a_1}{a} \operatorname{tg}^2 \alpha_0.$$

An dem Verhältnis der Lichtstärken und an der Drehung  $\alpha_0$  würde nichts geändert werden, wenn wir uns von vornherein das auffallende Licht um so viel geschwächt denken, als es durch 1 mm Schichtdicke der zu untersuchende farbigen Lösung geschwächt würde. Wir können uns unter  $i$  und  $i_1$  daher auch Licht vorstellen, welches durch 1 mm Schichtdicke der Lösung hindurchgegangen ist. Beschicken wir nunmehr den Absorptionstrog mit der Lösung, so haben wir also im unteren Spalt die Flächenhelle  $i_1$ , im oberen die geringere Flächenhelle  $i_2$ . Besteht Helligkeitsgleichheit im Gesichtsfelde bei der Drehung so gilt:

$$i_2 a \cos^2 \alpha = i_1 a_1 \sin^2 \alpha$$

$$\frac{i_1}{i_2} = \frac{a_1}{a} \cot^2 \alpha.$$

Demnach

$$\frac{i}{i_2} = \operatorname{tg}^2 \alpha_0 \cdot \cot^2 \alpha$$

oder

$$\log \frac{i}{i_2} = 2 (\log \operatorname{tg} \alpha_0 + \log \cot \alpha) = \epsilon,$$

da  $\frac{i_2}{i}$  die übrigbleibende Lichtstärke angibt, die der Schwächung durch eine Schicht der Lösung von 1 cm Dicke entspricht.

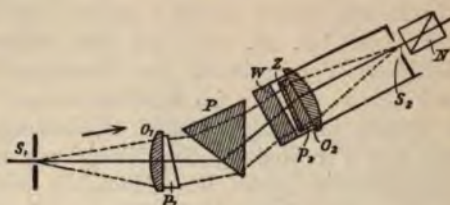
Weitere Spektrophotometer mit Polarisation sind von HÜFNER, GLAZEBROOK, CROVA, WILD beschrieben worden, in bezug auf welche auf die „Kolorimetrie und quantitative Spektralanalyse“ von G. u. H. KRÜSS<sup>1</sup> verwiesen sei. Neuere dings ist ein von A. KÖNIG<sup>2</sup> angegebenes Spektralphotometer durch MARTEN

<sup>1</sup> Leipzig. 1891. — <sup>2</sup> WIED. ANN. 53. 785. 1894.



und GRÜNBAUM<sup>1</sup> so vervollkommen worden, daß dieses Instrument zurzeit wohl das leistungsfähigste Spektralphotometer zur Untersuchung der Extinktion von Lösungen und farbigen Gläsern vorstellt.<sup>2</sup> Es ist so eingerichtet, daß die brechende Kante des dispergierenden Prismas horizontal zu liegen kommt, während das Beobachtungsfernrohr schräg aufwärts gerichtet ist und durch Drehung um eine horizontale Achse auf die verschiedenen Spektralgebiete eingestellt werden kann. Der analysierende Nikol befindet sich zwischen Auge und Okularspalt, wodurch erreicht wird, daß man bei bequemer Kopfhaltung schräg nach unten blickend, die Einstellung auf gleiche Helligkeit und Ablesung des Teilkreises ohne Kopfverstellung ausführen kann.

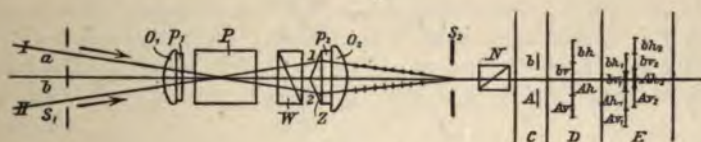
Die optische Einrichtung des Photometers beschreiben MARTENS und GRÜNBAUM<sup>3</sup> wie folgt: „Die vom Spalte  $S_1$  (Figur 15) ausgehenden Strahlen werden von der Objektivlinse  $O_1$  parallel gemacht, durch das Flintprisma  $P$  nach Maßgabe der Wellenlänge abgelenkt



Figur 15.

und durch die Objektivlinse  $O_2$  zu einem Spaltbilde am Orte des Okularspaltes  $S_2$  vereinigt. Der durch  $S_2$  blickende Beobachter sieht die ganze Fläche der Objektive gleichmäßig und einfarbig beleuchtet. Die beiden Prismen  $p_1$  und  $p_2$  aus Crown-glas haben die wichtige Aufgabe, die zweimalige Reflexion von Strahlen an den optischen Flächen, die bei der alten Konstruktion sehr störend wirkte, unschädlich zu machen. Figur 16 stellt einen horizontalen Schnitt durch das Photometer dar; man muß sich natürlich die Ebene der Zeichnung in Wirklichkeit im Dispersionsprisma  $P$  umgebogen vorstellen.

Der Eintrittsspalt  $S_1$  ist durch Blenden in zwei Spalte  $a$  und  $b$  geteilt, in welche die miteinander zu vergleichenden Lichtbündel I und II eintreten.



Figur 16.

Nehmen wir zunächst an, das Wollastonprisma  $W$  und das Zwillingsprisma  $Z$  seien nicht vorhanden. Dann würden von den Spalten  $a$  und  $b$  zwei Bilder,  $b$  und  $A$ , entstehen, wie es im Teil  $C$  der Figur 16 dargestellt ist. Denken wir uns nun das Wollastonprisma, welches aus zwei verkitteten Kalkspaltprismen besteht, eingesetzt, dann entstehen durch Doppelbrechung zwei Bilder  $b_h$  und  $A_h$  (vergl. Figur 16  $D$ ) mit horizontaler Schwingungsrichtung des Lichtes; zwei andere Bilder  $b_v$  und  $A_v$  mit vertikaler Schwingungsrichtung. Nehmen wir nun weiter an, auch das Zwillingsprisma  $Z$  werde eingeführt, dann entwirft die in Figur 16 obere Hälfte 1 eine nach unten abgelenkte Spaltbilderreihe  $b_{h1}, b_{v1}, A_{h1}, A_{v1}$ ; die untere Hälfte 2 eine nach oben abgelenkte Spaltbilderreihe  $b_{h2}, b_{v2}, A_{h2}, A_{v2}$ . Nur das Licht der zentralen Bilder  $b_{v1}$  und  $A_{h2}$  wird nun vom Okularspalt durchgelassen. Mithin sieht ein am Okularspalt befindliches Auge das Feld 1 mit vertikal schwingendem Lichte vom Spalte  $b$  beleuchtet; das Feld 2 mit horizontal schwingendem Lichte vom Spalte  $a$ . Dieser Strahlengang

<sup>1</sup> DRUDES Ann. 12. 984. 1903. — <sup>2</sup> Zu beziehen von Schmidt und Haensch, Berlin S, Prinzessinnenstr. 16. — <sup>3</sup> l. c.



ist in der Figur 16 durch die ausgezogenen Strahlenbündel I und II angedeutet. Das Zwillingsprisma ist die eigentliche Vergleichsvorrichtung, auf die gleiche Helligkeit der beiden Hälften der photometrischen Vergleichsfelder wird bei allen Messungen eingestellt.

Da das von den Vergleichsfeldern ins Auge kommende Licht in zwei zueinander senkrechten Richtungen polarisiert ist, kann man leicht eine Vorrichtung zur meßbaren Änderung der Lichtintensitäten konstruieren; hierzu dient ein meßbar drehbares Nikol  $N$ , welches sich zwischen Okularspalt und Auge befindet.“

Dem Apparat werden Absorptionsröhren in verschiedener Länge und eine dazu gehörige Beleuchtungsvorrichtung beigegeben, durch welche eine einwurfsfreie Durchstrahlung der absorbierenden Medien gewährleistet wird.

Die Methode der Beobachtung gestaltet sich folgendermaßen: Man bringt in den Gang der Strahlen I und II (vergl. Figur 16) zwei gleichlange Absorptionsröhren, von denen die eine mit der Lösung, die andere mit dem reinen Lösungsmittel beschickt ist, und stellt die beiden Hälften des Gesichtsfeldes auf gleiche Helligkeit (Verschwinden der Trennungslinie) ein. Diese Messung macht man zweimal: 1. Lösung im Strahlenbündel I, Lösungsmittel in II, Einstellung  $\alpha_1$ ; 2. Lösung im Strahlenbündel II, Lösungsmittel in I, Einstellung  $\alpha_2$ . Die Winkel sind von der Stellung des Nikols aus zu zählen, bei der die rechte Hälfte des Gesichtsfeldes dunkel ist. Heißt die einfallende Lichtstärke  $J$ , die nach Durchstrahlung der Lösung übrigbleibende  $J'$  und die nach Durchstrahlung des Lösungsmittels übrigbleibende  $J''$ , so gilt (analog wie beim GLANSCHEN Apparat) bei Messung 1:

$$\frac{J''}{J'} = \operatorname{tg}^2 \alpha_1,$$

bei Messung 2:

$$\frac{J'}{J''} = \operatorname{tg}^2 \alpha_2.$$

Demnach:

$$\left(\frac{J'}{J''}\right)^2 = \frac{\operatorname{tg}^2 \alpha_2}{\operatorname{tg}^2 \alpha_1}$$

oder:

$$\frac{J'/J}{J''/J} = \frac{\operatorname{tg} \alpha_2}{\operatorname{tg} \alpha_1},$$

somit:

$$\varepsilon - \varepsilon_0 = \frac{\log \operatorname{tg} \alpha_2 - \log \operatorname{tg} \alpha_1}{d},$$

wenn  $\varepsilon$  den Extinktionskoeffizienten der Lösung,  $\varepsilon_0$  den des Lösungsmittels für die gewählte Wellenlänge und  $d$  die Länge der Absorptionsröhren in Zentimetern bedeutet. Meist wird  $\varepsilon_0$  gegen  $\varepsilon$  zu vernachlässigen sein. Der Einfluß der Reflexion fällt bei dieser Methode heraus, da er für beide Röhren merklich gleich ist.<sup>1</sup>

Die Beleuchtung mit weißem Licht bringt bei den Polarisationsapparaten ähnliche Fehlerquellen mit sich, wie die VIERORDTSche Methode, wenn in einem Gebiete gemessen wird, wo die Absorptionskurve des absorbierenden Stoffes steil ansteigt oder stark gekrümmt ist. Der Extinktionskoeffizient wird dann abhängig von der Breite des Objekтивspaltes, die man nicht weiter als auf 0,1 mm (entsprechend 4  $\mu\mu$ ) herabsetzen kann. Auch wird die Messung selbst erschwert durch die nicht mehr völlig identische Farbe der beiden Gesichtsfelder und deren nicht ganz gleiche Helligkeit rechts und links, bzw. oben und unten. Für exakte

<sup>1</sup> Die Fehlerrechnung siehe bei MARTENS und GRÜNBAUM, l. c. p. 999.

Messungen ist es daher wesentlich, mit einfarbigem Lichte zu arbeiten. Man hat sich dazu eine Anzahl leicht herstellbare Spektrallinien, die über das sichtbare Gebiet gleichmäßig verteilt sind, auszuwählen. MARTENS und GRÜNBAUM<sup>1</sup> empfehlen die in folgender Tabelle zusammengestellten Linien:

| Nr. | Elem. | $\lambda$ | Beobachter       | Nr. | Elem. | $\lambda$ | Beobachter        |
|-----|-------|-----------|------------------|-----|-------|-----------|-------------------|
| 1   | Pb    | 424,542   | EXNER u. HASCHEK | 17  | Pb    | 537,29    | THALEN            |
| 2   | Hg    | 435,856   | KAYSER u. RUNGE  | 18  | Hg    | 546,097   | KAYSER u. RUNGE   |
| 3   | Pb    | 438,711   | EXNER u. HASCHEK | 19  | Pb    | 560,80    | THALEN            |
| 4   | He    | 447,18    | RUNGE u. PASCHEN | 20  | Hg    | 576,945   | } KAYSER u. RUNGE |
| 5   | Mg    | 448,13    | EXNER u. HASCHEK |     |       | 579,049   |                   |
| 6   | Sr    | 460,751   | EXNER u. HASCHEK | 21  | He    | 587,60    | RUNGE u. PASCHEN  |
| 7   | Zn    | 468,043   | EXNER u. HASCHEK | 22  | Na    | 589,31    | Mittelwert        |
| 8   | Zn    | 472,250   | EXNER u. HASCHEK | 23  | Sb    | 600,45    | THALEN            |
| 9   | Cd    | 480,009   | KAYSER u. RUNGE  | 24  | Zn    | 610,30    | THALEN            |
| 10  | H     | 486,149   | AMES             | 25  | Al    | 623,4     | } THALEN          |
| 11  | Zn    | 491,20    | } THALEN         |     |       | 624,4     |                   |
|     |       | 492,46    |                  | 26  | Zn    | 636,23    | AMES              |
| 12  | N     | 500,3     | THALEN           | 27  | Sn    | 645,2     | THALEN            |
| 13  | He    | 501,57    | RUNGE u. PASCHEN | 28  | H     | 656,304   | AMES              |
| 14  | Cd    | 508,606   | KAYSER u. RUNGE  | 29  | He    | 667,81    | RUNGE u. PASCHEN  |
| 15  | Ag    | 520,925   | KAYSER u. RUNGE  | 30  | Li    | 670,82    | RUNGE u. PASCHEN  |
| 16  | Tl    | 535,65    | KAYSER u. RUNGE  |     |       |           |                   |

Für die Natrium-, Lithium-, Strontium- und Thalliumlinien bedient man sich der Flammenspektren, zweckmäßig unter Benutzung der BECKMANNschen Zerstäubungsvorrichtung, für die Quecksilberlinie der AARONSSchen oder Uviolampe, für Wasserstoff und Helium der üblichen Vakuumröhren und für die Metalle elektrischer Funken, die mit großem Induktorium, WEHNELT-Unterbrecher und Leydener Flasche erzeugt werden. Von den Funken werden durch Linsen reelle Bilder auf die mit Seidenpapier oder Milchglas bedeckte Beleuchtungsöffnung des Photometrierapparates entworfen. Die Unruhe des Gesichtsfeldes wirkt etwas beeinträchtigend auf die Ablesegenauigkeit. Immerhin erlaubt das MARTENSsche Instrument beim Arbeiten mit Funken-Spektrallinien die Bestimmung von Extinktionskoeffizienten auf 0,5—1,0% genau. Beim Arbeiten mit weißem Licht und bei den älteren Apparaten sind die Fehler durchschnittlich beträchtlich größer.

### Kolorimetrie.

Bei stark gefärbten Stoffen, namentlich solchen, welche bis in hohe Verdünnung eine Seite des sichtbaren Spektrums nahezu völlig auslöschen, kann man an die Stelle der Spektrophotometrie zweckmäßig die sehr einfache unmittelbare Vergleichung der Farbstärke bei Beleuchtung mit weißem Licht treten lassen. Die Apparate, die dieser Vergleichung dienen, heißen Kolorimeter. Das Verfahren besteht darin, daß man zwei verschiedenen starke Lösungen, von deren einer man die Konzentration kennt, in solchen verschiedenen Schichtdicken betrachtet, daß die Helligkeiten des durchgelassenen Lichtes gleich werden. Zur Auswertung des Ergebnisses nimmt man den Satz von BEER als gültig an, d. h. man setzt die Konzentration den Schichtdicken, für welche gleiche Helligkeit besteht, umgekehrt proportional (vergl. p. 62).

Man erlaubt sich damit freilich eine Ungenauigkeit, da diese Beziehung immer nur für eine bestimmte Wellenlänge gelten kann, sobald der Absorptionskoeffizient mit der Wellenlänge sich ändert. Denn besteht das einfallende Licht /

<sup>1</sup> l. c. p. 995.

aus verschiedenfarbigen Strahlen mit den Intensitäten  $J_1, J_2, J_3, \dots$ , für welche die Absorptionskoeffizienten  $a_1, a_2, a_3, \dots$  heißen mögen, so hat das aus der Schicht einer farbigen Lösung von der Dicke  $d$  austretende Licht die Intensität:

$$i = J_1 a_1^d + J_2 a_2^d + J_3 a_3^d + \dots$$

Wenn nun  $a_1 = a_2 = a_3 = \dots$  ist, wird  $i = J a^d$ . Ist dies nicht der Fall, so entstehen Abweichungen von diesem, dem LAMBERTschen Gesetz (vergl. p. 61) und damit dann auch von dem Satze BEERS.

Bei kolorimetrischen Bestimmungen muß man daher immer von Fall zu Fall entscheiden, ob die Ungenauigkeit, welche hiervon herrührt, noch innerhalb der Meßgenauigkeit des benutzten Kolorimeters liegt. Da einerseits der Konzentrationsbereich unmittelbarer kolorimetrischer Vergleichung 1 : 10 nicht überschreitet und da andererseits die Genauigkeit der Ablesung meist 2 % nicht übertrifft, so bleibt in sehr vielen Fällen der durch die Inhomogenität des Lichtes verursachte Fehler unterhalb der Meßgenauigkeit.

Wenn beim Verdünnen innerhalb der Lösung ein chemischer Vorgang vor sich geht, der eine der in Lösung befindlichen farbigen Stoffarten (Molekül-gattungen) ergreift (Dissoziation von Elektrolyten, von Komplexen, von Oxyhämoglobin etc.), so kann die kolorimetrische Gehaltsbestimmung, auf den Bruttogehalt bezogen, naturgemäß nicht zum zutreffenden Ergebnis führen, wohl aber, wenn sie auf die Konzentration der einzelnen farbigen Stoffart bezogen wird.

Das Konstruktionsprinzip der Kolorimeter besteht darin, durch geeignete optische Vorrichtungen die Strahlen, welche durch zwei miteinander zu vergleichende Lösungen gegangen sind, unmittelbar nebeneinander ins Gesichtsfeld zu bringen. Zur Einstellung auf gleiche Helligkeit wird die Schichthöhe der Lösungen meßbar veränderlich gemacht oder es wird eine Polarisationsvorrichtung angebracht. Die erste Methode findet in den Kolorimetern von DUBOSCQ und WOLFF, die zweite in dem von KRÜSS Verwendung.

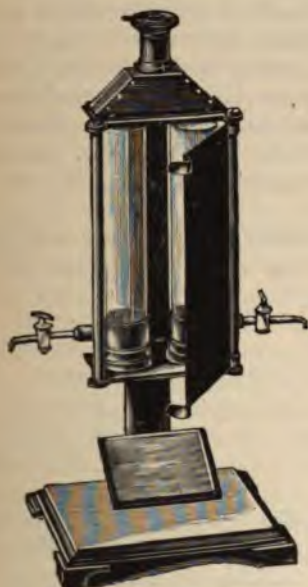
Die Einrichtung des Kolorimeters von WOLFF ist aus den Figuren 17 und 18 zu ersehen. Durch den Spiegel  $C$  fällt Licht in die graduierten und mit seitlichen Abflußhähnen versehenen Zylinder  $A$  und  $B$ . Die aus diesen Zylindern austretenden Strahlen werden durch Reflexionsprismen  $D$  in dem Gesichtsfeld einer Lupe  $E$  vereinigt. In den einen Zylinder bringt man eine Lösung von bekanntem Gehalt, in den anderen die zu untersuchende, und läßt nun von der konzentrierteren soviel durch den Hahn abfließen, bis beide Hälften des Gesichtsfeldes gleich hell sind. Man vermeidet dabei, durch zu lange Beobachtung das Auge zu ermüden. Die Berechnung des Gehaltes geschieht nach dem schon erwähnten Satze, daß die Konzentrationen bei gleicher Helligkeit sich umgekehrt verhalten wie die Schichthöhen, also indem man  $c : c' = h' : h$  oder  $c' = c \frac{h}{h'}$  setzt, wo  $c'$  die gesuchte,  $c$  die bekannte Konzentration und  $h$  und  $h'$  die zugehörigen Schichthöhen bezeichnen.

Von diesem Apparat unterscheidet sich derjenige von DUBOSCQ nur dadurch, daß die Zylinder  $A$  und  $B$ , welche die Lösungen enthalten, keine seitlichen Abflußhähne tragen. Statt dessen sind in ihnen an einem Zahntrieb, eine Millimeterteilung mit Nonius trägt, zwei Tauchröhren konaxial verschiebbar, welche oben offen und unten durch planparallele Platten verschlossen sind. Durch diese ist die Höhe der Flüssigkeitsschichten beliebig veränderlich.

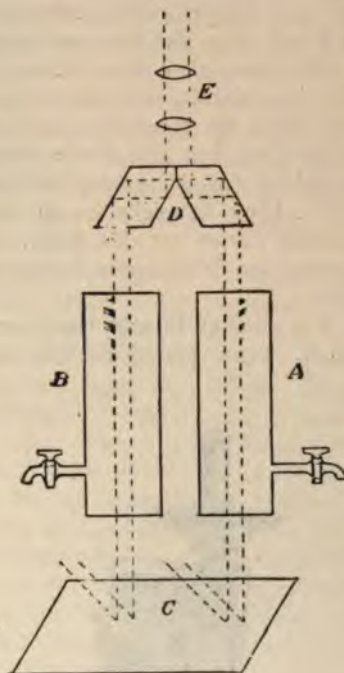
Bei der Handhabung beider Instrumente hat man darauf zu achten, daß die einfallende Flächenhelle in beiden Zylindern gleich sei, wozu eine Prüfung der Helligkeit der beiden Hälften des Gesichtsfeldes auszuführen ist, wenn die Absorptionszylinder leer sind.



Ganz ähnlich dem Kolorimeter von DUBOSCQ ist das sogen. „Diaphanometer“ von J. KÖNIG,<sup>1</sup> das von A. KRÜSS-Hamburg gebaut wird. Das Instrument hat seinen Namen daher, daß ihm geschwärzte Gläser beigegeben sind, durch welche es geeignet wird, den Trübungsgrad einer Flüssigkeit zu bestimmen. Im



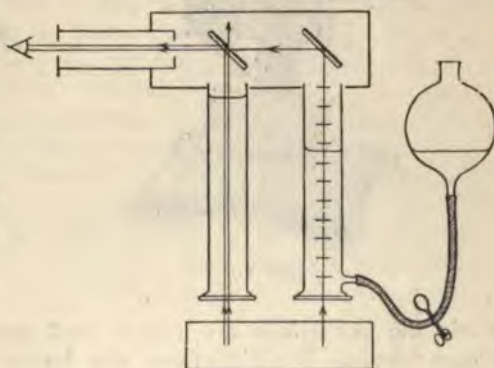
Figur 17.



Figur 18.

übrigen ist es wie ein Kolorimeter mit Tauchgläsern eingerichtet und als solches zu gebrauchen. Gegenüber dem Instrument von DUBOSCQ ist es insofern vervollkommenet, als das ovale Gesichtsfeld in drei Streifen eingeteilt ist, von denen der mittlere Licht von dem linken Zylinder, die beiden äußeren Licht vom rechten erhalten. Dadurch kann die Einstellung auf Helligkeitsgleichheit nicht unerheblich verschärft werden.

Eine einfache Vorrichtung, um eine scharfe Grenze der beiden Gesichtsfelder zu erreichen, ist von DONNAN<sup>2</sup> angegeben worden. Sie wird durch nebenstehende Figur 19 erläutert. Das durch die Absorptionsgefäße hindurchgegangene Licht gelangt durch Reflexion an zwei Spiegeln ins Auge. Von dem dem Auge näheren Spiegel ist der mittlere Teil des Spiegelbelages entfernt, so daß man durch das Glas hindurch auf den zweiten Spiegel blickt (zweckmäßig wäre wohl, nicht nur den Belag, sondern



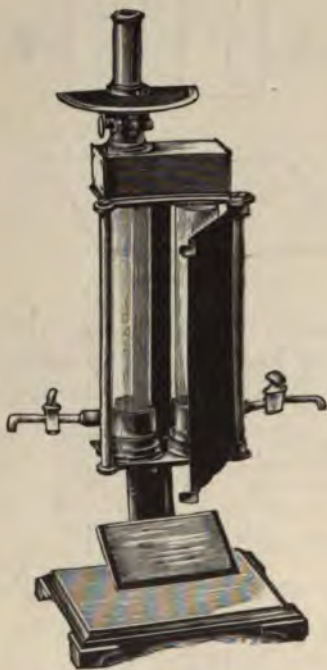
Figur 19.

<sup>1</sup> Zeitschr. f. Nahrungs- u. Genußmittel. 7. 124. 1904. — <sup>2</sup> Zeitschr. phys. Chem. 19. 465. 1896.

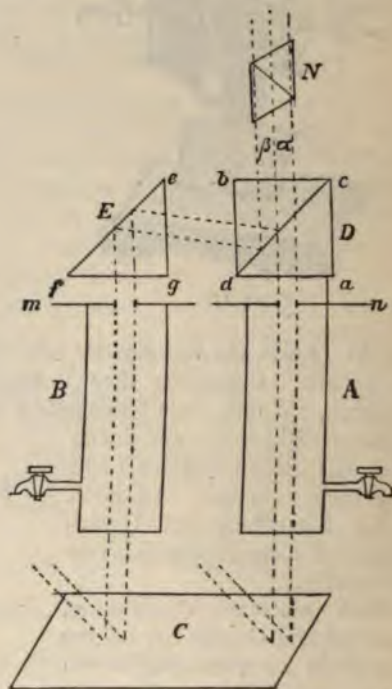
auch das Glas des mittleren Teiles des vorderen Spiegels zu entfernen). Für den Lichtverlust beim Durchgang durch das Spiegelglas ist eine empirische Korrektur zu ermitteln, indem man in beide Zylinder dieselbe Flüssigkeit gießt und auf gleiche Helligkeit einstellt. Die Höhenänderung in den die absorbierende Flüssigkeit enthaltenden Zylindern bewirkt DONNAN in zweckmäßiger Weise durch Heben und Senken eines trichterförmigen Vorratsgefäßes, das durch Gummischlauch mit dem Zylinder verbunden ist, wie aus der Figur ersichtlich.

Die Genauigkeit der Ablesung wird erhöht, wenn man vor das Auge einen farbigen Schirm hält, den man sich aus passend gefärbten Gelatinefolien herstellt.<sup>1</sup> Es wird dann die Einstellung auf gleiche Helligkeit dadurch erleichtert, daß bei ungleicher Helligkeit sich Farbenunterschiede in beiden Gesichtsfeldern entwickeln, gegen welche das Auge empfindlicher ist, als gegen Helligkeitsunterschiede. Hat man z. B. blaue Flüssigkeiten zu vergleichen und man bringt einen gelben Schirm von solcher Farbe vor das Auge, daß ein neutrales Grün entsteht, so erscheint bei zu dünner Schicht das entsprechende Gesichtsfeld gelbgrün, bei zu dicker blaugrün.

Von diesem Prinzip macht auch das Polarisationskolorimeter von KRÜSS<sup>2</sup> Gebrauch, wenn mit demselben unter Benutzung einer Quarzplatte gearbeitet



Figur 20.



Figur 21.

wird, die zur Hälfte aus rechts- und zur anderen Hälfte aus linksdrehendem Quarz besteht. Die Einrichtung des Instrumentes zeigen die Figuren 20 und 21; sie wird von G. und H. KRÜSS folgendermaßen beschrieben:

„Die Kolorimeterzylinder A und B sowie der Spiegel C sind genau so angeordnet, wie bei dem WOLFFSchen Kolorimeter, nur muß die spiegelnde

<sup>1</sup> Vergl. OSTWALD-LUTHER, Hand- u. Hilfsbuch physiko-chemischer Messungen. Leipzig. 1902. p. 248. — <sup>2</sup> Vergl. G. u. H. KRÜSS, Kolorimetrie u. quantit. Spektralanalyse. Leipzig. 1891.



Fläche entweder eine matte Glasscheibe oder ein Stück weißes Papier sein, da bei der Spiegelung an einer Glasfläche die Strahlen bereits polarisiert werden würden. Es kann auch das ganze Instrument trotz seiner Polarisierungseinrichtung als gewöhnliches Kolorimeter benutzt werden. An Stelle der Reflexionsprismen aus Glas befindet sich hier die von W. GROSSE angegebene Kombination aus Kalkspatprismen. Das über dem Zylinder *A* befindliche Kalkspatprisma *D* ist ein sogenanntes GLANSches Luftprisma, dessen beide Hälften in der Schnittlinie *cd* wieder aneinandergesetzt sind. Nur sind hier nicht wie sonst nur die Ein- und Austrittsflächen *ad* und *cb* poliert, sondern auch die eine Seitenfläche *bd*. Durch eine vorgesetzte Blende *n* wird bewirkt, daß nur ein schmales aus dem Zylinder *A* kommendes Lichtbündel das Prisma *D* durchsetzt. In diesem Lichtbündel werden an der Schnittfläche *cd* die ordentlichen Strahlen reflektiert, so daß nur die außerordentlichen in dem austretenden Bündel  $\alpha$  enthalten sind.

Über dem zweiten Zylinder *B* befindet sich ein halbes Kalkspatprisma *E* von demselben Winkel wie das Prisma *D*. Die drei Flächen desselben *fg*, *fe* und *eg* sind poliert. Die durch die Blende *m* in dieses Prisma eintretenden Strahlen erleiden an der Fläche *ef* eine Reflexion, jedoch nur die ordentlichen Strahlen, während die außerordentlichen Strahlen durch das Prisma hindurchgehen. Das reflektierte Bündel wird an der Fläche *cd* des Prismas *D* nochmals reflektiert und tritt sodann unmittelbar neben dem Bündel  $\alpha$  als Bündel  $\beta$  aus.

In den Gang der Strahlenbündel  $\alpha$  und  $\beta$  ist dann das analysierende NICOLSche Prisma *N* eingeschaltet; dasselbe ist um seine Achse drehbar und seine Stellung kann auf einem geteilten Kreise *K* abgelesen werden. Es gibt nun bekanntlich eine Stellung, in welcher das außerordentliche Bild verschwindet und eine zweite, um  $90^\circ$  davon entfernte, in welcher dasselbe für das ordentliche der Fall ist. Werden diese beiden Stellungen mit  $0^\circ$  und  $90^\circ$  bezeichnet, so wird also bei Einstellung des Nicols auf  $0^\circ$  die Helligkeit des Strahlenbündels  $\alpha$  gleich null sein, bei Einstellung auf  $90^\circ$  dagegen diejenige des Bündels  $\beta$ ; in einer dazwischen liegenden Stellung werden beide Felder gleich hell erscheinen, und zwar wird dieses bei einer Einstellung auf  $45^\circ$  stattfinden, falls die beiden Lichtbündel  $\alpha$  und  $\beta$  mit gleicher Helligkeit aus dem Prisma *D* austreten.“

Wenn man nun in den Gang der Strahlen  $\beta$  und  $\alpha$  eine Quarzplatte von 3,75 mm Dicke bringt, die zur Hälfte aus rechts- und zur Hälfte aus linksdrehendem Quarz besteht, so erblickt man in dem Gesichtsfeld vier Felder, von denen je zwei über Kreuz liegende gleiche Farbe und Helligkeit (nämlich Gelb und Blau bei weißem Licht) haben. Sind in den Gang der Strahlen zwei verschieden absorbierende Mittel eingeschaltet, so ändert sich mit der Helligkeit zugleich die Farbe der Felder, und man gewinnt bei dieser Anordnung den Vorteil, daß das Auge in dem gleichzeitigen komplementären Farbenwechsel je zweier anliegender Felder sich selbst kontrolliert und seine Empfindlichkeit schärft. Bei der Beobachtung mit der Quarzplatte läßt man den Nicol auf  $45^\circ$  stehen und läßt aus einem der beiden Zylinder, welche die Lösungen enthalten, so lange abfließen, bis die Gleichheit von Farbe und Helligkeit der kreuzweise liegenden Felder erreicht ist. Der Gehalt berechnet sich wie früher:

$$c = c' \frac{h'}{h} .$$

Arbeitet man dagegen ohne Quarzplatte, wobei das Gesichtsfeld aus zwei verschieden hellen Hälften besteht, so verwendet man gleiche Schichthöhen der Flüssigkeiten in beiden Zylindern und führt die Einstellung auf gleiche Helligkeit durch Drehung des Nicols herbei. Beträgt der Drehungswinkel des Nicols  $\alpha$ , so gilt<sup>1</sup>

<sup>1</sup> G. u. H. KRÜSS, I. c. p. 20.



$$\frac{c}{c'} = k \operatorname{tg}^2 \alpha$$

$k$  ist eine Konstante, die vom Apparat abhängt und den Absorptionen und Reflexionen an den optischen Medien desselben Rechnung trägt. Man bestimmt dieselbe, indem man in beide Zylinder die gleiche absorbierende Flüssigkeit in gleicher Höhe einfüllt, den Nicol auf  $45^\circ$  stellt und nun aus dem einen Zylinder solange Flüssigkeit abläßt, bis gleiche Helligkeit erreicht ist. Man hat dann

$$\frac{h}{h'} = k$$

Zusätzlich zu der p. 66 gegebenen Erläuterung des Farbumschlages der Indikatoren möge hier noch eine originelle Verwertung kolorimetrischer Messungen zur Bestimmung der elektrolytischen Dissoziation der Indikatoren Platz finden. Wenn man nach SALM<sup>1</sup> beispielsweise zu der alkalischen, völlig dissoziierten Lösung von p-Nitrophenol (maximale Gelbfärbung) solange Säure zusetzt, bis die Färbung auf ihre halbe Stärke gesunken ist, also solange, bis sie gleich ist der Farbstärke der alkalischen Ausgangslösung in halber Schichthöhe — dies kann man im Kolorimeter leicht mit Schärfe erreichen —, so ist gerade die Hälfte der Indikatorsubstanz dissoziiert. Dies gilt unter der Voraussetzung, daß nur farbiges Ion ( $i$ ) und farblose undissoziierte Substanz ( $w$ ) vorhanden sind. Dann gilt:

$$\frac{c_{\text{H}} \cdot i}{w} = k_e; \quad i = w; \quad c_{\text{H}} = k_e$$

D. h. es ist in diesem Fall die Wasserstoffionkonzentration ( $c_{\text{H}}$ ) der elektrolytischen Dissoziationskonstante ( $k_e$ ) numerisch gleich. Diese ist aber durch Potentialmessung mit einer Wasserstoffelektrode leicht zu bestimmen. Es findet sich so nach SALM für p-Nitrophenol  $k_e = 2,8 \cdot 10^{-7}$ .

Aus Leitfähigkeitsmessungen ist dieselbe Konstante von BADER<sup>2</sup> zu  $1,2 \cdot 10^{-7}$  ermittelt worden. Das Nichtstimmen des kolorimetrischen und des Leitfähigkeitswertes zeigt, daß eine der Voraussetzungen nicht erfüllt sein kann. Es weist darauf hin, daß in der Lösung des p-Nitrophenols entweder neben dem farbigen Ion ( $i$ ) noch farbloses Ion, oder neben dem farblosen Undissoziierten ( $w$ ) noch farbiges Undissoziierte ( $f$ ) in der Lösung vorhanden ist. In beiden Fällen wird die SALMsche kolorimetrische Bestimmung das zutreffende Ergebnis nicht liefern. Doch kann dieselbe leicht so vervollständigt werden, daß sie im Verein mit der Leitfähigkeit und Potentialmessung die Konzentration sämtlicher Stoffarten der Indikatorlösung auszuwerten gestattet.

Beschränken wir uns auf den Fall des Zusammenbestehens von farbigem Ion ( $i$ ), farbigem Undissoziierten ( $f$ ) und farblosem Undissoziierten ( $w$ ). Dies entspräche beim p-Nitrophenol gerade der von HANTZSCH (vergl. p. 73) vertretenen Auffassung. Es wäre dann durch Einwage der Indikatorsubstanz die Gesamtkonzentration  $c = i + f + w$  zu bestimmen; sodann ergäbe die kolorimetrische, wie oben auszuführende Messung die Gleichung  $i + f = w = \frac{1}{2} c$ ; die entsprechende elektrometrische Messung ergibt  $c_{\text{H}}$ , während aus der Leitfähigkeit

$$\frac{c_{\text{H}} \cdot i}{(f + w)} = k_e = 1,2 \cdot 10^{-7}$$

hervorgeht. Diese Gleichungen gestatten  $i$  und  $f$  zu bestimmen. Durch Einsetzen in (vergl. p. 66):

$$\frac{c_{\text{H}} \cdot i}{f} = k_f$$

läßt sich sodann  $k_f$  und weiterhin  $k_u$  (p. 66) auswerten.

<sup>1</sup> Zeitschr. f. Elektrochem. **12**, 99, 1906. — <sup>2</sup> Z. phys. Chem. **6**, 297, 1890. — HANTZSCH gibt übereinstimmend  $k_e = 0,96 \cdot 10^{-7}$  (Ber. d. d. chem. Ges. **32**, 3070, 1899).

## § 9. Spektralanalytische Daten der Elemente und einiger Verbindungen.

Die nachfolgenden Angaben sind nur eine enge Auswahl der spektralanalytisch oder aus einem besonderen Grunde vornehmlich interessierenden spektralen Eigenschaften der elementaren Stoffe und einiger ihrer Verbindungen. Wegen der ausführlichen Beschreibung sämtlicher spektroskopischen Einzeldaten muß auf die Spezialwerke verwiesen werden, namentlich auf den dritten und die in Vorbereitung befindlichen vierten und fünften Bände von H. KAYSERS Handbuch der Spektroskopie, den Atlas der Emissionsspektren der meisten Elemente von HAGENBACH und KONEN (Jena 1905), die Beiträge zur Photochemie und Spektralanalyse von EDER und VALENTA (Wien 1904), die Ultravioletten Wellenlängentabellen der Bogen- und Funkenspektren der Elemente von EXNER und HASCHEK (Wien 1902 u. 1904), sowie auf die älteren Tabellenwerke von THALEN (Om spectralanalysis 1866), LECOQ (Spectres Lumineux, 1874), WATTS (Index of spectra, 1889).

Die Wellenlängenangaben beschränken sich im folgenden im allgemeinen auf den sichtbaren Spektralbezirk.

### Gruppe der inaktiven Gase<sup>1</sup> (vergl. Figur 22).

**Helium.** Wenn das Gas im Vakuumrohr der elektrischen Entladung ausgesetzt wird, leuchtet es bei 7—8 mm Druck glänzend gelb, bei 1—2 mm glänzend grün. Die Gegenwart anderer Gase verdeckt das Heliumspektrum leicht, namentlich Argon. Die Hauptlinien des Heliums sind:

7056—6677—5875,9 ( $D_3$ )—5048 (Leicht verdeckt durch Verunreinigung)  
5015,6—4922—4713—4472.

**Neon.** Die meisten Linien dieses Gases liegen im Rot. Eine glänzende Linie im Gelb liegt bei 5852,6 ( $D_6$ ). Die Hauptlinie im Grün ist 5016. Mit ihrer Hilfe kann Neon leicht entdeckt werden.

**Argon.**<sup>2</sup> Unter dem Einfluß der Funkenentladung ohne Leydener Flaschen leuchtet das Gas rot; bei oscillatorischer Entladung (mit Leydener Flaschen) dagegen blau. Das Spektrum ist beide Male gänzlich verschieden. Unter Umständen werden beide Spektren gleichzeitig erregt, dann ist die Leuchtfarbe weiß. Im weniger brechbaren Teil des roten Spektrums sind die Wellenlängen die folgenden:

<sup>1</sup> Vergl. M. W. TRAVERS, The experimental Study of gases, London, Macmillan, 1901.

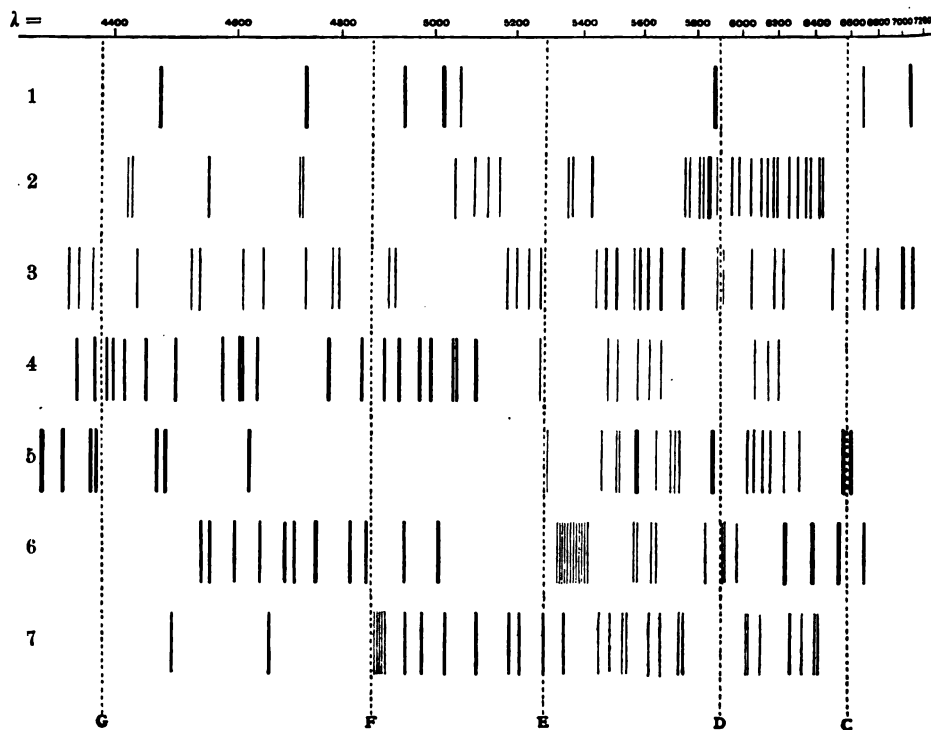
<sup>2</sup> Vergl. EDER und VALENTA, Beiträge zur Photochem. und Spektralanalyse, Wien, 1904, p. 214—264.

|        |                  |          |                                  |
|--------|------------------|----------|----------------------------------|
| 7066,6 | } sehr glänzend  | 5651,0   | } Gruppe mit fünf starken Linien |
| 6964,8 |                  | 5607,4   |                                  |
| 6752,7 |                  | (5572,9) |                                  |
| 6676,5 | } schwach        | 5559,0   | } Gruppe von vier Linien         |
| 6415,2 |                  | 5496,2   |                                  |
| 6212,5 | } schwach        | 5451,9   |                                  |
| 6172,9 |                  | (5421,7) |                                  |
| 6038,7 | } stark          | 5258,8   | } Gruppe von vier Linien         |
| 5912,5 |                  | 5221,6   |                                  |
| 5889,0 | } ziemlich stark | 5187,5   |                                  |
| 5739,9 |                  | 5162,6   |                                  |

Im blauen Spektrum treten gewöhnlich diese Linien zum größeren Teil auch auf, jedoch schwächer. Dagegen sind im blauen Spektrum mehr und stärkere blaue Linien als im roten. Die stärksten sind die folgenden:

4806—4610—4430—4426—4380—4348—4331—4277—4266—4104 .

Gegenwart von Stickstoff verdeckt das Argonspektrum.



Figur 22.

Spektra der inaktiven Gase: 1 Helium, 2 Neon, 3 und 4 Argon (rotes und blaues Spektrum), 5 Krypton, 6 und 7 Xenon.

**Krypton.** Hier ist das Spektrum wie beim Helium und Neon unabhängig von der Natur der Entladung. Das Leuchten ist gelbgrün. Hauptlinien: 5871 und 5570,5. Beide auch sichtbar, wenn das Gas in geringer Menge in eine Mischung vorhanden ist. Die beiden Linien gehören wahrscheinlich auch zum Nordlichtspektrum.



**Xenon.** Das Leuchten in der intermittierenden Entladung (Vorschaltung einer Funkenstrecke) ist blau, in der oszillatorischen (Nebenschaltung eines Kondensators) grün. Wegen der Wellenlänge der Linien vergl. die Figur 22, Nr. 6 und 7.

## 2. Metalloide.

**Wasserstoff.** Die vier Linien des sichtbaren Spektrums sind:

$$\begin{aligned} H_{\alpha}(C) &= 6562,1 \quad ; & H_{\beta}(F) &= 4861,5 \quad ; & H_{\gamma} &= 4340,7 \quad ; \\ H_{\delta}(h) &= 4102,8 \quad . \end{aligned}$$

Die Wellenlängen der ultravioletten Serienlinien vergl. p. 49.

Bei sehr niederen Drucken gesellt sich zu dem gewöhnlichen Spektrum ein zweites aus sehr vielen anderen Linien bestehendes Spektrum, das sog. Compoundspektrum.<sup>1</sup>

Wasserdampf besitzt im Ultrarot ein Bandenspektrum, dessen hauptsächlichste Linien bei

$$\lambda 1,4-1,9-2,7-5,2 \text{ bis } 6,1-6,5 \text{ bis } 8,8 \mu$$

liegen. Dieselben treten in der Knallgasflamme in Emission auf.<sup>2</sup> Dazu treten im Ultraviolett noch Banden mit Kanten bei

$$\lambda 347-343-306-281-261 \mu\mu \quad .$$

Dieselben werden auch von der Flamme der Kohlenwasserstoffe (Bunsenflamme) ausgesandt.<sup>3</sup>

Wasser und Eis haben im Ultrarot dieselben Absorptionsbanden wie der Wasserdampf. Reines Wasser ist in dicken Schichten blau-grün. Es absorbiert namentlich stark in der Gegend von  $\lambda = 600 \mu\mu$ .<sup>4</sup>

**Sauerstoff.** Derselbe besitzt zwei Linienspektren in Emmission, je nachdem die Entladung im Geißlerrohr mit oder ohne Einschaltung von Leydener Flasche und Funkenstrecke erzeugt wird. Das Spektrum ohne Flasche hat als stärkste Linien:

$$6158-5486-5880-4869 \quad .$$

Es ist nach RUNGE und PASCHEN<sup>5</sup> ein Serienspektrum. SCHUSTER nannte es Compoundspektrum. Das Linienspektrum mit Flasche, das sogen. „elementare“ Spektrum, ist sehr linienreich. Hauptlinien:

$$5208-4941-4706-4700-4676-4662-4642-4415 \quad .$$

Bei höherem Druck erscheint im Licht des negativen Pols ein Bandenspektrum, welches bei noch höherem Druck in ein kontinuierliches Spektrum übergeht. Außerdem kennt man noch drei weitere Sauerstoffspektren, nämlich das Absorptionsspektrum des kalten Sauerstoffs, welches in den, in Linien auflösbaren, gesetzmäßig gebauten, Banden  $A, B, \alpha$  des Sonnenspektrums vorliegt, das Spektrum von JANSSEN und das Absorptionsspektrum des Ozons. Die Absorptionsbänder des flüssigen Sauerstoffs fallen fast mit den FRAUNHOFERSchen Linien  $A, B, \alpha$  zusammen,<sup>6</sup> sind aber nicht in Linien auflösbar.

Das Spektrum von JANSSEN<sup>7</sup> ist unter den terrestrischen Linien des Sonnenspektrums nur unter sehr günstigen atmosphärischen und optischen Bedingungen

<sup>1</sup> L. H. PARSONS, *Astrophys. J.* 18. 112. 1903. — <sup>2</sup> PASCHEN, *WIED. Ann.* 52. 209. 1894. — <sup>3</sup> EDER u. VALENTA, *Beitr. Photochem. u. Spektralanal.* Wien. 1904. p. 24. — <sup>4</sup> Photometr. Messungen vergl. AUFGESS, *Farbe der Seen.* München. 1903. — <sup>5</sup> WIED. Ann. 61. 641. 1897. — <sup>6</sup> LIVING u. DEWAR, *Phil. Mag.* (5) 34. 205. 1892. — <sup>7</sup> *Compt. Rend.* 101-120.

und auch dann nur äußerst schwach zu sehen. Es wird deutlich sichtbar erst wenn Sauerstoff in Stahlröhren unter hohem Druck untersucht wird. Die nicht in Linien auflösbaren Bänder liegen bei:

$$\lambda = 632-622; \quad 580-572; \quad 482-478$$

Ihre Intensität wächst proportional dem Quadrate der Dichte. Dies läßt man vermuten, daß es von einer Sauerstoffart  $O_4$  hervorgebracht wird, die mit dem gewöhnlichen Sauerstoff im Gleichgewicht steht,  $2 O_2 \rightleftharpoons O_4$ , und bei gewöhnlichem Druck in minimaler Konzentration besteht.

Die Absorption des Ozons<sup>1</sup> liegt als ein breites Band zwischen  $\lambda$  300 und  $\lambda$  220 mit einem Maximum bei etwa  $\lambda$  258. Dieses Absorptionsband bedeckt sehr wahrscheinlich das Ende des Sonnenspektrums bei etwa  $\lambda$  300. Denn in der Atmosphäre enthaltene Ozonmenge, schätzungsweise  $0,77 \times 10^{-6}$  V. Proz., genügt, um die Intensität der Sonnenstrahlung bei  $\lambda$  260 an der Erdoberfläche auf den sechsten Teil derjenigen an der Grenze der Atmosphäre herabzudrücken.

**Stickstoff.** Der Stickstoff besitzt drei Spektren, zwei Banden- und ein Linienspektrum. Die ersteren treten im Vakuumrohr ohne, das letztere in Leydener Flaschen auf. Von den beiden Bandenspektren tritt das eine im Licht des positiven, das andere in dem des negativen Poles auf. Die Hauptlinien des Linienspektrums sind:

$$6620-6324-5985-5846-5745-5474-5177-4645-4530-4340$$

Die Emission des Stickstoffs macht, vermischt mit Linien des Sauerstoffs das Luftspektrum aus, das in der Funkenentladung in Luft namentlich zwischen Elektroden aus C, Cu, Ag, Au, Pt, Al gesehen wird.

Figur 7 (p. 29) stellt nach der Zeichnung von LECOQ DE BOISBAUDRAN die Spektren der Luft bei mittlerer Funkenlänge dar. Es sind dies die beiden Bandenspektren des Stickstoffs. —

Vom Ammoniak erhält man ein Bandenspektrum, wenn man es mit Wasserstoff an der Luft verbrennt. Im sichtbaren Teil besteht dasselbe aus von Rot bis Violett sich erstreckenden Banden, die aus vielen unregelmäßig verteilten Linien bestehen. Im Ultraviolett folgt eine Bande mit den Hauptlinien 3300 und 3370, hierauf noch fünf gleich gebaute Banden mit Kanten nach Rot. Im Vakuumrohr beobachtet man das Ammoniakspektrum nicht wegen Zerfall. In der Stickstofflampe (Hochspannungslichtbogen in Luft) erkennt man Banden des Stickoxydes.<sup>3</sup> In Absorption erhält man vom Stickstoffdioxid ein Bandenspektrum, das sich aus zahlreichen Banden in Orange, Gelb und Grün zusammensetzt.<sup>4</sup>

**Kohlenstoff.** Wenn sehr kräftige Funken durch Kohlensäure, Kohlenoxyd oder Kohlenwasserstoffe schlagen, so erhält man ein Linienspektrum, welches man als dasjenige des elementaren Kohlenstoffs betrachtet. Dasselbe ist durch eine starke rote Doppellinie 6583 und 6577, eine Linie im Gelbgrün 5880, drei grüne Linien 5152, 5144, 5133, zwei violette 4556 und 4267 und eine große Zahl ultravioletter Linien ausgezeichnet. Nach HERBERT<sup>5</sup> soll die rote Doppellinie auf Zusatz von Wasserstoff zu Kohlensäure verschwinden, die übrigen Linien sollen davon unbeeinflusst bleiben. Das Linienspektrum des elementaren Kohlenstoffs bekommt man auch bei Funkenentladungen zwischen Elektroden aus reinem Holzkohle in Wasserstoff- oder Kohlensäureatmosphäre. Im ersten Fall s

<sup>1</sup> Vergl. J. CHAPPUIS, C. R. 91. 985. 1880. EDGAR MEYER, DRUDES Ann. 12. 1903. — <sup>2</sup> Vergl. EDER, Beitr. zur Photochem. u. Spektralanalyse. Wien. 1904. p. 36. — <sup>3</sup> Physikal. Zeitschr. 5. 390. 1904. — <sup>4</sup> Vergl. HASSELBERG, Mém. St. Petersburg. (7) 1879. — <sup>5</sup> Phil. Mag. (4) 4. 202. 1902.



man neben den Kohlelinien das Wasserstoff- und Swanspektrum, im letzteren Fall das Sauerstoffspektrum. Läßt man zwischen Holzkohleelektroden den Funken in Luft überschlagen, so erhält man neben dem Kohlespektrum das „Luftspektrum“, ferner Cyanbanden und eventuell (unter Mitwirkung der Feuchtigkeit) das Swanspektrum.<sup>1</sup>

Die Verbindungen des Kohlenstoffs geben Bandenspektren, von denen wir vier unterscheiden: das Swanspektrum, das Kohlenoxyd-, Kohlensäure- und Cyanspektrum. Das Swanspektrum<sup>2</sup> hat nach Rot gerichtete Kanten bei 4380, 4737, 5161, 5635, 6187. Man sieht es im inneren Flammenkegel der Bunsenflamme, äußerst intensiv im inneren Kegel der entleuchteten Acetylenflamme, in Vakuumröhren mit Kohlenwasserstoffen, bei Funkenentladungen in feuchter Luft oder in Wasserstoff zwischen Kohleelektroden, bei Büschelentladungen in Alkohol, Glycerin, Äther, Essigsäure, desgleichen wenn der Lichtbogen unter Flüssigkeiten, wie Petroleum, Anilin usw., hergestellt wird, aber auch in der Cyanflamme, sowie bei Entladungen durch  $\text{CO}_2$  und  $\text{CO}$  während der ersten Zeit des Durchganges der Entladung, schließlich, wenn auch weniger deutlich, bei Entladungen in  $\text{CS}_2$ ,  $\text{CCl}_4$ ,  $\text{CHCl}_3$ . Es fehlt in den Flammen von  $\text{CO}$  und  $\text{CS}_2$ .<sup>3</sup>

Da hiernach das Swanspektrum mehr oder weniger in allen Kohlenstoffverbindungen auftritt, so hat sich die Ansicht entwickelt, daß dasselbe der Kohle selbst zuzuschreiben sei. Allein man muß dagegen geltend machen, daß nach HABER und RICHARDT<sup>4</sup> der grüne Kegel der Bunsenflamme nur  $1500^\circ \text{C}$  heiß ist und bei dieser Temperatur die Konzentration des Kohlenstoffs im Gas so minimal ist, nämlich sicher geringer als die Dampfspannung der Kohle bei  $1500^\circ \text{C}$ , daß sie auch der Empfindlichkeit eines spektroskopischen Nachweises entgehen dürfte. Plausibler scheint es daher anzunehmen, daß die Empfindlichkeit des spektroskopischen Nachweises von Kohlenwasserstoffen eine sehr hohe sei und das Swanspektrum, welches wir diesen Stoffen zuweisen, auch in Funken durch  $\text{CO}$ ,  $\text{CS}_2$ ,  $\text{CN}$  deswegen auftrete, weil die letzten Spuren von Wasserstoff, Wasser oder Kohlenwasserstoffen aus ihnen nicht zu entfernen sind, ähnlich wie man in den Flammenspektren beliebiger Salze die Natriumlinie sieht. SWAN selbst hat das nach ihm benannte Spektrum Kohlenwasserstoffen zugeschrieben und ein Überschlager der in Betracht kommenden chemischen Verhältnisse scheint zu lehren, daß er damit das Richtige getroffen hat. Wir schließen uns seiner Auffassung an, obwohl die übliche Meinung dahin neigt, das Swanspektrum als das Bandenspektrum der Kohle selbst zu betrachten. — Das Swanspektrum kommt auch im Sonnenspektrum<sup>5</sup> vor (Acetylen).

Außer dem Swanspektrum kommt in Kohlenwasserstoffspektren noch ein anderes Spektrum vor<sup>6</sup> mit einer Kante nach Rot bei 4315 und Kanten nach Violett bei:

4368—3872—3627 .

Das Kohlenoxydspektrum sieht man glänzend in Vakuumröhren mit Kohlenoxyd, ferner in Röhren mit Sauerstoff, wenn Verunreinigungen mit Fettdämpfen entstehen, die von den Schliffen der Luftpumpe herrühren, schließlich in Röhren mit Kohlensäure, welche durch den Durchgang des Funkens dissoziiert wird. Es fehlt in Flammen. Es wird gewöhnlich, und wohl mit Recht, dem Kohlenoxyd zugeschrieben. Eine abweichende Ansicht suchten neuerdings A. SMITHELLS<sup>6</sup> und BALY und SYERS<sup>7</sup> zu begründen, welche das Oxykohlenstoffspektrum der Kohlensäure und das Swanspektrum dem Kohlenoxyd zuschreiben. Vergl. hierzu die

<sup>1</sup> EDER u. VALENTA, Beiträge. Wien. 1904. p. 69. — <sup>2</sup> Vergl. EDER u. VALENTA, ebenda. p. 1 u. 348. — <sup>3</sup> Vergl. KONEN, DRUDES Ann. 9. 742. 1902. — <sup>4</sup> Zeitschr. anorg. Chem. 38. 1. — In der Aureole des grünen Kegels herrscht Wassergasgleichgewicht. Zu diesem gehören stabil kleine, aber analytisch nachweisbare Mengen Methan. — <sup>5</sup> KONEN, l. c. — <sup>6</sup> Phil. Mag. (6) 3. 476. 1901. — <sup>7</sup> Proc. Phys. Soc. London, 17. 386. 1901.



Kritik KONENS, DRUDES Ann. **9**. 742. Das Kohlenoxydbandenspektrum hat Kanten gegen Rot. Die wesentlichen sind:

4509—4834—5196—5608—6078—6399—6622 .

Das Spektrum tritt in Vakuumröhren sehr häufig als Verunreinigung auf.

Das Cyanspektrum erscheint in dem in Luft oder Stickstoff zwischen Kohlelektroden brennenden elektrischen Lichtbogen, sowie in der Cyanflamme. Es tritt nur auf, wenn Stickstoff zugegen ist und wird daher dem Cyan zugeschrieben. Eine Anzahl Cyanbanden kommen im Sonnenspektrum umgekehrt vor. Es ist zu erwarten, daß Cyan sowohl wie Acetylen bei der Temperatur der Sonne beständig sind.<sup>1</sup> — Die Hauptbanden des Cyans liegen im Blau und Violett und reichen von 4606 bis 4502 und von 4220 bis 4150. Im Ultraviolett gesellen sich dazu Banden mit Kanten bei:

3884—3872—3862—3854—3590—3586—3361 .<sup>2</sup>

Das Spektrum der Kohlensäure besitzt Emissionsbänder im Ultrarot mit Maximis bei  $\lambda = 4,4$  und  $2,6 \mu$ . Dieselben sind in jeder Flamme enthalten. Absorptionsbänder treten sie, mit ihren Maximis nur sehr wenig verschoben, der kalten Kohlensäure auf.<sup>3</sup> Ein drittes, sehr starkes Absorptionsband liegt bei  $14,7 \mu$ .<sup>4</sup>

**Chlor.** Das Linienspektrum erhält man in Vakuumröhren mit Chlor oder Zinntetrachlorid und wenn Funken durch Chlor von Atmosphärendruck durchgeschlagen. Die Hauptlinien sieht man auch, wenn sehr kurze Funken von einer Platinspitze auf Salzsäure überspringen (LECOQ). Die Hauptlinien sind:

5457—5444—5423—5221—4820—4810—4795—4344 .<sup>5</sup>

Das Absorptionsspektrum des kalten Chlors besteht aus vielen Banden in Grün und Blau; Violett wird ganz absorbiert.<sup>6</sup>

**Brom.** Bei Entladungen durch Bromdampf tritt ein Linienspektrum auf, wenn Brom in Wasserstoff verbrennt, leuchtet es mit kontinuierlichem Licht. Die Hauptlinien des Linienspektrums sind:

6351—5831—5600—5590—5436—5335—5304—5238—5165—4787—  
4706—4680—4625—4543—4366 .

Der kalte Bromdampf gibt ein Bandenspektrum in Absorption, welches aber auch in Emission erhalten werden kann.<sup>7</sup>

**Jod.** Das Linienspektrum erhält man ebenso wie das des Broms, außer dem aber auch, wenn man Joddampf durch Erhitzen zum Glühen bringt. Der kalte Joddampf gibt ein kannelliertes Bandenspektrum in Absorption, welches von Rot bis Violett reicht. Beim Erhitzen nimmt die Absorption im Violett und Blau erst zu, später wieder ab. Dieses Spektrum sieht man auch in Emission, wenn der Dampf zu glühen beginnt. Bei weiterer Steigerung der Erhitzung tritt ein Wechsel in dem Linienspektrum ein bei Temperaturen, bei denen die Dissoziation  $J_2$  in  $2J$  beträchtlich wird.<sup>8</sup> Man darf daher das Bandenspektrum des

<sup>1</sup> OSTWALD, Grundriß d. allgem. Chemie. 3. Aufl. p. 343. — BREDIG, Chem. extr. Temperaturen. Leipzig. 1901. — <sup>2</sup> EDER und VALENTA, Beiträge. Wien. 1904. p. 67.

<sup>3</sup> PASCHEN, Wied. Ann. **53**. 334. 1894. — <sup>4</sup> RUBENS u. ASCHKINASS, ebenda. **64**. 5. 1898. — RUBENS u. LADENBURG, Verh. deutsch. phys. Ges. **7**. 170. 1905. — <sup>5</sup> EDER u. VALENTA, Beiträge. p. 364. — <sup>6</sup> Vergl. R. LAIRD, Astrophys. Journ. **14**. 85. 1901.

<sup>7</sup> GOLDSTEIN, Emissionsspektren erster Ordnung bei den Haloiden, Verh. physik. Ges. **18**. 38. — EDER u. VALENTA, Spektrum des Broms, Wien. Denkschr. **68**. 1899. — HASSBERG, Untersuch. Absorptionsspektr. d. Broms. Kgl. Svensk. Vet. Akad. Handl. **24**. 1890. — EDER u. VALENTA, Beiträge. Wien. 1904. p. 369. — <sup>8</sup> KONEN, W. A. **65**. 257. 1898.



ersteren und das Linienspektrum dem letzteren Stoffe zuschreiben. Die Hauptlinien sind:

5950—5464—5404—5101—3898 .

Die Lösungen von Jod in Wasser, Alkohol, Äther sind braun, diejenigen in Chloroform und Schwefelkohlenstoff violett. Die Molekulargröße des gelösten Jods ist indessen beide Mal dieselbe, nämlich  $J_2$ . Übrigens hängt die Farbe des gelösten Jods von der Temperatur ab: Jod, in Fettsäureester gelöst, ist bei gewöhnlicher Temperatur braun, bei  $+80^\circ C$  violett, und, in Schwefelkohlenstoff gelöst, bei  $-80^\circ C$  braun, bei gewöhnlicher Temperatur violett.<sup>1</sup> Die braunen Jodlösungen enthalten das Jod in Form von Hydraten, Alkoholen usw. gelöst.<sup>2</sup>

**Schwefel.**<sup>3</sup> Der Dampf des siedenden Schwefels absorbiert das Licht kontinuierlich vom Orange an nach dem brechbareren Ende hin. Bei weiterer Erhitzung geht dieses kontinuierliche Spektrum in ein kannelliertes Absorptionsspektrum über in dem Temperaturgebiet, in dem die Dampfdichte des Schwefels durch Zerfall in Moleküle  $S_2$  sich stark ändert. Bei Rotglut ist dieses Spektrum auch in Emission zu beobachten. Die Hauptlinien desselben sind:

525—519—509—504—489—484—465,5—448 .

Dasselbe Bandenspektrum entsteht mit schwachen Funken in Vakuumröhren. Mit starken Funken erhält man dagegen ein Linienspektrum. Hauptlinien:

6290—5640—5606—5454—5345—5201—5038—4552—4525—4485—4464.

Dieses Spektrum gibt auch  $H_2S$  und  $SO_2$  in Vakuumröhren. Wenn Schwefel oder Schwefelwasserstoff brennt, sieht man ein kontinuierliches Spektrum, dessen größte Helligkeit im Blau liegt. — Bei relativ schwachen Entladungen und niederem Druck erscheint im Schwefeldampf ein anderes Linienspektrum von Serienbau.<sup>4</sup> Vergl. p. 48.

**Selen.** Im Vakuumrohr geben starke Funken ein Linien-, schwache ein Bandenspektrum. Hauptlinien:

5273—5179—4995—4842—4606 .

**Tellur.** Linienspektrum durch Funken zwischen Tellurelektroden. Hauptlinien:

6434—5972—5755—5708—5466 .

**Phosphor.** Wenn im Vakuumrohr Phosphordämpfe entwickelt werden, so erhält man das Linienspektrum des Phosphors, ebenso wenn der Funken durch eine Atmosphäre von Phosphor in Wasserstoff schlägt. Hauptlinien:

6049—6039—6029—4606—4594—4250—4226—4182—3709 .<sup>5</sup>

Eine Wasserstofflampe, welche Phosphordämpfe enthält, färbt dieselbe grün und liefert ein Bandenspektrum des Phosphors. Hauptlinien:

5605—5263—5106 .

**Arsen.** Sowohl elementares Arsen, wie Arsentrichlorid, geben im Vakuumrohr und durch den Funken zwischen Arsenelektroden ein Linienspektrum, dessen Hauptwellenlängen sind:

6170—6108—5652—5559—5103—4037—3923 .

<sup>1</sup> E. WIEDEMANN, WIED. ANN. 41. 299. 1890. — <sup>2</sup> HANTZSCH, Z. ph. Ch. 30. 258; 38. 705. — <sup>3</sup> Vergl. EDER u. VALENTA, Beiträge usw. Wien. 1904. p. 269—332. — <sup>4</sup> Über die Serienspektren von Sauerstoff, Schwefel, Selen vergl. RUNGE und PASCHEN, WIED. ANN. 61. 641. 1897. — Über das ultraviolette Funkenspektrum des Selen siehe BERNDT, ANN. D. PHYS. (4) 12. 115. 1903. — <sup>5</sup> Vergl. HAGENBACH u. KONEN, ATLAS D. EMISSIONSSPEKTREN, JENA. 1905. p. 48.

**Antimon.** Das Linienspektrum im Funken zwischen Antimonelektroden zeigt die Linien:

6180—6079—6005—4852—4815 .

**Vanadin.** Das Linienspektrum erhält man im Funken zwischen Kohlespitzen, die mit Vanadinsalzen getränkt sind, oder im Kohlebogen, der mit Vanadinsalzen gespeist ist. Beim Übergang vom Funken- zum Bogenspektrum treten sehr große Unterschiede in der Intensität der Linien auf. Hauptlinien:

6090—6040—5699—4408—4735—4090 .<sup>1</sup>

**Niob.** Im Funken zwischen Kohlespitzen mit Niobsäure sind die folgenden violetten und ultravioletten Linien die stärksten:

4059—3819—3510 .

Im weniger brechbaren Teil des Spektrums fehlt es bisher an Messungen (HAGENBACH und KONEN).

**Bor.** Im Kohlebogen und im Funken zwischen Kohlespitzen mit Borsäure bemerkt man eine Reihe diffuser Maxima im Grün (bei  $\lambda$  500). Drei starke Linien liegen im Ultraviolett bei:

3451—2498—2497 .

Die beiden letzten kommen in fast allen Bogenspektren mit Kohlelektroden als Verunreinigung vor (HAGENBACH und KONEN). Borsäure färbt die nicht leuchtende Gasflamme grün und gibt ein Bandenspektrum mit den folgenden Maximis:

6397—6208—6080—5797—5478—5439—5172—4920—4709—4529 .<sup>2</sup>

**Silicium.**<sup>3</sup> Wenn Funken zwischen Siliciumelektroden überschlagen, erhält man ein Linienspektrum mit den Wellenlängen:

685—597—506—504 .

Dazu kommt eine sehr große Zahl ultravioletter Linien.<sup>4</sup> Wasserstoffflammen, welche mit den Dämpfen vom Siliciumchlorid gespeist werden, geben ein Bandenspektrum, dessen wichtigste Banden bei:

567—545—522—501—488

liegen.

**Titan.** Dieses Element besitzt ein überaus linienreiches Spektrum. Die wichtigsten Linien haben die Wellenlängen:

6257—5978—5965—5952—5899—5865—5676—5663—5643—5513—  
5512—5337—5297—5283—5223—5210—5192—5129—5120—5064—  
5036—5013—5007—5000—4990—4981—4885—4804—4759—4757—  
4657—4556—4549—4535—4528—4526—4513—4458—4450—4427—  
4393—4338—4299—4171—4163 .

**Zirkonium.**<sup>5</sup> Funkenspektrum und Bogenspektrum (Zirkonoxyd auf Kohlelektroden) unterscheiden sich sehr durch die Intensität der Linien. Hauptlinien:

6141—6134—6128—5386—5351—5192—4688—4149—3837

(HAGENBACH und KONEN).

<sup>1</sup> Vergl. HAGENBACH u. KONEN, Atlas, p. 37. — ROWLAND u. HARRISON, Astrophys. Journ. 7. 273, 373. 1898. — HASSELBERG, ebenda. 10. 343. 1899; 11. 67. 1900. — <sup>2</sup> EDER und VALENTA, Beiträge. Wien. 1904. p. 97. — <sup>3</sup> Über das Spektrum des Siliciums vergl. G. EBERHARD, Zeitschr. wiss. Photogr. 1. 346. 1903. — <sup>4</sup> EDER und VALENTA, l. c. p. 78, 267. — <sup>5</sup> Vergl. ROWLAND u. HARRISON, Astrophys. Journ. 7. 273, 373. 1898.



## 3. Metalle.

**Alkalien.** Die Salze der Alkalien geben in der Bunsenflamme die Spektren der betreffenden Metalle. Bei der verhältnismäßig niederen Temperatur der Flamme erscheinen in ihr nur die Hauptlinien. Gerade dieser Umstand macht die spektroskopische Erkennung der Alkalien besonders leicht. Das Flammenspektrum des Natriums besteht aus der gelben Doppellinie 5895 ( $D_1$ ) und 5889 ( $D_2$ ), welche bei schwacher Dispersion als eine einzige Linie gesehen wird. Die Linien der Flammenspektren der übrigen Alkalien sind:

K: 7698—4044 ; Rb: 7591—7800—6297—4216—4202 ;  
Cs: 6219—4597—4560 ; Li: 6706—6102 .

Kaliumsalze färben die Flamme blauviolett, Rubidium- und Cäsiumsalze rotviolett, Lithiumsalze rot. — Die Hauptlinien im Bogen- und Funkenspektrum der Alkalimetalle sind:

| Li   | Na   | K    | Rb   | Cs   |
|------|------|------|------|------|
| 6708 | 6160 | 7698 | 7950 | 6723 |
| 6103 | 6154 | 7666 | 7806 | 6219 |
| 4972 | 5895 | 6946 | 6296 | 6007 |
| 4602 | 5889 | 5831 | 4216 | 4597 |
| 4273 | 5687 | 5802 | 4202 | 4560 |
| 4132 | 5681 | 5783 |      |      |
| 3986 | 5155 | 5355 |      |      |
| 3915 | 5153 | 5336 |      |      |
| 3838 | 4983 | 4044 |      |      |
| 3795 | 4982 | 3447 |      |      |
| 3233 | 4667 | 3217 |      |      |
|      | 4664 |      |      |      |
|      | 4496 |      |      |      |
|      | 4494 |      |      |      |
|      | 4423 |      |      |      |
|      | 4419 |      |      |      |
|      | 3303 |      |      |      |

Im Infrarot hat Cäsium ein Linienpaar 9212 und 9172, welches in Homologie steht mit den Paaren Rb 7950 und 7806, K 7698 und 7666, Na 5895 und 5889.<sup>1</sup>

Natriumdampf, der mit weißem Lichte beleuchtet wird, leuchtet in grünem Fluoreszenzlicht, bestehend aus einem Band in Rot und einem deutlich kannellierten grünen Band. An eben diesen Stellen zeigt das Absorptionsspektrum des Natriums dunkle Streifen. Dagegen kommt die  $D$ -Linie, an deren Stelle die stärkste Absorption herrscht, im Fluoreszenzlicht nicht vor.<sup>2</sup> — Nach LENARD<sup>3</sup> werden im natriumhaltigen Lichtbogen die Linien der Haupt- und der Nebenserien des Natriums an verschiedenen Stellen emittiert, nämlich die beiden Nebenserien nur im Inneren, die Hauptserie dagegen auch am Rande des Bogens. Die zweite Nebenserie emittiert nur ein kleiner Teil des Bogens, vermutlich der heißeste. Zur Feststellung dieser nach Flammenbezirken getrennten Emission der verschiedenen Serien diente eine der LOCKYERSchen Methode der langen und kurzen Linien nachgebildete Methode. — Ähnliches erkennt man auch an den Flammenspektren der Alkalien, wenn die Salze der letzteren in die Bunsenflamme ein-

<sup>1</sup> Die ultravioletten Linien der Alkalien siehe EDER u. VALENTA, Beitr. z. Photochem. u. Spektroskopie. Wien. 1904. p. 90. — <sup>2</sup> WOOD u. MOORE, Phil. Mag. (6) 6. 362. 1903. — <sup>3</sup> Ann. der Phys. (4) 11. 636. 1903).

geblasen werden, das Bild der Flamme verkleinert auf den Spalt des Spektroskops projiziert und die Spektren photographiert werden. Man bemerkt dann z. B. beim Kalium, daß das Spektrum entsprechend den Flammenzonen in drei parallele Streifen geteilt ist. In dem unteren Gebiete, das dem grünen inneren Flammenkegel entspricht, findet man neben den Banden des SWAN-Spektrums alle Linien des Metalls. An der oberen Grenze des mittleren Streifens hören die Linien auf, welche den beiden Nebenserien des Kaliums angehören. Der dritte Streifen, welcher der Spitze der Flamme entspricht, enthält nur die sehr starken Linien der Hauptserie. Beim Lithium sieht man im inneren Flammenkegel die Linien der ersten, beim Natrium daselbst die der zweiten Nebenserie, während die Linien der Hauptserie in der ganzen Flamme vorkommen.<sup>1</sup>

**Alkalische Erden.** Die Salze der alkalischen Erden geben in der Flamme vorwiegend Verbindungsspektren. Die Calciumsalze färben die Flamme orangerot und sind zu erkennen an einer Bande im Orange, 6206, und einer im Gelbgrün, 5543 bis 5517, welche beide dem Oxyd angehören und die auch beim Verdampfen des Chlorids auftreten, nachdem es sich in Oxyd verwandelt hat. Strontiumsalze färben die Flamme purpurrot und sind spektroskopisch leicht zu erkennen an einer dem Metall angehörenden blauen Linie, 4608 (SrO). Das Spektrum des Chlorids enthält daneben Banden bei 6670—6585—6055. Man verwandelt die Substanz erforderlichenfalls in das Chlorid durch Betupfen derselben mit Salzsäure am Platindraht. Baryumsalze färben die Flamme grün. Das Chlorid zeichnet sich durch drei oxydische Banden im Grün aus, 5346—5215—5089, außerdem durch die ebenfalls oxydische Bande 6044 und die starke Linie 5535, welche dem Metall angehört.

Über ultraviolette Linien im Flammenspektrum der Erdalkalien vergl. EDER<sup>2</sup> und VALENTA, Beitr. zur Photochem. u. Spektralanalyse, Wien 1904, p. 92.

Die Hauptlinien im Bogen- und Funkenspektrum der Erdalkalimetalle sind:

| Ca       | Sr   | Ba   |
|----------|------|------|
| 8462     | 6406 | 6497 |
| 8438     | 5480 | 6141 |
| 6121     | 5238 | 5853 |
| 5588     | 4608 | 5534 |
| 4454     | 4305 | 4933 |
| 4434     | 4215 | 4553 |
| 4424     | 4032 |      |
| 4302     |      |      |
| 4226 (g) |      |      |
| 3968 (H) |      |      |
| 3933 (K) |      |      |

Die Emission der alkalischen Erden findet in der Feuerwerkerei Verwendung zur Erzeugung des bengalischen Lichtes und in der Beleuchtungstechnik zur Erzeugung farbiger Lichtbögen („Bremer Licht“, „Effektbogenlampen“).<sup>3</sup> Zur Herstellung derselben werden die Elektrodenkohlen mit Baryum- und Strontiumoxyd, Fluorcalcium, Natriumsilikat usw. versetzt. Das Spektrum solcher Lichtbögen läßt auf kontinuierlichem Grunde die Spektrallinien der betreffenden Metalle als sehr helle Linien erkennen. Hieraus muß man entweder schließen, daß die Temperatur des vom leuchtenden Dampf erfüllten Bogens entsprechend der hohen Stromstärke der betreffenden Bogenlampe höher als die des positiven Kraters ist (vergl. p. 35), oder daß die Dämpfe wegen Lumineszenz stärker leuchten als Kohle (bzw. als der schwarze Körper).

<sup>1</sup> Die Wärmestärke, Comp. Rend. 1882, 340, 1884. — <sup>2</sup> Vergl. EDER u. VALENTA, Beitr. zur Photochem. u. Spektralanalyse, Wien 1904, p. 33. Über die ultraviolette Linien der Erdalkalien siehe LEHMANN, Physik. Ann. 2, 243, 1884. — <sup>3</sup> E. KAMM, Journ. u. Gesell. 1901, p. 348.



**Radium.**<sup>1</sup> Das Funkenspektrum des Radiums besteht aus den Linien:

4826—4683—4533—4436—4340—3814—3649 .

In der Bunsenflamme kommt als Hauptlinie  $\lambda$  4826,12 vor. Diese Linie zeigt im magnetischen Feld dieselbe Zerlegung wie die violette Calciumlinie 4226,91, die blaue Strontiumlinie 4607,52 und die grüne Baryumlinie 5535,69. Über die Homologie der anderen Radiumlinien mit Ca, Sr, Ba siehe p. 46.

**Magnesium.** Das Linienspektrum wird erhalten, wenn Magnesium an der Luft verbrennt, im Bogen und im Funken zwischen Metallelektroden oder nach einer Magnesiumsalzlösung. Die stärksten Linien sind die drei grünen Linien

5183—5172—5167

( $b_1, b_2, b_4$  im Sonnenspektrum). Eine blaue Linie 4481 schien ursprünglich für das Funkenspektrum charakteristisch zu sein, wurde aber dann im Bogen zwischen Stäben aus Magnesium ebenfalls erhalten (LIVEING und DEWAR). Neuerdings stellte sich heraus, daß die fragliche Linie im Bogenspektrum namentlich kräftig wird, wenn der Bogen in einer Wasserstoffatmosphäre brennt.<sup>2</sup> Hierdurch wurde der von SCHEINER unternommene Versuch hinfällig, aus dem Auftreten der Linie 4481 in Sternspektren Schlüsse auf die Temperatur der Sterne zu ziehen.

Das Linienspektrum des Magnesiums hat zahlreiche Linien im Ultraviolett, in denen sich Trillinge von demselben Bau wie diejenigen im Grün ( $b_1, b_2, b_4$  des Sonnenspektrums) mehrfach wiederholen. — Magnesiumsalze können in neutraler Lösung spektroskopisch erkannt werden auf Zusatz alkoholischer Alkannatinktur.<sup>3</sup> Die reine Alkannatinktur, der alkoholische Extrakt der Alkannawurzel, ist eine rote Lösung, mit drei stärkeren und einem schwächeren Absorptionsstreifen, deren Dunkelheitsmaxima liegen bei:

564—545—524—489 .

Setzt man zu der Tinktur etwas Magnesiumchloridlösung und einen Tropfen Ammoniak, so wird die Lösung allmählich blauviolett, fluoresziert rot und gibt ein Spektrum mit drei Streifen bei:

606—5—61521 .

**Erden.** Die Erden und ihre Salze geben in der Gasflamme keine diskontinuierlichen Spektren, weil ihre Oxyde daselbst nicht verdampfen.

**Beryllium.** Im sichtbaren Teil des Spektrums liegt eine Linie bei 4573. Außerdem im Ultraviolett:

3321—3131—2651 .

**Aluminium.** Man erhält bei langem Funken zwischen Elektroden aus diesem Metall ein Linienspektrum<sup>4</sup> mit den Linien:

5723—5695—5057—4662 .

Kurze Funken erzeugen ein aus vier grünen Banden bestehendes Spektrum:

545—540, 520—508, 501—490, 476—465 ,

das vermutlich dem Aluminiumoxyd zugehört. Die Salze des Aluminiums sind farblos, doch können sie spektroskopisch erkannt werden an zwei Absorptionsbanden rechts und links von der *E*-Linie, welche in neutraler oder essigsaurer Lösung

<sup>1</sup> DEMARÇAY, Compt. Rend. **129**. 717. — RUNGE, Ann. d. Phys. Neue Folge. **2**. 742. — GIESEL, Ber. **35**. 3608. 1902. — RUNGE u. PRECHT, Sitz. Ber. Akad. Wiss. Berlin. 1904. p. 417; DRUDES Ann. **14**. 418. 1904. — <sup>2</sup> HARTMANN und EBERHARDT, Sitz. Ber. der Berl. Akad. 1903. p. 40. — <sup>3</sup> Vergl. FORMANEK, Qualitat. Spektralanalyse. Berlin. 1900. p. 87. — <sup>4</sup> KAYSER und RUNGE, WIED. ANN. **48**. 126. 1893.

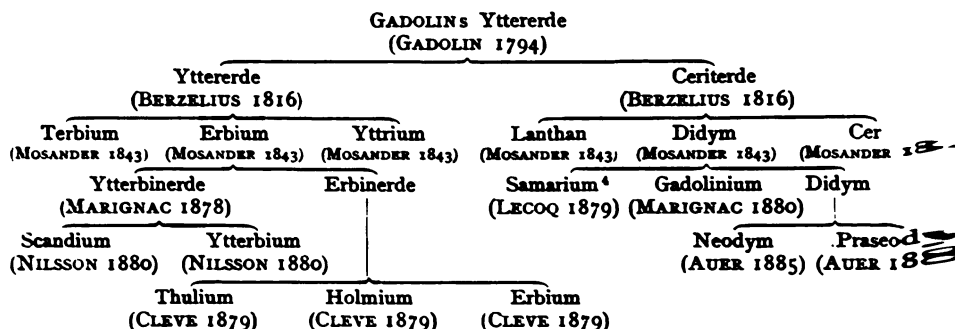


auftreten, wenn die Lösung mit Purpurintinktur versetzt wird.<sup>1</sup> An Stelle der Purpurintinktur empfiehlt FORMANEK<sup>2</sup> Alkannatinktur zum Nachweis von Aluminiumchlorid. Auf Zusatz von diesem Salz zur Alkannatinktur entwickeln sich allmählich Absorptionsstreifen mit Dunkelheitsmaxima bei:

591—546—508 .

Alaunlösung ist durch ihr Absorptionsvermögen für ultrarote Strahlen ausgezeichnet. Tonerde leuchtet unter dem Einfluß von Kathodenstrahlen mit farbigem Licht, insbesondere ist für den Rubin eine rote Emissionslinie, 6895, charakteristisch.

**Die seltenen Erden.** Unter allen Elementen hat das spektroskopische Verhalten dieser Gruppe analytisch die größte Bedeutung, da die chemischen Operationen bei der Darstellung der reinen Verbindungen hier der beständigen Kontrolle durch die Spektralanalyse bedürfen. Es seien hier als seltene Erden die Oxyde der folgenden Elemente zusammengefaßt: Scandium, Yttrium, Ytterbium, Gadolinium, Cer, Lanthan, Neodym, Praseodym, Samarium, Europium, Erbium, Holmium, Terbium. Scandium ist seit seiner Entdeckung durch NILSSON (1880) nicht mehr dargestellt worden. Um einen raschen Überblick über die seltenen Erden zu verschaffen, diene die folgende Stammtafel ihrer geschichtlichen Entdeckung:<sup>3</sup>



Die Trennung von Thulium und Holmium scheint noch unvollkommen zu sein. Zwischen Samarium und Gadolinium schiebt sich das neuerdings von URBAIN (1904) isolierte Europium<sup>6</sup> ein.

Die seltenen Erden geben im Funken und Bogen linienreiche Spektren, die zur Beurteilung ihrer Reinheit dienen können.<sup>6</sup> Eine ungeheure Anzahl von Linien emittiert Cer. Die folgende Tabelle, p. 107, enthält einige der wichtigsten Linien nach dem Atlas von HAGENBACH und KONEN.

Noch wichtiger sind die Absorptionsspektren der Salze der farbigen seltenen Erden: Neodym, Praseodym, Samarium, Erbium, Holmium (Thulium) und Terbium.<sup>7</sup> Dieselben bestehen aus zahlreichen schmalen, meist scharf be-

<sup>1</sup> H. W. VOGEL, Prakt. Spektralanalyse irdischer Stoffe, 1877, p. 226. und Ber. d. deutsch. chem. Ges. 1876, 1641. — <sup>2</sup> Qualitat. Spektralanalyse, Berlin, 1900, p. 95. — <sup>3</sup> Nach TH. POSTIUS, Dissertat. München, 1902. — <sup>4</sup> Das Samarium nannte DE LA FONTAINE: Decipium; MARIGNAC: *F3*. — <sup>5</sup> Über das Funkenspektrum siehe ERERHARDT, Zeitschr. f. anorg. Chem. 45, 374. — <sup>6</sup> Ältere Messungen bei THALÉN, Mém. sur la détermination des longueurs d'onde, Upsala, 1868; bei LECOQ, Spectres lumineux, Paris, 1874; neuere Messungen bei EXNER und HASCHKE, Wellenlängentabellen der ultravioletten Funken- und Bogenspektren, Wien, 1902 u. 1904. — <sup>7</sup> Terbium scheint noch nicht rein dargestellt zu sein. Nach MARC (Dissert. München, 1902) haben seine Salze wahrscheinlich ein Absorptionsband bei 4454—449. Nach URBAIN (Compt. Rend. 139, 736) ist das Oxyd fast schwarz. Vergl. FEIT, Zeitschr. anorg. Chem. 43, 267.

## Bogen- und Funkenlinien der seltenen Erden.

| Ytterbium | Yttrium | Erbium<br>(Holmium) | Lanthan | Cerium | Samarium | Gadolinium | Neodym | Praseodym |
|-----------|---------|---------------------|---------|--------|----------|------------|--------|-----------|
| 5556      | 5663    | 4873                | 6250    | 5274   | 5551     | 4342       | 5192   | 5220      |
| 5477      | 4883    | 4675                | 5792    | 4539   | 4884     | 4064       | 5131   | 5110      |
| 4576      | 4855    | 4420                | 5302    | 4527   | 4816     | 4050       | 4463   | 4429      |
| 3694      | 4644    | 3906                | 4921    | 4460   | 4435     | 4037       | 4447   | 4334      |
| 3290      | 4423    | 3896                | 4900    | 4138   | 4425     | 3646       | 4061   | 4226      |
|           | 4375    | 3786                | 4664    |        |          |            | 4012   | 4223      |
|           | 4178    | 3646                | 4522    |        |          |            |        | 4143      |
|           | 3789    | 3499                | 4430    |        |          |            |        | 4141      |
|           | 3775    |                     | 4334    |        |          |            |        | 4101      |
|           | 3601    |                     | 4239    |        |          |            |        | 3982      |
|           |         |                     | 3995    |        |          |            |        | 3965      |
|           |         |                     | 3949    |        |          |            |        | 3949      |
|           |         |                     | 3886    |        |          |            |        |           |

grenzten Bändern, deren Maxima folgende Wellenlängen haben (nach FORSLING):<sup>1</sup>

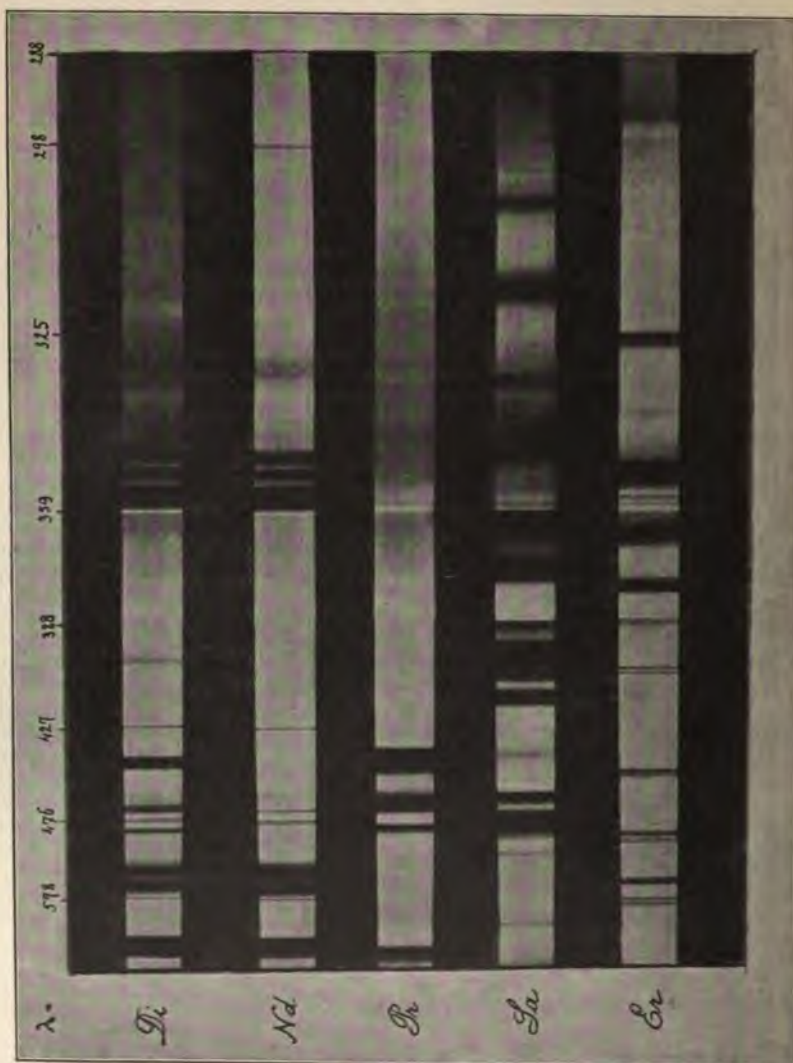
| Neodym    | Praseodym | Samarium  | Erbium    | Holmium   |
|-----------|-----------|-----------|-----------|-----------|
| 6892      | 5965      | 5600      | 6665      | 6574—6561 |
| 6798      | 5917      | 5001      | 6530—6515 | 6408      |
| 6720      | 5889—5850 | 4804—4783 | 6483      | 5434      |
| 6360      | 4832—4822 | 4761—4727 | 5490      | 5405      |
| 6285      | 4813      | 4632      | 5412      | 5359      |
| 6250      | 4687      | 4443—4383 | 5231      | 5205—5202 |
| 6215      | 4455—4445 | 4177      | 5202—5188 | 4854—4848 |
| 5884      | 4435—4415 | 4157      | 4910—4905 | 4736—4727 |
| 5808      | 3540      | 4083      | 4871      | 4675      |
| 5785      | 3530      | 4077      | 4848—4842 | 4520—4500 |
| 5754      |           | 4035—4030 | 4536—4532 | 4274—4267 |
| 5733      |           | 4016—4007 | 4500—4494 | 4221—4216 |
| 5716      |           | 3942—3932 | 4427      | 4174—4172 |
| 5326      |           | 3906      | 4184      | 4161—4155 |
| 5254      |           | 3752—3742 | 4071—4066 | 3995—3937 |
| 5216      |           | 3738—3732 | 4058      | 3885—3878 |
| 5205      |           | 3630—3615 | 4050      | 3870—3865 |
| 5210—5110 |           |           | 3795—3789 | 3652—3645 |
| 5089      |           |           | 3645—3642 | 3540—3490 |
| 4745      |           |           | 3638—3635 |           |
| 4698—4680 |           |           | 3590—3586 |           |
| 4595      |           |           | 3561      |           |
| 4458—4452 |           |           |           |           |
| 4340—4325 |           |           |           |           |
| 4273      |           |           |           |           |
| 3800      |           |           |           |           |
| 3540—3532 |           |           |           |           |

Nachfolgende Abbildung, Figur 23, p. 108, zeigt die Absorptionsspektren der Salze der farbigen seltenen Erden von Grün bis Ultraviolett nach DROSSBACH.

Die vollständige Literatur über diese Spektren siehe bei KAYSER, Handbuch, Teil III, p. 427 (1905).

<sup>1</sup> Bih. K. Svensk. Vet. Ak. Handl. 18. 1. Nr. 4. 1892; Nr. 10. 1893; 23. 1. Nr. 4. 898; 24. 1. Nr. 7. 1899; 28. 2. Nr. 1. 1902. — Über die Beeinflussung der Lage der Absorptionsmaxima durch das Anion vergl. MUTHMANN u. STÜTZEL, Ber. 32. 2653; WÄGNER, benda. 36. 3055; LIVEING, Cambr. Phil. Trans. 18. 298. 1899; PURVIS, Cambr. Proc. 12. 06. 1903; A. LANGLET, Z. phys. Chem. 56. 624. 1906.

Noch eine dritte Art von Spektren sind bei der spektroskopischen Verfolgung der bei der Darstellung der reinen Erden in Anwendung gelangenden Fraktionieroperationen verwendet worden. Es sind Kathodenlumineszenzspektren, welche Neodym, Praseodym und Erbium entwickeln, wenn ihre Oxyde oder Sulfate in geringer Menge den Oxyden oder Sulfaten von Kalk, Ytria oder Lanthan beigemengt werden. Die Beimengung geschieht am besten durch Fällung aus gemeinschaftlicher Lösung. Die Empfindlichkeit des Nachweises einer



Figur 23.

der genannten farbigen Erden nach dieser Methode ist sehr groß, indem die Spektren noch deutlich sind in Mischungen mit einem Gehalt von  $\frac{1}{1\,000\,000}$  an der farbigen Erde. Jedoch stören sie sich bei gleichzeitiger Anwesenheit in ihrer Emission, worauf bei der Deutung der spektroskopischen Befunde Rücksicht zu nehmen ist.<sup>1</sup> Die Wellenlängen der von den in Kalk gelösten Oxyden emittierten Bändern sind:

<sup>1</sup> BAUR u. MARC, Ber. 34. 2460.



| Erbium  | Neodym  | Praseodym               |
|---------|---------|-------------------------|
| 674—658 | 619—614 | 651—644                 |
| 631—626 | 609—606 | 636—632                 |
| 600—589 | 577—573 | 623—613                 |
| 588—582 | 570—566 | 598—591                 |
| 577—568 |         | 565—557                 |
| 565—556 |         | 544                     |
| 554—539 |         | 539                     |
| 492—479 |         | 526                     |
| 456     |         | 514—507                 |
|         |         | 498, 491, 489, 486, 481 |

**Gruppe des Galliums.** Gallium,<sup>1</sup> Indium und Thallium wurden sämtlich auf spektralanalytischem Wege durch ihre Flammen- bzw. Funkenspektren entdeckt. Gallium besitzt zwei Linien im Violett, 4170 und 4081; Indium färbt die Flamme blaurot und zeigt die Linien 4510 und 4101; Thallium färbt die Flamme grün und wird an der Linie 5848 erkannt.

**Gruppe des Zinks.** Zink.<sup>2</sup> Der Bogen zwischen Zinkelektroden enthält als wichtigste Linien:

6362—4810—4722—4680 .

Dieselben treten auch im Funken nach Zinkchloridlösung auf.

**Kadmium.** Im Funken nach Kadmiumchloridlösung erhält man die Hauptlinien:

6438—5085—4799—4677 .

Das Bogenspektrum des Kadmiums dient vielfach als Vergleichsspektrum. Die Hauptlinien des Kadmiums werden neben den D-Linien des Natriums als Normale benutzt<sup>3</sup> (vergl. p. 4).

**Quecksilber.**<sup>4</sup> Man erhält das Linienspektrum durch Entladungen im Vakuumrohr, in der AARONSSchen Quecksilberlampe, und wenn der Funken nach Quecksilber oder den Lösungen seiner Salze überspringt. Hauptlinien:

6152—5789—5760—5461—4358—4047 .

Wenn man mit Hilfe eines Stufenspektroskops nach MICHELSON oder eines Interferenzspektroskops nach LUMMER,<sup>5</sup> mit deren Hilfe weit bedeutendere Dispersionen erzeugt werden können, wie mit Gittern, die Hauptlinien des Quecksilbers untersucht, so bemerkt man, daß dieselben nicht einheitlich sind, sondern je in eine größere Anzahl besonderer Linien zerlegt werden können, die durch dunkle Zwischenräume getrennt sind. Mit LUMMERs Interferenzspektroskop, mit dem noch Wellenlängenunterschiede von  $\frac{1}{400\,000}$  Wellenlänge meßbar sind, läßt sich die gelbe Hg-Linie ( $\lambda$  579) in 12, die grüne (546) in 21, und die blaue (436) in 4 Komponenten auflösen.

Ein Lichtbogen zwischen Quecksilberelektroden strahlt ein blendendes grünliches Licht aus, welches in der „Quecksilberbogenlampe“ von AARONS<sup>6</sup> Be-

<sup>1</sup> Bestimmung der Wellenlängen der Hauptlinien im Spektrum des Galliums vergl. HARTLEY und RAMAGE, *Astrophys. Journ.* **9**. 214. 1899. — <sup>2</sup> Funken- und Bogenspektrum s. EDER u. VALENTA, *Beiträge*. p. 418. — <sup>3</sup> Über die Auflösung einzelner Cd-Linien im Interferometer vergl. LUMMER u. GEHRKE, *DRUDES Ann.* **10**. 457. 1903. — JANICKI, ebenda. **19**. 36. 1906. — <sup>4</sup> Über die Quecksilberspektren vergl. W. B. HUFF, *Astrophys. Journ.* **12**. 103. 1900. RUNGE u. PASCHEN, ebenda. **13**. 49. 1901. EDER u. VALENTA, *Beiträge*. p. 135; F. STARK, *DRUDES Ann.* **16**. 490. 1905. — Infrarote Emission siehe COBLENTZ u. W. C. GEER, *Phys. Rev.* **16**. 279. 1903. — <sup>5</sup> *DRUDES Ann.* **10**. 457. 1903. — Vergl. L. JANICKI, *DRUDES Ann.* **19**. 36. 1906. — <sup>6</sup> *WIED. Ann.* **47**. 767. 1892; **58**. 73. 1896.

leuchtungszwecken dienlich gemacht wurde. Diese Lampe besteht in einer evakuierten Glasröhre von geeigneter Form, welche zwei Quecksilbermassen, die zugleich als Elektroden dienen, enthält. Die Anregung der Lampe nach Einschaltung in den Stromkreis erfolgt durch Schütteln oder selbsttätig durch ein kleines Induktorium.<sup>1</sup> Die Emission dieser Lampe, deren Licht aus den scharf begrenzten Linien des Quecksilberdampfes besteht, ist vermutlich weit höher als der Temperatur des Dampfes entspricht, so daß diese Lichtquelle vornehmlich eine „Lumineszenzlampe“ darstellt. Quecksilberlampen mit Quarzglas oder ultraviolettdurchlässigem Glas (Uviolampe) dienen als Quelle ultravioletten Lichtes, da das Quecksilberspektrum reich an starken ultravioletten Strahlen ist und dasselbe in der Vakuumröhre bequem unterhalten werden kann. Ultraviolette Linien liegen bei:

3985—3790—3663—3654—3650—3562—3535—3342—3133—3126  
—3025—2982—2893—2848 .

Das Linienspektrum des Quecksilbers ist ein nie fehlender Bestandteil der Spektren verdünnter Gase, wenn dieselben mit der Quecksilberluftpumpe evakuiert werden. Auch Metalle, welche im Vakuum destilliert worden sind, zeigen häufig Spuren vom Quecksilberspektrum.

Außer dem Linienspektrum gibt es ein Bandenspektrum des Quecksilbers, welches entsteht, wenn man den Induktionsfunken ohne Flasche durch destillierenden Quecksilberdampf sendet.<sup>2</sup> Die Kanten der Banden liegen gegen Rot. Die stärksten sind:

4517—4396—4219—4017 .

Der Umstand, das ein einatomiges, elementares Gas, wie das Quecksilber, ein Bandenspektrum aussenden kann, zeigt, daß die Emission eines Linienspektrums zwar die hinreichende, aber nicht die notwendige Bedingung der elementaren Natur eines Gases ist.

**Kupfer, Silber, Gold.**<sup>3</sup> Die Linienspektren erhält man durch Funken zwischen Elektroden aus den Metallen. Neben einigen Banden, die den Salzen angehören, sieht man die charakteristischen Metalllinien auch in Funken nach den Salzlösungen. Die Hauptlinien sind:

Cu: 5782—5700—5218—5153—5106 .  
Ag: 5465—5209 .  
Au: 5888—5727—5656—5230—5065—4793 .

In der Bunsenflamme erscheint das aus einer Anzahl grüner Banden bestehende Spektrum des Kupferchlorids, wenn die Flamme mit diesem Salz und gleichzeitig mit Salzsäure gespeist wird.

**Gruppe des Bleis. Zinn.** Das Linienspektrum entsteht im Funken zwischen Metallelektroden, auch durch Verdampfen des Metalles in Knallgasgebläse. Hauptlinien:

6447—5798—5587—5564—4523 .

In der Bunsenflamme sieht man das Bandenspektrum des Oxydes.

**Germanium.** Im Funken nach Germaniumsalzen treten die Linien 4680 und 4226 auf.

<sup>1</sup> HEWITT, Journ. f. Gasbel. 1901. 495; 1902. 43, 339. — <sup>2</sup> Vergl. EDER u. VALENTA, Beiträge usw. Wien. 1904. p. 151. — <sup>3</sup> Vergl. EDER u. VALENTA, Beiträge zur Photochem. u. Spektralanalyse. Wien. 1904. p. 161.

**Blei.** Zur Vermeidung der Oxydbanden beobachtet man das Linienspektrum des Bleies zwischen Bleielektroden in der Wasserstoffatmosphäre. Hauptlinien (nach LECOQ):

5607—5202—5006—4056 .

Die Bleisalze geben in der Flamme das Bandenspektrum des Oxydes.

**Wismuth.** In Funken nach der Lösung eines Salzes erscheinen als Hauptlinien des Wismuths:

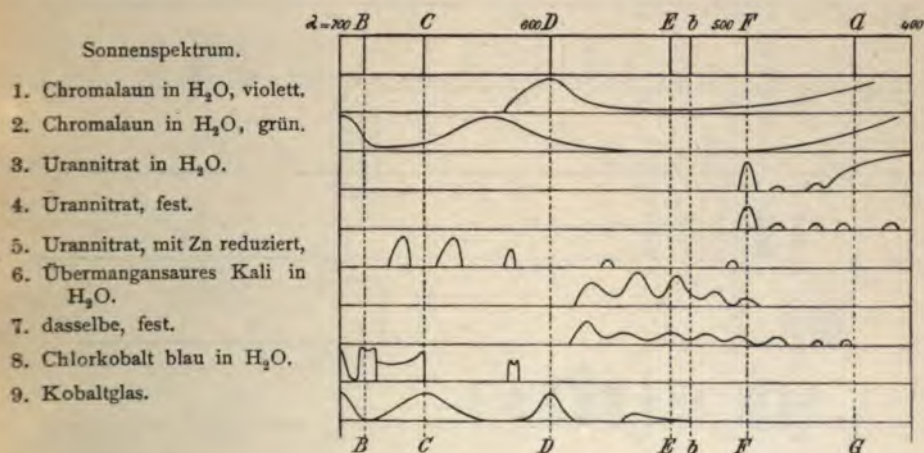
5209—4724—4122 .

In der Flamme geben die Salze desselben das Bandenspektrum des Oxydes.

**Gruppe des Chroms. Chrom.** Die Hauptlinien im Funken zwischen Metallelektroden sind:

5209—5206—5204—4289—4275—4254 .

Die violetten Chromisalzlösungen haben eine Absorptionsbande bei D (Farbe des Chromiions). Dieselbe zeigt sich bei den grünen Chromilösungen nach rot



Figur 24.

verschoben, vergl. Nr. 1 und 2 der Figur 24. Die Chromate absorbieren den blauen Teil des Spektrums.

**Molybdän.** Hauptlinien im Funken:

6029—5888—5571—5532—5507 (THALEN).

**Wolfram.** Hauptlinien im Funken:

5513—5223—5053—4842 (THALEN).

**Uran.** Neben Cer, Titan und Eisen das linienreichste Element. Hauptlinien:

5527—5494—5482—5478—4473—4362—4341 (THALEN).

Uranylsalze zeigen gelöst einen Absorptionsstreifen bei F und kontinuierliche Absorption von G an, während Uranglas und krystallisiertes Uranyl nitrat statt dessen vier Absorptionsstreifen aufweisen (vergl. Nr. 3 und Nr. 4 der Figur 24).



Lösungen der Uranosalze besitzen drei Absorptionsstreifen im Rot und Orange (vergl. Nr. 5 der Figur 24). Uranylsalze und Uranglas fluoreszieren gelb bei Beleuchtung mit grünem Licht.

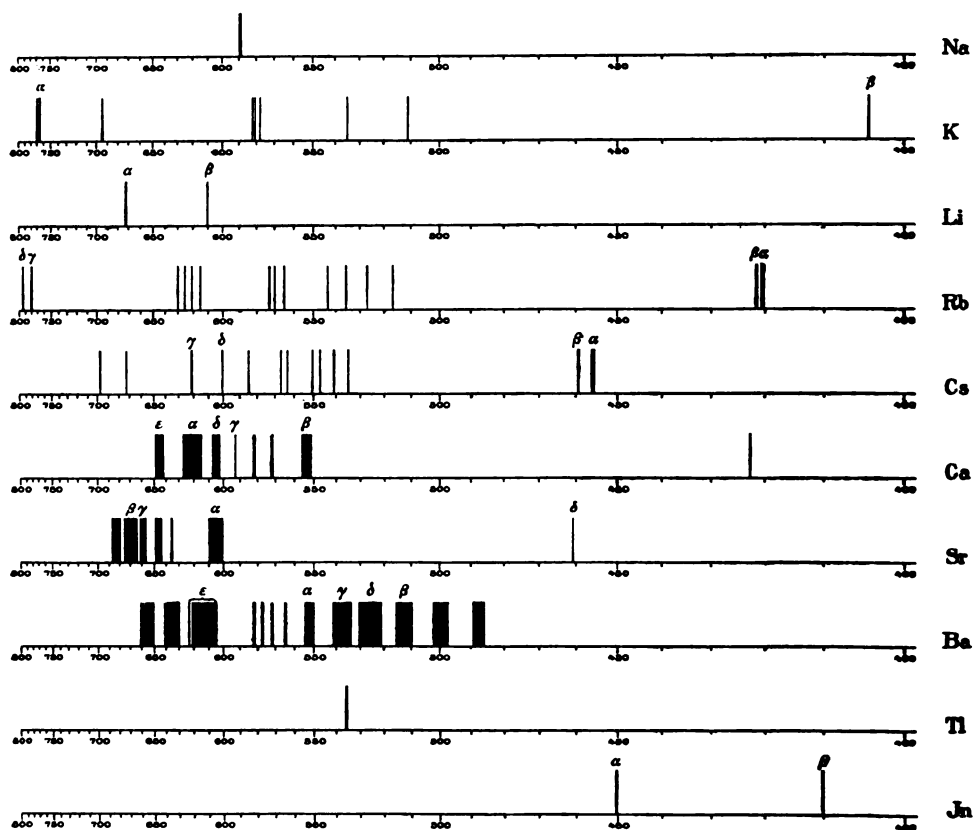
**Thor.** Hauptlinien:

5539—4921—4865—4891—4381—4019 .

**Mangan.** Das Linienspektrum erhält man durch Funken zwischen Manganelektroden oder nach der Lösung des Chlorürs. Hauptlinien:

6018—5841—4825—4784—4766—4035 .

Das Permanganation ist durch fünf Absorptionsstreifen zwischen *D* und *F*



Figur 25.

Flammenspektren der Metalle.

ausgezeichnet (Nr. 6 Figur 24). Manganchlorür gibt in der Bunsenflamme das Oxydspektrum, das aus den folgenden Banden besteht:

5580—5550—5400—5391—5359—5240—5212—5192—5157—5052  
—5018—4984 .

Dasselbe Spektrum tritt in der Flamme der Bessemerbirne auf, wenn das Ende der Entkohlung des Gußeisens erreicht ist. Es dient daher bei der Stahlbereitung als Kriterium dafür, wenn das Einblasen von Luft in die Birne abzustellen ist.

**Gruppe des Eisens. Eisen.<sup>1</sup>** Das Linienspektrum des Eisens ist das linienreichste unter allen Elementen (über 2000 Linien). Man erhält es, indem man den Funken zwischen Eisenelektroden überspringen, oder den Lichtbogen zwischen solchen brennen läßt. Eine Anzahl Linien erscheinen auch, wenn der Funke nach Eisensalzlösungen überspringt. Zu den wichtigsten Linien gehören:

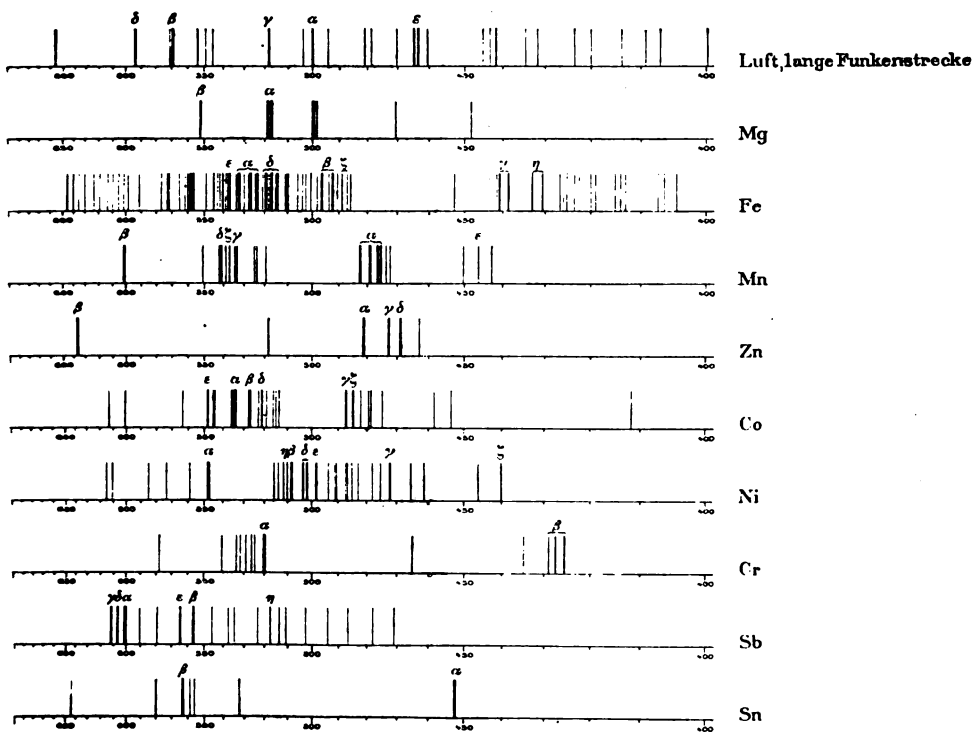
6192—6137—6066—5868—5616—5587—5270(*E*)—5267—5230—5193—5169(*β*<sub>3</sub>)—4405—4384—4272—4072—4064—4046—4005 .

Ferroion ist farblos; Ferriion absorbiert das blaue Ende des Spektrums.

**Kobalt.** Hauptlinien des Linienspektrums:

5483—5370—5343—5267—4868—4840—4531 .

Die roten Kobaltsalzlösungen haben keine charakteristische Absorption, dagegen zeigen die blauen zwei Absorptionsstreifen im Rot von 622 bis 610 und



Figur 26.  
Funkenspektren der Metalle I.

von 650 bis 690 (von *C* bis *B*). Kobaltglas hat Maxima der Absorption bei *C* und *D* und Minima bei *B* und im blauen Ende des Spektrums (vergl. Nr. 8 und 9 der Figur 24).

**Nickel.** Hauptlinien des Linienspektrums:

5081—5036—5017—4984—4715—4401 .

Nickelsalzlösungen absorbieren das rote und blaue Ende des Spektrums.<sup>2</sup>

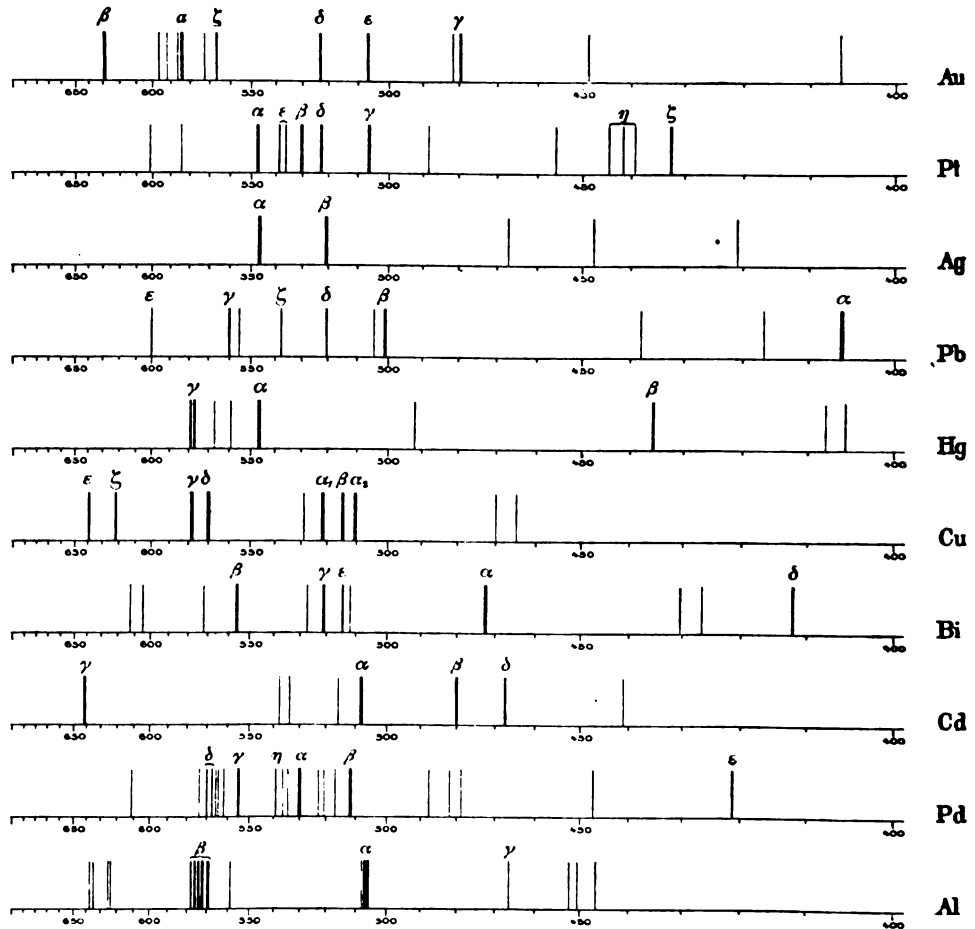
<sup>1</sup> Normallinien im Bogenspektrum des Eisens, siehe H. KAYSER, Astrophys. Journ. **12**, 329. 1900. — <sup>2</sup> Absorptionsspektren von Kupfer und Nickelsalzen vergl. E. MÜLLER, Ann. d. Phys. (4) **12**, 767. 1903.

**Gruppe des Platins.**<sup>3</sup> Man erzeugt die Spektren durch Verdampfen der Metalle im Kohlebogen oder durch sehr starke Funken zwischen Metallelektroden. Osmium verwendet man in Legierung mit Iridium. Die stärkste Linie des Osmiums liegt bei 4422 (THALEN). — Die Hauptlinien des Platins sind:

5476—5390—5302—5228—5059 ;

diejenigen des Palladiums:

5656—5670—5547—5395—5296—5165—5118—4213 .



Figur 27.  
Funkenspektren der Metalle II.

Linien des Iridiums:

5450—5365—4938 ;

des Rhodiums:

5984—5600—5257—5255—5237—4375 ;

des Rutheniums:

5636—5560—5511—5456—5401

(vergl. HAGENBACH und KONEN, Atlas).

<sup>3</sup> Vergl. H. KAYSER, Über die Bogenspektren der Elemente der Platingruppe, *Astro-phys. Journ.* 7, 93, 173, 1898.

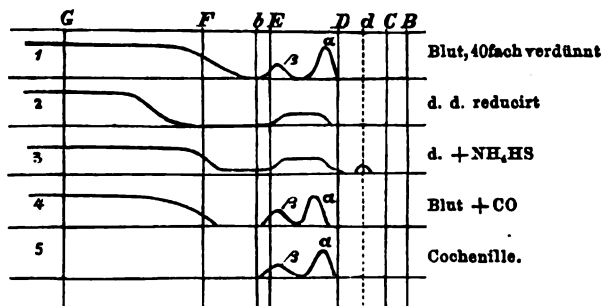


Die Tafeln, Figuren 25—27, p. 112—114, geben einen Überblick über die stärksten Linien der Spektren der Metalle für den sichtbaren Teil des Spektrums bei mäßiger Dispersion. Figur 25 enthält Flammen-, Figur 26 und 27. Funken-spektren. Die Abbildungen sind dem Werke von J. FORMANEK, Qualitat. Spektral-analyse anorganischer Körper, Berlin 1900, entnommen.

### Absorptionsspektren organischer Farbstoffe.

Die Form und Lage des Maximums der Absorptionsstreifen der Farbstoffe kann nützliche Dienste für die Systematik und für die Erkenntnis der chemischen Natur derselben leisten; z. B. bei Arbeiten über Blatt-, Blut- und Gallenfarbstoffe. Sie wird auch mit Vorteil zur Identifizierung der Farbstoffe herangezogen, z. B. bei Weinverfälschung, zur Ermittlung der Natur von Zeugfärbungen usw. Die Absorptionskurven sind ferner von Wert zur Beurteilung der Verwertbarkeit von Farbstoffen zu Lichtfiltern, zur Sensibilisierung in der Photographie u. a. m. Forensisch wichtig ist das Spektrum des mit Kohlenoxyd vergifteten Blutes. Der Farbstoff des Blutes, das Oxyhämoglobin, wird (bei etwa 40-facher Verdünnung des Blutes) leicht an zwei Absorptionsstreifen zwischen *D* und *E* erkannt (vergl. Figur 28). Durch gelinde Reduktionsmittel, wie Schwefelammonium oder ammoniakalisches Ferrotartrat, geht das Oxyhämoglobin in Hämoglobin über, wobei andere Absorptionsstreifen auftreten. Wenn aber Oxyhämoglobin mit Kohlenoxyd vergiftet ist, was an und für sich die Absorption des Oxyhämoglobins nahezu unverändert läßt, so bleibt die Reduktion auf Zusatz von Schwefelammonium aus.

Wegen des gesamten, weitschichtigen Materiales über die Absorption der Farbstoffe muß auf den dritten und



Figur 28.

den in Vorbereitung befindlichen vierten Band von H. KAYERS Handbuch der Spektroskopie verwiesen werden; außerdem für die Absorption der technisch gebrauchten Farbstoffe auf das Werk von J. FORMANEK: „Spektralanalytischer Nachweis künstlicher organischer Farbstoffe“ (Berlin, Springer, 1900), welches qualitative Angaben über die Spektren von über 500 organischen Farbstoffen in wässriger, äthyl- und amylalkoholischer Lösung enthält. Ins Einzelne gehende Erläuterungen zu der spektroskopischen Untersuchung von Farbstoffgemischen, sei es, daß dieselben in Substanz vorliegen oder als Ausfärbungen auf Zeugen, gab derselbe Autor in vielen Abhandlungen der Zeitschrift für Farben- und Textilchemie, Bd. 1 und 2 (1902 und 1903). Über die Absorption photographisch wichtiger Farbstoffe vergl. EDER, Handbuch der Photographie, Teil III. Kap. 13, p. 154—186. 1893; über die des Chlorophylls und seiner Derivate siehe MARCHLEWSKY, Chemie des Chlorophylls (Hamburg, Voß, 1895).

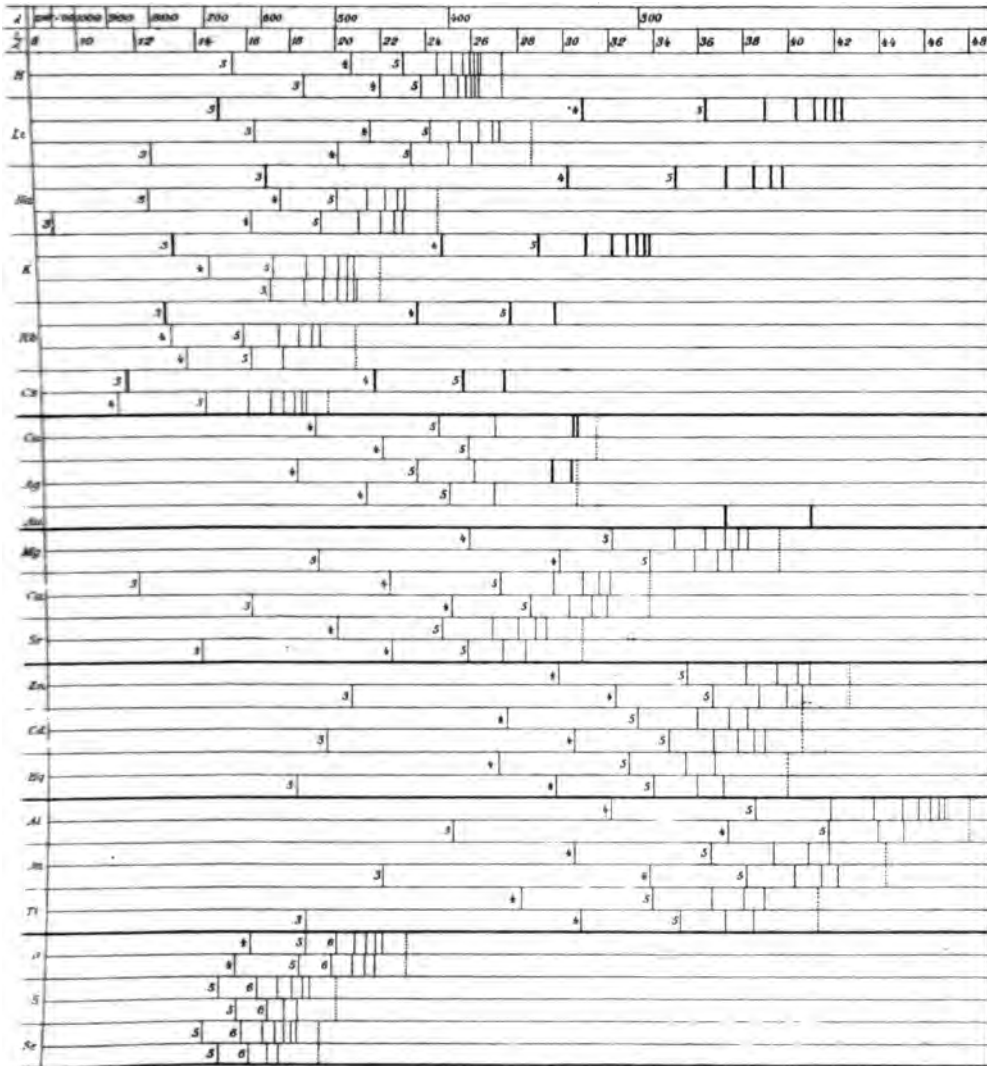
Diagramme des Absorptionsspektren einer Anzahl wichtiger Farbstoffe nach H. W. VOGEL sind in Figur 11, p. 60, wiedergegeben. Es stellt daselbst dar: Nr. 1 Fuchsin in verdünnter alkoholischer Lösung; Nr. 2 dasselbe in verdünnter wässriger Lösung; Nr. 3 Fuchsin fest; Nr. 4 Cyanin in Alkohol; Nr. 5 dasselbe in Wasser; Nr. 6 Methylviolett in zwei Verdünnungen (*a* und *b*); Nr. 7 Malachitgrün in zwei Verdünnungen (*a* und *b*); Nr. 8 Chinolinrot in Alkohol

(zwei Absorptionsstreifen  $\alpha$  und  $\beta$ ); Nr. 9 Tetrabromfluoresceinkalium in Alkohol (die punktierte Kurve bezieht sich auf mäßige Verdünnung; bei hoher Verdünnung treten zwei Streifen  $\alpha$  und  $\beta$  hervor); Nr. 10 Tetraiodfluorescein in Alkohol; Nr. 11 Alizarin in Alkohol, alkalisch; Nr. 12 Cochenille in Wasser; Nr. 13 Weinbeerenfarbstoff, frisch in Spiritus; Nr. 14 Heidelbeerenfarbstoff, frisch in Spiritus; Nr. 15 Chlorophyll, frisch in Alkohol; Nr. 16 dasselbe, alt (enthält Chlorophyllan); Nr. 17 Olivenöl; Nr. 18 Oleum hyosciami (enthält Chlorophyllan).

Es mag noch darauf hingewiesen werden, daß in wissenschaftlicher Hinsicht unsere Kenntnis von den Absorptionskurven noch auf tiefer Stufe steht, indem die Angaben der Wellenlängen meist nur approximativ sind und nur für nicht näher gekennzeichnete Konzentration gelten oder in kleinen, aus freier Hand gezeichneten Skizzen bestehen. Es wäre dringend erforderlich, die Absorptionskurven der Farbstoffe photographisch festzulegen, wie dies von HARTLEY und seiner Schule (vergl. p. 60) für eine große Anzahl ultraviolett absorbierender Stoffe ausgeführt wurde.

Einen Fortschritt in dieser Richtung bahnte P. KRÜSS<sup>1</sup> an, indem er auf orthochromatischer Platte die Absorption einer großen Zahl von Azo- und Triphenylmethanfarbstoffen in sechs verschiedenen Schichtdicken von  $\lambda$  580 abwärts photographierte. Durch Verwendung von Trögen aus Quarz und eines Quarzspektrographen konnte unter Beleuchtung mit dem Licht der Funkenstrecke zwischen einer Eisen- und Kupferelektrode den Photogrammen eine Ausdehnung bis  $\lambda$  200 ins Ultraviolette gegeben werden. So ermittelte P. KRÜSS die blauen, violetten und ultravioletten Absorptionskurven der genannten beiden Farbstoffklassen für einen allerdings nicht sehr großen Bereich optischer Dicken, der sich wie 1:10 verhielt. Es bestätigte sich dabei, daß das Absorptionsvermögen der organischen Farbstoffe und ihrer Muttersubstanzen um so kräftiger entwickelt ist, je mehr Doppelbindungen sich in ihnen angehäuft finden, sowie daß die Absorptionskurven innerhalb einer Farbstoffgruppe mit gleichbleibendem Chromophor, wie dies im Abschnitt „Chromophore“ (p. 67) allgemein erörtert wurde, ihrem Charakter und ihrer Zahl nach erhalten bleiben.

<sup>1</sup> Zeitschr. phys. Chem. 51. 257. 1905.



Figur 29.

Tafel der Linienpektren, nach KAYSER und RUNGE, vergl. die Tabelle p. 48.



## Autorenregister.

- Aarons 109.  
 Abney 5.  
 Albrecht 85.  
 Angström 4, 11.  
 Angström, K. 62.  
 Arrhenius 35.  
 Aschkinaß 6, 32, 63, 100.  
 Auer 22, 106.  
 Aufseß 97.  
 Bader 94.  
 v. Baeyer 72, 80.  
 Bahr 24.  
 Balmer 43, 48, 49.  
 Baly 68, 75, 99.  
 Bamberger 69, 71.  
 Barschall 68.  
 Bartoli 17, 18.  
 Bassett 59.  
 Baur 25, 108.  
 Beckmann 32.  
 Becquerel, E. 25.  
 Beer 61, 63, 81, 90.  
 Beißwenger 77.  
 Berndt 101.  
 Berthelot 36.  
 Berzelius 106.  
 Bolton 39.  
 Boltzmann 16—18.  
 Bose 23.  
 Boudouard 22.  
 Bredig 12, 100.  
 Brenner 58.  
 Brühl 69.  
 Bunsen 1, 13, 24, 34, 39, 64, 78.  
 Bunte 33.  
 Cappel 34.  
 Cauchy 3.  
 Chappuis 98.  
 Cleve 106.  
 Coblenz 109.  
 Collie 40.  
 Mc. Crae 33.  
 Crova 8.  
 Day 16.  
 Delafontaine 106.  
 Demarçay 105.  
 Desch 68, 75.  
 Dewar 13, 32, 36, 97.  
 Dobbie 70, 74.  
 Donnan 59, 65, 91, 92.  
 Doppler 20, 55, 76.  
 Droßbach 23, 107.  
 Drucker 59.  
 Drude 17, 80.  
 Duboscq 90, 91.  
 Ducca 25.  
 Dudley 58.  
 Dulong 47.  
 Eberhardt 4, 38, 102, 105, 106.  
 Ebert 41, 58, 76.  
 Eder 6, 32, 38, 54, 95, 97  
   bis 104, 109, 110, 115.  
 Euler, H. 74.  
 Ewan 64, 65.  
 Exner 6, 95, 106.  
 Fabry 4, 7.  
 Feit 106.  
 Fery 30.  
 Fitzgerald 50.  
 Formanek 62, 105, 106, 115.  
 Fox 59.  
 Fraunhofer 3, 4, 11, 55.  
 Fredenhagen 31.  
 Fritsch 2.  
 Gadolin 106.  
 Garbosso 50.  
 Geer 109.  
 Gehrke 109.  
 Gernez 58.  
 Gibbs 52.  
 Giesel 105.  
 Glan 85.  
 Glazebrook 86.  
 Goldstein, E. 25, 100.  
 Gouy 31.  
 Grebe 71.  
 Grünbaum 87—89.  
 Gubser 59.  
 Günther 30.  
 Guinchard 65.  
 Haber 22, 30, 33, 99.  
 Hagen 37.  
 Hagenbach 31, 33, 39, 40, 95,  
   101, 102, 106, 114.  
 Hann 75.  
 Hantzsch 59, 65, 70, 72—74,  
   94, 101.  
 Harrison 102.  
 Hartley 34, 60, 68, 70, 75,  
   109, 116.  
 Hartmann 4, 6, 38, 105.  
 Haschek 6, 95, 106.  
 Hasselberg 6, 98, 100, 102.  
 Helmholtz 76.  
 Hemsalech 37, 47.  
 Herbert 98.  
 Hertz 56, 63, 80.  
 Hewitt 77, 100.  
 Hinsberg 71.  
 Hofmann, K. A. 25, 70.  
 Holborn 16.  
 Homolka 72.  
 Hoppe 39.  
 Houston 58.  
 v. Hübl 5.  
 Hüfner 85, 86.  
 Huff 109.  
 Hull 18.  
 Humphrey 56.  
 Janicki 109.  
 Janssen 55, 97.  
 Jewell 56.  
 Julius 30, 32, 76.  
 Kastle 58.  
 Kauffmann 68, 69, 77.  
 Kayser 4, 6, 34, 42—47, 50,  
   67, 79, 95, 105, 107,  
   113, 115, 117.  
 King 30, 37.  
 Kirchhoff 1, 8—11, 13, 30,  
   34, 79.  
 Klatt 24—26.  
 Knoblauch 63.  
 Knorr 74.  
 König, A. 86.  
 König, J. 91.  
 Kohlschütter 64.

- O.  
 , 33, 39, 40, 58, 95,  
 2, 106, 114.  
 71.  
 u. H. 83, 84, 86,  
 90—93.  
 116.  
 , 63, 76.  
 15, 16, 21, 22.  
  
 3 100.  
 01, 62, 81, 90.  
  
 h 42.  
 3, 107.  
 5, 16.  
 75.  
 18.  
 r 22.  
  
 28, 39, 95, 98, 106,  
  
 5, 104.  
 —26, 54, 103.  
 1 50.  
 3, 32, 63, 97, 107.  
 4, 36, 38, 53, 54.  
 L. A. 56.  
 , 15, 16, 19, 20, 28,  
 , 67, 77, 79, 80.  
  
 65.  
 106, 108.  
 ky 115.  
 106.  
 5—89.  
 3.  
 f 44.  
  
 gar 98.  
 76, 77.  
 4, 7, 109.  
  
 1 34, 35.  
  
 n 55.  
 .  
 06.  
 .  
 63, 64, 113.  
 64, 107.  
  
 .  
 23.
- Nichols, Edw. 77.  
 Nichols E. F. 18.  
 Nietzsche 72  
 Nilsson 106.  
  
 Ōkonomides 71.  
 Ostwald, 12, 52, 65, 66, 80,  
 100.  
  
 Parsons 97.  
 Paschen 13, 15, 19, 20, 30,  
 32, 44, 55, 59, 97, 100,  
 101, 109.  
 Perot 4, 7.  
 Petit 47.  
 Pflüger, A. 37, 63, 76.  
 Pickering 49, 54.  
 Piloty 69.  
 Planck 21.  
 Plücker 55.  
 Postius 106.  
 Poynting 16.  
 Precht 45, 105.  
 Pringsheim 15, 16, 19, 20,  
 30—34.  
 Purvis 63, 107.  
  
 Ramage 109.  
 Ramsay 40.  
 Rasch 104.  
 Rayleigh 50.  
 Reich 35.  
 Richards 40.  
 Richardt 30—32, 99.  
 Riecke 50.  
 Ritz 50.  
 Roozeboom 62.  
 Roscoe 78.  
 Rosetti 33.  
 Rowland 4, 6, 11, 45, 102.  
 Rubens 5, 6, 15, 21, 23, 32,  
 37, 100.  
 Rudorf 47, 67, 83.  
 Runge 6, 43—47, 50, 55, 56,  
 97, 101, 105, 109, 117.  
 Rydberg 43—45, 49, 50.  
  
 Sachs 68.  
 Salm 66, 94.  
 Saunders 13.  
 Schäfer, Cl. 62.  
 Schmidt, C. G. 25, 77.  
 Schönbein 58.  
 Schorigin 27.  
 Schulz 83, 84.  
 Schumann 5, 58.
- Schuster 55.  
 Schütze 71.  
 Smithells 99.  
 Spring 57, 68.  
 Stark 109.  
 Stefan 16—18, 20.  
 Stieglitz 73.  
 Stokes 76.  
 Stützel 64, 107.  
 Swan 32, 38, 40.  
 Syers 99.  
  
 Tesla 41.  
 Thalen 95, 106, 111, 114.  
 Thiele, J. 68, 73.  
 Thorp 6.  
 Travers 40, 95.  
 Trowbridge 40.  
 Tyndall 32.  
  
 Urbain 106.  
  
 Vaillant 64.  
 Valenta 6, 38, 54, 95, 97—104,  
 109, 110.  
 Vierordt 81, 83, 85, 88.  
 Villiger 72.  
 de Visser 25.  
 Violle 35.  
 Vogel, E. 71.  
 Vogel, H. W. 38, 60, 106,  
 115.  
  
 van der Waals 62.  
 Waegner 107.  
 Waentig 25, 27.  
 Waetzmann 42.  
 Waggener 33.  
 Wagner, J. 65.  
 Wanner 22.  
 Warburg 41.  
 Watteville 104.  
 Weigert 79.  
 Werner 59.  
 Wiedemann, E. 14, 25, 40,  
 59, 101.  
 Wien, W. 17, 19—21, 42.  
 Wild 86.  
 Wilson 35.  
 Witt 67.  
 Wolff 90.  
 Wood 6, 41, 76, 103.  
  
 v. Zawidski 66.  
 Zeemann 56.  
 Zenghelis 11.

## Sachregister.

- Absorption, auswählende 21, 58.  
 — Änderung mit der Temperatur 58.  
 Absorptionsspektren 57.  
 — graphische Darstellung derselben 60.  
 Absorptionsverhältnis 81.  
 — bei elektrolytischer Dissoziation 82, 83.  
 Absorptionskoeffizient 82.  
 Absorptionskonstante 81.  
 Absorptionsvermögen 8.  
 Acetylenbrenner 33.  
 Allotropien der Metalle 53.  
 Alkalien 103.  
 Aluminium 105.  
 Ammoniak 98.  
 Antimon 102.  
 Arbeitsfähigkeit der Strahlung 17.  
 Argon 95.  
 Arsen 101.  
 Atomgewicht, spektralanalytische Bestimmung 46, 47.  
 Auxochromie 71.  
 Azogruppe 69.  
 Azoxygruppe 69.
- Bandenspektrum 28.  
 Baryum 104.  
 Bathochromie 68, 71.  
 Blei 110.  
 Blut 114.  
 Bogenspektren 35.  
 Bolometer 15.  
 Bor 102.  
 Brom 100.  
 Bunsenflamme, Emission derselben 32.  
 — Temperatur derselben 33.
- Cäsium 103.  
 Calcium 104.  
 Carbonium 80.
- Cerium 107.  
 Chemilumineszenz 27.  
 Chlor 100.  
 Chlorknallgas 78.  
 Chlorophyll 115.  
 Chrom 111.  
 Chromophore 67.  
 Chromsalze 59.  
 Coronalinie 11.  
 Coronium 13.  
 Cyan 100.
- Diaphanometer 91.  
 Dinitrophenol 65.  
 Dispersion, anomale 76.  
 Dispersionsformel 3.  
 Doppelbindung 67.  
 — des Kohlenstoffs 68.  
 — zwischen Kohlenstoff und Stickstoff 68.  
 Doppelspalt von VIERORDT 83.  
 Druckverschiebung der Spektrallinien 56.
- Eichungskurve 4.  
 Eisen 113.  
 Elektroden aus Aluminium und Platin 40.  
 Elemente der Sonne 12.  
 Emission, selektive, der seltenen Erden 24.  
 Emissionslinien, lange und kurze 36.  
 Emissionsvermögen 8.  
 Endotherme Verbindungen 12.  
 — in Entladungsröhren 41.  
 Energie der Strahlung 18.  
 Energiekurve der Strahlung 19.  
 Enol-keto-Tautomerie 73, 75.  
 Entladungsröhren 39.  
 Erbium 107, 109.
- Erde, mittlere Temperatur 17.  
 Erden 105.  
 — alkalische 104.  
 — seltene 106–109.  
 Extinktion, photochemische 78.  
 Extinktionskoeffizient 81.
- Fadenkreuz d. Spektroskopes 3.  
 Farbe 57.  
 — der Ionen 63.  
 Farbsalze, chinoide 73.  
 — benzoide 80.  
 Farbstoffe, Diagramme ihrer Absorption 60.  
 Flammen, kühle 33.  
 — Leitfähigkeit ders. 35.  
 Flammentemperaturen 31.  
 Fluoreszenz 26, 76.  
 Fluorophore 77.  
 Fraunhofersche Linien 3, 10.  
 Fuchsonimin 72.  
 Fuchsonimonium 72.  
 Funken, Temperatur derselben 7, 38.  
 Funkenapparat von VOGEL 38.  
 Funkenspektren 36.  
 — Veränderlichkeit derselben 37.
- Gadolinium 107.  
 Gallium 109.  
 Germanium 110.  
 Gesetz von BEER 61, 81.  
 — Gültigkeit dess. 62.  
 — von KIRCHHOFF 8.  
 — von LAMBERT 61, 81.  
 — von STEFAN 16.  
 Gitterspektren 6.  
 Glaskörper von SCHULZ 83.  
 Glühstrumpf AUERs, Emission desselben 23.  
 Gold 110.



**Halochromie** 72.  
**Hauptserien** 43.  
**Helium** 95.  
**Homogenität der Gaslinien** 28.  
**Holmium** 107.  
**Hypsochromie** 72.

**Indikatoren, Theorie derselben** 65, 66.

— **kolorimetr. Bestimmung der elektrolytischen Dissoziation derselben** 94.

**Indium** 109.

**Induktion, photochemische** 79.

**Interferometer** 7.

**Jod** 100.

**Jodlösungen** 59, 101.

**Iridium** 114.

**Kadmium** 109.

**Kalium** 103.

**Kathodolumineszenz** 24.

**Ketogruppe** 68.

**Knallgasgebläseflamme** 33.

**Kobalt** 113.

— **Salze dess.** 59.

**Kohlenstoff** 98.

**Kohlenoxyd** 99.

**Kohlenwasserstoffe** 99.

**Kollimatorrohr** 1.

**Kolorimetrie** 89.

**Kolorimeter nach WOLFF** 90.

— **nach DUBOSQ** 90.

— **nach J. KÖNIG** 91.

— **nach DONNAN** 91.

— **nach A. KRÜSS** 92.

**Kometenschweife** 18.

**Kompoundspektrum des Wasserstoffs** 97.

— **des Sauerstoffs** 97.

**Konkavgitter** 6.

**Krypton** 96.

**Kupfer** 110.

— **Salze desselben** 64.

**Lampen, Temperatur ders.** 20.

**Lanthan** 107.

**Leuchtsteine** 25.

**Leukobasen** 72.

**Lichtbogen, elektrischer, Temperatur desselben** 35.

— **Spektrum desselben** 35, 36.

**Lichtdruck** 17, 18.

**Lichtempfindlichkeit** 77.

**Lichtquellen, einfarbige** 89.

**Lichtstärke, übrigbleibende** 84.

**Linienpektrum** 28.

**Lithium** 103.

**Lösungen, feste, übersättigte** 25.

**Lumineszenz** 14.

— **fester Körper** 24.

— **in Entladungsröhren** 41.

**Magnesium** 105.

**Mangan** 112.

**Mehrfache Spektre** 41, 54.

**Methylorange** 64, 73.

**Mikrometerschraube am Spektroskop** 2.

**Minimum der Ablenkung** 3.

**Molybdän** 111.

**Nachweis, spektroskopischer, Empfindlichkeit desselben** 34.

**Nebenserien** 43, 44.

**Neodym** 107, 109.

**Neon** 95.

**Nickel** 113.

**Niob** 102.

**Nitrogruppe** 69.

**Nitrophenole** 65, 73.

**Nitrosogruppe** 69.

**Okularschieber** 84.

**Orthochromatische Platten** 5.

**Ozon, Absorption desselben** 98.

**Palladium** 114.

**Permanganate** 65.

**Phenolphthalein** 65, 73.

**Phosphor** 101.

**Phosphore** 24.

**Phosphoreszenz** 24.

**Phosphoreszenzbänder** 26.

**Photochemische Gleichgewichtsverschiebung** 77, 78.

**Photographie des Spektrums** 5.

**Photolumineszenz** 24.

**Platin** 114.

**Praseodym** 107, 109.

**Prinzip von DOPPLER** 20,

55.

**Pseudosäuren** 74.

**Pyrometer, optische** 21, 22.

**Quecksilber** 109, 110.

**Radium** 105.

**Raumerfüllung der Stoffe** 80.

**Reaktionslumineszenz** 27,

31.

**Reflexion, selektive** 5, 21.

**Regel von KUNDT** 62.

— **von STOKES** 76.

**Resonatoren von HERTZ** 63,

80.

**Reststrahlen** 6.

**Rhodium** 114.

**Rhombus von HÜFNER-AL-**

**BRECHT** 85.

**Rubidium** 103.

**Ruthenium** 114.

**Salze der seltenen Erden** 63, 64.

**Samarium** 107.

**Sauerstoff** 97.

**Scandium** 106.

**Schmelzmittel** 25.

**SCHUMANNsche Strahlen** 5.

**Schwarzer Körper** 9.

**Schwarzer Strahler** 15.

**Schwefel** 101.

**Schwingungen, elastische und elektrische** 49, 50.

**Schwingungsdifferenz homologer Linienpaare** 45, 46.

**Schwingungszahl** 43.

**Selbstumkehr** 13.

**Selen** 101.

**Serien des Wasserstoffs** 48.

**Serienspektre** 43.

**SIDOTsche Blende** 25.

**Silber** 110.

**Silicium** 102.

**Skalenrohr** 1.

**Solarkonstante** 16.

**Sonne, umkehrende Schicht** 11.

— **Temperatur derselben** 16,

20.

**Sonnenatlas ROWLANDS** 4.

**Spalt des Spektroskops** 2.

**Spektralanalyse** 52.

— **quantitative** 81.

**Spektralapparat von KIRCH-**

**HOFF und BUNSEN** 1.

**Spektralphotographie** 4.

**Spektrometer** 3.

**Spektrophotometer nach GLAN**

85.

— **nach MARTENS und GRÜN-**

**BAUM** 87.

**Spektrophotometrie** 83.

**Spektroskop mit gerader Durch-**

**sicht** 7.

**Spektrum, Reinheit desselben** 2.

— **unstetiges** 28.

— **von Verbindungen** 34.

— **Unabhängigkeit der emi-**

**tierten Wellenlängen von der**

**Temperatur** 53.

**Spektrum der Sonne** 11.

**Stickstoff** 98.

**Stickstoffdioxid** 69.

**Strahlenfilter** 6.

**Strahlung fester Körper** 15.

— **der Gase** 28.

**Strahlungsformel** 21.

**Strontium** 104.

**Struktur, chinoide** 70.

**Stufengitter** 7.

**SWANSpektrum.**

**Tautomerie** 74, 77.

**Tellur** 101.

**Temperaturbestimmung, strah-**

**lungstheoretische** 16.

— **durch Spektralphotometrie**

**21.**

- |   |  |  |
|---|--|--|
| <p>Temperaturstrahlung, reine 30.<br/>         Terrestrische Linien des Sauerstoffs 97.<br/>         Thallium 109.<br/>         Thermoskule, lineare 15.<br/>         Thiogruppe 70.<br/>         Thorium 112.<br/>         Titan 102.<br/>         Transmissionsgitter 6.<br/>         Triphenylmethanfarbstoffe 72.<br/>         Ultraviolett durchlässiges Glas 40.<br/>         Umkehrung der Spektrallinien 11.<br/>         Uran 111.</p> | <p>Vakuumröhren 39.<br/>         — Verunreinigungen derselben 40.<br/>         — Temperatur derselben 41.<br/>         Vanadin 102.<br/>         Verschiebungssätze von W. WIEN 19, 20.<br/>         Violursäure 65.<br/>         Wasser, Absorption desselben 97.<br/>         Wasserstoff 97.<br/>         WEHNELT-Unterbrecher 39.<br/>         Wellenlängen gebräuchlicher Lichtarten 4.</p> | <p>Wellenlängen, normale 4.<br/>         Wellenlängenbereich des Spektrums 6.<br/>         Wismuth 111.<br/>         Wolfram 111.<br/>         Xenon 97.<br/>         Ytterbium 107.<br/>         Yttrium 107.<br/>         ZEEMANN-Effekt 56.<br/>         Zerstäuber 31, 32.<br/>         Zink 109.<br/>         Zinn 110.<br/>         Zirkonium 102.</p> |
|---|--|--|

Verlag von Johann Ambrosius Barth in Leipzig.

**Journal für praktische Chemie**, begründet von Erdmann, fortgeführt von Kolbe, herausgegeben von E. v. Meyer. Jährlich 24 Hefen, in 2 Bänden (Bd. 75 und 76 im Jahre 1907). M. 24.—.

Durch Nachdruck der vergriffenen Jahrgänge 1870–75 kann die neue Folge Bd. 76 bis 90 (1876 bis 1891) in einigen wenigen Hefen wieder komplett abgelesen werden.

**AAR, J. J. van, Lehrbuch der mathematischen Chemie.** Mit einer Einleitung von Professor H. W. Bakhuis-Roozeboom. 8°. [IX, 224 S. mit 28 Figuren.] 1901. M. 7.—; geb. M. 8.—.

Hiermit empfehle ich das Buch allen denjenigen, die etwas tiefer in die thermodynamische Behandlung der Gleichgewichtsprobleme eindringen wollen. Mögen darin nach qualitativer Seite bis zu einem gewissen Punkte auch die mathematische Behandlung noch vielerlei Resultate zu gewinnen sein — das Bedürfnis nach tieferem Eindringen nach der quantitativen Seite hin, zumal bei größeren Konzentrationen, macht sich bereits mehrfach bemerkbar, und in dieser Richtung ist nur auf dem in diesem Buche betretenen Wege Aussicht auf bedeutende Erfolge.

**ADENBURG's Handwörterbuch der Chemie.** Unter Mitwirkung von hervorragenden Fachgelehrten herausgegeben. 13 Bände und Generalregister. Mit Holzschnitten und Tafeln. Lex.-8. 1883 bis 1896. M. 220.—; geb. M. 250.—; herabgesetzt auf M. 90.—; in Halbfranz geb. M. 118.—.

**EHMANN, O., Flüssige Kristalle und die Theorien des Lebens.** Vortrag, gehalten in der Hauptversammlung der 78. Versammlung deutscher Naturforscher und Ärzte zu Stuttgart am 21. September 1906, ergänzt durch den Vortrag in der Sitzung der physikalischen Abteilung am 17. September 1906. [75 Seiten mit 30 Illustrationen.] 1906. Kart. M. 1.20.

In den Lehrbüchern der Physik, Chemie und Kristallographie sind bisher höchstens flüchtige Andeutungen gegeben, die Existenz flüssiger Kristalle sei behauptet worden, während Abbildungen und nähere Beschreibung der Erscheinungen vollkommen fehlen. Hierdurch findet die Überraschung, welche den Äußerungen in der Presse zufolge die Vorträge in weiteren Kreisen hervorgerufen haben, ihre Erklärung, und die Herausgabe dieser Schrift dürfte diesem vielfach empfundenen Bedürfnis entgegenkommen. Die beigegebenen 30 Abbildungen werden die vorzüglichen Lichtbilder und Projektionen der Erscheinungen in natura einigermaßen ersetzen.

**DEB, JACQUES, Untersuchungen über künstliche Parthenogenese und das Wesen des Befruchtungsvorganges.** Deutsche Ausgabe unter Mitwirkung des Verf. herausgegeben von Professor Dr. E. Schwalbe in Heidelberg. [VIII, 532 Seiten mit 12 Abbildungen.] 1906. M. 7.50, geb. M. 8.50.

Die hochinteressanten Versuche des Verfassers, Einsicht in das Wesen des Befruchtungsvorganges zu gewinnen, werden hier von ihm selbst dargestellt. Sie zeigen, daß sicher die Eier der Würmer und Molken zur künstlichen Parthenogenese veranlaßt werden, und es scheinen nur noch technische und nicht prinzipielle Schwierigkeiten zu bestehen, wenn irgend eine Grenze für das Gelingen weiterer Versuche besteht.

**MACH, E., Erkenntnis und Irrtum. Skizzen zur Psychologie der Forschung.** 2. Auflage. [XII, 474 S. mit 35 Abbildungen.] 1906. M. 10.—, geb. M. 11.—.

Die Zeit: Was das Buch dem gebildeten Leser wertvoll und unentbehrlich macht, ist vor allem die Tatsache, daß es der typische Repräsentant des modernen naturwissenschaftlichen Denkens ist, das sich nicht innerhalb der Grenzen einer Spezialforschung einstellt, sondern einen Teil jener Domäne übernimmt, die früher ausschließlich von den Philosophen bearbeitet wurde, wie Erkenntnispsychologie, Ethik, Ästhetik, Soziologie. — Machs Werke sind wieder so schön gedruckt, noch in Hieroglyphen geschrieben. Es gibt überall nur große Gesichtspunkte und gerade Wege. Nirgends begegnen wir dem kleinlichen Mönchszirkel der Zunft, der Schadenfreude am Entdecken naturwissenschaftlicher Fehler, der übermütigen Tendenz des Besserwissens oder niedriger Rachsucht wegen ungünstiger Kritik, selbst wo gegenwärtige Meinungen bekämpft werden, geschieht dies mit Ruhe und Noblesse der Gesinnung.

**MACH, E., Populär-wissenschaftliche Vorlesungen.** 3. Aufl. [XII, 403 Seiten mit 30 Abbildungen.] 1903. M. 6.—; geb. M. 6.50.

Naturwissenschaftliche Wochenschrift: Die geistreichen Vorträge des trefflichen Gelehrten gehören zu den Besten, was die Literatur in diesem Genre besitzt. Sie stehen auf derselben Stufe, wie etwa Helmholtz' Vorträge.

**MEYER, Geheimrat Prof. Dr. Ernst von, Aus Justus Liebig's Lehr- und Wanderjahren.** Ein Gedenkblatt zu seinem 100. Geburtstage. [16 Seiten mit Jugendbildnis.] 1903. M. —.60.

**PAULI, Dr. ROBERT, Die Synthese der Azolarbstoffe auf Grund eines symbolischen Systems unter Berücksichtigung der Deutschen Patentschriften Nr. 1–140000 der Klassen 8, 12 und 22, desgleichen anderer Quellen.** [XXVIII, 528 Seiten.] 1904. M. 30.—; geb. M. 32.—.

Das Werk ist mit der Absicht geschrieben, denjenigen, welche sich mit der Synthese von Anilinen beschäftigen wollen, ein wissenschaftlicher und technischer Ratgeber zu sein. Das Werk soll es vor allem ermöglichen, sich über dasjenige in kurzer Zeit zu orientieren, was bis jetzt auf dem Gebiete der Azolarbstofffabrikation erreicht ist.

**Physik. I. zugew. Chemie:** ... es verdient der bewundernswürdige Fleiß, mit dem das umfangreiche Material aus dem von Verf. bevorzugten Gesichtspunkte geordnet wurde, in hohem Maße Anerkennung. ... Das Paulische Werk wird denjenigen, die mit den Azostoffen und ihrer Darstellung schon etwas vertraut sind und sich deshalb vor dem abgelenkten Studium des Paulischen Systems nicht scheuen, insbesondere also für alle Farbsynthetiker, als Nachschlagewerk in dem vom Verf. gedachten Sinne sicherlich nicht ohne Wert und Nutzen sein. Buchverlag.

**PAULI, WOLFGANG, Beziehungen der Kolloidchemie zur Physiologie.** Vorgetragen in der naturwissenschaftlichen Hauptsitzung der 78. Versammlung deutscher Naturforscher und Ärzte in Stuttgart am 20. September 1906. [35 Seiten.] 1906. Kart. M. 1.—.

Der Verfasser beschränkt sich in seinem Vortrag darauf, jene allgemeinen Gesichtspunkte, die sich an Hand der neuesten Beobachtungen gewinnen lassen, sowie Beziehungen, welche bisher weniger Würdigung gefunden haben, darzustellen und von der Aufklärung hypothetischer Erklärungen möglichst absehen. Die von ihm vorgetragenen, sich leicht zu ergänzenden Anwendungen der Kolloidchemie lassen erkennen, daß dieselbe wie kaum ein zweites Mal dem Forscher in ständiger Berührung mit den verschiedenartigsten Problemen der Biologie steht, und daß sie nicht nur die Fundamente der Lebenserscheinungen.



**BERTHELOT, M., Praktische Anleitung zur Ausführung thermochemischer Messungen.** Übersetzt von Professor G. Siebert. 8°. [VIII, 111 Seiten mit 26 Figuren.] 1893. M. 2.—

Die Thermochemie gewinnt von Tag zu Tag eine größere Bedeutung, weil sie das Maß für die bei den chemischen Vorgängen geleistete Arbeit liefert. Eine genaue Beschreibung der Meßmethoden und Instrumente zu kollektivistischen Bestimmungen in der Chemie fehlte noch, und Berthelot hat es verstanden, im vorliegenden Buche ein Spezialwerk zu schaffen, das auch in der fließenden Übersetzung Prof. Sieberts großen Anklang gefunden hat.

**BOLTZMANN, L., Populäre Schriften.** [VII, 440 Seiten.] 1905. M. 10.—; geb. M. 11.—

Die Populären Schriften des zu früh Verstorbenen sind von verschiedenem Inhalt, teils Reden, teils populärwissenschaftliche Vorträge, Abhandlungen mehr philosophischen Inhalts, Rezensionen usw. Die Anschauungen des Verfassers sind immer originell, und deshalb werden seine Populären Schriften nicht nur im Kreise der Fachgenossen sondern weit darüber hinaus Freunde finden.

**EBERT, H., Anleitung zum Glasblasen.** 3., völlig umgearbeitete Auflage. [XII, 120 Seiten mit 68 Abbildungen.] 1904. M. 2.40; geb. M. 3.—

**Chemiker-Zeitung:** Die Erfahrungen, welche der Verfasser sowohl beim Glasblasen wie beim Unterricht gesammelt hat, haben ihn auf den fruchtbaren Gedanken gebracht, die Anleitung zum Glasblasen in die Form eines systematischen, aus fünf Übungsstufen bestehenden Unterrichtskurses zu bringen, welcher alle im Laboratorium gewöhnlich zur Anwendung kommenden Glasbläserarbeiten berücksichtigt. . . . Die Darstellung ist knapp und überaus klar und läßt überall erkennen, daß der Verfasser, welcher es in seiner Wissenschaft zu hohem Ansehen gebracht hat, auch in der Kunst des Glasblasens Meister ist. Wir wünschen dem Werkchen eine weite Verbreitung und sind überzeugt, daß kein Chemiker und Physiker es unbefriedigt aus der Hand legen wird.

**ELBS, KARL, Die Akkumulatoren.** Eine gemeinfaßliche Darlegung ihrer Wirkungsweise, Leistung und Behandlung. 3. Auflage. [48 Seiten mit 3 Figuren.] 1901. M. 1.—

Das Schriftchen gibt eine äußerst klare und gemeinverständliche Erklärung des Prinzips der Akkumulatoren, sowie die Regeln für deren Behandlung und Benutzung. Es wendet sich nicht nur an Chemiker und Physiker, sondern ebenso an Physiologen, Gymnasial- und Mittelschullehrer, Ärzte und Zahnärzte, welche aus Unkenntnis oft schlimme Erfahrungen mit Akkumulatoren machen.

**GIBBS, J. Willard, Elementare Grundlagen der statistischen Mechanik,** entwickelt besonders im Hinblick auf eine rationelle Begründung der Thermodynamik. Deutsch bearbeitet von Ernst Zermelo. [XI, 216 Seiten.] 1905. M. 10.—; geb. M. 11.—

Das letzte Werk des jüngst verstorbenen amerikanischen Physikers wird hiermit dem deutschen Publikum in einer guten Übersetzung geboten. Es ist der erste Versuch, die statistischen und die Wahrscheinlichkeitsbetrachtungen in der Mechanik, wie sie auf verschiedenen Gebieten der Physik, namentlich aber in der kinetischen Gastheorie unentbehrlich sind, unabhängig von ihrem Anwendungsgebiet auf sicherer Grundlage mathematisch streng zu entwickeln.

**Handbuch der Physik.** 3. Auflage. Unter Mitwirkung von zahlreichen Fachgelehrten herausgegeben von Prof. Dr. A. Winkelmann in Jena. Lex. 8°.

Die Erscheinungsfolge der einzelnen Bände ist nicht an die Bandzahl geknüpft. Bisher erschienen:

Band I: Allgemeine Physik. 1. Abteilung. [IV, 544 Seiten mit 164 Abbildungen.] 1906. M. 17.—

Band III: Wärme. Vollständig. [XII, 1180 Seiten mit 206 Abbildungen.] 1906. M. 37.—, geb. M. 39.—

Band IV: Elektrizität und Magnetismus I. Vollständig. [XIV, 1014 Seiten mit 282 Abbildungen.] 1905. M. 32.—, geb. M. 34.—

Band V: Elektrizität und Magnetismus II. 1. Abteilung. [VIII, 515 Seiten mit 215 Abbildungen.] 1905. M. 16.—

Band VI: Optik. Vollständig. [XII, 1004 Seiten mit 388 Abbildungen.] 1906. M. 44.—, geb. M. 46.—

Die noch fehlenden Bände sollen im Jahre 1907 erscheinen.

**Natur und Offenbarung:** Nicht nur in den Reihen der Fachphysiker, sondern auch aller Naturwissenschaftler, welche sich mit den der Physik verwandten Gebieten befassen, wird die Neubearbeitung des Handbuchs der Physik von Winkelmann als eine erfreuliche Tatsache begrüßt werden. Denn seit dem Abschluß, noch mehr aber seit Beginn der Auflage des vierbändigen Werkes wurden nicht nur in einzelnen Disziplinen unwürdige Entdeckungen gemacht, sondern es sind damals vollkommen neue Gebiete unserer Wissenschaft erschlossen worden. Das letztere gilt in besonders hohem Grade von der Elektrizität und es ist deshalb sehr dankenswert, daß gerade der die Lehren von der Elektrizität und dem Magnetismus enthaltende Band zuerst erschien.

**HANTZSCH, A., Grundriß der Stereochemie.** 2., vermehrte und verbesserte Auflage. [VIII, 188 S.] 1904. M. 5.60; geb. M. 6.40.

Trotz vielfacher Erweiterung hat diese 2. Auflage den Charakter eines Grundrisses durchweg gewahrt. Bei dem Streben nach möglicher Konzentration des Inhaltes sind alle Detailangaben vermieden und die Literaturnachweise auf das notwendigste beschränkt worden. Für die Brauchbarkeit des Buches spricht neben dem Erfordernis einer neuen Auflage der Umstand, daß das Buch sowohl eine französische Bearbeitung als auch eine Übersetzung im Englischen und ins Russische gefunden hat.

**HOFFMANN, K., Die radioaktiven Stoffe nach dem gegenwärtigen Stande der wissenschaftlichen Erkenntnisse.** Zweite Aufl. [76 Seiten.] 1904. M. 1.—

**Elektrochemische Zeitschrift:** Wenn es der Verfasser unternommen hat, durch vorliegendes Werk die Kenntnisse von den radioaktiven Stoffen und ihren Wirkungen auch in den Kreisen zu verbreiten, die diesem Gebiete bisher fern gestanden, so hat er sich damit sicherlich eine sehr verdienstvolle Aufgabe gestellt. Das Werk enthält einen eingehenden Überblick über unser gesamtes Wissen von den Erscheinungen der Radioaktivität und zwar in knapper, scharfer Darstellung. Trotz dieser Kürze wird es jedoch auch für denjenigen von Nutzen sein, der sich eingehend über das vorliegende Gebiet unterrichten will, oder der es durch eigene Forschungen weiter ausbauen möchte.

377647

**HANDDUCH**  
DER  
**ANGEWANDTEN PHYSIKALISCHEN CHEMIE**  
IN EINZELDARSTELLUNGEN

UNTER MITWIRKUNG VON

Prof. Dr. R. ABEGG-BRESLAU, Prof. Dr. E. BAUR-BRAUNSCHWEIG, Dr. W. BÖTTGER-LEIPZIG,  
Prof. Dr. G. BRUNI-PARMA, Dr. H. BRUNSWIG-NEU-BABELSBERG, Prof. Dr. E. COHEN-UTRECHT,  
Prof. Dr. C. DOELTER-GRAZ, Prof. Dr. F. DOLEZALEK-GÖTTINGEN, Dr. ALEX. FINDLAY-  
BIRMINGHAM, Prof. Dr. F. FOERSTER-DRESDEN, Prof. Dr. H. GOLDSCHMIDT-KRISTIANIA, Prof. Dr.  
F. HABER-KARLSRUHE, Dr. M. HERSCHKOWITSCH-JENA, Prof. Dr. L. HOLBORN-CHARLOTTEN-  
BURG, Regierungsrat A. v. IHERING-BERLIN, Dr. K. KNÖPFER-SCHLÖSSELBURG, Dr. TH. KOER-  
NER IN SUMATRA UND Dr. A. MÜLLER-FÜRSTENWALDE, Prof. Dr. J. P. KUENEN-DUNDEE, Dr. W.  
LENZ-BERLIN, Prof. Dr. C. UND Dr. FR. LINDE-MÜNCHEN, Prof. Dr. R. LORENZ-ZÜRICH, Prof. Dr.  
W. MEYERHOFFER†-BERLIN, Prof. Dr. V. ROTHMUND-PRAG, Prof. Dr. K. SCHAUM-MARBURG.

HERAUSGEGEBEN

VON

**DR. GEORG BREDIG**

A. O. PROFESSOR AN DER UNIVERSITÄT HEIDELBERG

BAND VI:

**EINFÜHRUNG IN DIE PHASENLEHRE**

VON

**DR. ALEX. FINDLAY**

---

LEIPZIG  
VERLAG VON JOHANN AMBROSIOUS BARTH

1907



**EINFÜHRUNG**  
IN DIE  
**PHASENLEHRE**  
**UND IHRE ANWENDUNGEN**

VON

**DR. ALEX. FINDLAY**  
AN DER UNIVERSITÄT BIRMINGHAM

— — — —

MIT 134 ABBILDUNGEN IM TEXT UND EINER TAFEL

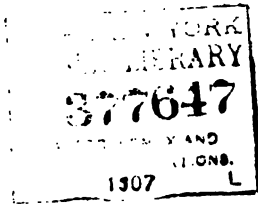
(DEUTSCH VON PROF. G. SIEBERT-WIESBADEN)



LEIPZIG  
VERLAG VON JOHANN AMBROSIOUS BARTH

1907

C. G. B.



# Inhaltsverzeichnis.

## Erstes Kapitel.

|                      |   |
|----------------------|---|
| Einleitung . . . . . | 1 |
|----------------------|---|

Einleitung 1. — Homogenes und heterogenes Gleichgewicht 3. — Wirkliches und scheinbares Gleichgewicht 4.

## Zweites Kapitel.

|                           |   |
|---------------------------|---|
| Die Phasenregel . . . . . | 5 |
|---------------------------|---|

Die Phasenregel 5. — Phasen 6. — Komponenten 7. — Freiheitsgrad. Veränderlichkeit eines Systems 10. — Klassifikation der Systeme nach der Phasenregel 11.

## Drittes Kapitel.

|   |    |
|---|----|
| Typische Systeme aus einer Komponente . . . . . | 13 |
|---|----|

A) Wasser. Gleichgewicht zwischen Flüssigkeit und Dampf, Verdampfungskurve 13. — Obere Grenze der Verdampfungskurve 14. — Sublimationskurve des Eises 15. — Gleichgewicht zwischen Eis und flüssigem Wasser. Schmelzkurve 15. — Gleichgewicht zwischen Eis, Wasser und Dampf. Der dreifache Punkt 17. — Unterkühltes Wasser. Metastabiler Zustand 18. — Andere Systeme der Substanz Wasser 20. — B) Schwefel 31. — Polymorphie 20. — Dreifacher Punkt: rhombischer Schwefel, monokliner Schwefel und Dampf 21. — Kondensierte Systeme 22. — Verzögerte Umwandlung 23. — Umwandlungskurve. Rhombischer und monokliner Schwefel 23. — Dreifacher Punkt: rhombischer Schwefel, monokliner Schwefel, flüssiger Schwefel 23. — Dreifacher Punkt: rhombischer Schwefel, Flüssigkeit, Dampf. Metastabiler dreifacher Punkt 24. — Schmelzkurve des rhombischen Schwefels 24. — Bivalente Systeme 25. — C) Zinn 25. — Umwandlungspunkt 25. — Enantiotropie und Monotropie 27. — D) Phosphor 28. — Enantiotropie und Monotropie 31. — E) Flüssige Kristalle 31. — Beobachtete Erscheinungen 31. — Natur der flüssigen Kristalle 32. — Gleichgewichtsbeziehungen bei den flüssigen Kristallen 32.

## Viertes Kapitel.

|                                |    |
|--------------------------------|----|
| Allgemeine Übersicht . . . . . | 34 |
|--------------------------------|----|

Dreifacher Punkt 34. — Sätze von VAN'T HOFF und von LE CHATELIER 35. — Umwandlungen beim dreifachen Punkt 36. — Dreifacher Punkt Fest—Fest—Dampf 39. — Sublimationskurve und Verdampfungskurve 39. — Schmelzkurve, Umwandlungskurve 41. — Überschreitungen. Metastabile Gleichgewichte 43. — Umwandlungsgeschwindigkeit 44. — Regel der Reaktionsstufen 46.

## Fünftes Kapitel.

|   |    |
|---|----|
| Systeme aus zwei Komponenten. Dissoziationerscheinungen . . . . . | 46 |
|---|----|

Verschiedene Systeme aus zwei Komponenten 46. — Dissoziationerscheinungen. Bivalente Systeme 48. — Univalente Systeme 49. — Ammoniakverbindungen der Metallchloride 50. — Salze mit Kristallwasser 52. — Verwitterung 53. — Unbestimmtheit des Dampfdruckes eines Hydrates 54. — Verzögerte Umwandlung 55. — Grenzen für die Existenz der Hydrate 55. — Konstanz des Dampfdruckes und die Bildung von Verbindungen 55. — Messung des Dampfdruckes von Hydraten 56.

## Sechstes Kapitel.

|                    |    |
|--------------------|----|
| Lösungen . . . . . | 57 |
|--------------------|----|

Definition 57. — Lösungen von Gasen in Flüssigkeiten 58. — Lösungen von Flüssigkeiten in Flüssigkeiten 58. — Partielle oder begrenzte Mischbarkeit 59. — Phenol und Wasser 60. — Methyläthylketon und Wasser 62. — Triäthylamin und Wasser 62. — Allgemeine Form der Konzentrations-Temperaturkurve 63. — Druck-Konzentrationsdiagramm 64. — Vollkommene Mischbarkeit 65. — Druck-Konzentrationsdiagramm 65.



## Siebentes Kapitel.

## Lösungen von festen Körpern in Flüssigkeiten, mit nur einer flüchtigen

## Komponente . . . . . 66

Allgemeines 66. — Die gesättigte Lösung 67. — Form der Löslichkeitskurve 67. — A) Wasserfreies Salz und Wasser. Die Löslichkeitskurve 69. — Verzögerte Umwandlung und Übersättigung 70. — Löslichkeitskurve bei höheren Temperaturen 71. — 1. Vollkommene Mischbarkeit der geschmolzenen Komponenten 71. — Eis als feste Phase 72. — Kryohydrate 73. — Änderungen beim vierfachen Punkt 74. — Kältemischungen 75. — 2. Teilweise Mischbarkeit der geschmolzenen Komponenten 76. — Übersättigung 77. — Druck-Temperaturdiagramm 78. — Dampfdruck des Systems: Fest-Lösung-Dampf 78. — Andere univariante Systeme 79. — Bivariante Systeme 80. — Zerfließlichkeit 81. — Ausscheidung von Salz beim Verdampfen 81. — Zusammenfassung 81.

## Achstes Kapitel.

## Lösungen von festen Substanzen in Flüssigkeiten mit nur einer flüchtigen

## Komponente . . . . . 83

B) Wasserhaltige Salze und Wasser 83. — 1. Die entstehenden Verbindungen besitzen keinen echten Schmelzpunkt. Konzentration-Temperaturdiagramm 83. — Natriumsulfat und Wasser 83. — Entwässerung durch wasserfreies Natriumsulfat 86. — Druck-Temperaturdiagramm 86. — 2. Die entstehenden Verbindungen haben einen echten Schmelzpunkt. Löslichkeitskurve von Calciumchloridhexahydrat 90. — Druck-Temperaturdiagramm 93. — Der indifferente Punkt 93. — Die Ferrichloridhydrate 94. — Verdampfung von Lösungen bei konstanter Temperatur 97. — Uneinegbare Lösungen 97. — Beispiel 98.

## Neuntes Kapitel.

## Gleichgewichte zwischen zwei flüchtigen Komponenten . . . . . 100

Allgemeines 100. — Jod und Chlor 100. — Konzentration-Temperaturdiagramm 100. — Druck-Temperaturdiagramm 102. — Bivariante Systeme 104. — Schwefeldioxyd und Wasser 105. — Druck-Temperaturdiagramm 105. — Bivariante Systeme 107.

## Zehntes Kapitel.

## Feste Lösungen. Mischkristalle . . . . . 109

Allgemeines 109. — Lösung von Gasen in festen Stoffen 110. — Palladium und Wasserstoff 111. — Lösungen von festen Körpern in festen Körpern. Mischkristalle 112. — Bildung von Mischkristallen isomorpher Substanzen 113. — I. Die beiden Komponenten können eine kontinuierliche Reihe von Mischkristallen bilden. a) Die Erstarrungspunkte aller Gemische liegen zwischen den Gefrierpunkten der reinen Komponenten. Beispiele 114. — Schmelzpunktskurve 115. — b) Die Erstarrungskurve geht durch ein Maximum. Beispiel 116. — c) Die Erstarrungskurve geht durch ein Minimum 116. — Beispiel 117. — Fraktionierte Kristallisation der Mischkristalle 117. — II. Die beiden Komponenten bilden nicht eine kontinuierliche Reihe von Mischkristallen. a) Die Erstarrungskurve besitzt einen Umwandlungspunkt 118. — Beispiel 119. — b) Die Erstarrungskurve besitzt einen eutektischen Punkt 119. — Beispiele 119. — Veränderungen in Mischkristallen mit der Temperatur 120.

## Elftes Kapitel.

## Gleichgewicht zwischen dynamischen Isomeren . . . . . 122

Temperatur-Konzentrationsdiagramm 123. — Umwandlung der instabilen in die stabile Form 126. — Beispiele. Benzaldoxime 127. — Acetaldehyd und Paraldehyd 128.

## Zwölftes Kapitel.

## Anwendung der Phasenregel auf das Studium von Systemen aus zwei

## Komponenten . . . . . 129

Übersicht über die verschiedenen Systeme aus zwei Komponenten 129. — 1. Organische Verbindungen 132. — 2. Optisch aktive Substanzen 134. — Beispiele 135. — Umwandlungen 136. — 3. Legierungen 137. — Eisen-Kohlenstofflegierungen 138. — Bestimmung der Zusammensetzung von Verbindungen ohne direkte Analyse 142. — Bildung von Mineralien 144.

## Dreizehntes Kapitel.

|  |     |
|--|-----|
| Systeme aus drei Komponenten . . . . .         | 146 |
| Allgemeines 146. — Graphische Darstellung 146. |     |

## Vierzehntes Kapitel.

|   |     |
|---|-----|
| Lösungen von Flüssigkeiten in Flüssigkeiten . . . . . | 150 |
|---|-----|

1. Die drei Komponenten bilden nur ein Paar partiell mischbarer Flüssigkeiten 150. — Retrograde Löslichkeit 153. — Der Einfluß der Temperatur 154. — 2. Die drei Komponenten können zwei Paare von partiell mischbaren Flüssigkeiten bilden 156. — 3. Die drei Komponenten bilden drei Paare von partiell mischbaren Flüssigkeiten 157.

## Fünfzehntes Kapitel.

|                                     |     |
|-------------------------------------|-----|
| Anwesenheit fester Phasen . . . . . | 159 |
|-------------------------------------|-----|

A) Der ternäre eutektische Punkt 159. — Bildung von Verbindungen 160. — B) Gleichgewichte bei höheren Temperaturen. Bildung von Doppelsalzen 162. — Umwandlungspunkt 162. — Dampfdruck. Fünffacher Punkt 164. — Löslichkeitskurven beim Umwandlungspunkt 166. — Zersetzung des Doppelsalzes durch Wasser 167. — Übergangsintervall 170. — Rückblick 170.

## Sechzehntes Kapitel.

|   |     |
|---|-----|
| Isothermen und das räumliche Modell . . . . . | 171 |
|---|-----|

Nichtbildung von Doppelsalzen 171. — Bildung eines Doppelsalzes 172. — Umwandlungsintervall 174. — Isothermische Eindampfung 174. — Kristallisation von Doppelsalz aus Lösungen, die eine Komponente im Überschuß enthalten 176. — Bildung von Mischkristallen 177. — Anwendung auf die Charakterisierung von Racematen 177. — Darstellung im Raum. Räumliches Modell für Carnallit 178. — Übersicht und numerische Daten 180. — Ferrichlorid-Chlorwasserstoff-Wasser 182. — Ternäre Systeme 183. — Die isothermischen Kurven 185. — Basische Salze 187. — Wismutnitrate 188. — Basische Quecksilbersalze 190. — Indirekte Bestimmung der Zusammensetzung der festen Phase 191.

## Siebzehntes Kapitel.

|   |     |
|---|-----|
| Abwesenheit einer flüssigen Phase . . . . . | 193 |
|---|-----|

Eisen, Kohlenoxyd und Kohlendioxyd 193.

## Achzehntes Kapitel.

|  |     |
|--|-----|
| Systeme aus vier Komponenten . . . . . | 198 |
|--|-----|

Reziproke Salzpaare. Wahl der Komponenten 198. — Umwandlungspunkt 199. — Bildung von Doppelsalzen 200. — Umwandlungsintervalle 200. — Graphische Darstellung 200. — Beispiel 201. — Ammoniaksodaprozeß 203. — Darstellung von Bariumnitrit 207. — Bariumkarbonat und Kaliumsulfat 208.

## Anhang.

|  |     |
|--|-----|
| Experimentelle Bestimmung des Umwandlungspunktes . . . . . | 211 |
|--|-----|

I. Die dilatometrische Methode 211. — II. Messung des Dampfdruckes 213. — III. Löslichkeitsmessungen 214. — IV. Thermometrische Methode 215. — V. Optische Methode 216. — VI. Elektrische Methoden 216.

|                            |     |
|----------------------------|-----|
| Namenverzeichnis . . . . . | 219 |
| Sachverzeichnis . . . . .  | 221 |





## Erstes Kapitel.

### Einleitung.

**Einleitung.** — Bevor wir zu der mehr systematischen Behandlung der Phasenlehre schreiten, wird es sich empfehlen, eine kurze Charakterisierung des Gegenstandes, mit dem wir uns beschäftigen wollen, vorzuschicken, damit wir eine Vorstellung davon bekommen, was die Phasenregel ist, welche Probleme sie uns zu lösen gestattet und welches die Grenzen sind, innerhalb deren sie Anwendung findet.

Es ist seit langer Zeit bekannt, daß, wenn Wasser in einen geschlossenen luftleeren Raum gebracht wird, Dampf abgegeben und in dem Gefäß ein gewisser Druck erzeugt wird. Wenn z. B. Wasser in die TORRICELLISCHE Leere des Barometers gebracht wird, so wird das Quecksilber herabgedrückt, und zwar um so stärker, je höher die Temperatur ist. Allein wenn auch der Dampfdruck bei steigender Temperatur zunimmt, so ist doch sein Wert bei jeder gegebenen Temperatur konstant, einerlei ob die Menge des anwesenden Wassers oder das Volum des Dampfes groß oder klein ist. Wenn der Druck, unter dem sich der Dampf befindet, bei konstanter Temperatur geändert wird, so verschwindet schließlich entweder das Wasser oder der Dampf, das erstere durch Verdampfung, der letztere durch Verflüssigung. Daher können Wasser und Dampf bei einer gegebenen Temperatur nur dann dauernd in Berührung miteinander existieren oder, wie man zu sagen pflegt, miteinander im Gleichgewicht sein, wenn der Druck einen bestimmten Wert hat. Dasselbe Gesetz der Konstanz des Dampfdruckes bei gegebener Temperatur ohne Rücksicht auf die Volume der Flüssigkeit und des Dampfes<sup>1)</sup> gilt auch für Alkohol, Äther, Benzol und andere reine Flüssigkeiten. Es ist daher eine naheliegende Frage, ob das Gesetz für alle Flüssigkeiten, ob es z. B. auch für Lösungen gilt.

Um die Antwort auf diese Frage zu bekommen, können wir das Verhalten einer Lösung, z. B. einer Lösung von Kochsalz in Wasser studieren, welches sie in der TORRICELLISCHEN Leere zeigt. Auch in diesem Falle hat man beobachtet, daß der Dampfdruck bei steigender Temperatur zunimmt, aber der Druck ist jetzt nicht vom Volum unabhängig. Wenn das Volum zunimmt, nimmt der Druck langsam ab. Wenn aber festes Salz in Berührung mit der Lösung anwesend ist, so wird der Druck bei konstanter Temperatur wieder konstant, auch wenn das Volum des Dampfes geändert wird. Lösungen verhalten sich also, wie wir sehen, nicht ebenso wie reine Flüssigkeiten.

Ferner, wenn man die Temperatur des Wassers erniedrigt, so wird ein Punkt erreicht, bei welchem sich Eis auszuscheiden beginnt, und wenn jetzt dem System Wärme zugeführt oder entzogen wird, so tritt in der Temperatur oder dem Dampf-

<sup>1)</sup> Ausgenommen wenn das Volum der Flüssigkeit sehr klein ist; in diesem Falle übt die Oberflächenspannung einen Einfluß auf den Dampfdruck aus.

druck des Systems nicht eher eine Änderung ein, als bis entweder das das Wasser verschwunden ist<sup>1)</sup>. Eis, Wasser und Dampf können daher zusammen nur bei einer bestimmten Temperatur und bei einem bestimmten Druck im Gleichgewicht miteinander sein.

In einer Kochsalzlösung dagegen kann Eis bei verschiedenen Temperaturen und Drucken mit der Lösung in Berührung sein. Ferner kann eine Lösung nur mit dem wasserfreien Salz ( $\text{NaCl}$ ), sondern auch mit dem wasserhaltigen Salz ( $\text{NaCl}, 2\text{H}_2\text{O}$ ), ebenso mit Eis im Gleichgewicht sein, und es entsteht die Frage: Ist es möglich, in allgemeiner Weise die Bedingungen anzugeben, unter denen derartige verschiedene Systeme im Gleichgewicht existieren oder einen Einblick in die Beziehungen zu erhalten, die zwischen reinen Körpern und Lösungen herrschen? Wie wir sehen werden, setzt uns die Natur in der Regel in den Stand, diese Frage zu beantworten.

Die vorhergehenden Beispiele gehören zu der Klasse der sogenannten „physikalischen“ Gleichgewichte oder der Gleichgewichte, die von dem physikalischen Zustande abhängen. Aber vor mehr als hundert Jahren hat WENZEL und BERTHOLLET nachgewiesen, daß auch „chemische“ Gleichgewichte existieren können, daß chemische Reaktionen nicht immer vollständig ablaufen, sondern daß die Reaktion aufhört und ein Gleichgewichtszustand zwischen den reagierenden Substanzen und den Produkten der Reaktion eintritt, wenn die ursprünglichen Substanzen vollständig verbraucht sind. Als Beispiel für einen solchen Vorgang des Kalkbrennens dienen, der darin besteht, daß Calciumcarbonat beim Erhitzen Kohlendioxyd abgibt und in Calciumoxyd (gebrannten Kalk) verwandelt wird. Wenn aber das Karbonat in einem geschlossenen Gefäß erhitzt wird, zeigt sich, daß es nicht vollständig zersetzt wird. Wenn der Druck des Kohlendioxyds einen gewissen Wert erreicht hat (der von der Temperatur abhängt), hört die Zersetzung auf und Calciumkarbonat existiert in Berührung mit Calciumoxyd und Kohlendioxyd. Daher ist für jede gegebene Temperatur der Druck konstant und unabhängig von der Menge des anwesenden Karbonats oder des Kohlendioxyds sowie vom Volumen des Gases; auch die Hinzufügung eines der Dissoziationsprodukte, Kohlendioxyd oder Calciumoxyd, bewirkt keine Änderung des Gleichgewichtes. Obgleich also drei verschiedene Substanzen anwesend sind und obgleich das Gleichgewicht nicht von einer physikalischen, sondern von einer chemischen Umwandlung herrührt, so befolgt es doch das Gesetz wie der Dampfdruck einer reinen flüchtigen Flüssigkeit wie z. B. Wasser.

Man könnte nun denken, daß andere Substanzen, die eine Dissoziation erleiden, z. B. Ammoniumchlorid, dasselbe Verhalten zeigen müßten. Wenn eine Substanz erhitzt wird, so zerfällt sie in Ammoniak und Chlorwasserstoff. Wenn bei jeder gegebenen Temperatur der Druck konstant ist in Gegenwart von festem Ammoniumchlorid, so ist der Druck dieser Gase konstant<sup>2)</sup> und unabhängig von den anwesenden Mengen des festen Körpers und des Gases. Soweit verhält sich also das Ammoniumchlorid ebenso wie das Calciumkarbonat. Wenn dagegen eins der Dissoziationsprodukte zu dem System hinzugefügt wird, so ist der Druck bei einer gegebenen Temperatur nicht mehr konstant, sondern er ändert sich mit der Menge des hinzugefügten Gases, Ammoniak oder Chlorwasserstoff. Bei gewissen Substanzen, die eine Dissoziation erleiden, wird also durch Hinzufügung eines der Dissoziationsprodukte das Gleichgewicht geändert, bei anderen dagegen nicht. Mit Hilfe dieser Beobachtung läßt sich eine allgemeine Interpretation dieser Verschiedenheit des Verhaltens angeben, und zwar eine Interpretation, die nicht nur auf die beiden erwähnten Fälle, sondern auf alle Fälle von Dissoziation anwendbar ist.

<sup>1)</sup> Aus später (4. Kap.) anzuführenden Gründen wird angenommen, daß das Dampfgewicht im Vergleich mit dem Volumen des festen und flüssigen Körpers groß ist.

<sup>2)</sup> RAMSAY u. YOUNG, Phil. Trans. 1886, 177, 87.



Der Schwefel existiert bekanntlich in zwei verschiedenen kristallinen Formen, einer rhombischen und einer monoklinen, die bei verschiedenen Temperaturen schmelzen. Daher ist in diesem Falle das Problem verwickelter als beim Eis, da hier die Möglichkeit vorliegt, daß nicht nur eine, sondern daß zwei verschiedene feste Formen derselben Substanz in Berührung mit der Flüssigkeit sind. Welches sind die Bedingungen, unter denen diese beiden Formen, jede für sich allein oder beide zugleich in Berührung mit der Flüssigkeit existieren können, und unter welchen Bedingungen können die beiden festen Formen ohne Anwesenheit von flüssigem Schwefel zusammen existieren? Auch diese Frage läßt sich mit Hilfe der Phasenregel beantworten.

Dies sind jedoch verhältnismäßig einfache Fälle. Wenn wir aber z. B. die Bedingungen studieren, unter denen Lösungen entstehen, und namentlich, wenn wir die Löslichkeitsverhältnisse von Salzen studieren, die vielleicht fähig sind, eine Reihe von kristallinen Hydraten zu bilden, oder wenn wir die Bedingungen zu ermitteln suchen, unter denen diese verschiedenen Formen in Berührung mit der Lösung existieren können, so wird das Problem verwickelter, und es macht sich das Bedürfnis nach einem allgemeinen Führer für die Aufklärung des Verhaltens dieser verschiedenen Systeme in höherem Grade geltend.

Das Studium physikalischer und chemischer Gleichgewichte wie die erwähnten sind es nun, bei denen die Phasenregel Anwendung findet, ebenso das Studium der Bedingungen, von denen z. B. die Bildung von Legierungen aus Gemischen geschmolzener Metalle oder die Bildung der verschiedenen Salze des Staßfurter Lagers, das Verhalten von Eisen und Kohlenstoff bei der Bildung von Stahl und die Ausscheidung verschiedener Mineralien aus einer geschmolzenen Gesteinsmasse abhängt. Mit Hilfe der Phasenregel können wir die große Zahl verschiedener isolierter Gleichgewichtssysteme zu Klassen gruppieren, mit ihrer Hilfe können wir, wenigstens im allgemeinen, die Bedingungen aufstellen, unter denen ein System im Gleichgewicht sein kann, und mit ihrer Hilfe können wir einen Einblick in die Beziehungen bekommen, die zwischen verschiedenen Arten von Systemen existieren.

**Homogenes und heterogenes Gleichgewicht.** — Bevor wir zur allgemeinen Betrachtung des Gegenstandes übergehen, wird es zweckmäßig sein, den Gegenstand näher abzugrenzen und einige Einschränkungen zu erwähnen, denen die Behandlung des Gegenstandes unterworfen sein muß.

Wenn ein System in seiner ganzen Ausdehnung gleichförmig ist und in jedem Teil dieselben physikalischen Eigenschaften und dieselbe chemische Zusammensetzung besitzt, so heißt es homogen. Ein solches System ist z. B. eine Lösung von Natriumchlorid in Wasser. Ein Gleichgewicht, welches in einem solchen homogenen System eintritt (z. B. das Gleichgewicht bei der Bildung eines Esters in alkoholischer Lösung) wird homogenes Gleichgewicht genannt. Wenn dagegen das System aus Teilen besteht, die verschiedene physikalische Eigenschaften, vielleicht auch verschiedene chemische Eigenschaften besitzen und die durch Grenzflächen voneinander getrennt sind, so heißt das System heterogen. Ein solches System ist das von Eis, Wasser und Dampf gebildete, in welchem die drei Teile des Systems selbst homogen sind, aber mechanisch voneinander getrennt werden können. Das Gleichgewicht zwischen physikalisch verschiedenen Teilen wird heterogenes Gleichgewicht genannt. Mit diesen heterogenen Gleichgewichten und den Bedingungen, unter denen sie existieren können, werden wir uns im folgenden beschäftigen.

Nicht berücksichtigen werden wir ferner Gleichgewichtsänderungen, die durch elektrische, magnetische oder kapillare Kräfte oder durch die Schwere verursacht werden. Wir werden uns nur mit denjenigen beschäftigen, die durch Änderung des Druckes, der Temperatur und des Volums (oder der Konzentration) bewirkt werden.



**Wirkliches und scheinbares Gleichgewicht.** — Bei der Diskussion der Gleichgewichte muß auch ein Unterschied zwischen wirklichen und scheinbaren Gleichgewichten gemacht werden. Im ersteren Falle existiert ein Ruhezustand, der sich mit der Änderung der Bedingungen (z. B. der Temperatur oder des Druckes) kontinuierlich ändert, und für den ein Hauptkennzeichen darin besteht, daß derselbe Gleichgewichtszustand erreicht wird, einerlei von welcher Seite her man sich ihm nähert. So entspricht z. B. bei einer Lösung derselben Temperatur immer dieselbe Konzentration, einerlei ob man von einer ungesättigten Lösung ausgeht und mehr feste Substanz hinzufügt oder von einer übersättigten Lösung, aus der man feste Substanz auskristallisieren läßt. Ebenso erreicht man bei Wasser in Berührung mit Dampf denselben Dampfdruck, einerlei ob das Wasser auf eine bestimmte Temperatur erwärmt oder von einer höheren Temperatur abgekühlt wird. In diesem Falle befinden sich Wasser und Dampf in wirklichem Gleichgewicht. Wasser in Berührung mit Wasserstoff und Sauerstoff bei gewöhnlicher Temperatur ist dagegen nur ein Fall von scheinbarem Gleichgewicht. Wenn der Druck und die Temperatur innerhalb gewisser Grenzen kontinuierlich geändert werden, so wird keine kontinuierliche Änderung in den relativen Mengen der beiden Gase beobachtet. Wenn über diese Grenzen hinaus erhitzt wird, so tritt eine plötzliche und nicht eine kontinuierliche Änderung ein, und das System nimmt nicht wieder seinen ursprünglichen Zustand an, wenn es auf die gewöhnliche Temperatur abgekühlt wird. In allen derartigen Fällen kann angenommen werden, daß das System zwar doch eine Änderung erleidet und einem wahren oder wirklichen Gleichgewichtszustand zustrebt, aber so langsam, daß eine Änderung nicht beobachtet wird.

Wasser in Berührung mit Wasserstoff und Sauerstoff ist zwar ein extremer Fall, aber man muß bedenken, daß der Zustand des wahren Gleichgewichts unter Umständen nicht momentan, ja selbst nicht mit meßbarer Geschwindigkeit erreicht wird, und man muß sich in allen Fällen hüten, scheinbares (oder falsches) Gleichgewicht für wirkliches (oder wahres) zu halten. Wie wichtig dies ist, wird sich im folgenden zeigen.

---

## Zweites Kapitel.

### Die Phasenregel.

Die Tatsache, daß chemische Reaktionen nicht vollständig in einer Richtung verlaufen, sondern nur bis zu einem gewissen Punkt fortschreiten und dann aufhören, war bereits im letzten Viertel des achtzehnten Jahrhunderts bekannt (WENZEL 1777, BERTHOLLET 1799), und am Anfang und in den folgenden Jahrzehnten des neunzehnten Jahrhunderts wurden zahlreiche weitere Beispiele solcher Gleichgewichte bekannt. Trotzdem wurde erst im letzten Viertel des neunzehnten Jahrhunderts, und zwar von WILLARD GIBBS<sup>1)</sup> ein Satz aufgestellt, der einer allgemeinen Anwendung fähig und in einer Weise begründet ist, die unabhängig von irgend welcher hypothetischen Annahme über die Natur oder die Konstitution der Materie ist. Er bildet einerseits eine goldene Regel, nach welcher der Gleichgewichtszustand eines Systems geprüft werden kann, und dient andererseits als Führer für die Erklärung von Ähnlichkeiten und Unähnlichkeiten von verschiedenen Systemen.

Es waren zwar schon vor dieser Zeit Versuche gemacht worden, die verschiedenen bekannten Fälle von — chemischen und physikalischen — Gleichgewichten unter allgemeine Gesetze zu bringen. Bereits WENZEL<sup>2)</sup> und BERTHOLLET<sup>3)</sup> erkannten den Einfluß, den die Masse der Substanzen auf das Gleichgewicht des Systems ausübt. Die Periode des quantitativen Studiums begann jedoch erst mit der Aufstellung und der mathematischen Behandlung des Gesetzes der Massenwirkung durch GULDBERG und WAAGE<sup>4)</sup>. Nach dem von diesen Forschern ausgesprochenen Gesetz ließen sich die Gleichgewichtsbedingungen in vielen Fällen homogener und, mit Hilfe gewisser Annahmen und Zusätze, auch heterogener Gleichgewichte in befriedigender Weise zusammenfassen. Da jedoch das Gesetz der Massenwirkung auf Grund der kinetischen Theorie und der Molekulartheorie entwickelt war und infolgedessen gewisse hypothetische Annahmen über die Natur und den Zustand der am Gleichgewicht beteiligten Substanzen in sich schloß, so mußte es versagen, wenn es auf Systeme angewandt wurde, in denen weder die Anzahl der verschiedenen molekularen Aggregate, noch der Grad der molekularen Komplexität bekannt war.

**Die Phasenregel.** — Zehn Jahre nachdem GULDBERG und WAAGE das Gesetz der Massenwirkung aufgestellt hatten, zeigte WILLARD GIBBS<sup>5)</sup>, Professor der Physik an der Yale-Universität, wie sich alle Fälle von Gleichgewicht ganz

<sup>1)</sup> Trans. Connecticut Acad. 1874—1878.

<sup>2)</sup> Lehre von der chemischen Verwandtschaft der Körper, 1777.

<sup>3)</sup> OSTWALDS Klassiker, Nr. 74.

<sup>4)</sup> Etudes sur les affinités chimiques, 1867; OSTWALDS Klassiker, Nr. 104.

<sup>5)</sup> Gest. im April 1903.



allgemein und ohne jede hypothetische Annahme über den molekularen Zustand der beteiligten Substanzen übersehen und gruppieren lassen, und wie sich Ähnlichkeiten im Verhalten von anscheinend verschiedenen Arten von Systemen und Verschiedenheiten in anscheinend ähnlichen Systemen erklären lassen.

GIBBS begründete seine Gleichgewichtstheorie auf die Gesetze der Thermodynamik, eine Art der Behandlung, die zuerst von HORSFMAN<sup>1)</sup> auf chemische Systeme angewandt worden war. Bei der Ableitung des Gleichgewichtsgesetzes nahm GIBBS zunächst an, daß ein System nur drei unabhängig veränderliche Faktoren<sup>2)</sup> — Temperatur, Druck und die Konzentration der Komponenten des Systems — besitze, und er sprach den jetzt unter dem Namen Phasenregel bekannten Satz aus, durch den er die Gleichgewichtsbedingungen als eine Beziehung zwischen der Anzahl der sogenannten Phasen und der sogenannten Komponenten des Systems definierte.

**Phasen.** — Bevor wir weiter fortschreiten, müssen wir uns die genaue Bedeutung der Bezeichnungen Phase und Komponente klar machen. Ein heterogenes System besteht, wie wir gesehen haben (S. 3) aus verschiedenen Teilen, von denen jeder in sich selbst homogen, aber räumlich begrenzt und von den anderen Teilen durch Grenzflächen getrennt ist. Diese homogenen, physikalisch verschiedenen und mechanisch trennbaren Teile werden als Phasen bezeichnet. So sind z. B. Eis, Wasser und Dampf die Phasen derselben chemischen Substanz Wasser. Eine Phase muß zwar physikalisch und chemisch homogen sein, aber sie braucht nicht notwendigerweise chemisch einfach zu sein. So kann ein Gasgemisch oder eine Lösung eine Phase bilden, dagegen bildet ein homogenes Gemisch fester Substanzen ebensoviel Phasen als verschiedene Substanzen in ihm enthalten sind. Bei der Dissoziation von Calciumkarbonat z. B. entsteht Calciumoxyd und Kohlendioxyd. Dann sind zwei feste Phasen, Calciumkarbonat und Calciumoxyd, vorhanden und eine gasförmige, Kohlendioxyd.

Die Anzahl der Phasen, welche nebeneinander existieren können, kann bei verschiedenen Substanzen sehr verschieden sein. Dagegen kann in allen Fällen nur eine gasförmige oder dampfförmige Phase vorhanden sein, weil alle Gase in jedem beliebigen Verhältnis mischbar sind. Die Anzahl der flüssigen und festen Phasen ist unbegrenzt, da sie die genannte Eigenschaft nicht besitzen. Die Anzahl der Phasen, die von einer gegebenen Substanz oder einer Gruppe von Substanzen gebildet werden können, ist also sehr verschieden und nimmt im allgemeinen mit der Anzahl der beteiligten Substanzen zu. Selbst bei einer einzigen Substanz kann die Anzahl eine beträchtliche sein. So kennt man vom Schwefel mindestens acht verschiedene feste Phasen (3. Kap.).

Es ist von Wichtigkeit, sich daran zu erinnern, daß das von uns zu betrachtende, sogenannte „vollständige“ Gleichgewicht unabhängig von den Mengen der anwesenden Phasen sein soll<sup>3)</sup>. Es ist z. B. eine bekannte Tatsache, daß der Druck eines Dampfes in Berührung mit einer Flüssigkeit (d. h. der Druck eines gesättigten Dampfes) weder von den relativen noch von den absoluten Mengen der Flüssigkeit und des Dampfes beeinflusst wird. Auch die Menge einer von einer Flüssigkeit gelösten Substanz ist unabhängig von der Menge der festen Sub-

<sup>1)</sup> LIEBIGS Annalen, 1873, 170, 192; OSTWALDS Lehrbuch, II, 2, 111.

<sup>2)</sup> Die Wirkung der Schwere und anderer Kräfte sind bei dieser vereinfachten und genügenden Behandlung ausgeschlossen (s. S. 3).

<sup>3)</sup> Dies widerspricht anscheinend dem, was auf S. 2 über die Hinzufügung von Ammoniak oder Chlorwasserstoff zu dem aus festem Ammoniumchlorid in Berührung mit den Dissoziationsprodukten bestehenden System gesagt worden ist. Es ist jedoch kein Widerspruch vorhanden, da beim Ammoniumchlorid die gasförmige Phase aus Ammoniak und Chlorwasserstoff in gleichen Teilen besteht. Wenn wir also nur Ammoniak oder Chlorwasserstoff hinzufügen, so fügen wir nicht die gasförmige Phase, sondern nur einen Bestandteil derselben hinzu. Ein Hinzufügen von Ammoniak und Chlorwasserstoff zusammen in dem Verhältnis wie sie sich zu Ammoniumchlorid vereinigen, würde keine Änderung des Gleichgewichtes zur Folge haben.



stanz, die mit der Lösung in Berührung ist. Abweichungen von diesem allgemeinen Gesetz kommen allerdings vor, wenn die Menge der Flüssigkeiten oder die Größe der festen Teilchen über eine gewisse Grenze<sup>1)</sup> hinaus verkleinert wird. In diesem Falle macht sich der Einfluß der Oberflächenspannung als Einfluß der „Korngröße“ auf die Löslichkeit und auf ähnliche Gleichgewichte bemerkbar, allein derartige Fälle haben wir bereits (S. 3) von unserer Betrachtung ausgeschlossen.

**Komponenten.** — Der Begriff der Phasen ist leicht zu verstehen. Etwas mehr Schwierigkeit bietet das richtige Verständnis der Bezeichnung Komponente. Die Komponenten eines Systems sind nämlich nicht gleichbedeutend mit den anwesenden chemischen Elementen oder Verbindungen, d. h. mit den Bestandteilen des Systems, obwohl beide, Elemente und Verbindungen, Komponenten sein können. Unter Komponenten sind nur diejenigen Bestandteile zu verstehen, deren Konzentration in den verschiedenen Phasen eine unabhängige Änderung erleiden kann, und nur mit diesen haben wir es hier zu tun<sup>2)</sup>.

Um die Bedeutung dieser Bezeichnung zu verstehen, wollen wir kurz einige Fälle betrachten, mit denen der Leser wohl bekannt ist, und es muß von vornherein hervorgehoben werden, daß sich die Phasenregel nur auf diejenigen Bestandteile bezieht, die an dem Zustand des wirklichen Gleichgewichtes beteiligt sind (S. 4), denn die Phasenregel findet nur auf den Endzustand Anwendung, nicht aber auf die Prozesse, durch die er erreicht wird.

Wir wollen jetzt das System Wasser-Dampf oder das System Eis-Wasser-Dampf betrachten. Die Anzahl der Bestandteile, welche am Gleichgewicht beteiligt sind, ist in diesem Falle nur eins. Dieser Bestandteil ist die chemische Substanz Wasser. Wasserstoff und Sauerstoff, die Bestandteile des Wassers, dürfen nicht als Komponenten betrachtet werden, erstens weil sie in dem System nicht im Zustande des wirklichen Gleichgewichtes (S. 4) anwesend sind, und zweitens, weil sie nach bestimmten Gewichtsmengen zu Wasser verbunden sind und infolgedessen ihre Mengen nicht unabhängig voneinander geändert werden können. Eine Änderung der Menge des Wasserstoffs hat notwendigerweise eine bestimmte Änderung der Menge des Sauerstoffs zur Folge.

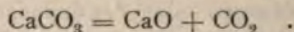
In dem bereits erwähnten Falle, daß bei gewöhnlicher Temperatur neben Wasser Wasserstoff und Sauerstoff anwesend sind, haben wir es nicht mit einem Zustand wahren Gleichgewichtes zu tun. Wenn aber die Temperatur bis auf einen gewissen Punkt erhöht wird, so ist ein Zustand wahren Gleichgewichtes zwischen Wasserstoff, Sauerstoff und Wasserdampf möglich. In diesem Falle sind Wasserstoff und Sauerstoff Komponenten, weil sie jetzt am Gleichgewicht beteiligt sind. Auch brauchen sie jetzt nicht mehr in einem bestimmten Verhältnis anwesend zu sein, sondern es kann ein Überschuß des einen oder des anderen hinzugefügt werden. Wenn allerdings willkürlich die Einschränkung gemacht wird, daß der freie Wasserstoff und der freie Sauerstoff immer, und zwar nur in dem Verhältnis anwesend sein sollen, in welchem sie sich zu Wasser vereinigen, dann ist, wie vorher, nur eine Komponente, Wasser, vorhanden. Hieraus ersehen wir also, daß eine Änderung der Versuchsbedingungen (in dem vorliegenden Falle eine Temperaturerhöhung) eine Änderung der Anzahl der Komponenten notwendig machen kann.

Eine Schwierigkeit wird sich jedoch nur bei Systemen von mehr als einer Komponente bieten, da nur in diesem Falle eine Wahl zwischen Komponenten möglich ist. Als Beispiel möge die Dissoziation des Calciumkarbonates in Calcium-

<sup>1)</sup> Der Dampfdruck des Wassers in kleinen Tropfen ist größer als der des Wassers in Masse, und die Löslichkeit eines festen Körpers ist größer, wenn er ein feines Pulver, als wenn er große Stücke bildet (vgl. HULETT, Zeitschr. phys. Chem. 1901, 37, 385).

<sup>2)</sup> Siehe OSTWALD, Lehrbuch, II, 2, 476, 934; ROOZEBOOM, Zeitschr. phys. Chem. 1894, 15, 150; die heterogenen Gleichgewichte, I, 16; WEGSCHEIDER, Zeitschr. phys. Chem. 1903, 43, 89.

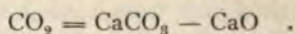
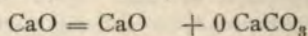
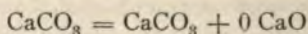
oxyd und Kohlendioxyd dienen. Bei jeder Temperatur existiert, wie wir gesehen haben, ein bestimmter Gleichgewichtszustand. Wenn das Gleichgewicht eingetreten ist, so sind drei verschiedene Substanzen anwesend, Calciumkarbonat, Calciumoxyd und Kohlendioxyd, und dies sind die Bestandteile des Systems, die unter sich im Gleichgewicht sind. Obgleich nun diese Bestandteile am Gleichgewicht beteiligt sind, sind sie doch nicht alle als Komponenten zu betrachten, da sie nicht voneinander unabhängig sind. Im Gegenteil, die Phasen stehen untereinander in einem gewissen Zusammenhang, und wenn zwei derselben angenommen sind, so ist die dritte bestimmt durch die Gleichung



Bei der Bestimmung der Anzahl der Komponenten in einem gegebenen System muß also nicht nur darauf geachtet werden, daß die gewählten Bestandteile einer unabhängigen Änderung fähig sind, sondern es muß noch auf eine andere Einschränkung Rücksicht genommen werden, und wir erhalten die folgende Regel: Als Komponenten eines Systems muß die **kleinste Anzahl** von unabhängig veränderlichen Bestandteilen gewählt werden, durch welche die Zusammensetzung jeder an dem Gleichgewichtszustand beteiligten Phase in Form einer chemischen Gleichung ausgedrückt werden kann.

Wenn wir diese Regel auf den vorliegenden Fall anwenden, so sehen wir, daß von den drei Bestandteilen, die anwesend sind, wenn das System im Gleichgewicht ist, wie gesagt, nur zwei unabhängig veränderlich sind. Man wird ferner sehen, daß zwei dieser Bestandteile notwendig sind, um die Zusammensetzung jeder anwesenden Phase ausdrücken zu können. Das System besteht also aus zwei Komponenten oder es ist ein System der zweiten Ordnung.

Wenn wir nun zur Wahl der Komponenten schreiten, so können wir natürlich jedes beliebige Paar von Bestandteilen wählen. Wählen wir z. B. als Komponenten  $\text{CaCO}_3$  und  $\text{CaO}$ , so läßt sich die Zusammensetzung der einzelnen Phasen durch die folgenden Gleichungen ausdrücken:



Man hat also, wie aus diesen Gleichungen zu ersehen ist, auch die Menge Null und negative Mengen der Komponenten eingeführt, und ähnliche Ausdrücke würde man erhalten, wenn man  $\text{CaCO}_3$  und  $\text{CO}_2$  als Komponenten wählte. Die Sache wird jedoch vereinfacht und der Gebrauch negativer Mengen wird vermieden, wenn man  $\text{CaO}$  und  $\text{CO}_2$  wählt. Daher werden gewöhnlich diese beiden Verbindungen als Komponenten gewählt.

Bei Systemen der zweiten Ordnung können die beiden Komponenten so gewählt werden, daß sich die Zusammensetzung einer jeden Phase durch positive Mengen derselben ausdrücken läßt. Dagegen ist bei Systemen höherer Ordnung (die drei oder vier Komponenten enthalten) eine derartige Wahl nicht immer möglich.

Nach dem soeben diskutierten Beispiel könnte es scheinen, als ob die Wahl der Komponenten ziemlich willkürlich sei. Bei näherer Prüfung wird man jedoch bemerken, daß die Willkür nur die Natur, nicht die Anzahl der Komponenten betrifft. Man hat die Wahl, welche, nicht aber, wieviel Bestandteile man als Komponenten betrachten will. Wie wir sogleich sehen werden, ist aber nur die Anzahl, nicht die Natur der Komponenten von Bedeutung.

Nachdem wir die Bedingungen diskutiert haben, denen die als Komponenten gewählten Verbindungen genügen müssen, mag eine andere Methode beschrieben werden, durch die sich die Anzahl der in einem System vorhandenen Komponenten ermitteln läßt. Wir wollen annehmen, ein System bestehe aus mehreren Phasen im Gleichgewicht, und die Zusammensetzung jeder einzelnen Phase sei durch Analyse ermittelt. Wenn jede anwesende Phase, als Ganzes betrachtet, dieselbe Zusammensetzung hat, so enthält das System nur eine Komponente oder es ist ein System der ersten Ordnung. Wenn zwei Phasen in geeigneter Menge gemischt werden müssen, damit die Zusammensetzung einer dritten Phase erhalten wird, so ist das System ein solches aus zwei Komponenten oder ein System der zweiten Ordnung, und wenn drei Phasen erforderlich sind, um die Zusammensetzung einer vierten koexistierenden Phase zu bestimmen, so ist das System ein solches aus drei Komponenten oder ein System der dritten Ordnung<sup>1)</sup>.

Die Anwendung der gegebenen Regeln wird zwar durch die im folgenden zu betrachtenden Beispiele hinreichend erläutert werden, aber es ist doch vielleicht zweckmäßig, einen Fall zu diskutieren, um zu zeigen, in welcher Weise die angegebene Methode zur Bestimmung der Anzahl der Komponenten angewandt wird.

Wir wollen das System betrachten, welches aus Glaubersalz im Gleichgewicht mit Lösung und Dampf besteht. Wenn diese drei Phasen analysiert werden, so ergibt sich für die Zusammensetzung der festen Substanz die Formel  $\text{Na}_2\text{SO}_4$ ,  $10 \text{ H}_2\text{O}$  und für die Zusammensetzung der Lösung die Formel  $\text{Na}_2\text{SO}_4 + x \text{ H}_2\text{O}$ , während die Dampfphase  $\text{H}_2\text{O}$  ist. Das System kann offenbar kein System aus einer Komponente sein, da die Phasen nicht alle dieselbe Zusammensetzung haben. Wenn man aber die Mengen von zwei Phasen (z. B.  $\text{Na}_2\text{SO}_4$ ,  $10 \text{ H}_2\text{O}$  und  $\text{H}_2\text{O}$ ) ändert, so läßt sich die Zusammensetzung der dritten Phase — der Lösung — durch diese ausdrücken. Das System ist also ein solches aus zwei Komponenten.

Natriumsulfat kann aber auch im wasserfreien Zustand und als Hydrat  $\text{Na}_2\text{SO}_4 \cdot 7 \text{ H}_2\text{O}$  existieren. In diesen Fällen können  $\text{Na}_2\text{SO}_4$  und  $\text{H}_2\text{O}$  oder auch  $\text{Na}_2\text{SO}_4 \cdot 7 \text{ H}_2\text{O}$  und  $\text{H}_2\text{O}$  als Komponenten gewählt werden. In beiden Fällen sind es also zwei Komponenten. Aber die beiden Systeme  $\text{Na}_2\text{SO}_4$ ,  $10 \text{ H}_2\text{O} - \text{H}_2\text{O}$  und  $\text{Na}_2\text{SO}_4 \cdot 7 \text{ H}_2\text{O} - \text{H}_2\text{O}$  können als besondere Fälle des Systems  $\text{Na}_2\text{SO}_4 - \text{H}_2\text{O}$  betrachtet werden, und diese beiden Komponenten lassen sich in allen aus Natriumsulfat und Wasser bestehenden Systemen benutzen, einerlei ob die feste Phase das wasserfreie Salz oder eins der beiden Hydrate ist. In allen drei Fällen ist natürlich die Anzahl der Komponenten dieselbe, aber wenn  $\text{Na}_2\text{SO}_4$  und  $\text{H}_2\text{O}$  als Komponenten gewählt werden, so werden in den Ausdrücken für die Zusammensetzung der Phasen negative Mengen vermieden. Außerdem sind diese Komponenten innerhalb weiterer Grenzen der Versuchsbedingungen anwendbar. Obwohl also die Anzahl der Komponenten eines Systems bestimmt ist, so ist doch, wie man sieht, in der Wahl der Substanzen eine gewisse Freiheit gestattet. Ebenso sehen wir, daß die Wahl der Komponenten durch die Versuchsbedingungen beeinflußt wird.

Diese Betrachtungen lassen sich in folgender Weise zusammenfassen:

1. Die Komponenten müssen aus den Bestandteilen gewählt werden, die anwesend sind, wenn sich das System in einem Zustand wahren Gleichgewichtes befindet, und die an diesem Gleichgewicht teilnehmen.

2. Als Komponenten muß die kleinste Anzahl solcher Bestandteile gewählt werden, die erforderlich sind, um die Zusammensetzung jeder Phase auszudrücken, die am Gleichgewicht teilnimmt. Dabei sind auch die Menge Null und negative Mengen der Komponenten zulässig.

<sup>1)</sup> OSTWALD, Lehrbuch, II, 2, 478.



3. In jedem System ist die Anzahl der Komponenten bestimmt, aber sie kann sich mit der Änderung der Versuchsbedingungen ändern. Es ist jedoch in der (qualitativen, nicht der quantitativen) Wahl der Komponenten eine gewisse Freiheit gestattet, indem die Wahl von Rücksichten der Einfachheit, der Zweckmäßigkeit und der allgemeinen Anwendbarkeit beeinflusst wird<sup>1)</sup>.

**Freiheitsgrad. Veränderlichkeit eines Systems.** — Wenn von einer bestimmten Menge Gas oder Dampf, z. B. Wasserdampf, nur einer der unabhängig veränderlichen Faktoren — Temperatur, Druck und Konzentration — fixiert ist, so ist bekanntlich der Zustand des Gases oder Dampfes unbestimmt. Bei unverändertem Volum (wenn also die Konzentration unverändert bleibt) können die Temperatur und der Druck geändert werden. Bei gegebener Temperatur kann ein Gas unter verschiedenen Drucken existieren und verschiedene Volume einnehmen, und bei einem gegebenen Druck können Temperatur und Volum variieren. Wenn aber zwei von den Faktoren willkürlich fixiert sind, so kann der dritte Faktor nur einen bestimmten Wert haben. Bei gegebenen Werten der Temperatur und des Druckes kann eine gegebene Gasmenge nur ein bestimmtes Volum einnehmen.

Jetzt wollen wir aber annehmen, das System bestehe aus Wasser in Berührung mit Dampf. Dann ist der Zustand des Gases vollständig bestimmt, wenn man einer der Variablen einen bestimmten Wert beilegt. Wenn die Temperatur fixiert ist, so ist auch der Druck, unter welchem Wasser und Wasserdampf koexistieren können, bestimmt, und umgekehrt, wenn ein bestimmter Druck gewählt wird, so ist auch die Temperatur bestimmt. Wasser und Wasserdampf können unter einem gegebenen Druck nur bei einer bestimmten Temperatur koexistieren.

Schließlich wollen wir annehmen, das Wasser nebst dem Dampf werde abgekühlt, bis sich Eis auszuscheiden beginnt. Sobald die dritte Phase, Eis, erscheint, ist der Zustand des Systems in bezug auf die Temperatur und den Dampfdruck vollkommen bestimmt, und keine der Variablen kann willkürlich geändert werden, ohne daß eine der Phasen, Eis, Wasser oder Dampf, verschwindet.

Wir sehen also, daß man in einigen Systemen zwei, in anderen nur eine der unabhängigen Variablen (Temperatur, Druck, Konzentration) ändern kann, ohne die Natur des Systems zu zerstören, während in noch anderen Systemen diese Variablen feste und bestimmte Werte haben. Wir definieren daher die Anzahl der Freiheitsgrade<sup>2)</sup> eines Systems als die Anzahl der veränderlichen Faktoren, Temperatur, Druck und Konzentration der Komponenten, die willkürlich fixiert sein müssen, damit der Zustand des Systems vollkommen bestimmt ist. Nach dieser Definition besitzt ein Gas oder ein Dampf zwei Freiheitsgrade, das System Wasser-Dampf nur einen, und das System Eis-Wasser-Dampf gar keinen Freiheitsgrad. Wir können auch von der Variabilität oder der Varianz eines Systems sprechen und ein System als invariant, univariant, bivariant, multivariant<sup>3)</sup> bezeichnen, je nachdem die Anzahl der Freiheitsgrade null, eins, zwei oder größer als zwei ist.

Bei dem Studium des Zustandes und des Verhaltens eines Systems ist es daher sehr wichtig, die Variabilität des Systems zu kennen, und es ist der große Vorzug der Phasenregel, daß der Zustand eines Systems vollständig bestimmt ist durch die Beziehung zwischen der Anzahl der vorhandenen Komponenten und Phasen, ohne daß irgend welche Rücksicht auf die Komplexität der Moleküle der beteiligten Substanzen genommen oder irgend eine Annahme über die Konstitution der Materie gemacht wird. Es ist ferner, wie

<sup>1)</sup> Siehe auch HOITSEMA, Zeitschr. phys. Chem. 1895, 17, 651.

<sup>2)</sup> In der kinetischen Gastheorie bezeichnet man mit diesem Ausdruck etwas ganz anderes, nämlich die verschiedenen Bewegungen eines Gasmoleküls.

<sup>3)</sup> TREVOR, Jour. Physical Chem. 1902, 6, 136.

wir sehen, ganz gleichgültig, ob es sich um „physikalisches“ oder um „chemisches“ Gleichgewicht handelt. Ja im Grunde genommen ist es nicht nötig, die beiden Klassen zu unterscheiden, aber es ist doch oft zweckmäßig, die Bezeichnungen zu benutzen, obgleich ihnen eine gewisse Unbestimmtheit anhaftet, die allerdings auch den Bezeichnungen „physikalischer“ und „chemischer“ Prozeß anhaftet<sup>1)</sup>.

Die Phasenregel von GIBBS, die den Gleichgewichtszustand durch die Beziehung zwischen der Anzahl der koexistierenden Phasen und Komponenten definiert, läßt sich in folgender Weise aussprechen: Ein aus  $n$  Komponenten bestehendes System kann nur in  $n + 2$  Phasen existieren, wenn die Temperatur, der Druck und die Konzentration fixierte und bestimmte Werte haben; wenn  $n$  Komponenten und  $n + 1$  Phasen vorhanden sind, so kann Gleichgewicht existieren, während sich einer der Faktoren ändert, und wenn nur  $n$  Phasen vorhanden sind, so können zwei der veränderlichen Faktoren willkürlich fixiert werden. Diese Regel, deren Anwendung sich aus dem folgenden ergeben wird, läßt sich sehr kurz und bequem durch die Gleichung

$$P + F = C + 2 \quad \text{oder} \quad F = C + 2 - P$$

ausdrücken, wenn  $P$  die Anzahl der Phasen,  $F$  die Anzahl der Freiheitsgrade und  $C$  die Anzahl der Komponenten bedeutet. Aus der zweiten Form der Gleichung ist leicht zu ersehen, daß die Anzahl der Freiheitsgrade um so kleiner ist, je größer die Anzahl der Phasen ist. Mit zunehmender Phasenzahl wird also der Zustand des Systems immer mehr bestimmt oder immer weniger variabel.

**Klassifikation der Systeme nach der Phasenregel.** — Wir haben bereits in dem einleitenden Kapitel gesehen, daß Systeme, die anscheinend von sehr verschiedenem Charakter sind, ein ganz ähnliches Verhalten zeigen können. So sind, wie dort gezeigt wurde, die Gesetze, welche das Gleichgewicht zwischen Wasser und seinem Dampf beherrschen, ganz analog denjenigen, welche die Dissoziation von Calciumkarbonat in Calciumoxyd und Kohlendioxyd beherrschen. In beiden Fällen ist eine bestimmte Temperatur an einen bestimmten Druck gebunden, einerlei welches die relativen und absoluten Mengen der betreffenden Substanzen sind. Andererseits wurden Beispiele von Systemen gegeben, die anscheinend ähnlich von Charakter waren, aber trotzdem ein ganz verschiedenes Verhalten zeigten. Die Beziehungen zwischen den verschiedenen Systemen werden aber vollkommen klar und verständlich im Lichte der Phasenregel. In dem zuerst erwähnten Fall, dem von Wasser im Gleichgewicht mit seinem Dampf, haben wir eine Komponente — Wasser — die in zwei Phasen, d. h. in zwei physikalisch verschiedenen Formen, flüssig und dampfförmig, anwesend ist. Daher ist nach der Phasenregel, weil  $C = 1$  und  $P = 2$ , die Anzahl der Freiheitsgrade gleich  $1 + 2 - 2 = 1$ . Das System besitzt, wie bereits gesagt, einen Freiheitsgrad. In dem zweiten der erwähnten Systeme sind zwei Komponenten, Calciumoxyd und Kohlendioxyd (S. 8) und drei Phasen vorhanden, nämlich zwei feste  $\text{CaO}$  und  $\text{CaCO}_3$ , und eine gasförmige,  $\text{CO}_2$ . Die Anzahl der Freiheitsgrade dieses Systems ist also  $2 + 2 - 3 = 1$ . Dieses System besitzt also ebenfalls nur einen Freiheitsgrad. Jetzt verstehen wir, weshalb diese beiden Systeme ein ähnliches Verhalten zeigen; beide sind univariant oder sie besitzen nur einen Freiheitsgrad. Wir werden daher bei allen univarianten Systemen ein ähnliches Verhalten erwarten, einerlei wie unähnlich die Systeme sonst sein mögen. Ebenso werden alle bivarianten Systeme ein analoges Verhalten zeigen, und überhaupt werden Systeme, die denselben Freiheitsgrad besitzen, ein ähnliches Verhalten zeigen. In Übereinstimmung mit der Phasenregel können wir daher die verschiedenen Systeme je nach der Beziehung zwischen der Anzahl der Komponenten und der Anzahl der koexistierenden Phasen in invariante, univariante, bivariante und multivariante Systeme einteilen, und wir

<sup>1)</sup> OSTWALD, Grundlinien der anorganischen Chemie, S. 8.

dürfen erwarten, daß in jedem Fall die Glieder einer Gruppe ein übereinstimmende Verhalten zeigen. Dieses Mittel ermöglicht uns einen Einblick in das allgemeine Verhalten eines Systems, sobald wir die Anzahl der Komponenten und die Anzahl der koexistierenden Phasen bestimmt haben.

Die Phasenregel hat sich beim Studium der Umwandlungen im Gleichgewicht zwischen verschiedenen Substanzen als ein vorzügliches Klassifikationsmittel erwiesen. Sie ermöglicht es nicht nur, eine große Anzahl isolierter Erscheinungen zu einer Gruppe zu vereinigen, sondern sie hat auch zur Entdeckung neuer Substanzen geführt, sie hat den Schlüssel für die Bedingungen gegeben, unter denen diese Substanzen existieren können, und sie hat zur Entdeckung von Ähnlichkeiten zwischen verschiedenen Systemen geführt, die sich sonst der Beobachtung entzogen haben würden.

---



## Drittes Kapitel.

### Typische Systeme aus einer Komponente.

#### A) Wasser.

Um das Verständnis der Phasenregel zu erleichtern und um zugleich Beispiele zu bekommen, durch die das allgemeine Verhalten von Systemen erläutert werden kann, wollen wir in diesem Kapitel eingehend das Verhalten einiger bekannter Systeme untersuchen, die nur aus einer Komponente bestehen.

Die bekanntesten Beispiele von Gleichgewichten in einem System von einer Komponente liefert das System mit den drei Phasen des Wassers: Eis, flüssiges Wasser und Wasserdampf. Das System besteht aus einer Komponente, weil alle drei Phasen dieselbe chemische Zusammensetzung haben, die durch die Formel  $H_2O$  ausgedrückt wird. Als Kriterium des Gleichgewichtes wollen wir einen bestimmten Druck wählen, und wollen die Änderung des Druckes mit der Temperatur studieren. Zur Darstellung der Beziehungen, zu denen wir kommen, wollen wir das Temperatur-Druckdiagramm benutzen, in welchem die Temperaturen die Abszissen und die Drucke die Ordinaten bilden. In einem solchen Diagramm werden invariante Systeme durch Punkte, univariante Systeme durch Linien und bivariate Systeme durch Flächen dargestellt.

**Gleichgewicht zwischen Flüssigkeit und Dampf. Verdampfungskurve.** — Wir betrachten zunächst die Bedingungen für die Koexistenz von Flüssigkeit und Dampf. Nach der Phasenregel (S. 11) hat ein System, welches aus einer Komponente in zwei Phasen besteht, einen Freiheitsgrad oder es ist univariant. Es ist daher zu erwarten, daß flüssiges Wasser bei verschiedenen Werten der Temperatur und des Druckes mit Wasserdampf koexistieren kann, daß aber der Zustand des Systems bestimmt ist, wenn wir (bei einer gegebenen Menge der Substanz) einen der variablen Faktoren, Druck, Temperatur oder Volum, willkürlich festsetzen. Wenn wir z. B. die Temperatur festsetzen, so hat der Druck einen bestimmten Wert, oder wenn wir einen bestimmten Druck annehmen, so können Flüssigkeit und Dampf nur bei einer bestimmten Temperatur koexistieren. Daher entspricht jede Temperatur einem bestimmten Druck, und wenn wir in unserem Diagramm alle Punkte, welche die den verschiedenen Temperaturen entsprechenden Drucke bezeichnen, durch eine kontinuierliche Linie verbinden, so erhalten wir eine Kurve (Fig. 1), welche die

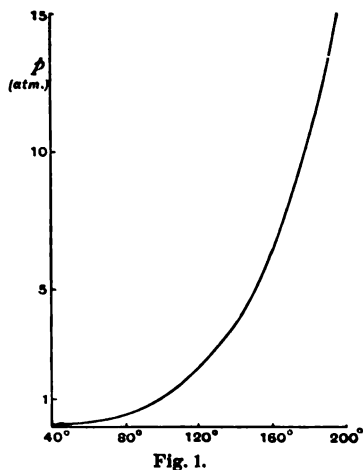


Fig. 1.

Änderung des Druckes mit der Temperatur darstellt. Dies ist die **Druckkurve** oder die Verdampfungskurve des flüssigen Wassers.

Die Versuchsergebnisse stehen nun mit den Forderungen der Phase vollkommen in Einklang, und bei jeder gegebenen Temperatur kann das Wasser-Dampf nur unter einem bestimmten Druck im Gleichgewicht existieren.

Sorgfältige Messungen des Dampfdruckes des Wassers bei verschiedenen Temperaturen sind von MAGNUS<sup>1)</sup>, REGNAULT<sup>2)</sup>, RAMSAY und YOUNG<sup>3)</sup>, JUTHIEN und SCHEEL<sup>4)</sup> und anderen ausgeführt worden. Die folgende Tabelle enthält für den Dampfdruck von  $-10^{\circ}$  bis  $+100^{\circ}$  die aus den Messungen von REGNAULTS abgeleiteten und durch die Messungen von WIEBE und THIESEN<sup>5)</sup> SCHEEL<sup>6)</sup> korrigierten Werte. Die Werte für  $120^{\circ}$  bis  $270^{\circ}$  wurden von JUTHIEN und YOUNG bestimmt, und die Werte für den kritischen Druck und die kritische Temperatur sind die von BATTELLI<sup>7)</sup> bestimmten.

Dampfdruck des flüssigen Wassers.

| Temperatur    | Druck in cm Quecksilber | Temperatur      | Druck in cm Quecksilber |
|---------------|-------------------------|-----------------|-------------------------|
| $-10^{\circ}$ | 0,213                   | $120^{\circ}$   | 148,4                   |
| $0^{\circ}$   | 0,458 <sup>8)</sup>     | $130^{\circ}$   | 201,9                   |
| $+20^{\circ}$ | 1,752                   | $150^{\circ}$   | 356,8                   |
| $40^{\circ}$  | 5,516                   | $200^{\circ}$   | 1162,5                  |
| $60^{\circ}$  | 14,932                  | $250^{\circ}$   | 2973,4                  |
| $80^{\circ}$  | 35,54                   | $270^{\circ}$   | 4110,3                  |
| $100^{\circ}$ | 76,00                   | $364,3^{\circ}$ | 14790,4 (               |
|               |                         | (krit. Temp.)   | Atm. krit.              |

Der Druck ist natürlich unabhängig von den relativen und absoluten Mengen der Flüssigkeit und des Dampfes und dem Gesamtvolumen des Systems. Wenn das Volum bei konstanter Temperatur vergrößert wird, so verwandelt sich eine gewisse Menge Flüssigkeit in Dampf, und der Druck nimmt wieder seinen ursprünglichen Wert an. Wenn dagegen der Druck dauernd auf einem Wert gehalten wird, der von dem der angewandten Temperatur entsprechenden abweicht, verwandelt sich entweder alle Flüssigkeit in Dampf oder aller Dampf in Flüssigkeit, und wir haben schließlich entweder nur Dampf oder nur Flüssigkeit.

**Obere Grenze der Verdampfungskurve.** — Je mehr Wärme man dem Wasser zuführt, wenn dieses in einem geschlossenen Gefäß enthalten ist, desto größer wird der Dampfdruck. Da mit zunehmendem Druck die Dichte des Dampfes größer werden muß, und da bei steigender Temperatur die Dichte der Flüssigkeit abnehmen muß, so wird schließlich eine Temperatur erreicht, bei welcher die Dichte der Flüssigkeit gleich der Dichte des Dampfes wird. Diese Temperatur, bei welcher dieses stattfindet, heißt die kritische Temperatur. Das System hört dabei auf heterogen zu sein und geht in eine homogene Phase über. Dieser Temperatur entspricht natürlich ein bestimmter Druck, der sog.

<sup>1)</sup> Pogg. Ann. 1844, 61, 225.

<sup>2)</sup> Memoires de l'Acad. 26, 751.

<sup>3)</sup> Phil. Trans. 1884, 175, 461; 1892, A. 183, 107.

<sup>4)</sup> Bihang Svenska Akad. Handl. 1891, 17, I. 1.

<sup>5)</sup> Abhandl. d. phys.-tech. Reichsanstalt, 1900, 3, 71.

<sup>6)</sup> OSTWALD-LUTHER, Physiko-chemische Messungen, 2. Aufl. 156.

<sup>7)</sup> Ann. chim. et phys. 1892, [6], 26, 425.

<sup>8)</sup> Der Dampfdruck des Wassers bei  $0^{\circ}$  ist neuerdings sehr genau von THIESEN und (a. a. O.) bestimmt und gleich  $4,579 \pm 0,001$  mm Quecksilber (von  $0^{\circ}$ ) oder 0,006025 cm gefunden worden.

kritische Druck. Die Kurve, welche das Gleichgewicht zwischen Flüssigkeit und Dampf darstellt, muß daher bei der kritischen Temperatur plötzlich aufhören. Bei höheren Temperaturen kann kein Druck, sei er noch so groß, die Bildung zweier Phasen, von denen wir die eine die flüssige nannten, bewirken. Oberhalb der kritischen Temperatur wird der Dampf ein Gas, oder richtiger, gibt es keinen Unterschied zwischen flüssig und gasförmig mehr. Die kritische Temperatur des Wassers ist  $364,3^{\circ}$  und der kritische Druck ist gleich  $194,6$  Atmosphären. Die Dampfdruckkurve des Wassers muß bei derjenigen Temperatur aufhören, welche diesen Bedingungen entspricht.

**Sublimationskurve des Eises.** — Dampf wird nicht nur von flüssigem Wasser, sondern auch von festem Wasser oder Eis abgegeben. Dies ist allgemein bekannt durch die Tatsache, daß Eis oder Schnee selbst bei Temperaturen unter dem Schmelzpunkt nach und nach in Form von Dampf verschwindet. Selbst bei Temperaturen, die beträchtlich unter Null liegen, ist der Dampfdruck des Eises, wenn auch gering, doch deutlich bemerkbar, und daher können Eis und Wasserdampf im Gleichgewicht koexistieren. Wenn wir die Bedingungen untersuchen, unter denen ein solches System existieren kann, so erkennen wir, daß wir es wieder mit einem univarianten System zu tun haben — da eine Komponente in zwei Phasen existiert — und daß daher ebenso wie in dem System Wasser und Dampf auch in dem Systeme Eis und Dampf jeder Temperatur ein bestimmter Dampfdruck entspricht. Dieser Druck ist unabhängig von den angewandten relativen oder absoluten Mengen des festen Körpers und des Dampfes und hängt nur von der Temperatur ab. Ferner wird ebenso wie beim Dampfdruck des Wassers die Bedingung des Gleichgewichtes zwischen Eis und Wasserdampf durch eine Linie oder Kurve dargestellt, welche die Änderung des Druckes mit der Temperatur angibt. Eine solche Kurve, welche die Bedingungen des Gleichgewichtes zwischen einem festen Körper und einem Dampf angibt, wird Sublimationskurve genannt. Bei denjenigen Temperaturen, welche durch die Punkte dieser Kurve angegeben werden, sublimiert der feste Körper (Eis) oder er geht in Dampf über, ohne vorher zu schmelzen. Da Eis bei  $0^{\circ}$  schmilzt (s. unten), so muß die Sublimationskurve bei dieser Temperatur enden.

Die folgende Tabelle enthält die Werte des Dampfdruckes von Eis zwischen  $0^{\circ}$  und  $-50^{\circ}$  <sup>1)</sup>.

Dampfdruck des Eises.

| Temperatur    | Druck in mm<br>Quecksilber | Temperatur   | Druck in mm<br>Quecksilber |
|---------------|----------------------------|--------------|----------------------------|
| $-50^{\circ}$ | 0,050                      | $-8^{\circ}$ | 2,379                      |
| $-40^{\circ}$ | 0,121                      | $-6^{\circ}$ | 2,821                      |
| $-30^{\circ}$ | 0,312                      | $-4^{\circ}$ | 3,334                      |
| $-20^{\circ}$ | 0,806                      | $-2^{\circ}$ | 3,925                      |
| $-15^{\circ}$ | 1,279                      | $0^{\circ}$  | 4,602                      |
| $-10^{\circ}$ | 1,999                      |              |                            |

**Gleichgewicht zwischen Eis und flüssigem Wasser. Schmelzkurve.** — Es gibt noch ein anderes univariantes System aus der einen Komponente Wasser, dessen Existenz bei bestimmten Werten von Temperatur und Druck die Phasenregel voraussehen läßt, nämlich das System fest-flüssig. Wenn Eis auf eine gewisse Temperatur erwärmt wird, so schmilzt es und geht in den flüssigen Zustand über, und da dieses System fest-flüssig univariant ist, so muß für jede

<sup>1)</sup> JUHLIN, Bihang Svenska Akad. Handl. 1891, 17, I, 58. Siehe auch RAMSAY u. YOUNG, a. a. O.



Temperatur ein bestimmter Druck existieren, bei welchem Eis und Wasser koexistieren oder im Gleichgewicht sein können, und zwar unabhängig von anwesenden Mengen der beiden Phasen. Da nun die Temperatur, bei welcher die feste Phase mit der flüssigen Phase im Gleichgewicht ist, der Schmelzpunkt des festen Körpers ist, so stellt die Kurve, welche die Temperaturen und Drücke angibt, bei denen der feste und der flüssige Körper im Gleichgewicht sind, die Änderung des Schmelzpunktes mit dem Druck dar. Eine solche Kurve ist die Schmelzpunktkurve oder Schmelzdruckkurve.

Der Zusammenhang zwischen dem Druck und dem Schmelzpunkt oder der Änderung des Schmelzpunktes mit dem Druck wurde erst in der Mitte des neunzehnten Jahrhunderts beobachtet. Der erste, der einen solchen Zusammenhang erkannte, war

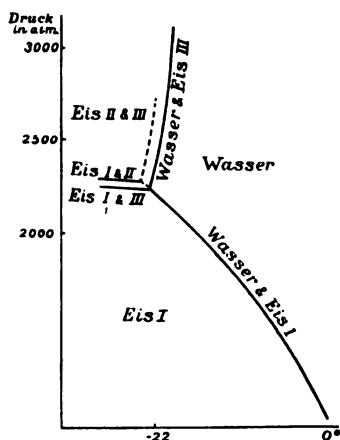


Fig. 2

JAMES THOMSON<sup>1)</sup>, der 1849 durch theoretische Betrachtungen zeigte, daß ein solcher Zusammenhang existieren müsse, und voraussagte, daß der Schmelzpunkt des Eises durch Druck erniedrigt werden müsse. Was er vorausgesagt hatte, fand durch die Untersuchungen seines Schülers W. THOMSON<sup>2)</sup> (Lord KELVIN) volle Bestätigung. Dieser fand, daß der Schmelzpunkt des Eises bei einem Druck von 8,1 Atmosphären — 0,129° ist.

Die ersten Versuche, welche in dieser Richtung gemacht wurden, waren mehr qualitativer Art, aber in neuerer Zeit sind sehr sorgfältige Messungen des Einflusses des Druckes auf den Schmelzpunkt des Eises namentlich von TAMMANN

ausgeführt worden. Die von ihm erhaltenen Resultate sind in der folgenden Tabelle gegeben und in Fig. 2 graphisch dargestellt.

Schmelzdruck des Eises.

| Temperatur | Druck in kg per qcm <sup>4)</sup> | Änderung des Schmelzpunktes bei einer Druckzunahme von 1 kg |
|------------|-----------------------------------|---|
| — 0°       | 1                                 | 0,0074°   |
| — 2,5°     | 336                               | 0,0090°   |
| — 5,0°     | 615                               | 0,0091°   |
| — 7,5°     | 890                               | 0,0094°   |
| — 10,0°    | 1155                              | 0,0100°   |
| — 12,5°    | 1410                              | 0,0116°   |
| — 15,0°    | 1625                              | 0,0119°   |
| — 17,5°    | 1835                              | 0,0121°   |
| — 20,0°    | 2042                              | 0,0133°   |
| — 22,1°    | 2200                              |   |

Aus den Zahlen der Tabelle und aus der Figur (Kurve Wasser und Eis) geht hervor, daß durch Erhöhung des Druckes der Schmelzpunkt des Eises erniedrigt wird.

<sup>1)</sup> Trans. Roy. Soc. Edin. 1849, 16, 575.

<sup>2)</sup> Proc. Roy. Soc. Edin. 1850, 2, 267.

<sup>3)</sup> Ann. d. Phys. 1899, [3] 68, 564; 1900, [4], 2, 1, 424. Siehe auch DEWAR, Roy. Soc. 1880, 30, 533.

<sup>4)</sup> Der Atmosphärendruck auf 1 qcm ist 1,033 kg, oder der Druck von 1 kg auf 1 qcm ist gleich 0,968 Atm.

niedrigt wird. Wir bemerken aber auch, daß eine sehr bedeutende Änderung des Druckes erforderlich ist, um eine sehr geringe Änderung des Schmelzpunktes zu bewirken. Die Kurve ist infolgedessen sehr steil. Eine Druckzunahme von einer Atmosphäre erniedrigt den Schmelzpunkt nur um  $0,0076^{01}$ , oder es ist ein Druck von 135 Atmosphären erforderlich, um den Schmelzpunkt um  $1^0$  zu erniedrigen. Wir sehen ferner, daß sich die Schmelzkurve bei zunehmendem Druck langsam krümmt, was anzeigt, daß sich der Schmelzpunkt mit dem Druck nicht gleichförmig ändert. Bei  $-15^0$  und einem Druck von 1625 kg per qcm bewirkt eine Druckerhöhung von 1 kg eine Erniedrigung des Schmelzpunktes um  $0,012^0$ . Die Krümmung der Schmelzkurve ist, wie wir später (4. Kap.) sehen werden, eine fast allgemeine Erscheinung.

**Gleichgewicht zwischen Eis, Wasser und Dampf. Der dreifache Punkt.** — Wenn wir die Dampfdruckkurven von Eis und Wasser (Fig. 3) untersuchen, so sehen wir, daß sich die beiden Kurven bei einer Temperatur von ungefähr  $0^0$  und einem Druck von ungefähr 4,6 mm Quecksilber schneiden. Bei diesem Punkt sind flüssiges Wasser und festes Eis beide im Gleichgewicht mit Dampf von demselben Druck. Sie müssen daher auch untereinander im Gleichgewicht sein, was auch durch den Versuch bestätigt wird. Bei diesem Punkt können also Eis, Wasser und Dampf im Gleichgewicht sein, und da drei Phasen anwesend sind, heißt der Punkt ein dreifacher Punkt<sup>2)</sup>.

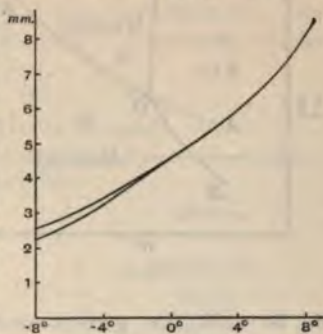


Fig. 3.

Der dreifache Punkt liegt jedoch nicht genau bei  $0^0\text{C}$ , da diese Temperatur als der Schmelzpunkt des Eises unter dem Atmosphärendruck definiert ist. Bei dem dreifachen Punkt dagegen ist der Druck gleich dem Dampfdruck von Eis und Wasser, und dieser Druck ist, wie aus den Tabellen auf S. 14 u. S. 15 zu ersehen ist, nahezu 4,6 mm, also fast um 1 Atm. niedriger als im ersten Falle. Eine Druckänderung von einer Atmosphäre entspricht aber, wie wir soeben gesehen haben, einer Änderung des Schmelzpunktes um  $0,0076^0$ . Wenn sich also das Eis unter dem Druck seines eignen Dampfes befindet, so wird sein Schmelzpunkt fast ganz genau  $+0,0076^0$  sein, und der Dampfdruck wird ganz wenig größer als 4,579 mm, d. h. als der Dampfdruck bei  $0^0$  sein (S. 14). Der Unterschied ist so gering, daß er hier vernachlässigt werden kann. Bei der Temperatur von  $+0,0076^0$  und unter einem Druck von 4,6 mm Quecksilber sind also Eis, Wasser und Dampf im Gleichgewicht. Derjenige Punkt in unserem Diagramm, welcher diese Temperatur und diesen Druck anzeigt, ist also der dreifache Punkt des Systems Eis-Wasser-Dampf.

Da wir beim dreifachen Punkt drei Phasen einer Komponente haben, so ist das System bei diesem Punkt invariant. Es besitzt keinen Freiheitsgrad. Wenn die Temperatur geändert wird, so ändert sich das System in der Weise, daß eine von den Phasen verschwindet und ein univariantes System entsteht. Wenn Wärme zugeführt wird, so schmilzt das Eis und es bleiben nur noch Wasser und Dampf übrig. Wenn Wärme entzogen wird, so gefriert das Wasser und es bleibt Eis und Dampf übrig. Wenn die Temperatur geändert, aber der Druck konstant gehalten wird, so haben wir schließlich nur eine Phase (4. Kap.).

Der dreifache Punkt ist nicht nur der Durchschnittspunkt der Verdampfungskurve und der Sublimationskurve, sondern er ist auch der Endpunkt der Schmelzkurve. Die Schmelzkurve ist, wie wir gesehen haben, die Gleichgewichtskurve

<sup>1)</sup> TAMMANN, a. a. O. 1900, 2, 1, 424; vgl. GOOSSENS, Arch. néerland, 1886, 20, 449.

<sup>2)</sup> J. THOMSON, Proc. Roy. Soc. 1874, 22, 28.



für Eis und Wasser, und da beim dreifachen Punkt Eis und Wasser b Gleichgewicht mit Dampf von demselben Druck sind, so müssen sie auch untereinander im Gleichgewicht sein<sup>1)</sup>.

**Bivariate Systeme des Wassers.** — Wenn wir Fig. 4 betrachten finden wir, daß die Kurven *OA*, *OB*, *OC*, welche schematisch die Bedingungen darstellen, unter denen Wasser und Dampf, Eis und Dampf und Wasser im Gleichgewicht sind, die Grenzen dreier „Felder“, *I*, *II*, *III*, bilden. Diese Felder werden die Bedingungen für die Existenz der einzelnen

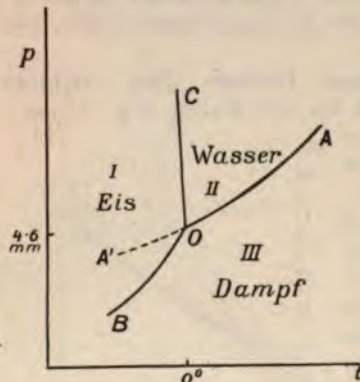


Fig. 4.

Eis, Wasser und Dampf, angegeben. Bei Temperaturen und Drucken, die einem Punkt in einem Feld entsprechen, ist nur die feste Phase stabil. Wir haben hier eine Komponente in nur einer Phase, so ist das System bivalent, und bei einer gegebenen Temperatur kann das System unter einer Reihe von Drucken und bei einem gegebenen Druck bei einer Reihe von Temperaturen existieren. Diese Drücke und Temperaturen sind durch die Kurven *OB* und *OA* begrenzt. Ähnlich verhält es sich in den Feldern *II* und *III*.

Wir sehen ferner, daß die verschiedenen Felder die Gebiete der Stabilität der verschiedenen Phasen sind, die den beiden Kurven, von denen das Feld eingeschlossen wird, gemeinsam sind.

So ist z. B. die gemeinsame Phase der durch *BO* (Eis und Dampf) und *OA* (Wasser und Dampf) dargestellten Systeme die Dampfphase, und das Feld *III* ist daher das Feld der Dampfphase. Ebenso ist *BOC* das Feld der Eisphase und *COA* das Feld der Wasserphase.

**Unterkühltes Wasser. Metastabiler Zustand.** — Wenn Eis bei atmosphärischem Luftdruck erwärmt wird, so schmilzt es, wenn die Temperatur hoch genug reicht, und es ist nicht möglich, das Eis über diesen Punkt hinaus zu erwärmen, ohne daß es schmilzt. Andererseits ist es seit langer Zeit bekannt, daß Wasser unter Null abgekühlt werden kann, ohne daß es erstarrt. Dies wurde zuerst von FAHRENHEIT<sup>2)</sup> entdeckt, welcher fand, daß das Wasser einer Temperatur von  $-9,4^{\circ}$  ausgesetzt werden konnte, ohne zu gefrieren. Sobald aber ein Eispartikelchen mit dem Wasser in Berührung gebracht wurde, begann die Kristallisation. Überschnitzenes oder unterkühltes (überkaltetes) Wasser, welches unter  $0^{\circ}$  abgekühlt ist, ist nur in bezug auf die feste Phase unbeständig. Wenn die Anwesenheit der festen Phase sorgfältig vermieden wird, kann das Wasser beliebig lange Zeit aufbewahrt werden, ohne daß es erstarrt. Das System neben unterkühltes Wasser (Dampf) verhält sich in jeder Hinsicht

<sup>1)</sup> Eine bekannte Tatsache, auf der alle Temperaturmessungen beruhen, ist es, daß zwei Körper hinsichtlich der Temperatur mit einem dritten im Gleichgewicht sind, wenn sie untereinander im Gleichgewicht sind, und daß, wenn zwei Körper von verschiedener Temperatur in Berührung gebracht werden, vom wärmeren zum kälteren so lange Wärme übergeht, bis beide dieselbe Temperatur besitzen. Der Faktor, von welchem das Eintreten einer Temperaturveränderung oder einer Änderung des der Temperatur entsprechenden Zustandes abhängt, ist nun das chemische Potential oder das thermodynamische Potential. Wir können sagen, daß ein System im Gleichgewicht ist, wenn das chemische Potential jeder Komponente in allen Phasen, in denen sie vorkommt, dasselbe ist. Im dreifachen Punkt haben Wasser und Dampf dasselbe chemische Potential.

<sup>2)</sup> Ein Feld wird von zwei Kurven „eingeschlossen“, wenn sich diese unter einem Winkel schneiden, der kleiner als  $180^{\circ}$  ist. Es wird nützlich sein, sich zu erinnern, daß ein univariantes System im Diagramm durch einen Punkt, ein univariantes System durch eine Linie und ein bivariantes System durch eine Fläche dargestellt wird.

<sup>3)</sup> Phil. Trans. 1724, 39, 78.



stabiles System. Ein System, welches an und für sich stabil ist und nur in Berührung mit einer bestimmten anderen Phase instabil wird, heißt metastabil, und das Gebiet, in welchem dieser Zustand existiert, heißt das metastabile Gebiet. Unterkühltes Wasser befindet sich daher in einem metastabilen Zustand. Wenn unterkühltes Wasser unter eine gewisse Temperatur abgekühlt wird, so tritt aber auch von selbst Erstarrung ein, ohne daß es mit der festen Phase in Berührung gebracht wird. Das System hört dann auf metastabil zu sein und wird instabil.

Man hat nicht nur das Wasser ohne Erstarrung auf Temperaturen abkühlen können, die beträchtlich unter dem Schmelzpunkt des Eises liegen, sondern man hat auch den Dampfdruck dieses unterkühlten Wassers gemessen. Es ist nun von Interesse und von Wichtigkeit, zu ermitteln, welche Beziehung zwischen dem Dampfdruck von Eis und dem Dampfdruck von unterkühltem Wasser existiert. Diese Beziehung ist aus den Zahlen der folgenden Tabelle<sup>1)</sup> deutlich zu ersehen, und sie ist in Fig. 3 (auf S. 17) sowie schematisch in Fig. 4 dargestellt. Der Dampfdruck des unterkühlten Wassers wird durch die Kurve  $OA'$  dargestellt, welche die ungebrochene Fortsetzung von  $AO$  bildet.

Dampfdruck von Eis und unterkühltem Wasser.

| Temperatur | Druck in mm Quecksilber |       |                     |
|------------|-------------------------|-------|---------------------|
|            | Wasser                  | Eis   | Differenz           |
| 0°         | 4,618                   | 4,602 | 0,016 <sup>2)</sup> |
| -2°        | 3,995                   | 3,925 | 0,070               |
| -4°        | 3,450                   | 3,334 | 0,116               |
| -8°        | 2,558                   | 2,379 | 0,179               |
| -10°       | 2,197                   | 1,999 | 0,198               |
| -15°       | 1,492                   | 1,279 | 0,213               |
| -20°       | 1,005                   | 0,806 | 0,199               |

Bei allen Temperaturen unter 0° (genauer  $+0,0076^\circ$ ), bei welcher Temperatur Wasser und Eis denselben Dampfdruck haben, ist der Dampfdruck des unterkühlten Wassers größer als der des Eises bei derselben Temperatur.

Aus den relativen Lagen der Kurven  $OB$  und  $OA$  (Fig. 4) geht hervor, daß bei allen Temperaturen über 0° die (metastabile) Sublimationskurve des Eises, wenn sie erhalten werden könnte, höher liegen würde als die Verdampfungskurve des Wassers. Hieraus folgt, daß die Zustandskurve  $BOA$  bei 0° einen „Knick“ aufweisen muß und daß in der Nähe dieses Knicks die Kurve über diesem Punkt weniger schnell ansteigen muß als die Kurve unter dem Knick. Da aber die Unterschiede in den Dampfdrucken von unterkühltem Wasser und Eis sehr klein sind, so wurde diese Änderung in der Richtung der Dampfdruckkurve beim Übergang von Eis zu Wasser anfangs nicht beobachtet, und REGNAULT nahm an, daß die Sublimationskurve kontinuierlich in die Verdampfungskurve übergehe. JAMES THOMSON<sup>3)</sup> und KIRCHHOFF<sup>4)</sup> haben jedoch durch thermodynamische Betrachtungen nachgewiesen, daß hier ein Knick existieren muß. Derselbe ist auch später von RAMSAY und YOUNG sowohl für Wasser und Eis als auch für andere Substanzen experimentell nachgewiesen worden<sup>5)</sup>.

<sup>1)</sup> JUHLIN, a. a. O. S. 61; vgl. RAMSAY u. YOUNG, a. a. O.; THIESEN u. SCHEEL, a. a. O.

<sup>2)</sup> Dieser geringe Unterschied rührt von Fehlern in der experimentellen Bestimmung der Dampfdrucke her. Eine Differentialmethode ließ keinen Unterschied zwischen dem Dampfdruck des Eis und Wasser von 0° erkennen.

<sup>3)</sup> Phil. Mag. 1874, [4], 47, 447; Proc. Roy. Soc. 1873, 22, 27.

<sup>4)</sup> Pogg. Ann. 1858, 103, 206.

<sup>5)</sup> Siehe Phil. Trans. 1884, 175, 461.

Vom Gesagten ist es leicht zu verstehen, weshalb Eis und Wasser im Gleichgewicht existieren können. Wenn sich nämlich Eis und Wasser im selben geschlossenen Raum befinden, ohne sich zu berühren, so ist die Temperatur, da der Dampfdruck des unterkühlten Wassers mit dem des Eises ist, der Dampf des ersteren in Berührung mit dem letzteren verdichtet. Infolgedessen muß sich Dampf auf dem Eis verdichten, und es tritt eine langsame Destillation von Wasser vom Eis statt, bis schließlich alles Wasser verschwunden ist und nur noch Dampf übrig sind<sup>1)</sup>.

**Andere Systeme der Substanz Wasser.** — Wir haben bis jetzt nur die Systeme diskutiert, die von den drei Phasen Eis, Wasser und Wasserdampf gebildet werden. Man hat jedoch neuerdings gefunden, daß bei niedriger Temperatur und unter hohem Druck das Eis noch in zwei andere kristallinische Varietäten eingeteilt kann, die von TAMMANN<sup>2)</sup> Eis II und Eis III genannt werden, während das gewöhnliche Eis als Eis I bezeichnet wird. Da nun jede dieser festen Formen eine besondere Phase bildet (S. 6), so können nach der Phasenregel außer den bereits erwähnten Systemen unter anderen noch die folgenden existieren: Wasser, Eis I, Eis II; Wasser, Eis I, Eis III; Wasser, Eis II, Eis III. Diese Systeme mit 3 Phasen sind invariant und existieren im Gleichgewicht nur bei einem bestimmten Druck- und Temperaturpunkt. Weitere Systeme sind Wasser, Eis II; Wasser, Eis III; Eis I, Eis II, Eis III; Eis I, Eis III; Eis II, Eis III. Diese Systeme mit je 2 Phasen sind univariant und existieren daher bei in bestimmter Weise längs einer Kurve bestimmter Werte der Temperatur und des Druckes. Schließlich gibt es noch bivariente Systeme Eis II und Eis III. Einige dieser Systeme sind von TAMMANN untersucht worden. Der dreifache Punkt für das System Wasser-Eis I liegt bei  $-22^{\circ}$  und einem Druck von 2200 kg per qcm (2130 Atm. wie in Fig. 2 auf S. 16 angibt<sup>3)</sup>). Im Gegensatz zum Verhalten von gewöhnlichem Eis wird in den Systemen Wasser-Eis II und Wasser-Eis III die Gleichgewichtstemperatur durch Steigerung des Druckes erhöht.

## B) Schwefel.

**Polymorphie.** — Es ist soeben erwähnt worden, daß Eis nicht nur in der gewöhnlichen Form, sondern in mindestens zwei anderen kristallinischen Varietäten existieren kann. Diese Erscheinung, die Existenz einer Substanz in zwei oder mehr verschiedenen Kristallformen, wird als Polymorphie bezeichnet. Polymorphie wurde zuerst von MITSCHERLICH<sup>4)</sup> beim Natriumphosphat und später bei Schwefel beobachtet. Außer diesen beiden Fällen wurden bald andere Fälle zunächst an anorganischen und später an organischen Substanzen beobachtet und es wurde jetzt, daß die Polymorphie eine sehr häufige Erscheinung ist. Diese verschiedenen Formen einer Substanz unterscheiden sich nicht nur in der Kristallform, sondern auch im Schmelzpunkt, im spezifischen Gewicht und in anderen physikalischen Eigenschaften. Im flüssigen Zustand dagegen existiert keine Unterschiede nicht.

Nach unserer Definition der Phasen (S. 6) bildet jede dieser polymorphen Formen eine besondere Phase der betreffenden Substanz. Es ist leicht ei

<sup>1)</sup> Diese Destillation von der unterkühlten Flüssigkeit nach der festen Substanz ist soeben schon kurz erwähnt worden (V. GOLDSCHMIDT, Zeitschr. f. Kristallogr. 1894, 19, 1).

<sup>2)</sup> Ann. d. Phys. 1900, [4], 2, 1, 424.

<sup>3)</sup> Ein ähnlicher dreifacher Punkt ist von TAMMANN für das Phenol bestimmt worden.

<sup>4)</sup> Ann. d. Phys. 1844, [4], 9, 249.

<sup>5)</sup> Ann. chim. et phys. 1821, 19, 414.

<sup>6)</sup> Ann. d. Phys. 1900, [4], 2, 1, 424. ARZRUNI, Physikal. Chemie der Kristalle. GRAHNS, Lehrbuch der Chemie, I.



zusehen, daß die Anzahl der möglichen Systeme, die von einer Komponente gebildet werden, beträchtlich erhöht werden kann, wenn die Komponente fähig ist, in verschiedenen Kristallformen zu existieren. Es fragt sich daher, welches die Bedingungen sind, unter denen die verschiedenen polymorphen Formen allein oder in Gegenwart der flüssigen und der dampfförmigen Phase koexistieren können. Um das allgemeine Verhalten derartiger Systeme zu erläutern, wollen wir die Systeme studieren, welche von den verschiedenen kristallinen Formen von Schwefel, Zinn und Benzophenon gebildet werden.

**Schwefel** existiert in zwei bekannten kristallinen Formen, der rhombischen oder oktaedrischen und der monoklinen oder prismatischen. Von diesen schmilzt die erstere bei  $114,5^{\circ}$ , die letztere bei  $120^{\circ}$ <sup>1)</sup>. Bei gewöhnlicher Temperatur kann der rhombische Schwefel unverändert existieren. Wenn er aber auf eine etwas unterhalb des Schmelzpunktes liegende Temperatur erwärmt wird, so geht er in die prismatische Varietät über. Andererseits kann der prismatische Schwefel bei Temperaturen über  $96^{\circ}$  unverändert existieren, während er bei gewöhnlicher Temperatur langsam in die rhombische Form übergeht.

Wenn wir nun das Verhalten des Schwefels mit Hilfe der Phasenregel untersuchen, so finden wir, daß die folgenden Systeme theoretisch möglich sind:

I. Bivariante Systeme: Eine Komponente in einer Phase.

- a) Rhombischer Schwefel.
- b) Monokliner Schwefel.
- c) Schwefeldampf.
- d) Flüssiger Schwefel.

II. Univariante Systeme: Eine Komponente in zwei Phasen.

- a) Rhombischer Schwefel und Dampf.
- b) Monokliner Schwefel und Dampf.
- c) Rhombischer Schwefel und flüssiger Schwefel.
- d) Monokliner Schwefel und flüssiger Schwefel.
- e) Rhombischer und monokliner Schwefel.
- f) Flüssiger Schwefel und Dampf.

III. Invariante Systeme: Eine Komponente in drei Phasen.

- a) Rhombischer Schwefel, monokliner Schwefel und Dampf.
- b) Rhombischer Schwefel, flüssiger Schwefel und Dampf.
- c) Monokliner Schwefel, flüssiger Schwefel und Dampf.
- d) Rhombischer Schwefel, monokliner Schwefel und flüssiger Schwefel.

**Dreifacher Punkt: rhombischer Schwefel, monokliner Schwefel und Dampf. Umwandlungspunkt.** — Wir haben gesehen, daß in dem Falle Eis, Wasser und Dampf beim dreifachen Punkt der Dampfdruck des Eises und der Dampfdruck des Wassers gleich sind. Unter diesem Punkt ist das Eis stabil und über diesem Punkt ist das Wasser stabil. Wir sahen ferner, daß unter  $0^{\circ}$  der Dampfdruck des stabilen Systems niedriger ist als der Dampfdruck des metastabilen Systems und daß infolgedessen die Dampfdruckkurve beim dreifachen Punkt einen Knick aufweist, und zwar so, daß die Dampfdruckkurve oberhalb des dreifachen Punktes langsamer ansteigt als unterhalb desselben. Nun ist zwar der Dampfdruck des festen Schwefels nicht ermittelt worden, allein wir können trotzdem annehmen, daß er einen gewissen, wenn auch sehr geringen Dampfdruck besitzt<sup>2)</sup>, und daß bei derjenigen Temperatur, bei der die Dampfdrucke des rhombischen und des monoklinen Schwefels gleich werden, diese beiden festen

<sup>1)</sup> BRODIE, Proc. Roy. Soc. 1855, 7, 24.

<sup>2)</sup> Daß der feste Schwefel einen gewissen Dampfdruck besitzt, wurde von HALLOCK gezeigt, der beobachtete, daß sich bei gewöhnlicher Temperatur in einem Rohr, welches Schwefel und Kupfer enthielt, Kupfersulfid bildete (Amer. Journ. Science 1889 [3], 37, 405. Vgl. auch GHILIS, Zeitschr. phys. Chem. 1904, 50, 219.



Formen gleichzeitig nebeneinander und mit dem Dampf im Gleichgewicht existieren können. Unterhalb dieser Temperatur wird nur eine Form, die mit dem niedrigeren Dampfdruck, stabil sein, und oberhalb dieser Temperatur wird nur die andere Form neben Dampf stabil sein. Beim Passieren des dreifachen Punktes wird daher die eine Form in die andere übergehen. Diese Temperatur ist in unserem Diagramm (Fig. 5) mit  $O$  bezeichnet, indem die beiden Kurven  $AO$  und  $OB$  schematisch den Dampfdruck des rhombischen, beziehungsweise des monoklinen Schwefels darstellen. Wenn die

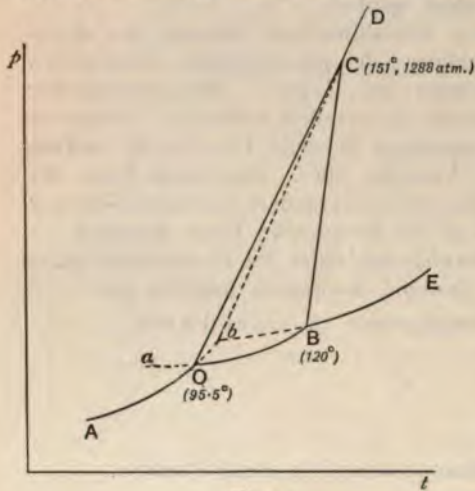


Fig. 5.

Die Dampfphase abwesend ist und das System unter einem konstanten Druck, z. B. dem Atmosphärendruck gehalten wird, so existiert ebenfalls eine bestimmte Temperatur, bei der die beiden festen Formen im Gleichgewicht sind, und auch beim Passieren dieser Temperatur findet eine vollständige und umkehrbare Umwandlung der einen Form in die andere statt. Diese Temperatur für das Gleichgewicht in Abwesenheit der Dampfphase wird als Umwandlungstemperatur oder Übergangstemperatur bezeichnet.

Wenn wir nur auf die Messungen des Druckes und der Temperatur angewiesen wären, so würde die Bestimmung der Umwandlungstemperatur mit großen Schwierigkeiten verbunden sein. Wenn wir jedoch bedenken, daß auch die anderen physikalischen Eigenschaften der festen Phasen, z. B. die Dichte, beim Passieren der Umwandlungstemperatur eine plötzliche Änderung erleiden, wenn die eine Form in die andere übergeht, so kann jede Methode, durch welche eine solche plötzliche Änderung der physikalischen Eigenschaften entdeckt werden kann, dazu dienen, die Umwandlungstemperatur zu bestimmen. Es sind zahlreiche derartige Methoden ersonnen worden, und die wichtigsten derselben sind im Anhang beschrieben.

Die Umwandlungstemperatur des Schwefels, d. h. die Temperatur, bei welcher der rhombische Schwefel in den monoklinen Schwefel übergeht, ist nach REICHER<sup>1)</sup> 95,5°. Unterhalb dieser Temperatur ist der oktaedrische Schwefel, oberhalb derselben der monokline Schwefel die stabile Form.

**Kondensierte Systeme.** — Wir haben bereits gesehen, daß bei der Änderung des Schmelzpunktes des Eises mit dem Druck eine sehr bedeutende Steigerung des letzteren erforderlich ist, um eine verhältnismäßig geringe Änderung in der Gleichgewichtstemperatur zu bewirken. Dies ist eine Eigentümlichkeit aller Systeme, bei denen die Dampfphase abwesend ist und die nur aus festen und flüssigen Phasen bestehen und deren gegenseitige Umwandlungen sich ohne große Volumenänderungen vollziehen. Derartige Systeme werden als kondensiert Systeme<sup>2)</sup> bezeichnet, und bei der Bestimmung der Gleichgewichtstemperatur solcher Systeme erhält man praktisch dieselbe Temperatur, einerlei ob die Messungen unter dem Atmosphärendruck oder nur unter dem Druck des eigenen Dampfes der festen und flüssigen Phasen ausgeführt werden. Die in offenen Gefäßen unter dem Atmosphärendruck bestimmte Umwandlungstemperatur unterscheidet sich daher nur sehr wenig von dem dreifachen Punkt oder derjenigen

<sup>1)</sup> Zeitschr. f. Kristallogr. 1884, 8, 593.

<sup>2)</sup> VAN'T HOFF, Etudes de dynamique chimique, S. 141.



Temperatur, bei welcher die beiden festen oder flüssigen Phasen unter dem Druck ihres Dampfes im Gleichgewicht sind. Hierdurch wird die Bestimmung des Umwandlungspunktes bedeutend vereinfacht.

**Verzögerte Umwandlung.** — Der Umwandlungspunkt zweier fester Phasen ist in mancher Hinsicht dem Schmelzpunkt eines festen Stoffes oder demjenigen Punkt vergleichbar, bei welchem der feste Körper in eine Flüssigkeit übergeht. In beiden Fällen ist die Phasenänderung in der Weise an eine bestimmte Temperatur und einen bestimmten Druck gebunden, daß unterhalb dieser Temperatur die eine Phase und oberhalb derselben die andere Phase stabil ist. Der Umwandlungspunkt unterscheidet sich aber von einem Schmelzpunkt dadurch, daß es möglich ist, eine Flüssigkeit zu unterkühlen, während kein einziges Beispiel bekannt ist, daß ein fester Körper über den dreifachen Punkt hinaus erwärmt worden ist, ohne in den flüssigen Zustand überzugehen. Die Umwandlung wird also nur auf der einen Seite des Schmelzpunktes verzögert. Bei zwei festen Phasen dagegen kann der Umwandlungspunkt in beiden Richtungen überschritten werden, so daß jede Phase im metastabilen Zustand erhalten werden kann. Bei unterkühltem Wasser bewirkt, wie wir gesehen haben, die Einführung der stabilen festen Phase die sofortige Umwandlung des metastabilen in den stabilen Gleichgewichtszustand. Bei zwei festen Phasen dagegen findet die Umwandlung der metastabilen Modifikation in die stabile selbst in Gegenwart der stabilen Form oft nur sehr langsam statt. Diese Langsamkeit, mit welcher der stabile Gleichgewichtszustand erreicht wird, erhöht in vielen Fällen die Schwierigkeit, mit der die Bestimmung des Umwandlungspunktes verbunden ist. Die Erscheinungen der verzögerten Umwandlung oder „Überschreitung“ werden später (S. 43) eingehender diskutiert werden.

**Umwandlungskurve. Rhombischer und monokliner Schwefel.** — Ebenso wie wir fanden, daß sich der Schmelzpunkt mit dem Druck ändert, finden wir auch, daß eine Änderung des Druckes eine Änderung des Umwandlungspunktes bewirkt. Für den Übergang des rhombischen Schwefels in den monoklinen wird der Umwandlungspunkt durch einen Druck von 1 Atm. um  $0,04^{\circ}$ — $0,05^{\circ}$  erhöht<sup>1)</sup>. Die Umwandlungskurve, d. h. die Kurve, welche die Änderung des Umwandlungspunktes mit dem Druck darstellt, entfernt sich daher von der Druckachse nach rechts. Dies ist die Kurve *OC* (Fig. 5).

**Dreifacher Punkt: Monokliner Schwefel, Flüssigkeit und Dampf.** **Schmelzpunkt des monoklinen Schwefels.** — Oberhalb  $95,5^{\circ}$  ist, wie wir gesehen haben, der monokline Schwefel die stabile Form. Wenn er bei Atmosphärendruck auf  $120^{\circ}$  erhitzt wird, so schmilzt er. Diese Temperatur ist also der Gleichgewichtspunkt zwischen monoklinem Schwefel und flüssigem Schwefel bei Atmosphärendruck. Da wir es mit einem kondensierten System zu tun haben, so fällt diese Temperatur ziemlich genau mit demjenigen Punkt zusammen, bei welchem der feste Körper und die Flüssigkeit im Gleichgewicht mit ihrem Dampf sind, d. h. mit dem dreifachen Punkt fest (monoklin)-flüssig-Dampf. Dieser Punkt ist in der Figur mit *B* bezeichnet.

**Dreifacher Punkt: rhombischer Schwefel—monokliner Schwefel—flüssiger Schwefel.** — Der Schmelzpunkt des monoklinen Schwefels wird im Gegensatz zum Schmelzpunkt des Eises durch zunehmenden Druck erhöht, und die Schmelzkurve ist daher nach rechts geneigt. Die Umwandlungskurve von rhombischem und monoklinem Schwefel ist, wie wir gesehen haben, ebenfalls nach rechts geneigt, und zwar stärker als die Schmelzkurve des monoklinen Schwefels. Daher müssen sich die beiden Kurven bei einem gewissen Druck und einer gewissen Temperatur schneiden. Dieser Punkt liegt bei  $151^{\circ}$  und bei einem Druck von 1320 kg per qcm oder 1288 Atmosphären<sup>2)</sup>. Er bildet daher einen

<sup>1)</sup> REICHER, a. a. O.; siehe auch TAMMANN, Ann. d. Phys. 1899, [3], 68, 663.

<sup>2)</sup> TAMMANN, Ann. d. Phys. 1899, [3], 68, 633.

zweiten dreifachen Punkt, dessen Existenz von ROOZEBOOM<sup>1)</sup> vorausgesagt worden war, bei welchem rhombischer Schwefel und monokliner Schwefel gleichzeitig miteinander und mit flüssigem Schwefel im Gleichgewicht sind. Er ist in der Figur mit *C* bezeichnet. Über diesen Punkt hinaus hört der monokline Schwefel auf in stabilem Zustand zu existieren. Bei Temperaturen und Drucken über diesem dreifachen Punkt ist der rhombische Schwefel die stabile Modifikation, und diese Tatsache ist von mineralogischem Interesse, da sie das natürliche Vorkommen rhombischer Kristalle erklärt. Unter gewöhnlichen Umständen scheidet sich aus geschmolzenem Schwefel beim Erkalten prismatischer Schwefel aus, allein bei Temperaturen über 151° und unter Drucken größer als 1288 Atm. würde die rhombische Form entstehen<sup>2)</sup>.

**Dreifacher Punkt: rhombischer Schwefel – Flüssigkeit – Dampf. Metastabiler dreifacher Punkt.** — Infolge der Langsamkeit, mit welcher die Umwandlung der einen Form in die andere beim Überschreiten des Umwandelungspunktes stattfindet, ist es gelungen, den rhombischen Schwefel bis zu seinem Schmelzpunkt (114,5°) zu erwärmen. Bei dieser Temperatur ist nicht nur der rhombische Schwefel in metastabilem Zustand, sondern auch die Flüssigkeit ist metastabil, da ihr Dampfdruck größer ist als der Dampfdruck des festen monoklinen Schwefels. Dieser Punkt ist in der Figur mit *b* bezeichnet.

Aus den relativen Lagen des metastabilen Schmelzpunktes des rhombischen Schwefels und des stabilen Schmelzpunktes des monoklinen Schwefels bei 120° sehen wir, daß von den beiden Formen die metastabile den niedrigeren Schmelzpunkt hat. Dies gilt natürlich nur für die relative Stabilität in der Nähe des Schmelzpunktes, da, wie wir wissen, bei niedrigeren Temperaturen der rhombische Schwefel die stabile und der monokline Schwefel die metastabile (oder instabile) Form ist.

**Schmelzkurve des rhombischen Schwefels.** — Wie jeder andere Schmelzpunkt wird auch der Schmelzpunkt des rhombischen Schwefels durch Erhöhung des Druckes verschoben. Steigerung des Druckes erhöht den Schmelzpunkt, und wir können daher eine metastabile Schmelzkurve erhalten, die die Bedingungen angibt, unter denen der rhombische Schwefel mit flüssigem Schwefel im Gleichgewicht ist. Diese metastabile Schmelzkurve muß durch den dreifachen Punkt *C* für rhombischen Schwefel, monoklinen Schwefel und flüssigen Schwefel gehen, und indem sie diesen Punkt passiert, wird sie eine stabile Schmelzkurve. Daher bildet die Fortsetzung dieser Kurve über 151° die stabile Schmelzkurve des rhombischen Schwefels (Kurve *CD*).

Diese Kurven sind bei hohen Drucken von TAMMANN untersucht worden. Die Resultate sind aus Fig 6<sup>3)</sup> zu entnehmen. *a* ist die Kurve für monoklinen Schwefel und flüssigen Schwefel, *b* die Kurve für rhombischen Schwefel und flüssigen Schwefel, *c* die Kurve für rhombischen Schwefel und monoklinen Schwefel.

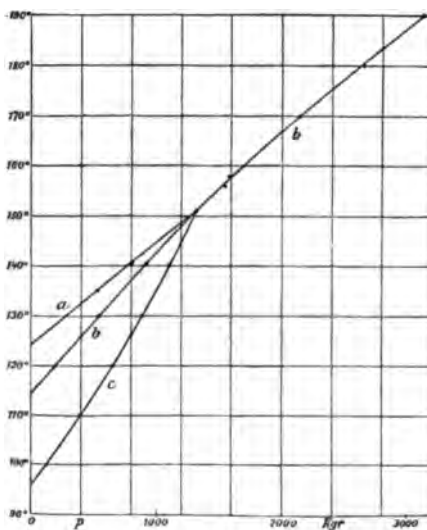


Fig. 6.

Schwefel, *c* die Kurve für rhombischen Schwefel und monoklinen Schwefel.

<sup>1)</sup> Rec. d. Trav. Chim. Pays-Bas, 1887, 6, 314.

<sup>2)</sup> Vgl. VAN'T HOFF, Vorlesungen über theoretische und physikalische Chemie, I, S. 20.

<sup>3)</sup> Ann. d. Phys. 1899, [3], 68, 663.



**Bivariate Systeme.** — Ebenso wie in der Figur für die Zustände des Schwefels geben die Felder in Fig. 5 die Bedingungen für die stabile Existenz der einzelnen Phasen an. In dem Feld links von *AOCD* existiert rhombischer Schwefel, in dem Feld *OBC* monokliner Schwefel, in dem Feld *EBCD* flüssiger Schwefel und unterhalb der Kurve *AOBE* Schwefeldampf. Wie aus der Figur zu ersehen ist, ist die Existenz des monoklinen Schwefels nach allen Seiten hin begrenzt, indem das Feld von den Kurven *OB*, *OC* und *BC* umschlossen wird. In jedem Punkt außerhalb dieser Fläche kann der monokline Schwefel nur im metastabilen Zustand existieren.

Es sind noch andere kristallinische Formen des Schwefels beobachtet worden<sup>1)</sup>, so daß außer den beschriebenen noch andere Systeme der einen Komponente Schwefel existieren können. Auf diese werden wir später zurückkommen.

### C) Zinn.

Eine andere Substanz, welche fähig ist, in mehr als einer kristallinischen Form zu existieren, ist das Metall Zinn, und obgleich das Verhalten, soweit es studiert worden ist, im allgemeinen dem des Schwefels analog ist, soll doch eine kurze Beschreibung der beiden Varietäten des Zinns gegeben werden, nicht nur wegen des metallurgischen Interesses, sondern auch wegen der Bedeutung, welche die Erscheinungen für den Gebrauch des Metalls im alltäglichen Leben haben.

Nach einem äußerst strengen Winter in Rußland (1867—1868) machte man eine etwas unangenehme Entdeckung, daß eine Anzahl von Zinnblöcken, die im Allhaus von St. Petersburg aufbewahrt worden waren, zu einem grauen Pulver zerfallen waren<sup>2)</sup>. Daß das Zinn eine Veränderung erleidet, wenn es einer starken Kälte ausgesetzt wird, war übrigens schon früher, ja schon zur Zeit des Aristoteles bekannt, der das Zinn als „schmelzend“ bezeichnete<sup>3)</sup>. Der Ausdruck mag uns heute lächerlich vorkommen, aber Aristoteles hatte, ohne es selbst zu wissen, mit dem Worte einen dem Schmelzen vollkommen analogen Vorgang bezeichnet, dem die Bedingungen, unter denen das gewöhnliche weiße Zinn in die graue Modifikation übergeht, in vieler Hinsicht denjenigen analog sind, unter denen die feste Substanz aus dem festen in den flüssigen Zustand übergeht. Dies geschieht jedoch außerhalb des Gesichtskreises des griechischen Philosophen.

Sowohl hinsichtlich der Bedingungen, unter denen die Umwandlung des weißen Zinns in die allotrope Form stattfindet, als auch hinsichtlich der Ursache der Umwandlung herrschte lange Zeit eine erhebliche Verwirrung. Unter der Führung der Phasenlehre ist diese Verwirrung aufgeklärt und das „mysteriöse“ Verhalten des Zinns mit anderen Umwandlungserscheinungen in Einklang gebracht worden<sup>4)</sup>.

**Umwandlungspunkt.** — Wie beim Schwefel gibt es auch beim Zinn einen Umwandlungspunkt, oberhalb dessen die eine Form, das gewöhnliche weiße Zinn, und unterhalb dessen die andere Form, das graue Zinn, die stabile Varietät ist. Die Umwandlungstemperatur ist bei diesem Metall 20°, wie COHEN und VAN EYK mittels der dilatometrischen und mittels der elektrischen Methode (s. S. 59) ermittelt haben. Unterhalb dieser Temperatur ist das graue Zinn die stabile Form. Allein wie wir beim Schwefel gesehen haben, vollzieht sich die Umwandlung der metastabilen Form in die stabile außerordentlich langsam, und

<sup>1)</sup> BRAUNS, N. Jahrb. Miner. Beilage-Band 13, 39, (1900).

<sup>2)</sup> FRITSCH, Ber. 1869, 2, 112, 540.

<sup>3)</sup> De mirabilibus auscultationibus, Kap. 51 (s. COHEN, Zeitschr. phys. Chem. 1901, 36, 513).

<sup>4)</sup> E. COHEN u. C. VAN EYK, Zeitschr. phys. Chem. 1899, 30, 601; COHEN, daselbst, 1900, 35, 588; 1901, 36, 513. Siehe auch COHEN u. GOLDSCHMIDT, daselbst, 1904, 50, 225.



dasselbe Verhalten zeigt auch das Zinn. Wenn dies nicht der Fall wäre, so würde das Zinn für die vielen Zwecke, für die es im alltäglichen Leben Verwendung findet, unbrauchbar sein. Denn mit Ausnahme einer verhältnismäßig geringen Anzahl von Tagen ist die Temperatur unseres Klimas unter  $20^{\circ}$ , und das weiße Zinn befindet sich daher bei gewöhnlicher Temperatur im metastabilen Zustand. Die Umwandlung in die stabile Form vollzieht sich, wenn auch langsam, bei gewöhnlicher Temperatur, wie man an Zinngegenständen beobachtet hat, die einige Jahrhunderte in der Erde vergraben gewesen waren und sich ganz oder teilweise verwandelt hatten.



Fig. 7.

stellt ein Stück weißes Zinn dar, welches in der Umwandlung in die graue Varietät begriffen ist<sup>1)</sup>. Die glänzende Oberfläche des Zinns bedeckt sich mit einer Anzahl von warzigen Massen, die aus der weniger dichten grauen Form bestehen. Die Zahl und die Größe dieser Massen nimmt immer mehr zu, bis schließlich das Zinn vollständig in ein graues Pulver umgewandelt ist. Wegen des eigentümlichen Ansehens des in Umwandlung begriffenen Zinns hat man diese Umwandlung als „Zinnpest“ bezeichnet.

Die Geschwindigkeit, mit der die Umwandlung des Zinns vor sich geht, nimmt mit sinkender Temperatur zu und erreicht, wie COHEN und VAN EYK gefunden haben, bei  $-50^{\circ}$  ein Maximum. Durch Berührung mit der stabilen Form wird die Umwandlung natürlich beschleunigt.

Die Umwandlung des weißen Zinns in graues erfolgt mit erhöhter Geschwindigkeit auch in Gegenwart einer Lösung von Ammoniumzinnchlorid (Pinksalz), welche geringe Mengen von Zinn aufzulösen vermag. Man hat gefunden, daß in Gegenwart einer solchen Lösung die Temperatur, bei welcher die Umwandlungsgeschwindigkeit am größten ist, bis auf  $0^{\circ}$  steigt. Bei dieser Temperatur und in Berührung mit einer Lösung von Ammoniumzinnchlorid und mit der grauen Modifikation erleidet das weiße Zinn eine merkliche Umwandlung im Laufe weniger Tage.

Die nach einer Photographie angefertigte Figur 7

<sup>1)</sup> E. COHEN, Zeitschr. phys. Chem. 1900, 33, 58.



**Enantiotropie und Monotropie.** — Im Schwefel und im Zinn haben wir zwei Substanzen kennen gelernt, die in polymorphen Formen existieren, und ebenso haben wir gelernt, daß diese Substanzen einen gewissen Umwandlungspunkt besitzen, bei dem sich ihre relative Stabilität umkehrt. Jede der beiden Formen existiert bis zu einer gewissen Grenze im stabilen Zustand und ist fähig, bei Temperaturen oberhalb und unterhalb des Umwandlungspunktes in die andere Form überzugehen.

Es gibt aber noch eine andere Klasse dimorpher Substanzen, zu denen z. B. die bekannten Verbindungen Jodmonochlorid und Benzophenon gehören. Jede kristallinische Form hat ihren eigenen Schmelzpunkt. Die dimorphen Formen von Jodmonochlorid schmelzen bei  $13,9^{\circ}$  und  $27,2^{\circ 1)}$ , die des Benzophenons bei  $6^{\circ}$  und  $48^{\circ 2)}$ . Diese Klasse von Substanzen unterscheidet sich aber von derjenigen, die wir bereits studiert haben (z. B. Schwefel und Zinn) dadurch, daß bei allen Temperaturen bis zum Schmelzpunkt nur eine der Formen stabil, die andere dagegen metastabil ist. Es gibt daher keinen Umwandlungspunkt, und die Umwandlung der Kristallformen kann nur in einer Richtung beobachtet werden. Diese beiden Klassen von Erscheinungen werden als Enantiotropie und Monotropie bezeichnet. Enantiotrope Substanzen sind solche, bei denen die Umwandlung der einen Form in die andere ein umkehrbarer Prozeß ist (z. B. Umwandlung des rhombischen Schwefels in monoklinen und des monoklinen in rhombischen), und monotrope Substanzen solche, bei denen die Umwandlung der kristallinischen Formen nicht umkehrbar ist.

Diese Verschiedenheit des Verhaltens läßt sich in vielen Fällen durch die Annahme erklären, daß bei enantiotropen Substanzen der Umwandlungspunkt unterhalb des Schmelzpunktes liegt, während er bei den monotropen Substanzen oberhalb des Schmelzpunktes liegt<sup>3)</sup>. Dies wird durch Figur 8 für monotrope und Figur 9 für enantiotrope Substanzen veranschaulicht.

In diesen beiden Figuren ist  $O_3$  der Umwandlungspunkt,  $O_1$  der Schmelzpunkt der metastabilen und  $O_2$  der Schmelzpunkt der stabilen Form. Aus Fig. 9 sehen wir, daß die kristallinische Form I bei allen Temperaturen bis zu ihrem Schmelzpunkt in bezug auf die Form II metastabil ist. In solchen Fällen würde der Umwandlungspunkt nur bei höheren Drucken zu erreichen sein.

Diese Erklärung genügt, wie gesagt, in vielen Fällen, allein sie beweist nicht, daß in allen Fällen von Monotropie der Umwandlungspunkt oberhalb der Schmelzpunkte der beiden Formen liegt. Der Umwandlungspunkt kann auch ebenso gut unterhalb der Schmelzpunkte liegen<sup>4)</sup>. In diesem Falle haben wir es mit der sogenannten Pseudomonotropie zu tun. Möglicherweise stehen Graphit und Diamant<sup>5)</sup>, vielleicht auch die beiden Formen des Phosphors zueinander im Verhältnis der Pseudomonotropie (s. S. 30).

Der Verlauf der Kurven in Fig. 8 und 9 erklärt auch die in manchen Fällen, namentlich bei organischen Verbindungen beobachtete Erscheinung, daß die Substanz erst schmilzt, dann erstarrt und bei einer höheren Temperatur wieder schmilzt. Wenn man nach dem Wiedererstarren den Schmelzpunkt von neuem bestimmt, so erhält man nur den höheren Schmelzpunkt.

Ein solches Verhalten ist in folgender Weise zu erklären. Wenn die Bestimmung des Schmelzpunktes schnell ausgeführt wird, so erhält man den Punkt, den Schmelzpunkt der metastabilen festen Form. Bei dieser Temperatur ist

<sup>1)</sup> STORTENBECKER, Zeitschr. phys. Chem. 1889, 3, 11; Rec. Trav. Chim. Pays-Bas, 1888, 152.

<sup>2)</sup> ZINCKE, Ber. 1871, 4, 576.

<sup>3)</sup> OSTWALD, Zeitschr. Phys. Chem. 1897, 22, 313.

<sup>4)</sup> ROOZEBOOM, Die heterogenen Gleichgewichte, I, S. 177.

<sup>5)</sup> ROOZEBOOM, daselbst, S. 179.



aber die Flüssigkeit in bezug auf die stabile feste Form metastabil, und wenn man die Temperatur nicht über den Schmelzpunkt der letzteren steigen läßt, so kann die Flüssigkeit erstarren. Die so erhaltene stabile feste Modifikation schmilzt erst bei höherer Temperatur.

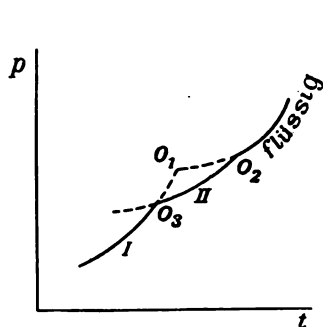


Fig. 8.

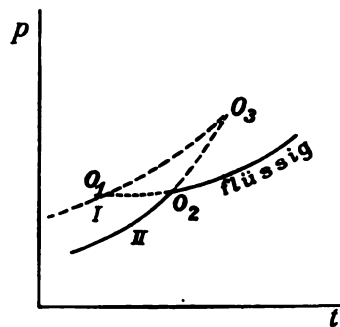


Fig. 9.

### D) Phosphor.

Einen interessanten Fall einer monotropen dimorphen Substanz bildet der Phosphor, der in zwei Kristallformen vorkommt. Der weiße Phosphor gehört dem regulären, der rote Phosphor dem hexagonalen System an. Aus Bestimmungen des Dampfdruckes des flüssigen weißen Phosphors und des festen roten Phosphors<sup>1)</sup> ergab sich, daß der Dampfdruck des roten Phosphors bedeutend niedriger ist als der Dampfdruck des flüssigen weißen Phosphors bei derselben Temperatur. Die gefundenen Werte sind in der folgenden Tabelle zusammengestellt.

Dampfdruck des weißen und des roten Phosphors.

| Dampfdruck des flüssigen weißen Phosphors |             |            |               | Dampfdruck des roten Phosphors |               |
|---|-------------|------------|---------------|--------------------------------|---------------|
| Temperatur                                | Druck in cm | Temperatur | Druck in Atm. | Temperatur                     | Druck in Atm. |
| 165°                                      | 12          | 360°       | 3,2           | 360°                           | 0,1           |
| 180°                                      | 20,4        | 440°       | 7,5           | 440°                           | 1,75          |
| 200°                                      | 26,6        | 494°       | 18,0          | 487°                           | 6,8           |
| 219°                                      | 35,9        | 503°       | 21,9          | 510°                           | 10,8          |
| 230°                                      | 51,4        | 511°       | 26,2          | 531°                           | 16,0          |
| 290°                                      | 76,0        | —          | —             | 550°                           | 31,0          |
| —   | —           | —          | —             | 577°                           | 56,0          |

Diese Werte sind in Fig. 10 graphisch dargestellt.

Bei allen Temperaturen über ungefähr 260° erfolgt die Umwandlung der weißen in die rote Modifikation mit merklicher Geschwindigkeit, und die Geschwindigkeit nimmt mit steigender Temperatur zu. Auch bei niedrigeren Temperaturen, z. B. bei gewöhnlicher Temperatur, wird die Umwandlungsgeschwindigkeit durch den Einfluß des Lichtes<sup>2)</sup> oder durch die Anwesenheit gewisser Substanzen, z. B. von Jod<sup>3)</sup>, gesteigert, ebenso wie die Geschwindigkeit

<sup>1)</sup> SCHRÖTTER, Pogg. Ann. 1850, **81**, 276; TROOST u. HAUTEFEUILLE, Ann. de Chim. et Phys. 1874, [5], **2**, 153; Ann. Scient. École Norm. 1868, [2], II, 266.

<sup>2)</sup> PEDLER, Trans. Chem. Soc. 1890, **57**, 599.

<sup>3)</sup> BRODIE, Trans. Chem. Soc. 1853, **5**, 289.

der Umwandlung von weißem Zinn in die graue Modifikation durch die Anwesenheit von Ammoniumzinnchlorid gesteigert wird (S. 26). Bei gewöhnlicher Temperatur muß daher der weiße Phosphor als die weniger stabile (metastabile) Form angesehen werden. Er kann zwar lange Zeit in Berührung mit rotem Phosphor existieren, aber sein Dampfdruck ist, wie wir gesehen haben, größer als der Dampfdruck der roten Modifikation. Auch seine Löslichkeit in verschiedenen Lösungsmitteln ist größer<sup>1)</sup> als die Löslichkeit der roten Modifikation. Wie wir später sehen werden, ist die Löslichkeit der metastabilen Form immer größer als die der stabilen Form.

Beziehungen wie die am Phosphor beobachteten lassen sich am besten durch eine Figur veranschaulichen. In Fig. 11<sup>2)</sup> stellt  $BO_1$  die Gleichgewichtsbedingungen des univarianten Systems roter Phosphor und Dampf vor, welches bei  $O_1$ , dem Schmelzpunkt des roten Phosphors, endet. CHAPMAN<sup>3)</sup> fand durch Erhitzen des roten Phosphors in Kapillarröhren aus schwer schmelzbarem Glas, daß er beim Schmelzpunkt des Jodkaliums, d. h. bei ungefähr  $630^{\circ}$ <sup>4)</sup>, schmilzt. Der Druck bei dieser Temperatur ist jedoch nicht bekannt.

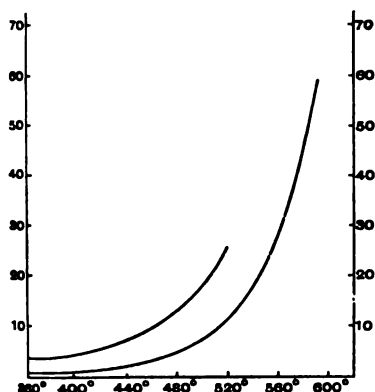


Fig. 10.

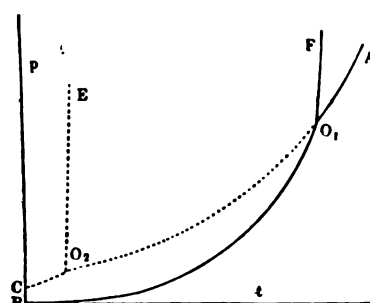


Fig. 11.

Bei  $O_1$  haben wir also den dreifachen Punkt roter Phosphor-Flüssigkeit-Dampf, und von diesem Punkt muß die Verdampfungskurve des flüssigen Phosphors,  $O_1A$ , und die Schmelzkurve des roten Phosphors,  $O_1F$ , ausgehen. Diese Kurven sind allerdings nicht bestimmt worden, aber aus theoretischen Gründen (s. S. 36) muß die letztere etwas nach rechts geneigt sein, d. h. Zunahme des Druckes erhöht den Schmelzpunkt des roten Phosphors.

Wenn der weiße Phosphor auf  $44^{\circ}$  erwärmt wird, so schmilzt er. Bei dieser Temperatur haben wir also einen anderen dreifachen Punkt, weißer Phosphor-Flüssigkeit-Dampf. Der Druck bei dieser Temperatur ist, wie man durch Rechnung festgestellt hat, gleich  $3 \text{ mm}$ <sup>5)</sup>. Dieser Punkt ist der Durchschnitt von drei Kurven, der Sublimationskurve, der Verdampfungskurve und der Schmelzkurve des weißen Phosphors. Die Schmelzkurve,  $O_2E$ , ist von TAMMANN<sup>6)</sup> und von G. A. HULETT<sup>7)</sup> bestimmt worden, und es hat sich ergeben, daß die Zunahme

<sup>1)</sup> Bekannt ist dies von der Löslichkeit in Schwefelkohlenstoff.

<sup>2)</sup> ROOZEBOOM, Die heterogenen Gleichgewichte, I, S. 170.

<sup>3)</sup> Trans. Chem. Soc. 1899, 57, 734.

<sup>4)</sup> CARNELLEY, Trans. Chem. Soc. 1876, 29, 489; 1878, 33, 275. S. MEYER u. RIDDLE, Ber. 1898, 26, 2448. STEIGER, Zeitschr. phys. Chem. 1903, 43, 598.

<sup>5)</sup> RIECKE, Zeitschr. phys. Chem. 1890, 6, 411.

<sup>6)</sup> Ann. d. Phys. 1898, [3], 66, 492.

<sup>7)</sup> Zeitschr. phys. Chem. 1899, 28, 666.

des Druckes um eine Atmosphäre den Schmelzpunkt um  $0,029^{\circ}$  erhöht. Die Sublimationskurve des weißen Phosphors ist noch nicht bestimmt worden.

Wie aus der Tabelle der Dampfdrucke (S. 28) zu ersehen ist, ist der Dampfdruck des weißen Phosphors bis zu  $500^{\circ}$  bestimmt worden. Bei höheren Temperaturen ist jedoch die Geschwindigkeit, mit welcher die Umwandlung in roten Phosphor erfolgt, so groß, daß die Bestimmung des Dampfdruckes bei höheren Temperaturen unmöglich ist. Da aber der Unterschied zwischen weißem Phosphor und rotem Phosphor im flüssigen Zustand verschwindet, so muß die Dampfdruckkurve des weißen Phosphors durch den Punkt  $O_1$ , den Schmelzpunkt des roten Phosphors gehen, und sie muß kontinuierlich in die Kurve  $O_1A$ , die Dampfdruckkurve des flüssigen Phosphors, übergehen (s. unten). Da, wie aus Fig. 10 zu ersehen ist, die Dampfdruckkurve des weißen Phosphors bei höheren Temperaturen sehr schnell steigt, so muß der Knick zwischen  $BO_1$  und  $O_1A$  sehr gering sein.

Im Vergleich mit monotropen Substanzen wie Benzophenon hat der Phosphor die Eigentümlichkeit, daß die Umwandlung der metastabilen in die stabile Modifikation sehr langsam erfolgt. Ferner ist die Zeit, welche zur Erzeugung des Gleichgewichtes zwischen rotem Phosphor und Phosphordampf erforderlich ist, groß im Vergleich mit der Zeit, die erforderlich ist, um dasselbe Gleichgewicht für den weißen Phosphor herzustellen. Dies Verhalten läßt sich am besten durch die Annahme erklären, daß eine Änderung der molekularen Komplexität (Polymerisation) stattfindet, wenn sich der weiße Phosphor in roten verwandelt und wenn der rote Phosphor in Dampf übergeht (Depolymerisation)<sup>1)</sup>.

Diese Annahme wird durch die Tatsache bestätigt, daß aus Messungen der Dampfdichte des Phosphors bei Temperaturen von  $500^{\circ}$  an hervorgeht, daß das Molekulargewicht des Phosphors durch  $P_4$ <sup>2)</sup> ausgedrückt wird. Dasselbe Molekulargewicht ist für den Phosphor in Lösung gefunden worden<sup>3)</sup>. Andererseits hat neuerdings R. SCHENCK<sup>4)</sup> wahrscheinlich gemacht, daß das Molekulargewicht des roten Phosphors mindestens  $P_8$ , vermutlich sogar noch größer ist.

Es ist daher sehr wahrscheinlich, daß wir es beim Phosphor nicht einfach mit zwei polymorphen Formen derselben Substanz, sondern mit polymeren Formen zu tun haben, und daß es keinen Umwandlungspunkt bei Temperaturen über dem absoluten Nullpunkt gibt, wenn wir nicht annehmen, daß die molekulare Komplexität der beiden Formen dieselbe wird. Die Kurve für den roten Phosphor muß daher unter derjenigen des weißen Phosphors liegen, da der Dampfdruck der polymeren Form, wenn sie aus der einfacheren Form unter Wärmeentwicklung entsteht, tiefer liegen muß als die der letzteren Form. Ein Umwandlungspunkt würde allerdings möglich werden, wenn sich das Vorzeichen der Wärmetönung bei der Umwandlung der einen Modifikation in die andere änderte. Wenn ferner die Flüssigkeit, welche beim Schmelzen des roten Phosphors bei  $630^{\circ}$  unter hohem Druck entsteht, ebenfalls in einer polymeren Form größer als  $P_4$  existiert, so würde die metastabile Verdampfungskurve des weißen Phosphors nicht, wie wir oben angenommen haben, durch den Schmelzpunkt des roten Phosphors hindurchgehen<sup>5)</sup>.

Wie wir früher (S. 19) gesehen haben, ist der Dampfdruck des unterkühlten Wassers größer als der des Eises, und es ist daher möglich, wenigstens theoretisch,

<sup>1)</sup> S. NAUMANN, Ber. 1872, 4, 646; TROOST u. HAUTEFEUILLE, Compt. rend. 1868, 66, 795; 1868, 67, 1345; ROOZEBOOM, Die heterogenen Gleichgewichte, I, S. 62, 171.

<sup>2)</sup> MITSCHERLICH, Lieb. Ann. 1834, 12, 137; DEVILLE u. TROOST, Compt. rend. 1863, 56, 891.

<sup>3)</sup> BECHMANN, Zeitschr. phys. Chem. 1890, 5, 79; HERTZ, daselbst, 6, 358.

<sup>4)</sup> Ber. 1902, 35, 351; Vgl. auch K. SCHAU, Ann. d. Chem. 1898, 300, 221; R. WEGSCHEIDER u. KAUFLE, Sitzungsber. kais. Akad. d. Wiss. in Wien, 1901, 110, II, 606.

<sup>5)</sup> S. auch ROOZEBOOM, Die heterogenen Gleichgewichte, I, S. 177.



einen Destillationsprozeß das Wasser von dem einen Ende eines geschlossenen Rohres nach dem anderen Ende zu übertragen und hier als Eis zu verdichten. Wegen des sehr geringen Unterschiedes zwischen dem Dampfdruck von unterem Wasser und von Eis ist der Destillationsprozeß nicht wirklich ausgeführt worden. Beim Phosphor dagegen, bei dem der Unterschied zwischen den Dampfdrücken verhältnismäßig groß ist, ist es möglich, weißen Phosphor von einem Teil einer geschlossenen Röhre nach einem anderen überzudestillieren und hier als roten Phosphor zu verdichten; und da der Dampfdruck des roten Phosphors bei 200° geringer ist als der Dampfdruck des weißen Phosphors bei 200°, so ist es möglich, die Destillation von einer kälteren Stelle der Röhre nach einer wärmeren auszuführen, wenn man an der ersteren weißen und an der letzteren roten Phosphor hat. Ein derartiger Destillationsprozeß ist von TROOST und HAUTEFEUILLE zwischen 324° und 350° ausgeführt worden<sup>1)</sup>.

Ähnliche Beziehungen wie beim Phosphor finden sich beim Cyan und Paraffin und bei anderen organischen Verbindungen. Die ersteren sind von CHAPPUIS<sup>2)</sup>, TROOST und HAUTEFEUILLE<sup>3)</sup> und von DEWAR<sup>4)</sup> studiert worden.

**Enantiotropie neben Monotropie.** — Polymorphe Substanzen können nicht Enantiotropie bzw. Monotropie zeigen, sondern wenn die Substanz in mehr als zwei kristallinen Formen existieren kann, so können beide Beziehungen vorkommen, so daß einige der Formen zueinander enantiotrop sein können, während andere Formen nur Monotropie zeigen. Dies Verhalten ist am Schwefel zu beobachten, der in acht verschiedenen kristallinen Varietäten existieren kann. Von diesen stehen nur der monokline und der rhombische Schwefel zueinander in dem Verhältnis der Enantiotropie, d. h. sie besitzen einen bestimmten Umwandlungspunkt; alle übrigen Formen sind in bezug auf den rhombischen und den monoklinen Schwefel metastabil und bleiben es bis zum Schmelzpunkt, d. h. sie sind nicht monotrope Modifikationen<sup>5)</sup>.

## E) Flüssige Kristalle.

**Beobachtete Erscheinungen.** — Im Jahr 1888 wurde von REINITZER<sup>6)</sup> entdeckt, daß die beiden Substanzen Cholesterylacetat und Cholesterylbenzoat die eigentümliche Eigenschaft besitzen, bei einer ganz bestimmten Temperatur zu festen Flüssigkeiten zu schmelzen, die bei weiterem Erwärmen plötzlich, und ebenfalls bei einer bestimmten Temperatur, klar werden. Später wurde gefunden, daß auch andere Substanzen, namentlich *p*-Azoxyanisol und *p*-Azoxenetol, dieselbe Eigenschaft besitzen, also anscheinend einen doppelten Schmelzpunkt haben<sup>7)</sup>. Beim Erkalten der Flüssigkeiten wiederholen sich die Erscheinungen in umgekehrter Reihenfolge.

Es zeigte sich, daß die so erhaltenen trüben Flüssigkeiten nicht nur die eigentlichen Eigenschaften der Flüssigkeiten, z. B. die Eigenschaft zu fließen, sondern auch die Eigenschaft, in einer Flüssigkeit von gleicher Dichte schwebend zu bleiben, anzunehmen, sondern außerdem auch Eigenschaften besitzen, die man nur an festen kristallinen Substanzen beobachtet hatte, nämlich die Eigenschaft, das Licht doppelt zu brechen und im polarisierten Licht Interferenzerscheinungen zu zeigen.

<sup>1)</sup> Ann. d. Chim. et Phys. 1874, [5], 2, 154.

<sup>2)</sup> Compt. rend. 1887, 104, 1505.

<sup>3)</sup> Compt. rend. 1868, 66, 795.

<sup>4)</sup> Phil. Mag. 1884, [5], 18, 210; s. auch ROOZEBOOM, Die heterogenen Gleichgewichte, 177.

<sup>5)</sup> BRAUNS, N. Jahrb. f. Miner. 1900, Beilage-Band 13, 39; ROOZEBOOM, Die heterogenen Gleichgewichte, I, S. 181.

<sup>6)</sup> Monatshefte, 1888, 9, 435.

<sup>7)</sup> GATTERMANN, Ber. 1890, 23, 1738.



farben zu zeigen. Die trüben Flüssigkeiten sind anisotrop. Diese Flüssigkeiten wurden von O. LEHMANN<sup>1)</sup>, der die optischen Eigenschaften derselben entdeckte, als flüssige Kristalle oder kristallinische Flüssigkeiten bezeichnet.

**Natur der flüssigen Kristalle.** — Während der letzten zehn Jahre ist die Frage, wie die flüssigen Kristalle aufzufassen seien, von einer Anzahl von Forschern diskutiert worden, und einige derselben haben entschieden bestritten, daß die Bezeichnung „flüssig“ auf den kristallinen Zustand angewandt werden dürfe, und es sind verschiedene Versuche gemacht worden zu beweisen, daß die trüben Flüssigkeiten in Wirklichkeit heterogen sind und als Emulsionen betrachtet werden müssen<sup>2)</sup>. Die Anregung für diese Ansicht gab wohl hauptsächlich die Tatsache, daß die anisotropen Flüssigkeiten trübe waren, während die „festen“ Kristalle klar sind. LEHMANN fand jedoch, daß die „einfachen“ flüssigen Kristalle unter dem Mikroskop betrachtet ebenfalls klar sind<sup>3)</sup>, indem die Trübe durch Anhäufung verschieden orientierter Kristalle verursacht wird, ebenso wie ein Stück Kalkspat nicht durchsichtig ist, obgleich es aus durchsichtigen Kristallen zusammengesetzt ist<sup>4)</sup>.

Auch andere Beweise für die heterogene Natur der flüssigen Kristalle sind nicht beigebracht worden. Im Gegenteil, alle chemischen und physikalischen Untersuchungen sprechen dafür, daß sie homogen sind<sup>5)</sup>. Es ist nicht gelungen, aus den milchigen anisotropen Flüssigkeiten eine feste Substanz auszuscheiden. Die anisotrope Flüssigkeit ist in manchen Fällen weniger zähflüssig als die bei höherer Temperatur entstehende isotrope Flüssigkeit, und die Verflüssigungstemperatur ist konstant und wird durch die Temperatur und die Beimischung fremder Substanzen genau so wie bei einer reinen Substanz beeinflußt<sup>6)</sup>.

Es muß ferner auf die kataphoretischen Versuche von BREDIG und v. SCHÜCKOWSKY<sup>7)</sup> und von A. COEHN<sup>8)</sup> hingewiesen werden, die, soweit negative Resultate Beweiskraft besitzen, für die LEHMANNsche Ansicht der Homogenität der flüssigen Kristalle sprechen.

**Gleichgewichtsbeziehungen bei den flüssigen Kristallen.** — Da wir es hier mit Substanzen mit zwei Kristallformen (die wir die feste und die flüssige<sup>9)</sup> Kristallform nennen wollen) zu tun haben, die einen bestimmten Übergangspunkt besitzen, bei welchem die Umwandlung der einen Form in die andere in beiden Richtungen stattfindet, so können wir die Gleichgewichtsbedingungen durch eine

<sup>1)</sup> Zeitschr. phys. Chem. 1889, **4**, 468; Ann. d. Phys. 1900, [4], **2**, 649.

<sup>2)</sup> QUINCKE, Ann. d. Phys. 1894 [3], **53**, 613; TAMMANN, Ann. d. Phys. 1901, [4], **4**, 524; 1902, **8**, 103; ROTARSKY, daselbst, **4**, 528.

<sup>3)</sup> Ann. d. Phys. 1900, [4], **2**, 649.

<sup>4)</sup> Ann. d. Phys. 1902, [4], **8**, 911.

<sup>5)</sup> O. LEHMANN, Ann. d. Phys. 1900, [4], **2**, 649 1905, **18**, 796, 808; Zeitschr. f. Elektrochem. 1905, **11**, 955; REINITZER, Sitzungsber. kais. Akad. zu Wien 1888, **94**, (2), 719. **97**, (1) 167; GATTERMANN, a. a. O.; SCHENCK, Zeitschr. phys. Chem. 1897, **23**, 703, 1898, **25**, 337; **27**, 170; 1899, **28**, 280; SCHENCK u. SCHNEIDER, daselbst, 1899, **29**, 546; AREGG u. SEITZ, daselbst, 1899, **29**, 491; HULETT, daselbst, 1899, **28**, 629; ROTARSKI, Ber. 1903, **36**, 3158; SCHENCK u. EICHWALD, daselbst, 3878; RISING, daselbst, 1904, **37**, 43. Vgl. auch die vortrefflichen zusammenfassenden Werke von O. LEHMANN, Flüssige Kristalle. Leipzig 1904 und von R. SCHENCK, Kristallinische Flüssigkeiten u. flüss. Kristalle. Leipzig 1905.

<sup>6)</sup> A. C. DE KOCK, Zeitschr. physik. Chem. 1904, **48**, 129. Vgl. jedoch G. TAMMANN, Ann. d. Phys. 1906, **19**, 421.

<sup>7)</sup> Ber. 1904, **37**, 3419.

<sup>8)</sup> Zeitschr. f. Elektrochem. 1904, **10**, 856.

<sup>9)</sup> Da zwischen dem gewöhnlichen festen und dem flüssigen Zustand, sowohl bei kristallinen, als auch bei amorphen Körpern, alle Grade der Starrheit beobachtet worden sind, ist vorgeschlagen worden, die Bezeichnungen „fest“ und „flüssig“ aufzugeben und die Körper in „kristallinische“ und „amorphe“ einzuteilen, von denen die einen diskontinuierlich in die anderen übergehen. Die kristallinen Körper besitzen eine gewisse regelmäßige Anordnung der Moleküle und eine Richtungskraft, die in amorphen Körpern fehlt (s. LEHMANN, Ann. d. Phys. 1900 [4], **2**, 696).

darstellen, die in jeder Hinsicht mit der für andere enantiotrope Substanzen, für den Schwefel (S. 22) benutzten Figur übereinstimmt.

(Fig. 12 ist eine schematische Darstellung der Beziehungen gegeben, welche beim *p*-Azoxyanisol gefunden hat<sup>1)</sup>).

Obwohl der Dampfdruck der Substanz im festen oder flüssigen Zustand nicht bestimmt worden ist, wird es doch nach dem, was wir bereits gelernt haben, einsehen, daß die Kurven *AO*, *OB* und *BC*, die beziehungsweise den Dampfdruck der festen Kristalle, der flüssigen Kristalle

und der isotropen Flüssigkeit darstellen, so veranschaulicht es die Figur angibt. Der Punkt *O*, der Umwandlungspunkt für die Umwandlung der festen in die flüssigen Kristalle, liegt bei 118,27°.

Die Änderung des Umwandlungspunktes mit dem Druck beträgt +0,032° für 1 Atm. Die Schmelzkurve *OE* ist daher etwas nach rechts geneigt. Der Punkt *B*, der Schmelzpunkt der flüssigen Kristalle, liegt bei 135,85°.

Der Schmelzpunkt wird um 0,0485° pro Grad erhöht. Die Kurve *BD* ist also ebenfalls nach rechts geneigt, und zwar stärker als die Schmelzkurve.

In dieser Hinsicht verhält sich Azoxyanisol anders als der Schwefel. Die von den Kurven begrenzten Felder repräsentieren die Bedingungen für die stabile Existenz der vier einzelnen Phasen, feste Kristalle, flüssige Kristalle, isotrope Flüssigkeit und Dampf.

Die wichtigsten Substanzen, von denen man weiß, daß sie flüssige Kristalle bilden, sind die folgenden<sup>2)</sup>.

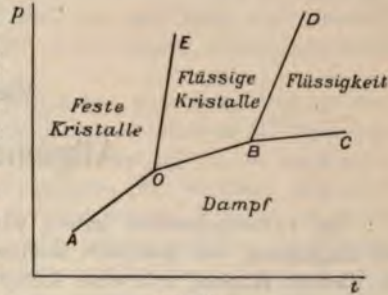


Fig. 12.

| Substanz   | Umwandlungspunkt | Schmelzpunkt |
|--|------------------|--------------|
| Benzylbenzoat . . . . .                                    | 145,5°           | 178,5°       |
| Anisole . . . . .  | 118,3°           | 135,9°       |
| Phenetole . . . . .  | 134,5°           | 168,1°       |
| Verbindungsprodukt von Benzaldehyd und Benzidin . .        | 234°             | 260°         |
| Des <i>p</i> -Oxyäthylbenzaldehyd . . . . .                | 172°             | 196°         |
| Verbindungsprodukt von <i>p</i> -Tolylaldehyd und Benzidin | 231°             | —            |
| Oxyazimsäure . . . . .                                     | 169°             | 185°         |

HULETT, a. a. O.

ROOZEBOOM, Die heterogenen Gleichgewichte, I, S. 144.



## Viertes Kapitel.

### Allgemeine Übersicht.

Im vorhergehenden haben wir gelernt, wie die Prinzipien der Phasenregel zur Aufklärung von Systemen dienen können, die aus einer Komponente bestehen. In diesem Kapitel soll eine kurze Übersicht über die gefundenen Beziehungen gegeben und mehr im allgemeinen diskutiert werden, wie sich die Phasenregel auf andere Systeme von einer Komponente anwenden läßt. Mit Rücksicht auf den Umstand, daß die Anfänger zuweilen geneigt sind, zu viel von der Phasenregel zu erwarten, z. B. daß sie Aufschluß über das genaue Verhalten einer Substanz geben könne, mag hervorgehoben werden, daß die Phasenregel eine allgemeine Regel ist. Sie belehrt uns nur über die allgemeinen Gleichgewichtsbedingungen und überläßt die Ermittlung der bestimmten numerischen Daten dem Experiment.

**Dreifacher Punkt.** — Wir haben bereits (S. 17) einen dreifachen Punkt in einem System von einer Komponente als denjenigen Druck und diejenige Temperatur definiert, bei denen drei Phasen im Gleichgewicht koexistieren. Er repräsentiert daher ein invariantes System (S. 10). Im dreifachen Punkt schneiden sich also drei Kurven, nämlich die Kurven, welche die Gleichgewichtsbedingungen der drei univarianten Systeme darstellen, die man erhält, wenn man die drei Phasen paarweise zusammenstellt. Der gewöhnlichste dreifache Punkt in einem System von einer Komponente ist natürlich der dreifache Punkt fest-flüssig-Dampf ( $S-L-V$ ), allein es sind auch andere dreifache Punkte<sup>1)</sup> möglich, wenn, wie beim Schwefel oder beim Benzophenon, polymorphe Formen existieren. Ob sich die dreifachen Punkte sämtlich experimentell realisieren lassen oder nicht, hängt natürlich von Umständen ab. Wir wollen zunächst nur den dreifachen Punkt  $S-L-V$  betrachten.

Was die allgemeine Anordnung der drei univarianten Kurven um den dreifachen Punkt herum betrifft, so mögen die folgenden Regeln gegeben werden. 1. Die Verlängerung jeder der Kurven über den dreifachen Punkt hinaus muß zwischen den beiden anderen Kurven liegen. 2. Die mittlere Lage bei ein und derselben Temperatur in der Nähe des dreifachen Punktes wird von derjenigen Kurve (oder ihrer metastabilen Verlängerung) eingenommen, welche die beiden Phasen repräsentiert, für welche der Unterschied der spezifischen Volume am größten ist<sup>2)</sup>, d. h. wenn eine Linie konstanter Temperatur unmittelbar oberhalb

<sup>1)</sup> Die Anzahl der möglichen dreifachen Punkte in einem System von einer Komponente ist durch die Formel  $\frac{n(n-1)(n-2)}{1 \cdot 2 \cdot 3}$  gegeben, wenn  $n$  die Anzahl der Phasen ist, in welchen der betreffende Stoff aufzutreten vermag. (RIECKE, Zeitschr. phys. Chem. 1890, **6**, 411). Die Anzahl der dreifachen Punkte wächst demnach sehr schnell, wenn die Anzahl der möglichen Phasen zunimmt.

<sup>2)</sup> DUHEM, Zeitschr. phys. Chem. 1891, **8**, 371. Vgl. ROOZEBOOM, Die heterogenen Gleichgewichte, I, S. 99.

der unterhalb des dreifachen Punktes gezogen wird, so daß sie die drei Kurven — zwei stabile Kurven und die metastabile Verlängerung der dritten — schneidet, ist die Lage der Kurven bei dieser Temperatur eine solche, daß die mittlere Lage von derjenigen Kurve (oder ihrer metastabilen Verlängerung) eingenommen wird, welche das Gleichgewicht der beiden Phasen bezeichnet, für welche der Unterschied der spezifischen Volume am größten ist.

Diese Regeln lassen zwar eine beträchtliche Anzahl von Anordnungen der Kurven um den dreifachen Punkt herum als möglich erscheinen<sup>1)</sup>, allein in dem Falle des dreifachen Punktes fest-flüssig-Dampf sind nur zwei Fälle experimentell festgestellt worden. Wir wollen daher jetzt nur diese beiden Fälle betrachten (Fig. 13 und 14).

Wenn man diese Figuren betrachtet, so überzeugt man sich, daß sie den gegebenen Regeln genügen. Die Verlängerung jeder der drei Kurven fällt zwischen die beiden anderen. Bei Substanzen vom ersten Typus (Fig. 13) ist das spezifische Volume des festen Körpers größer als das der Flüssigkeit (die Substanz zieht sich beim Schmelzen zusammen); der Unterschied der spezifischen Volume ist daher am größten zwischen Flüssigkeit und Dampf. Folglich muß die Kurve für Flüssigkeit und Dampf (oder ihre Verlängerung) zwischen den beiden anderen Kurven liegen. Daß dies der Fall ist, ist aus der Figur zu ersehen. Ebenso genügt die Anordnung der Kurven in Fig. 14 der Regel. Hier ist die Differenz der spezifischen Volume am größten zwischen dem festen Körper und dem Dampf. In diesem Falle nimmt die Kurve  $S-V$  die mittlere Lage ein.

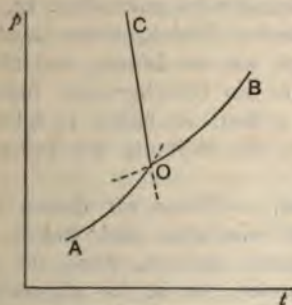


Fig. 13.

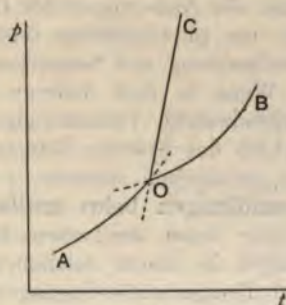


Fig. 14.

Die beiden Figuren unterscheiden sich, wie man sieht, nur dadurch, daß sich die Schmelzkurve  $OC$  in dem einen Falle mit steigendem Drucke der Druckachse nähert, im anderen sich von derselben entfernt, wodurch angezeigt wird, daß der Schmelzpunkt im ersten Falle durch Druck erniedrigt, im zweiten Falle dagegen erhöht wird. Diese Bedingungen finden sich beim Eis und beim Schwefel verwirklicht (S. 15 u. 23). Aus den Figuren ist weiter zu ersehen, daß  $O$  in Fig. 13 die höchste Temperatur angibt, bei welcher der feste Körper existieren kann, da die Kurve für fest-flüssig nach Gebieten von niedrigerer Temperatur zurückgeht. In Fig. 14 gibt  $O$  die niedrigste Temperatur an, bei welcher die flüssige Phase als stabile Phase existieren kann<sup>2)</sup>.

**Sätze von van't Hoff und von Le Chatelier.** — Soweit haben wir nur die Bedingungen studiert, unter denen verschiedene Systeme im Gleichgewicht existieren. Jetzt gehen wir zur Betrachtung der Änderungen über, welche in einem System eintreten müssen, wenn die äußeren Bedingungen der Temperatur und des Druckes verändert werden. Für alle derartige Veränderungen existieren zwei aus der Thermodynamik abgeleitete Sätze, mit deren Hilfe die Veränderungen in

<sup>1)</sup> ROOZEBOOM, Die heterogenen Gleichgewichte, I, S. 99.

<sup>2)</sup> ROOZEBOOM, Zeitschr. phys. Chem. 1888, 2, 474.



einem System qualitativ vorausgesagt werden können<sup>1)</sup>. Der erste dieser beiden Sätze, gewöhnlich VAN'T HOFF'S Gesetz des beweglichen Gleichgewichts genannt<sup>2)</sup>, lautet folgendermaßen: Wenn die Temperatur eines im Gleichgewicht befindlichen Systems erhöht wird, so findet diejenige Reaktion statt, welche von Wärmeabsorption begleitet ist, und umgekehrt, wenn die Temperatur erniedrigt wird, so findet diejenige Reaktion statt, die von Wärmeentwicklung begleitet ist.

Der zweite Satz bezieht sich auf den Einfluß einer Änderung des Druckes und lautet folgendermaßen<sup>3)</sup>: Wenn der Druck auf ein im Gleichgewicht befindliches System erhöht wird, so tritt diejenige Reaktion ein, die von einer Volumverminderung begleitet ist, und wenn der Druck vermindert wird, so tritt eine Reaktion ein, die von einer Volumvermehrung begleitet ist.

Die allgemeine Anwendbarkeit dieser Sätze wurde hauptsächlich von LE CHATELIER nachgewiesen, der gezeigt hat, daß sie als Konsequenzen des allgemeinen Gesetzes der Wirkung und Gegenwirkung betrachtet werden können. Aus diesem Grunde werden sie gewöhnlich als besondere Fälle eines allgemeineren Gesetzes betrachtet, welches unter dem Namen des Satzes von LE CHATELIER bekannt ist und von OSTWALD<sup>4)</sup> folgendermaßen ausgesprochen wird: Übt man auf ein im Gleichgewicht befindliches Gebilde einen Zwang aus, durch den das Gleichgewicht sich verschiebt, so tritt ein Vorgang ein, der sich dem Zwange widersetzt, d. h. dessen Erfolg teilweise aufhebt.

Dieser Satz von LE CHATELIER ist von großer Bedeutung, da er auf alle Systeme und alle Änderungen des Gleichgewichtszustandes anwendbar ist, einerlei ob es sich um physikalisches oder um chemisches Gleichgewicht handelt. Er gilt für Verdampfung und Schmelzung ebenso gut wie für Lösung und chemische Wirkung. Wenn in dem äußeren Zustand eines im Gleichgewicht befindlichen Systems irgendwelche Veränderungen vor sich gehen, so finden in allen Fällen auch innerhalb des Systems Vorgänge statt, die die Wirkung der äußeren Veränderungen aufzuheben streben.

**Umwandlungen beim dreifachen Punkt.** — Wenn wir diesen Satz auf Gleichgewichte beim dreifachen Punkt *S-L-V* anwenden und fragen, welche Umwandlungen in einem solchen System eintreten müssen, wenn die äußeren Druck- und Temperaturbedingungen geändert werden, so ist die allgemeine Antwort auf die Frage diese: Solange die drei Phasen anwesend sind, können keine Änderungen der Temperatur oder des Druckes des Systems eintreten, sondern nur Änderungen in den relativen Mengen der Phasen, d. h. dem Zwange, den eine Änderung der äußeren Bedingungen auf das System ausübt, wirken (den Sätzen von VAN'T HOFF und LE CHATELIER entsprechend) die innerhalb des Systems auftretenden Reaktionen und Umwandlungen entgegen. Wir gehen jetzt zur Diskussion dieser Änderungen über und betrachten zunächst den Einfluß einer Änderung der Temperatur bei konstantem Volum und konstantem Druck, und sodann die Wirkung einer Änderung des Druckes, wenn die Temperatur unverändert bleibt und wenn sie sich ändert.

Wenn das Volum konstant gehalten wird, so ist die Wirkung der Wärmezufuhr zu einem System beim dreifachen Punkt *S-L-V* etwas verschieden, je nachdem Volumvergrößerung oder Volumverkleinerung mit dem Übergange der festen Phase in den flüssigen Zustand verknüpft ist. In dem ersteren und häufigeren

<sup>1)</sup> Wenn die spezifischen Volumes  $v$  der Phasen bekannt sind, und ebenso die Wärmetönung  $Q$  bei der Umwandlung der einen Phase in die andere, so können diese Veränderungen auch quantitativ, und zwar mittels der thermodynamischen Gleichung  $\frac{dp}{dt} = \frac{Q}{T(v_2 - v_1)}$  vorausgesagt werden.

<sup>2)</sup> Studien zur Chemischen Dynamik, S. 223.

<sup>3)</sup> LE CHATELIER, Compt. rend. 1884, 99, 786.

<sup>4)</sup> Grundlinien der anorg. Chemie, (2. Aufl.) S. 139.



Falle (Fig. 14) bewirkt Wärmezufuhr, daß eine gewisse Menge der festen Phase schmilzt, wobei die zugeführte Wärme latent wird, so daß die Temperatur des Systems also nicht steigt. Da aber das Schmelzen des festen Körpers mit einer Volumvergrößerung verbunden ist, was eine Erhöhung des Druckes zur Folge haben würde, so muß sich eine gewisse Menge des Dampfes zu einer Flüssigkeit verdichten, damit der Druck unverändert bleiben kann. Die Gesamtwirkung der Wärmezufuhr besteht also darin, daß sich sowohl feste Substanz als auch Dampf in Flüssigkeit verwandelt, d. h. es findet die Umwandlung  $S + V \rightarrow L$  statt. Es wird daher von den relativen Mengen der festen Substanz und des Dampfes abhängen, was zuerst verschwindet. Wenn die feste Substanz zuerst verschwindet, so erhalten wir das System  $L-V$ , wenn der Dampf zuerst verschwindet, das System  $S-L$ . Wärmeentziehung bewirkt die umgekehrte Umwandlung  $L \rightarrow S + V$ ; bei allen Temperaturen unterhalb des dreifachen Punktes ist daher die Flüssigkeit instabil oder metastabil (S. 18).

Wenn das Schmelzen mit Volumverkleinerung verbunden ist (z. B. Eis, Fig. 13), so wird das Schmelzen der festen Phase das Gesamtvolum vermindern, also den Druck erniedrigen. Infolgedessen muß ebenfalls eine gewisse Menge der festen Substanz in Dampf übergehen, wenn der Druck konstant bleiben soll. Wärmezufuhr bewirkt also die Reaktion  $S \rightarrow L + V$ , und Wärmeentziehung bewirkt die umgekehrte Umwandlung  $L + V \rightarrow S$ . Oberhalb der Temperatur des dreifachen Punktes kann die feste Substanz nicht existieren; unterhalb des dreifachen Punktes können beide Systeme,  $S-L$  und  $S-V$ , existieren, und es wird daher von den relativen Mengen Flüssigkeit und Dampf abhängen, welches dieser beiden Systeme entsteht, wenn  $P$  dem System bei konstantem Volum Wärme entzogen wird.

Dieselben Umwandlungen in den Phasen finden bei Wärmezufuhr oder Wärmeentziehung bei konstantem Druck statt, solange alle drei Phasen vorhanden sind. Fortgesetzte Wärmezufuhr bei konstantem Druck bewirkt jedoch schließlich die Bildung des bivalenten Systems Dampf allein, und fortgesetzte Wärmeentziehung bewirkt schließlich die Bildung der festen Phase allein. Dies ist leicht aus Fig. 15 zu ersehen. Die punktierte Linie  $D'OD$  ist eine Linie konstanten

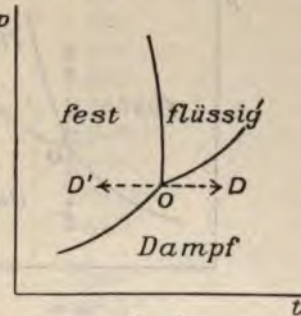


Fig. 15.

Druckes. Wenn Wärme zugeführt wird, so geht das System die Linie  $OD$  entlang in das Dampfgebiet über, und wenn dem System Wärme entzogen wird, so geht es die Linie  $OD'$  entlang in das Gebiet der festen Phase über.

Ähnliche Umwandlungen finden statt, wenn das Volum des Systems geändert wird. Die Änderung des Volums kann entweder stattfinden, während das System weder Wärme aufnehmen, noch Wärme abgeben kann (adiabatische Änderung), oder so, daß ein Wärmeaustausch stattfinden kann (isothermische Änderung). Im letzteren Fall bleibt die Temperatur des Systems konstant, im ersteren Fall dagegen muß die Vergrößerung des Volums Verdampfung der Flüssigkeit zur Folge haben, weil beim dreifachen Punkt der Druck konstant bleiben muß, solange die drei Phasen anwesend sind. Dies muß aber ein Sinken der Temperatur zur Folge haben (da von außen keine Wärme zugeführt wird) und ein Teil der Flüssigkeit muß daher gefrieren. Auf diese Weise wird die latente Verdampfungswärme durch die latente Schmelzwärme ausgeglichen. Die Volumvergrößerung hat daher zur Folge, daß der Prozeß  $L \rightarrow S + V$  stattfindet. Volumverminderung ohne Wärmeaustausch bewirkt die umgekehrte Umwandlung,  $S + V \rightarrow L$ . Im ersteren Fall entsteht schließlich das System  $S-V$ , im letzteren entweder das System  $S-L$  oder das System  $L-V$ , je nachdem der Dampf oder die feste Phase zuerst verschwindet.

Das Gesagte gilt für beide Typen des dreifachen Punktes, die durch Fig. 13 und Fig. 14 (S. 35) veranschaulicht werden. Ein Blick auf diese Figuren lehrt, daß Volumvergrößerung (Druckverminderung) schließlich zum System  $S-V$  führt, da bei Drucken unterhalb desjenigen des dreifachen Punktes die flüssige Phase nicht existieren kann. Volumverminderung (Druckerhöhung) andererseits führt entweder zum System  $S-L$  oder zum System  $L-V$ , da diese Systeme bei höheren Drucken als demjenigen des dreifachen Punktes existieren können. Wenn die Dampfphase verschwindet und wir zur Kurve  $S-L$  übergehen, so wird fortgesetzte Volumverminderung bei Systemen des ersten Typus (Fig. 13) von Fallen und bei Systemen des zweiten Typus (Fig. 14) von Steigen der Temperatur begleitet sein.

Wenn endlich die Temperatur konstant gehalten wird, d. h. wenn Wärme in das System eintreten und aus demselben austreten kann, so wird eine Änderung des Volums dieselben Umwandlungen der Phasen bewirken wie im vorhergehenden Fall, bis eine der Phasen verschwunden ist. Eine fortgesetzte Volumvergrößerung (Druckverminderung) wird dann bewirken, daß eine zweite Phase verschwindet. Das System läuft dann die punktierte Linie  $OE'$  (Fig. 16, 17) entlang, so daß schließlich nur noch die Dampfphase übrig bleibt. Umgekehrt, Volumverminderung (Druckerhöhung) führt schließlich zur festen (Fig. 16) oder zur flüssigen (Fig. 17) Phase allein, indem das System die punktierte Linie  $OE$  entlang läuft.

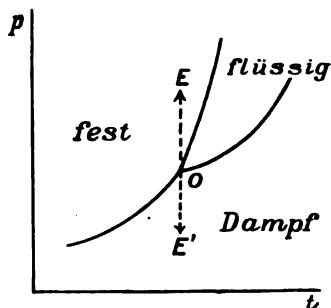


Fig. 16.

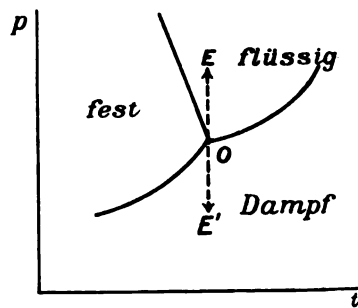


Fig. 17.

Bei der Diskussion der Veränderungen, welche beim dreifachen Punkt stattfinden, wenn sich die Temperatur und der Druck ändern, haben wir nur den dreifachen Punkt  $S-L-V$  betrachtet. Das Gesagte gilt jedoch mutatis mutandis für alle dreifachen Punkte. Wenn daher die spezifischen Volume der Phasen bekannt sind, ebenso das Vorzeichen der Wärmetönung, von welcher die Umwandlung der einen Phase in die andere begleitet ist, so ist es möglich (mit Hilfe des Satzes von LE CHATELIER) die Umwandlungen vorauszusagen, welche in einem System durch Änderung des Druckes und der Temperatur hervorgerufen werden.

Es verdient hervorgehoben zu werden, daß bei allen Umwandlungen beim dreifachen Punkt immer alle drei Phasen an der Umwandlung beteiligt sind<sup>1)</sup>. Die Tatsache, daß z. B. bei der Umwandlung von fest in flüssig oder von flüssig in fest beim Schmelzpunkt bei Änderung der Temperatur anscheinend nur diese beiden Phasen beteiligt sind, hat seinen Grund darin, daß in der Regel ein sehr großer Überschuß der Dampfphase vorhanden ist und infolgedessen die feste oder die flüssige Phase zuerst verschwindet.

Bei dreifachen Punkten, bei welchen zwei feste Phasen mit einer flüssigen im Gleichgewicht sind, sind die Kurven um den dreifachen Punkt herum anders

<sup>1)</sup> ROOZEBOOM, Zeitschr. phys. Chem. 1888, 2, 474.



angeordnet. Wir brauchen jedoch diese Fälle nicht ausführlich zu behandeln, da die Grundsätze, welche wir auf den dreifachen Punkt  $S-L-V$  angewandt haben, auch auf jeden anderen dreifachen Punkt angewandt werden können<sup>1)</sup>.

**Dreifacher Punkt Fest-Fest-Dampf.** — Der dreifache Punkt Fest-Fest-Dampf ist von erheblicher Bedeutung. Als Beispiele solcher dreifacher Punkte wurden bereits der von Schwefel und von Zinn erwähnt, und ein Verzeichnis anderer Substanzen, die zwei feste Phasen bilden können, folgt unten. Der dreifache Punkt  $S-S-V$  ist nicht genau derselbe wie der Umwandlungspunkt, aber er ist es nahezu. Der Umwandlungspunkt ist diejenige Temperatur, bei welcher die relative Stabilität der beiden festen Phasen wechselt, wenn die Dampfphase abwesend ist und der Druck 1 Atm. beträgt, beim dreifachen Punkt dagegen ist der Druck der Dampfdruck des Systems selbst. Der Umwandlungspunkt steht daher zum dreifachen Punkt  $S-S-V$  in derselben Beziehung wie der Schmelzpunkt zum dreifachen Punkt  $S-L-V$ .

In der folgenden Tabelle sind die wichtigsten polymorphen Substanzen nebst den Temperaturen des Umwandlungspunktes zusammengestellt<sup>2)</sup>.

| Substanz   | Umwandlungs-<br>temperatur |
|--|----------------------------|
| Ammoniumnitrat:  |                            |
| $\beta$ -rhombisch $\rightarrow$ $\alpha$ -rhombisch . . . . | 35°                        |
| $\alpha$ -rhombisch $\rightarrow$ rhomboedrisch . . . .      | 83°                        |
| rhomboedrisch $\rightarrow$ regulär . . . .                  | 125°                       |
| Quecksilberjodid . . . . .                                   | 126°                       |
| Kaliumnitrat . . . . .                                       | 129°                       |
| Silberjodid . . . . .  | 145°                       |
| Silbernitrat . . . . .                                       | 160°                       |
| Schwefel . . . . .   | 95,5°                      |
| Tetrabrommethan . . . . .                                    | 46,8°                      |
| Thalliumnitrat:  |                            |
| rhombisch $\rightarrow$ rhomboedrisch . . . .                | 80°                        |
| rhomboedrisch $\rightarrow$ regulär . . . .                  | 142,5°                     |
| Thallumpikrat . . . . .                                      | 46°                        |
| Zinn . . . . .   | 20°                        |

**Sublimationskurve und Verdampfungskurve.** — Wir haben bereits gesehen, daß bei Eis und flüssigem Wasser der Dampfdruck mit steigender Temperatur zunimmt und daß die Zunahme des Druckes pro Grad um so größer ist, je höher die Temperatur ist. Die Sublimationskurve und die Verdampfungskurve sind daher keine geraden Linien, sondern sie sind gekrümmt und zwar so, daß sie in dem gewöhnlichen  $p-t$ -Diagramm die konvexe Seite der Temperaturachse anwenden.

Bei Schwefel und Zinn nahmen wir an, daß von der festen Substanz Dampf abgegeben wird, obwohl der Dampfdruck bis jetzt noch nicht gemessen worden ist. Die Annahme ist aber durchaus gerechtfertigt, nicht nur aus theoretischen Gründen, sondern auch weil bei vielen festen Substanzen der Dampfdruck bei Temperaturen beobachtet worden ist, die weit unter dem Schmelzpunkt

<sup>1)</sup> ROOZEBOOM, Die heterogenen Gleichgewichte, I, S. 189.

<sup>2)</sup> ROOZEBOOM, Die heterogenen Gleichgewichte, I, S. 125. Für die Umwandlungstemperaturen des Ammoniumnitrats und des Silbernitrats siehe auch ZAWIDSKI, Zeitschr. physik. Chem. 04, 47, 727.



liegen<sup>1)</sup>. Bei einigen dieser Substanzen, z. B. Kampfer<sup>2)</sup>, ist der Dampfdruck beträchtlich.

Aus zahlreichen Bestimmungen hat sich ergeben, daß alle Dampfdruckkurven dieselbe allgemeine Form besitzen, von der oben die Rede war. Man hat auch versucht, für die quantitativen Änderungen des Dampfdruckes bei verschiedenen Temperatur einen allgemeinen Ausdruck zu erhalten, aber ohne Erfolg. Nichts destoweniger kann die qualitative Änderung oder die allgemeine Richtung der Kurven mit Hilfe des Satzes von LE CHATELIER vorausgesagt werden.

Wie wir bereits wissen (S. 10) nimmt die Phasenregel keine Rücksicht auf die molekulare Komplexität der Substanzen, welche am Gleichgewicht beteiligt sind. Daher bildet eine Substanz in Berührung mit ihren dampfförmigen Dissoziationsprodukten (z. B. Ammoniumchlorid in Berührung mit Ammoniak und Chlorwasserstoff) ebenfalls ein univariantes System von einer Komponente, vorausgesetzt, daß die Dampfphase dieselbe Zusammensetzung wie die feste oder die flüssige Phase hat (S. 9). Für alle derartige Substanzen werden daher die Gleichgewichtsbedingungen durch eine Kurve von derselben allgemeinen Form dargestellt wie bei einer Substanz, die keine Dissoziation erleidet<sup>3)</sup>. Dasselbe Verhalten zeigen diejenigen Substanzen, welche beim Übergang in den festen oder flüssigen Zustand polymere Formen bilden (z. B. roter Phosphor). Wenn solche Änderungen des molekularen Zustandes eintreten, ist jedoch die zur Herstellung des Gleichgewichtes erforderliche Zeit in der Regel größer, als wenn der molekulare Zustand in beiden Phasen derselbe ist.

Es ist leicht, aus den Figuren 13 und 14 die Wirkung einer Druck- oder Temperaturänderung auf die univarianten Systeme  $S-V$  oder  $L-V$  vorauszusagen. Wenn das Volum konstant gehalten wird, so bewirkt Wärmezufuhr eine Erhöhung des Druckes, das System  $S-V$  bewegt sich die Kurve  $AO$  entlang, bis bei dreifachen Punkt die flüssige Phase entsteht, und das System  $L-V$  bewegt sich die Kurve  $OB$  entlang. Solange zwei Phasen vorhanden sind, muß der Zustand des Systems durch diese beiden Kurven dargestellt sein. Umgekehrt, Wärmeentziehung bewirkt Verdichtung von Dampf und folglich Verminderung des Druckes. Das System bewegt sich daher die Verdampfungskurve oder die Sublimationskurve entlang nach niedrigeren Temperaturen und Drucken hin, solange das System univariant bleibt.

Wenn verhindert wird, daß Wärme in das System eintritt oder aus dem System austritt, so bewirkt Vergrößerung des Volums (Verminderung des Druckes) daß sich das System die Kurve  $BO$  entlang bewegt. Flüssigkeit verwandelt sich in Dampf und die Temperatur sinkt. Bei  $O$  kann feste Substanz auftreten, und die Temperatur des Systems bleibt dann konstant, bis die flüssige Phase verschwunden ist (S. 37). Das System folgt dann der Kurve  $OA$ , bis die feste Phase verschwindet und nur noch Dampf übrig bleibt. Andererseits bewirkt Verminderung des Volums (Zunahme des Druckes) Kondensation von Dampf, und das System  $S-V$  geht der Kurve  $AO$  entlang zu höheren Temperaturen und Drucken über. Bei  $O$  schmilzt die feste Substanz und das System geht schließlich in die Kurve  $OB$  oder  $OC$  über (S. 37).

Zufuhr oder Entziehung von Wärme bei konstantem Druck sowie Erhöhung oder Verminderung des Druckes bei konstanter Temperatur bewirkt, daß sich das System auf Linien parallel zur Temperaturachse, beziehungsweise der Druckachse bewegt. Es mag dem Leser überlassen werden, diese Änderungen nach Anleitung des auf S. 37 und 38 Gesagten näher zu verfolgen.

<sup>1)</sup> ROBERTS-AUSTEN, Proc. Roy. Soc. **63**, 454; SPRING, Zeitschr. phys. Chem. 1894, 1465. S. a. S. 21.

<sup>2)</sup> RAMSAY u. YOUNG, Phil. Trans. 1884, **175**, 461; ALLEN, Trans. Chem. Soc. 1907, 413.

<sup>3)</sup> RAMSAY u. YOUNG, Phil. Trans. 1886, **177**, 87.



Die Sublimationskurve aller Substanzen hat, soviel man weiß, ihre obere Grenze im Schmelzpunkt (dem dreifachen Punkt), obwohl die Möglichkeit eines überhitzten festen Körpers nicht ausgeschlossen ist. Die untere Grenze liegt, wenigstens theoretisch, beim absoluten Nullpunkt, vorausgesetzt daß keine neue Phase, z. B. eine neue kristallinische Modifikation, entsteht. Wenn der Sublimationsdruck einer Substanz bei einer Temperatur unterhalb des Schmelzpunktes größer ist als der Atmosphärendruck, so sublimiert die Substanz ohne zu schmelzen, wenn sie in einem offenen Gefäß erhitzt wird, und Schmelzung ist nur bei einem Druck möglich, der größer als der Atmosphärendruck ist. Dies ist z. B. beim roten Phosphor (S. 29) der Fall. Wenn dagegen der Sublimationsdruck einer Substanz bei ihrem dreifachen Punkt  $S-L-V$  kleiner als der Atmosphärendruck ist, so schmilzt die Substanz, wenn sie in einem offenen Gefäß erhitzt wird.

Bei der Verdampfungskurve liegt die obere Grenze beim kritischen Punkt, bei dem die Flüssigkeit aufhört zu existieren<sup>1)</sup>. Die untere Grenze ist durch die Temperatur bestimmt, bis zu welcher sich der metastabile Zustand der unterkühlten Flüssigkeit erstreckt.

Die Interpolation und Extrapolation der Dampfdruckkurven wird außerordentlich leicht gemacht durch eine von RAMSAV und YOUNG<sup>2)</sup> entdeckte Beziehung zwischen den Dampfdruckkurven verschiedener Substanzen. Es wurde beobachtet, daß bei nahe verwandten Substanzen das Verhältnis der absoluten Temperaturen, welche gleichen Dampfdrucken entsprechen, konstant ist, d. h.

$\frac{T_1}{T_1'} = \frac{T_2}{T_2'}$ . Wenn die beiden Substanzen nicht nahe miteinander verwandt sind, so läßt sich die Beziehung durch die Gleichung  $\frac{T_1}{T_1'} = \frac{T_2}{T_2'} + c(t' - t)$  ausdrücken,

in welcher  $c$  eine Konstante bedeutet, die einen kleinen positiven oder negativen Wert hat, und  $t'$  und  $t$  die Temperaturen sind, bei denen eine der Substanzen die beiden Werte des betreffenden Dampfdruckes hat. Wenn die Dampfdruckkurve einer Substanz bekannt ist, so läßt sich vermittels dieser Gleichung die Dampfdruckkurve einer anderen Substanz aus den Werten des Dampfdruckes dieser Substanz für zwei beliebige Temperaturen berechnen.

**Schmelzkurve — Umwandlungskurve.** — Die Schmelzkurve stellt die Gleichgewichtsbedingungen zwischen der festen und der flüssigen Phase dar. Sie veranschaulicht die Änderung des Schmelzpunktes einer Substanz mit der Änderung des Druckes.

Die Schmelzkurve ist, wie aus den Figuren 13 und 14 zu ersehen ist, entweder nach der Druckachse hin oder von derselben hinweg geneigt, d. h. Zunahme des Druckes kann den Schmelzpunkt entweder erniedrigen oder erhöhen. Es ist leicht, den Einfluß des Druckes auf den Schmelzpunkt in den beiden verschiedenen Fällen in qualitativer Weise vorauszusagen, wenn man die Sache im Lichte des Satzes von LE CHATELIER betrachtet (S. 36). Wasser dehnt sich beim Übergang in Eis aus. Wenn daher der Druck auf das System Eis-Wasser vergrößert wird, so wird eine Reaktion eintreten, die von einer Volumverminderung begleitet ist, d. h. das Eis wird schmelzen. Infolgedessen ist eine niedrigere Temperatur erforderlich, um den Zwang der Druckerhöhung zu vernichten, d. h. der Schmelzpunkt wird durch Druck erniedrigt. Im zweiten Fall ist der Übergang der Flüssigkeit in den festen Zustand von einer Volumverminderung begleitet. Die Wirkung einer Druckerhöhung ist daher die entgegengesetzte wie im vorhergehenden Fall.

<sup>1)</sup> TAMMANN hat jedoch gefunden, daß die Schmelzkurve (fest in Berührung mit flüssig) von Phosphoniumchlorid bis zu Temperaturen oberhalb des kritischen Punktes verfolgt werden kann (Arch. néer. 1901, [2], 6, 224. Siehe auch S. A. Moss, Physical Review, 1903, 16, 356).

<sup>2)</sup> Phil. Mag. 1886, 21, 33.



Wenn der Wert der Schmelzwärme und die beim Schmelzen eintretende Volumänderung bekannt ist, so ist es möglich, die Wirkung des Druckes quantitativ zu berechnen (S. 36 Fußnote).

Wir haben bereits gesehen (S. 16), daß die Wirkung des Druckes auf den Schmelzpunkt einer Substanz als das Ergebnis theoretischer Betrachtungen vorausgesagt und zuerst am Eis experimentell nachgewiesen wurde. Bald darauf zeigte BUNSEN<sup>1)</sup>, daß auch der Schmelzpunkt anderer Substanzen durch den Druck beeinflusst wird, und im Laufe der letzten Jahre ist der Einfluß des Druckes auf den Schmelzpunkt eingehend untersucht worden. Die Änderung des Schmelzpunktes ist jedoch gering. Eine Druckzunahme von 1 Atm. bewirkt im allgemeinen eine Erniedrigung des Schmelzpunktes um ungefähr 0,03°. Beim Wasser ist die Änderung viel kleiner (0,0076°) und beim Kampfer bedeutend größer (0,13°). Es ist also, mit anderen Worten, durchschnittlich ein Druck von mehr als 30 Atmosphären erforderlich, um eine Änderung des Schmelzpunktes um 1° zu bewirken.

Untersuchungen über den Einfluß des Druckes auf den Schmelzpunkt führten zu dem Resultat, daß die Schmelzkurve bis zu Drucken von mehreren hundert Atmosphären eine gerade Linie ist<sup>2)</sup>. TAMMANN<sup>3)</sup> hat jedoch gefunden, daß bei weiterer Steigerung des Druckes die Schmelzkurve nicht gerade bleibt, sondern sich gegen die Druckachse biegt, so daß, wenn der Druck hinreichend gesteigert wird, vielleicht schließlich ein Maximum der Temperatur erreicht wird. Dies Maximum ist jedoch noch nicht beobachtet worden, obwohl die Schmelzpunktkurven mancher Substanzen bis zu Drucken von 4500 Atm. studiert worden sind. Dies erklärt sich zum Teil durch die Tatsache, daß das vermutete Maximum der Temperatur bei den meisten Substanzen bei sehr hohen Drucken liegt, sowie durch die Tatsache, daß, wie beim Eis (S. 20), andere feste Phasen auftreten können.

Was die obere Grenze der Schmelzkurve betrifft, so ist die Ansicht geäußert worden<sup>4)</sup>, daß ebenso wie bei flüssig und Dampf auch bei fest und flüssig eine kritische Temperatur existiert, bei welcher die feste und die flüssige Phase identisch werden. Diese Ansicht durch Versuche zu bestätigen, ist jedoch bis jetzt nicht gelungen<sup>5)</sup>.

Der Umwandlungspunkt wird ebenso wie der Schmelzpunkt durch den Druck beeinflusst, und auch dieser Punkt wird durch Druck entweder erhöht oder erniedrigt, so daß die Umwandlungskurve entweder nach der Druckachse hin oder von derselben hinweg geneigt sein kann. Auch die Richtung der Umwandlungskurve kann vorausgesagt werden, wenn die Volumänderung bekannt ist, welche die Umwandlung der einen Form in die andere begleitet. Beim Schwefel wird, wie wir gesehen haben, der Umwandlungspunkt durch Druckzunahme erhöht. Bei der Umwandlung der rhomboedrischen Form des Ammoniumnitrats in die  $\alpha$ -rhombische dagegen wird, wie aus der folgenden Tabelle<sup>6)</sup> hervorgeht, der Umwandlungspunkt durch Druck erniedrigt.

| Temperatur | Druck  |
|------------|--------|
| 85,85°     | 1 Atm. |
| 84,38°     | 100 „  |
| 83,03°     | 200 „  |
| 82,29°     | 250 „  |

<sup>1)</sup> Pogg. Ann. 1850, **81**, 562.

<sup>2)</sup> BARUS, Amer. Jour. Sci. 1892, **42**, 125; MACK, Compt. rend. 1898, **127**, 361; HULETT, Zeitschr. phys. Chem. 1899, **38**, 629.

<sup>3)</sup> Ann. d. Phys. 1899 [3], **68**, 553; 1900 [4], **1**, 275; **2**, 1; **3**, 161; s. auch TAMMANN, Kristallisieren und Schmelzen, Leipzig 1903.

<sup>4)</sup> OSTWALD, Lehrbuch II, **2**, 373; POYNTING, Phil. Mag. 1881, [5], **12**, 2; PLANCK, Wied. Ann. 1882, **15**, 446.

<sup>5)</sup> ROOZEBOOM, Die heterogenen Gleichgewichte, I, S. 91.

<sup>6)</sup> LUSSANA, Il nuovo Cimento, 1895, [4], **1**, 105.



Nach den vorliegenden Untersuchungen hat es den Anschein, daß die Umwandlungskurve praktisch eine gerade Linie ist. Es ist jedoch von TAMMANN beim Glaubersalz gefunden worden, daß durch Drucksteigerung die Umwandlungskurve durch ein Temperaturmaximum geht und also einen ähnlichen Verlauf aufweist, wie ihn TAMMANN für die Schmelzkurve vermutet (TAMMANN, Zeitschr. phys. Chem. 1903, 46, 818).

**Überschreitungen. Metastabile Gleichgewichte.** — Bisher haben wir nur Systeme im stabilen Gleichgewicht betrachtet. Wir haben aber bereits im Falle des Wassers gesehen, daß beim Abkühlen der Flüssigkeit auf den dreifachen Punkt nicht notwendigerweise Erstarrung eintritt, obwohl die erforderlichen Bedingungen erfüllt sind. Ebenso haben wir (S. 23) gesehen, daß der rhombische Schwefel über den Umwandlungspunkt erhitzt werden und daß monokliner Schwefel bei Temperaturen unter dem Umwandlungspunkt erhalten werden kann, obgleich in beiden Fällen Umwandlung in eine stabilere Form möglich ist. Die Systeme werden durch verzögerte Umwandlung, d. h. durch Überschreitung des Umwandlungspunktes, ohne daß die zu diesem gehörende Umwandlung eintritt, metastabil.

Dasselbe Widerstreben, die neue Phase zu bilden, wird bei der Erscheinung des Überhitzens von Flüssigkeiten sowie beim „Hängen“ des Quecksilbers im Barometer beobachtet, in welchem Falle die Dampfphase nicht entsteht. Wir können daher allgemein sagen, daß eine neue Phase nicht notwendigerweise sofort entsteht, wenn das System in einen solchen Zustand übergeht, durch den die Existenz dieser Phase ermöglicht wird. Das System erfährt keine Umwandlung, durch welche es in denjenigen Zustand übergeht, der unter dem herrschenden Druck und der herrschenden Temperatur der stabilste ist, sondern diese Umwandlung wird verzögert, und das System wird metastabil. Nur beim Übergang der festen Form in die flüssige Phase, in einem System von einer Komponente ist ein solches Widerstreben, die neue Phase zu bilden, noch nicht beobachtet worden.

Um die Bildung der neuen Phase zu sichern, ist es notwendig, daß diese Phase anwesend ist. Die Anwesenheit der festen Phase verhindert die Unterkühlung der Flüssigkeit, und die Anwesenheit der Dampfphase verhindert die Überhitzung der Flüssigkeit. Aber selbst in Gegenwart der stabileren Phase erfolgt die Umwandlung der metastabilen Phase mit sehr verschiedener Geschwindigkeit, in manchen Fällen fast momentan, in anderen so langsam, daß sie zu ihrer Vollendung Hunderte von Jahren erfordert. Diese Langsamkeit der Umwandlung ist der Grund, welcher die Existenz der metastabilen Formen in Berührung mit der stabileren Phase ermöglicht. So ist z. B. der Kalkspat bei gewöhnlicher Temperatur die stabilere Form des Calciumkarbonats<sup>1)</sup>, aber trotzdem existiert die weniger stabile Modifikation, der Aragonit, unter den gewöhnlichen Bedingungen in einem anscheinend sehr stabilen Zustand.

Was die Menge der neuen Phase betrifft, die erforderlich ist, um die Umwandlung der metastabilen Phase zu bewirken, so sind quantitative Messungen nur für den Beginn der Kristallisation in einer unterkühlten Flüssigkeit ausgeführt worden<sup>2)</sup>. Das Resultat dieser Untersuchungen war, daß beim unterkühlten Kalziumchlorid die äußerst geringe Menge von  $1 \times 10^{-7}$  g der festen Phase hinreicht, um die Kristallisation zu bewirken. Die Kristallisation einer unterkühlten Flüssigkeit kann jedoch nur durch einen „Kern“ derselben Substanz im festen Zustand bewirkt werden oder, was ebenfalls beobachtet worden ist, durch einen Kern einer isomorphen festen Phase. Sie wird nicht durch die Anwesenheit eines beliebigen festen Körpers bewirkt<sup>3)</sup>.

<sup>1)</sup> FOOTE, Zeitschr. phys. Chem. 1900, 33, 740.

<sup>2)</sup> OSTWALD, Zeitschr. phys. Chem. 1897, 22, 289.

<sup>3)</sup> Siehe jedoch die Arbeit von JAFFÉ über übersättigte Lösungen, Zeitschr. physikal. Chem. 1903, 43, 565.



**Umwandlungsgeschwindigkeit.** — Es wurde schon darauf hingewiesen, mit welcher Langsamkeit die reziproke Umwandlung der polymorphen Formen vor sich gehen kann. Beim Zinn z. B. wurde gefunden, daß die weiße Modifikation trotz ihrer anscheinenden Beständigkeit sich unter den gewöhnlichen Druck- und Temperaturverhältnissen im metastabilen Zustand befindet. Dieser hohe Grad von Stabilität rührt von der Langsamkeit her, mit der die Umwandlung in die graue Form vor sich geht.

Dieselbe Erscheinung, welche man beim Zinn beobachtet hat, findet man bei allen Umwandlungen im festen Zustand, allein die Umwandlungsgeschwindigkeit ist in manchen Fällen geringer als in anderen und scheint mit zunehmender Valenz des Elementes abzunehmen<sup>1)</sup>. Diesem Umstand schreibt VAN'T HOFF die große Beständigkeit vieler tatsächlich instabiler (oder metastabiler) Kohlenstoffverbindungen zu.

Es ist bereits erwähnt worden, daß die Umwandlungsgeschwindigkeit durch verschiedene Mittel beschleunigt werden kann. Eins der wichtigsten dieser Mittel besteht in der Anwendung einer Flüssigkeit, in der sich die festen Phasen lösen. Wie wir gesehen haben, hat bei einer beliebigen Temperatur die weniger stabile Form den höheren Dampfdruck, während beim Umwandlungspunkt der Dampfdruck beider Formen identisch wird. Ähnlich verhält es sich mit der Löslichkeit. Es läßt sich theoretisch begründen und durch den Versuch beweisen, daß bei einer beliebigen Temperatur die Löslichkeit der weniger stabilen Form größer ist als die der stabileren, daß dagegen beim Umwandlungspunkt die Löslichkeit der beiden Formen identisch wird<sup>2)</sup>.

Wenn daher die beiden festen Phasen mit einem Lösungsmittel in Berührung gebracht werden, so löst sich die weniger stabile Phase in größerer Menge als die stabilere. Die Lösung wird daher in bezug auf die letztere übersättigt und diese scheidet sich aus. Durch das Lösungsmittel wird daher die allmähliche Umwandlung der weniger stabilen Form in die stabilere bewirkt. In dieser Weise ist die Beschleunigung der Umwandlung des weißen Zinns in graues durch die Anwesenheit einer Lösung von Ammoniumzinnchlorid (S. 26) zu erklären. In der Regel wird die Umwandlung einer festen Phase in eine andere durch Lösungsmittel beschleunigt. Diese können aber auch einen verzögernden Einfluß auf die Umwandlungsgeschwindigkeit ausüben, was z. B. von REINDERS am Quecksilberjodid<sup>3)</sup> beobachtet wurde.

Auch die Umwandlungsgeschwindigkeit wird durch verschiedene Lösungsmittel in verschiedener Weise beeinflusst, und die Umwandlung erfolgt anscheinend, wenigstens in einigen Fällen, um so langsamer, je zähflüssiger das Lösungsmittel ist. So teilen KASTLE und REED<sup>4)</sup> mit, daß gelbe Kristalle von Quecksilberjodid, die gewöhnlich sehr schnell in die rote Modifikation übergehen, länger als ein Jahr unter Vaseline aufbewahrt worden sind.

Auch die Temperatur hat einen großen Einfluß auf die Umwandlungsgeschwindigkeit. Je höher die Temperatur ist und je weiter sie vom Gleichgewichtspunkt (Umwandlungspunkt) entfernt ist, desto größer ist die Umwandlungsgeschwindigkeit. Oberhalb des Umwandlungspunktes wirken diese beiden Faktoren in demselben Sinne und die Umwandlungsgeschwindigkeit nimmt daher mit steigender Temperatur immer mehr zu. Unterhalb des Umwandlungspunktes dagegen wirken die beiden Faktoren in entgegengesetztem Sinne, und je mehr die Temperatur erniedrigt wird, desto mehr wird der Einfluß der Entfernung vom Gleichgewichtspunkt ausgeglichen. Es muß daher ein Punkt erreicht werden, bei welchem

<sup>1)</sup> VAN'T HOFF, Arch. néer. 1901, 6, 471.

<sup>2)</sup> S. z. B. die Bestimmung der Löslichkeit des rhombischen und des monoklinen Schwefels von J. MEYER, Zeitschr. anorg. Chem. 1902, 33, 140.

<sup>3)</sup> Zeitschr. phys. Chem. 1899, 32, 506.

<sup>4)</sup> Amer. Chem. Jour. 1902, 27, 209.



die Geschwindigkeit ein Maximum ist. Wenn die Temperatur unter diesen Punkt sinkt, so nimmt die Umwandlungsgeschwindigkeit sehr schnell ab. Der Punkt des Maximums der Geschwindigkeit ist jedoch kein bestimmter, indem er durch verschiedene Ursachen beeinflusst wird. Beim Zinn z. B. hängt er, wie COHEN gefunden hat, davon ab, ob das Metall bereits eine Umwandlung erlitten hat, ebenso von der Anwesenheit verschiedener Flüssigkeiten<sup>1)</sup>.

Endlich übt die Anwesenheit geringer Mengen von verschiedenen Substanzen — Katalysatoren — einen großen Einfluß auf die Umwandlungsgeschwindigkeit aus. So wird z. B. die Umwandlung des weißen Phosphors in roten durch die Anwesenheit von Jod beschleunigt (S. 28).

Größere Aufmerksamkeit ist dem Studium der Kristallisationsgeschwindigkeit einer unterkühlten Flüssigkeit zugewendet worden. Die ersten Versuche in dieser Richtung wurden von GERNEZ<sup>2)</sup> ausgeführt und betrafen die Kristallisationsgeschwindigkeit von Phosphor und Schwefel. Seitdem ist die Kristallisationsgeschwindigkeit anderer unterkühlter Flüssigkeiten untersucht worden, z. B. der Essigsäure und des Phenols von MOORE<sup>3)</sup>, des unterkühlten Wassers von TUMLIRZ<sup>4)</sup> und einer Anzahl organischer Substanzen von TAMMANN<sup>5)</sup>, FRIEDLÄNDER und TAMMANN<sup>6)</sup> und von BOGOJAWLENSKI<sup>7)</sup>.

Bei der Messung der Kristallisationsgeschwindigkeit waren die unterkühlten Flüssigkeiten in engen Glasröhren enthalten, und es wurde die Zeit ermittelt, die zum Fortschreiten der Kristallisation um eine gewisse Strecke der Röhre erforderlich war. Die Geschwindigkeit wurde in Millimetern per Minute ausgedrückt. Die Ergebnisse dieser Untersuchungen lassen sich in folgender Weise zusammenfassen. Für jeden Grad der Unterkühlung einer Flüssigkeit ist die Kristallisationsgeschwindigkeit konstant. Wenn der Grad der Unterkühlung zunimmt, nimmt auch die Kristallisationsgeschwindigkeit zu und erreicht schließlich bei einem gewissen Punkt ein Maximum, welches für jede Substanz einen bestimmten charakteristischen Wert besitzt. Dieses Maximum bleibt innerhalb gewisser Temperaturgrenzen konstant. Dann nimmt die Geschwindigkeit ziemlich schnell ab und kann bei hinreichender Abkühlung gleich Null werden. Die Flüssigkeit geht dann in eine glasartige Masse über, die (praktisch) selbst in Berührung mit der kristallinen festen Substanz permanent bleibt.

Wenn die Kristallisationsgeschwindigkeit bei Temperaturen über dem Punkt der Maximalgeschwindigkeit studiert wird, findet man, daß die Kristallisationsgeschwindigkeit durch Hinzufügung fremder Substanzen vermindert wird. In manchen Fällen hat man gefunden, daß die Verminderung in der Geschwindigkeit, welche durch Hinzufügung äquivalenter Mengen verschiedener Substanzen hervorgerufen wird, dieselbe ist, und es schien nach PICKARDT möglich zu sein, in dieser Weise die Molekulargewichte von Substanzen zu bestimmen<sup>8)</sup>. Diese Regel gilt jedoch keineswegs allgemein. So wurde von F. DREYER<sup>9)</sup> beim Studium der Kristallisationsgeschwindigkeit von Formanilid gefunden, daß die Verminderung der Geschwindigkeit, welche durch Hinzufügung äquivalenter Mengen verschiedener Substanzen bewirkt wird, nicht dieselbe ist, sondern daß die Hinzufügung fremder Substanzen einen spezifischen Einfluß auf die Kristallisationsgeschwindigkeit ausübt. Auch gilt die Regel von PICKARDTS natürlich

<sup>1)</sup> Zeitschr. phys. Chem. 1900, **35**, 588.

<sup>2)</sup> Compt. rend. 1882, **95**, 1278; 1884, **97**, 1298, 1366, 1433. Siehe auch R. SCHENCK, Ber. d. d. chem. Ges. **35**, 351 (1902); **36**, 979 (1903).

<sup>3)</sup> Zeitschr. phys. Chem. 1893, **12**, 545.

<sup>4)</sup> Sitzungsab. Wien. Akad. 1894, **103**, IIa, 226.

<sup>5)</sup> Zeitschr. phys. Chem. **23—29**. S. auch KÖSTER, daselbst **25—28**.

<sup>6)</sup> Zeitschr. phys. Chem. 1898, **24**, 152.

<sup>7)</sup> Daselbst, 1898, **27**, 585.

<sup>8)</sup> E. VON PICKARDT, Zeitschr. phys. Chem. 1902, **42**, 17.

<sup>9)</sup> Zeitschr. phys. Chem. 1904, **48**, 467.



nicht, wenn die fremde Substanz mit der kristallisierenden Substanz Mischkristalle (10. Kap.) bildet<sup>1)</sup>.

Wenn die Kristallisationsgeschwindigkeit bei Temperaturen unter dem Punkt der Maximalgeschwindigkeit studiert wird, so findet man, daß die Hinzufügung fremder Substanzen die Kristallisationsgeschwindigkeit in manchen Fällen steigert, in anderen Fällen vermindert.

**Regel der Reaktionsstufen.** — Wenn Schwefeldampf auf die gewöhnliche Temperatur abgekühlt wird, so verdichtet er sich zunächst zu Tropfen, die in amorpher Form erstarren und erst nach einiger Zeit kristallinisch werden, und wenn Phosphordampf verdichtet wird, so entsteht zunächst weißer Phosphor und nicht die stabilere Form, roter Phosphor. Man hat auch beobachtet, daß der Schwefel bei gewöhnlicher Temperatur (also weit unter dem Umwandlungspunkt) aus Lösungen in Benzol, Alkohol, Schwefelkohlenstoff und anderen Lösungsmitteln häufig in der monoklinen Form kristallisiert, und daß diese weniger stabilen Kristalle erst nachher in die stabilere rhombische Form übergehen<sup>2)</sup>. Ein ähnliches Verhalten ist auch bei der Umwandlung der monotropen Kristallformen des Schwefels beobachtet worden<sup>3)</sup>.

Es ließen sich noch viele andere Beispiele anführen. Bei organischen Verbindungen z. B. beobachtet man häufig, daß eine Substanz aus einer Lösung zunächst als Flüssigkeit ausgeschieden wird, die erst später in die stabilere kristallinische Form übergeht. Auch bei der Analyse bewirkt schnelle Fällung aus konzentrierter Lösung oft die Ausscheidung einer weniger stabilen und daher mehr löslichen amorphen Form.

Wegen der Häufigkeit der Erscheinung, daß zunächst die weniger stabile Form entsteht, hat OSTWALD<sup>4)</sup> die Regel der Reaktionsstufen aufgestellt. Sie besagt, daß ein System aus einem weniger stabilen Zustand nicht sofort in den stabilsten von allen möglichen Zuständen, sondern zuerst in den nächst beständigeren und nachher stufenweise in den stabilsten übergeht. Dies Gesetz erklärt die Bildung der metastabilen Formen monotroper Substanzen, die sonst nicht zu erhalten sein würden. Es ist nicht immer möglich, die Bildung der am wenigsten stabilen Form zu beobachten, allein es läßt sich ganz gut denken, daß dies von der großen Geschwindigkeit herrührt, mit der jene weniger stabile Form in die stabilere übergeht. Nach dem, was wir über die Umwandlungsgeschwindigkeit metastabiler Phasen gelernt haben, ist es leicht zu verstehen, daß schnelle Abkühlung auf eine niedrige Temperatur die weniger stabile Form zu erhalten strebt, und in Anbetracht des beschleunigenden Einflusses der Temperatur auf die Umwandlungsgeschwindigkeit ist es zu verstehen, daß die Bildung der weniger stabilen Form in überhitzten Systemen schwieriger zu beobachten ist als in unterkühlten. Die Faktoren, welche die Geschwindigkeit beeinflussen, mit der die weniger stabile Modifikation entsteht, scheinen jedoch sehr verschiedenartig zu sein<sup>5)</sup>.

Obwohl man eine Anzahl von Ausnahmen, wenigstens scheinbarer Ausnahmen von der OSTWALDSchen Regel beobachtet hat, bildet sie doch ein ausgezeichnetes Mittel, die beobachteten Erscheinungen zusammenzufassen.

<sup>1)</sup> M. PADOA, Accad. Lincei, Atti, 1904, 13, 329.

<sup>2)</sup> DEVILLE, Compt. rend. 1852, 34, 561; PAYEN, daselbst, 1852, 34, 508; DEBRAY, daselbst, 1858, 46, 576.

<sup>3)</sup> BRAUNS, N. Jahrb. Miner. 1899, 13 (Beilageband), 84. Vgl. auch JAFFÉ, Zeitschr. phys. Chem. 1903, 43, 565.

<sup>4)</sup> Lehrbuch, II, 2, 445; s. auch Grundlinien der anorganischen Chemie. S. 215 ff.

<sup>5)</sup> SCHAUM und SCHÖNBECK, Ann. d. Phys. 1902 [4], 8, 652. Siehe auch JAFFÉ, Zeitschr. phys. Chem. 1903, 43, 565; C. FÜCHTBAUER, daselbst, 1904, 48, 549.



## Fünftes Kapitel.

### Systeme aus zwei Komponenten. Dissoziationserscheinungen.

Im vorhergehenden haben wir das Verhalten von Systemen studiert, die nur aus einer Komponente bestehen, oder von Systemen, in denen alle Phasen, innerlei ob fest, flüssig oder gasförmig, dieselbe chemische Zusammensetzung haben (S. 9). In manchen Fällen war die Komponente eine einfache Substanz, z. B. Phosphor oder Schwefel, in anderen Fällen dagegen war die Komponente eine chemische Verbindung, z. B. Wasser. Die Systeme, zu deren Betrachtung wir jetzt übergehen, sind dadurch charakterisiert, daß die verschiedenen Phasen nicht mehr dieselbe chemische Zusammensetzung haben. Sie können daher der Definition gemäß nicht mehr als System aus einer Komponente angesehen werden.

In den meisten Fällen wird es nicht schwierig sein, über die Anzahl der Komponenten zu entscheiden, wenn man sich an die auf S. 8 und 9 gegebenen Regeln erinnert. Wenn die Zusammensetzung aller Phasen, jede als ein Ganzes betrachtet, dieselbe ist, so muß das System als eins der ersten Ordnung oder als ein System aus einer Komponente betrachtet werden. Wenn zwei der am Gleichgewicht beteiligten Substanzen notwendig und hinreichend sind, um die Zusammensetzung sämtlicher Phasen für den Fall des Gleichgewichtes auszudrücken, so ist das System ein solches von zwei Komponenten. Welche zwei der möglichen Substanzen als Komponenten zu wählen sind, ist jedoch bis zu einem gewissen Grade willkürlich.

Die Grundsätze, welche bei der Wahl der Komponenten maßgebend sind, werden am besten durch das Studium der im folgenden gegebenen Beispiele gelernt.

**Verschiedene Systeme aus zwei Komponenten.** — Wenn wir die Phasenregel,

$$P + F = C + 2 \quad ,$$

auf Systeme aus zwei Komponenten anwenden, so sehen wir, daß vier Phasen miteinander im Gleichgewicht sein müssen, wenn das System invariant sein soll; zwei Komponenten in drei Phasen bilden ein univariantes, zwei Komponenten in zwei Phasen ein bivariantes System. Für Systeme aus einer Komponente war der höchste Grad der Veränderlichkeit zwei (eine Komponente in einer Phase); in Systemen aus zwei Komponenten ist jedoch, wie aus der Formel hervorgeht, ein höherer Grad von Freiheit möglich. Zwei Komponenten, die nur in einer Phase existieren, bilden ein trivariantes System oder ein System mit drei Freiheitsgraden. Außer dem Druck und der Temperatur muß daher noch ein dritter veränderlicher Faktor gewählt werden, und als solcher wird die Konzentration der Komponenten genommen. In Systemen aus zwei Komponenten kann sich so nicht nur, wie in Systemen aus einer Komponente, der Druck und die

wollen wir nur die Systeme *S-S-V*, d. h. die Systeme aus zwei festen dampfförmigen Phase behandeln.

Als Beispiel möge zunächst der bekannte Fall der Dissoziation von Karbonat dienen. Diese Substanz zerfällt beim Erhitzen in Calciumoxyd, brannten Kalk und Kohlendioxyd, was durch die Gleichung  $\text{CaCO}_3 \rightleftharpoons \text{CaO} + \text{CO}_2$  ausgedrückt wird. Nach unserer Definition (S. 6) haben wir hier Phasen, Calciumkarbonat und Calciumoxyd, und eine Dampfphase. I ist daher univariant. Jeder Temperatur entspricht also ein bestimmter Druck des Kohlendioxyds (Dissoziationsdruck), und dieser befolgt dasselbe wie der Dampfdruck einer reinen Flüssigkeit (S. 13), d. h. er ist unabhängig von den relativen und absoluten Mengen der beiden festen Phasen und vom Volumen der Dampfphase. Wenn die Temperatur konstant gehalten wird, wirkt eine Zunahme des Volums, daß eine weitere Menge des Karbonats bis der Druck wieder den der gegebenen Temperatur entsprechenden erreicht. Andererseits bewirkt eine Verminderung des Volums, daß sich dieselbe Menge des Kohlendioxyds mit dem Calciumoxyd verbindet, bis es wieder seinen ursprünglichen Wert erreicht.

Der Dissoziationsdruck des Calciumkarbonats wurde zuerst von Berthollet studiert. Genauere Messungen wurden von LE CHATELIER<sup>1)</sup> ausgeführt, folgenden zusammengehörigen Werte von Temperatur und Druck fand

| Temperatur | Druck in cm Quecksilber |
|------------|-------------------------|
| 547°       | 2,7                     |
| 610°       | 4,6                     |
| 625°       | 5,6                     |
| 740°       | 25,5                    |
| 745°       | 28,9                    |
| 810°       | 67,8                    |
| 812°       | 76,3                    |
| 865°       | 133,3                   |

Wie aus dieser Tabelle zu ersehen ist, wird der Druck des Kohlendioxyds erst bei ungefähr 812° gleich dem Atmosphärendruck. Die vollständige Zersetzung des Calciumkarbonats würde daher unterhalb dieser Temperatur durch Erhitzen in einem offenen Gefäß nicht zu bewirken sein. Wenn aber das Kohlendioxyd sofort nach seiner Bildung, etwa durch einen Luftstrom, entfernt kann, die vollständige Zerlegung schon bei viel niedrigerer Temperatur werden. Denn das Dissoziationsgleichgewicht des Karbonats hängt nur vom Partialdruck des damit in Berührung stehenden, gasförmigen Kohlendioxyds und wenn dieser niedrig gehalten wird, so kann die Zersetzung selbst bei niedriger Temperatur erfolgen, die tiefer liegt als diejenige, bei welcher der Kohlendioxyddruck gleich dem Atmosphärendruck ist.

**Ammoniakverbindungen der Metallchloride.** — Ammoniak hat die Eigenschaft, sich mit verschiedenen Substanzen, namentlich den Verbindungen der Metalle, zu Verbindungen zu vereinigen, die bei Erwärmung das Ammoniak wieder abgeben. Wenn z. B. Ammoniak über Silber geleitet wird, so wird das Gas absorbiert und es entstehen je nach den Bedingungen die Verbindungen  $\text{AgCl} \cdot 3 \text{NH}_3$  und  $2 \text{AgCl} \cdot 3 \text{NH}_3$ . Die

<sup>1)</sup> Compt. rend. 1867, 64, 603.

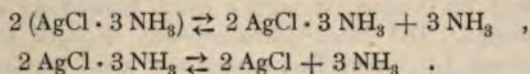
<sup>2)</sup> Compt. rend. 1883, 102, 1243.



am längsten bekannten Substanzen dieser Klasse und sie wurden von FARADAY bei seinen Versuchen über die Verflüssigung des Ammoniaks benutzt. Ähnliche Verbindungen sind durch Einwirkung von Ammoniak auf Silberbromid, Silberjodid, Silbercyanid und Silbernitrat, auch auf die Halogenverbindungen von Calcium, Zink, Magnesium und andere Salze dargestellt worden. Das Verhalten der Ammoniakverbindungen von Silberchlorid ist typisch für diese Klasse von Verbindungen und mag hier kurz beschrieben werden.

ISAMBERT<sup>1)</sup> fand, daß sich Silberchlorid bei Temperaturen unter 15° mit Ammoniak zu der Verbindung  $\text{AgCl} \cdot 3 \text{NH}_3$  vereinigt, während bei Temperaturen über 15° die Verbindung  $2 \text{AgCl} \cdot 3 \text{NH}_3$  entsteht. Es zeigte sich, daß diese beiden Substanzen beim Erhitzen Ammoniak abgeben und daß der Druck dieses Gases in beiden Fällen bei einer gegebenen Temperatur konstant, bei der ersteren Verbindung dagegen größer ist als bei der letzteren, ferner daß der Druck unabhängig von der Menge der zersetzten Substanz ist. Das Verhalten dieser beiden Substanzen ist also ganz analog dem Verhalten des Calciumkarbonats, und auch die Erklärung ist eine ähnliche.

Wenn wir die Sache vom Standpunkt der Phasenregel aus betrachten, so sehen wir, daß wir es hier mit zwei Komponenten,  $\text{AgCl}$  und  $\text{NH}_3$ , zu tun haben. Beim Erhitzen zerfallen die Verbindungen nach folgenden Gleichungen:



Es sind also drei Phasen vorhanden, im ersten Falle  $\text{AgCl} \cdot 3 \text{NH}_3$ ;  $2 \text{AgCl} \cdot 3 \text{NH}_3$  und  $\text{NH}_3$ , im zweiten  $2 \text{AgCl} \cdot 3 \text{NH}_3$ ;  $\text{AgCl}$  und  $\text{NH}_3$ . Diese beiden Systeme sind daher univariant, und jeder Temperatur muß ein bestimmter Dissoziationsdruck entsprechen, einerlei in welchen Mengen die Phasen anwesend sind. Wenn die Temperatur konstant gehalten, aber das Volum vergrößert (oder das entwickelte Ammoniak hinweggepumpt) wird, so bleibt der Druck konstant, solange die beiden festen Phasen  $\text{AgCl} \cdot 3 \text{NH}_3$  und  $2 \text{AgCl} \cdot 3 \text{NH}_3$  anwesend sind, d. h. so lange, bis die ammoniakreichere Verbindung vollständig zersetzt ist. Dann fällt der Druck plötzlich auf denjenigen Wert, welcher dem System  $2 \text{AgCl} \cdot 3 \text{NH}_3 - \text{AgCl} - \text{NH}_3$  entspricht. Der Druck bleibt dann bei konstanter Temperatur wieder konstant, bis alles Ammoniak abgepumpt ist. Dann fällt der Druck wieder plötzlich auf denjenigen Wert, welcher dem aus festem Silberchlorid in Berührung mit seinem Dampf bestehenden System entspricht.

Die umgekehrten Umwandlungen finden statt, wenn der Druck des Ammoniaks allmählich erhöht wird. Wenn das Volum kontinuierlich verkleinert wird, so nimmt der Druck anfangs zu, bis er einen gewissen Wert erreicht hat. Dann kann die Verbindung  $2 \text{AgCl} \cdot 3 \text{NH}_3$  entstehen, und der Druck bleibt jetzt konstant, bis sämtliches Silberchlorid verschwunden ist. Dann steigt der Druck wieder, bis er den Wert erreicht hat, bei dem die Verbindung  $\text{AgCl} \cdot 3 \text{NH}_3$  entstehen kann, und bleibt so lange konstant, bis die Verbindung von niedrigerem Ammoniakgehalt vollständig verschwunden ist. Beim Übergang von einem System zum anderen findet keine allmähliche Änderung des Druckes statt, sondern der Druck ändert sich plötzlich, wie es die Phasenregel erfordert und wie es auch durch den Versuch nachgewiesen ist<sup>2)</sup>.

Die Dissoziationsdrucke der beiden Verbindungen von Silberchlorid und Ammoniak, wie sie von ISAMBERT<sup>3)</sup> ermittelt worden sind, sind in der folgenden Tabelle gegeben:

<sup>1)</sup> Compt. rend. 1868, 66, 1259.

<sup>2)</sup> HORSTMANN, Ber. 1876, 9, 749.

<sup>3)</sup> a. a. O.

| $\text{AgCl} \cdot 3 \text{NH}_3$ |         | $2 \text{AgCl} \cdot 3 \text{NH}_3$ |         |
|-----------------------------------|---------|-------------------------------------|---------|
| Temperatur                        | Druck   | Temperatur                          | Druck   |
| 0°                                | 29,3 cm | 20,0°                               | 9,3 cm  |
| 10,6°                             | 50,5 "  | 31,0°                               | 12,5 "  |
| 17,5°                             | 65,5 "  | 47,0°                               | 26,8 "  |
| 24,0°                             | 93,7 "  | 58,5°                               | 52,8 "  |
| 28,0°                             | 135,5 " | 69,0°                               | 78,6 "  |
| 34,2°                             | 171,3 " | 71,5°                               | 94,6 "  |
| 48,5°                             | 241,4 " | 77,5°                               | 119,8 " |
| 51,5°                             | 413,2 " | 83,5°                               | 159,3 " |
| 54,0°                             | 464,1 " | 86,1°                               | 181,3 " |
|                                   |         | 88,5°                               | 201,3 " |

Die Bedingungen für die Bildung dieser beiden Verbindungen beim Überleiten von Ammoniak über Silberchlorid sind aus der Tabelle leicht zu ersehen. Beim Monochloridtriammoniak wird der Dissoziationsdruck bei einer Temperatur von ungefähr 20° gleich dem Atmosphärendruck. Oberhalb dieser Temperatur kann es daher nicht bei Atmosphärendruck durch Einwirkung von Ammoniak auf Silberchlorid entstehen. Das Dichloridtriammoniak dagegen kann entstehen, da sein Dissoziationsdruck bei dieser Temperatur nur 9 cm beträgt und erst bei ungefähr 68° gleich dem Atmosphärendruck wird. Diese Temperatur bildet daher die Grenze, oberhalb deren bei Atmosphärendruck eine Vereinigung von Silberchlorid und Ammoniak nicht stattfinden kann.

Es mag hier auf die Tatsache hingewiesen werden, auf die wir später noch zurückkommen werden, daß zwei feste Phasen erforderlich sind, damit der Dissoziationsdruck bei einer gegebenen Temperatur bestimmt ist. Für die genaue Bestimmung dieses Druckes muß nicht nur bekannt sein, welches die Substanz ist, die eine Dissoziation erleidet, sondern auch, welches das feste Produkt ist, welches durch die Dissoziation entsteht. Für die Bestimmung des Gleichgewichtes ist das letztere ebenso wichtig wie das erstere. Einen Beweis hierfür werden wir sogleich bei einer analogen Klasse von Erscheinungen, nämlich der Dissoziation wasserhaltiger Salze finden.

**Salze mit Kristallwasser.** — Bei der Entwässerung kristallinischer Salze, welche Kristallwasser enthalten, begegnen wir ganz ähnlichen Erscheinungen wie die, welche wir soeben betrachtet haben. Ein wasserhaltiges Salz zerfällt beim Erwärmen in ein niederes Hydrat (oder wasserfreies Salz) und Wasserdampf. Da die Anzahl der Komponenten, Salz und Wasser<sup>1)</sup>, gleich zwei, und die Anzahl der Phasen, Hydrat *a*, Hydrat *b* (oder wasserfreies Salz) und Dampf, gleich drei ist, so ist das System univariant, und jeder Temperatur entspricht ein bestimmter Dampfdruck (der Dissoziationsdruck), der unabhängig ist von den relativen oder absoluten Mengen der Phasen, d. h. von der Menge des Hydrats, welches bereits eine Dissoziation oder Entwässerung erlitten hat.

Die Konstanz des Dissoziationsdruckes ist von verschiedenen Forschern<sup>2)</sup> eine Reihe von Jahren früher, als die Notwendigkeit derselben theoretisch begründet wurde, experimentell nachgewiesen worden. Bei Salzen, welche mehrere Hydrate bilden, wie z. B. Kupfersulfat, erhalten wir eine Reihe von Dissoziationskurven (*p*-*T*-Kurven). In Fig. 19 sind die Dampfdruckkurven der folgenden univarianten Systeme von Kupfersulfat und Wasser schematisch dargestellt:

<sup>1)</sup> Wegen der Wahl der Komponenten — wasserfreies Salz und Wasser anstatt wasserhaltiges Salz und Wasser — vgl. S. 9.

<sup>2)</sup> Siehe OSWALD, Lehrbuch, II, 2, 527.



Kurve  $OA$ :  $\text{CuSO}_4 \cdot 5\text{H}_2\text{O} \rightleftharpoons \text{CuSO}_4 \cdot 3\text{H}_2\text{O} + 2\text{H}_2\text{O}$

Kurve  $OB$ :  $\text{CuSO}_4 \cdot 3\text{H}_2\text{O} \rightleftharpoons \text{CuSO}_4 \cdot \text{H}_2\text{O} + 2\text{H}_2\text{O}$

Kurve  $OC$ :  $\text{CuSO}_4 \cdot \text{H}_2\text{O} \rightleftharpoons \text{CuSO}_4 + \text{H}_2\text{O}$

Wir wollen jetzt die Umwandlungen verfolgen, welche stattfinden, wenn der Druck des Wasserdampfes in Berührung mit wasserfreiem Kupfersulfat gesteigert wird, während die Temperatur konstant gehalten wird. Wenn wir vom Punkt  $D$  ausgehend zu dem System langsam Wasserdampf hinzufügen, so wird der Druck allmählich größer, ohne daß Hydrat entsteht, weil bei Drucken unterhalb der Kurve  $OC$  nur wasserfreies Salz existieren kann. Bei  $E$  entsteht jedoch das Hydrat  $\text{CuSO}_4 \cdot \text{H}_2\text{O}$ , und da jetzt drei Phasen vorhanden sind, nämlich  $\text{CuSO}_4$ ;  $\text{CuSO}_4 \cdot \text{H}_2\text{O}$  und Dampf, so wird das System univariant; da die Temperatur konstant ist, muß also auch der Druck konstant sein. Ein weiteres Hinzufügen von Dampf hat nur zur Folge, daß die Menge des festen Hydrats zunimmt und die Menge des wasserfreien Salzes abnimmt. Wenn das letztere vollständig verschwunden, d. h. in das Hydrat übergegangen ist, wird das System wieder bivariant und bewegt sich die Linie  $EF$  entlang. Der Druck nimmt daher allmählich zu, bis bei  $F$  das Hydrat  $\text{CuSO}_4 \cdot 3\text{H}_2\text{O}$  entsteht und das System wieder

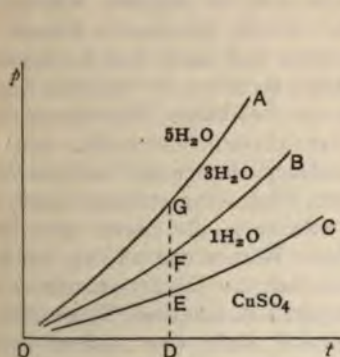


Fig. 19.

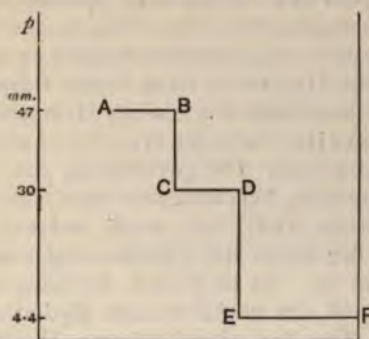


Fig. 20.

univariant wird. Die drei Phasen sind dann  $\text{CuSO}_4 \cdot \text{H}_2\text{O}$  —  $\text{CuSO}_4 \cdot 3\text{H}_2\text{O}$  und Dampf. Der Druck wird daher konstant bleiben, bis das Hydrat  $\text{CuSO}_4 \cdot \text{H}_2\text{O}$  verschwunden ist. Dann nimmt er wieder zu, bis  $G$  erreicht ist. Hier entsteht das Hydrat  $\text{CuSO}_4 \cdot 5\text{H}_2\text{O}$ , und der Druck bleibt wieder konstant, bis das Hydrat  $\text{CuSO}_4 \cdot 3\text{H}_2\text{O}$  vollständig verschwunden ist.

Umgekehrt, wenn  $\text{CuSO}_4 \cdot 5\text{H}_2\text{O}$  entwässert wird, so behält der Druck den dem Dissoziationsdruck des Systems  $\text{CuSO}_4 \cdot 5\text{H}_2\text{O}$  —  $\text{CuSO}_4 \cdot 3\text{H}_2\text{O}$  — Dampf entsprechenden Wert bei, bis das Hydrat  $\text{CuSO}_4 \cdot 5\text{H}_2\text{O}$  vollständig verschwunden ist. Eine weitere Entfernung von Wasser würde bewirken, daß der Druck plötzlich auf den Druck des Systems  $\text{CuSO}_4 \cdot 3\text{H}_2\text{O}$  —  $\text{CuSO}_4 \cdot \text{H}_2\text{O}$  — Dampf fällt. Bei diesem Werte würde er wieder konstant bleiben, bis sich das Trihydrat vollständig in das Monohydrat verwandelt hat. Dann würde eine weitere plötzliche Verminderung des Druckes stattfinden. Dies Verhalten ist schematisch in Fig. 20 dargestellt. Die Werte des Druckes sind die der Temperatur  $50^\circ$  entsprechenden.

**Verwitterung.** — Figur 19 setzt uns in den Stand, die Bedingungen vorauszusagen, unter denen ein wasserhaltiges Salz an der Luft verwittern wird. Das Pentahydrat des Kupfersulfats z. B. entsteht, wie wir soeben gelernt haben, nicht eher, als bis der Druck des Wasserdampfes einen gewissen Wert erreicht hat, und umgekehrt, wenn der Dampfdruck unter den Dissoziationsdruck des Pentahydrats fällt, so erleidet dieses Salz eine Entwässerung. Das kristallisierte wasserhaltige Salz wird daher an der Luft verwittern, wenn der Partialdruck des Wasser-



dampfes in der Luft niedriger ist als der Dissoziationsdruck des Hydrats. Bei gewöhnlicher Temperatur ist der Dissoziationsdruck des Kupfersulfats geringer als der Druck des Wasserdampfes in der Luft und daher verwittert das Kupfersulfat nicht. Beim Dekahydrat des Natriumsulfats dagegen ist der Dissoziationsdruck größer als der normale Dampfdruck der Feuchtigkeit in Zimmerluft, und das Salz verwittert infolgedessen.

**Unbestimmtheit des Dampfdruckes eines Hydrats.** — Bereits im Falle der Ammoniakverbindungen der Metallchloride wurde darauf hingewiesen (S. 52), wie wichtig es ist, das feste Dissoziationsprodukt zu kennen, um den Dissoziationsdruck bestimmen zu können. Ähnlich ist es bei den wasserhaltigen Salzen. Ein Salzhydrat in Berührung mit Dampf bildet nur ein bivariantes System und kann daher, wie aus Fig. 19 zu ersehen ist, bei verschiedenen Werten der Temperatur und des Dampfdruckes existieren. Wasserfreies Kupfersulfat kann in Berührung mit Wasserdampf bei allen Werten der Temperatur und des Druckes existieren, die unterhalb der Kurve *OC* liegen, und das Hydrat  $\text{CuSO}_4 \cdot \text{H}_2\text{O}$  kann in Berührung mit Dampf bei allen Werten der Temperatur und des Druckes existieren, die in dem Feld *BOC* liegen. Ebenso kann jedes der beiden anderen Hydrate in Berührung mit Wasserdampf bei verschiedenen Werten der Temperatur und des Druckes existieren.

Wenn aber bei einer gegebenen Temperatur der Druck eines aus zwei Komponenten bestehenden Systems konstant sein soll, so müssen, wie uns die Phasenregel lehrt, drei Phasen anwesend sein. Streng genommen können wir daher nur vom Dampfdruck eines Systems sprechen, und da in dem vorliegenden Fall die Hydrate in einen festen Körper und Dampf zerfallen, so hat jede Angabe über den Dampfdruck eines Hydrates nur dann eine bestimmte Bedeutung, wenn die zweite feste Phase, die durch die Dissoziation entsteht, mit angegeben ist. Die gewöhnliche Art, vom Dampfdruck eines wasserhaltigen Salzes zu sprechen, bekommt nur dann einen bestimmten Sinn, wenn stillschweigend vorausgesetzt wird, daß, wenn mehrere Hydrate existieren, die zweite feste Phase oder der durch die Entwässerung entstehende feste Körper das nächst niedere Hydrat ist. Es ist jedoch durchaus nicht sicher, daß ein Hydrat immer so zerfällt, daß das nächst niedere Hydrat entsteht, sondern in manchen Fällen entsteht beim Zerfallen eines höheren Hydrats anscheinend nicht das niedere Hydrat, dessen Existenz möglich ist, sondern das wasserfreie Salz<sup>1)</sup>.

Daß ein wasserhaltiges Salz je nach den festen Produkten, welche bei der Zersetzung entstehen, verschiedenen Dampfdruck ausüben kann, läßt sich nicht nur theoretisch beweisen, sondern ist auch experimentell nachgewiesen worden. So zerfällt  $\text{CaCl}_2 \cdot 6\text{H}_2\text{O}$  in Wasserdampf und eins von zwei niederen Hydraten, deren jedes vier Moleküle Kristallwasser enthält und die als  $\text{CaCl}_2 \cdot 4\text{H}_2\text{O} \alpha$  und  $\text{CaCl}_2 \cdot 4\text{H}_2\text{O} \beta$  bezeichnet werden. ROOZEBOOM<sup>2)</sup> hat gezeigt, daß der Dampfdruck verschieden ist, je nachdem das eine oder das andere dieser beiden Hydrate entsteht, wie aus den folgenden Zahlen zu ersehen ist:

| Temperatur | Druck des Systems  |   |
|------------|--|---|
|            | $\text{CaCl}_2 \cdot 6\text{H}_2\text{O};$<br>$\text{CaCl}_2 \cdot 4\text{H}_2\text{O} \alpha; \text{Dampf}$ | $\text{CaCl}_2 \cdot 6\text{H}_2\text{O};$<br>$\text{CaCl}_2 \cdot 4\text{H}_2\text{O} \beta; \text{Dampf}$ |
| —15°       | 0,027 cm   | 0,022 cm  |
| 0°         | 0,092 „  | 0,076 „   |
| +10°       | 0,192 „  | 0,162 „   |
| 20°        | 0,378 „  | 0,315 „   |
| 25°        | 0,508 „  | 0,432 „   |
| 29,2°      | —  | 0,567 „   |
| 29,8°      | 0,680 „  | —   |

<sup>1)</sup> OSTWALD, Lehrbuch II, 2, 538.

<sup>2)</sup> Zeitschr. phys. Chem. 1889, 4, 43.



Weil man früher nicht erkannte, welche Bedeutung auch das feste Dissoziationsprodukt für die Bestimmung des Dissoziationsdruckes eines Hydrates hat, verlieren viele von den älteren Bestimmungen viel von ihrem Werte.

**Verzögerte Umwandlung.** — Ebenso wie in den Systemen aus einer Komponente eine neue Phase nicht notwendigerweise entsteht, auch wenn die Bedingungen für ihre Existenz hergestellt werden, so tritt auch Dissoziation nicht notwendigerweise ein, wenn der Dampfdruck unter den Dissoziationsdruck eines Systems erniedrigt wird. Bekannt ist diese Erscheinung vom Glaubersalz, an welchem sie zuerst von FARADAY beobachtet wurde. Unverletzte Kristalle von  $\text{Na}_2\text{SO}_4 \cdot 10\text{H}_2\text{O}$  konnten an der Luft aufbewahrt werden, ohne daß sie eine Veränderung erleiden, obgleich der Dampfdruck des Systems  $\text{Na}_2\text{SO}_4 \cdot 10\text{H}_2\text{O}$  —  $\text{Na}_2\text{SO}_4$  — Dampf größer ist als der gewöhnliche Druck des Wasserdampfes in der Luft. Obgleich also die Möglichkeit der Bildung der neuen Phase  $\text{Na}_2\text{SO}_4$  gegeben war, entstand die Phase nicht und das System wurde daher metastabil. In Beziehung auf das wasserfreie Salz unbeständig. Wenn aber eine Spur der neuen Phase — wasserfreies Salz — mit dem Hydrat in Berührung gebracht wurde, so trat die Umwandlung ein; das Hydrat verwitterte.

Die Möglichkeit der Überschreitung oder des Nichteintretens der Bildung der neuen Phasen muß auch für den Fall angenommen werden, daß der Dampfdruck über dem dem System Hydrat-wasserfreies Salz (oder niederes Hydrat)-Dampf entsprechenden Druck gesteigert wird. In diesem Fall wird die Bildung des höheren Hydrates möglich, ohne notwendigerweise eintreten zu müssen. Bei wasserhaltigen Salzen ist allerdings kein Beispiel dieser verzögerten Umwandlung bekannt, aber es ist bei den Verbindungen des Ammoniaks mit Metallchloriden beobachtet worden (S. 50). HORSTMANN<sup>1)</sup> hat z. B. gefunden, daß der Druck des Ammoniaks in Berührung mit  $2\text{AgCl} \cdot 3\text{NH}_3$  über den Dissoziationsdruck von  $\text{AgCl} \cdot 3\text{NH}_3$  gesteigert werden kann, ohne daß diese Verbindung entsteht. Wir sehen also, daß die höhere Verbindung nicht immer sofort entsteht, wenn ihre Existenz in Berührung mit der niederen Verbindung möglich wird.

**Grenzen für die Existenz der Hydrate.** — In Figur 19 sind die Dampfdruckkurven der verschiedenen Hydrate des Kupfersulfats so dargestellt, daß sie ihre relativen Lagen innerhalb des ganzen Temperaturintervalles beibehalten. Dies ist aber nicht notwendigerweise der Fall. Es kann zuweilen bei einer gewissen Temperatur die Dampfdruckkurve des niederen Hydrats von der des höheren Hydrats geschnitten werden. Bei Temperaturen oberhalb des Durchschnittspunktes würde das niedere Hydrat einen höheren Dampfdruck besitzen als das höhere Hydrat und würde daher in Beziehung auf das letztere metastabil sein. Das Gebiet für die stabile Existenz des letzteren Hydrats würde demnach am Durchschnittspunkt enden. Dies ist, wie es scheint, der Fall bei den beiden Hydraten von Natriumsulfat, auf die wir im folgenden zurückkommen werden<sup>2)</sup>.

**Konstanz des Dampfdruckes und die Bildung von Verbindungen.** — Wie wir im Falle des Salzhydrates gesehen haben, bewirkt fortgesetzte Hinzufügung der Dampfphase zu dem System bei konstantem Volumen und konstanter Temperatur eine Zunahme des Druckes, bis bei einem bestimmten Wert des Druckes ein Hydrat entsteht. Dann wird der Druck konstant und bleibt es, bis eine der festen Phasen verschwunden ist. Umgekehrt, wenn die Dampfphase entfernt wird, so bleibt der Druck konstant, solange noch etwas von der zerfallenden Verbindung vorhanden ist, einerlei bis zu welchem Grade die Zersetzung vorgeschritten ist (S. 53). Dies Verhalten hat man benutzt, um zu ermitteln, ob bestimmte chemische Verbindungen entstehen oder nicht. Falls Verbindungen zwischen der festen Phase und der Dampfphase entstehen, so bleibt bei fortgesetzter Hinzufügung oder Entfernung der Dampfphase der Dampfdruck eine

<sup>1)</sup> Ber. 1876, 9, 749.

<sup>2)</sup> Siehe z. B. VAN'T HOFF, Vorlesungen über theoret. u. physikal. Chemie I, 55.

Zeitlang konstant, nimmt dann plötzlich einen neuen Wert an und bleibt bei diesem wieder konstant. Vermittels dieser Methode hat RAMSAY<sup>1)</sup> gefunden, daß Eisenoxyd und Aluminiumoxyd keine bestimmten Hydrate bilden, daß dagegen Bleioxyd die beiden Hydrate  $2\text{PbO} \cdot \text{H}_2\text{O}$  und  $3\text{PbO} \cdot \text{H}_2\text{O}$  bildet.

Man hat die Methode auch zur Untersuchung des sogenannten Palladiumwasserstoffs<sup>2)</sup> benutzt und das Ergebnis dieser Untersuchung scheint dafür zu sprechen, daß keine Verbindung entsteht. Wir werden auf diesen Fall später zurückkommen (3. Kap.).

**Messung des Dampfdruckes von Hydraten.** — Zur Messung der geringen Drucke, die der Dampf von Salzhydraten ausübt, bedient man sich allgemein eines Differentialmanometers, des sogenannten Bremer-Froweinschen Tensimeters<sup>3)</sup>.

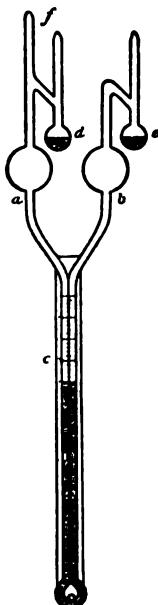


Fig. 21.

Dieser Apparat ist in Fig. 21 abgebildet. Er besteht aus einer U-Röhre mit dicht zusammengebogenen Schenkeln, die auf einer Millimeterskala befestigt ist. Der gebogene Teil der Röhre ist mit Öl oder einer anderen geeigneten Flüssigkeit, z. B. Bromnaphthalin, gefüllt. Soll z. B. der Dissoziationsdruck eines Salzhydrates gemessen werden, so wird in die Kugel *c* konzentrierte Schwefelsäure und in die Kugel *d* eine gewisse Menge des gut getrockneten und gepulverten Hydrats<sup>4)</sup> gebracht. Dann werden die Hälse der Kugeln *d* und *e* zugeschmolzen. Um zu vermeiden, daß Verzögerung der Umwandlung eintritt, ist es zu empfehlen, das Salz erst teilweise zu entwässern, damit das zweite Dissoziationsprodukt anwesend ist. Der Dissoziationsdruck wird hierdurch nicht beeinflusst, da er unabhängig von dem Grade der Entwässerung des Hydrats ist (S. 53). Nachdem die kleinen Kugeln *d* und *e* gefüllt sind, wird der Apparat auf die Seite gelegt, damit die Flüssigkeit aus dem gebogenen Teil in die Kugeln *a* und *b* fließt, und dann vermittels einer bei *f* angelegten Quecksilberluftpumpe luftleer gemacht und zugeschmolzen. Dann wird er in vertikaler Stellung in einen Thermostat gebracht und auf konstanter Temperatur gehalten, bis Gleichgewicht eingetreten ist. Da der Dampfdruck auf der Seite der Schwefelsäure gleich Null ist, gibt die Niveaudifferenz der Flüssigkeit in

den Schenkeln der U-Röhre den Dissoziationsdruck des Hydrats an. Wenn das spezifische Gewicht der Flüssigkeit bekannt ist, so läßt sich der am Instrument abgelesene Flüssigkeitsdruck leicht in Quecksilberdruck umrechnen.

<sup>1)</sup> Jour. Chem. Soc. 1877, 32, 395.

<sup>2)</sup> HOITSEMA; Zeitschr. phys. Chem. 1895, 17, 1.

<sup>3)</sup> Zeitschr. phys. Chem. 1887, I, 5; 1895, 17, 52.

<sup>4)</sup> Es ist wesentlich, daß das Salz gepulvert wird, weil sonst die Entwässerung des Hydrats und der Eintritt des Gleichgewichtes sehr langsam erfolgt.



## Sechstes Kapitel.

### Lösungen.

**Definition.** — In allen Fällen, die wir im vorhergehenden behandelt haben, sind die verschiedenen Phasen — mit Ausnahme der Dampfphase — aus einer einzigen Substanz von bestimmter Zusammensetzung oder sie waren bestimmte chemische Individuen<sup>1)</sup>. Diese Unveränderlichkeit der Zusammensetzung ist aber keineswegs von der Phasenregel erfordert, im Gegenteil, wir werden sehen, daß es durchaus nicht ausgeschlossen ist, daß Phasen von veränderlicher Zusammensetzung am Gleichgewicht beteiligt sind. Solche Phasen von veränderlicher Zusammensetzung werden als Lösungen bezeichnet. Eine Lösung ist daher als ein homogenes Gemisch zu definieren, dessen Zusammensetzung innerhalb gewisser Grenzen eine kontinuierliche Änderung erdulden kann, nämlich innerhalb der Grenzen seiner Existenz.

Die Bezeichnung Lösung bezieht sich dieser Definition entsprechend nicht ausschließlich auf einen besonderen Aggregatzustand, sondern erstreckt sich auf gasförmige und gasförmige Substanzen ebenso gut wie auf flüssige<sup>2)</sup>. Es gibt daher Lösungen von Gasen in Flüssigkeiten und von Gasen in festen Körpern, von Flüssigkeiten in Flüssigkeiten oder in festen Körpern, von festen Körpern in Flüssigkeiten und von festen Körpern in festen Körpern. Auch Lösungen von Gasen in Gasen sind selbstverständlich möglich, da aber Gaslösungen immer nur eine Phase bilden, so findet die Phasenregel, die sich mit heterogenen Gleichgewichten beschäftigt, auf sie keine Anwendung.

Es verdient auch hervorgehoben zu werden, daß die oben gegebene Definition der Lösung keinen Unterschied zwischen Lösungsmittel und gelöster Substanz macht. Ein übertriebener Gebrauch dieser Bezeichnungen und das Bestreben, zwei Komponenten immer die eine als Lösungsmittel und die andere als gelöste Substanz zu betrachten, können nur die wahren Beziehungen verdunkeln und ihre Erklärung erschweren. In allen Fällen muß man bedenken, daß wir es mit dem Gleichgewicht zwischen zwei Komponenten (wir beschränken unsere Aufmerksamkeit zunächst auf diese) zu tun haben, wobei die Lösung von wechselnden Mengen dieser Komponenten gebildet wird. Der Übergang von dem Fall, in welchem die eine Komponente in großem Überschuß vorhanden ist (ähnlich dem Lösungsmittel genannt), zu dem Fall, in welchem die andere Komponente vorherrscht, kann so allmählich stattfinden, daß es schwer oder unmöglich ist, zu sagen, bei welchem Punkt die eine Komponente aufhört Lösungsmittel zu sein und zum gelösten Körper wird. Wenn wir uns auf diesen Punkt stellen, so brauchen wir deshalb nicht auf den konventionellen Gebrauch der Bezeichnungen Lösungsmittel und gelöste Substanz zu verzichten,

<sup>1)</sup> Ein chemisches Individuum ist ein Stoff, der als Phase von konstanter Zusammensetzung bleibt, wenn wir seine Zustandsbedingungen (Temperatur, Druck, Zusammensetzung) stetig innerhalb eines gewissen Umfangs (des Existenzgebietes des Stoffes) verändern. WALD, Zeitschr. phys. Chem. 1897, 24, 648.

<sup>2)</sup> VAN'T HOFF, Zeitschr. phys. Chem. 1890, 5, 323; OSTWALD, Lehrbuch, I, 606.

namentlich wenn es sich nur um einen speziellen Fall des Gleichgewichtes des Systems handelt und wenn die Konzentration der beiden Komponenten der Lösung sehr verschieden ist.

### Lösungen von Gasen in Flüssigkeiten.

Die erste Klasse von Lösungen, der wir unsere Aufmerksamkeit zuwenden wollen, sollen die Lösungen von Gasen in Flüssigkeiten oder die Gleichgewichte zwischen einer Flüssigkeit und einem Gas sein. Diese Gleichgewichte bilden einen Teil derjenigen Gleichgewichte, mit denen wir uns im 8. Kapitel eingehender beschäftigen werden. Weil aber die von den Lösungen von Gasen in Flüssigkeiten gebildeten Zweiphasensysteme zu den am besten bekannten Systemen aus zwei Komponenten gehören, soll hier ein kurzer Abschnitt ihrer Behandlung gewidmet werden.

Wenn ein Gas in Wasser eingeleitet wird, so wird es in mehr oder weniger großer Menge absorbiert und es wird schließlich ein Punkt erreicht, bei dem die Flüssigkeit aufhört, Gas zu absorbieren. Es tritt ein Gleichgewichtszustand ein, und man sagt, die Flüssigkeit sei mit dem Gas gesättigt. Im Lichte der Phasenregel betrachtet, ist ein solches System bivariant (zwei Komponenten in zwei Phasen), und es müssen daher zwei von den variablen Faktoren, Druck, Temperatur und Konzentration der Komponenten gewählt werden, damit der Zustand des Systems bestimmt ist. Wenn die Konzentration und die Temperatur festgesetzt sind, so ist auch der Druck bestimmt, oder bei gegebener Temperatur und gegebenem Druck muß auch die Konzentration des Gases in der Lösung einen bestimmten Wert haben. Wenn dagegen die Temperatur allein bestimmt ist, so können sich Konzentration und Druck ändern. Dies ist eine so bekannte Tatsache, daß wir nicht länger bei derselben zu verweilen brauchen.

In welcher Weise sich die Löslichkeit eines Gases in einer Flüssigkeit mit dem Druck ändert, darüber gibt die Phasenregel keinen Aufschluß. Dagegen dient auch hier wieder der Satz von VAN'T HOFF und LE CHATELIER (S. 36) als Führer. Da die Absorption eines Gases in allen Fällen von einer Verminderung des Gesamtvolums begleitet ist, so muß dieser Prozeß bei Zunahme des Druckes stattfinden. Dies ist aber in quantitativer Weise in dem HENRYSchen Gesetz ausgesprochen, nach welchem die Menge des absorbierten Gases dem Druck proportional ist. Für Gase, welche sehr stark löslich sind, muß dieses Gesetz jedoch modifiziert werden, aber die Richtung der Änderung der Konzentration mit dem Druck steht auch dann noch mit dem Satz von LE CHATELIER in Einklang.

Wenn andererseits der Druck bestimmt ist, so ändert sich die Konzentration mit der Temperatur, und da die Absorption von Gasen in allen Fällen von Wärmeentwicklung begleitet ist, so nimmt die Löslichkeit in Übereinstimmung mit dem Satz von VAN'T HOFF und LE CHATELIER mit steigender Temperatur ab.

Bei der Betrachtung der Änderungen des Druckes, welche die Änderungen der Konzentration und der Temperatur begleiten, muß, wenn das Lösungsmittel flüchtig ist, ein Unterschied zwischen dem Gesamtdruck und dem Partialdruck des gelösten Gases gemacht werden. In solchen Fällen gilt das HENRYSche Gesetz nicht für den gesamten Dampfdruck, sondern nur für den Partialdruck des gelösten Gases.

### Lösungen von Flüssigkeiten in Flüssigkeiten.

Wasser und Quecksilber sind bekanntlich zwei Flüssigkeiten, die sich nicht miteinander vermischen, aber streng genommen löst sich ohne Zweifel das Quecksilber in einem gewissen Grade in Wasser, und Wasser löst sich ohne Zweifel, wenn auch in sehr geringer Menge, in Quecksilber. Die in Lösung gehende Menge ist so gering, daß sie für alle praktischen Zwecke unberücksichtigt bleiben



4, wenn die Temperatur nicht erheblich über die gewöhnliche steigt<sup>1)</sup>. Wasser und Alkohol dagegen sind vollkommen mischbar und bilden eine einzige homogene Lösung. Einerlei, ob man Wasser in zunehmender Menge zu reinem Alkohol oder reinen Alkohol in zunehmender Menge zu Wasser hinzufügt, bei keinem Grade der Konzentration erhält man ein System, welches mehr als eine flüssige Phase enthält. Bei gewöhnlicher Temperatur können also Wasser und Alkohol nur zwei Phasen bilden, Flüssigkeit und Dampf. Wenn dagegen Wasser zu Äther oder Äther zu Wasser hinzugefügt wird, so findet Lösung nicht in unbeschränktem Maße statt, sondern es wird ein Punkt erreicht, bei dem ein weiteres Hinzufügen von Wasser einerseits oder Äther andererseits die Bildung von zwei Flüssigkeitsschichten bewirkt, von denen die eine überschüssiges Wasser, die andere überschüssigen Äther enthält. Es ist daher zu erwarten, daß alle Grade der Mischbarkeit, von fast vollkommener Unmischbarkeit bis zur vollkommenen Mischbarkeit, in allen Verhältnissen existieren. In Fällen vollkommener Unmischbarkeit üben die Komponenten keinen Einfluß aufeinander aus und das System bleibt daher unverändert. Mit solchen Fällen brauchen wir uns hier nicht zu befassen. Wir haben es nur mit Fällen der zweiten und der dritten Art zu tun, d. h. mit den Fällen vollkommener oder teilweiser Mischbarkeit. Es ist kein wesentlicher Unterschied zwischen den beiden Klassen, da, wie wir sehen werden, die einen in die anderen übergehen, wenn sich die Temperatur ändert. Die ideale Einteilung in zwei Gruppen stützt sich auf die Mischbarkeitsverhältnisse bei gewöhnlichen Temperaturen.

**Partielle oder begrenzte Mischbarkeit.** — Eine reine Flüssigkeit in Berührung mit ihrem Dampf bildet nach der Phasenregel ein univariantes System. Wenn aber eine geringe Menge einer zweiten Substanz hinzugefügt wird, die in der ersten Flüssigkeit löslich ist, so entsteht ein bivariantes System, weil jetzt zwei Komponenten und, wie vorher, nur zwei Phasen, die homogene Lösung und der Dampf, vorhanden sind. Bei konstanter Temperatur kann daher sowohl die Zusammensetzung der Lösung, als auch der Dampfdruck eine Veränderung erleiden, wenn die Zusammensetzung der Lösung unverändert bleibt, so kann sich der Druck und die Temperatur ändern. Wenn die zweite (flüssige) Komponente in zunehmender Menge hinzugefügt wird, so wird die Flüssigkeit zunächst homogen bleiben und ihre Zusammensetzung und ihr Druck wird eine kontinuierliche Veränderung erleiden. Wenn aber die Konzentration einen bestimmten Wert erreicht, so findet eine weitere Lösung nicht statt, sondern es entstehen zwei flüssige Phasen. Da jetzt drei Phasen vorhanden sind, zwei Flüssigkeiten und ein Dampf, ist das System jetzt nur noch univariant. Bei einer gegebenen Temperatur haben daher die Konzentrationen der Komponenten in den beiden flüssigen Phasen und auch der Dampfdruck bestimmte Werte. Hinzufügung einer dritten Komponente kann daher die Konzentrationen und den Druck nicht ändern, denn kann nur eine Änderung in den relativen Mengen der Phasen bewirken.

Von den beiden flüssigen Phasen kann die eine als Lösung der Komponente I in der Komponente II, die andere als eine Lösung der Komponente II in der Komponente I betrachtet werden. Wenn der Druck konstant gehalten wird, entspricht jeder Temperatur eine bestimmte Konzentration der Komponenten in den beiden flüssigen Phasen, und wenn ein Überschuß der einen hinzugefügt wird, so ändern sich nur die relativen Mengen der beiden Lösungen. Wenn sich die Temperatur ändert, so ändert sich die Zusammensetzung der beiden Lösungen,

<sup>1)</sup> Daß sich Quecksilber in Wasser löst, kann z. B. aus der Analogie mit Quecksilber und Bromnaphthalin geschlossen werden. Bei gewöhnlicher Temperatur ist jede dieser beiden Flüssigkeiten in der anderen praktisch unlöslich, aber bei 280° löst sich das Quecksilber in merklicher Menge. Denn wenn man eine Röhre, die Bromnaphthalin über Quecksilber enthält, erwärmt, so wandert das letztere durch das flüssige Bromnaphthalin hindurch und verdichtet sich im oberen Teil der Röhre.



und man erhält daher zwei Löslichkeitskurven, von denen die eine die Löslichkeit der Komponente I in der Komponente II, die andere die Löslichkeit der Komponente II in der Komponente I angibt. Da entweder Entwicklung oder Absorption von Wärme stattfindet, wenn sich eine Flüssigkeit in einer anderen löst, so kann die Löslichkeit mit steigender Temperatur entweder abnehmen oder zunehmen. Die beiden Lösungen, welche bei einer bestimmten Temperatur miteinander im Gleichgewicht sind, werden als konjugierte Lösungen bezeichnet.

Die Löslichkeitsverhältnisse von teilweise mischbaren Flüssigkeiten sind von GUTHRIE<sup>1)</sup> und namentlich von ALEXEJEFF<sup>2)</sup> und von ROTHMUND<sup>3)</sup> studiert worden. Man hat eine große Anzahl verschiedener Kurven erhalten<sup>4)</sup>. Wir wollen nur einige der verschiedenen Fälle studieren, die für die übrigen als typisch angesehen werden mögen.

**Phenol und Wasser.** — Wenn Phenol bei gewöhnlicher Temperatur zu Wasser hinzugefügt wird, so löst es sich und es entsteht eine homogene Flüssigkeit. Wenn aber die Konzentration des Phenols in der Lösung auf ungefähr 8 Prozent gestiegen ist, so löst sich kein Phenol mehr auf, und wenn noch mehr hinzugefügt wird, so entsteht eine zweite flüssige Phase, die aus einem Überschuß von Phenol mit einer geringen Menge Wasser besteht. Nach gewöhnlichem Sprachgebrauch kann sie als eine Lösung von Wasser in Phenol bezeichnet werden. Wenn nun die Temperatur gesteigert wird, so verschwindet diese zweite flüssige Phase, und es muß eine weitere Menge Phenol hinzugefügt werden, um eine Trennung der Flüssigkeit in zwei Schichten zu bewirken. Wenn man so die Menge des Phenols vergrößert und die Temperatur ermittelt, bei welcher die beiden Schichten verschwinden, so erhält man die sogenannte Löslichkeitskurve von Phenol in Wasser. Wenn man in dieser Weise die Änderung der Löslichkeit mit der Temperatur ermittelt, so findet man, daß bei allen Temperaturen unter 68,4° zwei Schichten entstehen, wenn mehr als eine gewisse Menge Phenol hinzugefügt wird. Bei höheren Temperaturen kann die Bildung zweier Schichten nicht bewirkt werden, gleichviel welche Mengen Phenol zugesetzt werden. Bei Temperaturen über 68,4° sind Wasser und Phenol in allen Verhältnissen mischbar.

Wenn andererseits bei gewöhnlicher Temperatur Wasser zu Phenol hinzugefügt wird, so entsteht eine Flüssigkeit, die hauptsächlich aus Phenol besteht, und wenn die Menge des Wassers über einen gewissen Punkt gesteigert wird, so entstehen zwei Schichten. Wird die Temperatur erhöht, so verschwinden die beiden Schichten und man erhält wieder eine homogene Lösung. Die Erscheinungen sind den bereits beschriebenen vollkommen analog. Da nun im zweiten Fall die Konzentration des Phenols in der Lösung allmählich abnimmt, während sie im ersten Fall allmählich zunimmt, so muß schließlich ein Punkt erreicht werden, bei welchem die Zusammensetzung der beiden Lösungen dieselbe ist. Wenn man also die beiden Lösungen mischt, so entsteht eine einzige homogene Flüssigkeit. Ein Punkt, bei welchem zwei Phasen identisch werden, wird aber als kritischer Punkt bezeichnet. Nach dieser Definition kann die Temperatur, bei welcher die beiden im gegenseitigen Sättigungsgleichgewicht befindlichen Lösungen von Phenol und Wasser identisch werden, die kritische Lösungstemperatur genannt werden, und die Konzentration bei dieser Temperatur kann als kritische Konzentration bezeichnet werden.

Aus dem Gesagten geht hervor, daß bei jeder Temperatur unterhalb der kritischen Lösungstemperatur zwei konjugierte Lösungen, die Wasser und Phenol

<sup>1)</sup> Phil. Mag. 1884, [5], 18, 22, 495.

<sup>2)</sup> Wied. Ann. 1886, 28, 305.

<sup>3)</sup> Zeitschr. phys. Chem. 1898, 26, 433.

<sup>4)</sup> Vergleiche die allgemeinen Gesetzmäßigkeiten ausführlicher in „Handbuch d. angew. physikal. Chemie“, Bd. IV; KUENEN, „Verdampfung und Verflüssigung“, sowie Bd. VIII ROTHMUND, „Löslichkeit und Löslichkeitsbeeinflussung“.



schiedener Konzentration enthalten, zusammen existieren können, von denen eine einen Überschuß von Wasser, die andere einen Überschuß von Phenol enthält. Die folgende Tabelle gibt die Zusammensetzung der beiden Schichten (s. Fig. 22<sup>1)</sup>) sind die Werte graphisch dargestellt.

## Phenol und Wasser.

$C_1$  ist der Prozentgehalt an Phenol in der ersten Schicht

$C_2$  ist der Prozentgehalt an Phenol in der zweiten Schicht.

| Temperatur | $C_1$ | $C_2$ |
|------------|-------|-------|
| 20°        | 8,5   | 72,2  |
| 30°        | 8,7   | 69,9  |
| 40°        | 9,7   | 66,8  |
| 50°        | 12,0  | 62,7  |
| 55°        | 14,2  | 60,0  |
| 60°        | 17,5  | 56,2  |
| 65°        | 22,7  | 49,7  |
| 68,4°      | 36,1  | 36,1  |

Die kritische Lösungstemperatur für Phenol und Wasser ist  $68,4^{\circ}$ , die Konzentration 36,1 Prozent Phenol. Bei allen Temperaturen über  $68,4^{\circ}$  sind nur homogene Lösungen von Phenol und Wasser erhalten werden. Wasser und Phenol sind also bei diesen Temperaturen in allen Verhältnissen mischbar.

Bei der kritischen Lösungstemperatur zerfällt das System nur in zwei Phasen, Flüssigkeit und Dampf. Es sollte daher zwei Freiheitsgrade besitzen. Durch die Einschränkung, daß die Zusammensetzung der beiden flüssigen Phasen dieselbe wird, ist aber ein Freiheitsgrad verfügbar. Ein solches System von der kritischen Konzentration ist univariant, und bei einer gegebenen

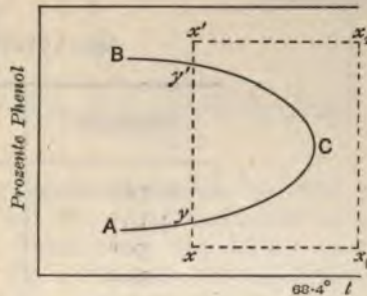


Fig. 22.

temperatur hat der Druck einen bestimmten Wert. Umgekehrt, wenn der Druck  
annt ist (wenn sich z. B. dieses System unter dem Druck seines eigenen  
des befindet), so ist auch die Temperatur bestimmt, d. h. die kritische  
gstemperatur hat einen bestimmten Wert, der nur von den Substanzen ab-  
hängt. Wenn die Dampfphase nicht berücksichtigt wird, so ändert sich die Tem-  
peratur mit dem Druck. In diesem Falle ist jedoch wie in dem Falle anderer  
nsierter Systeme die Wirkung des Druckes gering.

Aus Fig. 22 ist leicht vorauszusagen, was eintreten wird, wenn man Wasser phenol in bestimmten Mengen bei einer bestimmten Temperatur zusammenbringt. Angenommen, eine Lösung von Phenol in Wasser habe die durch den Punkt  $x$  angegebene Zusammensetzung. Wenn zu dieser Lösung bei konstanter Temperatur Phenol hinzugefügt wird, so löst es sich auf, und die Zusammensetzung der Lösung ändert sich allmählich, wie es die punktierte Linie  $xy$  angibt. Wenn die Konzentration den durch den Punkt  $y$  dargestellten Wert erreicht hat, stehen zwei Flüssigkeitsschichten, von denen die eine die durch  $y$ , die andere

die durch  $y'$  dargestellte Zusammensetzung hat. Das System ist jetzt univariant, und wenn noch mehr Phenol hinzugefügt wird, so bleibt die Zusammensetzung der beiden flüssigen Phasen unverändert, aber die relativen Mengen derselben ändern sich. Die Phase von höherem Phenolgehalt nimmt zu und die von höherem Wassergehalt nimmt ab und verschwindet schließlich. Dann ist nur noch die Lösung  $y'$  vorhanden. Eine weitere Hinzufügung von Phenol führt dann zum Punkt  $x'$ , da jetzt nur eine flüssige Phase vorhanden ist.

Da die kritische Lösungstemperatur die höchste Temperatur ist, bei welcher zwei aus Phenol und Wasser bestehende flüssige Phasen zusammen neben ihrem Dampfe existieren können, so können diese beiden Substanzen bei Temperaturen über  $68,4^\circ$  in jedem beliebigen Verhältnis zusammengebracht werden, ohne daß zwei Schichten entstehen. Es ist infolgedessen möglich, von einem durch den Punkt  $x$  zu einem durch  $x'$  dargestellten System überzugehen, ohne daß während des Überganges zwei flüssige Phasen erscheinen. Indem man von  $x$  ausgeht, kann man nämlich zunächst die Temperatur über die kritische Lösungstemperatur bis zum Punkte  $x_1$  steigern; dann wird Phenol zugesetzt, bis die Konzentration den Punkt  $x_2$  erreicht. Läßt man dann erkalten, so geht das System in den durch  $x'$  repräsentierten Zustand über.

**Methyläthylketon und Wasser.** — In dem soeben beschriebenen Fall nahm die Löslichkeit jeder der beiden Komponenten in der anderen mit der Temperatur kontinuierlich zu. Es gibt aber auch Fälle, in denen ein Maximum oder Minimum der Löslichkeit existiert, z. B. Methyläthylketon und Wasser. Die Kurve, welche die Gleichgewichte zwischen diesen beiden Substanzen darstellt, ist in Fig. 23 gegeben. Die Werte der Konzentration sind in der folgenden Tabelle enthalten<sup>1)</sup>.

Methyläthylketon und Wasser.

| Temperatur    | $C_1$ Prozente | $C_2$ Prozente |
|---------------|----------------|----------------|
| $-10^\circ$   | 34,5           | 89,7           |
| $+10^\circ$   | 26,1           | 90,0           |
| $30^\circ$    | 21,9           | 89,9           |
| $50^\circ$    | 17,5           | 89,0           |
| $70^\circ$    | 16,2           | 85,7           |
| $90^\circ$    | 16,1           | 84,8           |
| $110^\circ$   | 17,7           | 80,0           |
| $130^\circ$   | 21,8           | 71,9           |
| $140^\circ$   | 26,0           | 64,0           |
| $151,8^\circ$ | 44,2           | 44,2           |

Diese Zahlen, sowie Fig. 23 lassen deutlich ein Minimum in der Löslichkeit des Ketons in Wasser erkennen, ebenso ein Minimum (bei ungefähr  $10^\circ$ ) in der Löslichkeit von Wasser in Methyläthylketon. Auch in anderen Fällen hat man Minima der Löslichkeit gefunden.

**Triäthylamin und Wasser.** — In den meisten Fällen nimmt die Löslichkeit einer Flüssigkeit in einer anderen mit steigender Temperatur zu. Dies ist jedoch nicht immer so. So mischen sich z. B. Triäthylamin und Wasser bei Temperaturen unter  $18^\circ$  in allen Verhältnissen miteinander. Wenn aber die Temperatur erhöht wird, so wird die homogene Lösung trübe und teilt sich in zwei Schichten. In diesem Falle liegt also die kritische Lösungstemperatur nicht

<sup>1)</sup> ROHMUND, A. A. O.



richtung der höheren, sondern in der Richtung der niederen Temperatur<sup>1)</sup>.  
 halten wird durch die Zahlen der folgenden Tabelle, sowie durch die  
 e Darstellung in Fig. 24 deutlich zum Ausdruck gebracht.

## Triäthylamin und Wasser.

| Temperatur | C <sub>1</sub> Prozente | C <sub>2</sub> Prozente |
|------------|-------------------------|-------------------------|
| 70°        | 1,6                     | —                       |
| 50°        | 2,9                     | —                       |
| 30°        | 5,6                     | 96                      |
| 25°        | 7,3                     | 95,5                    |
| 20°        | 15,5                    | 73                      |
| ±18,5°     | ±30                     | ±30                     |



Fig. 23.

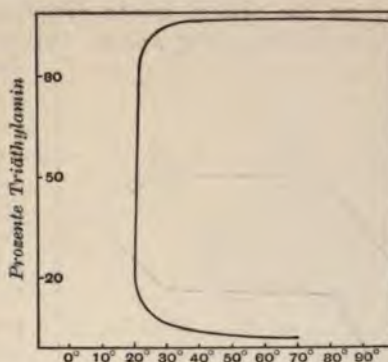


Fig. 24.

**allgemeine Form der Konzentrations-Temperaturkurve.** — Wie aus  
 ergehenden Figuren zu ersehen ist, hat die Löslichkeitskurve im all-  
 eine etwas parabolische Form. Bei Triäthylamin und Wasser ist das  
 Ende der Kurve fast geradlinig. Da es für alle Flüssigkeiten eine  
 ur (die kritische Temperatur) gibt, bei welcher der flüssige und der  
 e Zustand identisch werden, und da alle Gase in jedem Verhältnis  
 sind, so folgt, daß es eine Temperatur geben muß, bei welcher die  
 ten vollkommen mischbar werden. In dem soeben betrachteten Fall  
 hylamin und Wasser muß es daher eine obere kritische Lösungstempe-  
 ren, so daß die vollständigen Löslichkeitsverhältnisse durch eine ge-  
 ellipsenförmige Kurve dargestellt werden würden, wie sie z. B. an  
 nd Wasser gefunden worden ist<sup>2)</sup>. Möglicherweise ist dies die allgemeine  
 Kurve für alle Paare von Flüssigkeiten, aber es liegt zu wenig Material  
 es beweisen zu können.

Rücksicht auf das geschlossene Ende der Kurve kann man sagen, daß  
 uierlich ist. Die kritische Lösungstemperatur ist nicht der Durchschnit-  
 eier Kurven, denn eine solche Unterbrechung der Kontinuität der Kurve  
 ur eintreten, wenn in einer der Phasen eine Diskontinuität existierte.  
 he Diskontinuität existiert aber nicht. Die Kurve darf daher nicht als  
 icheitskurven betrachtet werden, die sich in einem Punkt schneiden.

sungen von Diäthylamin und Wasser zeigen ein ähnliches Verhalten. R. T. LATTEY,  
 g. 1905, (6), 10, 397.

S. HUDSON, Zeitschr. phys. Chem. 1904, 47, 113.

Sie ist vielmehr eine Gleichgewichtskurve für zwei Komponenten, und solange die Phasen eine kontinuierliche Änderung erleiden, muß die Kurve, welche das Gleichgewicht zwischen ihnen darstellt, ebenfalls kontinuierlich sein. Wie bereits hervorgehoben wurde, ist die Unterscheidung zwischen Lösungsmittel und gelöster Substanz eine rein konventionelle (S. 57).

**Druck-Konzentrationsdiagramm.** — Bei der Betrachtung des Druck-Konzentrationsdiagramms eines Systems aus zwei flüssigen Komponenten muß ein Unterschied zwischen dem Gesamtdruck des Systems und den Partialdrucken der Komponenten gemacht werden. Was den Gesamtdruck betrifft, so sind zwei Fälle zu unterscheiden<sup>1)</sup>.

Solange nur eine flüssige Phase vorhanden ist, ist das System bivariant. Der Druck kann sich also mit der Konzentration und der Temperatur ändern. Wenn die Temperatur konstant gehalten wird, so ändert sich der Druck nur mit der Konzentration, und diese Änderung kann daher durch eine Kurve dargestellt werden. Wenn aber zwei flüssige Phasen entstehen, so wird das System univariant, und wenn eine der Variablen, z. B. die Temperatur, willkürlich festgesetzt wird, so besitzt das System keinen Freiheitsgrad mehr. Wenn daher zwei flüssige Phasen gleichzeitig neben ihrem Dampfe vorhanden sind, so haben

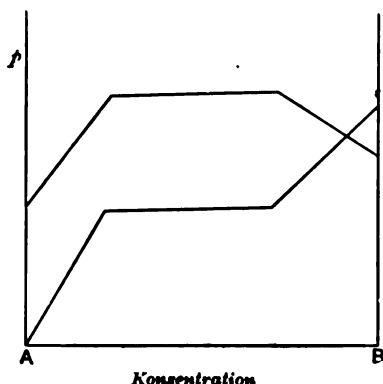


Fig. 25.

die Konzentrationen und der Druck bestimmte Werte, die erhalten bleiben, solange die beiden flüssigen Phasen anwesend sind. Dabei wird vorausgesetzt, daß die Temperatur konstant ist.

In Fig. 25 sind die beiden Arten von Druck-Konzentrationskurven, welche man bis jetzt erhalten hat, schematisch dargestellt. In dem einen Fall liegt der Druck des invarianten Systems (bei konstanter Temperatur) höher als der Dampfdruck jeder der beiden reinen Komponenten, was sehr häufig bei teilweise mischbaren Flüssigkeiten, z. B. Äther und Wasser, der Fall ist<sup>2)</sup>. Wenn daher Wasser zu Äther oder Äther zu Wasser hinzugefügt wird, so findet eine Erhöhung des Gesamtdampfdruckes des Systems statt.

Im zweiten Fall liegt der Dampfdruck des Systems mit zwei flüssigen Phasen zwischen denen der einzelnen Komponenten. Ein Beispiel für diesen Fall bildet Schwefeldioxyd und Wasser<sup>3)</sup>. Wenn Schwefeldioxyd zu Wasser hinzugefügt wird, so findet eine Erhöhung des Gesamtdampfdruckes statt, wenn dagegen Wasser in flüssigem Schwefeldioxyd hinzugefügt wird, so wird der Gesamtdampfdruck erniedrigt.

Der Fall, daß der Dampfdruck des Systems mit zwei flüssigen Phasen kleiner als der der beiden Komponenten ist, ist nicht möglich.

Hinsichtlich des Partialdruckes der Komponenten ist das Verhalten gleichförmiger. Der Partialdruck einer Komponente wird in allen Fällen durch Hinzufügung der anderen Komponente erniedrigt und die Erniedrigung ist anfänglich der hinzugefügten Menge meist annähernd proportional. Wenn zwei flüssige Phasen vorhanden sind, so ist der Partialdruck der Komponenten und auch der Gesamtdruck konstant, und er ist derselbe für beide Phasen. Wenn z. B. die beiden Flüssigkeiten gesättigte Lösungen von Wasser in Äther und von Äther in Wasser sind, so ist der Partialdruck des Äthers im Dampf in Berührung mit der

<sup>1)</sup> KONOWALOW, Wied. Ann. 1881, 14, 219; OSTWALD, Lehrbuch II, 2, 687; BANCROFT, Phase Rule, S. 96.

<sup>2)</sup> KONOWALOW, a. a. O.

<sup>3)</sup> ROOZEBOOM, Zeitschr. phys. Chem. 1891, 8, 526; Rec. Trav. Chim. Pays-Bas, 1884, 3, 38.

nen ätherärmeren Lösung derselbe wie im Dampf über der anderen ätherreicheren Lösung<sup>1)</sup>).

**Vollkommene Mischbarkeit.** — Wenn die Erscheinungen der vollkommenen Mischbarkeit hier in einem besonderen Abschnitt behandelt werden, darf man nicht denken, daß ein wesentlicher Unterschied zwischen denjenigen Fällen existiert, in denen die Flüssigkeiten beschränkte Mischbarkeit zeigen, und denjenigen, in denen nur eine homogene Lösung entsteht. Die Löslichkeitsverhältnisse ändern sich, wie bereits hervorgehoben wurde, mit der Temperatur, und Flüssigkeiten, die sich bei einer gewissen Temperatur gegenseitig nur in beschränktem Grade lösen, besitzen bei einer anderen Temperatur die Eigenschaft der vollkommenen Mischbarkeit. Umgekehrt ist zu erwarten, daß Flüssigkeiten, die bei einer gewissen, z. B. der gewöhnlichen Temperatur, in allen Verhältnissen miteinander mischbar sind, bei einer anderen Temperatur nur partiell mischbar sind. So fand GUTHRIE, daß Äthylalkohol und Schwefelkohlenstoff, die bei gewöhnlicher Temperatur in allen Verhältnissen mischbar sind, bei Temperaturen unter  $-14,4^{\circ}$ <sup>2)</sup> nur noch beschränkte Mischbarkeit besitzen. Es ist jedoch zweifelhaft, ob sich die kritische Lösungstemperatur in allen Fällen experimentell ermitteln läßt.

**Druck-Konzentrationsdiagramm.** — Da in den Fällen vollkommener Mischbarkeit zweier flüssiger Komponenten niemals mehr als zwei Phasen vorhanden sind, so muß das System immer bivariant sein, und zwei der Variablen, Druck, Temperatur oder Konzentration der Komponenten, müssen willkürlich gewählt werden, wenn das System bestimmt sein soll. Aus diesem Grunde bietet die Phasenregel bei dem Studium solcher Gleichgewichte nur wenig Führung, und wir wollen daher auf das Verhalten dieser homogenen Gemische nicht näher eingehen<sup>3)</sup>. Alles, was uns die Phasenregel über diese Lösungen sagen kann, ist, daß sich bei konstanter Temperatur der Dampfdruck der Lösung mit der Zusammensetzung der flüssigen Phase ändert; und wenn die Zusammensetzung der flüssigen Phase unverändert bleibt, so muß auch der Druck bei konstanter Temperatur unverändert bleiben. Diese Konstanz der Zusammensetzung zeigen nicht nur reine Flüssigkeiten, sondern auch flüssige Lösungen in allen Fällen, in denen der Dampfdruck der Lösung bei steigender Konzentration einer Komponente in der Lösung ein Maximum oder Minimum erreicht. Dies ist z. B. bei Gemischen mit konstantem Siedepunkt der Fall.

<sup>1)</sup> KONOWALOW, a. a. O.; vgl. BANCROFT, Phase Rule, S. 100.

<sup>2)</sup> Phil. Mag. 1884, [5], 18, 503.

<sup>3)</sup> Vergleiche hierüber vielmehr die zitierten Bände von KUENEN und von ROTHMUND im „Handbuch der angewandten physikalischen Chemie“. Vergleiche auch YOUNG, Fractional distillation, (Macmillan 1903), wo der Gegenstand eingehend behandelt ist.



## Siebentes Kapitel.

### Lösungen von festen Körpern in Flüssigkeiten, mit nur einer flüchtigen Komponente.

**Allgemeines.** — Wenn ein fester Körper in Berührung mit einer Flüssigkeit gebracht wird, in der er löslich ist, so geht eine gewisse Menge desselben in Lösung, und der Prozeß schreitet fort, bis ein bestimmter Wert erreicht ist, der von der Menge des anwesenden festen Körpers unabhängig ist. Es tritt ein Gleichgewichtszustand zwischen dem festen Körper und der Lösung ein; die Lösung wird gesättigt. Da die Anzahl der Komponenten zwei und die Anzahl der Phasen drei ist, nämlich fest, flüssige Lösung, Dampf, so ist das System univariant. Wenn daher einer der Faktoren, Druck, Temperatur oder Konzentration der Komponenten (in der Lösung)<sup>1)</sup> willkürlich festgesetzt ist, so wird das System vollkommen bestimmt. So haben bei einer bestimmten Temperatur der Dampfdruck des Systems und die Konzentration der Komponenten einen bestimmten Wert. Wenn die Temperatur geändert wird, so erleidet der Dampfdruck und im allgemeinen auch die Konzentration eine Änderung. Ebenso müssen, wenn sich der Druck ändert, während das System isoliert ist, so daß kein Wärmeaustausch zwischen ihm und der Umgebung stattfinden kann, die Konzentration und die Temperatur eine Änderung erleiden, bis sie die dem Druck entsprechenden Werte annehmen.

Daß die Temperatur auf die Menge der in Lösung gehenden Substanz einen Einfluß, ja zuweilen einen sehr bedeutenden Einfluß ausübt, ist hinreichend bekannt. Aber auch der Druck übt einen merklichen, wenn auch weniger auffallenden Einfluß aus. Wenn bei einer bestimmten Temperatur das Volum der Dampfphase vermindert wird, so verdichtet sich Dampf zu Flüssigkeit, damit der Druck konstant bleibt, und es geht von dem festen Körper so viel in Lösung, daß die Konzentration unverändert bleibt, denn solange die drei Phasen anwesend sind, kann sich der Zustand des Systems nicht ändern. Wenn aber eine der Phasen, z. B. die Dampfphase, verschwindet, so wird das System bivariant. Bei einer bestimmten Temperatur gibt es daher mehrere Werte der Konzentration und des Druckes.

Die Richtung, in welcher mit der Änderung des Druckes Änderung der Konzentration erfolgt, läßt sich mit Hilfe des Satzes von LE CHATELIER (S. 36) voraussagen, wenn bekannt ist, ob die Lösung von Vergrößerung oder Verkleinerung des Gesamtvolums begleitet ist. Wenn sich ein fester Körper mit Volumverminderung löst, so muß Vergrößerung des Druckes die Löslichkeit erhöhen. Im entgegengesetzten Fall wird die Löslichkeit durch Vergrößerung des Druckes vermindert.

Dieser Schluß ist auch durch Versuche bestätigt worden, wie aus den folgenden Zahlen hervorgeht<sup>2)</sup>.

<sup>1)</sup> Da dies die einzige anwesende Phase von veränderlicher Zusammensetzung ist.

<sup>2)</sup> E. VON STACKELBERG, *Zeitschr. phys. Chem.* 1896, **20**, 337. Wenn die Volumänderung, von der die Lösung begleitet ist, und die Wärmewirkung bekannt ist, so läßt sich die quantitative Änderung der Löslichkeit mit dem Druck berechnen (BRAUN, *Zeitschr. phys. Chem.* 1887, **1**, 259).



| Salz               | Volumzunahme<br>beim Lösen von<br>1 g Salz in der<br>gesättigten Lösung | Löslichkeit bei 18°; Gramm Salz in 1 g<br>der Lösung |                   |
|--------------------|---|--|-------------------|
|                    |   | Druck = 1 Atm.                                       | Druck = 500 Atm.  |
| Natriumchlorid . . | — 0,07  | 0,264  | 0,270             |
| Ammoniumchlorid .  | + 0,10  | 0,272  | 0,258             |
| Kalium . . . . .   | — 0,067   | 0,115  | 0,142             |
|                    |   |  | ( $p = 400$ Atm.) |

Wie man sieht, bewirkt eine bedeutende Zunahme des Druckes eine eben bemerkbare Änderung der Löslichkeit, was, wie bei der Änderung des Schmelzpunktes mit dem Druck, seinen Grund in der geringen Volumänderung hat, die die Lösung bei zunehmendem Druck erleidet. Für die meisten praktischen Zwecke kann daher die unter dem Atmosphärendruck bestimmte Löslichkeit als die wahre Löslichkeit, d. h. als diejenige Löslichkeit angesehen werden, die man beobachten würde, wenn sich das System unter dem Druck seines eigenen Dampfes befindet.

**Die gesättigte Lösung.** — Aus dem Gesagten geht hervor, daß sich der Sättigungszustand einer Lösung nur mit Rücksicht auf eine feste Phase bestimmen läßt. Wenn kein fester Körper anwesend ist, so ist das System unbestimmt, weil es dann nur aus zwei Phasen besteht und also bivariant ist. Unter solchen Umständen können bei einer bestimmten Temperatur nicht nur Lösungen verschiedener Konzentration existieren, die alle von einer der Komponenten weniger enthalten, als dann, wenn diese Komponente in fester Form anwesend ist, sondern es können auch Lösungen existieren, welche mehr von dieser Komponente enthalten, als dem Gleichgewicht entspricht, wenn die feste Phase anwesend ist. Im ersteren Falle sind die Lösungen in bezug auf eine bestimmte feste Phase ungesättigt, im letzteren Falle sind sie übersättigt; an und für sich ohne Gegenwart der festen Phase sind die Lösungen beständig und weder ungesättigt noch übersättigt. Wenn ferner die feste Substanz in verschiedenen allotropen Modifikationen existieren kann, so muß die besondere Modifikation der festen Substanz, die mit der Lösung im Gleichgewicht ist, bekannt sein, wenn die Angabe der Löslichkeit bestimmt sein soll, denn jede Modifikation hat ihre eigene Löslichkeit und zwar hat, wie wir sogleich sehen werden, die weniger beständige Form die größere Löslichkeit (vgl. S. 29). Bei allen Löslichkeitsbestimmungen muß daher nicht nur die Konzentration der Komponenten in der Lösung bestimmt werden, sondern auch die Art der anwesenden festen Phase muß sorgfältig charakterisiert werden.

In diesem Zusammenhang mag noch ein anderer Punkt hervorgehoben werden. Zur Erzeugung des Gleichgewichtes zwischen einem festen Körper und einer Flüssigkeit ist Zeit erforderlich, und diese Zeit ändert sich nicht nur mit dem Zustand der Verteilung des festen Körpers und der Wirksamkeit des Umrührens, sondern hängt auch von der Natur der Substanz ab<sup>1)</sup>. Es muß daher große Sorgfalt darauf verwendet werden, daß die betreffenden Substanzen hinreichend lange Zeit aufeinander einwirken, namentlich dann, wenn die feste Phase Änderungen erleiden kann. Viele ältere Bestimmungen leiden an dem Mangel, daß diese Vorsichtsmaßregeln vernachlässigt worden sind.

**Form der Löslichkeitskurve.** — Die Löslichkeitskurve, d. h. die Kurve, welche die Änderung der Konzentration der Komponenten in der Lösung mit der Temperatur darstellt, unterscheidet sich sehr wesentlich von der Dampfdruckkurve (S. 89) dadurch, daß sie keine allgemeine Form besitzt, sondern daß sie in der verschiedensten Weise variiert. Sie kann nicht nur fast gerade sein und horizontal laufen oder unter verschiedenen Winkeln aufwärts geneigt und gekrümmt sein, sondern sie kann auch abwärts geneigt sein, was einer Abnahme der Löslichkeit mit steigender Temperatur entspricht; sie kann Maxima und Minima der Löslichkeit zeigen oder sie

<sup>1)</sup> VAN'T HOFF, Arch. néerland. 1901, [2], 6, 471.

kann, wie bei manchen wasserhaltigen Salzen, durch einen Maximalpunkt der Temperatur gehen. Im letzteren Falle kann das Salz bei derselben Temperatur zwei Werte der Löslichkeit besitzen. Wir werden diese Fälle im nächsten Kapitel betrachten.

Die große Mannigfaltigkeit der Formen der Löslichkeitskurven ist aus Fig. 26 zu ersehen, in welcher einige dieser Kurven (ohne Maßstab) wiedergegeben sind<sup>1)</sup>.

So mannigfaltig auch die Form der Löslichkeitskurve ist, läßt sich doch die Richtung derselben mit Hilfe des Satzes von VAN'T HOFF und LE CHATELIER voraussagen. Nach diesem Satze (S. 35) muß nämlich die Löslichkeit mit der Temperatur zunehmen, wenn der Lösungsvorgang von Wärmeabsorption begleitet ist, dagegen muß die Löslichkeit mit der Temperatur abnehmen, wenn die Lösung unter Wärmeentwicklung vor sich geht. Wenn bei dem Lösungsvorgang weder Absorption noch Entwicklung von Wärme stattfindet, so ist eine Temperaturveränderung ohne Einfluß auf die Löslichkeit; und wenn die Lösungswärme das Zeichen ändert, so muß sich auch die Richtung der Löslichkeitskurve ändern, d. h. sie muß ein Maximum oder ein Minimum zeigen. Dies ist in allen Fällen durch den Versuch bestätigt worden<sup>2)</sup>.

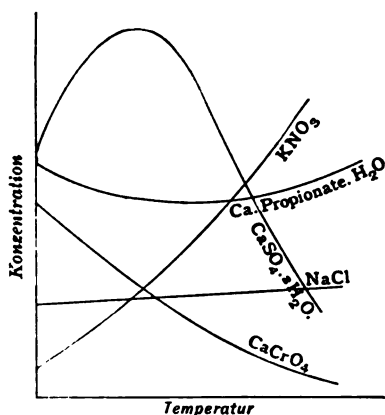


Fig. 26.

Bei Anwendung des Satzes von VAN'T HOFF und LE CHATELIER auf den Verlauf der Löslichkeitskurve ist zu bemerken, daß hier unter Lösungswärme nicht die Wärmewirkung zu verstehen ist, die stattfindet, wenn man das Salz in einer großen Menge des reinen Lösungsmittels auflöst (was die gewöhnliche Bedeutung des Wortes ist), sondern die Wärme, welche absorbiert oder entwickelt wird, wenn das Salz in der

fast gesättigten Lösung gelöst wird (die sogenannte letzte Lösungswärme). Die Wärmewirkung hat in beiden Fällen oft nicht nur verschiedene Werte, sondern sie kann sogar verschiedene Vorzeichen haben. Ein auffallendes Beispiel bildet das Cuprichlorid, wie die folgenden Zahlen zeigen<sup>3)</sup>:

| Anzahl der Gramm-Moleküle von $\text{CuCl}_2 \cdot 2\text{H}_2\text{O}$ , die in 198 Gramm-Molekülen Wasser gelöst sind | Wärmeentwicklung |
|---|------------------|
| 1   | + 37 K           |
| 2,02  | + 66 "           |
| 4,15  | + 105 "          |
| 7,07  | + 117 "          |
| 9,95  | + 117 "          |
| 11  | + 91 "           |
| 18,8  | — 10 "           |
| 19,6  | — 31 "           |
| 24,75   | -- 198 "         |

<sup>1)</sup> TILDEN u. SHENSTONE, Phil. Trans. 1884, 175, 23; HULETT u. ALLEN, Jour. Amer. Chem. Soc. 1902, 24, 667; ANDREA, Jour. prakt. Chem. 137, 474; LUMSDEN, Jour. Chem. Soc. 1902, 81, 350; MYLIUS u. v. WROCHEM, Ber. 1900, 33, 3689. Vergleiche auch MEYERHOFFERS schöne kritische Sammlung der vorhandenen Löslichkeitskurven in den „Physikal. chem. Tabellen“ von LANDOLT-BÖRNSTEIN-MEYERHOFFER. 3. Aufl. Berlin 1905.

<sup>2)</sup> E. VON STACKELBERG, Zeitschr. phys. Chem. 1896, 20, 159; 1898, 26, 533; LUMSDEN, Jour. Chem. Soc. 1902, 81, 350; HOLSBOER, Zeitschr. phys. Chem. 1902, 39, 691.

<sup>3)</sup> REICHER u. VAN DEVENTER, Zeitschr. phys. Chem. 1890, 5, 559; VAN DEVENTER u. VAN DE STADT, ebenda 1892, 9, 43; vgl. OSTWALD, Lehrbuch, II, 2, 803, sowie „Handbuch der angewandten physikal. Chemie“ Bd. VIII, ROTHMUND S. 47.



In dieser Tabelle bedeuten die positiven Zahlen Wärmeentwicklung, die negativen Wärmeabsorption. Die Werte für die Wärmewirkung sind in OSTWALD'schen Kalorien ausgedrückt. Nach der Wärmeentwicklung beim Lösen von Cuprilorid in einer großen Menge Wasser müßte man erwarten, daß die Löslichkeit des Salzes mit steigender Temperatur abnimmt. Tatsächlich nimmt sie aber zu. Dies steht jedoch in Einklang mit der Tatsache, daß die letzte Lösungswärme negativ ist, d. h. daß die Auflösung des Salzes in einer fast gesättigten Lösung eine Wärmeabsorption begleitet ist. Dies ist zu erwarten, weil die Lösungswärme mit zunehmender Konzentration das Zeichen ändert, und ist auch durch den Versuch bestätigt worden.

Es verdient hervorgehoben zu werden, daß sämtliche Löslichkeitskurven trotz ihrer Mannigfaltigkeit ihrer Formen kontinuierlich sind, solange die feste Phase der die feste Substanz, welche mit der Lösung in Berührung ist, unverändert bleibt. Wenn in der Richtung der Kurve ein „Knick“ oder sonst eine diskontinuierliche Änderung eintritt, so ist dies ein Zeichen, daß die feste Phase eine Veränderung erlitten hat. Umgekehrt, wenn bekannt ist, daß in der festen Phase eine Änderung stattfindet, so kann ein Knick in der Löslichkeitskurve vorausgesagt werden. Beispiele hiervon werden wir sofort kennen lernen<sup>1)</sup>.

### A) Wasserfreies Salz und Wasser.

**Die Löslichkeitskurve.** — Beim Studium der Gleichgewichte in denjenigen Systemen aus zwei Komponenten, in denen die flüssige Phase eine Lösung oder eine Phase von veränderlicher Zusammensetzung ist, wollen wir uns in diesem Kapitel auf die Diskussion derjenigen Fälle beschränken, in denen keine festen Verbindungen entstehen, sondern in denen die Komponenten im reinen Zustand auskristallisieren. Da einige der am besten bekannten Beispiele solcher Systeme von Lösungen wasserfreier Salze in Wasser gebildet werden, wollen wir zunächst einige Resultate, die man in diesem Falle erhalten hat, kurz betrachten.

In den meisten Fällen sind die Löslichkeitskurven nur bei Temperaturen zwischen 0° und 100° studiert worden, während als feste Phase das wasserfreie Salz mit der Lösung in Berührung war. Für die Darstellung dieser Gleichgewichte dient das Konzentration-Temperaturdiagramm. Die Konzentration wird durch die Anzahl der Gramme des in 100 g Wasser gelösten Salzes ausgedrückt, oder durch die Anzahl der Gramm-Moleküle des Salzes, die in 100 Gramm-Molekülen Wasser gelöst sind. Die Kurven zeigen die bereits erwähnte Mannigfaltigkeit der Formen. Solange das feste Salz unverändert bleibt, ist die Kurve kontinuierlich, wenn aber das feste Salz eine Veränderung erleidet, so zeigt die Kurve einen Knick.

Nun können gewisse Substanzen, wie wir bereits im 3. Kapitel gesehen haben, in verschiedenen Kristallformen existieren, und diese Formen hängen so miteinander zusammen, daß die relative Stabilität eines jeden Paares polymorpher Formen bei einer bestimmten Temperatur wechselt. Da jede kristallinische Varietät einer Substanz ihre eigene Löslichkeit haben muß, so muß die Löslichkeitskurve bei der Umwandlungstemperatur der beiden enantiotropen Formen einen Knick zeigen. Bei diesem Punkt müssen sich die beiden Löslichkeitskurven schneiden, denn da hier die beiden Formen nebeneinander im Gleichgewicht mit ihrem Dampf sind, müssen sie auch mit ihren Lösungen im Gleichgewicht sein. Kalium-

<sup>1)</sup> Die Formel von RAMSAY und YOUNG (S. 41) kann (mit gewissen Einschränkungen) auf die Interpolation und Extrapolation der Löslichkeitskurve einer Substanz angewandt werden, wenn zwei (oder drei) Punkte der Kurve bekannt sind. In diesem Falle beziehen sich  $T$ ,  $T_1$ , usw. auf die Temperaturen, bei denen die beiden Substanzen — diejenige, von welcher die Löslichkeitskurve bekannt ist, und diejenige, deren Löslichkeitskurve berechnet werden soll — gleiche Löslichkeit besitzen, nicht, wie in dem früheren Fall, gleichen Dampfdruck (FINDLAY, Proc. Roy. Soc. 1902, 69, 471; Zeitschr. phys. Chem. 1903, 42, 110).

nitrat, Ammoniumnitrat, Silbernitrat, Thalliumnitrat, Thallumpikrat können, wie aus der Tabelle auf S. 39 zu ersehen ist, in zwei oder mehr verschiedenen enantiotropen Kristallformen existieren, und das Bereich der Stabilität dieser Formen ist

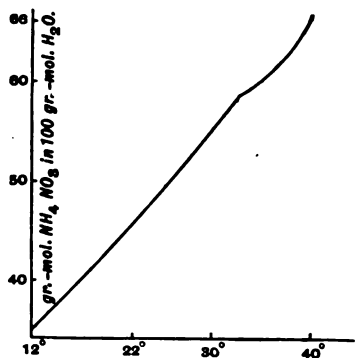


Fig. 27.

durch eine bestimmte Temperatur, die Umwandlungstemperatur, begrenzt. Da der Umwandlungspunkt durch ein Lösungsmittel nicht beeinflusst wird (vorausgesetzt, daß das letztere nicht von der festen Phase absorbiert wird), so ist zu erwarten, daß die Kurve für die Löslichkeit dieser Substanzen in Wasser bei der Umwandlungstemperatur eine Richtungsänderung aufweist. Eine solche ist z. B. für Ammoniumnitrat<sup>1)</sup> und Thallumpikrat<sup>2)</sup> tatsächlich nachgewiesen worden. Die folgende Tabelle enthält die von MÜLLER und KAUFMANN erhaltenen Werte für die Löslichkeit von Ammoniumnitrat: Die Zahlen bedeuten die Anzahl der Grammoleküle  $\text{NH}_4\text{NO}_3$ , welche in 100 Gramm-Molekülen Wasser gelöst sind.

In Fig. 27 sind diese Resultate graphisch dargestellt. Der Gleichgewichtspunkt wurde sowohl von der Seite der ungesättigten als auch von der Seite der übersättigten Lösung her erreicht, und der Gleichgewichtszustand wurde durch Bestimmungen der Dichte der Lösungen kontrolliert.

Löslichkeit von Ammoniumnitrat.

| Temperatur | Löslichkeit | Temperatur | Löslichkeit |
|------------|-------------|------------|-------------|
| 12,2°      | 34,50       | 32,7°      | 57,90       |
| 20,2°      | 43,30       | 34,0°      | 58,89       |
| 25,05°     | 48,19       | 35,0°      | 59,80       |
| 28,8°      | 51,86       | 36,0°      | 61,00       |
| 30,0°      | 54,40       | 37,5°      | 62,90       |
| 30,2°      | 54,61       | 38,0°      | 63,60       |
| 31,9°      | 57,20       | 39,0°      | 65,09       |
| 32,1°      | 57,60       | 40,0°      | 66,80       |

Aus der in Fig. 27 gegebenen graphischen Darstellung der Löslichkeit ist zu ersehen, daß die Kurve bei 32° eine andere Richtung annimmt, und dieser Knick in der Kurve entspricht der Umwandlungstemperatur der  $\beta$ -rhombischen Form des Ammoniumnitrats in die  $\alpha$ -rhombische Form (S. 39).

**Verzögerte Umwandlung und Übersättigung.** — Die Umwandlung der einen Kristallform in die andere findet, wie wir bereits wissen, nicht notwendigerweise statt, sobald der Umwandlungspunkt erreicht ist, und es ist daher in mehreren Fällen möglich gewesen, die Löslichkeitskurve einer Kristallform über die Temperatur hinaus zu verfolgen, bei der sie aufhört, die stabilere Modifikation zu sein. Nun ist aber aus Fig. 27 leicht zu ersehen, daß, wenn beide Kurven über ihren Durchschnittspunkt hinaus verlängert werden, die Löslichkeit der weniger stabilen Form größer ist als die der stabileren Form. Daher ist eine Lösung, die in bezug auf die weniger stabile Form gesättigt ist, d. h. die mit dieser Form im Gleichgewicht ist, in bezug auf die stabilere Form übersättigt. Wenn daher eine geringe Menge der stabileren festen Form in eine solche Lösung eingeführt wird, so muß die letztere eine solche Menge der stabileren Form aus-

<sup>1)</sup> W. MÜLLER u. P. KAUFMANN, Zeitschr. phys. Chem. 1903, **42**, 497.

<sup>2)</sup> W. O. RABE, Zeitschr. phys. Chem. 1901, **38**, 175.



weisen, daß die Konzentration der Lösung nunmehr der Löslichkeit der stabilen Form bei der betreffenden Temperatur entspricht. Da aber jetzt die Lösung in bezug auf die weniger stabile Form ungesättigt ist, so muß die letztere, wenn sie anwesend ist, in Lösung gehen, und die beiden Prozesse, die Scheidung der stabilen und Lösung der metastabilen festen Form, müssen so lange fortschreiten, bis die letztere Form vollständig verschwunden und eine gesättigte Lösung der stabilen Form entstanden ist. Die weniger stabile Form wird durch Vermittlung des Lösungsmittels in die stabilere Modifikation umgewandelt. Dies Verhalten ist für die Bestimmung von Umwandlungspunkten von praktischer Bedeutung (s. Anhang).

Aus der vorhergehenden Diskussion ist zu ersehen, wie wichtig der Zustand der festen Phase für die Definition von Sättigung und Übersättigung ist<sup>1)</sup>.

**Löslichkeitskurve bei höheren Temperaturen.** — Indem wir zur Betrachtung der Löslichkeitskurven bei höheren Temperaturen übergehen, haben wir zwei Hauptklassen zu unterscheiden.

1. Die beiden Komponenten im geschmolzenen Zustand können sich in allen Verhältnissen mischen.
2. Die beiden Komponenten im geschmolzenen Zustand können sich nicht in allen Verhältnissen mischen.

#### 1. Vollkommene Mischbarkeit der geschmolzenen Komponenten.

Das beste Beispiel dieses Falles, welches studiert worden ist, insofern es sich um wasserfreies Salz und Wasser handelt, bildet Silbernitrat und Wasser. Die Löslichkeit dieses Salzes bei Temperaturen über 100° ist hauptsächlich von ETARD<sup>2)</sup> und von TILDEN und SHENSTONE<sup>3)</sup> studiert worden. Die von ETARD erhaltenen Resultate sind in der folgenden Tabelle gegeben und in Fig. 28 graphisch dargestellt.

Löslichkeit von Silbernitrat.

| Temperatur | Teile trockenen Salzes<br>in 100 Teilen der Lösung |
|------------|--|
| −7°        | 46,2   |
| −1°        | 52,1   |
| +5°        | 56,3   |
| 10°        | 61,2   |
| 20°        | 67,8   |
| 40,5°      | 76,8   |
| 73°        | 84,0   |
| 135°       | 92,8   |
| 182°       | 96,9   |

In dieser Figur ist die Zusammensetzung der Lösung in Teilen von Silbernitrat angegeben, die in 100 Gewichtsteilen der Lösung enthalten sind, so daß 100% reines Silbernitrat bedeutet. Die Löslichkeit nimmt, wie man sieht, mit der Temperatur zu. Bei einer Temperatur von ungefähr 160° muß infolge der Änderung der Kristallform (S. 39) ein Knick in der Kurve sein. Eine solche Änderung in der Richtung der Löslichkeitskurve ändert jedoch in keiner Weise den wesentlichen Charakter der hier besprochenen Beziehungen und braucht hier nicht berücksichtigt zu werden. Wenn wir daher die Löslichkeitskurve des Silber-

<sup>1)</sup> Vgl. JAFFÉ, Zeitschr. phys. Chem. 1903, 43, 565; MIERS u. ISAAC, Journ. Chem. Soc. 1906, 9, 413.

<sup>2)</sup> Ann. chim. phys. 1894, [7], 2, 524.

<sup>3)</sup> Phil. Trans. 1884, 175, 23.



nitrats weiter verfolgen, so finden wir, daß bei höheren Temperaturen die Konzentration des Silbernitrats in der Lösung allmählich zunimmt, bis schließlich, bei  $208^{\circ}$ <sup>1)</sup>, der Schmelzpunkt des reinen Silbernitrats erreicht wird und die Konzentration des Wassers gleich Null geworden ist. Die Kurve stellt in ihrer ganzen Ausdehnung das Gleichgewicht zwischen Silbernitrat, Lösung und Dampf dar. Umgekehrt, wenn man vom reinen Silbernitrat in Berührung mit dem geschmolzenen Salz ausgeht, so wird durch Hinzufügen von Wasser der Schmelzpunkt, d. h. diejenige Temperatur, bei welcher das feste Salz in Berührung mit der Flüssigkeit existieren kann, erniedrigt, und diese Erniedrigung

wird um so größer, je mehr Wasser hinzugefügt wird. Wenn daher die Konzentration des Wassers in der flüssigen Phase erhöht wird, so geht das System auf der Kurve von höheren zu niedrigeren Temperaturen und von größeren zu kleineren Konzentrationen von Silbernitrat in

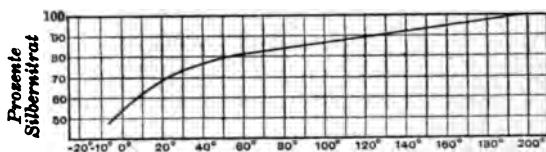


Fig. 28.

der flüssigen Phase zurück. Die Kurve Fig. 28 kann daher entweder als Löslichkeitskurve für die Löslichkeit von Silbernitrat in Wasser betrachtet werden oder als Gefrierpunktskurve für Silbernitrat in Berührung mit einer Lösung dieses Salzes in Wasser.

Wenn die Temperatur der gesättigten Lösung sinkt, so scheidet sich Silbernitrat aus, und wenn die Temperatur hinreichend erniedrigt wird, so wird schließlich ein Punkt erreicht, bei welchem sich auch Eis auszuscheiden beginnt. Da jetzt vier Phasen koexistieren, nämlich Silbernitrat, Eis, Lösung und Dampf, so ist das System invariant geworden und der Punkt ist ein vierfacher Punkt. Dieser vierfache Punkt bildet daher die untere Grenze der Löslichkeitskurve von Silbernitrat. Unterhalb dieses Punktes wird die Lösung metastabil.

**Eis als feste Phase.** — Eis schmilzt oder ist im Gleichgewicht mit Wasser bei einer Temperatur von  $0^{\circ}$ . Der Schmelzpunkt wird aber durch die Lösung von Silbernitrat im Wasser erniedrigt, und je größer die Konzentration des Salzes in der Lösung ist, desto größer ist die Depression der Gleichgewichtstemperatur. Wenn mit der Hinzufügung von Silbernitrat fortgefahren wird, so wird schließlich ein Punkt erreicht, bei dem sich kein Salz mehr löst, und es entsteht wieder das eben besprochene invariante System Eis-Salz-Lösung-Dampf. Die Temperatur, bei welcher dieses invariante System existieren kann, ist, wie MIDDELBERG<sup>2)</sup>

gefunden hat,  $-7,3^{\circ}$ . Die Lösung enthält bei dieser Temperatur 47,1% Silbernitrat.

Dasselbe allgemeine Verhalten findet sich bei allen anderen Systemen aus zwei Komponenten, die zu der Klasse gehören, d. h. bei Systemen, deren Komponenten im reinen Zustand auskristallisieren und bei denen die geschmolzenen Komponenten in allen Verhältnissen mischbar sind. Für alle diese Fälle können die Löslichkeitskurven (Gleichgewichtskurven) schematisch durch Fig. 29 dargestellt

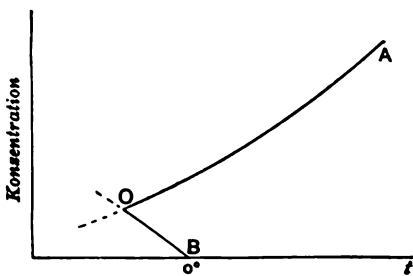


Fig. 29.

werden. OA ist die Löslichkeitskurve des Salzes und OB die Gefrierpunktskurve des Eises. O ist der vierfache Punkt, bei welchem das invariante System

<sup>1)</sup> HISSINK, Zeitschr. phys. Chem. 1900, **32**, 543.

<sup>2)</sup> Zeitschr. phys. Chem. 1903, **43**, 313.

existiert, und der als Durchschnittspunkt der Löslichkeitskurve mit der Gefrierpunktskurve betrachtet werden kann. Da dieser Punkt fixiert ist, so ist der Zustand des Systems hinsichtlich der Temperatur, des Dampfdruckes und der Konzentration der Komponenten (oder der Zusammensetzung der Lösung) vollkommen bestimmt. Auch geht aus der Art und Weise, wie dieser Zustand erreicht wird, hervor, daß der vierfache Punkt die niedrigste Temperatur ist, den die Lösung bei Gemischen von zwei Komponenten in Gegenwart von Dampf erreichen kann. Er wird als der kryohydratische Punkt oder gewöhnlich als der eutektische Punkt<sup>1)</sup> bezeichnet.

**Kryohydrate<sup>2)</sup>.** — Wenn eine Lösung von Kochsalz in Wasser auf eine Temperatur von  $-3^{\circ}$  abgekühlt wird, so scheidet sich, wie GUTHRIE beobachtete, das Hydrat  $\text{NaCl} \cdot 2\text{H}_2\text{O}$  aus. Bei weiterer Abkühlung schreitet die Ausscheidung dieses Salzes fort, bis bei  $-22^{\circ}$  undurchsichtige Kristalle erscheinen und die Flüssigkeit ohne Änderung der Temperatur in den festen Zustand übergeht. Ein ähnliches Verhalten beobachtete GUTHRIE bei einer großen Anzahl anderer Salze. Es wurde eine Temperatur unter dem Schmelzpunkt des Eises erreicht, bei welcher weitere Wärmeentziehung bewirkte, daß die Lösung bei konstanter Temperatur erstarrte. Wenn das System die niedrigste Temperatur erreicht hatte, so hatten die feste und die flüssige Phase dieselbe Zusammensetzung, und diese Zusammensetzung änderte sich auch während des Erstarrens nicht. Dies ergibt sich aus den folgenden Zahlen, welche die Zusammensetzung verschiedener Proben der festen Phase angeben, die sich aus der Lösung bei konstanter Temperatur ausgeschieden hatten<sup>3)</sup>.

| Nr. | Erstarrungstemperatur           | NaCl<br>Prozent |
|-----|---------------------------------|-----------------|
| 1   | $-21^{\circ}$ bis $-22^{\circ}$ | 23,72           |
| 2   | $-22^{\circ}$                   | 23,66           |
| 3   | $-22^{\circ}$                   | 23,73           |
| 4   | $-23^{\circ}$                   | 23,82           |
| 5   | $-23^{\circ}$                   | 23,34           |
| 6   | $-23^{\circ}$                   | 23,35           |

Mittel . . . . 23,6

Andererseits schmilzt ein Gemisch von Eis und Salz, welches 23,6% Natriumchlorid enthält, bei einer bestimmten und konstanten Temperatur, zeigt also eine Eigenschaft, die früher fälschlich als charakteristisch für reine Salze angesehen wurde. In Anbetracht dieses Umstandes sowie der Tatsache, daß die ausgeschiedene feste Substanz kristallinisch war und daß beim Ausfrieren stets dieselbe konstante Temperatur erreicht wurde, einerlei von welchen Mengen Wasser und Salz ausgegangen wurde, nahm GUTHRIE an, daß die festen Substanzen, die sich so bei konstanter Temperatur ausscheiden, bestimmte chemische Verbindungen seien, denen er den allgemeinen Namen Kryohydrate beilegte. GUTHRIE hat eine große Anzahl solcher Kryohydrate dargestellt und analysiert. Die Zusammensetzung einiger derselben sowie die Temperatur des kryohydratischen Punktes sind in der folgenden Tabelle gegeben<sup>4)</sup>:

<sup>1)</sup> GUTHRIE, Phil. Mag. 1875, [4], 49, 1; 1884, [5], 17, 462.

<sup>2)</sup> Siehe ROLOFF, Zeitschr. phys. Chem. 1895, 17, 325; GUTHRIE, a. a. O.

<sup>3)</sup> GUTHRIE, Phil. Mag. a. a. O.; vgl. OSTWALD, Lehrbuch, II, 2, 843.

<sup>4)</sup> GUTHRIE, Phil. Mag. 1875, [4], 49, 269.

## Kryohydrate.

| Salz                  | Kryohydratischer Punkt | Prozentgehalt des Kryohydrats<br>an wasserfreiem Salz |
|-----------------------|------------------------|---|
| Natriumbromid . . .   | —24°                   | 41,33   |
| Natriumchlorid . . .  | —22°                   | 23,60   |
| Kaliumjodid . . . .   | —22°                   | 52,07   |
| Natriumnitrat . . . . | —17,5°                 | 40,80   |
| Ammoniumsulfat . . .  | —17°                   | 41,70   |
| Ammoniumchlorid . . . | —15°                   | 19,27   |
| Natriumjodid . . . .  | —15°                   | 59,45   |
| Kaliumbromid . . . .  | —13°                   | 32,15   |
| Kaliumchlorid . . . . | —11,4°                 | 20,03   |
| Magnesiumsulfat . . . | —5°                    | 21,86   |
| Kaliumnitrat . . . .  | —2,6°                  | 11,20   |
| Natriumsulfat . . . . | —0,7°                  | 4,55  |

Die Annahme, daß diese Kryohydrate chemische Verbindungen seien, wurde jedoch von PFAUNDLER<sup>1)</sup> in Zweifel gezogen und von OFFER<sup>2)</sup> widerlegt. Dieser zeigte, daß die Kryohydrate trotz der Konstanz des Schmelzpunktes nicht die Eigenschaften von bestimmten chemischen Verbindungen, sondern von Gemischen besitzen. Die Beweisführung stützt sich darauf, daß die Kryohydrate dieselbe Lösungswärme und dasselbe spezifische Volum besitzen wie ein Gemisch von Eis und Salz von derselben Zusammensetzung. Ferner wurde auch nachgewiesen, daß das Kryohydrat keine bestimmte Kristallform besitzt, sondern daß es als undurchsichtige Masse ausgeschieden wird, in welcher die Komponenten dicht nebeneinander liegen. Die heterogene Natur der Kryohydrate kann auch durch mikroskopische Untersuchung erkannt werden.

Wir haben es daher beim kryohydratischen Punkt nicht mit einer einzigen festen Phase, sondern mit zwei festen Phasen, Eis und Salz, zu tun. Der kryohydratische Punkt ist daher, wie bereits gesagt, ein vierfacher Punkt und er repräsentiert ein invariantes System.

Beim Abkühlen einer Lösung auf den kryohydratischen Punkt kann zwar die Ausscheidung von Eis eintreten, aber sie muß nicht notwendigerweise eintreten, da das System metastabil werden kann. Ebenso braucht nicht sofort Ausscheidung von Salz stattzufinden, wenn der kryohydratische Punkt erreicht ist. Es ist daher möglich, die Kurven *BO* und *AO* über den vierfachen Punkt<sup>3)</sup> hinaus zu verfolgen. Dabei zeigt es sich deutlich, daß er der Durchschnittspunkt der Löslichkeitskurve des Salzes mit der Gefrierpunktskurve des Eises ist. Bei diesem Punkt schneiden sich demnach auch die Kurven der univarianten Systeme Eis-Salz-Dampf und Eis-Salz-Lösung.

**Änderungen beim vierfachen Punkt.** — Da das invariante System Eis-Salz-Lösung-Dampf nur bei einer bestimmten Temperatur existieren kann, so muß Zuführung oder Entziehung von Wärme das Verschwinden einer der Phasen zur Folge haben, wodurch das System univariant wird. Solange alle vier Phasen vorhanden sind, müssen Temperatur, Druck und Konzentration der Komponenten in der Lösung konstant bleiben. Wenn daher dem System Wärme zugeführt oder entzogen wird, so werden innerhalb des Systems kompensatorische Änderungen vor sich gehen, wobei sich der Zustand des Systems zu erhalten strebt. Die Änderungen können in allen Fällen mit Hilfe des Satzes von VAN'T HOFF und

<sup>1)</sup> Ber. 1877, 20, 2223.

<sup>2)</sup> Sitzber. Wien. Akad. 1880, 81, II, 1058.

<sup>3)</sup> GUTHRIE, Phil. Mag. 1875, [4], 49, 206.



LE CHATELIER vorausgesagt werden und brauchen hier mit Rücksicht auf das im Kapitel Gesagte nur kurz erwähnt zu werden. Zufuhr von Wärme bewirkt, daß Eis schmilzt, und infolgedessen wird zunächst die Konzentration der Lösung geändert. Daher muß sich Salz lösen, bis wieder die ursprüngliche Konzentration erreicht ist. Auch Änderungen des Volums der festen und der flüssigen Phase müssen in Betracht gezogen werden, da eine Änderung im Volum dieser Phasen durch Kondensation oder Verdampfung ausgeglichen wird. Daher sind alle vier Phasen an der Änderung beteiligt, und der Endzustand des Systems hängt von den vorhandenen Mengen der verschiedenen Phasen ab. Das Endresultat einer Zuführung oder Entziehung von Wärme oder einer Änderung des Druckes beim vierfachen Punkt ist eins der vier univarianten Systeme Eis-Lösung-Dampf, Salz-Lösung-Dampf, Eis-Salz-Dampf und Eis-Salz-Lösung. Wenn die Dampfphase verschwindet, so bleibt das univariante System Eis-Salz-Lösung übrig, und die Temperatur, bei welcher dieses System existieren kann, ändert sich mit dem Druck. Da in diesem Falle der Einfluß des Druckes verhältnismäßig gering ist, so unterscheidet sich die Temperatur des vierfachen Punktes nur wenig von der Temperatur des kryohydratischen Punktes, wenn sie unter Atmosphärendruck bestimmt wird.

**Kältemischungen.** — Die Zusammensetzung eines univarianten Systems erleidet eine Veränderung, wenn die Temperatur geändert wird, und umgekehrt, wenn die Zusammensetzung des Systems geändert wird, so muß auch die Temperatur eine entsprechende Änderung erleiden. Wenn z. B. zu dem univarianten System Salz-Lösung-Dampf Eis hinzugefügt wird, so muß das Eis schmelzen und die Temperatur sinken, und wenn genug Eis hinzugesetzt wird, so muß schließlich die Temperatur des kryohydratischen Punktes erreicht werden, da nur bei dieser Temperatur die vier Phasen Eis, Salz, Lösung und Dampf koexistieren können. Wenn andererseits zu dem System Eis-Lösung-Dampf Salz hinzugefügt wird, so wird die Konzentration der Lösung erhöht, Eis muß schmelzen und die Temperatur muß dabei sinken, und auch dieser Prozeß wird so lange fortschreiten, bis der kryohydratische Punkt erreicht wird. In beiden Fällen schmilzt Eis und die Zusammensetzung der Lösung erleidet eine Veränderung. Im ersteren Falle wird Salz ausgeschieden<sup>1)</sup>, weil die Löslichkeit mit sinkender Temperatur kleiner wird, und in letzterem Falle geht Salz in Lösung. Dieser Prozeß kann entweder von Wärmeentwicklung oder, was häufiger ist, von Wärmeabsorption begleitet sein. Im ersteren Falle wird die Wirkung der Hinzufügung von Eis zum Teil ausgeglichen, im letzteren Falle wird sie erhöht.

Hiervon macht man bei der Herstellung von Kältemischungen Anwendung. Die niedrigste Temperatur, welche durch solche Mischungen (unter Atmosphärendruck) erreicht werden kann, ist der kryohydratische Punkt. Dieses Temperaturminimum wird jedoch in vielen Fällen nicht erreicht, und zwar aus verschiedenen Gründen, hauptsächlich wegen der Strahlung und wegen der zur Abkühlung der entstehenden Lösung abzuführenden Wärme. Je tiefer die Temperatur sinkt, desto größer wird die Strahlung, und die Geschwindigkeit, mit welcher die Temperatur sinkt, nimmt um so mehr ab, als die Menge der Lösung zunimmt. Diese beiden Faktoren wirken der latenten Schmelzwärme und der Lösungswärme entgegen und es wird ein Punkt erreicht (der bedeutend über dem kryohydratischen Punkt liegen kann), bei welchem sich die beiden entgegengesetzten Wirkungen das Gleichgewicht halten. Die Wärmeabgabe durch die Lösung kann vermindert werden, indem man die Lösung in dem Maße, wie sie entsteht, abtropfen läßt, und die Wirkung der Strahlung kann teilweise vernichtet werden, indem man die Geschwindigkeit der Abkühlung steigert. Dies kann durch eine möglichst innige Mischung der Bestandteile bewirkt werden. Da die Tempe-

<sup>1)</sup> Wenn in der Nähe des kryohydratischen Punktes die Lösung von Wärmeentwicklung begleitet sein sollte, so würde Salz in Lösung gehen, weil in diesem Falle die Löslichkeit mit sinkender Temperatur zunimmt.

ratur des kryohydratischen Punktes bei Atmosphärendruck konstant ist, so sind die Kryohydrate sehr wertvoll für die Herstellung von Bädern von konstanter niedriger Temperatur.

## 2. Teilweise Mischbarkeit der geschmolzenen Komponenten.

Wenn wir zum Studium der zweiten Klasse von Systemen aus zwei Komponenten übergehen, die zu dieser Gruppe gehören, nämlich zu denjenigen, bei denen die geschmolzenen Komponenten nicht in allen Verhältnissen mischbar sind, so finden wir, daß die Verhältnisse hier nicht ganz so einfach liegen wie bei Silbernitrat und Wasser. In dem letzteren Falle war nur eine flüssige Phase möglich. In den Fällen, die wir jetzt zu studieren haben, können zwei flüssige Phasen entstehen, und die Löslichkeitskurve zeigt beim Übergang vom kryohydratischen Punkt zum Schmelzpunkt der zweiten (nichtflüchtigen) Komponente eine deutliche Diskontinuität.

Paratoluidin ist in Wasser löslich und die Löslichkeit nimmt mit steigender Temperatur zu<sup>1)</sup>. Aber bei 44,2° schmilzt Paratoluidin in Berührung mit Wasser und es entstehen zwei flüssige Phasen, nämlich eine Lösung von Wasser in geschmolzenem Paratoluidin und eine Lösung von geschmolzenem Paratoluidin in Wasser. Wir haben daher die Erscheinung des Schmelzens unter dem Lösungsmittel. Dieser Schmelzpunkt liegt natürlich tiefer als der Schmelz-

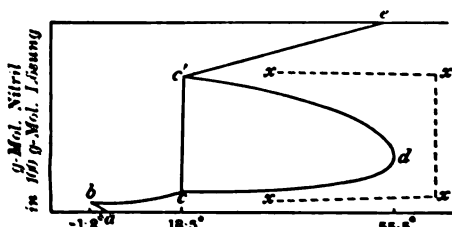


Fig. 30.

punkt der reinen Substanz, weil der feste Körper jetzt in Berührung mit einer Lösung ist und weil, wie wir bereits gesehen haben, Hinzufügung einer fremden Substanz den Schmelzpunkt erniedrigt. Solche Fälle von Schmelzen unter dem Lösungsmittel sind durchaus nicht selten, und wir wollen daher auf die Beziehungen, welche eintreten können, etwas näher eingehen. Als Beispiel mag das Gleichgewicht zwischen Bernstein-

säurenitril  $C_2H_3(CN)_2$  und Wasser dienen, welches von SCHREINEMAKERS<sup>2)</sup> eingehend studiert worden ist.

Wenn zu dem System Eis-Wasser bei 0° Bernsteinsäurenitril hinzugefügt wird, so sinkt die Temperatur, und wenn mit dem Hinzufügen des Nitrils fortgefahren wird, so erreicht man schließlich den kryohydratischen Punkt *b* (Fig. 30), bei welchem festes Nitril, Eis, Lösung und Dampf koexistieren können. Die Temperatur des kryohydratischen Punktes ist  $-1,2^\circ$ , und die Zusammensetzung der Lösung besteht aus 1,29 Molen Nitril in 100 Molen Lösung<sup>3)</sup>. Von *a* bis *b* besteht die feste Phase in Berührung mit der Lösung aus Eis. Wenn die Temperatur jetzt gesteigert wird, so daß das Eis verschwindet, und mit dem Hinzufügen von Nitril fortgefahren wird, so nimmt die Konzentration des Nitrils in der Lösung zu, wie es die Kurve *bc* darstellt. Beim Punkt *c* ( $18,5^\circ$ ), wenn die molekulare Konzentration des Nitrils in der Lösung auf 2,5 Prozent angewachsen ist, schmilzt das Nitril und es entstehen zwei flüssige Phasen. Die Konzentration des Nitrils in diesen beiden Phasen ist durch die Punkte *c* und *c'* gegeben. Da jetzt vier Phasen vorhanden sind, nämlich festes Nitril, Lösung von geschmolzenem Nitril in Wasser, Lösung von Wasser in geschmolzenem Nitril und Dampf, so ist das System invariant. Da bei diesem Punkt die Konzentration, die Temperatur und der Druck vollständig bestimmt sind, so kann eine weitere Zunahme der Menge des

<sup>1)</sup> WAGNER, Zeitschr. phys. Chem. 1890, 5, 193.

<sup>2)</sup> Zeitschr. phys. Chem. 1897, 23, 418.

<sup>3)</sup> Für g-Molekul sagt man nach OSTWALD jetzt kürzer „Mol“.



Es wird nur eine Änderung in den relativen Mengen der Phasen bewirken, aber keine Änderung der Konzentrationen in den betreffenden Phasen. Weitere Zufügung von Nitril bei gleichzeitiger Zufuhr von Wärme bewirkt natürlich eine Abnahme der Menge der flüssigen Phase, die einen Überschuß von Nitril enthält (d. h. der Lösung von Wasser in geschmolzenem Nitril), während die andere flüssige Phase, die Lösung von geschmolzenem Nitril in Wasser, nach und nach vermindert wird. Wenn sie vollständig verschwunden ist, so wird das System durch den Punkt  $c'$  dargestellt, wo die molekulare Konzentration des Nitrils jetzt 75 Prozent beträgt und das System wieder univariant ist. Die drei Phasen sind festes Nitril, flüssige Phase, die überschüssiges Nitril enthält, und Dampf, und wenn die Menge Wassers vermindert wird, so steigt die Gleichgewichtstemperatur, bis bei  $54^{\circ}$  der Schmelzpunkt des reinen Nitrils erreicht wird.

Wir kehren jetzt zum Punkt  $c$  zurück. Bei diesem Punkt existiert das invariante System festes Nitril, zwei flüssige Phasen, Dampf. Wenn Wärme zugeführt wird, so verschwindet das feste Nitril und es bleibt das aus zwei flüssigen Phasen und Dampf bestehende univariante System übrig, vorausgesetzt, daß das feste Nitril nicht in allzu großem Überschuß zugegen ist. Ein solches System wird ähnliche Beziehungen zeigen wie diejenigen, welche wir im vorhergehenden Kapitel studiert haben. Wenn die Temperatur steigt, so wird die gegenseitige Löslichkeit der beiden geschmolzenen Komponenten größer, bis bei  $d$  ( $55,5^{\circ}$ ) die kritische Lösungstemperatur erreicht wird und die geschmolzenen Komponenten in allen Verhältnissen mischbar werden.

Bei allen Temperaturen und Konzentrationen, welche rechts von der Kurve  $cd c'e$  liegen, kann nur eine flüssige Phase existieren. In dem Felde  $cd c'$  existieren zwei flüssige Phasen.

Aus der Figur ist leicht zu ersehen, was das Resultat sein wird, wenn man Bernsteinsäurenitril und Wasser bei verschiedenen Temperaturen und in verschiedenen Mengen zusammenbringt. Da  $b$  die niedrigste Temperatur ist, bei welcher die flüssige Phase in stabilem Gleichgewicht mit der festen existieren kann, so können Nitril und Bernsteinsäurenitril bei Temperaturen unter  $b$  in jedem Verhältnis geschüttelt werden, ohne eine Veränderung zu erleiden. Zwischen  $b$  und  $c$  wird Nitril gelöst, bis die Konzentration denjenigen Wert der Kurve  $bc$  erreicht, welcher der gegebenen Temperatur entspricht. Wenn das Nitril bei Temperaturen zwischen  $c$  und  $d$  zu Wasser hinzugefügt wird, so wird es gelöst, bis eine auf der Kurve  $cd$  liegende Konzentration erreicht wird. Bei diesem Punkt entstehen zwei flüssige Phasen, und ein weiteres Hinzufügen von Nitril bewirkt, daß die eine Phase (die überschüssiges Nitril enthält) zunimmt, während die andere flüssige Phase abnimmt, bis sie schließlich verschwindet und nur noch eine flüssige Phase vorhanden ist, nämlich diejenige, welche überschüssiges Nitril enthält. Diese kann weitere Mengen Nitril lösen, und die Konzentration nimmt zu, bis die Kurve  $c'e$  erreicht wird. Dann bleibt die Konzentration unverändert, und eine Hinzufügung einer festen Substanz vergrößert nur die Menge der festen Phase.

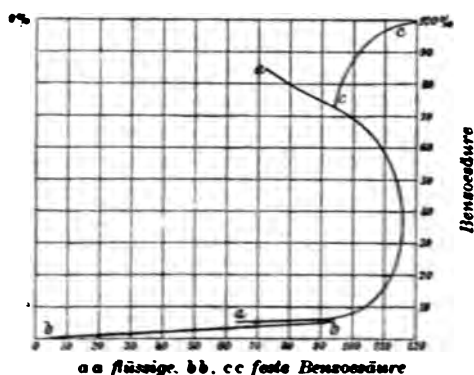
Wenn eine Lösung, die durch irgend einen Punkt des unter der Kurve  $bcd$  liegenden Feldes repräsentiert wird, auf eine Temperatur über  $d$ , der kritischen Lösungstemperatur, erwärmt wird, so kann die Konzentration des Nitrils auf jeden beliebigen Betrag erhöht werden, ohne daß zwei flüssige Phasen erscheinen. Das System kann dann auf jede beliebige Temperatur abgekühlt werden, die durch einen Punkt zwischen den Kurven  $dc'e$  repräsentiert wird. Auf diesem Wege ist es möglich, von einer Lösung, die einen Überschuß der einen Komponente enthält, kontinuierlich zu Lösungen überzugehen, die einen Überschuß der anderen Komponente enthalten, wie es die punktierte Linie  $xxxx$  angibt (S. 62). Bei keinem Punkte entstehen zwei flüssige Phasen.

**Übersättigung.** — Ebenso wie verzögerte Umwandlung selten beim Übergang vom festen in den flüssigen Zustand vorkommt, wird es auch beim Schmelzen von Substanzen unter dem Lösungsmittel selten beobachtet, daß verzögertes



Schmelzen eintritt. Wenn aber die Temperatur des invarianten Punktes erreicht wird, bei welchem die Bildung von zwei flüssigen Schichten möglich ist, so erscheinen tatsächlich diese beiden flüssigen Schichten. Eine Überschreitung kann jedoch von der Seite der flüssigen Phase her stattfinden, ebenso wie Wasser oder andere Flüssigkeiten unter den normalen Gefrierpunkt abgekühlt werden können, ohne daß Erstarrung eintritt. Es fragt sich also, welche Beziehungen zwischen den relativen Löslichkeiten der festen und der unterkühlten flüssigen Phase bei gleicher Temperatur existieren.

Die Antwort auf diese Frage können wir leicht geben, wenn wir uns erinnern, daß bei Temperaturen unter dem Schmelzpunkt (also auch beim Schmelzen unter dem



**Fig. 31.**

liegt die Verlängerung  $ab$  der Kurve für flüssig-flüssig, welche die Löslichkeit der unterkühlten flüssigen Benzoesäure angibt, über der Kurve  $bb$  für die Löslichkeit der festen Benzoesäure in Wasser. Die Lösung, welche in bezug auf die unterkühlte Flüssigkeit gesättigt ist, ist daher in bezug auf die feste Form übersättigt. Ein ähnliches Verhalten hat man bei anderen Substanzen gefunden<sup>2)</sup>.

**Druck-Temperaturdiagramm.** — Nachdem wir die Änderungen betrachtet haben, welche in der Konzentration der Komponenten in einer Lösung eintreten, wenn sich die Temperatur ändert, wollen wir nun die Diskussion des Gleichgewichts zwischen einem Salz und Wasser durch das Studium der Änderung des Dampfdruckes vervollständigen.

Da in Systemen aus zwei Komponenten die beiden Phasen, Lösung und Dampf, ein bivariantes System bilden, so ist der Dampfdruck unbestimmt und kann bei derselben Temperatur verschiedene Werte haben, die von der Konzentration abhängen. Damit jeder Temperatur ein bestimmter Dampfdruck entspricht, muß eine dritte Phase anwesend sein. Dieser Bedingung genügt z. B. das System fest-flüssig (Lösung)-Dampf, d. h. die gesättigte Lösung (S. 67). Bei einer gesättigten Lösung ist daher der Dampfdruck bei jeder gegebenen Temperatur konstant.

**Dampfdruck des Systems: Fest-Lösung-Dampf.** — Es ist seit langer Zeit bekannt, daß durch Hinzufügung eines festen Stoffes zu einer Flüssigkeit, in welcher er löslich ist, der Dampfdruck der Flüssigkeit erniedrigt wird. Die Verminderung des Dampfdruckes ist der Menge der gelösten Substanz annähernd proportional (Gesetz von Raoult und Willner). Die Dampfdruckkurve der Lösung eines Salzes in Wasser muß daher unter der Kurve für reines Wasser liegen. Ferner hängt

<sup>1</sup> *Weed Ann.* 1946 **28**: 328. Fig. 679 on. *Leitchak* II **2**: 872.

417. KAWAKAMI, K. u. o. chim. Phys.-Res. 1900. 8. 257. BRUNN. Zeitschr. phys. Chem. 1902. 22. 140.

in einer Flüssigkeit der Dampfdruck nur von der Temperatur ab (S. 39), die Lösung dagegen ändert sich der Druck mit der Temperatur und der Konzentration. Diese beiden Faktoren wirken aber in entgegengesetzter Richtung. Der Dampfdruck wächst zwar in allen Fällen mit der Temperatur, aber die Konzentration vermindert, wie wir gesehen haben, den Dampfdruck. Da nun die Konzentration der Lösung in Gegenwart der festen Substanz der Sättigung selbst mit der Temperatur ändert, so müssen zwei Fälle betrachtet werden, nämlich der Fall, daß die Konzentration mit steigender Temperatur zunimmt, und der Fall, daß die Konzentration mit steigender Temperatur abnimmt.

Die Beziehungen, welche man hier findet, sind am besten mit Hilfe von Fig. 32 zu verstehen. In dieser Figur ist  $OB$  die Sublimationskurve des Eises,  $OC$  die Verdampfungskurve des Wassers. Die Kurve für die gesättigte Lösung  $AB$  liegt zwischen den letzteren und muß die Sublimationskurve des Eises bei einer bestimmten Temperatur unter dem Schmelzpunkt schneiden. Dieser Schnittpunkt  $A$  ist der kryohydratische Punkt. Wenn die Löslichkeit mit steigender Temperatur zunimmt, so wird die durch die Temperaturerhöhung bewirkte Erhöhung des Dampfdruckes teilweise vermindert durch die Wirkung der Temperaturerhöhung.

Die Depressionswirkung der Zuzugabe von Salz anfangs mehr, so steigt der Dampfdruck mit steigender Temperatur oberhalb des kryohydratischen Punktes. Wenn aber die Konzentration nach und nach bis zum Sättigungspunkt  $F$  des Salzes gesteigert wird, so wird der Einfluß der zunehmenden Konzentration immer mehr bemerkbar, so daß die Dampfdruckkurve der Lösung immer mehr der Kurve der reinen Flüssigkeit  $OC$  nähert sich, bis der Druck schließlich gleich dem des reinen Salzes, also praktisch gleich Null wird.

Die Kurve wird daher die Form  $AMF$  (Fig. 32) haben. Wenn die Löslichkeit mit steigender Temperatur abnimmt, so wirken die beiden Faktoren, Temperatur und Konzentration in gleicher Richtung und die Dampfdruckkurve steigt relativ schneller als die der reinen Flüssigkeit. Da man aber schließlich das reine Salz erhält, so muß in diesem Falle die Dampfdruckkurve schließlich den Wert Null erreichen. Diese Kurve ist die **univariante Systemkurve**. — Außer dem bereits betrachteten univarianten System Salz-Lösung-Dampf sind noch drei andere möglich, nämlich Dampf, Eis-Salz-Lösung und Eis-Salz-Dampf.

Der Schmelzpunkt einer Substanz wird, wie wir gesehen haben, durch Hinzufügen einer fremden Substanz erniedrigt, und die Erniedrigung ist um so größer, je mehr Menge der hinzugefügten Substanz ist. Auch der Dampfdruck des Systems wird erniedrigt, wenn andere Substanzen im Wasser gelöst werden, so daß der Dampfdruck des Systems Eis-Lösung-Dampf abnehmen muß, wenn die Konzentration vom Schmelzpunkt des Eises auf den kryohydratischen Punkt fällt. Diese Kurve wird durch  $AB$  (Fig. 32) repräsentiert und fällt mit der Sublimationskurve des Eises zusammen.

Auf den ersten Blick befremdende Tatsache ist leicht zu verstehen, zu bedenken, daß Eis und damit im Gleichgewicht befindliche Lösung denselben Dampfdruck haben müssen, weil sie beide mit demselben Dampf im Gleichgewicht sind. Denn wenn bei irgend einer gegebenen Temperatur das

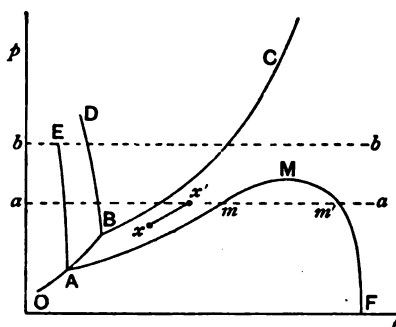


Fig. 32.

System Eis-Lösung-Dampf im Gleichgewicht ist und das Eis entfernt wird, so wird das Gleichgewicht nicht gestört werden. Man stelle sich nun vor, das Eis und die Lösung seien unter eine Glasglocke gestellt, so daß sie einen gemeinsamen Dampf besitzen, ohne selbst in Berührung zu sein. Wenn sie dann nicht denselben Dampfdruck hätten, so müßte Destillation stattfinden und die Lösung müßte entweder verdünnter oder konzentrierter werden. Wenn dieser Prozeß soweit vorgeschritten wäre, daß die Dampfdrucke über Eis und Lösung gleichgeworden sind, so wären nun Eis und Lösung auch im Gleichgewicht, während sie nicht in Berührung sind. Folglich müssen sie auch im Gleichgewicht sein, wenn sie in Berührung sind (S. 20). Wenn aber Destillation stattgefunden hat, so muß sich die Konzentration der Lösung geändert haben, so daß das Eis jetzt mit einer Lösung von anderer Konzentration als vorher im Gleichgewicht wäre. Nach der Phasenregel kann aber Eis nicht bei derselben Temperatur mit zwei Lösungen von verschiedener Konzentration im Gleichgewicht sein, da das System Eis-Lösung-Dampf univariant ist und also bei jeder Temperatur nicht nur der Druck, sondern auch die Konzentration der Komponenten in der Lösung konstant sein muß. Es kann also keine Destillation vom Eis zur Lösung oder umgekehrt stattfinden, d. h. die Lösung und das Eis müssen denselben Dampfdruck, nämlich den Sublimationsdruck des Eises haben. Der Grund des Zusammenfallens ist die Nichtflüchtigkeit des Salzes. Wenn das Salz selbst einen meßbaren Druck hätte, so würden die Sublimationskurve des Eises und die Kurve Eis-Lösung-Dampf nicht zusammenfallen.

Die Kurve *AO* stellt die Drucke des Systems Eis-Salz-Dampf dar. Auch diese Kurve fällt wegen der Nichtflüchtigkeit des Salzes mit der Sublimationskurve des Eises zusammen.

Die Gleichgewichte des vierten univarianten Systems, Eis-Salz-Lösung, werden durch *AE* dargestellt. Da dieses ein kondensiertes System ist, so hat, wie beim Schmelzpunkt einer reinen Substanz, eine geringe Änderung der Temperatur eine große Änderung des Druckes zur Folge. Die Richtung dieser Kurve hängt davon ab, ob beim Erstarren eine Vergrößerung oder eine Verkleinerung des Volums stattfindet, aber die Wirkung kann in jedem Falle mit Hilfe des Satzes von LE CHATELIER vorausgesagt werden.

Da der kryohydratische Punkt ein vierfacher Punkt in einem System aus zwei Komponenten ist, so repräsentiert er ein invariantes System. Der Zustand des Systems ist daher vollständig bestimmt; die vier Phasen, Eis, Salz, Lösung, Dampf, können nur koexistieren, wenn die Temperatur, der Druck und die Konzentration der Lösung konstante und bestimmte Werte haben. Zuführung oder Entziehung von Wärme kann daher nichts anderes bewirken als Änderung der relativen Mengen der Phasen. Zuführung von Wärme bei konstantem Volumen führt schließlich zu dem System Salz-Lösung-Dampf oder dem System Eis-Lösung-Dampf, je nachdem das Eis oder das Salz zuerst verschwindet. Dies geht deutlich aus dem Diagramm (Fig. 32) hervor, da die Systeme Eis-Salz-Lösung und Eis-Salz-Dampf nur bei Temperaturen unter dem kryohydratischen Punkt existieren können (vorausgesetzt, daß die Kurve für Eis-Salz-Lösung nach der Druckachse hin geneigt ist).

**Bivariate Systeme.** — Außer den bereits diskutierten univarianten Systemen sind verschiedene bivariate Systeme möglich, deren Existenzbedingungen durch die verschiedenen Felder von Fig. 32 gegeben sind. Es sind die folgenden:

| Feld                 | System                    |
|----------------------|---------------------------|
| <i>OAMF</i> . . . .  | Salz-Dampf                |
| <i>CBAMF</i> . . . . | Lösung-Dampf; Salz-Lösung |
| <i>EABD</i> . . . .  | Salz-Lösung; Eis-Lösung   |
| <i>EAO</i> . . . .   | Eis-Salz.                 |



**Zerfließlichkeit.** — Wie aus Fig. 32 zu ersehen ist, kann Salz in Berührung mit Wasserdampf bei Drucken unter denjenigen existieren, die durch  $OAMF$  repräsentiert werden. Wenn aber der Dampfdruck erhöht wird, bis er einen Wert erreicht, der auf dieser Kurve bei Temperaturen über dem kryohydratischen Punkt liegt, so wird Lösung entstehen, weil die Kurve  $AMF$  die Gleichgewichte zwischen Salz, Lösung und Dampf repräsentiert. Wenn daher der Druck des Wasserdampfes in der Atmosphäre größer ist als der Druck der gesättigten Lösung eines Salzes, so wird dieses Salz in Berührung mit der Luft eine Lösung bilden, es wird zerfließen.

**Ausscheidung von Salz beim Eindampfen.** — Mit Hilfe von Fig. 32 ist es möglich, allgemein zu entscheiden, ob beim Eindampfen einer Lösung bei constantem Druck Salz ausgeschieden wird oder nicht<sup>1)</sup>.

Die Kurve  $AMF$  (Fig. 32) ist die Dampfdruckkurve der gesättigten Salzlösungen, d. h. sie stellt, wie wir gesehen haben, das Maximum des Dampfdruckes dar, bei welchem Salz in Berührung mit Lösung und Dampf existieren kann. Die punktierte Linie  $aa$  repräsentiere den Atmosphärendruck. Wenn nun eine ungesättigte Lösung, deren Zusammensetzung durch den Punkt  $x$  repräsentiert wird, in einem offenen Gefäß erwärmt wird, so steigt die Temperatur und der Dampfdruck der Lösung wird größer. Das System bewegt sich daher eine Linie entlang, die schematisch durch  $xx'$  dargestellt wird. Beim Punkt  $x'$  wird der Dampfdruck des Systems gleich einer Atmosphäre, und da das Gefäß offen ist, kann der Druck nicht weiter steigen und die Flüssigkeit siedet. Wenn mit dem Erwärmen fortgefahren wird, so entweicht Wasser, die Konzentration nimmt zu und der Siedepunkt steigt. Das System schreitet also die Linie  $x'm$  entlang fort, bis sich beim Punkt  $m$  festes Salz ausscheidet (vorausgesetzt, daß Übersättigung ausgeschlossen ist). Das System ist jetzt univariant und weiteres Erwärmen bewirkt jetzt keine Änderung der Konzentration mehr. Es entweicht Wasser, festes Salz scheidet sich aus und die Lösung verdampft zur Trockne.

Wenn dagegen die Lage des Atmosphärendruckes zur Dampfdrucklinie  $AMF$  nicht durch  $aa$ , sondern durch  $bb$  dargestellt wird, so erreicht, wie Fig. 32 zeigt, der maximale Dampfdruck des Systems Salz-Lösung-Dampf niemals den Druck einer Atmosphäre. Da ferner die Linie  $bb$  in dem Felde des bivalenten Systems Lösung-Dampf liegt, so kann bei keinem Punkt eine Ausscheidung der festen Form stattfinden, da das System fest-Lösung-Dampf nur die Kurve  $AMF$  entlang existieren kann.

Beim Eindampfen einer Salzlösung in einem offenen Gefäß kann sich daher Salz nur dann ausscheiden, wenn bei irgend einer Temperatur der Druck der gesättigten Lösung gleich dem Atmosphärendruck ist. Dies ist bei den meisten Salzen der Fall. Bei den wässerigen Lösungen von Natriumhydroxyd und Kaliumhydroxyd dagegen erreicht der Dampfdruck der gesättigten Lösung niemals den Wert von einer Atmosphäre. Wenn daher die Lösungen in einem offenen Gefäß eingedampft werden, so findet keine Ausscheidung fester Substanz statt, sondern man erhält eine homogene geschmolzene Masse. Wenn aber die Eindampfung unter einem Druck ausgeführt wird, der niedriger ist als der maximale Druck der gesättigten Lösung, so ist die Ausscheidung der festen Substanz möglich.

**Zusammenfassung.** — In den Systemen, die wir in diesem Kapitel diskutiert haben, bildete Wasser die eine Komponente und wasserfreies Salz die andere. Die Beziehungen, welche in diesem Falle beobachtet wurden, finden sich aber, wie leicht einzusehen ist, auch in anderen Fällen, in denen es sich um Gleichgewichte zwischen zwei Komponenten handelt, die im reinen Zustand auskristallisieren und von denen nur eine einen meßbaren Dampfdruck besitzt.

<sup>1)</sup> OSTWALD, Grundlinien der anorganischen Chemie, S. 417; SKIRROW u. CALVERT, Zeitschr. phys. Chem. 1901, 37, 217.

Ein ähnliches Verhalten findet man z. B. bei zahlreichen Paaren organischer Substanzen, und in allen Fällen werden die Gleichgewichte durch ein Diagramm vom allgemeinen Ansehen der Figuren 29 oder 30 dargestellt, d. h. wenn man vom Schmelzpunkte der Komponente I ausgeht, so geht das System bei fortschreitender Hinzufügung der Komponente II in Gebiete von niedrigerer Temperatur über, bis zuletzt der kryohydratische oder eutektische Punkt erreicht wird. Bei weiterer Hinzufügung der Komponente II geht das System in Gebiete von höherer Temperatur über, indem jetzt die Komponente II die feste Phase bildet. Wenn die geschmolzenen Komponenten in allen Verhältnissen miteinander mischbar sind, so erhält man eine kontinuierliche Kurve, die zum Schmelzpunkt der Komponente II hinaufsteigt. Geringe Richtungsänderungen, die von Änderungen in der Kristallform herrühren, können allerdings in dieser Kurve vorkommen, aber in ihrem gesamten Verlauf wird nur eine flüssige Phase sein. Wenn anderseits die geschmolzenen Komponenten nicht in allen Verhältnissen mischbar sind, so zeigt die zweite Kurve eine deutliche Diskontinuität und es erscheinen zwei flüssige Phasen.

---

## Achtes Kapitel.

# Lösungen von festen Substanzen in Flüssigkeiten, mit nur einer flüchtigen Komponente.

### B) Wasserhaltige Salze und Wasser.

Im vorhergehenden Kapitel haben wir das Verhalten von Systemen aus zwei Komponenten diskutiert, von denen nur eine flüchtig war, und zwar für den Fall, daß sich die beiden Komponenten aus der Lösung im reinen Zustand ausscheiden. In diesem Kapitel wollen wir diejenigen Systeme betrachten, in denen sich die Komponenten zu bestimmten, festen, chemischen Verbindungen vereinigen können. Zu solchen Verbindungen gehören z. B. die kristallinen Salzhydrate. Da die für die Chemie sehr interessanten und wichtigen Systeme aus wasserhaltigem Salz und Wasser sehr gründlich studiert worden sind, so muß zunächst das Verhalten dieser Systeme etwas eingehender diskutiert werden, und es wird sich später zeigen, daß in einer großen Anzahl anderer Systeme aus zwei Komponenten dieselben Beziehungen existieren wie in diesen.

Die Systeme dieser Gruppe zerfallen in zwei Klassen, je nachdem die entstehenden Verbindungen einen echten Schmelzpunkt besitzen, d. h. eine flüssige Phase von derselben Zusammensetzung bilden oder nicht. Wir wollen zunächst die letzteren betrachten.

#### 1. Die entstehenden Verbindungen besitzen keinen echten Schmelzpunkt.

**Konzentration - Temperaturdiagramm.** — Bei Salzen, welche kristallinische Hydrate bilden können, muß das Konzentration-Temperaturdiagramm, welches die Gleichgewichte der verschiedenen möglichen Systeme angibt, notwendigerweise etwas komplizierter sein, als in dem Falle, daß derartige Verbindungen der Komponenten nicht existieren. Denn jede Substanz hat, wie gesagt, ihre eigene Löslichkeitskurve, und es gibt daher so viel Löslichkeitskurven als feste Phasen möglich sind, und die Kurve für jede besondere feste Phase ist kontinuierlich, solange diese in Berührung mit der Lösung unverändert bleibt. Als Beispiel der in solchen Fällen beobachteten Beziehungen wollen wir zunächst die Systeme betrachten, welche von Natriumsulfat und Wasser gebildet werden.

**Natriumsulfat und Wasser.** — Bei gewöhnlicher Temperatur kristallisiert Natriumsulfat aus Wasser mit zehn Molekülen Kristallwasser. Wenn man die Löslichkeit dieses Salzes, des sogenannten Glaubersalzes, in Wasser ermittelt, so findet man, daß die Löslichkeit mit steigender Temperatur zunimmt. Die Werte der Löslichkeit sind in der folgenden Tabelle<sup>1)</sup> gegeben und in Fig. 33 durch die Kurve AC graphisch dargestellt. Die Zahlen geben an, wieviel Gramm Natriumsulfat, als wasserfreies Salz berechnet, von 100 g Wasser gelöst werden.

<sup>1)</sup> Siehe LOEWEL, Ann. chim. phys. 1857, [3], 49, 32. Vgl. LÖWENHERZ, Zeitschr. phys. Chem. 1895, 18, 82.



Löslichkeit von  $\text{Na}_2\text{SO}_4 \cdot 10\text{H}_2\text{O}$ .

| Temperatur | Löslichkeit |
|------------|-------------|
| 0°         | 5,02        |
| 10°        | 9,00        |
| 15°        | 13,20       |
| 18°        | 16,80       |
| 20°        | 19,40       |
| 25°        | 28,00       |
| 30°        | 40,00       |
| 33°        | 50,76       |
| 34°        | 55,00       |

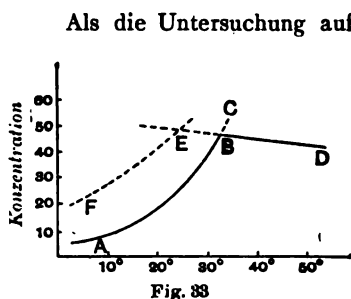


Fig. 33

Als die Untersuchung auf höhere Temperaturen ausgedehnt wurde, zeigte es sich, daß die Löslichkeit nicht weiter zunahm, sondern daß sie mit steigender Temperatur abnahm. Gleichzeitig wurde beobachtet, daß die feste Phase jetzt verschieden war von der, die bei Temperaturen unter 33° mit der Lösung in Berührung war. Im letzteren Falle war nämlich die feste Phase das Dekahydrat des Natriumsulfats, bei Temperaturen über 33° dagegen das wasserfreie Salz. Die Löslichkeitskurve für wasserfreies Natriumsulfat ist *BD*, und die Werte für die Löslichkeit sind in der folgenden Tabelle gegeben<sup>1)</sup>:

## Löslichkeit des wasserfreien Natriumsulfats.

| Temperatur | Löslichkeit |
|------------|-------------|
| 18°        | 53,25       |
| 20°        | 52,76       |
| 25°        | 51,53       |
| 30°        | 50,37       |
| 33°        | 49,71       |
| 34°        | 49,53       |
| 36°        | 49,27       |
| 40,15°     | 48,78       |
| 50,40°     | 46,82       |

Wie aus der Figur zu ersehen ist, schneidet die Löslichkeitskurve, welche man erhält, wenn wasserfreies Natriumsulfat als feste Phase anwesend ist, die Löslichkeitskurve des Dekahydrats bei einer Temperatur von ungefähr 33°.

Wenn man eine Lösung von Natriumsulfat, die bei einer Temperatur von ungefähr 34° gesättigt worden ist, auf eine Temperatur unter 17° abkühlt und dafür sorgt, daß keine festen Glaubersalzteilchen in die Lösung geraten, so scheiden sich Kristalle eines zweiten Hydrats aus, welche die Zusammensetzung  $\text{Na}_2\text{SO}_4 \cdot 7\text{H}_2\text{O}$  haben. Für die Zusammensetzung der Lösungen, die bei verschiedenen Temperaturen mit diesem Hydrat im Gleichgewicht sind, hat man die in der folgenden Tabelle gegebenen und in Fig. 33 durch die Kurve *EF* dargestellten Werte gefunden:

<sup>1)</sup> LOEWEL, a. a. O. GAY-LUSSAC, Ann. chim. phys. 1819, 11, 296; wegen der Löslichkeit bei höheren Temperaturen s. TILDEN u. SHENSTONE, Phil. Trans. 1884, 175, 23. ÉTARD, Ann. chim. phys. 1894, [7], 2, 548.

Löslichkeit von  $\text{Na}_2\text{SO}_4 \cdot 7\text{H}_2\text{O}$ .

| Temperatur | Löslichkeit |
|------------|-------------|
| 0°         | 19,62       |
| 10°        | 30,49       |
| 15°        | 37,43       |
| 18°        | 41,63       |
| 20°        | 44,73       |
| 25°        | 52,94       |
| 26°        | 54,97       |

wie gesagt, jede feste Substanz ihre eigene Löslichkeitskurve hat, so bei Natriumsulfat und Wasser drei verschiedene Kurven in Betracht. Zwei Kurven schneiden, muß die Lösung in bezug auf zwei feste Phasen sein. Beim Punkt *B*, dem Durchschnittspunkt der Löslichkeitskurven wasserfreien Natriumsulfats und des Dekahydrats muß daher die Lösung in bezug auf diese beiden Substanzen gesättigt sein. Ein System aus zwei Komponenten, das aus vier Phasen — wasserfreiem Salz, Salzhydrat, Lösung, Dampf — besteht, ist aber invariant, und diese Invariabilität bleibt auch erhalten, wenn nur zwei Komponenten anwesend sind, vorausgesetzt, daß dann einer der Faktoren Druck, Temperatur und Konzentration der Komponenten konstant gehalten wird. Dies ist der Fall, wenn Löslichkeiten in offenen Gefäßen bestimmt werden. In diesem System ist der Druck gleich dem Atmosphärendruck. Unter diesen Umständen besteht das System wasserfreies Natriumsulfat-Dekahydrat-Lösung keinen Freiheitsgrad, kann daher nur bei einer bestimmten Temperatur existieren und wenn es eine bestimmte Zusammensetzung hat. Die Temperatur dieses Punktes ist 32,379°, oder 26° oder 32,379°, je nachdem sie mit einem Quecksilberthermometer oder einem Wasserstoffthermometer gemessen wird<sup>1)</sup>.

**Überschreitungen.** — Es ist zwar möglich, aber nicht notwendig, daß das Salz bei der Temperatur des vierfachen Punktes erscheint. Es ist möglich, die Löslichkeitskurve des Natriumsulfatdekahydrats auf eine höhere Temperatur zu verfolgen. Da aber die Löslichkeit des Dekahydrats bei Temperaturen über dem vierfachen Punkt größer ist als die Löslichkeit des wasserfreien Salzes, so ist dort die Lösung, die in bezug auf das erstere gesättigt ist, in bezug auf das letztere übersättigt. Wenn man daher eine geringe Menge des wasserfreien Salzes mit der Lösung in Berührung bringt, so scheidet sich wasserfreies Salz aus, und alles wasserhaltige Salz, welches anwesend ist, wird nach und nach durch Vermittlung der Lösung in das wasserfreie Salz verwandelt. Wie bei anderen Salzen, hat auch hier diejenige feste Phase, welche bei der Versuchstemperatur die beständigste ist, bei dieser Temperatur die geringste Löslichkeit. Ähnlicher Weise ist die Löslichkeitskurve des wasserfreien Natriumsulfats bei Temperaturen unter 32,5° verfolgt worden. Unter dieser Temperatur ist die Löslichkeit dieses Salzes größer als die Löslichkeit des Dekahydrats. Wenn man daher die gesättigte Lösung des wasserfreien Salzes für das Dekahydrat übersättigt, scheidet sich dieses Salz aus, wenn ein „Kern“ zu der Lösung hinzugefügt wird.

<sup>1)</sup> RICHARDS, Zeitschr. phys. Chem. 1908, 26, 690; RICHARDS u. WELLS, daselbst, 1908, 26, 690. Diese Temperatur ist nicht genau dieselbe wie die des vierfachen Punktes wasserfreies Salzhydrat-Lösung-Dampf, weil die letztere die Temperatur ist, bei welcher sich das Salz bei seinem eignen Druck befindet. Da aber der Einfluß des Druckes auf die Löslichkeit gering ist (S. 67), so ist die Lage der beiden Punkte nur wenig verschieden. Für den vierfachen Punkt fand COHEN (Zeitschr. phys. Chem. 1894, 14, 90) 32,6° und 30,8 mm Queck-

zugefügt oder wie man sagt die Lösung mit einem solchen „Dekahydratkeim“ impft“ wird. Hieraus ersehen wir, daß bei Temperaturen über  $32,5^{\circ}$  das wasserfreie Salz die stabile Form, das Dekahydrat dagegen die instabile (metastabile) Form ist. Diese Temperatur ist also die Umwandlungstemperatur für das Dekahydrat und das wasserfreie Salz.

Aus Fig. 33 ersehen wir ferner, daß die Löslichkeitskurve des wasserfreien Salzes (welches bei allen Temperaturen unter  $32,5^{\circ}$  metastabil ist) auch von der Löslichkeitskurve des Heptahydrats geschnitten wird, und dieser Durchschnittspunkt (bei  $24,2^{\circ}$ ) muß der Umwandlungspunkt für Heptahydrat und wasserfreies Salz sein. Da bei allen Temperaturen die Löslichkeit des Heptahydrats größer ist als die Löslichkeit des Dekahydrats, so muß das erstere Hydrat in bezug auf das letztere metastabil sein. Die Löslichkeitskurve des Heptahydrats repräsentiert daher in ihrem ganzen Verlaufe nur metastabile Gleichgewichte. Natriumsulfat bildet demnach nur ein stabiles Hydrat, nämlich das Dekahydrat.

Die Löslichkeitsverhältnisse des Natriumsulfats zeigen deutlich, wie wichtig die feste Phase für die Bestimmung der Sättigung oder Übersättigung ist. Da die Löslichkeitskurve des wasserfreien Salzes rückwärts bis zu einer Temperatur von ungefähr  $18^{\circ}$  verfolgt worden ist, so ist aus Fig. 33 leicht zu ersehen, daß bei einer Temperatur von etwa  $20^{\circ}$  drei verschiedene gesättigte Lösungen von Natriumsulfat möglich sind, je nachdem das wasserfreie Salz, das Heptahydrat oder das Dekahydrat als feste Phase anwesend ist. Zwei von diesen Lösungen würden jedoch in bezug auf das Dekahydrat metastabil und übersättigt sein.

Das Verhalten von Natriumsulfat und Wasser bildet ferner ein gutes Beispiel dafür, daß in der Löslichkeitskurve nur dann ein „Knick“ vorkommt, wenn die feste Phase eine Änderung erleidet. Solange z. B. das Dekahydrat in Berührung mit der Lösung unverändert blieb, war die Löslichkeitskurve kontinuierlich, sobald aber das wasserfreie Salz in der festen Phase erschien, wurde eine plötzliche Änderung in der Richtung der Löslichkeitskurve beobachtet.

**Entwässerung durch wasserfreies Natriumsulfat.** — Der Wechsel der relativen Stabilität von Natriumsulfatdekahydrat und wasserfreiem Salz in Gegenwart von Wasser bei einer Temperatur von  $32,5^{\circ}$  erklärt, weshalb das letztere Salz bei Temperaturen oberhalb des Übergangspunktes nicht für Entwässerungszwecke benutzt werden kann. Die entwässernde Wirkung des wasserfreien Salzes beruht auf der Bildung des Dekahydrats. Da dieses aber bei Temperaturen über  $33^{\circ}$  metastabil ist und in Gegenwart von wasserfreiem Salz nicht entstehen kann, so kann dieses Salz oberhalb dieser Temperatur natürlich keine entwässernde Wirkung ausüben.

**Druck-Temperaturdiagramm.** — Bei der Betrachtung der Druck-Temperaturbeziehungen der beiden Komponenten, Natriumsulfat und Wasser, muß nicht nur auf den Dampfdruck der gesättigten Lösungen, sondern auch auf den der kristallinen Hydrate Rücksicht genommen werden. Die Dampfdrucke von Salzhydraten sind bereits früher (5. Kap.) allgemein behandelt worden, so daß hier nur auf den Zusammenhang zwischen den beiden Klassen von Systemen hingewiesen zu werden braucht.

In den meisten Fällen ist der Dampfdruck eines Salzhydrates, d. h. der Dampfdruck des Systems Hydrat-wasserfreies Salz (oder niederes Hydrat)-Dampf bei allen Temperaturen niedriger als der des Systems wasserfreies Salz (oder niederes Hydrat)-Lösung-Dampf. Dies ist jedoch keine Notwendigkeit, und es sind Fälle bekannt, in denen der Dampfdruck des ersteren Systems unter gewissen Umständen gleich dem letzteren oder höher als dieser ist. Ein Beispiel hiervon bildet das Natriumsulfatdekahydrat.

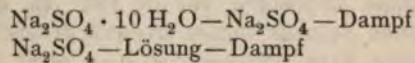
Wenn man  $\text{Na}_2\text{SO}_4 \cdot 10\text{H}_2\text{O}$  erhitzt, so wird ein Punkt erreicht, bei welchem der Desormationsdruck zu demjenigen in wasserfreies Salz und Wasserdampf gleich dem Dampfdruck der gesättigten Lösung des wasserfreien Salzes wird. W



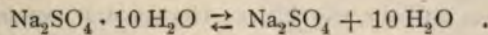
aus den folgenden Messungen hervorgeht<sup>1)</sup>; die Druckunterschiede sind in Millimetern des benutzten Öls ausgedrückt.

|                 |        |        |        |
|-----------------|--------|--------|--------|
| Temperatur:     | 29,0°  | 30,83° | 31,79° |
| Druckdifferenz: | 23,8   | 10,8   | 5,6    |
|                 | 32,09° | 32,35° | 32,6°  |
|                 | 3,6    | 1,6    | 0      |

Bei 32,6° sind also die Dampfdrucke der beiden Systeme



gleich. Bei dieser Temperatur können die vier Phasen  $\text{Na}_2\text{SO}_4 \cdot 10 \text{H}_2\text{O}$ ;  $\text{Na}_2\text{SO}_4$ ; Lösung; Dampf koexistieren. Infolgedessen entstehen beim Erwärmen von Natriumsulfatdekahydrat auf 32,6° die beiden neuen Phasen wasserfreies Salz und Lösung (da eine Überschreitung als ausgeschlossen angenommen wird), das Hydrat erleidet also anscheinend eine partielle Schmelzung; und während des „Schmelzens“ bleiben der Dampfdruck und die Temperatur konstant<sup>2)</sup>. Dies ist aber kein echter Schmelzpunkt, da die Zusammensetzung der flüssigen Phase nicht dieselbe ist wie die der festen. Wir haben es hier, wie bereits gesagt (S. 86) mit dem Umwandlungspunkt für das Dekahydrat und das wasserfreie Salz zu tun, d. h. mit der Reaktion



Da beim Punkt des partiellen Schmelzens des Dekahydrats vier Phasen koexistieren können, so ist der Punkt ein vierfacher Punkt in einem System aus zwei Komponenten, und das System ist daher bei diesem Punkt invariant. Die Temperatur dieses Punktes ist daher vollkommen bestimmt, und es ist vorgeschlagen worden, diesen Punkt als Fixpunkt in der Thermometrie zu benutzen<sup>3)</sup>. Die Temperatur ist natürlich praktisch dieselbe wie diejenige, bei welcher sich die beiden Löslichkeitskurven schneiden (S. 69).

Wenn dagegen die Dampfphase verschwindet, so wird das System univariant, und die Gleichgewichtstemperatur wird durch Änderung des Druckes verändert. Die Umwandlungskurve ist von TAMMANN<sup>4)</sup> bestimmt worden und es hat sich gezeigt, daß sie ein Temperaturmaximum besitzt.

Der Dampfdruck der verschiedenen Systeme von Natriumsulfat und Wasser kann am besten mit Hilfe des Diagramms in Fig. 34<sup>5)</sup> studiert werden.  $ABCD$  ist die Dampfdruckkurve der gesättigten Lösung des wasserfreien Natriumsulfats.  $GC$  ist die Dampfdruckkurve von Dekahydrat + wasserfreies Salz, die, wie wir gesehen haben, die Kurve  $ABCD$  bei der Umwandlungstemperatur 32,6°, schneidet. Da bei diesem Punkt die Lösung sowohl in bezug auf das wasserfreie Salz als auch in bezug auf das Dekahydrat gesättigt ist, so muß die Dampfdruckkurve der gesättigten Lösung des letzteren ebenfalls durch den Punkt  $C$

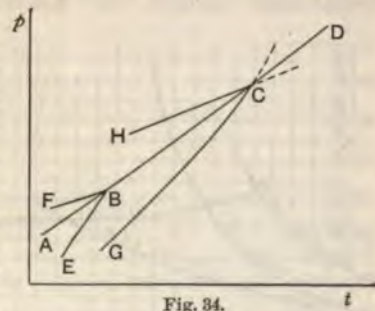


Fig. 34.

<sup>1)</sup> VAN'T HOFF u. VAN DEVENTER, Zeitschr. phys. Chem. 1887, 1, 185. Vgl. COHEN, daselbst, 1894, 14, 88.

<sup>2)</sup> DEBRAY, Compt. rend. 1868, 66, 194.

<sup>3)</sup> RICHARDS, Zeitschr. phys. Chem. 1898, 26, 690. RICHARDS u. CHURCHILL geben daselbst 1899, 28, 313; 1903, 43, 465 eine Zusammenstellung anderer Salzhydrate mit Umwandlungspunkten von 20° bis 78°, die zu demselben Zwecke verwendet werden können.

<sup>4)</sup> Zeitschr. phys. Chem. 1903, 46, 818.

<sup>5)</sup> VAN'T HOFF, Vorlesungen über theoret. u. phys. Chem. I, 61.



gehen<sup>1)</sup>. Da bei Temperaturen unter diesem Punkt die Löslichkeit des Dekahydrats geringer ist als die des wasserfreien Salzes, so muß der Dampfdruck der Lösung nach dem BABO-WÜLLNERSchen Gesetz (S. 78) höher sein als derjenige der Lösung des wasserfreien Salzes. Daß dies der Fall ist, ist auch experimentell nachgewiesen worden (Kurve *HC*).

Im Zusammenhang mit dem Dampfdruck der gesättigten Lösungen des wasserfreien Salzes und des Dekahydrats muß auf eine auffallende Abweichung von dem Verhalten eines Systems aus einer Komponente hingewiesen werden, in welchem eine Dampfphase vorhanden war (S. 19). In diesem Falle war der Dampfdruck des stabileren Systems immer niedriger als derjenige des weniger stabilen. Im vorliegenden Falle dagegen ist dies nicht der Fall. Wir wissen bereits, daß bei Temperaturen unter 32,5° das System Dekahydrat-Lösung-Dampf stabiler ist als das System wasserfreies Salz-Lösung-Dampf, aber der Dampfdruck des letzteren Systems ist, wie gesagt, niedriger als der des ersteren. Bei Temperaturen oberhalb des Umwandlungspunktes ist der Dampfdruck der gesättigten Lösung des Dekahydrats niedriger als derjenige der gesättigten Lösung des wasserfreien Salzes.

Dieses Verhalten beruht auf dem Umstand, daß die weniger stabile Form die löslichere ist, und daß die Verminderung des Dampfdruckes mit der Menge des gelösten Salzes zunimmt.

Für das Heptahydrat des Natriumsulfats gilt dieselbe Betrachtung wie für das Dekahydrat. Da bei 24° die vier Phasen Heptahydrat, wasserfreies Salz, Lösung, Dampf koexistieren können, so müssen die Dampfdruckkurven der Systeme Hydrat-wasserfreies Salz-Dampf (Kurve *EB*) und Hydrat-Lösung-Dampf (Kurve *FB*) die Dampfdruckkurve der gesättigten Lösung des wasserfreien Salzes bei der obigen Temperatur (in der Figur beim Punkt *B*) schneiden. Dieser Punkt bildet daher einen zweiten vierfachen Punkt, der aber metastabil ist.

Aus dem Diagramm ist auch zu ersehen, daß der Dissoziationsdruck des Heptahydrats höher ist als derjenige des Dekahydrats, obwohl das erstere Hydrat weniger Kristallwasser enthält als das letztere. Das System Heptahydrat-wasserfreies Salz-Dampf muß also in bezug auf das System Dekahydrat-wasserfreies Salz-Dampf metastabil sein und muß in das letztere System übergehen<sup>2)</sup>. Ob eine Temperatur existiert, bei welcher sich die Dampfdruckkurven dieser beiden

Systeme schneiden und unterhalb deren das Heptahydrat die stabilere Form wird, ist nicht bekannt.

Das Natriumsulfat bildet nur ein stabiles Hydrat. Man kennt andere Salze, welche ein ähnliches Verhalten zeigen, und es ist daher zu erwarten, daß die Löslichkeitsbeziehungen durch ein ähnliches Diagramm dargestellt werden wie beim Natriumsulfat. Man hat in der Tat eine beträchtliche Anzahl solcher Fälle beobachtet<sup>3)</sup>, und in einigen Fällen existiert mehr als ein metastabiles Hydrat.

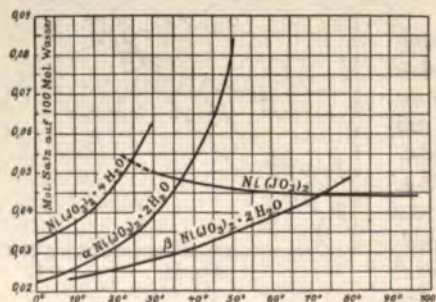


Fig. 35.

Dies ist z. B. beim Nickeljodat<sup>4)</sup> der Fall, dessen Löslichkeitskurven in Fig. 35 gegeben sind. Wie aus der Figur zu ersehen ist, findet Überschreitung statt,

<sup>1)</sup> COHEN, Zeitschr. phys. Chem. 1894, 14, 90.

<sup>2)</sup> ZIZ, Schweiggers Journal, 1815, 15, 166. Siehe OSTWALD, Lehrbuch, II, 2, 717.

<sup>3)</sup> Siehe z. B. die Löslichkeitsbestimmungen, welche in den Wissenschaftl. Abhandl. d. phys.-techn. Reichsanstalt, Bd. III oder in den Berichten für die Jahre 1897—1901 veröffentlicht worden sind, sowie die bereits erwähnten „Physikal.-chem. Tabellen“ von LANDOLT-BÖRNSTEIN-MEYERHOFFER, 3. Aufl., S. 176 u. f.

<sup>4)</sup> MEUSSER, Ber. 1901, 34, 2440.



nigen Fällen sind die Löslichkeitskurven weit über den Umwandlungspunkt hinaus verfolgt worden. Eins der schönsten Beispiele von Überschneidung von Hydraten und von langsamer Umwandlung der weniger stabilen Form in die stabilere bilden die Hydrate von Calciumchromat<sup>1)</sup>.

In den vorhergehenden Fällen schneidet die Dissoziationsdruckkurve des Salzes die Dampfdruckkurve der gesättigten Lösung des wasserfreien Salzes. Es kann jedoch auch der Fall eintreten, daß die Dissoziationsdruckkurve eines Hydrats nicht die Löslichkeitskurve des wasserfreien Salzes, sondern diejenige eines niederen Hydrats schneidet. In diesem Falle gibt es kein stabiles Hydrat, von denen jedes seine Löslichkeitskurve hat, und alle schneiden sich bei der Temperatur des Umwandlungspunktes. Man findet verschiedene Beispiele dieses Verhaltens, von denen wir die neuerdings bestimmten Löslichkeitsverhältnisse des Bariumacetats (Fig. 36) zur Erläuterung anführen wollen<sup>2)</sup>.

Temperaturen über  $0^{\circ}$  kann das Bariumacetat zwei stabile Hydrate bilden, ein Trihydrat und ein Monohydrat. Die Löslichkeit des Trihydrats nimmt mit der Temperatur sehr schnell zu und ist bis zu  $26,1^{\circ}$  bestimmt worden. Temperaturen über  $24,7^{\circ}$  ist das Monohydrat in bezug auf das Trihydrat metastabil.

Bei dieser Temperatur schneidet die Löslichkeitskurve des Monohydrats diejenige des Trihydrats. Dies ist die Umwandlungstemperatur für das Trihydrat in das Monohydrat. Auf der Löslichkeitskurve des Monohydrats folgt nun also ein deutliches Minimum der Löslichkeit bei

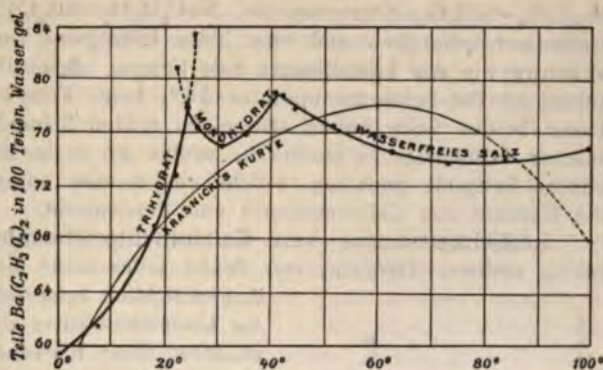


Fig. 36.

$30^{\circ}$ . Unter  $24,7^{\circ}$  ist das Monohydrat das weniger stabile Hydrat, aber die Löslichkeit ist bis zu einer Temperatur von  $22^{\circ}$  bestimmt worden. Bei  $22^{\circ}$  schneidet die Löslichkeitskurve des Monohydrats diejenige des wasserfreien Salzes, und dies ist daher die Umwandlungstemperatur für das Monohydrat in das wasserfreie Salz. Oberhalb dieser Temperatur ist das wasserfreie Salz die stabile Phase. Die Löslichkeitskurve desselben geht ebenfalls durch ein

Diagramm der Löslichkeiten des Bariumacetats veranschaulicht nicht nur die Art und Weise, wie die Löslichkeitskurven der verschiedenen stabilen Hydrate aufeinander folgen, sondern es bietet auch noch von einem anderen Standpunkt aus betrachtet großes Interesse. In Fig. 36 ist auch eine schwache Kurve zu sehen, die in ihrem ganzen Verlauf kontinuierlich ist. Diese Kurve gibt die Löslichkeit des Bariumacetats an, wie sie von KRASNICKI<sup>3)</sup> bestimmt worden war. Da jedoch unter den Versuchsbedingungen drei verschiedene Phasen existieren können, so ist es nach dem früher Gesagten (S. 69) einzuordnen, daß die verschiedenen Gleichgewichte zwischen Bariumacetat und Wasser durch eine solche kontinuierliche Kurve angegeben werden können. Ein anderer sehr wichtiger Punkt, auf den bei diesen Versuchen Rücksicht genommen werden muß, ist der, daß bei den Löslichkeitsbestimmungen von

1) L. U. VON WROCHEM, Ber. 1900, 33, 3693.

2) L. U. VON WROCHEM, Ber. 1900, 33, 3693.

3) L. U. VON WROCHEM, Ber. 1900, 33, 3693.

Monatshefte, 1887, 8, 601.



Salzen, die Hydrate bilden können, nicht nur die Zusammensetzung der Lösung bestimmt werden muß, sondern daß es ebenso wichtig ist, die Zusammensetzung der festen Phase zu bestimmen, mit der sie in Berührung ist. Auch ist es angesichts des Umstandes, daß das Lösungsgleichgewicht in vielen Fällen verhältnismäßig langsam erreicht wird, notwendig, den Gleichgewichtspunkt dadurch festzustellen, daß man sich ihm nicht nur von höheren, sondern auch von niedrigeren Temperaturen her nähert, oder dadurch, daß man die Geschwindigkeit bestimmt, mit welcher der Gleichgewichtszustand erreicht wird. Dies läßt sich durch Wägen des gelösten Salzes oder durch Ermittlung der Dichte der Lösung von Zeit zu Zeit oder auch in anderer Weise ausführen.

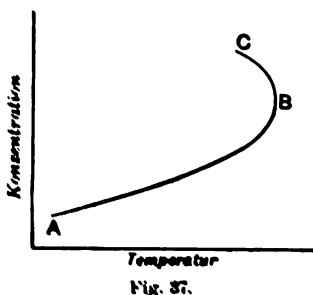
## 2. Die entstehenden Verbindungen haben einen echten Schmelzpunkt.

In den Fällen, welche wir soeben betrachtet haben, sahen wir, daß viele Salzhydrate beim Erwärmen keine vollständige Schmelzung erlitten, sondern daß unter nur teilweiser Schmelzung ein fester Körper abgeschieden wurde, der aus einem niederen Hydrat oder aus dem wasserfreien Salz bestand. Es ist aber seit langer Zeit bekannt, daß gewisse kristallisierte Salzhydrate (z. B. Natriumthiosulfat,  $\text{Na}_2\text{S}_2\text{O}_3 \cdot 5\text{H}_2\text{O}$ , Natriumacetat,  $\text{NaC}_2\text{H}_3\text{O}_2 \cdot 3\text{H}_2\text{O}$ ) vollständig in ihrem Kristallwasser schmelzen und eine klare Flüssigkeit von derselben Zusammensetzung wie das kristallisierte Salz liefern. Beim Pentahydrat des Natriumthiosulfats ist die Schmelztemperatur  $56^\circ$ , beim Trihydrat des Natriumacetats  $58^\circ$ . Diese beiden Salze haben also einen echten Schmelzpunkt. Um das Verhalten solcher Salzhydrate zu studieren, wollen wir nicht die genannten, sondern zwei andere Beispiele benutzen, welche eingehender untersucht worden sind, nämlich die Hydrate von Calciumchlorid und Ferrichlorid.

**Löslichkeitskurve von Calciumchloridhexahydrat<sup>1)</sup>.** — Calciumchlorid bildet mehrere Hydrate, von denen jedes seine besondere Löslichkeit besitzt.

Augenblicklich interessiert uns jedoch vorzugsweise die Löslichkeitskurve des Hexahydrats, weshalb wir zunächst diese Kurve diskutieren wollen.

Die Löslichkeit dieses Salzes ist vom kryo-hydratischen Punkt, welcher bei  $-55^\circ$  liegt, bis zum Schmelzpunkt des Salzes bestimmt worden<sup>2)</sup>. Die Löslichkeit nimmt mit steigender Temperatur zu, wie es aus den Ziffern der folgenden Tabelle, sowie aus der (schematischen) Kurve in Fig. 37 zu ersehen ist. In der Tabelle bezeichnen die Ziffern unter der Überschrift „Löslichkeit“ die Anzahl der Gramme  $\text{CaCl}_2$ , die in 100 g Wasser



gelöst sind, die unter der Überschrift „Zusammensetzung“ die Anzahl der Gramm-Moleküle Wasser in der Lösung, welche auf ein Gramm-Molekül  $\text{CaCl}_2$  kommen.

Was den ersten Teil der Kurve betrifft, so zeigt er den allgemeinen Typus der Löslichkeitskurve. In dem vorliegenden Falle ist die Löslichkeit so groß und nimmt mit steigender Temperatur so schnell zu, daß ein Punkt erreicht wird, bei welchem das Kristallwasser des Salzes allein schon zur vollständigen Lösung hinreicht. Diese Temperatur ist  $30,2^\circ$ , und da hier also die Zusammensetzung der Lösung dieselbe ist wie die des festen Salzes, nämlich ein Molekül  $\text{CaCl}_2$  auf 6 Moleküle Wasser, so muß dieser Punkt der Schmelzpunkt des Hexahydrats sein. Bei diesem Punkt schmilzt das Hydrat oder erstarrt die Lösung ohne Temperaturänderung und ohne Änderung der Zusammensetzung.

<sup>1)</sup> Die Gleichgewichte zwischen Calciumchlorid und Wasser sind sehr eingehend von KNOX untersucht worden. Zeitschr. phys. Chem. 1889, 4, 31.

<sup>2)</sup> HALLWACH, Sitzungsber. Wien Akad. 2. Abt. 1878, 78, 59; ROOZEBOOM, Zeitschr. phys. Chem. 1889, 4, 31.

## Löslichkeit von Calciumchloridhexahydrat.

| Temperatur | Löslichkeit | Zusammensetzung |
|------------|-------------|-----------------|
| -55°       | 42,5        | 14,5            |
| -25°       | 50,0        | 12,3            |
| -10°       | 55,0        | 11,2            |
| 0°         | 59,5        | 10,37           |
| 10°        | 65,0        | 9,49            |
| 20°        | 74,5        | 8,28            |
| 25°        | 82,0        | 7,52            |
| 28,5°      | 90,5        | 6,81            |
| 29,5°      | 95,5        | 6,46            |
| 30,2°      | 102,7       | 6,00            |
| 29,6°      | 109,0       | 5,70            |
| 29,2°      | 112,8       | 5,41            |

Die Löslichkeitskurve des Calciumchloridhexahydrats unterscheidet sich aber von den bisher betrachteten Löslichkeitskurven wesentlich dadurch, daß sie einen rückläufigen Teil (in der Figur *BC*) besitzt. Das Calciumchloridhexahydrat zeigt also, wie aus der Figur zu ersehen ist, das eigentümliche und anfangs für unmöglich gehaltene Verhalten, daß es bei ein und derselben Temperatur mit zwei verschiedenen Lösungen im Gleichgewicht sein kann, von denen die eine mehr und die andere weniger Wasser enthält als das feste Hydrat. Für den ganzen Verlauf der Kurve *ABC* ist nämlich die feste Phase, die sich im Gleichgewicht mit der Lösung befindet, das Hexahydrat.

Dies Verhalten des Calciumchloridhexahydrats erscheint aber weniger auffallend, wenn man bedenkt, daß der Schmelzpunkt des Hydrats ebenso wie der Schmelzpunkt anderer Substanzen durch Hinzufügen einer zweiten Substanz erniedrigt wird. Wenn daher zu dem Hydrat bei seinem Schmelzpunkt Wasser hinzugefügt wird, so wird die Temperatur, bei welcher das feste Hydrat mit der flüssigen Phase (der Lösung) im Gleichgewicht ist, erniedrigt, oder wenn anderseits zu dem Hydrat bei seinem Schmelzpunkt wasserfreies Calciumchlorid hinzugefügt wird (oder, was dasselbe ist, wenn der Lösung Wasser entzogen wird), so wird die Temperatur, bei welcher das Hydrat mit der Flüssigkeit im Gleichgewicht ist, ebenfalls erniedrigt, d. h. das Hydrat erstarrt oder schmilzt dann bei niedrigerer Temperatur. Im ersteren Falle ist das Hydrat im Gleichgewicht mit einer Lösung, die mehr Wasser enthält, im letzteren Falle mit einer Lösung, die weniger Wasser enthält als das Hydrat selbst.

Es wurde bereits früher darauf hingewiesen (S. 69), daß die Löslichkeitskurve (im allgemeinen die Gleichgewichtskurve) kontinuierlich ist, solange die feste Phase unverändert bleibt. Es ist daher zu erwarten, daß die Kurve *ABC* kontinuierlich ist. Früher wurde jedoch von einigen Forschern angenommen, daß die Kurve nicht kontinuierlich sei, sondern daß der Schmelzpunkt der Durchschnittspunkt zweier Kurven, einer Löslichkeitskurve und einer Schmelzkurve sei. Die älteren Löslichkeitsbestimmungen genügten allerdings nicht, dies endgültig zu entscheiden, allein durch neuere Untersuchungen ist es außer Zweifel gestellt, daß die Kurve kontinuierlich ist und keinen Knick aufweist<sup>1)</sup>.

<sup>1)</sup> LIDBURY, Zeitschr. phys. Chem. 1902, **39**, 453. Die Krümmung beim Schmelzpunkt ist um so größer, je mehr die Verbindung im flüssigen Zustand in ihre Bestandteile dissoziiert ist. Wenn die Verbindung sogar schon in der Dampfphase vollständig undissoziiert ist, so schneiden sich die beiden Zweige der Kurve. Je geringer daher der Grad der Dissoziation ist, desto schärfer ist die Biegung. (Siehe STORTENBEKER, Zeitschr. phys. Chem. 1892, **10**, 194.) Es liegen auch bereits Versuche vor, aus dem Grade der Abplattung der Kurve bei *B* den Grad der Dissoziation der Substanz im geschmolzenen Zustand zu berechnen (KREMANN, Akad. Wiss. Wien. Sitz.-Ber. 1904, **113**, 26, 809. Zeitschr. f. Elektrochem. 1906, **12**, 259. Siehe aber ROOZEBOOM und ATEN, Zeitschr. phys. Chem. 1905, **53**, 449. VAN LAAR, Sechs Vorträge über das Thermodynamische Potential. 1906, S. 7—11.

Die Gleichgewichte zwischen Calciumchlorid und Wasser sind hauptsächlich deshalb diskutiert worden, um die Aufmerksamkeit auf die Form der Löslichkeitskurve von Salzhydraten zu lenken, welche einen echten Schmelzpunkt besitzen. Der Vollständigkeit halber sollen aber auch die anderen Systeme erwähnt werden, welche diese beiden Komponenten bilden können.

Außer dem Hexahydrat, dessen Löslichkeitskurve bereits beschrieben worden ist, kann das Calciumchlorid noch in zwei anderen Formen kristallisieren, von

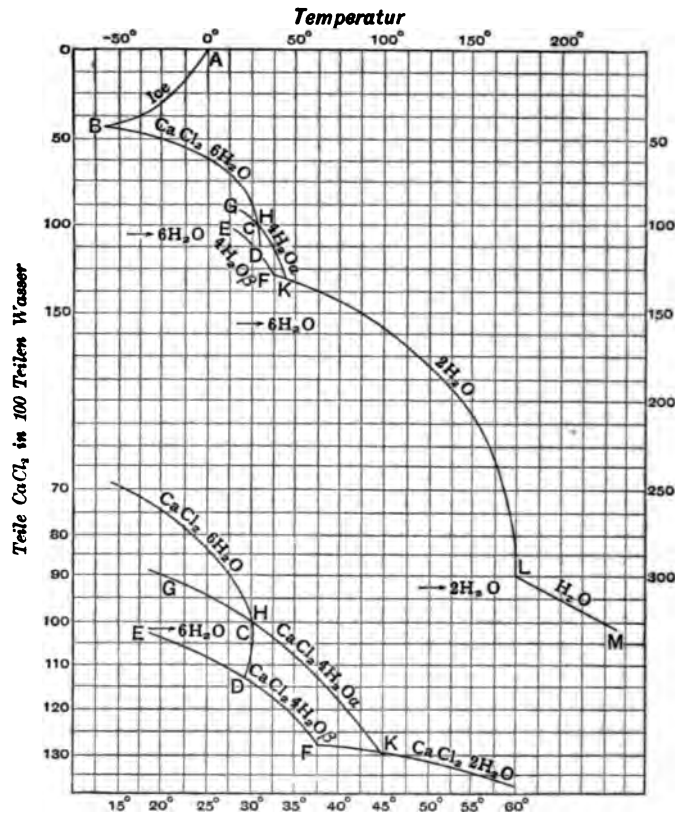


Fig. 88.

denen jede vier Moleküle Kristallwasser enthält. Sie werden als  $\alpha$ -Tetrahydrat und  $\beta$ -Tetrahydrat unterschieden. Außerdem sind noch zwei andere Hydrate, ein Dihydrat und ein Monohydrat, bekannt. Die Löslichkeitskurven dieser verschiedenen Hydrate sind in Fig. 38 gegeben.

Wenn man die Löslichkeitskurve des Hexahydrats von der gewöhnlichen Temperatur aufwärts verfolgt, so findet man, daß sie bei der Temperatur von  $29,8^\circ$ , die mit  $H$  bezeichnet ist, die Löslichkeitskurve des  $\alpha$ -Tetrahydrats schneidet. Dieser Punkt ist daher ein vierfacher Punkt, bei welchem vier Phasen, Hexahydrat,  $\alpha$ -Tetrahydrat, Lösung und Dampf, koexistieren können. Er ist auch der Umwandlungspunkt für diese beiden Hydrate. Da bei Temperaturen über  $29,8^\circ$  das  $\alpha$ -Tetrahydrat die stabile Form ist, so ergibt sich aus den oben (S. 91) gegebenen Zahlen, sowie aus Fig. 38, daß der Teil der Löslichkeitskurve des Hexahydrats, welcher über dieser Temperatur liegt, metastabile Gleichgewichte repräsentiert. Die Erreichung des metastabilen Schmelzpunktes des Hexahydrats wird also durch Überschreitung ermöglicht. Beim Übergangspunkt,



<sup>0</sup>, ist die Löslichkeit des Hexahydrats und des  $\alpha$ -Tetrahydrats 100,6 Teile  $l_2$  in 100 Teilen Wasser.

Der rückläufige Teil der Löslichkeitskurve des Hexahydrats erstreckt sich nur unter den Schmelzpunkt des Hydrats. Bei  $29,2^0$  scheiden sich Kristalle eines Hydrats, des  $\beta$ -Hydrats, aus, und die Lösung, welche jetzt 112,8 Teile  $l_2$  auf 100 Teile Wasser enthält, ist in bezug auf die beiden Hydrate gesättigt. Die Löslichkeitskurve *EDF* des  $\beta$ -Hydrats repräsentiert in ihrer ganzen Ausdehnung metastabile Gleichgewichte. Die obere Grenze der Löslichkeitskurve des  $\beta$ -Tetrahydrats wird bei  $38,4^0$  (*F*), dem Durchschnittspunkt mit der Kurve für das Dihydrat erreicht.

Über  $29,8^0$  ist das stabile Hydrat das  $\alpha$ -Tetrahydrat, und seine Löslichkeitskurve erstreckt sich bis  $45,3^0$  (*K*), bei welcher Temperatur sie die Löslichkeitskurve des Dihydrats schneidet. Die Kurve des letzteren Hydrats erstreckt sich bis  $55^0$  (*L*), und auf sie folgt die Kurve für das Monohydrat. Die Löslichkeitskurve des wasserfreien Salzes beginnt erst bei einer Temperatur von ungefähr  $260^0$ . Das Diagramm bildet also eine Aufeinanderfolge von stabilen Hydraten, einem metastabilen Schmelzpunkt und einer rückläufigen Löslichkeitskurve. (In der unteren Ecke der Fig. 38 findet sich der Verlauf der Kurven in der Umgebung der letzteren etwas vergrößert nochmals abgebildet.)

**Druck-Temperaturdiagramm.** — Das vollständige Studium der Gleichgewichte zwischen den beiden Komponenten Calciumchlorid und Wasser würde eine Diskussion des Dampfdruckes der verschiedenen Systeme und seiner Änderung mit der Temperatur erfordern. Für unseren gegenwärtigen Zweck würde eine solche Diskussion keinen großen Wert haben und sie soll daher unterbleiben. Es würden im allgemeinen dieselben Beziehungen gefunden werden, wie beim Natriumsulfat (S. 86), nur würde der gekrümmte Teil der Löslichkeitskurve des Hexahydrats durch einen ähnlichen gekrümmten Teil in der Druckkurve repräsentiert werden<sup>1)</sup>. Wie beim Natriumsulfat würden die Umwandlungspunkte der verschiedenen Hydrate durch Knicke in der Druckkurve angezeigt werden. Endlich mag wieder auf die Verschiedenheit des Dissoziationsdruckes des Hexahydrats hingewiesen werden, je nachdem es zum  $\alpha$ - oder zum  $\beta$ -Tetrahydrat entwässert wird (S. 54).

**Der indifferente Punkt.** — Wir haben bereits gesehen, daß das Calciumchloridhexahydrat bei  $30,2^0$  vollständig in seinem Kristallwasser schmilzt, und wenn der Druck konstant gehalten wird, Zuführung oder Entziehung von Wärme das vollständige Schmelzen oder Erstarren bewirkt, ohne daß die Temperatur des Systems eine Änderung erleidet. Dieses Verhalten hat Ähnlichkeit mit dem Schmelzen einer einfachen Substanz wie Eis, aber es ist doch nicht genau dasselbe. Der Unterschied liegt darin, daß beim Hexahydrat der Austritt von Wasser aus der flüssigen Phase eine Änderung in der Zusammensetzung der festen Phase bewirkt, weil das Calciumchlorid nicht flüchtig ist. Beim Eis ist dies nicht der Fall.

Wir wollen jetzt aber annehmen, die Dampfphase sei abwesend und wir betrachten es mit dem Zweiphasensystem fest-Lösung zu tun. Dann ist das System, wenn zwei Komponenten vorhanden sind, bivariant. Für einen gegebenen Wert des Druckes muß daher das System bei verschiedenen Temperaturen existieren können, was auch tatsächlich der Fall ist. Wenn aber die Zusammensetzung der festen Phase dieselbe wird wie die der festen Phase, so verhält sich das System, wie ein univariantes, denn bei einem gegebenen Druck kann das System fest-Lösung nur bei einer Temperatur existieren und eine Änderung der Temperatur bewirkt eine vollständige Umwandlung in der einen oder anderen Richtung. Die Veränderlichkeit des Systems ist also geringer geworden.

<sup>1)</sup> Siehe ROOZEBOOM, Zeitschr. phys. Chem. 1889, 4, 31.



Dieses Verhalten wird vielleicht besser verstanden, wenn man sich erinnert, daß, weil die Zusammensetzung der beiden Phasen dieselbe ist, das System als aus einer Komponente bestehend betrachtet werden kann, ebenso wie das System  $\text{NH}_4\text{Cl} \rightleftharpoons \text{NH}_3 + \text{HCl}$  als aus einer Komponente bestehend angesehen wurde, da der Dampf dieselbe Zusammensetzung wie die feste Substanz hatte (S. 9). Eine Komponente in zwei Phasen bildet aber ein univariantes System. Daher bildet Calciumchloridhexahydrat in Berührung mit Lösung von derselben Zusammensetzung ein univariantes System. Die Gleichgewichtstemperatur ändert sich jedoch mit dem Druck<sup>1)</sup>. Wenn dieser konstant ist, so ist auch die Temperatur konstant.

Ein Punkt der beschriebenen Art, d. h. ein Punkt, welcher das eigentümliche Verhalten eines Systems aus zwei (oder mehr) Komponenten repräsentiert, in welchem die Zusammensetzung zweier Phasen identisch wird, wird als indifferenten Punkt<sup>2)</sup> bezeichnet, und man hat gefunden<sup>3)</sup>, daß bei einem gegebenen Druck die Temperatur des indifferenten Punktes die höchste oder niedrigste Temperatur ist, die bei diesem Druck möglich ist<sup>4)</sup> (vgl. kritische Lösungstemperatur). Bei einem solchen Punkt verliert ein System einen Freiheitsgrad oder es verhält sich wie ein System der nächst niederen Ordnung.

**Die Ferrichloridhydrate.** — Ein besseres Beispiel für die Bildung von Verbindungen, die einen echten Schmelzpunkt besitzen, und für die Existenz von

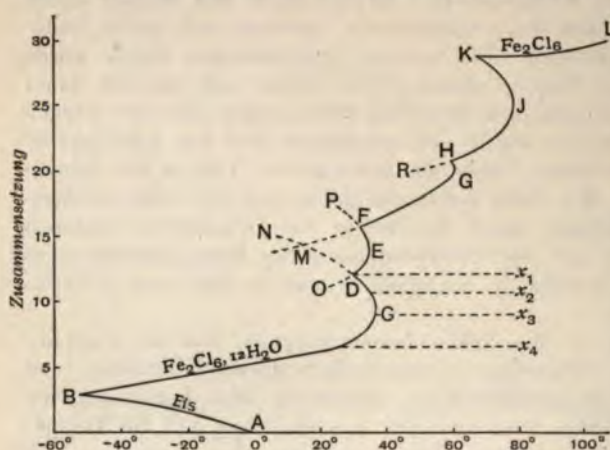


Fig. 39.

rückläufigen Löslichkeitskurven bieten die Hydrate des Ferrichlorids. Diese besitzen nicht nur echte Schmelzpunkte, sondern diese Schmelzpunkte sind auch stabil. Eine ganz kurze Beschreibung der betreffenden Beziehungen wird genügen<sup>5)</sup>.

Ferrichlorid kann nicht weniger als vier stabile Hydrate bilden,  $\text{Fe}_2\text{Cl}_6 \cdot 12 \text{H}_2\text{O}$ ;  $\text{Fe}_2\text{Cl}_6 \cdot 7 \text{H}_2\text{O}$ ;  $\text{Fe}_2\text{Cl}_6 \cdot 5 \text{H}_2\text{O}$  und  $\text{Fe}_2\text{Cl}_6 \cdot 4 \text{H}_2\text{O}$ , und jedes dieser Hydrate besitzt einen echten stabilen Schmelzpunkt. Die

Analogie mit dem Verhalten von Calciumchlorid läßt daher vermuten, daß die Löslichkeitskurven dieser verschiedenen Hydrate eine Anzahl Temperaturmaxima aufweisen, wobei die Punkte der Temperaturmaxima Systeme repräsentieren, in denen die Zusammensetzung der festen und der flüssigen Phasen dieselbe ist. Eine graphische Darstellung der Löslichkeitsverhältnisse ist in Fig. 39 gegeben, und die Zusammensetzung der verschiedenen gesättigten Lösungen, welche entstehen können, ist in der folgenden Tabelle gegeben. Die Zusammensetzung ist in Molekülen von  $\text{Fe}_2\text{Cl}_6$  auf 100 Moleküle Wasser ausgedrückt. Die fett gedruckten Zahlen bedeuten die Umwandlungspunkte und Schmelzpunkte.

<sup>1)</sup> TAMMANN, Wied. Ann. 1899, **68**, 577.

<sup>2)</sup> DUHEM, Jour. Phys. Chem. 1898, **2**, 31.

<sup>3)</sup> GIBBS, Trans. Conn. Acad. **3**, 155; SAUREL, Jour. Phys. Chem. 1901, **5**, 35.

<sup>4)</sup> Beim Schmelzen einer Verbindung von zwei Komponenten unter Bildung einer flüssigen Phase von derselben Zusammensetzung ist die Temperatur ein Maximum; bei flüssigen Gemischen von konstantem Siedepunkt kann die Temperatur ein Minimum sein (S. 65).

<sup>5)</sup> ROOZEBOOM, Zeitschr. phys. Chem. 1892, **10**, 477. Die Formel des Ferrichlorids ist verdoppelt worden, um Brüche in den Zahlen für das Kristallwasser zu vermeiden.

Zusammenfassung der gesättigten Lösungen von Ferrichlorid und seinen Hydraten.

(Die Überschriften der einzelnen Tabellen bezeichnen die feste Phase.)

| Eis           |                 | $\text{Fe}_2\text{Cl}_6 \cdot 12 \text{H}_2\text{O}$ |                 | $\text{Fe}_2\text{Cl}_6 \cdot 7 \text{H}_2\text{O}$ |                 |
|---------------|-----------------|--|-----------------|---|-----------------|
| Temperatur    | Zusammensetzung | Temperatur   | Zusammensetzung | Temperatur  | Zusammensetzung |
| $-55^\circ$   | $\pm 2,75$      | $-55^\circ$  | $\pm 2,75$      | $20^\circ$  | 11,35           |
| $-40^\circ$   | 2,37            | $-41^\circ$  | 2,81            | $27,4^\circ$  | <b>12,15</b>    |
| $-27,5^\circ$ | 1,90            | $-27^\circ$  | 2,98            | $32^\circ$  | 13,55           |
| $-20,5^\circ$ | 1,64            | $0^\circ$  | 4,13            | $32,5^\circ$  | <b>14,29</b>    |
| $-10^\circ$   | 1,00            | $10^\circ$   | 4,54            | $30^\circ$  | <b>15,12</b>    |
| $0^\circ$     | 0               | $20^\circ$   | 5,10            | $25^\circ$  | 15,54           |
|               |                 | $30^\circ$   | 5,93            |   |                 |
|               |                 | $35^\circ$   | 6,78            |   |                 |
|               |                 | $36,5^\circ$   | 7,93            |   |                 |
|               |                 | $37^\circ$   | <b>8,33</b>     |   |                 |
|               |                 | $36^\circ$   | 9,29            |   |                 |
|               |                 | $33^\circ$   | 10,45           |   |                 |
|               |                 | $30^\circ$   | 11,20           |   |                 |
|               |                 | $27,4^\circ$   | <b>12,15</b>    |   |                 |
|               |                 | $20^\circ$   | 12,83           |   |                 |
|               |                 | $10^\circ$   | 13,20           |   |                 |
|               |                 | $8^\circ$  | 13,70           |   |                 |

| $\text{Fe}_2\text{Cl}_6 \cdot 5 \text{H}_2\text{O}$ |                 | $\text{Fe}_2\text{Cl}_6$ (wasserfrei) |                 | $\text{Fe}_2\text{Cl}_6 \cdot 4 \text{H}_2\text{O}$ |                 |
|---|-----------------|---------------------------------------|-----------------|---|-----------------|
| Temperatur  | Zusammensetzung | Temperatur                            | Zusammensetzung | Temperatur  | Zusammensetzung |
| $2^\circ$   | 12,87           | $66^\circ$                            | <b>29,20</b>    | $50^\circ$  | 19,96           |
| $0^\circ$   | 13,95           | $70^\circ$                            | 29,42           | $55^\circ$  | <b>20,32</b>    |
| $-7^\circ$  | 14,85           | $75^\circ$                            | 28,92           | $60^\circ$  | 20,70           |
| $-9^\circ$  | <b>15,12</b>    | $80^\circ$                            | 29,20           | $69^\circ$  | 21,53           |
| $-5^\circ$  | 15,64           | $100^\circ$                           | 29,75           | $72,5^\circ$  | 23,35           |
| $0^\circ$   | 17,50           |                                       |                 | $73,5^\circ$  | <b>25,00</b>    |
| $5^\circ$   | 19,15           |                                       |                 | $72,5^\circ$  | 26,15           |
| $8^\circ$   | <b>20,00</b>    |                                       |                 | $70^\circ$  | 27,90           |
| $15^\circ$  | <b>20,32</b>    |                                       |                 | $66^\circ$  | <b>29,20</b>    |

Der unterste Teil der Kurve, *AB*, repräsentiert die Gleichgewichte zwischen Eis und Lösungen, welche Ferrichlorid enthalten. Sie repräsentiert, mit anderen Worten, die Erniedrigung des Schmelzpunktes von Eis durch Hinzufügung von Ferrichlorid. Bei *B* ( $-55^\circ$ ) wird der kryohydratische Punkt (S. 73) erreicht, bei dem die Lösung mit Eis und Ferrichloriddodekahydrat im Gleichgewicht ist. Dieser Punkt repräsentiert, wie bereits gezeigt wurde, ein invariantes System, bei dem die flüssige Phase erstarrt daher zu einem Gemisch von Eis und Hydrat, ohne daß sich die Temperatur ändert. Wenn Wärme zugeführt wird, so schmilzt das System und geht auf die Kurve *BCDN*, die Löslichkeitskurve des Dekahydrats, über. Bei *C* ( $37^\circ$ ), dem Punkt des Temperaturmaximums, schmilzt das Hydrat vollständig. Der rückläufige Teil dieser Kurve kann rückwärts bis zu einer Temperatur von  $8^\circ$  verfolgt werden, aber unter  $27,4^\circ$  (*D*) sind diese Lösungen gesättigt auf das Heptahydrat übersättigt. Der Punkt *D* ist der eutektische



Punkt für das Dodekahydrat und das Heptahydrat. Die Kurve *DEF* ist die Löslichkeitskurve des Heptahydrats, und *E* ist sein Schmelzpunkt,  $32,5^{\circ}$ . Bei weiterer Vermehrung der Menge des Ferrichlorids sinkt die Gleichgewichtstemperatur, bis bei *F* ( $30^{\circ}$ ) ein zweiter eutektischer Punkt erreicht wird, bei welchem das Heptahydrat und das Pentahydrat mit der Lösung koexistieren können. Dann folgen die Löslichkeitskurven für das Pentahydrat, das Tetrahydrat und das wasserfreie Salz. *G* ( $56^{\circ}$ ) ist der Schmelzpunkt des ersteren Hydrats, *T* ( $73,5^{\circ}$ ) der Schmelzpunkt des letzteren. *H* und *K*, die Punkte, in denen sich die Kurven schneiden, sind eutektische Punkte. Die Temperatur des ersteren ist  $55^{\circ}$ , die des letzteren  $66^{\circ}$ . Die punktierten Teile der Kurven repräsentieren metastabile Gleichgewichte.

Man erhält, wie aus der Figur zu ersehen ist, eine bemerkenswerte Reihe von Löslichkeitskurven, deren jede ein Temperaturmaximum durchläuft und die sich wie „Girlanden“ aneinanderreihen. Rechts von der Kurvenreihe repräsentiert die Figur ungesättigte, links übersättigte Lösungen.

Wenn eine ungesättigte Lösung, deren Zusammensetzung durch einen Punkt in dem Feld rechts von den Löslichkeitskurven gegeben ist, abgekühlt wird, so wird der Erfolg verschieden sein, je nachdem die Zusammensetzung der Lösung einem kryohydratischen Punkt, einem Schmelzpunkt oder einem zwischenliegenden Punkt entspricht. Wenn z. B. eine dem Punkt  $x_1$  entsprechende Lösung abgekühlt wird, so bleibt die Zusammensetzung, wie durch die punktierte horizontale Linie angedeutet ist, unverändert, bis der Punkt *D* erreicht wird. Bei diesem Punkt scheiden sich das Dodekahydrat und das Heptahydrat nebeneinander aus und die Flüssigkeit erstarrt schließlich vollständig zu einem Gemisch oder einem „Konglomerat“ dieser beiden Hydrate. Dabei bleibt die Temperatur des Systems konstant, bis vollständige Erstarrung eingetreten ist. Wenn anderseits eine Lösung von der Zusammensetzung  $x_3$  abgekühlt wird, so entsteht Ferrichloriddodekahydrat, wenn die Temperatur bis auf den durch *C* repräsentierten Wert gefallen ist, und die Lösung erstarrt vollständig unter Bildung dieses einen Hydrats ohne Temperaturänderung. In diesen beiden Fällen wird also ein Punkt erreicht, bei welchem vollständiges Erstarren ohne Änderung der Temperatur eintritt.

Etwas anderes tritt aber ein, wenn die Zusammensetzung einem zwischenliegenden Punkt, z. B.  $x_2$  oder  $x_4$  entspricht. Im ersteren Fall scheidet sich anfangs nur das Dodekahydrat aus, aber bei weiterer Wärmeentziehung fällt die Temperatur, die Lösung wird infolge der Ausscheidung des Hydrats relativ reicher an Ferrichlorid, und schließlich wird der eutektische Punkt erreicht, bei welchem vollständige Erstarrung eintritt. Ähnlich verhält sich die zweite Lösung. Zunächst entsteht nur Ferrichloriddodekahydrat, die Temperatur fällt nach und nach und die Zusammensetzung der Lösung folgt der Kurve *CB*, bis der kryohydratische Punkt *B* erreicht wird und das Ganze zu einem Konglomerat von Eis und Dodekahydrat erstarrt.

**Überschreitung.** — Nicht nur der obere Zweig der Löslichkeitskurve des Dodekahydrats kann rückwärts bis zu einer Temperatur von  $8^{\circ}$  oder ungefähr  $19^{\circ}$  unter die Umwandlungstemperatur zum Heptahydrat verfolgt werden, sondern auch beim Heptahydrat und beim Pentahydrat hat man eine Überschreitung beobachtet. Ja die Löslichkeitskurve des letzteren Hydrats hat man abwärts bis zu ihrem Durchschnittspunkt mit der Kurve für das Dodekahydrat verfolgt. Dieser in Fig. 39 mit *M* bezeichnete Durchschnittspunkt liegt bei einer Temperatur von ungefähr  $15^{\circ}$ , und bei dieser Temperatur können daher die beiden festen Phasen Dodekahydrat und Pentahydrat koexistieren, so daß *M* ein eutektischer Punkt für das Dodekahydrat und das Pentahydrat ist. Er ist aber ein metastabiler eutektischer Punkt, da er in dem Gebiet der Übersättigung in bezug auf das Heptahydrat liegt, und er kann nur deshalb realisiert werden, weil das letztere Hydrat nicht leicht entsteht.



**Verdampfung von Lösungen bei konstanter Temperatur.** — Wenn man verdünnte Lösungen von Ferrichlorid bei konstanter Temperatur verdampft, so beobachtet man eine bemerkenswerte Reihe von Veränderungen, die aber mit Hilfe von Fig. 40 zu verstehen sind. Wir wollen annehmen, eine ungesättigte Lösung, deren Zusammensetzung durch den Punkt  $x_1$  angegeben wird, werde bei einer Temperatur von ungefähr  $17^{\circ}$ — $18^{\circ}$  verdampft. Während Wasser entweicht, folgt die Zusammensetzung der Lösung der senkrechten punktierten Linie konstanter Temperatur, bis sich an dem Punkt, wo sie die Kurve  $BC$  schneidet, das feste Hydrat  $\text{Fe}_2\text{Cl}_6 \cdot 12\text{H}_2\text{O}$  ausscheidet. Bei fortgesetzter Wasserentziehung muß sich (damit die Lösung gesättigt bleibt) das Hydrat ausscheiden, bis schließlich die Lösung zum Hydrat eintrocknet. Wenn die Entwässerung fortschreitet, so kann das Heptahydrat entstehen, und das Dodekahydrat geht schließlich in das Heptahydrat und dieses in das Pentahydrat über.

Allein das Heptahydrat entsteht nicht immer durch die Entwässerung des Dodekahydrats, und das Verhalten beim Verdampfen ist daher auf den ersten Blick nicht leicht zu verstehen. Nachdem die Lösung in der beschriebenen Weise zum Dodekahydrat eingetrocknet ist, hat die weitere Entfernung von Wasser Verflüssigung zur Folge, und das System wird jetzt durch den Durchschnittspunkt bei *a* repräsentiert. Bei diesem Punkt ist das feste Hydrat im Gleichgewicht mit einer Lösung, welche relativ mehr Ferrichlorid enthält. Wenn daher die Verdampfung fortschreitet, so muß das feste Hydrat in Lösung gehen, damit die Zusammensetzung der letzteren unverändert bleibt, so daß man schließlich wieder eine Flüssigkeit erhält. Eine ganz geringe weitere Entwässerung bringt die Lösung in den durch *b* repräsentierten Zustand, bei welchem das feste Pentahydrat entsteht. Die Lösung verschwindet also schließlich und läßt dieses Hydrat allein zurück.

Noch schwerer würden ohne Zuhilfenahme der Kurven in Fig. 39 und 40 die Erscheinungen zu verstehen sein, welche man beobachten würde, wenn man die Verdampfung bei einer Temperatur von ungefähr  $31^{\circ}$ — $32^{\circ}$  ausführte. Die Zusammensetzung der verschiedenen Lösungen, welche entstehen, wird durch die Vertikale  $x_2$  12345 angegeben. Verdampfung bewirkt zunächst die Ausscheidung des Dodekahydrats und dann vollständiges Verschwinden der flüssigen Phase. Dann tritt Verflüssigung ein, und das System wird jetzt durch den Punkt 2 repräsentiert. In diesem Zustand bleibt es, bis das feste Hydrat verschwunden ist. Sodann wird das Heptahydrat ausgeschieden werden (Punkt 3) und die flüssige Phase wird verschwinden. Weitere Entwässerung wird wieder Verflüssigung bewirken, und die Konzentration der Lösung wird durch den Punkt 4 dargestellt werden. Das Heptahydrat wird schließlich bei weiterer Entwässerung auch unter Verflüssigung verschwinden, dann wird sich das Pentahydrat ausscheiden und die Flüssigkeit wird wieder vollständig erstarren. Beim Verdampfen einer Lösung von der Zusammensetzung  $x_2$  wird man also die folgende Reihe von Erscheinungen beobachten: Erstarren zum Dodekahydrat, Schmelzen, Erstarren zum Heptahydrat, Schmelzen, Erstarren zum Pentahydrat<sup>1)</sup>.

**Uneinengbare Lösungen.** — Wenn eine gesättigte Lösung in Berührung mit zwei Hydraten oder mit einem Hydrat und wasserfreiem Salz erwärmt wird, so wird die Temperatur und die Zusammensetzung der Lösung natürlich so lange

<sup>1)</sup> ROOZEBOOM, Zeitschr. phys. Chem. 1892, 10, 477; vgl. DIETZ u. MYLIUS, Zeitschr. anorg. Chem. 1905, 44, 209.

FINDLAY, Die Phasenregel.

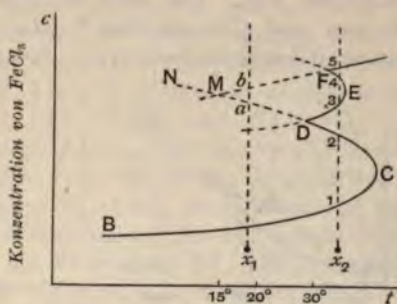


Fig. 40.



unverändert bleiben, als die beiden festen Phasen anwesend sind, da ein so System invariant ist. Außerdem wird aber auch die Menge der Lösung verändert bleiben, da das Wasser, welches verdampft, durch das höhere H ergänzt wird. Dieselbe Erscheinung wird auch bei kryohydratischen Punkten beobachtet, wenn Eis eine feste Phase ist. Solange dieses anwesend ist, wird die Verdampfung von Schmelzen des Eises begleitet sein und die Menge der Lösung wird konstant bleiben. Derartige Lösungen werden uneinengbar genannt.

**Beispiel.** — Um die Anwendung der Prinzipien der Phasenregel auf das Studium von Systemen zu erläutern, die aus einer flüchtigen und einer nicht flüchtigen Komponente bestehen, soll das Verhalten von Schwefeldioxyd und Kaliumjodid kurz beschrieben werden, welches neuerdings untersucht worden ist. Nachdem man gefunden hatte<sup>2)</sup>, daß flüssiges Schwefeldioxyd die Eigenschaft hat, Kaliumjodid zu lösen und daß die so erhaltenen Lösungen gewisse Eigentümlichkeiten in ihrem Verhalten zeigen, entstand die Frage, ob Verbindungen von Schwefeldioxyd und Kaliumjodid entstehen oder nicht, und wenn ja, welches diese Verbindungen sind. Um eine Antwort auf diese Frage zu finden, unternahm WALDEN und CENTNERSZWER<sup>3)</sup> eine eingehende Untersuchung der Löslichkeitskurven (Gleichgewichtskurven) dieser beiden Komponenten. Die Untersuchung

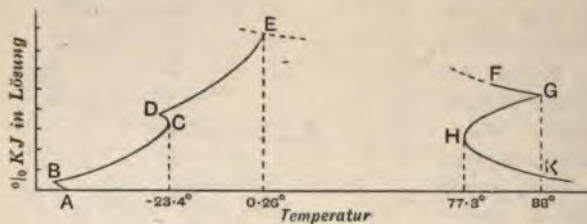


Fig. 41.

erstreckte sich vom Gefrierpunkt bis zum kritischen Punkt des Schwefeldioxyds und die Ergebnisse derselben sind in Fig. 41 schematisch dargestellt. Als Gefrierpunkt (A) des reinen Schwefeldioxyds wurde  $-72,7^{\circ}$  gefunden. Bei Zugabe von Kaliumjodid erniedrigte den Gefrierpunkt allein das erreichte Maximum der Erniedrigung war sehr gering und wurde erreicht, wenn die Konzentration des Kaliumjodids in der Lösung nur 0,336 Prozent betrug. Über diesen Punkt hinaus war eine Zunahme der Konzentration des Jodids von einer Erhöhung des Gefrierpunktes begleitet. Die Änderung des Gefrierpunktes mit der Konzentration wird durch die Kurve BC dargestellt. Eine feste Substanz, welche sich aus den durch BC repräsentierten Lösungen ausschied, war ein glänzender gelber kristallinischer Stoff. Beim Punkt C ( $-23,4^{\circ}$ ) wurde das Temperaturmaximum erreicht, und wenn die Konzentration des Kaliumjodids kontinuierlich erhöht wurde, so fiel die Gleichgewichtstemperatur zuerst und dann langsam, bis bei  $+0,26^{\circ}$  (E) ein zweites Temperaturmaximum registriert wurde. Beim Passieren des Punktes D war die feste Phase, die aus der Lösung abgeschieden wurde, eine rote kristallinische Substanz. Wenn dem System Schwefeldioxyd entzogen wurde, so wurde die Lösung trübe und die Temperatur blieb konstant. Bei diesem Punkt wurde die Untersuchung abgebrochen und die Aufmerksamkeit wurde dann auf die Gleichgewichte bei höheren Temperaturen gerichtet.

Wenn eine Lösung von Jodkalium in flüssigem Schwefeldioxyd, die Kaliumjodid enthielt, erwärmt wurde, so wurde bei einer Temperatur von  $+0,26^{\circ}$  festes Kaliumjodid ausgeschieden. Lösungen, die mehr als ungefähr 3% Kaliumjodid enthielten, trennten sich beim Erwärmen in zwei Schichten, und die Temperatur bei welcher die Flüssigkeit heterogen wurde, fiel, wenn die Konzentration des Jodids erhöht wurde. Ein Temperaturminimum wurde mit Lösungen erhalten, die 12% K

<sup>1)</sup> MEYERHOFFER, Ber. 1897, 30, 1810.

<sup>2)</sup> WALDEN, Ber. 1899, 32, 2863.

<sup>3)</sup> Zeitschr. phys. Chem. 1903, 42, 432.



did enthielten. Andererseits schieden Lösungen, die 30,9% Jodid enthielten, beim Erwärmen Kaliumjodid aus. In einer Lösung dagegen, welche 24,5% Salz enthielt, bildeten sich zuerst bei 89,3° zwei Schichten, und dann wurde beim Abkühlen feste Substanz ausgeschieden und eine der beiden flüssigen Schichten erschwand.

Dies sind im wesentlichen die Versuchsergebnisse. Ihre Deutung im Lichte der Phasenregel ist die folgende:

Die Kurve *AB* ist die Gefrierpunktskurve von festem Schwefeldioxyd in Berührung mit Lösungen von Kaliumjodid. *BCD* ist die Löslichkeitskurve der selben kristallinen Substanz, die von den Lösungen ausgeschieden wird. Das Temperaturmaximum *C* ist der Schmelzpunkt dieser gelben Substanz, und die Zusammensetzung der letzteren muß dieselbe sein wie die der Lösung bei diesem Punkt (S. 90). Diese entsprach aber der Formel  $\text{KJ} \cdot 14 \text{SO}_2$ . Daher ist *B* der eutektische Punkt, bei welchem festes Schwefeldioxyd und die Verbindung  $\text{KJ} \cdot 4 \text{SO}_2$  im Gleichgewicht mit Lösung und Dampf existieren können. Die Kurve *DE* ist die Löslichkeitskurve der roten kristallinen Substanz, und der Punkt *E*, bei welchem die Zusammensetzung der Lösung und der festen Substanz dieselbe ist, ist der Schmelzpunkt der festen Substanz. Für die Zusammensetzung dieser Substanz ergab sich hiernach die Formel  $\text{KJ} \cdot 4 \text{SO}_2$ <sup>1)</sup>. Daher ist *D* der eutektische Punkt, bei welchem die Verbindungen  $\text{KJ} \cdot 14 \text{SO}_2$  und  $\text{KJ} \cdot 4 \text{SO}_2$  mit Lösung und Dampf im Gleichgewicht existieren können. Die Kurve *DE* besitzt einen rückläufigen Teil, im Gegenteil, wenn versucht wurde, konzentriertere Lösungen im Gleichgewicht mit der Verbindung  $\text{KJ} \cdot 4 \text{SO}_2$  zu erhalten, so entstand eine neue feste Phase (wahrscheinlich Kaliumjodid). Da bei diesem Punkt vier Phasen im Gleichgewicht sind, nämlich die Verbindung  $\text{KJ} \cdot 4 \text{SO}_2$ , Kaliumjodid, Lösung und Dampf, so ist das System invariant. *E* ist daher der Umwandlungspunkt für  $\text{KJ} \cdot 4 \text{SO}_2$  und  $\text{KJ}$ .

Für höhere Temperaturen ist *FG* die Löslichkeitskurve von Jodkalium in Schwefeldioxyd. Bei *G* entstehen zwei flüssige Phasen und das System wird wieder invariant (vgl. S. 76). Die Kurve *GHK* ist die Löslichkeitskurve für zwei teilweise mischbare Flüssigkeiten, und da bei Erniedrigung der Temperatur vollkommene Mischbarkeit eintritt, so hat die Kurve Ähnlichkeit mit derjenigen für Äthylamin und Wasser (S. 99). *K* ist ebenfalls ein invarianter Punkt, bei welchem festes Kaliumjodid mit zwei flüssigen Phasen und Dampf im Gleichgewicht ist.

Die Untersuchung der Gleichgewichte zwischen Schwefeldioxyd und Kaliumjodid führt also zu dem Ergebnis, daß diese beiden Komponenten die Verbindungen  $\text{KJ} \cdot 14 \text{SO}_2$  und  $\text{KJ} \cdot 4 \text{SO}_2$  bilden, und daß Lösungen, deren Zusammensetzung zwischen denen durch die Punkte *G* und *K* angegebenen liegt, beim Erwärmen in zwei Schichten zerfallen. Die Temperaturen und Konzentrationen der verschiedenen charakteristischen Punkte sind die folgenden:

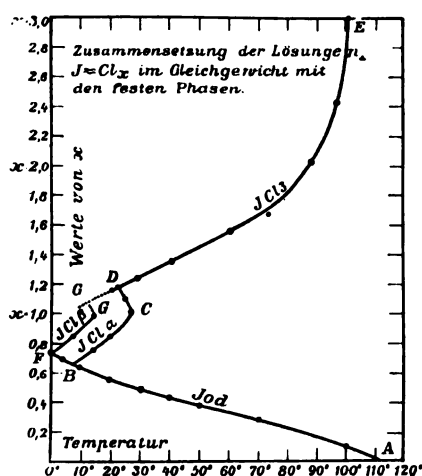
| Punkt   | Temperatur   | Zusammensetzung<br>der Lösung, Proz. KJ |
|---|--------------|---|
| <i>A</i> (Schmp. $\text{SO}_2$ ) . . . .                | —72,7°       | —                                       |
| <i>B</i> (eutekt. Punkt) . . . .                        | —            | 0,86                                    |
| <i>C</i> (Schmp. $\text{KJ} \cdot 14 \text{SO}_2$ ) . . | —23,4°       | 17,63                                   |
| <i>E</i> (Schmp. $\text{KJ} \cdot 4 \text{SO}_2$ ) . .  | +0,26°       | 39,33                                   |
| <i>G</i> ( $\text{KJ}$ + 2 flüss. Phasen) .             | (ungef.) 88° | 24,0                                    |
| <i>H</i> (krit. Lösungspunkt) . .                       | 77,3°        | 12                                      |
| <i>K</i> ( $\text{KJ}$ + 2 flüss. Phasen) .             | (ungef.) 88° | 2,7                                     |

<sup>1)</sup> Die Formel wurde auch durch Messung des Dampfdrucks bestätigt (vgl. S. 56).

## Neuntes Kapitel.

### Gleichgewichte zwischen zwei flüchtigen Komponenten.

**Allgemeines.** — In den beiden vorhergehenden Kapiteln war die Diskussion der Gleichgewichte zwischen zwei Komponenten gewissen Einschränkungen unterworfen. In diesem Kapitel wollen wir die Einschränkung, daß nur eine der Komponenten flüchtig ist, fallen lassen und das allgemeine Verhalten zweier flüchtiger<sup>1)</sup> Komponenten studieren, deren jede fähig ist, eine flüssige Lösung mit der anderen zu bilden. Die Beseitigung der früheren Einschränkung bewirkt jedoch, wie wir sehen werden, keine Änderung in dem allgemeinen Aussehen der Gleichgewichtskurven für Konzentration und Temperatur, sondern sie ändert nur etwas die Form des Druck-Temperaturdiagramms. Das letztere würde noch



komplizierter werden, wenn nicht nur auf den Gesamtdruck, sondern auch auf die Partialdrücke der beiden Komponenten in der Dampfphase Rücksicht genommen würde. Diese Komplikation wollen wir jedoch von der folgenden Diskussion ausschließen<sup>2)</sup>. In diesem Kapitel wollen wir die Systeme betrachten, welche von den beiden Komponenten Jod und Chlor oder von Schwefeldioxyd und Wasser gebildet werden.

**Jod und Chlor.** — Die durch die Untersuchungen von STORTENBECKER<sup>3)</sup> klassisch gewordenen Systeme, welche von Jod und Chlor gebildet werden, bieten ein sehr vollständiges Beispiel von Gleichgewichten in einem System aus zwei Komponenten. Wir wollen zunächst die Beziehungen zwischen Konzentration und

Temperatur betrachten, und zwar mit Hilfe des beigegeführten Diagramms, Fig. 42.

**Konzentration-Temperaturdiagramm.** — In diesem Diagramm sind die Temperaturen als Abszissen genommen, und die Zusammensetzung der Lösung, ausgedrückt in Atomen Chlor auf ein Atom Jod<sup>4)</sup>, ist durch die Ordinaten dargestellt. A bedeutet den Schmelzpunkt des reinen Jods, 114°. Wenn Chlor zu

<sup>1)</sup> Obwohl im Grunde alle Substanzen bei einer bestimmten Temperatur ohne Zweifel in gewissem Grade, wenn auch häufig unmerklich, flüchtig sind, wird hier noch besonders angenommen, daß die Substanzen bei der Versuchstemperatur merklich flüchtig sind.

<sup>2)</sup> Wegen einer allgemeinen Diskussion der Partialdrücke in einem System aus zwei Komponenten vgl. BANCROFT, Jour. Phys. Chem. 1899, 3, 1. Siehe auch KUENEN, Verdampfung und Verflüssigung von Gemischen in BREDIGS Handb. d. angew. physikal. Chemie, Bd. 4.

<sup>3)</sup> Zeitschr. phys. Chem. 1889, 3, 11; Rec. trav. chim. Pays-Bas, 1888, 7, 152.

<sup>4)</sup> Die Zusammensetzung einer Lösung wird symbolisch dargestellt, indem man eine doppelte Wellenlinie zwischen die Symbole der Komponenten setzt und die Anzahl der anwesenden Atome in der gewöhnlichen Weise angibt. So bezeichnet  $\text{J} \approx \text{Cl}_x$  eine Lösung, welche auf ein Atom Jod  $x$  Atome Chlor enthält (ROOZEBOOM, Zeitschr. Chem. 1888, 2, 450).



in System hinzugefügt wird, so erhält man eine Lösung von Chlor in flüssigem Jod, und die Temperatur, bei welcher festes Jod im Gleichgewicht mit der flüssigen Lösung ist, ist um so niedriger, je größer die Konzentration des Chlors ist. Wir erhalten daher die Kurve *ABF*, welche die Zusammensetzung der Lösung ausdrückt, mit welcher festes Jod bei verschiedenen Temperaturen im Gleichgewicht ist. Diese Kurve kann abwärts bis  $0^{\circ}$  verfolgt werden, aber unter  $7,9^{\circ}$  repräsentiert sie metastabile Gleichgewichte. Bei *B* kann festes Jodmonochlorid sich abscheiden, und wenn es anwesend ist, so wird das System invariant. *B* ist daher ein vierfacher Punkt, bei welchem die vier Phasen Jod, Jodmonochlorid, Lösung und Dampf koexistieren können. Weitere Wärmeentziehung bei diesem Punkt führt daher zum vollständigen Erstarren der Lösung zu einem Gemisch des Konglomerats von Jod und Jodmonochlorid, und die Temperatur bleibt während des Prozesses konstant. *B* ist der eutektische Punkt für Jod und Jodmonochlorid.

Ebenso wie im Falle von wässrigen Salzlösungen bei Temperaturen über dem kryohydratischen oder eutektischen Punkt zwei verschiedene Lösungen existieren können, eine im Gleichgewicht mit Eis und die andere im Gleichgewicht mit dem Salz (oder dem Salzhydrat), so können auch in dem Falle von Jod und Chlor über dem eutektischen Punkt *B* bei derselben Temperatur zwei Lösungen existieren, von denen die eine eine geringere Menge Chlor im Gleichgewicht mit festem Jod, die andere eine größere Menge Chlor im Gleichgewicht mit festem Jodmonochlorid enthält. Die Zusammensetzung der letzteren Lösung wird durch die Kurve *BCD* dargestellt. Wenn die Konzentration des Chlors erhöht wird, so steigt die Temperatur, bei welcher Gleichgewicht zwischen festem Jodmonochlorid und Lösung herrscht, bis ein Punkt erreicht wird, bei welchem die Zusammensetzung der Lösung dieselbe ist wie diejenige des festen Körpers. Bei diesem Punkt (*C*) schmilzt das reine Jodmonochlorid. Durch Hinzufügung einer der Komponenten wird die Schmelztemperatur erniedrigt, und man erhält, ähnlich wie bei  $\text{CaCl}_2 \cdot 6\text{H}_2\text{O}$ , eine kontinuierliche Kurve<sup>1)</sup>, die einen S-förmigen Teil besitzt. Bei Temperaturen unter dem Schmelzpunkt kann also festes Jodmonochlorid mit zwei verschiedenen Lösungen im Gleichgewicht sein.

Der obere Teil dieser Kurve, *CD*, kann abwärts bis zu einer Temperatur von  $22,7^{\circ}$  verfolgt werden. Bei dieser Temperatur kann Jodtrichlorid ausgeschieden werden und man erhält einen zweiten vierfachen Punkt (*D*). Dies ist der eutektische Punkt für Jodmonochlorid und Jodtrichlorid.

Wenn Wärme zugeführt und die Menge des Chlors vermehrt wird, so verschwindet das Jodmonochlorid, und das System schreitet die Kurve *DE* entlang, welche die Zusammensetzung der Lösungen angibt, die mit festem Jodtrichlorid im Gleichgewicht sind. Die Konzentration des Chlors in der Lösung nimmt mit steigender Temperatur zu, bis beim Punkt *E*, wo die Lösung dieselbe Zusammensetzung wie die feste Substanz hat, wieder ein Temperaturmaximum erreicht wird. Das Jodtrichlorid schmilzt. Wenn die Konzentration des Chlors in der Lösung noch mehr gesteigert wird, so fällt die Gleichgewichtstemperatur und man erhält eine ähnliche kontinuierliche Kurve wie für das Monochlorid. Der obere Zweig dieser Kurve ist abwärts bis zu einer Temperatur von  $30^{\circ}$  verfolgt worden. Die Lösung enthält bei diesem Punkt 99,6 Prozent Chlor<sup>2)</sup>. Die stark gekrümmte Form der Kurve rührt daher, daß das Trichlorid im flüssigen Zustand sehr stark dissoziiert ist.

Es ist noch eine Kurve übrig, die betrachtet werden muß. Jodmonochlorid kann, wie bereits erwähnt, in zwei kristallinen Formen existieren, von denen

<sup>1)</sup> Da Jodmonochlorid im flüssigen Zustand nur in sehr geringem Grade dissoziiert ist, so ist die Biegung bei *C* sehr scharf. (Siehe S. 91, Anm.) Siehe auch ATEN, Versl. Konink. Akad. Wetensch., Amsterdam 1905, 13, 462.

<sup>2)</sup> Dieser obere Zweig der Kurve ist in der Figur nicht sichtbar, da die Ordinate für  $30^{\circ}$  zu groß sein würde.



jedoch nur eine bei Temperaturen unter dem Schmelzpunkt stabil ist. Die beiden Formen sind monotrop (S. 27). Die stabile Form, welche bei  $27,2^\circ$  schmilzt, wird als die  $\alpha$ -Form, die weniger stabile Modifikation, welche bei  $13,9^\circ$  schmilzt, als die  $\beta$ -Form bezeichnet. Wenn nun die Anwesenheit von festen Keimen des  $\alpha$ -JCl ausgeschlossen wird, so ist es möglich, die  $\beta$ -Form zu erhalten und die Gleichgewichtsbedingungen für sie und die Lösungen von Jod und Chlor vom eutektischen Punkt *F* bis zum Schmelzpunkt *G* zu studieren. Da das  $\beta$ -JCl in Gegenwart eines Überschusses von Chlor weniger stabil wird, ist es nicht möglich gewesen, den durch die punktierte Verlängerung von *FG* bezeichneten rückläufigen Teil der Kurve zu studieren.

Die folgende Tabelle enthält einige Zahlenwerte, vermittels deren die Figur gezeichnet worden ist<sup>1)</sup>.

### Jod und Chlor.

#### I. Invariante Systeme.

| Temperatur     | Druck              | Anwesende Phasen           |                       |                 |
|----------------|--------------------|----------------------------|-----------------------|-----------------|
|                |                    | fest                       | flüssig               | Dampf           |
| $7,9^\circ$    | 11 mm              | $J_2, \alpha\text{-JCl}$   | $J \approx Cl_{0,66}$ | $J + Cl_{0,92}$ |
| $0,9^\circ$    | —                  | $J_2, \beta\text{-JCl}$    | $J \approx Cl_{0,72}$ | —               |
| $22,7^\circ$   | 42 mm              | $\alpha\text{ JCl}, JCl_3$ | $J \approx Cl_{1,19}$ | $J + Cl_{1,75}$ |
| $[-102^\circ]$ | $< 1 \text{ Atm.}$ | $JCl_3, Cl_2$              | $J \approx Cl_m$      | $J + Cl_m$      |

#### II. Schmelzpunkte.

A) Jod<sup>2)</sup>,  $114,15^\circ$  (Druck 89,8 mm).

C)  $\alpha$ -Jodmonochlorid,  $27,2^\circ$  (Druck 37 mm).

E) Jodtrichlorid,  $101^\circ$  (Druck 16 Atm.).

G)  $\beta$ -Jodmonochlorid,  $13,9^\circ$ .

Da der Dampfdruck beim Schmelzpunkt des Jodtrichlorids 16 Atm. beträgt, so muß der Versuch natürlich in geschlossenen Gefäßen ausgeführt werden. Bei  $63,7^\circ$  ist der Dampfdruck des Systems Trichlorid-Lösung-Dampf gleich 1 Atm.

**Druck-Temperaturdiagramm.** — Im Diagramm sind die Werte des Dampfdruckes der gesättigten Lösungen von Chlor und Jod dargestellt. Um ein vollständiges Bild der Beziehungen zwischen Druck, Temperatur und Konzentration zu geben, würde ein räumliches Modell mit drei zueinander senkrechten Achsen erforderlich sein, auf denen die Werte des Druckes, der Temperatur und der Konzentration der Komponenten in der Lösung gemessen werden könnten. Anstatt eines solchen Modells wollen wir uns der in Fig. 43 gegebenen Projektionsfigur<sup>3)</sup> bedienen. Der untere Teil derselben zeigt die Projektion der Gleichgewichtskurve auf die Fläche, welche die Konzentrationsachse und die Temperaturachse enthält, und der obere Teil ist die Projektion auf die Ebene, welche die Druckachse und die Temperaturachse enthält. Der untere Teil ist daher ein Konzentration-Temperaturdiagramm, der obere Teil ein Druck-Temperaturdiagramm. Die entsprechenden Punkte der beiden Diagramme sind durch punktierte Linien verbunden.

Dem Punkt *C*, dem Schmelzpunkt des reinen Jods, entspricht der Punkt *C*<sub>1</sub>, welcher den Dampfdruck des Jods bei seinem Schmelzpunkt repräsentiert. In diesem Punkt schneiden sich drei Kurven: 1. die Sublimationskurve des Jods;

<sup>1)</sup> STORTENBECKER, Zeitschr. phys. Chem. 1889, 3, 22.

<sup>2)</sup> RAMSAY und YOUNG, Journ. Chem. Soc. 1886, 49, 458.

<sup>3)</sup> VAN'T HOFF, Vorlesungen über theoret. u. phys. Chemie, I. S. 71.

2. die Verdampfungskurve des geschmolzenen Jods; 3. die Dampfdruckkurve der gesättigten Lösungen im Gleichgewicht mit festem Jod. Wenn man von dem System festes Jod-flüssiges Jod ausgeht, so wird Hinzufügung von Chlor bewirken, daß die Gleichgewichtstemperatur kontinuierlich fällt, während der Dampfdruck zuerst zunimmt, ein Maximum erreicht und dann kontinuierlich fällt, bis der eutektische Punkt  $B$  ( $B_1$ ) erreicht wird<sup>1)</sup>. Bei diesem Punkt ist das System invariant, und der Druck bleibt daher konstant, bis das Jod verschwunden ist. Da die Konzentration des Chlors der Kurve  $BfH$  entsprechend zunimmt, nimmt auch der Dampfdruck der Kurve  $B_1f_1H_1$  entsprechend zu. Bei  $H_1$ , dem eutektischen Punkt für Jodmonochlorid und Jodtrichlorid, bleibt der Druck wieder konstant, bis das Monochlorid verschwunden ist. Während die Konzen-

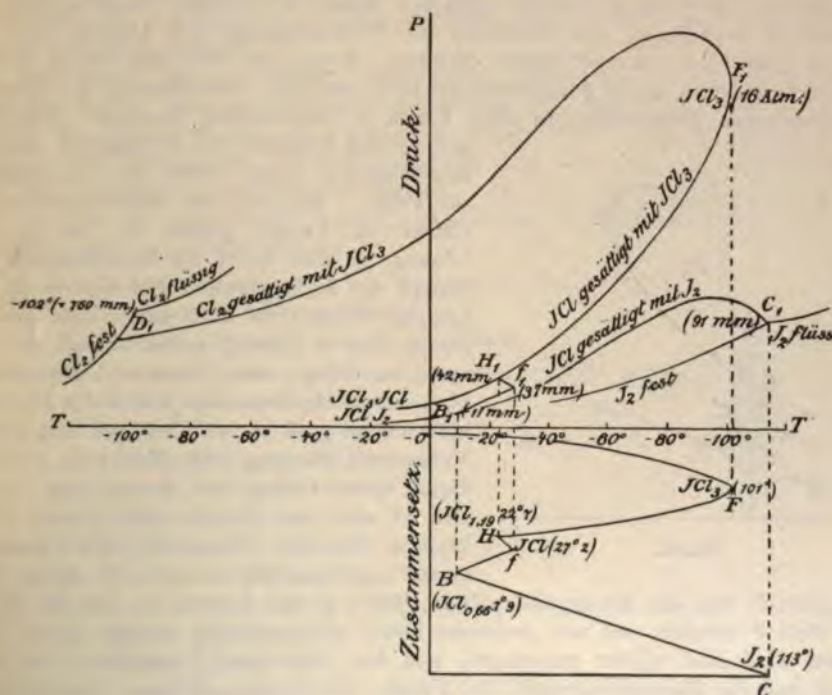


Fig. 43.

tration der Lösung die Kurve  $HF$  entlang fortschreitet, nimmt der Dampfdruck der Kurve  $H_1F_1$  entsprechend zu.  $F_1$  repräsentiert den Dampfdruck beim Schmelzpunkt des Jodtrichlorids. Wenn die Konzentration des Chlors in der Lösung von diesem Punkt an kontinuierlich erhöht wird, so nimmt der Dampfdruck erst zu und dann ab, bis der eutektische Punkt für Jodtrichlorid und festes Chlor ( $D_1$ ) erreicht wird. Die Kurven  $Cl_2$  fest und  $Cl_2$  flüssig sind die Sublimationskurve und die Verdampfungskurve des Chlors und der Schmelzpunkt des Chlors ist  $-102^\circ$ .

Vollständige Messungen des Dampfdruckes der verschiedenen Systeme von reinem Jod bis zu reinem Chlor sind zwar nicht ausgeführt worden, aber die experimentellen Daten sind doch hinreichend, um die allgemeine Form der Kurven mit Sicherheit angeben zu können.

<sup>1)</sup> Dies ist hier anders als bei nichtflüchtigen Substanzen (S. 78). Im vorliegenden Falle wird der Partialdruck des Jods im Dampf durch Hinzufügen von Chlor erniedrigt, aber der Gesamtdruck wird erhöht.

**Bivariate Systeme.** — Über diese braucht nur wenig gesagt zu werden. Da zwei Komponenten vorhanden sind, so bilden zwei Phasen ein bivariantes System. Die Felder, in denen diese Systeme existieren können, sind in Fig. 43 und Fig. 44 zu sehen. Die letztere ist eine mehr schematische Darstellung eines Teils von Fig. 43.

- I. festes Jod—Dampf.
- II. Lösung—Dampf.
- III. festes Jodtrichlorid—Dampf.
- IV. festes Jodmonochlorid—Dampf.

Die Bedingungen für die Existenz dieser Systeme sind vielleicht am besten aus Fig. 44 zu ersehen. Da die Kurve  $B'A'$  die Drucke darstellt, unter denen das System Jod-Lösung-Dampf existieren kann, so bewirkt Vergrößerung des Volums (Verminderung des Druckes) die Verflüchtigung der Lösung und das System festes Jod—Dampf bleibt erhalten. Wenn wir also von einem System ausgehen, welches durch  $a$  repräsentiert wird, so führt Verminderung des Druckes bei konstanter Temperatur zu dem durch  $x$  dargestellten Zustand. Eine Zu-

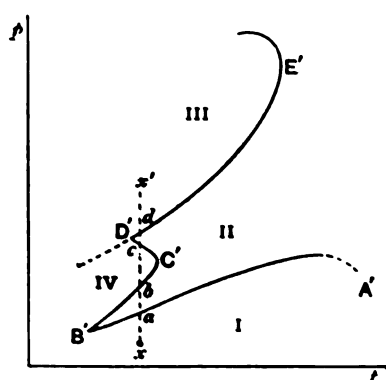


Fig. 44.

nahme des Druckes bei  $a$  dagegen hat die Kondensation eines Teils der Dampfphase zur Folge. Da jetzt die Konzentration des Chlors im Dampf größer ist als in der Lösung, so wird durch die Kondensation von Dampf die Konzentration des Chlors in der Lösung erhöht. Es muß daher eine gewisse Menge Jod in Lösung gehen, damit die Zusammensetzung der letzteren unverändert bleibt<sup>1)</sup>. Wenn daher das Volum des Dampfes hinreichend groß ist, so wird eine fortgesetzte Volumverminderung schließlich zum vollständigen Verschwinden des festen Jods führen, und es wird nur Lösung und Dampf übrig bleiben (Feld II). Wenn mit der Volumverminderung fortgefahren wird, so nimmt der

Dampfdruck und die Konzentration des Chlors in der Lösung zu, bis der Druck den Wert  $b$  erreicht hat und Jodmonochlorid ausgeschieden werden kann. Das System wird also wieder univariant, und bei konstanter Temperatur muß der Druck und die Zusammensetzung der Phasen unverändert bleiben. Verminderung des Volums wird daher keine Erhöhung des Druckes, sondern Verdichtung von Dampf bewirken, und da dieser reicher an Chlor ist als die Lösung, so muß sich weiter festes Jodmonochlorid ausscheiden, damit die Konzentration der Lösung unverändert bleibt<sup>2)</sup>. Das Resultat wird also sein, daß wir schließlich das bivariate System festes Jodmonochlorid-Dampf erhalten.

Eine eingehende Diskussion der Wirkung einer fortgesetzten Druckerhöhung wird nicht erforderlich sein. Nach dem Gesagten und mit Hilfe von Fig. 44 ist leicht einzusehen, daß dies nach und nach zu dem univarianten System (c) Jodmonochlorid-Lösung-Dampf, dem bivalenten System Lösung-Dampf (Feld II) dem univarianten System (d) Jodtrichlorid-Lösung-Dampf und dem bivalenten System  $a'$  Jodtrichlorid-Dampf, führen würde. Wenn die Versuchstemperatur

<sup>1)</sup> Es wird vorausgesetzt, daß die Verminderung des Volums bei konstanter Temperatur vorgenommen wird. Der Druck und die Zusammensetzung der Phasen muß daher unverändert bleiben und nur die absoluten und relativen Mengen derselben können eine Änderung erfahren.

<sup>2)</sup> Wenn Punkt  $a$  ist das Verhältnis von Chlor zu Jod in der Lösung kleiner als im Monochlorid, so wird durch die Ausscheidung des letzteren der durch Verdichtung des Dampfes getriebene Überschuß von Chlor zuzunehmen.



dem Schmelzpunkt des Monochlorids liegt, so entstehen die Systeme, in denen diese Verbindung vorkommt, nicht.

**Schwefeldioxyd und Wasser.** — In dem soeben studierten Fall haben wir gesehen, daß sich die Komponenten zu bestimmten Verbindungen vereinigen können, welche stabile Schmelzpunkte besitzen. Die Gleichgewichtskurven haben in ihrem allgemeinen Aussehen Ähnlichkeit mit denen von Calciumchlorid und Wasser oder von Ferrichlorid und Wasser. Bei Schwefeldioxyd und Wasser wird jedoch der Schmelzpunkt der entstehenden Verbindung nicht realisiert, weil das System in ein anderes übergeht. Rückläufige Konzentrations- und Temperaturkurven kommen daher hier nicht vor, aber die Kurven zeigen bei Umwandlungspunkten Knicke oder plötzliche Änderungen in der Richtung, wie bei den von Natriumsulfat und Wasser gebildeten Systemen. Der Fall von Schwefeldioxyd und Wasser ist auch deshalb von Interesse, weil zwei flüssige Phasen entstehen können.

Die festen Phasen, welche vorkommen, sind Eis, Schwefeldioxydhydrat,  $7\text{H}_2\text{O}$ , die flüssigen sind zwei Lösungen, von denen die eine Schwefeldioxyd, die andere Wasser im Überschuß enthält,  $\text{SO}_2 \approx x\text{H}_2\text{O}$  (Lösung I) und  $\approx y\text{SO}_2$  (Lösung II), die dampfförmigen sind Gemische von Schwefeldioxyd und Wasserdampf in wechselnden Mengen. Da zwei Komponenten vorhanden sind, so ist die Anzahl der möglichen Systeme eine beträchtliche. Nur die folgenden sind untersucht worden.

I. Invariante Systeme: Vier koexistierende Phasen.

- a) Eis, Hydrat, Lösung, Dampf.
- b) Hydrat, Lösung I, Lösung II, Dampf.

II. Univariante Systeme: Drei koexistierende Phasen.

- a) Hydrat, Lösung I, Dampf.
- b) Hydrat, Lösung II, Dampf.
- c) Lösung I, Lösung II, Dampf.
- d) Hydrat, Lösung I, Lösung II.
- e) Hydrat, Eis, Dampf.
- f) Eis, Lösung II, Dampf.
- g) Eis, Hydrat, Lösung II.

III. Bivariate Systeme: Zwei koexistierende Phasen.

- a) Hydrat, Lösung I.
- b) Hydrat, Lösung II.
- c) Hydrat, Dampf.
- d) Hydrat, Eis.
- e) Lösung I, Lösung II.
- f) Lösung I, Dampf.
- g) Lösung I, Eis.
- h) Lösung II, Dampf.
- i) Lösung II, Eis.
- k) Eis, Dampf.

**Druck-Temperaturdiagramm<sup>1)</sup>.** — Wenn Schwefeldioxyd in Wasser von Eis geleitet wird, so entsteht eine Lösung, und die Temperatur, bei welcher das System im Gleichgewicht mit der Lösung existieren kann, sinkt um so mehr, je mehr die Konzentration des Schwefeldioxyds zunimmt. Bei  $-2,6^\circ$  wird jedoch ein eutectischer Punkt erreicht, bei welchem sich festes Hydrat ausscheidet und das System invariant wird. Die Kurve *AB* (Fig. 45) repräsentiert daher den Schmelzpunkt des Systems Eis—Lösung II—Dampf, und *B* gibt die Temperatur und den Druck an, bei welchem das invariante System Eis—Hydrat—Lösung II—Dampf

<sup>1)</sup> ROOZEBOOM, Rec. trav. chim, Pays-Bas, 1884, 3, 29; 1885, 4, 65; Zeitschr. phys. Chem., 1888, 2, 450.

existieren kann. Bei diesem Punkt ist die Temperatur  $-2,6^{\circ}$  und der Druck 21,1 cm. Wenn diesem System Wärme entzogen wird, so erstarrt die Lösung schließlich zu einem Gemisch von Eis und Hydrat und man erhält das univariante System Eis—Hydrat—Dampf. Der Dampfdruck dieses Systems ist abwärts bis zu einer Temperatur von  $-9,5^{\circ}$  ermittelt worden. Er ist bei dieser Temperatur gleich 15 cm. Die Drucke für dieses System werden durch die Kurve  $BC$  angegeben. Wenn beim Punkt  $B$  das Volum verkleinert wird, so muß der Druck konstant bleiben, aber die relativen Mengen der verschiedenen Phasen erleiden eine Änderung. Wenn geeignete Mengen derselben anwesend sind, so führt die Volumverkleinerung schließlich zur vollständigen Verdichtung der Dampfphase und es bleibt das univariante System Eis—Hydrat—Lösung übrig. Die Gleichgewichtstemperatur dieses Systems ändert sich mit dem Druck, aber ebenso wie beim Schmelzpunkt einer einfachen Substanz bewirken große Druckunterschiede nur verhältnismäßig geringe Änderungen in der Gleichgewichtstemperatur. Die Änderung des kryohydratischen Punktes mit dem Druck wird durch die Linie  $BE$  repräsentiert. Die wirklichen Werte sind nicht ermittelt worden, aber die Kurve

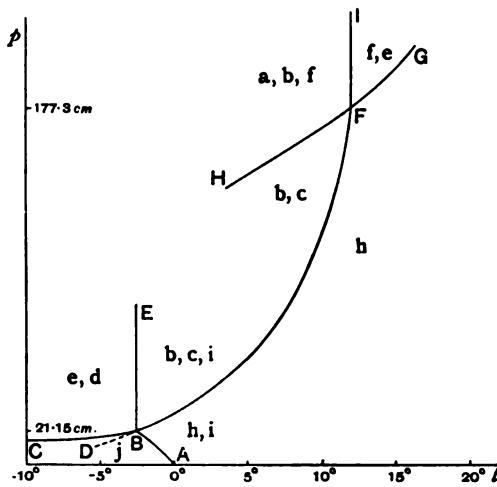


Fig. 45.

invariantes System, welches aus Hydrat, Lösung I, Lösung II und Dampf besteht. Wir haben hier also die Erscheinung des Schmelzens unter der Lösung wie in dem Falle von Succinonitril und Wasser (S. 76). Dieser Punkt ist in der Figur mit  $F$  bezeichnet. Die Temperatur bei diesem Punkt ist  $12,1^{\circ}$  und der Druck 177,3 cm. Die Grenzen der stabilen Existenz des Hydrats sind daher  $-2,6^{\circ}$  und  $12,1^{\circ}$ . Trotzdem ist die Kurve  $FB$  abwärts auch im metastabilen Gebiet bis zu einer Temperatur von  $-6^{\circ}$  verfolgt worden, bei welcher Temperatur auch ohne Impfung schließlich doch das stabilere Eis entsteht.

Solange die vier Phasen Hydrat, zwei flüssige Phasen und Dampf anwesend sind, ist der Zustand des Systems vollkommen bestimmt. Durch Änderung der Bedingungen kann man jedoch eine der Phasen zum Verschwinden bringen, und man erhält dann ein univariantes System. Wenn man z. B. die Dampfphase verschwinden läßt, so bleibt das univariante System Lösung I—Lösung II—Hydrat übrig, und die Temperatur, bei welcher dieses System im Gleichgewicht ist, ändert sich mit dem Druck. Dies wird durch die Kurve  $FI$  dargestellt. Unter einem Druck von 225 Atm. ist die Gleichgewichtstemperatur  $17,1^{\circ}$ . Durch Zunahme des Druckes wird also die Temperatur, bei welcher die drei Phasen koexistieren können, erhöht.

muß gegen die Druckachse geneigt sein, weil das Schmelzen wie bei reinem Eis von einer Volumverminderung begleitet ist.

Ein viertes univariantes System kann bei  $B$  entstehen. Dies ist das System Hydrat—Lösung—Dampf. Die Bedingungen für die Existenz dieses Systems werden durch die Kurve  $BF$  repräsentiert, die daher als die Dampfdruckkurve der gesättigten Lösung von Schwefeldioxydheptahydrat in Wasser betrachtet werden kann. Diese Kurve kann nicht, wie die Kurve für festes Jodtrichlorid—Lösung—Dampf bis zum Schmelzpunkt des Hydrats verfolgt werden. Bevor dieser Punkt erreicht wird, erscheint eine zweite flüssige Phase, und es entsteht ein



Wenn dem invarianten System bei  $F$  Wärme zugeführt wird, so verschwindet die feste Phase und es entsteht das univariante System Lösung I—Lösung II—Dampf. In diesem System nimmt der Dampfdruck mit steigender Temperatur der Kurve  $F$  entsprechend zu. Ein solches System ist analog dem Fall von Äther und Wasser oder zwei anderen teilweise mischbaren Flüssigkeiten (S. 64). Wenn die Temperatur ändert, so erleidet die Zusammensetzung der beiden flüssigen Phasen eine Änderung. Dieses System ist jedoch nicht eingehend studiert worden.

Die vierte Kurve, welche beim vierfachen Punkt  $F$  endet, stellt den Dampfdruck des Systems Hydrat—Lösung I—Dampf dar ( $FH$ ). Diese Kurve ist bis zu einer Temperatur von  $0^\circ$  verfolgt worden. Der Druck bei diesem Punkt ist 13 cm. Die metastabile Verlängerung von  $GF$  ist ebenfalls bestimmt worden. Diese Kurve muß nach der Theorie unter  $FH$  liegen. Der Unterschied im Druck für die beiden Kurven lag jedoch innerhalb der Fehlergrenzen des Versuchs.

**Bivariate Systeme.** — Die verschiedenen bivarianten Systeme aus zwei Phasen, welche innerhalb der Temperatur- und Druckgrenzen der Figur 45 existieren können, sind auf S. 105 aufgeführt. Die Bedingungen, unter denen diese Systeme existieren können, werden durch die Felder der Figur angegeben, und die Felder der verschiedenen bivarianten Systeme sind mit denselben Buchstaben bezeichnet wie in der Übersicht auf S. 105. Bei Systemen aus einer Komponente läßt, wie wir früher fanden (S. 18), das Feld zwischen zwei Kurven die Bedingungen an, unter denen die den beiden Kurven gemeinsame Phase existieren kann. Ebenso existiert bei Systemen aus zwei Komponenten ein bivalentes Zweiphasensystem in demjenigen Feld, welches von den beiden Kurven, die die beiden Phasen gemeinsam haben, eingeschlossen wird<sup>1)</sup>. Wie man sieht, kann dasselbe bivariate System in mehr als einem Feld vorkommen.

Wie aus der Figur zu ersehen ist, können in dem Feld  $HFI$  drei verschiedene bivariate Systeme existieren. Welches derselben man erhält, hängt von den relativen Mengen der verschiedenen Phasen in dem univarianten oder bivalenten System ab. Geht man z. B. von einem System aus, welches durch einen Punkt der Kurve  $HF$  dargestellt wird, so bewirkt Volumverminderung bei konstanter Temperatur, daß sich ein Teil des Dampfes verdichtet, der reich an Schwefeldioxyd ist. Da dies die Konzentration des Schwefeldioxyds in der Lösung erhöhen würde, so muß ein Teil des Hydrats (welches relativ arm an Schwefeldioxyd ist) in die Lösung gehen. Wenn daher die Menge des anwesenden Hydrats relativ sehr klein ist, so muß die Kompression schließlich zur Bildung des Systems  $f$ , Lösung I—Dampf, führen. Wenn anderseits der Dampf in relativ geringer Menge anwesend ist, so verschwindet diese Phase zuerst und man erhält das bivariate System  $a$ , Hydrat—Lösung I. Wenn wir endlich von dem invarianten System bei  $F$  ausgehen, so wird die Kompression bewirken, daß sich Dampf verdichtet, während die Zusammensetzung der beiden Lösungen unverändert bleibt. Wenn der Dampf vollständig verschwunden ist, so bleibt das univariante System Hydrat—Lösung I—Lösung II übrig. Wenn dann der Druck noch weiter gesteigert wird, während die Temperatur unterhalb  $12^\circ$  gehalten wird, so muß mehr und mehr Hydrat entstehen auf Kosten der beiden flüssigen Phasen (weil  $12^\circ$  die untere Grenze für die Koexistenz der beiden flüssigen Phasen ist), und wenn die Menge der Lösung I (die überschüssiges Schwefeldioxyd enthält) relativ klein ist, so wird sie früher als die Lösung II verschwinden und man wird das bivariate System Hydrat—Lösung II (bivalentes System  $b$ ) erhalten.

In ähnlicher Weise läßt sich die Bildung der anderen bivarianten Systeme erklären.

<sup>1)</sup> Ein Feld wird von zwei Kurven „eingeschlossen“, wenn diese miteinander einen Winkel bilden, der kleiner als  $180^\circ$  ist.



Ein ähnliches Verhalten wie Schwefeldioxyd und Wasser zeigen auch Chlor und Wasser oder Brom und Wasser. Diese Systeme sind jedoch nicht genauer untersucht worden<sup>1)</sup>. Bei Bromwasserstoff und Wasser und bei Chlorwasserstoff und Wasser entsteht ein Hydrat,  $\text{HBr} \cdot 2 \text{H}_2\text{O}$  und  $\text{HCl} \cdot 2 \text{H}_2\text{O}$ , welches, wie Jodtrichlorid, einen echten Schmelzpunkt besitzt. In diesen Fällen erhält man daher eine rückläufige Kurve. Ebenso wie bei den Jodchloriden der obere Zweig der rückläufigen Kurve in einem eutektischen Punkt endete, endet auch bei dem Hydrat  $\text{HBr} \cdot 2 \text{H}_2\text{O}$  der obere Zweig der Kurve in einem eutektischen Punkt, bei welchem das System Dihydrat-Monohydrat-Lösung-Dampf existieren kann. Bevor der Schmelzpunkt des Monohydrats erreicht wird, entstehen wie bei Schwefeldioxyd und Wasser zwei flüssige Phasen.

---

<sup>1)</sup> ROOZEBOOM, Zeitschr. phys. Chem. a. a. O.

## Zehntes Kapitel.

### Feste Lösungen. Mischkristalle.

**Allgemeines.** — Gasförmige und flüssige Lösungen sind allgemein bekannt. Gase können sich in allen Verhältnissen mischen und homogene Lösungen bilden. Auch feste Stoffe „gehen in Lösung“ und bilden eine homogene flüssige Phase, wenn sie mit Flüssigkeiten in Berührung gebracht werden. Weniger leicht zu verstehen ist der Begriff der festen Lösung, und die Existenz sowie das Verhalten fester Lösungen sind trotz ihres häufigen Vorkommens und ihrer Wichtigkeit verhältnismäßig wenig bekannt.

Dies hat seinen Grund ohne Zweifel zum Teil in dem Umstand, daß die Bezeichnung „feste Lösung“ erst in neuerer Zeit in Gebrauch gekommen ist<sup>1)</sup>, zum Teil aber vielleicht auch in dem Mangel einer scharfen Definition des Begriffs „Lösung“ selbst. Eine Lösung ist, wie bereits gesagt wurde (S. 57) eine homogene Phase, deren Zusammensetzung sich innerhalb gewisser Grenzen stetig ändern kann. Die Definition enthält also keine Bedingung hinsichtlich des Aggregatzustandes der Substanzen. Feste Lösungen sind also homogene feste Massen, deren Zusammensetzung sich innerhalb gewisser Grenzen stetig ändern kann. Wir haben früher gefunden, daß die Grenzen, innerhalb deren sich die Zusammensetzung ändern kann, bei Flüssigkeiten beschränkter sind als bei Gasen. Bei festen Stoffen sind die Grenzen der Mischbarkeit im allgemeinen noch beschränkter. Beispiele vollkommener Mischbarkeit sind jedoch auch bei festen Substanzen nicht unbekannt.

Feste Lösungen sind seit langer Zeit bekannt, wenn sie auch nicht mit diesem Namen bezeichnet wurden. So beruhen z. B. die Erscheinungen der „Okklusion“ von Gasen in Metallen und anderen Substanzen (Okklusion von Wasserstoff durch Palladium, von Wasserstoff durch Eisen) auf der Bildung von festen Lösungen. Dasselbe gilt wahrscheinlich auch von den Erscheinungen der „Adsorption“, z. B. der Entfernung organischer Farbstoffe durch Holzkohle, wenn auch in diesem Falle die Oberflächenspannung ohne Zweifel eine wichtige Rolle spielt<sup>2)</sup>.

Als Beispiele der Lösung von Gasen in festen Körpern mögen (außer den bereits erwähnten Erscheinungen der Okklusion) die wasserhaltigen Silikate und die Zeolithe erwähnt werden. Bei der Entwässerung bleiben diese kristallinen Substanzen klar und durchsichtig, und der Druck des Wasserdampfes, den sie abgeben, ändert sich stetig mit dem Grade der Hydratisierung oder der Konzen-

<sup>1)</sup> VAN'T HOFF, Zeitschr. phys. Chem. 1890, 5, 323.

<sup>2)</sup> BANCROFT hat vorgeschlagen, mit dem Worte „Okklusion“ nur die Bildung fester Lösungen zu bezeichnen und das Wort „Adsorption“ nur für Wirkungen zu benutzen, die ursprünglich von der Oberflächenspannung herrühren. Eine solche Unterscheidung würde aber wahrscheinlich sehr schwer durchzuführen sein, da das Verhalten adsorbierter Substanzen große Ähnlichkeit mit Substanzen in fester Lösung hat, wenn auch die Adsorption hauptsächlich von der Oberflächenspannung herrührt und namentlich die quantitativen Verteilungsgesetze bei Adsorptionen verwickelter sind als bei Bildung fester Lösungen. Vgl. OSTWALD, Lehrb. d. allgem. Chemie. 1906 II. [3], 217 sowie BREDIGs Handbuch d. angewandten physikal. Chemie, Band „Kolloide“ von A. MÜLLER.

tration des Wassers in dem Mineral<sup>1)</sup>. Beispiele der Lösung von festen Stoffen in festen Stoffen bilden die Zementation des Eisens durch Holzkohle, die Bildung von Glas und das Zusammenkristallisieren isomorpher Substanzen.

Obwohl wir hier die Gläser als „feste Lösungen“ bezeichnen, muß doch hervorgehoben werden, daß das Wort „fest“ nur im alltäglichen Sinne gebraucht wird. Streng genommen sind die Gläser als unterkühlte und sehr zähe Flüssigkeiten zu betrachten (s. auch S. 32, Fußnote).

Bei der Diskussion der Gleichgewichte in Systemen, die eine feste Lösung enthalten, ist es sehr wesentlich, sich zu erinnern, daß eine feste Lösung ebenso wie eine flüssige Lösung nur eine Phase, und zwar eine Phase von veränderlicher Zusammensetzung bildet.

**Lösung von Gasen in festen Stoffen.** — Über diesen Gegenstand ist wenig gearbeitet worden. Die Untersuchungen beschränken sich hauptsächlich auf die Erscheinungen der Okklusion oder Adsorption von Gasen durch Holzkohle<sup>2)</sup>. Wir wollen deshalb nur kurz und im allgemeinen das Verhalten angeben, welches wir nach der Phasenregel erwarten müssen<sup>3)</sup>.

Bei den Systemen, die von einer gasförmigen und einer festen Phase gebildet werden, sind drei Hauptfälle zu unterscheiden:

I. Das Gas wird von dem festen Körper nicht absorbiert, aber wenn der Druck einen gewissen Wert erreicht, so kann chemische Vereinigung der beiden Komponenten stattfinden.

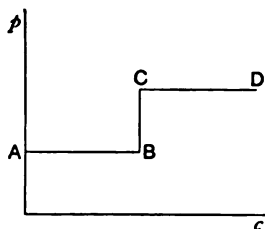


Fig. 46.

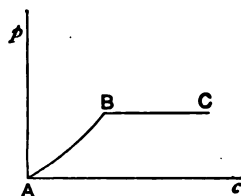


Fig. 47.

Die graphische Darstellung eines solchen Systems ist in Fig. 46 gegeben. Die Ordinaten geben den Gasdruck  $p$  und die Abszissen die Konzentration  $c$  der gasförmigen Komponente in der festen Phase an. Da keine feste Lösung entsteht, so bleibt die Konzentration des Gases in dem festen Körper solange Null, bis der Druck den Punkt A erreicht hat. Bei diesem Punkt findet chemische Vereinigung statt. Jetzt sind drei Phasen vorhanden, nämlich feste Komponente, feste Verbindung und Dampf. Das System ist also univariant, und wenn die Temperatur konstant gehalten wird, so ist auch der Dampfdruck konstant, einerlei welches die Menge der gebildeten Verbindung ist, d. h. einerlei welches die relativen Mengen des Gases und des festen Körpers sind. Dies wird durch die Linie AB angezeigt. Wenn die feste Komponente vollständig verschwunden ist, so hört das System auf, univariant zu sein, und wenn keine Absorption stattfindet, so nimmt der Druck wieder zu, wie es durch BC angegeben wird. Wenn eine zweite Verbindung entstehen kann, so erhält man eine zweite  $pc$ -Linie von derselben Form wie die erste. Zu dieser Gruppe gehören die Salzhydrate (7. Kap.).

II. Das Gas kann absorbiert werden und kann auch eine Verbindung bilden.

Wenn Absorption von Gas unter Bildung einer festen Lösung stattfindet, so ist das System bivariant, weil es aus zwei Phasen, Lösung und Dampf, besteht.

<sup>1)</sup> TAMMANN, Wied. Ann. 1897, 63, 16; Zeitschr. phys. Chem. 1898, 27, 323.

<sup>2)</sup> Siehe z. B. CHAPPUIS, Wied. Ann. 1881, 12, 161; JOULIN, Ann. chim. phys. 1881, [5], 398; KAYSER, Wied. Ann. 1881, 12, 526.

<sup>3)</sup> HOITSEMA, Zeitschr. phys. Chem. 1895, 17, 1.



er ändert sich auch bei konstanter Temperatur der Druck mit der Konzentration der gasförmigen Komponente in der festen Phase. Dies wird durch die Gerade  $AB$  in Fig. 47 ausgedrückt. Wenn aber der Druck einen bestimmten Wert erreicht hat, so kann eine chemische Verbindung entstehen, und da jetzt drei Phasen anwesend sind, so ist das System univariant geworden und bei konstanter Temperatur ist dann auch der Druck konstant, wie es die Linie  $BC$  anzeigt.

III. Es findet Absorption von Gas statt, aber bei einer bestimmten Konzentration kann die feste Lösung in zwei nicht mischbare feste Lösungen zerfallen.

Wir haben im 6. Kapitel gesehen, daß zwei Flüssigkeiten zwei nicht mischbare Lösungen bilden können, und man hat, wie wir sogleich sehen werden, gefunden, daß dasselbe auch für feste Lösungen gilt. Wenn aber zwei nicht mischbare Lösungen neben der Gasphase entstehen, so wird das System univariant, und bei konstanter Temperatur wird die  $p_c$ -Kurve, wie bei der Bildung einer Verbindung (vgl. S. 54), eine gerade Linie. Das Verhalten dieses Systems wird ebenfalls durch Fig. 47 dargestellt.

**Palladium und Wasserstoff.** — Die Erscheinung der Absorption von Wasserstoff, der GRAHAM den Namen Okklusion beilegte, ist von verschiedenen Forschern studiert worden. Nach Ansicht von GRAHAM entsteht keine Verbindung, sondern das Gas erleidet eine sehr starke Kondensation, zeigt das Verhalten eines Metalls (welches GRAHAM als Hydrogenium zeichnete) und bildet mit dem Palladium eine homogene Legierung. Aus späteren Untersuchungen, namentlich denjenigen von ROOST und HAUTEFEUILLE<sup>1)</sup> schien hervorgehen, daß eine bestimmte chemische Verbindung von der Formel  $Pd_2H$  entsteht, was aber durch weitere Untersuchungen nicht bestätigt worden ist<sup>2)</sup>.

ROOZEBOOM und HOITSEMA<sup>3)</sup> suchten die Frage nach der Natur der Erscheinung durch endgültig zu entscheiden, daß sie ein Gleichgewicht zwischen Wasserstoff und Palladium auf Grund der oben gegebenen Klassifikation untersuchten. Wenn eine Verbindung entsteht, so wird eine Volumverminderung keine Druckerhöhung bewirken, sondern nur eine Zunahme der Menge der Verbindung.

Da dies der einzige Fall von Gasabsorption ist, der von diesem Gesichtspunkt aus genau studiert worden ist, so sollen die Ergebnisse der Untersuchung hier kurz angeführt werden, obgleich diese nicht so klar und unzweideutig sind, wie es wünschenswert wäre.

Die genannten Gelehrten untersuchten die Änderung des Druckes des Wasserstoffs mit der bei verschiedenen Temperaturen vom Metall absorbierten Menge, und einige ihrer Resultate, die für alle typisch sind, sind in Fig. 48 graphisch dargestellt. Die Kurven geben die Änderung des Gasdruckes mit der Konzentration des Wasserstoffs im Palladium an, und zwar für die Temperaturen 120°, 170° und 200°. Die Kurven bestehen, wie man sieht, aus drei Teilen, einem aufsteigenden Teil, der allmählich und kontinuierlich in einen nur wenig geneigten mittleren Teil übergeht, der selbst wieder ohne Knick in eine zweite

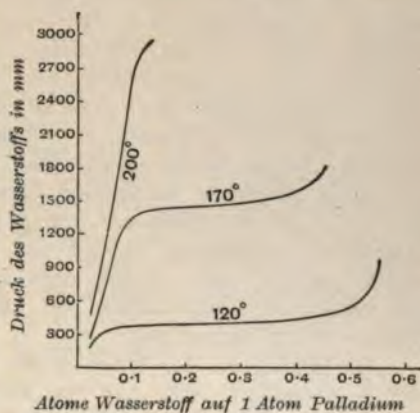


Fig. 48.

<sup>1)</sup> Ann. chim. phys. 1874, [5] 2, 279.

<sup>2)</sup> HOITSEMA, Zeitschr. phys. Chem. 1895, 17, 1; DEWAR, Phil. Mag. 1874, [4], 47, 324; MOND, RAMSAY u. SHIELDS, Proc. Roy. Soc. 1897, 62, 290.

<sup>3)</sup> A. a. O.



schnell ansteigende Kurve übergeht. Dies ist, wie aus der Figur zu ersehen ist die allgemeine Form der Kurve. Der mittlere Teil ist jedoch bei verschiedenen Temperaturen von verschiedener Länge, und zwar ist er bei höheren Temperaturen kürzer als bei niedrigeren.

Wie sind nun diese Kurven zu interpretieren? Der erste und der dritte Teil der Kurven stellen bivariate zweiphasige Systeme dar, die aus einer festen Lösung und einem Gas bestehen. Sie entsprechen also der Kurve *AB* in Fig. 47. Wenn der mittlere Teil horizontal wäre, so würde er entweder die Bildung einer Verbindung oder zweier nicht mischbarer fester Lösungen anzeigen. Wenn eine Verbindung  $\text{Pd}_2\text{H}$  entstände, so würde der mittlere Teil bei allen Temperaturen bei demselben Wert der Konzentration enden, nämlich bei demjenigen Wert, welcher dem Verhältnis von einem halben Atom Wasserstoff zu einem Atom Palladium entspricht. Dies ist jedoch, wie aus der Figur zu ersehen ist, nicht der Fall. Je höher die Temperatur ist, desto niedriger ist die Konzentration, bei welcher der mittlere Teil der Kurve in den Endteil übergeht. Ein solches Verhalten würde aber mit der Annahme in Einklang stehen, daß zwei Lösungen entstehen, deren „Mischbarkeit“, wie bei den flüssigen Lösungen von Phenol und Wasser (S. 60), mit der Temperatur zunimmt. Allein auch die Annahme, daß zwei feste Lösungen entstehen, erklärt die Tatsachen nicht vollständig, obgleich sie mehr befriedigt als die Annahme der Bildung einer Verbindung. Wenn zwei feste Lösungen entständen, so müßte die Druckkurve horizontal sein, was aber nicht der Fall ist. Die Abweichung von der horizontalen Richtung rührt auch wahrscheinlich nicht von Verunreinigungen im Gas oder im Metall her, sondern ist allem Anscheine nach eine Eigentümlichkeit des Systems. Ferner bleibt es unerklärt, daß die drei Teile der Kurve allmählich, und nicht plötzlich, ineinander übergehen. HOITSEMA hat die Ansicht ausgesprochen, daß die Okklusion von Wasserstoff durch Palladium ein Prozeß kontinuierlicher Absorption ist und daß die eigentümliche Form der Kurve — der gerade mittlere Teil — möglicherweise dem Umstand zuzuschreiben ist, daß das Gas selbst bei Temperaturen weit über der kritischen Temperatur des flüssigen Wasserstoffs verdichtet wird.

Die Okklusion des Wasserstoffs durch Palladium ist also noch nicht vollständig aufgeklärt, aber das von HOITSEMA beobachtete Verhalten widerspricht jedenfalls der Annahme, daß eine bestimmte chemische Verbindung entsteht<sup>1)</sup>.

### Lösungen von festen Körpern in festen Körpern. Mischkristalle.

Die Lösungen von festen Körpern in festen Körpern können entweder amorph oder kristallinisch sein. Beispiele der ersteren sind bereits erwähnt worden. Die Gläser gehören zu dieser Gruppe. Wir wollen uns jedoch nicht mit den amorphen festen Lösungen beschäftigen, sondern wir wollen unsere Aufmerksamkeit auf die kristallinen festen Lösungen richten.

Die Veranlassung zur Einführung der Bezeichnung „feste Lösung“ durch VAN'T HOFF gab die Entdeckung einer Anzahl von Abweichungen von dem RAOULT-VAN'T HOFFSchen Gesetze für die Erniedrigung des Gefrierpunktes durch gelöste Substanzen. In allen Fällen war die Erniedrigung zu klein. In einigen Fällen kann sogar der Gefrierpunkt erhöht werden. Um diese Unregelmäßigkeiten zu erklären, nahm VAN'T HOFF an, daß die gelöste Substanz zugleich mit dem festen Lösungsmittel auskristallisiert, und er zeigte, daß durch diese Annahme die Abweichungen von dem Gesetz der Gefrierpunktserniedrigung ihre

<sup>1)</sup> Es ist bemerkenswert, daß die Kurve für Wasserstoff und Palladium eine auffallende Ähnlichkeit mit der Kurve für die Entwässerung kolloidaler Substanzen hat, die, wie z. B. die Kieselsäure, absorbiertes Wasser enthalten (vgl. VAN BEMMELEN, Zeitschr. anorg. Chem. 1897—1900; ZACHARIAS, Zeitschr. phys. Chem. 1902, 39, 480).



klärung finden, indem das Gesetz unter der Voraussetzung aufgestellt worden ist, daß nur das reine Lösungsmittel aus der Lösung auskristallisiert<sup>1)</sup>.

Die „Mischkristalle“, welche so erhalten wurden und die VAN'T HOFF als verdünnte feste Lösungen bezeichnete, zeigten in ihrem Verhalten große Ähnlichkeit mit gewöhnlichen flüssigen Lösungen und befolgten die für diese geltenden Gesetze. Diese Gesetze gelten aber nicht mehr, wenn es sich um konzentrierte feste Lösungen handelt, die durch Zusammenkristallisieren isomorpher Substanzen entstehen und die unter dem Namen „isomorphe Mischungen“ bekannt sind. Es ist überhaupt bezweifelt worden<sup>2)</sup>, ob diese isomorphen Mischungen überhaupt als feste Lösungen angesehen werden dürfen, trotzdem keine scharfe Grenzlinie zwischen den beiden Klassen gezogen werden kann. Die Verschiedenheiten im Verhalten der beiden Gruppen sind mehr quantitativer als qualitativer Natur, und da wir es hier nur mit dem qualitativen Verhalten zu tun haben, wollen wir keinen Unterschied zwischen den kristallinen festen Lösungen und den isomorphen Mischungen machen, sondern wir wollen beide Klassen unter der Bezeichnung „Mischkristalle“ zusammenfassen.

Mischkristalle können entweder durch Sublimation<sup>3)</sup> oder aus einer flüssigen Phase entstehen, und im letzteren Falle können die Mischkristalle entweder aus einer Lösung in einem gewöhnlichen Lösungsmittel oder aus einem Gemisch der geschmolzenen Komponenten ausgeschieden werden. Bei dieser Art der Entstehung, mit der wir uns in diesem Kapitel ausschließlich beschäftigen werden, haben wir es mit den Schmelzkurven zweier Substanzen zu tun. Aber die flüssige Lösung ist nicht mit einer der reinen Komponenten, sondern mit einer festen Lösung oder einem Mischkristall im Gleichgewicht. Das einfache Schema (Fig. 29, S. 72), welches im Falle zweier Komponenten, die im reinen Zustand auskristallisieren, erhalten wurde, ist für den Fall der Bildung von Mischkristallen nicht mehr hinreichend. Aber mit Hilfe der Phasenregel können die verschiedenen möglichen Systeme klassifiziert werden, und es sind auch Beispiele der verschiedenen von der Phasenregel vorausgesagten Fälle experimentell studiert worden.

Wir wollen jetzt kurz die Bildung von Mischkristallen aus isomorphen Substanzen betrachten. Auf eine Betrachtung der Bildung von Mischkristallen isodimorpher Substanzen wollen wir wegen der Komplexität der Erscheinungen nicht eingehen<sup>4)</sup>.

### Bildung von Mischkristallen isomorpher Substanzen.

Zum Zwecke der Darstellung der hier gefundenen Beziehungen wollen wir ein Temperatur-Konzentrationsdiagramm<sup>5)</sup> benutzen, in welchem die Ordinaten die Temperatur und die Abszissen die Konzentration der Komponenten angeben. Da es zwei Lösungen sind, eine flüssige und eine feste, und da die Konzentration der Komponenten in diesen beiden Phasen im allgemeinen nicht dieselbe ist, so sind für jedes System zwei Kurven erforderlich, von denen sich die eine auf die flüssige und die andere auf die feste Phase bezieht. Die Temperatur, bei welcher sich feste Substanz aus der Lösung auszuscheiden beginnt, soll der

<sup>1)</sup> Zeitschr. phys. Chem. 1890, 5, 322.

<sup>2)</sup> KÜSTER, Zeitschr. phys. Chem. 1895, 17, 367; BODLÄNDER, Neues Jahrb. f. Mineralogie, 1898—99, Beilageband 12, 92. Vgl. aber OSTWALD, Lehrb. d. allgem. Chemie, 1906, II [3], 45.

<sup>3)</sup> BRUNI u. PADOA, Atti Accad. Lincei, 1902, [5], 11, 1, 565.

<sup>4)</sup> ROOZEBOOM, Zeitschr. phys. Chem. 1899, 30, 385; BRUNI, Rend. Accad. Lincei, 1898, 2, 138, 347. Vgl. BRUNI, Über feste Lösungen (Ahrensche Sammlung) und BODLÄNDER u. OSTWALD, a. a. O. Wegen der Bildung und Umwandlung von flüssigen Mischkristallen siehe A. C. DE KOCK, Zeitschr. phys. Chem. 1904, 48, 129.

<sup>5)</sup> Bei der Diskussion der verschiedenen Systeme, welche hier erhalten werden können, benutzte ROOZEBOOM (a. a. O.) die Änderung des thermodynamischen Potentials (S. 18) mit der Konzentration. Trotz der Vorteile, die eine solche Behandlung bietet, ist das von BRUNI benutzte Temperatur-Konzentrationsdiagramm adoptiert worden, weil es leichter zu verstehen ist und sich für eine elementare Behandlung des Gegenstandes besser eignet.



Erstarrungspunkt des Gemisches genannt werden, und die Temperatur, bei welcher die feste Lösung flüssig zu werden anfängt, soll der Schmelzpunkt der festen Lösung genannt werden. Die Temperatur-Konzentrationskurve für die flüssige Phase ist also die Erstarrungskurve und diejenige für die feste Lösung die Schmelzpunktskurve. Die letztere soll durch eine punktierte Linie dargestellt werden<sup>1)</sup>.

#### I. Die beiden Komponenten können eine kontinuierliche Reihe von Mischkristallen bilden.

Da, wie gesagt (S. 110), ein Mischkristall (eine feste Lösung) nur eine Phase bildet, so kann offenbar, wenn die beiden Komponenten im festen Zustand in allen Verhältnissen miteinander mischbar sind, nie mehr als eine feste Phase vorhanden sein, nämlich die feste Lösung oder der Mischkristall. Wenn die Komponenten im festen Zustand vollkommen mischbar sind, so sind sie auch im flüssigen Zustand vollkommen mischbar, und es kann daher nur eine flüssige Phase existieren. Das System kann bei keinem Punkt invariant werden, da niemals mehr als drei Phasen anwesend sein können. Wenn daher die Komponenten eine stetige Reihe von Mischkristallen bilden, so muß die Gleichgewichtskurve ebenfalls stetig sein. Von diesen Systemen gibt es drei Typen.

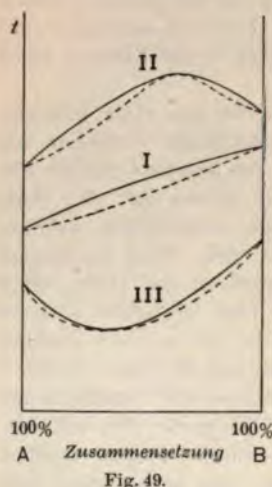


Fig. 49.

a) Die Erstarrungspunkte aller Gemische liegen zwischen den Gefrierpunkten der reinen Komponenten (Kurve I, Fig. 49).

**Beispiele.** — Diesen Kurventypus zeigen die Mischkristalle von Naphtalin (A) und  $\beta$ -Naphtol (B in Fig.)<sup>2)</sup>. Ein Zusatz von  $\beta$ -Naphtol zu Naphtalin erhöht den Erstarrungspunkt des letzteren, und die Erhöhung ist der zugesetzten Menge direkt proportional. Die Erstarrungskurve ist daher eine gerade Linie, welche die Schmelzpunkte der beiden Komponenten verbindet. Dies Verhalten bildet jedoch eine Ausnahme von der Regel, indem die Erstarrungskurve gewöhnlich oberhalb, zuweilen auch unterhalb der geraden Linie liegt, welche die Schmelzpunkte der reinen Komponenten verbindet. Die Erstarrungskurve von Gemischen von  $\alpha$ -Monochlorzimtaldehyd und  $\alpha$ -Monobromzimtaldehyd<sup>3)</sup> z. B. liegt oberhalb der geraden Linie, welche die Schmelzpunkte der reinen Komponenten (31,22° und 69,56°) verbindet, wie aus der folgenden Tabelle hervorgeht:

| Moleküle von Bromzimtaldehyd in 100 Mol. des Gemisches | Erstarrungspunkt | Abweichung von der geraden Linie |
|--|------------------|----------------------------------|
| 0,00   | 31,22°           | —                                |
| 10,48  | 37,28°           | 2,04°                            |
| 21,91  | 43,12°           | 3,50°                            |
| 30,07  | 46,80°           | 4,05°                            |
| 45,04  | 52,94°           | 4,45°                            |
| 62,16  | 58,82°           | 3,77°                            |
| 82,98  | 65,07°           | 2,03°                            |
| 93,50  | 67,91°           | 0,84°                            |
| 100,00   | 69,56°           | —                                |

<sup>1)</sup> Diese Kurven werden auch als Liquiduskurve und Soliduskurve bezeichnet.

<sup>2)</sup> KÜSTER, Zeitschr. phys. Chem. 1895, 17, 360.

<sup>3)</sup> KÜSTER, daselbst 1891, 8, 589.



**Schmelzpunktskurve.** — Auch diese Kurve muß wie die Gefrierpunktskurve stetig sein, und die Erstarrungspunkte der verschiedenen festen Lösungen liegen zwischen den Schmelzpunkten der reinen Komponenten. Dies wird durch die punktierte Linie in Fig. 49 I dargestellt. Die relative Lage der beiden Kurven, die mit Hilfe der Thermodynamik und auch auf experimentellem Wege abgeleitet werden kann, steht in allen Fällen in Einklang mit der folgenden Regel: Bei jeder Temperatur ist die Konzentration derjenigen Komponente, durch deren Hinzufügung der Gefrierpunkt **erniedrigt** wird, in der **flüssigen** Phase größer als in der festen; oder umgekehrt, die Konzentration derjenigen Komponente, durch deren Hinzufügung der Gefrierpunkt **erhöht** wird, ist in der **festen** Phase größer als in der flüssigen. Ein Beispiel für diese Regel bilden die bereits erwähnten Verbindungen Brom- und Chlorzimmtaldehyd. Wie aus der obigen Tabelle zu ersehen ist, erniedrigt die Hinzufügung von Chlorzimmtaldehyd den Schmelzpunkt der Bromverbindung. Der Regel entsprechend muß daher die Konzentration der Chlorverbindung in der flüssigen Phase größer sein als in der festen, was auch durch den Versuch bestätigt worden ist. Bei einer Temperatur von  $49,44^{\circ}$  enthält die flüssige Phase 58,52 Prozent, die feste Phase dagegen nur 52,57 Prozent Chlorzimmtaldehyd.

Hieraus folgt auch, daß beim Erkalten eines geschmolzenen Gemisches zweier Substanzen, die Mischkristalle bilden können, während der Ausscheidung der festen Substanz die Erstarrungstemperatur nicht konstant bleiben kann. Ebensowenig ist andererseits die Schmelztemperatur der festen Lösung konstant. Wenn man z. B. eine flüssige Lösung zweier Komponenten *A* und *B*, welche die dem Punkt *x* (Fig. 50) entsprechende Zusammensetzung hat, erkalten läßt, so bewegt sich das System die Linie *xx'* entlang. Bei der Temperatur des Punktes *a* werden die ersten Mischkristalle ausgeschieden, welche die dem Punkt *b* entsprechende Zusammensetzung haben.

Wenn die Temperatur weiter sinkt, so scheidet sich mehr und mehr feste Substanz aus, und da die feste Phase relativ reicher an der Komponente *B* ist, so wird die flüssige Phase relativ ärmer an dieser Komponente. Die Zusammensetzung der flüssigen Lösung schreitet infolgedessen die Kurve *ad* entlang fort, während sich die Zusammensetzung der festen Lösung auf der Kurve *bc* bewegt. Beim Punkt *c* erstarrt die Flüssigkeit vollständig<sup>1)</sup>.

Umgekehrt, wenn Mischkristalle von der Zusammensetzung und bei der Temperatur *x'* erhitzt werden, so beginnt das Schmelzen bei der Temperatur *c* und es entsteht zuerst ein Tropfen Flüssigkeit von der Zusammensetzung *d*. Bei weiterer Wärmezufuhr steigt die Temperatur der Masse, es schmilzt mehr von dem festen Körper und die Zusammensetzung der beiden Phasen ändert sich, wie es die Kurven *da* und *cb* angeben. Wenn die Temperatur den Punkt *a* erreicht, ist alles geschmolzen. Der Prozeß des Erstarrens oder Schmelzens erstreckt sich daher über das Temperaturintervall *ac*.

Selbst wenn die Erstarrungskurve eine gerade Linie ist, welche die Schmelzpunkte der reinen Komponenten verbindet, so fällt die Schmelzpunktskurve nicht notwendigerweise mit der Erstarrungskurve zusammen, wenn sie derselben auch

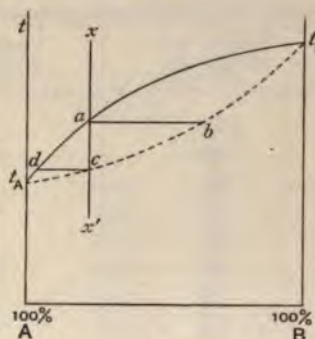


Fig. 50.

<sup>1)</sup> Hier soll bemerkt werden, daß das oben beschriebene Verhalten nur dann gilt, wenn die festen Mischkristalle sich genügend rasch verändern, um fortwährend im Gleichgewicht mit der Flüssigkeit zu sein, was nicht in jedem Falle eintritt (siehe REINDERS, Zeitschr. phys. Chem. 1900, **32**, 494; VAN WYK, Zeitschr. anorg. Chem. 1905, **48**, 25). Im letzteren Falle wird die vollständige Erstarrung nicht mehr bei der der Linie *dc* in Fig. 50 entsprechenden, sondern erst bei einer niedrigeren Temperatur sich vollziehen.

sehr nahe kommen kann. Ein vollständiges Zusammenfallen kann nur stattfinden, wenn die Schmelzpunkte der beiden Komponenten identisch sind. Ein Beispiel

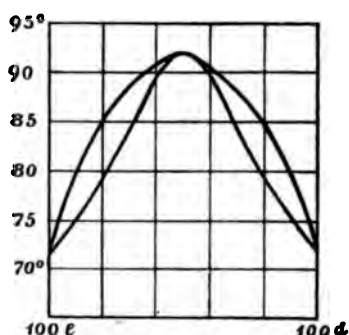


Fig. 51.

hiervon wird später gegeben werden (Kap. XII).

b) Die Erstarrungskurve geht durch ein Maximum (Kurve II, Fig. 49).

Diese Kurve bildet einen auffallenden Kontrast gegen die Gefrierpunktskurve, welche man erhält, wenn die reinen Komponenten auskristallisieren. Denn da die Kurve durch ein Maximum geht, so muß offenbar der Gefrierpunkt jeder der beiden Komponenten durch Hinzufügung der anderen Komponente erhöht werden.

**Beispiel.** — Es sind nur sehr wenig Fälle bekannt, die diesem Typus angehören. Das beste Beispiel ist die Erstarrungskurve von Gemischen von *d*- und *l*-Carvoxim<sup>1)</sup> ( $C_{10}H_{14}N \cdot OH$ ).

Die Erstarrungspunkte und Schmelzpunkte der verschiedenen Gemische von *d*- und *l*-Carvoxim sind in der folgenden Tabelle gegeben und in Fig. 51 graphisch dargestellt.

| Prozent von <i>d</i> -Carvoxim | Prozent von <i>l</i> -Carvoxim | Erstarrungspunkt | Schmelzpunkt |
|--------------------------------|--------------------------------|------------------|--------------|
| 100                            | 0                              | 72,0°            | 72,0°        |
| 99                             | 1                              | 72,4°            | —            |
| 98                             | 2                              | 73,0°            | —            |
| 95                             | 5                              | 75,4°            | 73,0°        |
| 90                             | 10                             | 79,0°            | 75,0°        |
| 80                             | 20                             | 84,6°            | 80,0°        |
| 70                             | 30                             | 88,2°            | 85,0°        |
| 60                             | 40                             | 90,4°            | —            |
| 50                             | 50                             | 91,4°            | 91,4°        |
| 25                             | 75                             | 86,4°            | 82,0°        |
| 8                              | 92                             | 77,4°            | —            |
| 1                              | 99                             | 72,4°            | —            |
| 0                              | 100                            | 72,0°            | 72,0°        |

In der Figur wird die Schmelzpunktskurve, d. h. die Temperatur-Konzentrationskurve für die Mischkristalle durch die untere Kurve repräsentiert. Da die Hinzufügung der Laevo-Form zur Dextro-Form den Schmelzpunkt der letzteren erhöht, so muß die Konzentration der Laevo-Form nach der gegebenen Regel in der festen Phase größer sein als in der flüssigen; und da die Hinzufügung der Dextro-Form den Schmelzpunkt der Laevo-Form erhöht, so muß die feste Phase reicher an Dextro-Carvoxim als an Laevo-Carvoxim sein. Beim Maximalpunkt berühren sich die Schmelzpunktskurve und die Erstarrungskurve. Bei diesem Punkt müssen daher die Zusammensetzungen der festen und der flüssigen Phase identisch sein. Beim Maximalpunkt wird also bei konstanter Temperatur die Flüssigkeit vollständig erstarren oder der feste Körper vollständig schmelzen. Daher besitzen Mischkristalle von der dem Maximalpunkt entsprechenden Zusammensetzung zum Unterschied von den anderen einen bestimmten, echten Schmelzpunkt und verhalten sich in dieser Hinsicht wie einfache Substanzen.

c) Die Erstarrungskurve geht durch ein Minimum (Kurve III, Fig. 49).

In diesem Falle erreicht der Erstarrungspunkt ebenso wie in denjenigen Fällen, in denen die reinen Komponenten ausgeschieden werden, ein Minimum. In dem

<sup>1)</sup> ADRIANI, Zeitschr. phys. Chem. 1900, 33, 469.



n Falle gab es jedoch zwei Gefrierpunktskurven, die sich in einem Punkt schneiden. Wenn sich dagegen Mischkristalle bilden, so gibt es eine kontinuierliche Kurve. Auf der einen Seite des Minimalpunktes ist die flüssige Phase relativ mehr, auf der anderen Seite relativ weniger von der einen Komponente als die feste Phase. Im Minimalpunkt entspricht die Zusammensetzung der beiden Phasen. Bei diesem Punkt tritt daher vollständiges Schmelzen oder vollständiges Schmelzen ein, ohne daß die Temperatur ändert, und die Mischkristalle haben daher einen bestimmten, echten Schmelz-

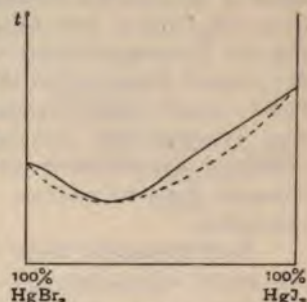


Fig. 52.

**Beispiel.** — Als Beispiel mögen die Mischkristalle von Merkuribromid und Merkurijodid dienen<sup>1)</sup>. Merkuribromid schmilzt bei  $236,5^{\circ}$  und Merkurijodid bei  $254^{\circ}$ . Der Mischkristall von bestimmtem, konstantem Schmelzpunkt (Minimalpunkt) enthält 59 Molekülprocente Merkuribromid. Sein Schmelzpunkt ist  $216,1^{\circ}$ . Die numerischen Daten sind in der folgenden Tabelle enthalten und in graphischer Form dargestellt.

| Mol. Proz. von $\text{HgBr}_2$ | Erstarrungspunkt | Schmelzpunkt    |
|--------------------------------|------------------|-----------------|
| 100                            | $236,5^{\circ}$  | $236^{\circ}$   |
| 90                             | $228,8^{\circ}$  | $226^{\circ}$   |
| 80                             | $222,2^{\circ}$  | $219^{\circ}$   |
| 70                             | $217,8^{\circ}$  | $217^{\circ}$   |
| 65                             | $216,6^{\circ}$  | $216^{\circ}$   |
| 60                             | $216,1^{\circ}$  | $215,5^{\circ}$ |
| 55                             | $216,3^{\circ}$  | $216^{\circ}$   |
| 50                             | $217,3^{\circ}$  | $216^{\circ}$   |
| 40                             | $221,1^{\circ}$  | $218^{\circ}$   |
| 30                             | $227,8^{\circ}$  | $223^{\circ}$   |
| 20                             | $236,2^{\circ}$  | $231^{\circ}$   |
| 10                             | $245,5^{\circ}$  | $242^{\circ}$   |
| 0                              | $255,4^{\circ}$  | $254^{\circ}$   |

#### Fractionierte Kristallisation der Mischkristalle

— Mit Hilfe der gegebenen Diagramme läßt man voraussagen, was das Resultat der fractionierten Kristallisation eines geschmolzenen Gemisches isomorpher Substanzen sein wird, die Mischkristalle bilden können. Wir wollen z. B. annehmen, ein geschmolzenes Gemisch von der Zusammensetzung  $x$  (Fig. 53) werde abgekühlt. Wenn dann die Temperatur bis  $a$  gefallen ist, so werden, wie wir bereits gesehen haben, Kristalle von der Zusammensetzung  $b$  ausgeschieden. Läßt man weiter abkühlen bis  $x'$  fallen und trennt die ausgeschiedene feste Substanz von der Flüssigkeit, so besitzen die so erhaltenen Kristalle die durch  $c$  angezeigte Zusammensetzung. Läßt man jetzt die

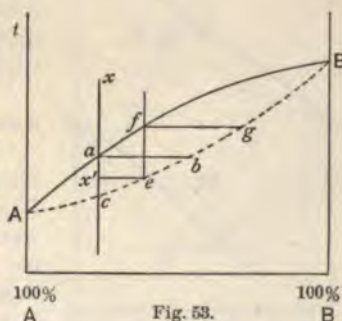


Fig. 53.

<sup>1)</sup> REINDERS, Zeitschr. phys. Chem. 1900, 32, 494.

Mischkristalle  $e$  vollständig schmelzen und die geschmolzene Masse erkalten, so wird Ausscheidung fester Substanz eintreten, wenn die Temperatur bis zum Punkt  $f$  gefallen ist. Die ausgeschiedenen Mischkristalle haben jetzt aber die durch  $g$  dargestellte Zusammensetzung, d. h. sie sind reicher an  $B$  als die ursprünglichen Mischkristalle. Wenn der Prozeß wiederholt wird, so nähert sich die Zusammensetzung der entstehenden Mischkristalle immer mehr derjenigen der reinen Komponente  $B$ , während sich die Zusammensetzung der flüssigen Phase immer mehr derjenigen der reinen Komponente  $A$  annähert. Durch eine systematische und methodische Wiederholung des Prozesses der fraktionierten Kristallisation können die Komponenten praktisch vollständig voneinander getrennt werden. Theoretisch ist eine absolut vollständige Trennung unmöglich.

Bei Substanzen, deren Erstarrungspunkt durch ein Maximum geht, führt daher, wie leicht einzusehen ist, die fraktionierte Kristallisation schließlich zu Mischkristallen, welche die Zusammensetzung des Maximalpunktes haben, während die flüssige Phase mehr und mehr die Zusammensetzung der reinen Komponente  $A$  oder der reinen Komponente  $B$  annimmt, je nachdem die ursprüngliche Zusammensetzung auf der der ersteren oder der der letzteren Komponente entsprechenden Seite des Maximalpunktes lag. In denjenigen Fällen dagegen, in denen die Kurven ein Minimum haben, ist die feste Phase, welche ausgeschieden wird, schließlich eine der beiden reinen Komponenten, während zuletzt eine flüssige Phase übrig bleibt, welche die Zusammensetzung des Minimalpunktes hat.

## II. Die beiden Komponenten bilden nicht eine kontinuierliche Reihe von Mischkristallen.

Dieser Fall entspricht demjenigen der partiellen Mischbarkeit von Flüssigkeiten. Die feste Komponente  $A$  kann die Komponente  $B$  „lösen“, bis die Konzentration der letzteren in den Mischkristallen einen gewissen Wert erreicht hat. Hinzufügung einer weiteren Menge von  $B$  ändert nicht die Zusammensetzung der Mischkristalle, sondern es entsteht daneben eine zweite feste Phase, die aus einer Lösung von  $A$  in  $B$  besteht. Bei diesem Punkt können die folgenden vier Phasen koexistieren: Mischkristalle, die einen Überschuß von  $A$  enthalten, Mischkristalle, die einen Überschuß von  $B$  enthalten, flüssige Lösung und Dampf. Dieser Punkt ist daher ein invarianter Punkt. Die Temperatur-Konzentrationskurven sind infolgedessen nicht mehr kontinuierlich, sondern sie zeigen einen Knick oder eine Diskontinuität bei demjenigen Punkt, bei welchem das invariante System entsteht.

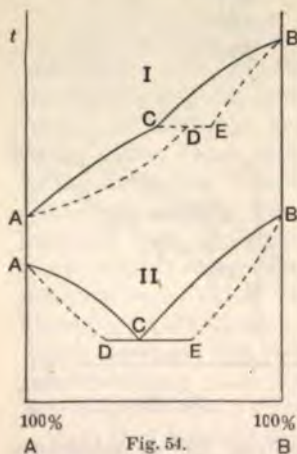


Fig. 54.

a) Die Erstarrungskurve besitzt einen Umwandlungspunkt (Kurve I, Fig. 54).

Wie aus der Figur zu ersehen ist, wird durch Hinzufügung von  $B$  der Schmelzpunkt von  $A$  erhöht. Daher ist nach der gegebenen Regel die Konzentration von  $B$  in den Mischkristallen größer als in der Lösung. Dies wird in der Figur durch die punktierte Kurve  $AD$  angedeutet. Andererseits wird durch Hinzufügung von  $A$  der Schmelzpunkt von  $B$  erniedrigt, und man erhält für die flüssige und die feste Phase beziehungsweise die Kurven  $BC$  und  $BE$ . Bei der Temperatur der Linie  $CDE$  ist die flüssige Lösung von der durch  $C$  repräsentierten Zusammensetzung gleichzeitig im Gleichgewicht mit den beiden verschie-

en Mischkristallarten, die durch *D* und *E* repräsentiert werden. Bei dieser Temperatur besitzt daher die *tc*-Kurve für die feste Phase eine Diskontinuität, da die feste Phase bei diesem Punkt eine Änderung erleidet, so muß die Erstarrungskurve einen Knick zeigen (S. 69).

**Beispiel.** — Kurven von der in Fig. 54 I gegebenen Form hat man experimentell bei Silbernitrat und Natriumnitrat<sup>1)</sup> gefunden. Die folgende Tabelle enthält die numerischen Daten, die auch in Fig. 55 graphisch dargestellt sind.

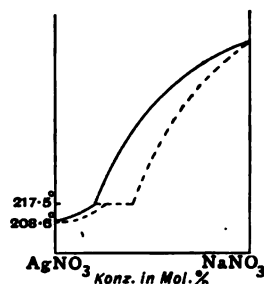


Fig. 55.

| Moleküle NaNO <sub>3</sub><br>Prozent | Erstarrungspunkt | Schmelzpunkt |
|---------------------------------------|------------------|--------------|
| 0                                     | 208,6°           | 208,6°       |
| 8                                     | 211,4°           | 210°         |
| 15,06                                 | 215°             | 212°         |
| 19,46                                 | 217,2°           | 214,8°       |
| 21,9                                  | 222°             | 215°         |
| 26                                    | 228,4°           | 216,5°       |
| 29,7                                  | 234,8°           | 217,5°       |
| 36,2                                  | 244,4°           | 217,5°       |
| 47,3                                  | 259,4°           | 237,6°       |
| 58,9                                  | 272°             | 257°         |
| 72                                    | 284°             | 274°         |
| 100                                   | 308°             | 308°         |

Die Temperatur des Umwandlungspunktes ist 217,5°. Bei diesem Punkt halten die Flüssigkeit 19,5 und die beiden konjugierten festen Lösungen beziehungsweise 38 Molekülprocente Natriumnitrat.

b) Die Erstarrungskurve besitzt einen eutektischen Punkt (Kurve II, S. 54).

In diesem Falle wird der Gefrierpunkt jeder der beiden Komponenten durch Hinzufügung des anderen erniedrigt, bis schließlich ein Punkt erreicht ist, bei welchem die flüssige Lösung in einem Gemische oder einem Konglomerat zweier Mischkristallarten erstarrt.

**Beispiele.** — Kurven, welche zu dieser Klasse gehören, sind bei Kaliumnitrat und Thalliumnitrat<sup>2)</sup> und bei Naphthalin und Monochloressigsäure<sup>3)</sup> beobachtet worden. Die Daten für den letzten Fall sind in der folgenden Tabelle gegeben und in Fig. 56 graphisch dargestellt.

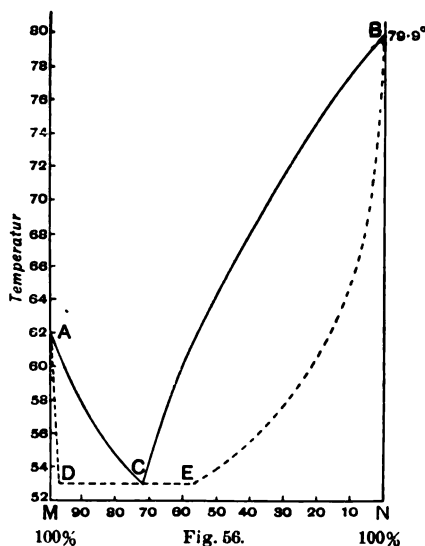


Fig. 56.

<sup>1)</sup> HISSINK, Zeitschr. phys. Chem. 1900, **32**, 542.

<sup>2)</sup> VAN EYK, Zeitschr. phys. Chem. 1899, **30**, 430.

<sup>3)</sup> CADY, Journ. Physical. Chem. 1899, **3**, 127.



| Temperatur | Flüssige Lösung            |                        | Feste Lösung      |               |
|------------|----------------------------|------------------------|-------------------|---------------|
|            | Prozent Naphtalin <i>N</i> | Prozent Säure <i>M</i> | Prozent Naphtalin | Prozent Säure |
| 62°        | —                          | 100                    | —                 | 100           |
| 60°        | 4,0                        | 96,0                   | 1,7               | 98,3          |
| 55°        | 21,0                       | 79,0                   | 2,1               | 97,9          |
| 53,5°      | 29,4                       | 70,0                   | —                 | —             |
| 55°        | 31,3                       | 68,7                   | 59,6              | 40,4          |
| 60°        | 42,4                       | 57,6                   | 80,3              | 19,7          |
| 65°        | 53,3                       | 46,7                   | 89,2              | 10,8          |
| 70°        | 69,7                       | 32,3                   | 95,4              | 4,6           |
| 75°        | 84,4                       | 15,6                   | 96,6              | 3,4           |
| 79,9°      | 100                        | —                      | 100               | —             |

Beim eutektischen Punkt ist die flüssige Lösung im Gleichgewicht mit zwei verschiedenen Mischkristallen, deren Zusammensetzung beziehungsweise durch die Punkte *D* und *E* repräsentiert wird. Wenn daher ein geschmolzenes Gemisch, welches die beiden Komponenten *A* und *B* in dem durch den Punkt *C* angegebenen Verhältnis enthält, abgekühlt wird, so wird es, wenn die Temperatur den Punkt *C* erreicht hat, vollständig zu einem Konglomerat von Mischkristallen *D* und *E* erstarren.

**Veränderungen in Mischkristallen mit der Temperatur.** — In den verschiedenen Typen von Systemen, die durch Fig. 49 dargestellt werden, existiert bei Temperaturen über der Erstarrungskurve eine homogene flüssige Lösung

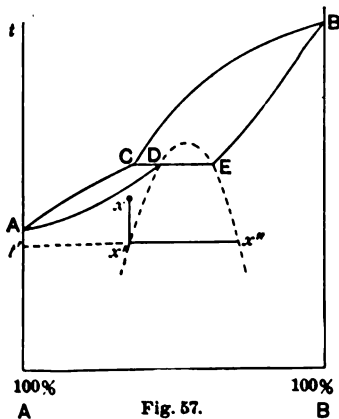


Fig. 57.

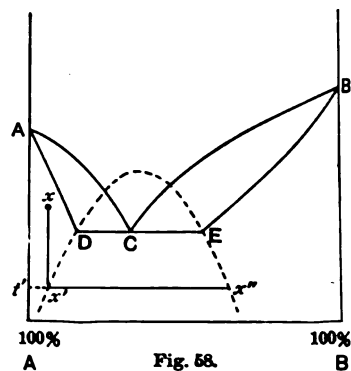


Fig. 58.

der beiden Komponenten, bei Temperaturen unter der Schmelzpunktskurve ein homogener Mischkristall, während in jedem Punkt zwischen der Gefrierpunktskurve und der Schmelzpunktskurve das Gemisch sich in eine feste Phase und eine flüssige Phase scheidet. Im Falle der beiden Typen, die durch Fig. 54 dargestellt werden, sind dagegen die Beziehungen etwas verwickelter. Auch hier gibt die Fläche über der Gefrierpunktskurve die Bedingungen an, unter denen homogene flüssige Lösungen existieren können, aber unter der Schmelzpunktskurve können zwei verschiedene Mischkristallarten koexistieren. Dies wird am besten mit Hilfe der Figuren 57 und 58 verstanden werden. *D* und *E* repräsentieren, wie wir gesehen haben, die Zusammensetzung zweier Mischkristallarten, die mit der flüssigen Lösung bei der Temperatur des Punktes *C* im Gleich-

wicht sind. Diese beiden Mischkristalle repräsentieren in dem einen Falle die gesättigte Lösung von  $B$  in  $A$  (Punkt  $D$ ) und in dem anderen Falle eine gesättigte Lösung von  $A$  in  $B$  (Punkt  $E$ ). Ebenso wie bei zwei Flüssigkeiten ändert sich auch bei zwei festen Substanzen die gegenseitige Löslichkeit mit der Temperatur. Diese Änderung wird in Fig. 57 und 58 schematisch durch die punktierte Kurve angegeben, die mit den Löslichkeitskurven für zwei gegenseitig lösliche Flüssigkeiten Ähnlichkeit hat (S. 63).

Wenn nun ein Mischkristall von der Zusammensetzung  $x$  abgekühlt wird, so bleibt er unverändert, bis die Temperatur auf  $t'$  gefallen ist. Dann zerfällt der Mischkristall in ein Konglomerat von zwei Mischkristallarten, deren Zusammensetzung beziehungsweise durch  $x'$  und  $x''$  angegeben wird. Hieraus geht hervor, daß bei Substanzen, welche zwei feste Lösungen bilden, die Mischkristalle, die von der geschmolzenen Masse ausgeschieden werden, im festen Zustande nicht notwendigerweise unverändert bleiben, sondern daß sie bei einer niedrigeren Temperatur ihre Homogenität verlieren können. Dieser Umstand ist von großer Bedeutung für die Bildung von Legierungen<sup>1)</sup>.

Ein gutes Beispiel hiervon werden wir alsbald in den Legierungen von Eisen und Kohlenstoff kennen lernen. Auch die Legierungen von Kupfer und Zinn liefern Beispiele der großen Veränderungen, die zwischen der Temperatur, bei welcher sie sich aus der geschmolzenen Masse ausscheiden, und der gewöhnlichen Temperatur eintreten können. So zerfällt z. B. eine von den Legierungen von Kupfer und Zinn, die sich aus der Flüssigkeit als feste Lösung ausscheidet, beim Abkühlen in die Verbindung  $Cu_3Sn$  und eine Flüssigkeit<sup>2)</sup>, ein auffallendes Beispiel einer festen Substanz, die beim Abkühlen teilweise wieder flüssig wird.

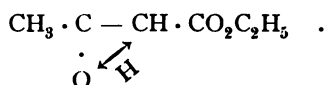
<sup>1)</sup> Siehe ROBERTS-AUSTEN u. STANSFIELD, Rapports du congrès international de physique, 1900, I, 363.

<sup>2)</sup> HEYCOCK u. NEVILLE, Proc. Roy. Soc. 1903, 71, 409. Wegen der partiellen Verflüssigung von Mischkristallen beim Abkühlen siehe auch A. C. DE KOCK, Zeitschr. phys. Chem. 1904, 48, 129.

## Elftes Kapitel.

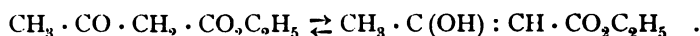
### Gleichgewicht zwischen dynamischen Isomeren.

Es ist seit langer Zeit bekannt, daß gewisse Substanzen, z. B. Acetessigäther, im gelösten oder geschmolzenen Zustand so reagieren, als ob sie zwei verschiedene Konstitutionen besäßen. Um dieses Verhalten zu erklären, wurde (von LAAR) die Theorie aufgestellt, daß sich in solchen Fällen ein Wasserstoffatom zwischen zwei Stellungen im Molekül hin und her bewege, so daß es abwechselnd an Sauerstoff und an Kohlenstoff gebunden sei, wie es die folgende Formel ausdrückt:



Wenn sich der Wasserstoff in der einen Stellung befindet, wirkt die Substanz als Hydroxylverbindung, wenn es sich in der anderen Stellung befindet, als Keton. Substanzen, welche diese doppelte Funktion besitzen, heißen tautomer.

Die Richtigkeit dieser Erklärung wurde jedoch in Zweifel gezogen, und diese Zweifel fanden ihre Bestätigung durch die Isolierung solcher Isomeren im festen Zustand, sowie dadurch, daß die Geschwindigkeit der Umwandlung der einen Isomeren in die andere in einigen Fällen quantitativ gemessen werden konnte. Diese und andere Beobachtungen führten dann zu der mit den Gesetzen der chemischen Dynamik in Einklang stehenden Ansicht, daß die tautomeren Substanzen im gelösten oder geschmolzenen Zustand ein Gemisch zweier isomerer Formen repräsentieren, und daß das Gleichgewicht durch eine intermolekulare Umwandlung hergestellt wird, wie es durch die folgende Gleichung ausgedrückt wird:



Im festen Zustand repräsentiert die eine oder die andere Isomere die stabile Form, im flüssigen (gelösten oder geschmolzenen) Zustand ist der stabile Zustand ein Gleichgewicht zwischen den beiden Formen<sup>1)</sup>.

Ein ähnliches Verhalten findet sich auch bei anderen isomeren Substanzen, bei denen die Isomerie nicht auf Verschiedenheit der Struktur beruht, sondern auf Verschiedenheit der Konfiguration, d. h. Stereoisomerie (z. B. bei optisch

aktiven Substanzen oder bei den Oximen

$$\begin{array}{ccc} \text{C}_6\text{H}_5 \cdot \text{C} \cdot \text{H} & & \text{C}_6\text{H}_5 \cdot \text{C} \cdot \text{H} \\ \parallel & \text{und} & \parallel \\ \text{N} \cdot \text{OH} & & \text{HO} \cdot \text{N} \end{array} \quad \left. \vphantom{\begin{array}{ccc} \text{C}_6\text{H}_5 \cdot \text{C} \cdot \text{H} & & \text{C}_6\text{H}_5 \cdot \text{C} \cdot \text{H} \\ \parallel & \text{und} & \parallel \\ \text{N} \cdot \text{OH} & & \text{HO} \cdot \text{N} \end{array}} \right) \text{ oder}$$

auf Polymerie (z. B. Acetaldehyd und Paraldehyd). In allen solchen Fällen entsprechen zwar die verschiedenen festen Formen (bei Ausschluß von Mischkristallen) einer einzigen bestimmten Konstitution, aber im flüssigen Zustand

<sup>1)</sup> Obwohl ein Gemisch der beiden Isomeren den stabilen Zustand darstellt, hält sich doch manchmal die eine Form im flüssigen Zustand lange Zeit rein. Sie stellt dann ein metastabiles Gebilde dar, welches sich deshalb verwirklichen läßt, weil die Umwandlung der einen Isomeren in die andere nur langsam erfolgt.



ein Gleichgewicht zwischen den beiden Modifikationen ein. Diese verschiedenen Klassen von Substanzen werden als „dynamische Isomeren“ bezeichnet, und die verschiedenen Arten der Isomerie werden unter dem Namen „dynamische Isomerie“ zusammengefaßt<sup>1)</sup>.

Wegen der großen Bedeutung, die diese Erscheinungen namentlich für das Studium der organischen Chemie haben, soll eine kurze Beschreibung der Gleichgewichtsbeziehungen von Systemen gegeben werden, die aus dynamischen Isomeren zusammengesetzt sind<sup>2)</sup>.

Die Erscheinungen, die man beim Schmelzen und Erstarren der Substanzen, welche die Beziehungen der dynamischen Isomerie zeigen, erhält, variieren etwas, nachdem die umkehrbare Verwandlung der einen Form in die andere mit merkbarer Geschwindigkeit schon bei Temperaturen in der Nähe der Schmelzpunkte stattfindet oder erst bei einer höheren Temperatur. Wenn die Umwandlung sehr schnell erfolgt, so verhält sich das System wie ein solches aus einer Komponente, wenn dagegen die isomere Umwandlung verhältnismäßig langsam erfolgt, so verhält es sich wie ein System aus zwei Komponenten.

**Temperatur-Konzentrationsdiagramm.** — Die Beziehungen, denen man hier begegnet, sind sehr leicht mit Hilfe von Fig. 59 zu verstehen. Wir wollen zunächst einmal annehmen, die isomere Umwandlung finde bei der Temperatur des Schmelzpunktes noch nicht statt. Dann hat die Gefrierpunktskurve die einfache Form  $ABC$ , da die Bildung von Verbindungen ausgeschlossen ist. Dies ist der einfachste Kurventypus, und er gibt die Zusammensetzung der Lösungen an, welche mit der einen festen Modifikation, der  $\alpha$ -Modifikation (Kurve  $AC$ ), und der Lösungen, welche mit der anderen festen Modifikation, der  $\beta$ -Modifikation (Kurve  $BC$ ), bei verschiedenen Temperaturen im Gleichgewicht sind.  $C$  ist der eutektische Punkt, bei welchem die zwei festen Isomeren beide in Berührung mit der Lösung existieren können.

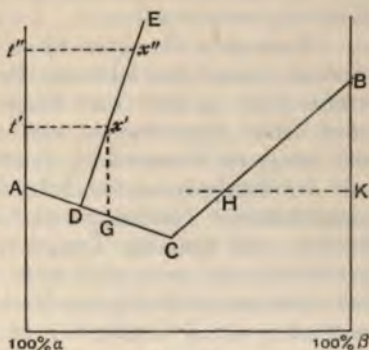


Fig. 59.

Nun wollen wir aber einmal annehmen, daß die isomere Umwandlung mit merkbarer Geschwindigkeit erfolgt. Wenn die  $\alpha$ -Modifikation auf eine Temperatur  $t'$  über ihren Schmelzpunkt erhitzt und die Flüssigkeit auf dieser Temperatur gehalten wird, bis Gleichgewicht eingetreten ist, so wird eine gewisse Menge der  $\beta$ -Form in der Flüssigkeit vorhanden sein, deren Zusammensetzung durch den Punkt  $x'$  repräsentiert wird. Derselbe Gleichgewichtszustand wird auch erreicht, wenn man von der reinen  $\beta$ -Form ausgeht. Bei einer anderen Temperatur  $t''$  tritt Gleichgewicht ein, wenn die Flüssigkeit eine gewisse Zusammensetzung  $x''$  besitzt. Die Kurve  $DE$ , welche durch alle Werte von  $x$  geht, die den verschiedenen Werten von  $t$  entsprechen, stellt also die Änderung des Gleichgewichts mit der Temperatur dar. Sie ist dem VAN'T HOFF'schen Gesetz des beweglichen Gleichgewichts entsprechend (wie in der Figur) nach rechts geneigt, wenn die Umwandlung von  $\alpha$  in  $\beta$  von Wärmeabsorption begleitet ist, dagegen nach links, wenn die Umwandlung von Wärmeentwicklung begleitet ist. Wenn die Umwandlung ohne Wärmewirkung erfolgt, so ist das Gleichgewicht unabhängig von der Temperatur, und die Gleichgewichtskurve  $DE$  läuft dann vertikal und der Temperaturachse parallel.

<sup>1)</sup> ARMSTRONG, Watts Dictionary of Chemistry (MORLAY u. MUIR), III, S. 88. Siehe auch WRY, Journ. Chem. Soc. 1899, 75, 211.

<sup>2)</sup> Siehe BANCROFT, Journ. Physical. Chem. 1898, 2, 143; ROOZEBOOM, Zeitschr. phys. Chem. 9, 28, 288.



Wir müssen jetzt die Bedeutung des Punktes  $D$  ermitteln. Wir wollen annehmen, die reine  $\alpha$ - oder  $\beta$ -Form werde auf die Temperatur  $t'$  erhitzt und diese werde konstant gehalten, bis die Flüssigkeit die dem Gleichgewicht bei dieser Temperatur entsprechende Zusammensetzung  $x'$  angenommen hat. Läßt man jetzt die Temperatur hinreichend langsam fallen, so daß sich der Gleichgewichtszustand fortwährend der veränderten Temperatur anpassen kann, so ändert sich die Zusammensetzung der Lösung allmählich, so wie es die Kurve  $x'D$  ausdrückt. Da  $D$  auf der Gefrierpunktskurve der reinen  $\alpha$ -Form liegt, so wird sich diese beim Abkühlen ausscheiden; und da  $D$  auch auf der Gleichgewichtskurve der Flüssigkeit liegt, so ist  $D$  der einzige Punkt, bei welchem die feste Substanz in stabilem Gleichgewicht mit der flüssigen Phase existieren kann. (Auf die Dampfphase braucht keine Rücksicht genommen zu werden, da wir annehmen, daß die Versuche in offenen Gefäßen ausgeführt werden.) Alle Systeme, welche aus den beiden hylotropen<sup>1)</sup> isomeren Substanzen  $\alpha$  und  $\beta$  bestehen, gefrieren daher schließlich beim Punkt  $D$ , dem sogenannten „natürlichen“ Schmelzpunkt<sup>2)</sup> des Systems, vorausgesetzt, daß die für die Herstellung des Gleichgewichtes erforderliche Zeit gelassen wird. Hieraus folgt, daß die stabile Modifikation bei Temperaturen in der Nähe des Schmelzpunktes diejenige ist, welche beim natürlichen Schmelzpunkt mit der flüssigen Phase im Gleichgewicht ist.

Nach dem Gesagten ist es leicht vorauszusagen, welches das Verhalten des Systems unter verschiedenen Bedingungen sein wird. Wenn die reine  $\alpha$ -Form erhitzt wird, so wird eine Temperatur erreicht werden, bei welcher sie schmilzt, aber dieser Schmelzpunkt wird nur dann scharf sein, wenn die Geschwindigkeit der isomeren Umwandlung verhältnismäßig gering ist, d. h. gering im Vergleich mit der Bestimmung des Schmelzpunktes. Wenn die Substanz eine Zeitlang im geschmolzenen Zustand gehalten wird, so entsteht eine gewisse Menge der  $\beta$ -Modifikation, und wenn die Temperatur erniedrigt wird, so wird die reine  $\alpha$ -Form ausgeschieden und zwar nicht mehr bei der Temperatur des Schmelzpunktes, sondern bei einer etwas niedrigeren Temperatur, die von der nunmehr entstandenen Konzentration der  $\beta$ -Modifikation in der flüssigen Phase abhängt. Wenn die isomere Umwandlung im Vergleich mit der Geschwindigkeit, mit der sich die feste Substanz ausscheidet, langsam vor sich geht, so wird die Flüssigkeit immer reicher an der  $\beta$ -Modifikation und der Gefrierpunkt sinkt infolgedessen immer mehr. Beim eutektischen Punkt aber scheidet sich auch die  $\beta$ -Modifikation aus, und die Temperatur bleibt konstant, bis alles fest geworden ist. Wenn andererseits die Umwandlungsgeschwindigkeit hinreichend groß ist, so wird sich, sobald die  $\alpha$ -Modifikation ausgeschieden wird, das Gleichgewicht zwischen den beiden isomeren Formen fortwährend wiederherstellen, und der Endpunkt des Erstarrens wird der natürliche Gefrierpunkt sein.

Geht man von der reinen  $\beta$ -Modifikation aus, so wird in ähnlicher Weise der Gefrierpunkt nach dem Schmelzen infolge der Bildung der  $\alpha$ -Modifikation nach und nach sinken, und die Zusammensetzung der flüssigen Phase wird die Kurve  $BC$  entlang fortschreiten. Wenn dann die Abkühlungsgeschwindigkeit nicht zu groß ist oder wenn die Geschwindigkeit der isomeren Umwandlung hinreichend groß ist, so tritt beim eutektischen Punkt keine vollständige Erstarrung ein, da bei dieser Temperatur die feste und die flüssige Phase nicht im stabilen Gleichgewicht miteinander sind. Im Gegenteil, eine weitere Menge der  $\beta$ -Modifikation erleidet die isomere Umwandlung, die flüssige Phase wird reicher an der  $\alpha$ -Form und der Gefrierpunkt steigt, da die feste Phase in Berührung mit der flüssigen jetzt die  $\alpha$ -Modifikation ist. Der Gefrierpunkt wird weiter steigen, bis der Punkt  $D$

<sup>1)</sup> Hylotrope Substanzen sind solche, die sich in andere Substanzen von derselben Zusammensetzung verwandeln (OSTWALD, Lehrbuch, II, 2, 298).

<sup>2)</sup> Auch Gleichgewichtspunkt genannt (LOWRY).



reicht ist, bei welchem vollständiges Erstarren ohne weitere Änderung der Temperatur eintritt.

Das Diagramm ermöglicht es uns auch vorauszusagen, was eintreten wird, wenn ein geschmolzenes Gemisch der beiden Isomeren schnell abgekühlt wird. Wir wollen annehmen, entweder die  $\alpha$ - oder die  $\beta$ -Modifikation sei bei der Temperatur  $t'$  hinreichend lange im geschmolzenen Zustand gehalten worden, so daß sich das Gleichgewicht hat einstellen können. Die Zusammensetzung der flüssigen Phase wird durch  $x'$  dargestellt sein. Wenn die Flüssigkeit jetzt schnell abgekühlt wird, so wird die Zusammensetzung unverändert bleiben, wie es die punktierte Linie  $x'G$  darstellt. Bei der Temperatur des Punktes  $G$  scheidet sich die  $\alpha$ -Modifikation im festen Zustand aus. Läßt man die Abkühlung nicht unter den Punkt  $G$  sinken, um vollständige Erstarrung herbeizuführen, so wird man finden, daß der Gefrierpunkt mit der Zeit steigt, weil sich in der flüssigen Phase etwas von der  $\beta$ -Form in die  $\alpha$ -Form verwandelt. Dieser Vorgang wird solange andauern, bis die Zusammensetzung der Flüssigkeit den Punkt  $D$  erreicht hat. Wenn die Gefrierpunktskurve durch wirkliche Bestimmung der Gefrierpunkte verschiedener synthetischer Gemische der beiden Isomeren erhalten werden kann, so läßt sich auch, wie aus dem Gesagten hervorgeht, für jede Temperatur die Bedingung des Gleichgewichts im geschmolzenen Zustand bestimmen, ohne daß man nötig hat, eine chemische Analyse auszuführen. Man hat weiter nichts zu tun, als die geschmolzene Masse, nachdem das Gleichgewicht eingetreten ist, schnell abzukühlen und den Gefrierpunkt zu ermitteln, bei welchem feste Substanz ausgeschieden wird, d. h. man muß denjenigen Punkt finden, bei welchem die Linie konstanter Temperatur die Gefrierpunktskurve schneidet. Die dieser Temperatur entsprechende Zusammensetzung gibt die Zusammensetzung des Gemisches an, welches bei der gegebenen Temperatur im Gleichgewicht ist.

Aus dem Vorhergehenden ergibt sich, daß der Grad der Vollständigkeit, mit welcher die verschiedenen Kurven realisiert werden können, von der Geschwindigkeit abhängt, mit welcher die isomere Umwandlung vor sich geht, und von der Geschwindigkeit, mit welcher die Bestimmungen des Gefrierpunktes ausgeführt werden können. Die beiden Extreme sind einerseits praktisch momentane Umwandlung und andererseits praktisch unendlich langsame Umwandlung. Im ersteren Fall wird nur ein Schmelzpunkt und ein Gefrierpunkt gefunden, nämlich der natürliche Gefrierpunkt; im letzteren Fall verhalten sich die beiden Isomeren wie zwei vollkommen unabhängige Komponenten, und die Gleichgewichtskurve  $DE$  (die übrigens nicht wie in Fig. 59 eine gerade Linie zu sein braucht) wird nicht realisiert.

Das Diagramm, welches man erhält, wenn die isomere Umwandlung nicht in meßbarer Zeit bei der Temperatur des Schmelzpunktes stattfindet, ist von dem in Fig. 59 gegebenen etwas verschieden. In diesem Fall sind die beiden Gefrierpunktskurven  $AC$  und  $BC$  (Fig. 60) leicht zu realisieren, da in der flüssigen Phase keine isomere Umwandlung stattfindet. Wenn aber bei einer höheren Temperatur,  $t'$ , umkehrbare isomere Umwandlung stattfinden kann, so ändert sich die Zusammensetzung der flüssigen Phase, bis beim Punkt  $x'$  Gleichgewicht eintritt, und die Zusammensetzung der Flüssigkeit bei höheren Temperaturen wird durch die Kurve  $x'F$  dargestellt. Unterhalb der Temperatur  $t'$  ist die Lage der Gleichgewichtskurve hypothetisch, aber mit fallender Temperatur nimmt die Umwandlungsgeschwindigkeit ab und wird schließlich praktisch gleich Null. Die

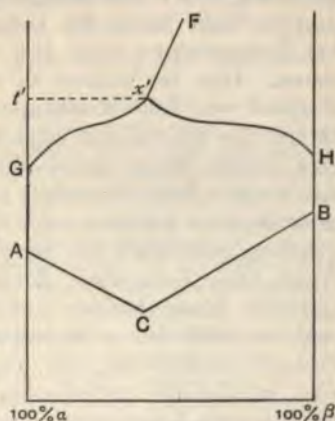


Fig. 60.



Gleichgewichtskurve zerfällt daher in die beiden Zweige  $x'G$  und  $x'H$ . Bei Temperaturen zwischen  $G$  und  $I'$  kann die  $\alpha$ -Modifikation eine isomere Umwandlung erleiden, die zu einem Punkt auf der Kurve  $Gx'$  führt, und die  $\beta$ -Modifikation kann eine isomere Umwandlung erleiden, die zu einem Punkt auf der Kurve  $Hx'$  führt. Es wird daher nicht von jeder Seite her derselbe Gleichgewichtszustand erreicht, und wir haben es daher nicht mit wahren, sondern mit falschem Gleichgewicht zu tun (S. 3). Unterhalb der Temperaturen  $G$  und  $H$  findet eine isomere Umwandlung in meßbarer Zeit nicht statt. Auf eine nähere Diskussion der Gleichgewichte in solchen Systemen wollen wir nicht eingehen, weil sie nicht Systeme in wahren Gleichgewicht sind und weil sich die Temperatur, bei welcher wahres Gleichgewicht mit meßbarer Geschwindigkeit eintreten kann, unter dem Einfluß katalytischer Agentien ändert<sup>1)</sup>. Beispiele solcher Systeme finden sich ohne Zweifel bei optisch aktiven Substanzen, bei denen die beiden Isomeren beim Schmelzpunkt anscheinend vollkommen stabil sind. Bei solchen Substanzen findet bekanntlich auch isomere Umwandlung durch Einwirkung katalytischer Agentien (Racemisation) statt.

**Umwandlung der instabilen in die stabile Form.** — Die stabile Modifikation in der Nähe des Schmelzpunktes ist, wie bereits gesagt, diejenige, welche beim natürlichen Gefrierpunkt mit der flüssigen Phase im Gleichgewicht ist. Bei polymorphen Substanzen schmilzt, wie wir gesehen haben (S. 24) diejenige Form, welche in der Nähe des Schmelzpunktes stabil ist, bei der höheren Temperatur. Dies war eine Konsequenz der Tatsache, daß die beiden polymorphen Formen beim Schmelzpunkt identische flüssige Phasen gaben. In dem vorliegenden Falle gilt jedoch diese Regel nicht, und zwar aus dem einfachen Grunde, weil die flüssige Phase, welche man durch das Schmelzen der einen Modifikation erhält, nicht immer notwendig mit derjenigen identisch ist, welche man durch das Schmelzen der anderen Modifikation erhält. Bei isomeren Substanzen kann daher die Form von niedrigerem Schmelzpunkt die stabilere sein, und wo dieses Verhalten beobachtet wird, ist es ein Zeichen, daß die beiden Formen isomer (oder polymer) und nicht nur polymorph im obigen Sinne sind<sup>2)</sup>. Ein Beispiel hiervon bilden die isomeren Benzaldoxime (S. 126).

Da in Fig. 59 die  $\alpha$ -Modifikation als die stabile Form dargestellt ist, so ist die Umwandlung der  $\beta$ -Form in die  $\alpha$ -Form bei allen Temperaturen abwärts bis zum Umwandlungspunkt möglich. Bei Temperaturen unter dem eutektischen Punkt findet die Umwandlung ohne Bildung einer flüssigen Phase statt, bei Temperaturen über dem eutektischen Punkt dagegen kann Verflüssigung eintreten. Dies ist leichter zu verstehen, wenn man durch einen Punkt zwischen  $C$  und  $B$  eine Linie konstanter Temperatur,  $HK$ , zieht. Wenn dann die  $\beta$ -Modifikation eine hinreichend lange Zeit auf dieser Temperatur gehalten wird, so entsteht eine gewisse Menge der  $\alpha$ -Modifikation, und wenn die Zusammensetzung des Gemisches den Punkt  $H$  erreicht hat, so wird Schmelzung eintreten. Wenn die Temperatur konstant gehalten wird, so wird in der flüssigen Phase so lange isomere Umwandlung stattfinden, bis der Gleichgewichtspunkt für diese Temperatur erreicht ist. Wenn diese Temperatur höher als der natürliche Schmelzpunkt ist, so wird das Gemisch flüssig bleiben. Wenn sie aber unter dem natürlichen Schmelzpunkt liegt, so wird die  $\alpha$ -Modifikation ausgeschieden werden, wenn das System den Zustand erreicht hat, der durch denjenigen Punkt der Kurve  $AC$  repräsentiert wird, welcher der betreffenden Temperatur entspricht. Bei weiterem Fortschreiten der isomeren Umwandlung steigt der Gefrierpunkt des Systems, bis er den natürlichen Gefrierpunkt  $D$  erreicht. Ebenso tritt, wenn die  $\alpha$ -Modifikation auf einer Temperatur über derjenigen des Punktes  $D$  gehalten wird, schließlich Schmelzung

<sup>1)</sup> Wegen einer Diskussion solcher Systeme siehe ROOZEBOOM, Zeitschr. phys. Chem. a. a. O.

<sup>2)</sup> Siehe BANCROFT, a. a. O., S. 147; WEGSCHEIDER, Sitzungsber. Wien. Akad. 1902, 110, 908.



und das System erreicht schließlich wieder den durch *D* repräsentierten Endstand<sup>1)</sup>.

**Beispiele.** — Benzaldoxime. Die soeben in theoretischem Standpunkt aus diskutierten Beziehungen werden durch eine kurze Beschreibung einiger experimentell untersuchten Fälle klarer werden. Als ersten Fall wollen wir die beiden isomeren Benzaldoxime betrachten<sup>2)</sup>:

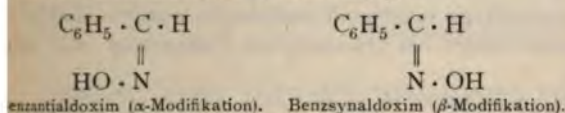


Fig. 61 gibt eine graphische Darstellung der erhaltenen Resultate.

Der Schmelzpunkt der  $\alpha$ -Modifikation ist  $44-35^\circ$ , der Schmelzpunkt der instabilen  $\beta$ -Modifikation  $130^\circ$ . Die Gefrierpunktskurven *AC* und *BC* wurden durch Bestimmung der Gefrierpunkte verschiedener Gemische von bekannter Zusammensetzung erhalten. Die so erhaltenen Zahlen sind in der folgenden Tabelle gegeben.

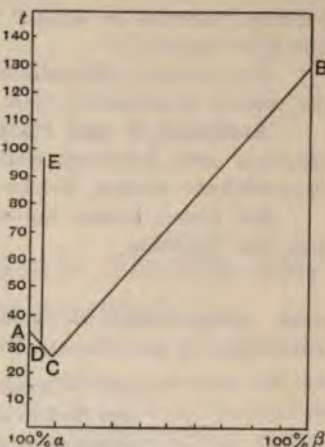


Fig. 61.

| Gramm der $\alpha$ -Modifikation<br>in 100 g des Gemisches | Gefrierpunkt |
|--|--------------|
| 26,2   | $101^\circ$  |
| 49,2   | $79^\circ$   |
| 73,7   | $46^\circ$   |
| 91,7   | $26,2^\circ$ |
| 95,0   | $28,6^\circ$ |
| 96,0   | $30,0^\circ$ |

Der eutektische Punkt *C* liegt bei  $25-26^\circ$ , und der natürliche Gefrierpunkt ist  $27,7^\circ$ . Die Gleichgewichtskurve *DE* wurde ermittelt, indem die flüssigen Gemische auf verschiedene Temperaturen bis zum Eintritt des Gleichgewichtes erhitzt und dann schnell abgekühlt wurden. In allen Fällen war der Gefrierpunkt praktisch derjenige des Punktes *D*. Hieraus geht hervor, daß die Gleich-

<sup>1)</sup> Es mag hier erwähnt werden, daß KNORR (Annalen, 1896, 293, 88) den Ausdruck Stabilitätsgrenze eingeführt hat, um diejenige Temperatur zu bezeichnen, oberhalb deren Verflüssigung und isomere Umwandlung stattfindet. Wie der Ausdruck von KNORR und anderen gebraucht wird, ist der Sinn desselben etwas unbestimmt, da er nicht zur Bezeichnung derjenigen Temperatur benutzt wird, bei welcher diese Umwandlungen eintreten können, sondern zur Bezeichnung der Temperatur, bei welcher die Umwandlung schnell vor sich geht (siehe Annalen, 93, 91); und die Einführung einer unbestimmten Umwandlungsgeschwindigkeit macht auch die Temperatur der Stabilitätsgrenze etwas unbestimmt. Die Unbestimmtheit des Ausdruckes wird noch dadurch erhöht, daß die „Grenze“ durch katalytische Agentien verändert werden kann. Die stabile Modifikation kann, wie wir gesehen haben, immer bei Temperaturen über dem natürlichen Gefrierpunkt, aber nicht unter diesem Punkt eine isomere Umwandlung erleiden und schmelzen. Ferner kann die weniger stabile Modifikation bei Temperaturen über dem eutektischen Punkt isomere Umwandlung erleiden und flüssig werden, dagegen wird sie bei Temperaturen unter diesem Punkt nicht flüssig. Nach Ansicht des Verfassers würde es bestimmter sein, diese beiden Punkte — den natürlichen Gefrierpunkt und den eutektischen Punkt — die nicht durch katalytische Agentien verändert werden, mit den „Stabilitätsgrenzen“ der stabilen und instabilen Modifikation zu identifizieren. Hierdurch würde der Ausdruck eine ganz bestimmte Bedeutung bekommen. Bei denjenigen Substanzen, die bei der Temperatur des Schmelzpunktes keine merkliche isomere Umwandlung erleiden, würden die Stabilitätsgrenzen die Punkte *G* und *H*, sein.

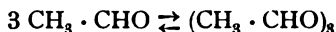
<sup>2)</sup> CAMERON, Journ. Physical, Chem. 1898, 2, 409.

gewichtskurve eine gerade Linie parallel zur Temperaturachse sein muß, und daher ist die isomere Umwandlung der beiden Benzaldoxime nicht von Wärmewirkung begleitet (S. 123). Dasselbe Verhalten ist auch beim Acetaldoxim beobachtet worden<sup>1)</sup>.

Die isomeren Benzaldoxime sind auch deshalb von Interesse, weil bei ihnen die stabile Modifikation den niedrigeren Schmelzpunkt hat (S. 126).

**Acetaldehyd und Paraldehyd.** — Als zweites Beispiel des Gleichgewichtes zwischen zwei Isomeren wollen wir die zwei isomeren (polymeren) Formen des Acetaldehyds wählen, welche neuerdings eingehend untersucht worden sind<sup>2)</sup>.

Bei diesen beiden Substanzen findet bei gewöhnlicher Temperatur sehr langsam die Reaktion



statt. Infolgedessen ist es möglich, die Gefrierpunktskurven von Acetaldehyd und Paraldehyd zu bestimmen. Die drei wichtigsten Punkte dieser Kurven (Fig. 62) sind

|                                   |           |
|-----------------------------------|-----------|
| der Schmelzpunkt des Acetaldehyds | — 118,45° |
| der Schmelzpunkt des Paraldehyds  | + 12,55°  |
| der eutektische Punkt             | — 119,9°. |

Um die Lage des natürlichen Schmelzpunktes zu bestimmen, war es infolge der Langsamkeit der Umwandlung nötig, einen Katalysator anzuwenden, um die Geschwindigkeit, mit der sich das Gleichgewicht einstellt, zu erhöhen. Zu diesem Zwecke diente ein Tropfen konzentrierter Schwefelsäure. In Gegenwart einer Spur dieser Substanz vollzieht sich die isomere Umwandlung bis zum Gleichgewichtszustand sehr schnell. Es wurde sowohl vom geschmolzenen Paraldehyd, als auch vom Acetaldehyd ausgegangen, und in beiden Fällen wurde derselbe Gefrierpunkt, nämlich 6,75° erhalten. Die feste Phase ist Paraldehyd. Die Temperatur 6,75° ist daher der natürliche Gefrierpunkt, und Paraldehyd, die feste Phase, welche bei dieser Temperatur mit der flüssigen im Gleichgewicht ist, ist die stabile Form.

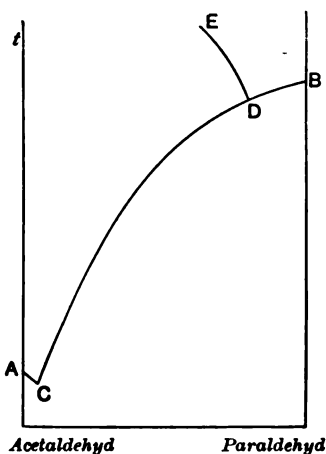


Fig. 62.

Was die Änderung des Gleichgewichtes mit der Temperatur betrifft, so wurde gefunden, daß die flüssige Phase beim natürlichen Gefrierpunkt 11,7 Molekülprocente Acetaldehyd enthält, während bei der Temperatur 41,6° die Flüssigkeit 46,6 Molekülprocente Acetaldehyd enthält. Mit steigender Temperatur findet also eine erhöhte Bildung von Acetaldehyd oder eine Verminderung der Polymerisation statt. Dies steht mit der Tatsache in Einklang, daß die Polymerisation des Acetaldehyds von Wärmeentwicklung begleitet ist.

Es mag schließlich noch erwähnt werden, daß bei der Temperatur 41,6° der Dampfdruck der Gleichgewichtsmischung gleich dem Atmosphärendruck ist. Bei dieser Temperatur siedet also die Gleichgewichtsmischung (die man augenblicklich mit Hilfe einer Spur Schwefelsäure erhält)<sup>3)</sup>.

<sup>1)</sup> CARVETH, Journ. Physical. Chem. 1898, **2**, 159.

<sup>2)</sup> HOLLMANN, Zeitschr. phys. Chem. 1903, **49**, 129.

<sup>3)</sup> Weitere Beispiele der Anwendung der Phasenregel auf isomere Substanzen findet man im Journ. Physical. Chem., Bd. **2** u. ff. FINDLAY, Journ. Chem. Soc. 1904, **85**, 403.



## Zwölftes Kapitel.

### Anwendung der Phasenregel auf das Studium von Systemen aus zwei Komponenten.

In diesem Schlußkapitel über die Systeme aus zwei Komponenten soll kurz auseinandergesetzt werden, in welcher Weise man die Phasenregel benutzt hat, um eine Anzahl von Problemen aufzuklären, die mit den Gleichgewichten zwischen zwei Komponenten zusammenhängen, und wie man sie benutzt hat, um die experimentell festgestellten Tatsachen zu interpretieren. Dies wird den praktischen Wert der Phasenregel deutlicher hervortreten lassen und die Anwendung derselben auf andere Fälle erleichtern.

Das Interesse und die Bedeutung der Untersuchungen über die Bedingungen des Gleichgewichtes zwischen zwei Substanzen liegt nicht nur in der Ermittlung der Bedingungen für die stabile Existenz der beteiligten Substanzen, sondern auch in der Frage, ob zwischen diesen beiden Komponenten chemische Einwirkung stattfindet oder nicht, und wenn Vereinigung stattfindet, in der Ermittlung der Natur der entstehenden Verbindungen und der Grenzen ihrer Existenz. Bei allen derartigen Untersuchungen leistet die Phasenregel ausgezeichnete Dienste, weil sie sozusagen einen Prüfstein bildet, durch den der Charakter des Systems bestimmt werden kann und weil aus der Form der erhaltenen Gleichgewichtskurven Schlüsse über die Natur der chemischen Vorgänge gezogen werden können. Zur weiteren Erläuterung der Anwendung der Prinzipien der Phasenlehre sollen Beispiele aus Untersuchungen über die gegenseitige Einwirkung organischer Substanzen, über die Gleichgewichte zwischen optisch aktiven Verbindungen und über Legierungen herangezogen werden.

**Übersicht über die verschiedenen Systeme aus zwei Komponenten.** — Bevor wir zur Betrachtung der Anwendung der Phasenregel zur Untersuchung einzelner Probleme übergehen, wird es zweckmäßig sein, die verschiedenen Typen des Gleichgewichtes, die wir bereits kennen gelernt haben, zusammenzustellen und untereinander zu vergleichen, damit wir diese charakteristischen Kurven zur Interpretation der durch Versuche ermittelten Kurven benutzen können.

Bei der Untersuchung der Gleichgewichte zwischen zwei Komponenten erhält man drei Hauptklassen von Kurven, je nachdem

1. keine Vereinigung der Komponenten stattfindet,
2. die Komponenten bestimmte chemische Verbindungen bilden können,
3. die Komponenten in Form von Mischkristallen ausgeschieden werden.

Die verschiedenen Typen von Kurven, welche man in diesen drei Fällen erhält, sind durch die Figuren 63, 64 und 65 dargestellt. Diese verschiedenen Diagramme repräsentieren die ganze Reihe der Gleichgewichte vom Schmelzpunkt der einen Komponente (*A*) bis zum Schmelzpunkt der anderen Komponente (*B*). Die Kurven repräsentieren in allen Fällen die Zusammensetzung der Lösung oder Phase von veränderlicher Zusammensetzung, indem die Temperatur auf der einen und die Zusammensetzung auf der anderen Achse gemessen wird.

Wir wollen jetzt die charakteristischen Merkmale der verschiedenen kurz rekapitulieren.

Wenn keine feste, chemische Verbindung der beiden Komponenten entsteht, so ist die allgemeine Form der Gleichgewichtskurve die Kurve I

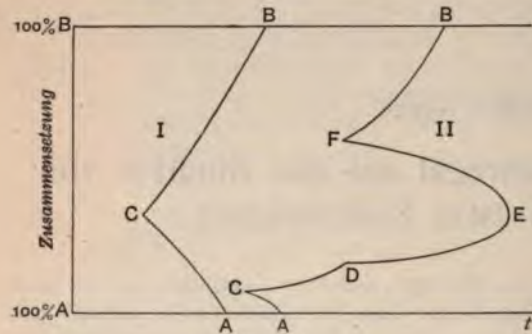


Fig. 63.

in Fig. 63. Typus I ist die einfachste Form aller Kurven, wie aus dem Diagramm zu ersehen ist, nur aus zwei Kurven  $AC$  und  $BC$ , die in dem eutektischen Punkt  $E$  zusammentreffen, der dem Schmelzpunkt der beiden Komponenten liegt. Die feste Phase mit den Lösungen  $AC$  im Gleichgewicht ist, ist reines  $A$ , welche mit  $BC$  im Gleichgewicht ist, reines  $B$ .  $E$  ist der eutektische Punkt.  $F$  ist der Schmelzpunkt beim eutektischen Punkt.

Lösung vollständig ohne Temperaturänderung erstarrt, ist doch die feste Phase, welche ausgeschieden wird, keine homogene feste Phase, sondern ein Gemisch oder ein Konglomerat von zwei festen Komponenten. Der eutektische Punkt repräsentiert daher nicht den Schmelzpunkt oder Gefrierpunkt einer Verbindung, sondern eines Gemisches (S. 74).

Die Kurve II, Fig. 63, wird erhalten, wenn zwei flüssige Phasen in Gleichgewicht sind.  $C$  ist der eutektische Punkt,  $D$  und  $F$  sind Umwandlungspunkte, bei denen die Phasen, eine feste, zwei flüssige und eine dampfförmige, koexistieren.  $DEF$  repräsentiert die Änderung in der Zusammensetzung der beiden Phasen mit steigender Temperatur. Diese Kurve kann auch die um-

gekehrte Form haben, so daß der kritische Lösungspunkt unter den Umwandlungspunkten  $D$  und  $F$  liegt.

In der zweiten Klasse von Systemen, d. h. wenn chemische Verbindung der Komponenten zu einer festen Verbindung findet, sind auch wieder zwei Typen zu unterscheiden, je nachdem die entstandene Verbindung einen echten Schmelzpunkt hat (d. h. im Gleichgewicht mit einer Lösung von derselben Zusammensetzung koexistieren kann) oder nur eine partielle Schmelze bildet, d. h. einen Umwandlungspunkt aufweist.

Wenn eine Verbindung entsteht, die einen echten Schmelzpunkt besitzt, so hat die Gleichgewichtskurve die allgemeine Form der Fig. 64.  $A$ ,  $B$  und  $D$  sind beziehungsweise Schmelzpunkte von reinem  $A$ , reinem  $B$  und der Verbindung  $A_xB_y$ .  $AC$  ist die Gefrierpunktcurve von  $A$  in Gegenwart von  $B$ ,  $BE$  die Gefrierpunktcurve von  $B$  in Gegenwart von  $A$ .  $DC$  und  $DE$  sind die Gefrierpunktcurven der Verbindung in Gegenwart einer Lösung, die einen Überschuß von einer der beiden Komponenten enthält.  $C$  und  $E$  sind eutektische Punkte, bei denen Gemische von  $A$  mit beziehungsweise von  $B$  und  $A_xB_y$  als festen Phasen in Berührung mit der flüssigen Phase koexistieren können. Die Kurve  $CDE$  kann groß oder klein sein, der Schmelzpunkt  $D$  der Verbindung kann über oder unter dem Schmelz-

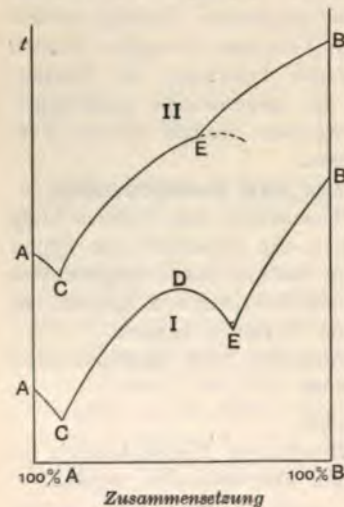


Fig. 64.

der Komponenten oder auch zwischen denselben liegen. Wenn mehr als eine Verbindung entstehen können, so erhält man eine Reihe von Kurven von ähnlicher Form wie *CDE* (S. 94).

Wenn anderseits die Verbindung bei einer Temperatur unterhalb ihres Schmelzpunktes in eine andere feste Phase übergeht, so ergibt sich eine Kurve von der Form II, Fig. 64. Dies entspricht dem Fall, in welchem eine Verbindung als feste Phase nur in Berührung mit Lösungen existieren kann, die einen Überschuß von einer der Komponenten enthalten. Die metastabile Fortsetzung der Gleichgewichtskurve für die Verbindung ist durch die punktierte Linie angegeben, deren Gipfel der echte Schmelzpunkt der Verbindung sein würde. Bevor aber diese Temperatur erreicht wird, hört die Existenzfähigkeit dieser festen Verbindung in Berührung mit Lösung auf, und beim Punkt *E* findet Umwandlung in eine andere feste Phase statt (vgl. S. 83). Dieser Punkt bezeichnet daher die Grenze der Existenz der Verbindung  $A_xB_y$ . Wenn eine Reihe von Verbindungen entstehen kann, von denen keine einen echten Schmelzpunkt besitzt, so erhält man eine Reihe von Kurven, die kein Temperaturmaximum aufweisen, und es gibt nur einen eutektischen Punkt. Die Grenzen der Existenz jeder Verbindung werden durch einen Knick in der Kurve bezeichnet (vgl. S. 89).

In der dritten Klasse von Systemen endlich, in welcher Mischkristalle entstehen können, können fünf verschiedene Typen von Kurven erhalten werden, deren Formen durch Fig. 65 veranschaulicht werden. Die drei ersten Typen, Kurve I, II und III, unterscheiden sich von den vorhergehenden Klassen dadurch, daß sie kontinuierlich sind. Sie besitzen keinen eutektischen Punkt und keinen Umwandlungspunkt. Kurve II hat einige Ähnlichkeit mit der Schmelzpunktskurve einer Verbindung (z. B. *CDE*, Fig. 64, I), unterscheidet sich aber von dieser sehr deutlich dadurch, daß sie nicht in eutektischen Punkten endet.

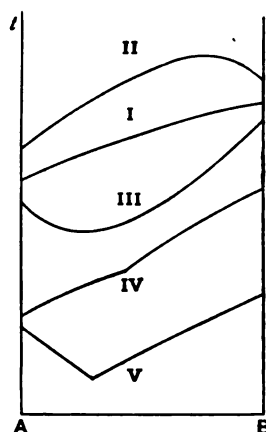


Fig. 65.

Im Falle der Bildung einer Verbindung bleibt ferner die Zusammensetzung der festen Phase die ganze Kurve zwischen den eutektischen Punkten hindurch unverändert. Wenn dagegen Mischkristalle entstehen, so ändert sich die Zusammensetzung der festen Phase mit der Zusammensetzung der flüssigen Lösung. Beim Durchgang durch das Maximum erleiden die relativen Mengen von *A* und *B* in der festen und der flüssigen Phase eine Veränderung. Auf der einen Seite des Maximums enthält die feste Phase relativ mehr *A* und auf der anderen Seite des Maximums relativ mehr *B* als die flüssige Phase. Wenn endlich Mischkristalle entstehen, so ändert sich die Temperatur, bei welcher vollständige Erstarrung eintritt, wenn sich die Zusammensetzung der Lösung ändert. Im Falle der Bildung von Verbindungen dagegen ist die Temperatur der vollständigen Erstarrung für alle Lösungen ein eutektischer Punkt.

Der dritte Kurventypus, Fig. 65, unterscheidet sich in ähnlicher Weise von der gewöhnlichen eutektischen Kurve, Fig. 63, I, mit der sie eine gewisse Ähnlichkeit hat. Während bei der letzteren der eutektische Punkt die Temperatur der vollständigen Erstarrung aller Lösungen ist, ist im Falle der Bildung gemischter Kristalle der Punkt des Temperaturminimums nur der Erstarrungspunkt von Lösungen, die eine einzige bestimmte Zusammensetzung, nämlich diejenige des Minimalpunktes besitzen. Für alle anderen Lösungen ist die Temperatur der vollständigen Erstarrung verschieden. Bei der einfachen eutektischen Kurve bleibt ferner die feste Phase, welche sich aus den durch beide Kurven repräsentierten Lösungen ausscheidet, die ganze Kurve hindurch dieselbe. Die Zusammensetzung der Mischkristalle



aus zwei Komponenten.

Zusammensetzung der flüssigen Phase, die beiden in der festen und in der flüssigen Phase durch das Minimum um<sup>1)</sup>.

IV, Fig. 65, vom Typus II, Fig. 64, aufweist, der eutektischen Punkt aufweist und auf beiden Seiten des Umwandlungspunktes der flüssigen Phase erleidet. Es zeigt, unterscheidet sich von dem eutektischen Punkt nicht den Lösungen bildet, und dadurch, daß die Zusammensetzung der

allgemeinen Typen der Gleichgewichtskurven, mit denen anderen werden können, und die Verhältnisse der Gleichgewichte zwischen d

### Organische Verbindungen.

Regel auf die Untersuchung der Verbindungen angewandt, und in Fig. 66 sind einige der Resultate

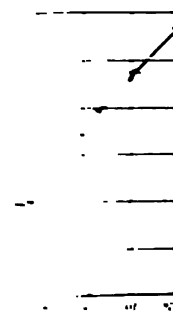


Fig. 66, die Gefrierpunkt (Gleichgewichtskurve) für phenol und *p*-Toluidin.

Kurve des einfachsten (Typus I, Fig. 63), in zwei Zweige in einem Punkt zusammentreffen.

Phase im Gleichgewicht mit Lösungen, die durch die seitigen Kurvenzweig repräsentiert werden, war *o*-Nitrophenol (punkt 44,1°), diejenige in

den rechtsseitigen Zweig repräsentiert 43,3°. Beim eutektischen Punkt koexistiert *o*-Nitrophenol und *p*-Toluidin in festen chemischen Verbindungen.

Kurve mag auf die interessante Tatsache hinweisen, welche durch Abkühlen der Mischung wird, zwar annähernd die Zusammensetzung der klaren Mengen Phenol und Toluidin, aber trotzdem ein Gemisch ist. Dieses sind zwar in der Regel nicht in der Mischung, aber es ist kein Grund vorhanden, und man darf daher in solchen Fällen annehmen.

<sup>1)</sup> *Ann. Chem.* 1899. 30. 410.

<sup>2)</sup> 1903. 83. 821.

<sup>3)</sup> *Atti. Acc. Lincei, Rend. chim. ital.* 1897. 27. 481.

Fig. 67 andererseits zeigt mit Bestimmtheit die Abscheidung einer festen chemischen Verbindung von Phenol und  $\alpha$ -Naphthylamin an<sup>1)</sup> (vgl. Kurve I, Fig. 64).

Phenol gefriert bei  $40,4^\circ$ , aber Hinzufügung von  $\alpha$ -Naphthylamin erniedrigt den Gefrierpunkt der Kurve *AC* entsprechend. Bei *C* ( $16,0^\circ$ ) scheidet sich die Verbindung  $C_6H_5OH \cdot C_{10}H_7NH_2$  ab und das System wird invariant. Wenn die Menge des Amins erhöht wird, so steigt die Gleichgewichtstemperatur, indem die feste Phase jetzt die Verbindung ist. Bei *D* geht die Kurve durch ein Maximum ( $28,8^\circ$ ), bei welchem die feste und die flüssige Phase dieselbe Zusammensetzung haben. Dies ist der Schmelzpunkt der Verbindung. Weitere Hinzufügung des Amins erniedrigt die Gleichgewichtstemperatur, bis sich bei *E* festes  $\alpha$ -Naphthylamin ausscheidet und ein zweiter eutektischer Punkt ( $24,0^\circ$ ) erhalten wird. *BE* ist die Gefrierpunktskurve von  $\alpha$ -Naphthylamin in Gegenwart von Phenol, und der Gefrierpunkt des reinen Amins ist  $48,3^\circ$ .

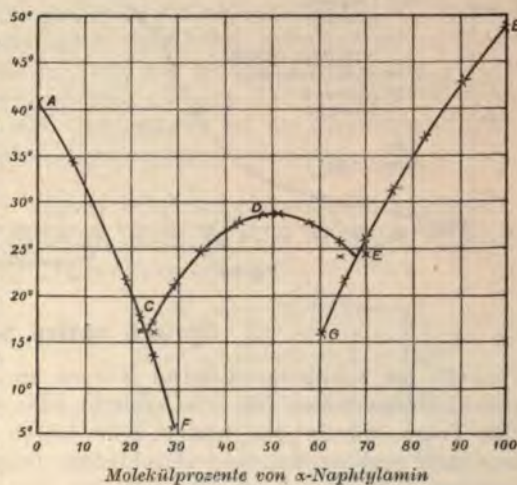


Fig. 67.

Infolge der großen Langsamkeit, mit welcher die Verbindung von Phenol und Naphthylamin kristallisiert, ist es möglich gewesen, die Gefrierpunktskurven des Phenols und des Amins bis zu Temperaturen zu verfolgen, die beträchtlich unterhalb der eutektischen Punkte liegen, wie es die Kurven *CF* und *EG* zeigen.

Phenol kann sich auch mit *p*-Toluidin in äquimolekularen Mengen verbinden, und diese Verbindung ist deshalb von Interesse, weil sie in zwei kristallinen Formen existiert, die bei  $28,5^\circ$  und  $30^\circ$  schmelzen. Jede dieser beiden Formen muß nun ihre eigene Gleichgewichtskurve haben, und man hat gefunden, daß daher der mittlere Teil der Gefrierpunktskurve, wie Fig. 68 zeigt, verdoppelt ist<sup>2)</sup>.

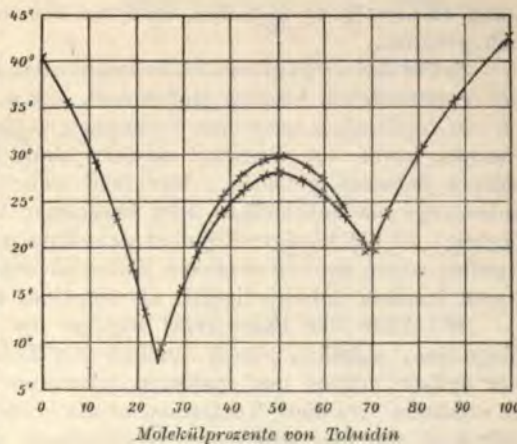


Fig. 68.

In Fig. 69<sup>3)</sup> endlich ist eine Kurve gegeben, die der Kurve II, Fig. 64, entspricht. Pikrinsäure und Benzol können eine feste, chemische Verbindung bilden, die aber nur in Berührung mit Lösungen existieren kann, die einen Überschuß von Benzol enthalten. Wenn die Temperatur gesteigert wird, so wird ein Punkt (*K*) erreicht, bei welchem die Verbindung unter Ausscheidung von fester Pikrin-

<sup>1)</sup> PHILIP, a. a. O., S. 826.

<sup>2)</sup> PHILIP, a. a. O., S. 829; vgl. die Kurven für Jodmonochlorid, Fig. 42, S. 100.

<sup>3)</sup> KURILOFF, Zeitschr. phys. Chem. 1897, 23, 676.



mische Verbindung einen höheren, im anderen Fall einen niedrigeren Schmelzpunkt als die aktiven Formen.

Bei partiell racemischen Verbindungen (d. h. Verbindungen eines Racemats mit einer optisch aktiven Substanz) ist der Kurventypus derselbe, aber die Kurve ist nicht symmetrisch. Eine solche Kurve ist bei den *l*-Menthylestern der *d*- und *l*-Mandelsäure gefunden worden (Fig. 72)<sup>1)</sup>. Der Gefrierpunkt des *d*-Mandelsäure-*l*-Menthylesters liegt bei 97,2°, der des *l*-Mandelsäure-*l*-Menthylesters bei 77,6°, und der des *r*-Mandelsäure-*l*-Menthylesters bei 83,7°. Wie aus der Figur ersichtlich, ist der Gipfel der Kurve für den partiell racemischen Ester sehr flach, was schon auf eine weitgehende Zersetzung der flüssigen Verbindung in ihre Bestandteile bei der Schmelztemperatur hindeutet.

### III. Die inaktive Substanz ist ein pseudoracemischer Mischkristall.

Wenn die aktiven Komponenten Mischkristalle bilden können, so hat die Gefrierpunktskurve eine der in Fig. 65 gegebenen Formen. Der inaktive Mischkristall, welcher 50 Prozent der Rechtsverbindung und 50 Prozent der Linksverbindung enthält, wird als pseudoracemischer Mischkristall bezeichnet<sup>2)</sup>. Bis jetzt sind nur Kurven vom Typus I und II beobachtet worden.

**Beispiele.** — Die beiden aktiven Kampferoxime sind deshalb von Interesse, weil sie eine kontinuierliche Reihe von Mischkristallen bilden, die alle denselben Schmelzpunkt haben. Die Kurve, welche man in diesem Falle erhält, ist daher eine gerade Linie, welche die Schmelzpunkte der reinen aktiven Komponenten verbindet. Der Schmelzpunkt der aktiven Isomeren und der ganzen Reihe von Mischkristallen ist 118,8°.

Auch bei den Carboximen entstehen Mischkristalle, aber die Gleichgewichtskurve zeigt in diesem Falle ein Maximum (Fig. 73). Bei diesem Maximalpunkt haben die feste und die flüssige Lösung dieselbe Zusammensetzung. Da die Kurve symmetrisch sein muß, so muß dieser Maximalpunkt eintreten, wenn die Lösung 50 Prozent von jeder Komponente enthält, die infolgedessen inaktiv sein muß. Dieser inaktive Mischkristall schmilzt und erstarrt bei derselben Temperatur und verhält sich daher wie eine chemische Verbindung (S. 117). Der Schmelzpunkt der aktiven Verbindung ist 72°, der Schmelzpunkt des inaktiven pseudoracemischen Kristalls 91,4°.

**Umwandlungen.** — Die Schlüsse, welche aus den Schmelzkurven über die Natur der entstehenden inaktiven Substanzen gezogen werden können, gelten, wie bereits bemerkt wurde, nur für die Nähe der Schmelzpunkte. Bei Temperaturen unter dem Schmelzpunkt kann Umwandlung eintreten, z. B. ein Racemat kann in ein *dl*-Gemisch zerfallen, oder ein pseudoracemischer Kristall kann eine racemische Verbindung bilden. Wir werden später Beispiele von racemischen Verbindungen kennen lernen, die sich bei einem bestimmten Umwandlungspunkt in ein *dl*-Gemisch verwandeln. Der pseudoracemische Mischkristall von Kampferoxim ist ein Beispiel der zweiten Umwandlung. Bei Temperaturen in der Nähe des Schmelzpunktes bilden die beiden aktiven Kampferoxime nur Mischkristalle, aber keine Verbindung, dagegen entsteht bei Temperaturen unter 103° eine racemische Verbindung. Bei dieser Temperatur verwandelt sich der pseudoracemische Mischkristall in eine racemische Verbindung. Auch bei den anderen Mischkristallen findet

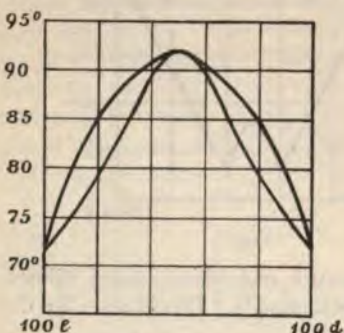


Fig. 73.

<sup>1)</sup> A. FINDLAY und EVELYN M. HICKMANS.

<sup>2)</sup> KIPPING und POPE, Journ. Chem. Soc. 1897. 71, 993.



Umwandlung in Racemat und aktive Komponente (im Überschuß) statt, wenn auch bei einer niedrigeren Temperatur als bei dem inaktiven Mischkristall. Obgleich dieses Verhalten von großer Wichtigkeit ist, muß dieser kurze Hinweis hier genügen<sup>1)</sup>.

### 3. Legierungen.

Eine besonders wichtige Klasse von Substanzen, bei deren Studium die Phasenregel ausgezeichnete Dienste geleistet hat, sind die als Legierungen bezeichneten Gemische oder Verbindungen von Metallen. Man hat verschiedene Methoden angewandt, um die Natur dieser Körper zu erforschen, aber eine der wichtigsten besteht jedenfalls in der Ermittlung des Charakters der Gefrierpunktskurve, da, wie wir bereits wissen, aus der Form dieser Kurve wichtige Schlüsse über die Natur der festen Substanzen gezogen werden können, die sich aus dem geschmolzenen Gemisch ausscheiden.

Es ist zwar nicht möglich, hier die experimentellen Resultate und die zuweilen sehr verwickelten Beziehungen, die das Studium der Legierungen zutage gefördert hat, eingehend zu behandeln, aber diese Körper müssen doch teils wegen des wissenschaftlichen Interesses und teils wegen ihrer Bedeutung für die Industrie hier kurz besprochen werden<sup>2)</sup>.

Wir haben bereits gesehen, daß es in den Systemen aus zwei Komponenten drei Haupttypen von Gefrierpunktskurven gibt, je nachdem die reinen Komponenten aus der geschmolzenen Masse auskristallisieren, die Komponenten eine oder mehrere feste Verbindungen bilden oder die Komponenten Mischkristalle bilden. Auch bei den Metallen finden sich Repräsentanten dieser drei Klassen.

#### 1. Die Komponenten scheiden sich im reinen Zustand aus.

In diesem Falle ist die Gefrierpunktskurve von dem einfachen Typus (Fig. 63, I). Derartige Kurven hat man bei verschiedenen Metallpaaren, z. B. Zink und Kadmium, Zink und Aluminium, Kupfer und Silber (HEYCOCK und NEVILLE), Zinn und Zink, Wismut und Blei (GAUTIER) und in anderen Fällen erhalten. Aus geschmolzenen Gemischen, die durch den einen Zweig der Gefrierpunktskurve dargestellt werden, wird das eine Metall, und aus den durch den anderen Zweig dargestellten Gemischen wird das andere Metall ausgeschieden. Beim eutektischen Punkt erstarrt die geschmolzene Masse zu einem heterogenen Gemisch der beiden festen Metalle, der sogenannten eutektischen Legierung. Eine solche Legierung schmilzt daher bei einer bestimmten Temperatur, die tiefer liegt als der Schmelzpunkt jedes der beiden reinen Metalle.

Die folgende Tabelle gibt die Temperatur und die Zusammensetzung der Flüssigkeit beim eutektischen Punkt für drei Paare von Metallen an.

|                      | Temperatur | Zusammensetzung der Flüssigkeit |
|----------------------|------------|---------------------------------|
| Zink-Kadmium . . .   | 264,5 °    | 73,5 Atomprocente Kadmium       |
| Zink-Aluminium . . . | 380,5 °    | 11 " Aluminium                  |
| Kupfer-Silber . . .  | 778 °      | 40 " Kupfer                     |

<sup>1)</sup> Siehe ROOZEBOOM, Zeitschr. phys. Chem. 1899, **28**, 512; ADRIANI, daselbst, 1900, **33**, 173; 1901, **36**, 168.

<sup>2)</sup> Aus der Literatur über diesen Gegenstand ist besonders hervorzuheben; ROBERTS-AUSTEN und STANSFIELD: „Sur la constitution des alliages métalliques“ in den Rapports du Congrès international de physique, 1900, I, 363; J. A. MATHEWS, Journ. of the Franklin Inst. 1902; GAUTIER, Compt. rend. 1896, **123**, 109; ROBERTS-AUSTEN „Reports of the Alloys Research Committee“ in Jour. Inst. Mechan. Engineers von 1891 bis 1904 und die im Journ. Chem. Soc. und in den Trans. Roy. Soc. veröffentlichten Abhandlungen von HEYCOCK und NEVILLE, sowie NEVILLE, Reports of the British Association, 1900, S. 131; die metallographischen Untersuchungen von TAMMANN und seinen Schülern, Zeitschr. anorg. Chem. Band 40 u. ff., sowie auch die Untersuchungen von KURNAKOFF und andern, ebendasselbst, und namentlich diejenigen von SHEPHERD, Journ. Physical. Chem. Band 8. Eine Bibliographie der Arbeiten über Legierungen findet sich in der Zeitschr. anorg. Chem. 1903, **35**, 249. Siehe auch die schöne Zusammenstellung von HEYN in LANDOLT-BÖRNSTEIN-MEYERHOFFERs Physik.-chem. Tabellen 25 (3. Aufl.), S. 296–308.



Die Schmelzpunkte der reinen Metalle sind: Zink  $419^{\circ}$ ; Kadmium  $322^{\circ}$ ; Silber  $960^{\circ}$ ; Kupfer  $1081^{\circ}$ ; Aluminium  $650^{\circ}$ .

2. Die beiden Metalle können eine oder mehrere Verbindungen bilden.

In diesem Falle werden nicht nur die Gefrierpunktskurven der reinen Metalle erhalten, sondern jede entstehende Verbindung hat ihre eigene Gefrierpunktskurve, die ein Maximum zeigt und beiderseits in einem eutektischen Punkt endet. Die einfachste Kurve von diesem Typus wird erhalten, wenn nur eine Verbindung entsteht, was bei Quecksilber und Thallium der Fall ist<sup>1)</sup>. Die Kurve ist in Fig. 74 gegeben. Der Gipfel des mittleren Teils entspricht der Zusammensetzung  $TlHg_2$ . Ähnliche Kurven geben Nickel und Zinn, Aluminium und Silber und andere Metalle, wodurch die Bildung bestimmter Verbindungen zwischen diesen Metallpaaren angezeigt wird<sup>2)</sup>.

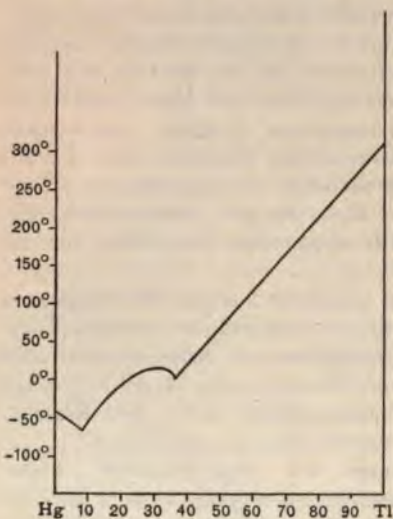


Fig. 74.

Eine Kurve, die zu demselben Typus gehört, die aber komplizierter ist, erhält man bei Gold und Aluminium<sup>3)</sup>. In diesem Falle entstehen mehrere Verbindungen, von denen einige einen echten Schmelzpunkt besitzen, während andere nur einen Umwandlungspunkt aufweisen. Die Hauptverbindung ist  $AuAl_3$ , die fast genau denselben Schmelzpunkt wie reines Gold hat.

3. Die beiden Metalle bilden Mischkristalle (feste Lösungen).

Der einfachste Fall, in welchem die Metalle in einer festen Phase zusammenkristallisieren, findet sich bei Silber und Gold<sup>4)</sup>. Die Erstarrungskurve ist in diesem Falle eine fast gerade Linie, welche die Gefrierpunkte der reinen Metalle verbindet (vgl. die Kurve I, Fig. 65, S. 131). Diese beiden Metalle können daher eine ununterbrochene Reihe von Mischkristallen bilden.

In manchen Fällen bilden jedoch die beiden Metalle nicht eine ununterbrochene Reihe von Mischkristallen. Bei Zink und Silber<sup>5)</sup> z. B. erhöht die Hinzufügung von Silber den Erstarrungspunkt des Gemisches, bis ein Umwandlungspunkt erreicht wird. Dies entspricht der Kurve IV, Fig. 65. Silber und Kupfer, ebenso Gold und Kupfer bilden nicht eine ununterbrochene Reihe von Mischkristallen, sondern die Erstarrungskurve zeigt einen eutektischen Punkt wie die Kurve V, Fig. 65.

Es können aber nicht nur diese drei verschiedenen Typen von Kurven, sondern auch Kombinationen derselben vorkommen. Die beiden Metalle können z. B. nicht nur Verbindungen bilden, sondern eins der Metalle kann Mischkristalle bilden, ohne sich im reinen Zustand auszuschcheiden. In diesem Falle kann der Gefrierpunkt steigen (wie bei Silber und Zink) und einer der eutektischen Punkte kann fehlen.

**Eisen-Kohlenstofflegierungen.** — Von allen binären Legierungen sind vielleicht die wichtigsten die von Eisen und Kohlenstoff, Legierungen, die nicht aus zwei Metallen, sondern aus einem Metall und einem Nichtmetall bestehen.

<sup>1)</sup> KURNAKOFF und PUSCHIN, Zeitschr. anorg. Chem. 1902, **30**, 104.

<sup>2)</sup> GAUTIER, Bull. Soc. d'Encouragement, 1896, [5], **1**, 1312.

<sup>3)</sup> HEYCOCK u. NEVILLE, Phil. Trans. 1900, **194**, 201.

<sup>4)</sup> GAUTIER, a. a. O. Siehe auch ROBERTS-AUSTEN und ROSE, Proc. Roy. Soc. 1903, **71**, 161.

<sup>5)</sup> HEYCOCK u. NEVILLE, Journ. Chem. Soc. 1897, **71**, 414.



Wegen der Wichtigkeit dieser Legierungen soll ein Versuch gemacht werden, die wichtigsten Beziehungen, welche man gefunden hat, zu beschreiben.

Bevor wir jedoch dazu übergehen, die Anwendungen der Phasenregel auf das Studium der Eisen-Kohlenstofflegierungen zu diskutieren, sollen ganz kurz die wichtigsten Tatsachen besprochen werden, die dabei in Betracht kommen. Was das Metall selbst betrifft, so weiß man, daß es in drei verschiedenen festen allotropen Modifikationen existiert, die als  $\alpha$ -,  $\beta$ - und  $\gamma$ -Ferrit bezeichnet werden. Ebenso wie die beiden Modifikationen von Schwefel und von Zinn weisen diese verschiedenen Formen Umwandlungspunkte auf, bei denen die relative Stabilität der Formen wechselt. So ist der Umwandlungspunkt für  $\alpha$ - und  $\beta$ -Ferrit ungefähr  $80^\circ$ ; unterhalb dieser Temperatur ist die  $\alpha$ -Form und oberhalb derselben die  $\beta$ -Form stabil. Für  $\beta$ - und  $\gamma$ -Ferrit ist der Umwandlungspunkt ungefähr  $870^\circ$ , und zwar ist die  $\gamma$ -Form die stabile Modifikation oberhalb dieser Temperatur.

Die verschiedenen Modifikationen des Eisens besitzen auch verschiedene Eigenschaften. So ist  $\alpha$ -Ferrit magnetisch, aber er besitzt nicht die Eigenschaft, Kohlenstoff zu lösen;  $\beta$ -Ferrit ist nichtmagnetisch und löst ebenfalls keinen Kohlenstoff;  $\gamma$ -Ferrit ist wie  $\beta$ -Ferrit nichtmagnetisch, besitzt aber die Eigenschaft, Kohlenstoff zu lösen und also feste Lösungen von Kohlenstoff in Eisen zu bilden.

Auch verschiedene Legierungen von Eisen und Kohlenstoff müssen unterschieden werden, zunächst der Hartstahl, welcher verschiedene Mengen Kohlenstoff bis zu zwei Prozent enthält. Bei mikroskopischer Untersuchung erweisen sich diese Mischungen sämtlich als homogen; sie müssen daher als feste Lösungen von Kohlenstoff in Eisen ( $\gamma$ -Ferrit) betrachtet werden. Diesen Lösungen hat man den Namen Martensit gegeben. Perlit enthält ungefähr 0,8 Prozent Kohlenstoff und ist, wie sich bei mikroskopischer Untersuchung zeigt, ein heterogenes Gemisch. Wenn der Perlit über  $670^\circ$  erhitzt wird, so wird er homogen und bildet Martensit. Endlich existiert eine bestimmte chemische Verbindung von Eisen und Kohlenstoff, Eisenkarbid oder Zementit, dessen Zusammensetzung der Formel  $\text{Fe}_3\text{C}$  entspricht.

Wir gehen jetzt zur Beschreibung der Anwendung der Phasenregel auf das Zweikomponentensystem Eisen-Kohlenstoff, sowie des Diagramms über, welches zeigt, wie die verschiedenen Systeme zusammenhängen und vermittels dessen das Verhalten der verschiedenen Gemische unter gegebenen Bedingungen vorausgesagt werden kann. Wenn auch über die Abgrenzung der verschiedenen Felder in diesem Diagramm kein Zweifel besteht, so ist es doch noch nicht gelungen, über die Interpretation sämtlicher Kurven eine definitive Entscheidung zu treffen.

Die wichtigsten Beziehungen zwischen den Eisen-Kohlenstofflegierungen sind in Fig. 75 dargestellt<sup>1)</sup>.

Die Kurve  $AC$  ist die Erstarrungskurve für Eisen<sup>2)</sup>,  $BC$  die unbekannte Gefrierpunktskurve für Graphit.  $C$  ist ein eutektischer Punkt. Wir wollen nun von einem Gemische von Eisen und Kohlenstoff ausgehen, welches durch den Punkt  $x$  repräsentiert wird. Wenn die Temperatur erniedrigt wird, so wird ein Punkt  $y$  erreicht, bei welchem sich feste Substanz auszuscheiden beginnt. Diese feste Phase ist nicht reines Eisen, sondern eine feste Lösung von Kohlenstoff in

<sup>1)</sup> Siehe ROBERTS-AUSTEN, Introduction to Metallurgy, 5. Aufl., S. 102; BAKHUIS ROOZEBOOM, Journ. Iron and Steel Inst. 1900, II, 311; Zeitschr. phys. Chem. 1900, 34, 437; VON LUPNER, Siderologie, Bd. 1, Kap. 61; VAN'T HOFF, Zinn, Gips und Stahl, S. 24 oder Acht Vorträge über physikalische Chemie, S. 37; ferner ROOZEBOOM, Zeitschr. Elektrochem. 1904, 10, 489; E. HEYN, daselbst S. 491; CARPENTER und KEELING, Journ. Iron and Steel Inst. 1904, 35, 224. Vergl. auch „Mikrographische Analyse der Eisen-Kohlenstofflegierungen“ von F. OSMOND, übers. v. HENRICH, Halle 1906, sowie C. BENEDICKS, „Gleichgewicht und Erstarrungsstrukturen“ der Zeitschrift „Metallurgie“, Halle 1907, 3, Heft 12—14.

<sup>2)</sup> Der Schmelzpunkt des reinen Eisens ist nach CARPENTER und KEELING  $1505^\circ$  (Journ. Iron and Steel Inst. 1904, 65, 224).



Eisen von der durch  $y'$  angegebenen Zusammensetzung (vgl. S. 115). Wenn die Temperatur noch weiter sinkt, so ändert sich die Zusammensetzung der flüssigen Phase in der Richtung  $yC$ , während sich die Zusammensetzung der festen Phase, die sich ausscheidet, in der Richtung  $y'D$  ändert. Wenn schließlich die Zusammensetzung der geschmolzenen Masse diejenige des Punktes  $C$  geworden ist (4,3 Prozent Kohlenstoff), so erstarrt die ganze Masse zu einem heterogenen Gemisch zweier fester Lösungen, von denen die eine 2 Prozent Kohlenstoff enthält und durch  $D$  repräsentiert wird, während die andere praktisch aus reinem, nahezu 100 Prozent Graphit besteht und daher in der Figur nicht mehr sichtbar dargestellt ist. Die Temperatur des eutektischen Punktes ist  $1130^\circ$ .

Aber auch unterhalb des Erstarrungspunktes können Änderungen stattfinden. Die feste Phase, welche sich schließlich ausscheidet, ist, wie gesagt, eine durch den Punkt  $D$  repräsentierte feste Lösung, und die Kurve  $DE$  repräsentiert die Änderung der Zusammensetzung dieser festen Lösung mit der Temperatur.  $DE$  bildet, wie in der Figur angedeutet ist, einen Teil der Kurve, welche die

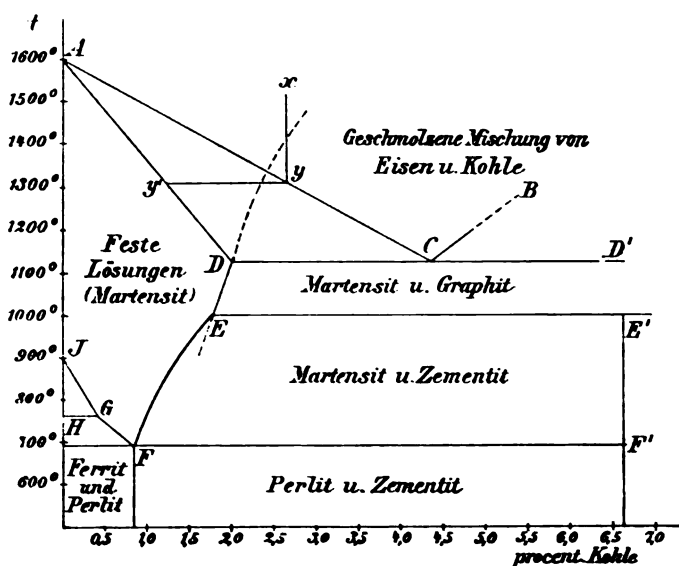


Fig. 75.

gegenseitige Löslichkeit von Graphit in Eisen und Eisen in Graphit repräsentiert. Die Kurventeile für die letzteren Lösungen sind jedoch nicht sichtbar, da sie weit rechts außerhalb des Diagramms liegen würden. Wenn die Temperatur unter  $1130^\circ$  sinkt, so scheidet sich mehr und mehr Graphit aus, bis bei  $E$ , wenn die Temperatur  $1000^\circ$  ist, die feste Lösung nur noch 1,8 Prozent Kohlenstoff enthält. Bei dieser Temperatur beginnt auch die Bildung von Zementit, so daß bei weiterem Sinken der Temperatur Ausscheidung von Zementit (repräsentiert durch die Linie  $E'F'$ ) eintritt und die Zusammensetzung der festen Lösung eine durch die Kurve  $EF$  repräsentierte Änderung erleidet. Unterhalb der Temperatur des Punktes  $F$  ( $670^\circ$ ) wird der Martensit heterogen und bildet Perlit.

Aus dieser Beschreibung folgt also, daß, wenn wir mit einem geschmolzenen Gemisch von Eisen und Kohlenstoff anfangen, dessen Zusammensetzung durch irgend einen Punkt zwischen  $D$  und  $C$  (von 2—4,3 Prozent Kohlenstoff) repräsentiert wird, wir beim Abkühlen der Masse zunächst feste Lösungen erhalten, deren Zusammensetzungen durch Punkte auf der Linie  $AD$  repräsentiert werden, daß dann, nachdem die Masse bei  $1130^\circ$  vollständig erstarrt ist, weitere Abkühlung Ausscheidung von Graphit und eine Änderung der Zusammensetzung des Martensit

on 2—1,8 Prozent Kohlenstoff) zur Folge hat. Wenn unter  $1000^{\circ}$  abgekühlt wird, so entstehen aus Martensit und Graphit Zementit und feste Lösungen, die eniger Kohlenstoff als vorher enthalten, bis bei einer Temperatur unter  $670^{\circ}$  in Gemisch von Perlit und Zementit übrig bleibt.

Es wurde bereits gesagt, daß Eisen in drei allotropen Modifikationen auftritt, deren Stabilitätsgebiete durch bestimmte Umwandlungspunkte getrennt sind. Der Umwandlungspunkt für  $\alpha$ - und  $\beta$ -Ferrit ( $780^{\circ}$ ) wird in Fig. 75 durch den Punkt *H* repräsentiert, und der Umwandlungspunkt für  $\beta$ - und  $\gamma$ -Ferrit ( $870^{\circ}$ ) durch den Punkt *I*. Da weder der  $\alpha$ -Ferrit noch der  $\beta$ -Ferrit Kohlenstoff löst, wird der Umwandlungspunkt durch Zusatz von Kohlenstoff nicht beeinflusst, und wir erhalten daher die horizontale Umwandlungskurve *HG*. Im Falle von  $\beta$ -Ferrit und  $\gamma$ -Ferrit dagegen löst der letztere Kohlenstoff, und der Umwandlungspunkt wird infolgedessen durch die Menge des Kohlenstoffs beeinflusst. Dies zeigt die Linie *IG*.

Wenn ein Martensit, der weniger Kohlenstoff enthält, als durch den Punkt *G* repräsentiert wird, von einer Temperatur von etwa  $900^{\circ}$  abgekühlt wird und die Temperatur auf die durch einen Punkt der Linie *IG* repräsentierten gefallen ist, so scheidet sich  $\beta$ -Ferrit aus, und wenn die Temperatur sinkt, ändert sich die Zusammensetzung der festen Lösung, wie es durch *IG* repräsentiert wird. Wenn die Temperatur unter die von *HG* sinkt, so verwandelt sich der  $\beta$ -Ferrit in  $\alpha$ -Ferrit, und bei weiterem Sinken der Temperatur scheidet sich der letztere mehr und mehr aus, während sich die Zusammensetzung der festen Lösung in der Richtung *GF* ändert. Bei noch weiterem Sinken der Temperatur zerfällt die feste Lösung bei *F* (0,8 Prozent Kohlenstoff) in Perlit. Wenn der Prozentgehalt von Kohlenstoff in der ursprünglichen festen Lösung durch einen zwischen *G* und *F* liegenden Punkt repräsentiert wurde, so scheidet sich beim Abkühlen kein  $\beta$ -Ferrit, sondern nur  $\alpha$ -Ferrit aus.

Der Martensit liefert also, wie wir sehen, wenn er langsam abgekühlt wird, ein heterogenes Gemisch von Ferrit und Perlit (wenn das ursprüngliche Gemisch bis zu 0,8 Prozent Kohlenstoff enthielt) oder von Perlit und Zementit (wenn das ursprüngliche Gemisch zwischen 0,8 und 2 Prozent Kohlenstoff enthielt). Diese heterogenen Gemische bilden weichen Stahl oder, wenn der Kohlenstoffgehalt gering ist, Schmiedeeisen.

Etwas anderes findet statt, wenn die feste Lösung von Kohlenstoff in Eisen von einer Temperatur oberhalb der Kurve *IGFE* auf eine Temperatur unterhalb dieser Kurve schnell abgekühlt (abgeschreckt) wird. In diesem Falle verhindert die schnelle Abkühlung das Stattfinden der beschriebenen Umwandlungen, da dies eine gewisse Zeit beansprucht. Die homogene feste Lösung bleibt daher bei schnellem Erkalten homogen. Auf diese Weise erhält man Hartstahl. Durch Abänderung der Geschwindigkeit des Abkühlens, wie es beim Anlassen des Stahls geschieht, kann man verschiedene Härtegrade erzielen.

Die Interpretation der gegebenen Kurven ist im wesentlichen die von ROOZEBOOM gegebene, der aus den experimentellen Daten den Schluß zog, daß bei Temperaturen unter  $1000^{\circ}$  die stabilen Systeme Martensit und Zementit oder Ferrit und Zementit sind, während Graphit labil ist. Es ist jedoch darauf hingewiesen worden, namentlich von HEYN<sup>1)</sup>, daß dies nicht mit den Tatsachen der Metallurgie in Einklang steht, aus denen hervorgeht, daß Graphit ohne Zweifel bei langsamer Abkühlung gebildet wird, namentlich wenn das Eisen geringe Mengen Silicium enthält<sup>2)</sup>.

Da nun die durch Fig. 75 zum Ausdruck gebrachten Beziehungen unter bestimmten Bedingungen (namentlich wenn Mangan anwesend ist) erhalten worden

<sup>1)</sup> Zeitschr. für Elektrochem. 1904, 10, 491.

<sup>2)</sup> Siehe auch HJØRNS, Journ. Soc. Chem. Ind. 1906, 25, 50.

sind, ist HEYN der Ansicht, daß alle Kurven in dieser Figur mit Ausnahme von *ACB* metastabile Systeme repräsentieren, also ähnliche Systeme wie unterkühlte Flüssigkeiten. Schnelle Abkühlung begünstigt die Entstehung metastabiler Systeme, welche Zementit enthalten und daher zu Beziehungen wie den in Fig. 75 dargestellten Veranlassung geben, während langsame Abkühlung zu dem stabilen System Ferrit und Graphit führt. Anwesenheit von Silicium strebt die Entstehung metastabiler Systeme zu verhindern, während sie durch die Anwesenheit von Mangan begünstigt wird.

Wenn auch diese von HEYN ausgesprochene Ansicht nicht definitiv bewiesen ist, so spricht doch vieles für sie. Es sind aber weitere Untersuchungen erforderlich, bevor eine endgültige Entscheidung über die Interpretation der Kurven in dieser Beziehung getroffen werden kann.

**Bestimmung der Zusammensetzung von Verbindungen ohne direkte Analyse.** — Da das Gleichgewicht zwischen einer festen und einer flüssigen Phase nicht nur von der Zusammensetzung der flüssigen (Lösung), sondern auch von derjenigen der festen abhängt, so muß die Zusammensetzung der letzteren bestimmt werden. In einigen Fällen läßt sich dies sehr leicht dadurch ausführen, daß man die feste Phase von der flüssigen trennt und analysiert. In anderen Fällen dagegen ist diese Methode nicht anwendbar oder mit Schwierigkeiten verbunden, entweder weil die feste Phase eine Zersetzung erleidet (z. B. wenn sie einen flüchtigen Bestandteil enthält) oder weil es schwer ist, sie von der Mutterlauge vollständig zu trennen, was z. B. bei Metalllegierungen der Fall ist. In solchen Fällen muß man seine Zuflucht zu anderen Methoden nehmen.

Man kann vor allen Dingen synthetische Methoden benutzen<sup>1)</sup>. In diesem Falle gehen wir von einer Lösung der beiden Komponenten aus, zu der eine dritte Substanz hinzugefügt worden ist, die aber nicht in die feste Phase eintritt<sup>2)</sup>. Wir wollen annehmen, die Lösung enthalte anfangs  $x$  Gramm von  $A$  und  $y$  Gramm von  $B$  auf ein Gramm von  $C$ . Nachdem die Lösung auf eine Temperatur abgekühlt worden ist, bei welcher sich feste Substanz ausscheidet, wird ein Teil der flüssigen Phase mit der Pipette hinweggenommen und analysiert. Wenn die Lösung jetzt so zusammengesetzt ist, daß sie  $x'$  Gramm von  $A$  und  $y'$  Gramm von  $B$  auf ein Gramm von  $C$  enthält, so ist die Zusammensetzung der festen Phase  $x - x'$  Gramm von  $A$  und  $y - y'$  Gramm von  $B$ . Wenn  $x = x'$ , so ist die feste Phase reines  $B$ ; wenn  $y = y'$ , so ist die feste Phase reines  $A$ .

Es ist hier angenommen worden, daß nur eine feste Phase anwesend ist, die  $A$  und  $B$  enthält. Um sich zu vergewissern, daß die feste Phase nicht eine feste Lösung ist, die  $A$  und  $B$  in demselben Verhältnis wie die flüssige Lösung enthält, muß eine zweite Bestimmung mit anderer Anfangs- und Endkonzentration ausgeführt werden. Wenn eine feste Lösung anwesend ist, so wird für dieselbe eine andere Zusammensetzung gefunden werden.

Die Zusammensetzung der festen Phase kann aber auch in anderer Weise ermittelt werden, nämlich durch ein Studium der Schmelzkurve und der Abkühlungskurve: Die Form der Schmelzkurve allein ermöglicht es, zu entscheiden, ob die beiden Komponenten eine Verbindung bilden oder nicht, und wenn die Verbindungen, welche entstehen können, einen echten Schmelzpunkt besitzen, so ergibt sich ihre Zusammensetzung ohne weiteres aus der Lage des Schmelzpunktes (vgl. S. 130). Dies ist jedoch nicht möglich, wenn die Verbindungen einen Zerfall erleiden, bevor die Temperatur ihrer Schmelzpunkte erreicht wird.

<sup>1)</sup> BANCROFT, Journ. Physical. Chem. 1902, **6**, 178. Siehe übrigens auch die Methode nach A. VAN BIJLERT, Zeitschr. phys. Chem. 1891, **8**, 342; C. H. KETNER, ebenda 1902, **39**, 659.

<sup>2)</sup> Die Methode, welche befolgt werden muß, wenn die dritte Komponente in die feste Phase eintritt, wird später erklärt werden.



In solchen Fällen kann aber aus der Form der Abkühlungskurve auf die Zusammensetzung der festen Phase geschlossen werden<sup>1)</sup>. Läßt man eine Lösung langsam erkalten und notiert in bestimmten Zeitintervallen die Temperatur  $t$ , so erhält man, wenn man die Resultate graphisch darstellt, eine kontinuierliche Kurve, z. B.  $ab$  in Fig. 76. Sobald aber die Ausscheidung der festen Phase beginnt, ändert sich die Abkühlungsgeschwindigkeit und die Kurve bekommt einen Knick (Punkt  $b$ ). Wenn der eutektische Punkt erreicht ist, bleibt die Temperatur konstant, bis alle Flüssigkeit erstarrt ist. Dies wird durch die Linie  $cd$  angezeigt. Nachdem die Masse fest geworden ist, zeigt die Temperatur wieder ein gleichförmiges Fallen.

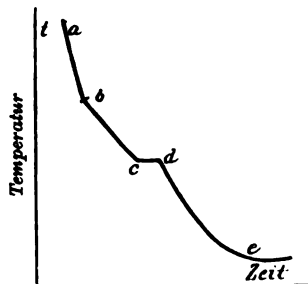


Fig. 76.

Die Länge der Zeit, während der die Temperatur bei  $c$  konstant bleibt, hängt natürlich unter sonst gleichen Umständen von der Menge der eutektischen Lösung ab. Wenn daher gleiche Mengen Lösung von verschiedener Anfangskonzentration genommen werden, so ist die Periode konstanter Temperatur offenbar dann am größten, wenn wir von einer Lösung von der Zusammensetzung des eutektischen Punktes ausgehen, und sie wird kleiner und kleiner, wenn wir die Menge einer der beiden Komponenten erhöhen. Die Beziehung zwischen der anfänglichen Zusammensetzung der Lösung und der Dauer der konstanten Temperatur beim eutektischen Punkt wird daher durch eine Kurve wie  $a'c'b'$  in Fig. 77 angegeben, entsprechend der Zusammensetzungs-Temperaturkurve  $abc$ , wo  $c$  der eutektische Punkt ist. Wenn eine Verbindung

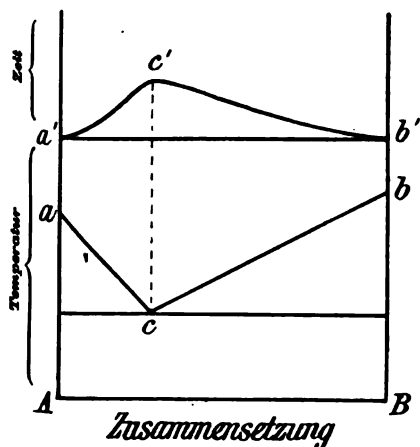


Fig. 77.

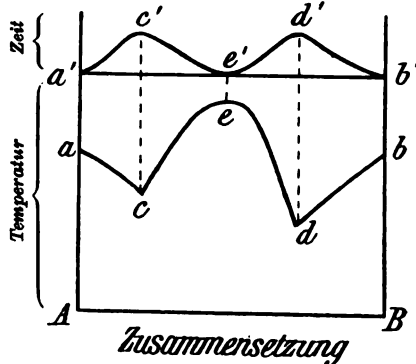


Fig. 78.

entsteht, die einen echten Schmelzpunkt besitzt, so verhält sich diese wie eine reine Komponente. Wenn daher die anfängliche Zusammensetzung der Lösung dieselbe wie die der Verbindung ist, so erhält man keine eutektische Lösung, und es gibt daher in Fig. 76 keine Linie konstanter Temperatur  $cd$ . Wenn wir in einem solchen Falle die Zusammensetzung und die Dauer der konstanten Temperatur in ein Koordinatensystem eintragen, so erhalten wir ein Diagramm wie Fig. 78. Die beiden Maxima  $c'$  und  $d'$  auf der Zeit-Zusammensetzungskurve zeigen dann

<sup>1)</sup> TAMMANN, Zeitschr. anorg. Chem. 1903, 37, 303; 1905, 45, 24; 1905, 47, 298. Bei dieser Gelegenheit ist auf das Registrierpyrometer von SIEMENS & HALSKE, Zeitschr. f. Instrumentenkunde 1905, 25, 273 sowie von KURNAKOW (Zeitschr. anorg. Chem. 1904, 42, 184) hinzuweisen. Für feinere Messungen nach LINDECK siehe Zeitschr. f. Instrumentenkunde 20, 85, sowie PLATO, Zeitschr. phys. Chem. 1906, 55, 727.

eutektische Punkte und die Minima  $d'$ ,  $b'$ ,  $e'$  reine Substanzen an. Die Lage von  $d'$  gibt die Zusammensetzung der festen Verbindung an. Wenn eine Reihe von festen Verbindungen entsteht, so befindet sich auf der Zeit-Zusammensetzungskurve bei der Zusammensetzung einer jeden derselben ein Zeitminimum.

Wenn die entstehende Verbindung keinen echten Schmelzpunkt hat, so hat das Diagramm, welches man erhält, die Form der Kurve in Fig. 79. Wenn wir von einer Lösung ausgehen, deren Zusammensetzung durch einen Punkt zwischen  $d$  und  $b$  angegeben wird, so wird beim Abkühlen zuerst  $B$  ausgeschieden und die Temperatur fällt, bis der Punkt  $d$  erreicht wird. Dann bleibt die Temperatur konstant, bis die ausgeschiedene Komponente  $B$  in die Verbindung verwandelt ist. Sodann fällt die Temperatur wieder, bis sie beim eutektischen Punkt  $c$  wieder konstant bleibt. Beim ersten Stillstand ist die Periode konstanter Temperatur am größten, wenn die anfängliche Zusammensetzung der Lösung gleich derjenigen der sich abscheidenden festen Verbindung ist, und sie wird kleiner und kleiner, wenn die Konzentration der einen oder anderen Komponente

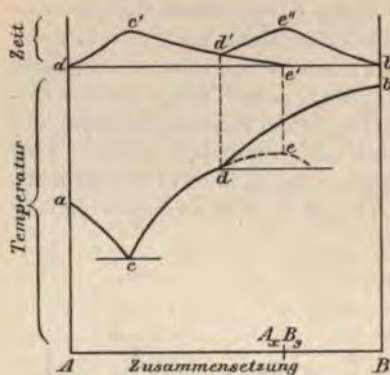


Fig. 79.

erhöht wird. Auf diese Weise erhalten wir die Zeit-Zusammensetzungskurve  $b'e'd'$ , und die Abszisse  $A_x B_y$  des Maximalpunktes  $e''$  gibt die Zusammensetzung der festen Verbindung an.

Andererseits ist die Periode konstanter Temperatur für den eutektischen Punkt  $c$  am größten für Lösungen, deren anfängliche Zusammensetzung gleich derjenigen des eutektischen Punktes ist, und sie nimmt ab, je mehr sich die Zusammensetzung derjenigen der reinen Komponente  $A$  oder der Komponente  $c$  bzw.  $A_x B_y$  annähert. Auf diese Weise erhalten wir die Zeit-Zusammensetzungskurve  $a'c'e'$ . Auch hier entspricht  $e'$  bzw. seine Abszisse der Zusammensetzung der festen Verbindung  $A_x B_y$ . Wir sehen also, daß es

durch Zeichnung der Erstarrungskurve und der Dauer der Stillstände auf der Abkühlungskurve für Lösungen von verschiedener anfänglicher Zusammensetzung möglich ist, ohne Zuhilfenahme einer Analyse zu sagen, welche festen Phasen entstehen und welches ihre Zusammensetzung ist. Man nennt dieses Verfahren die „thermische Analyse“.

**Bildung von Mineralien.** — Nicht minder wichtig und interessant wie für das Studium der Legierungen ist die Anwendung der Phasenregel für das Studium der Bedingungen der Bildung von Mineralien; und wenn es auch nicht beabsichtigt wird, hier einzelne Fälle eingehend zu betrachten, so soll doch die Aufmerksamkeit auf einige Punkte gelenkt werden, die mit diesem interessanten Gegenstand zusammenhängen.

Zunächst ergibt sich aus dem Gesagten, daß dasjenige Mineral, welches aus einem geschmolzenen Magma zuerst auskristallisiert, nicht notwendigerweise das mit dem höchsten Schmelzpunkt ist. Es muß auch die Zusammensetzung der geschmolzenen Masse in Betracht gezogen werden. Wenn das System aus zwei Komponenten besteht, die nicht eine Verbindung bilden, so wird die eine oder die andere derselben im reinen Zustand auskristallisieren, je nachdem die Zusammensetzung der geschmolzenen Masse auf der einen oder der anderen Seite der Zusammensetzung beim eutektischen Punkt liegt, und die Ausscheidung der einen Komponente wird fortschreiten, bis die dem eutektischen Punkt entsprechende Zusammensetzung erreicht ist. Weitere Abkühlung wird daher schließlich zur gleichzeitigen Kristallisation beider Komponenten führen.



Wenn dagegen die beiden Komponenten eine stabile Verbindung bilden (z. B. Orthoklas, aus einer geschmolzenen Masse von Kieselerde und Kaliumaluminat), so wird die Gefrierpunktskurve eine ähnliche Form haben wie die in Fig. 64, d. h. es wird ein mittlerer Teil vorhanden sein, welcher einen „dystektischen Punkt“ (wie man das Kurvenmaximum beim echten Schmelzpunkt der Verbindung auch nennt) besitzt und auf jeder Seite in einem eutektischen Punkt endet. Diese Kurve würde die Bedingungen angeben, unter denen Orthoklas im Gleichgewicht mit der geschmolzenen Masse ist. Wenn die ursprüngliche Zusammensetzung des Magmas durch einen Punkt zwischen den beiden eutektischen Punkten repräsentiert wird, so wird sich zuerst Orthoklas ausscheiden. Dabei wird sich die Zusammensetzung des Magmas ändern, und die Masse wird je nach der ursprünglichen Zusammensetzung schließlich zu einem Gemisch von Orthoklas und Kieselerde oder Orthoklas und Kaliumaluminat erstarren.

Das Gesagte gilt jedoch nur für stabile Gleichgewichte; man darf nicht vergessen, daß Komplikationen durch Überschreitung und Verzögerungen (wenn z. B. das Magma schnell abgekühlt wird) und durch metastabile Gleichgewichte herbeigeführt werden können. Diese kommen in der Natur allerdings ziemlich häufig vor.

Das Studium der Bildung von Mineralien vom Gesichtspunkt der Phasenregel aus ist bis jetzt noch nicht über die Anfänge hinausgekommen, aber die bereits erzielten Resultate versprechen für die Zukunft reiche Ernte<sup>1)</sup>.

<sup>1)</sup> In dieser Hinsicht ist zu verweisen auf dieses Handbuch der angew. physikal. Chem., Bd. 2: DOELTER, Physikal. chem. Mineralogie (Leipzig 1905); derselbe, Centralbl. f. Min. u. Geol. 1906, 193; Chem. Centralbl. 1906, I. 1504; Zeitschr. f. Elektrochem. 1906, 12, 617, 433; KÖNIGSBERGER & WOLF J. MÜLLER, Centralbl. f. Min. u. Geol. 1906, 339, 353; MEYERHOFFER, Zeitschr. f. Kristallographie, 1902, 36, 593; GUTHRIE, Phil. Mag., 1884, [5], 17, 479; LE CHATELIER, Compt. rend. 1900, 130, 85; und namentlich auf E. BAUR, Zeitschr. phys. Chem. 1903, 42, 67; DAY & ALLÈN, Zeitschr. phys. Chem. 1906, 54, 1; J. H. L. VOGT, Zeitschr. f. Elektrochem. 1903, 9, 852, und Die Silikatschmelzlösungen, Teile I und II (Christiania 1903, 1904); derselbe, Schermaks min. u. petrogr. Mitteil. 1906, 24, 437. Siehe auch N. V. KULTASCHEFF, Zeitschr. org. Chem. 1903, 35, 187. Für mikroskop. Beobachtungen bei hohen Temperaturen vgl. DOELTER, dieses Handbuch 2, S. 123 u. 130; SIEDENTOPF, Zeitschr. f. Elektrochem. 1906, 12, 593.



## Dreizehntes Kapitel.

### Systeme aus drei Komponenten.

**Allgemeines.** — Die Zunahme der Anzahl der Komponenten von eins auf zwei hat, wie früher gezeigt worden ist, eine beträchtliche Zunahme der Zahl der möglichen Systeme zur Folge und bringt in die Gleichgewichtsbeziehungen derselben nicht unerhebliche Komplikationen. Dies ist in nicht geringerem Grade der Fall, wenn die Anzahl der Komponenten von zwei auf drei steigt. Man hat zwar nicht Beispiele von allen möglichen Typen, auch nicht einen einzelnen Typus vollständig untersucht, aber in den Systemen, die experimentell studiert worden sind, finden sich doch Fälle, die nicht nur von hohem wissenschaftlichen Interesse, sondern auch für die Industrie von großer Bedeutung sind. Wegen der großen Anzahl und namentlich auch wegen der Komplexität der aus drei Komponenten bestehenden Systeme müssen wir von einer ausführlichen Beschreibung, ja selbst von einer Übersicht über alle Fälle, welche mehr oder weniger genau untersucht worden sind, absehen. Wir müssen uns vielmehr darauf beschränken, einige der wichtigeren Klassen auszuwählen und die wichtigsten Punkte in ihrem Verhalten hervorzuheben.

Wenn wir die Phasenregel,

$$P + F = C + 2,$$

auf Systeme aus drei Komponenten anwenden, so finden wir, daß nicht weniger als fünf Phasen zusammen anwesend sein müssen, damit das System invariant ist, daß ein invariantes System also an einem fünffachen Punkt existieren muß. Da die Anzahl der flüssigen Phasen niemals größer als die Anzahl der Komponenten sein kann, und da nur eine dampfförmige Phase existieren kann, so muß offenbar ebenso wie in anderen Fällen auch in diesem Falle beim fünffachen Punkt mindestens eine feste Phase vorhanden sein. Wenn die Anzahl der Phasen kleiner wird, so kann die Veränderlichkeit des Systems von eins bis vier zunehmen, so daß im letzten Falle der Zustand des Systems erst dann bestimmt ist, wenn nicht nur die Temperatur und der Gesamtdruck des Systems, sondern auch die Konzentrationen zweier Komponenten fixiert sind. Anstatt der Konzentrationen können auch die Partialdrucke der Komponenten als unabhängige Variable gewählt werden.

**Graphische Darstellung.** — Bisher sind die Konzentrationen der Komponenten durch rechtwinklige Koordinaten dargestellt worden, obwohl die numerischen Beziehungen auf zwei verschiedene Weisen ausgedrückt wurden. In dem einen Fall wurde die Konzentration der einen Komponente in bezug auf eine bestimmte Menge der anderen Komponente angegeben. So wurde die Löslichkeit eines Salzes durch die Anzahl der Gramm Salz ausgedrückt, die in 100 Gramm Wasser oder eines anderen Lösungsmittels gelöst waren, und die so erhaltenen Zahlen bildeten die eine der beiden Koordinaten. Die zweite Koordinate wurde benutzt, um die Änderung einer anderen unabhängigen Variablen, z. B. der Temperatur, anzugeben. Im anderen Falle wurden die verbundenen Gewichte der beiden

komponenten  $A$  und  $B$  gleich eins gesetzt, und die Konzentration der einen wurde Bruchteil der Gesamtmenge ausgedrückt. Diese Methode ermöglicht die Herstellung der vollständigen Reihe von Konzentrationen von reinem  $A$  bis zu reinem  $B$ , und sie wurde z. B. bei der graphischen Darstellung der Gefrierkurven benutzt.

Auch bei drei Komponenten können rechtwinklige Koordinaten benutzt werden, und sie sind die bequemsten, wenn das Verhalten zweier Komponenten einander sehr verschieden von ihrem Verhalten zur dritten Komponente ist, z. B. bei zwei Salzen und Wasser der Fall ist. In diesen Fällen kann die Zusammensetzung des Systems dadurch dargestellt werden, daß man die Mengen zweier Komponenten in einer gegebenen Menge der dritten auf zwei zueinander rechtwinkligen Koordinatenachsen abmißt, und die Änderung des Systems mit der Temperatur kann durch eine dritte Koordinatenachse dargestellt werden, die auf den beiden ersten senkrecht steht. In denjenigen Fällen dagegen, in denen die drei Komponenten ein ganz gleichartiges Verhalten zueinander zeigen, sind die rechtwinkligen Koordinaten nicht zu gebrauchen, und man benutzt anstatt dieser ein dreieckiges Diagramm. Für die graphische Darstellung von Systemen aus drei Komponenten vermittels des Dreiecks sind verschiedene Methoden vorgeschlagen worden, aber nur zwei derselben haben ausgedehntere Anwendung gefunden. Daher wird eine kurze Beschreibung dieser beiden Methoden gegeben<sup>1)</sup>.

Bei der von GIBBS vorgeschlagenen Methode wird ein gleichseitiges Dreieck benutzt, dessen Höhe gleich der Einheit ist (Fig. 80)<sup>2)</sup>. Die Ecken des Dreiecks repräsentieren beziehungsweise die reinen Substanzen  $A$ ,  $B$  und  $C$ . Ein Punkt auf einer der Seiten des Dreiecks gibt die Zusammensetzung eines Gemisches an, in welchem nur zwei Komponenten enthalten sind, während ein Punkt innerhalb des Dreiecks die Zusammensetzung eines Gemisches aller drei Komponenten repräsentiert. Da jeder Punkt innerhalb des Dreiecks die Eigenschaft hat, daß die Summe der drei Senkrechten von ihm auf die Seiten des Dreiecks gleich der Höhe des Dreiecks, also im vorliegenden Falle gleich eins ist, so läßt sich offenbar die Zusammensetzung eines ternären Gemisches in der Weise darstellen, daß man einen Punkt innerhalb des Dreiecks so fixiert, daß die Längen der drei Senkrechten von dem Punkt auf die Seiten des Dreiecks die relativen Mengen der drei Komponenten angeben. Die relativen Mengen von  $A$ ,  $B$  und  $C$  in diesem ternären Gemische werden dann

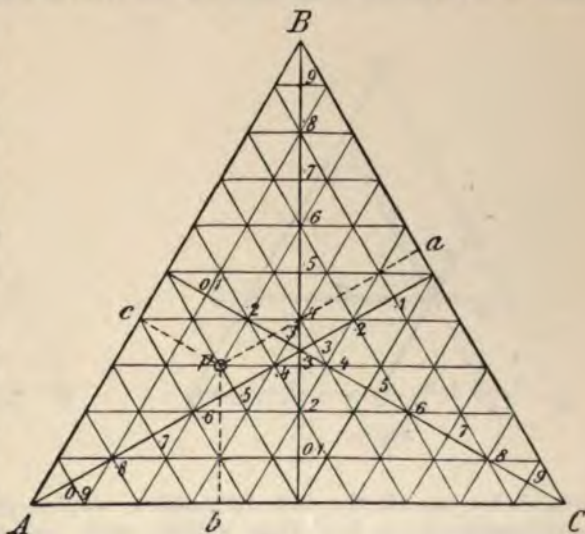


Fig. 80.

<sup>1)</sup> G. G. STOKES, Proc. Roy. Soc. 1891, 49, 174; GIBBS, Trans. Conn. Acad. 1876, 3, 1; Thermodynamische Studien, übersetzt von OSTWALD, Leipzig 1892, S. 141; ROOZEBOOM, Schr. phys. Chem. 1894, 15, 147.

<sup>2)</sup> Die Figur ist aus OSTWALD, Lehrbuch, II, 2, 984 entnommen.

beziehungsweise durch die senkrechten Abstände von den Ecken  $A, B, C$  des Dreiecks gegenüberliegenden Seiten repräsentiert.

Die Festlegung dieses Punktes wird vereinfacht, wenn man die drei Höhen des Dreiecks in zehn oder hundert Teile teilt und durch die Teilpunkte Linien senkrecht zu den Höhen, also parallel zu den Seiten des Dreiecks zieht. Man erhält so ein Netzwerk von gleichseitigen Dreiecken, und die Lage eines Punktes wird ganz in derselben Weise abgelesen wie bei rechtwinkligen Koordinaten. So bezeichnet z. B. der Punkt  $P$  in Fig. 80 ein ternäres Gemisch von der Zusammensetzung  $A = 0,5, B = 0,3, C = 0,2$ , da die Senkrechten  $Pa, Pb, Pc$  beziehungsweise gleich  $0,5, 0,3$  und  $0,2$  von der Höhe des Dreiecks sind.

Eine andere, von ROOZEBOOM vorgeschlagene Methode der Darstellung besteht darin, daß man ein gleichseitiges Dreieck benutzt, dessen Seite gleich eins oder hundert gemacht wird. Die Summe der relativen Mengen der drei Komponenten wird daher durch die Länge einer Seite des Dreiecks dargestellt. Die Zusammensetzung eines ternären Gemisches erhält man dadurch, daß man nicht den senkrechten Abstand eines Punktes  $P$  von den drei Seiten des Dreiecks bestimmt, sondern den Abstand in der Richtung parallel zu den Seiten des Dreiecks (Fig. 81).

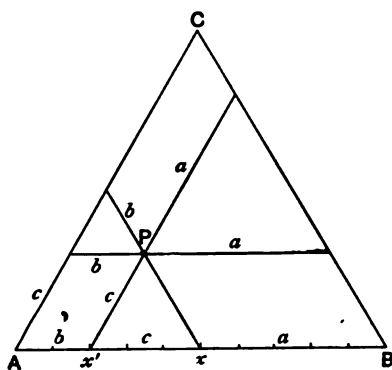


Fig. 81.

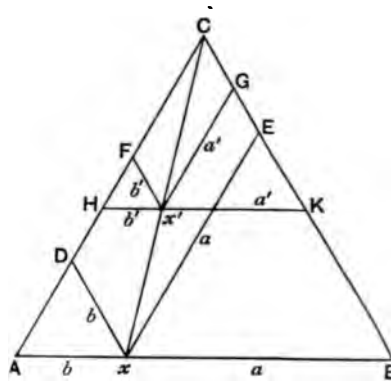


Fig. 82.

Umgekehrt, um ein Gemisch darzustellen, welches von den Komponenten  $A, B, C$  beziehungsweise  $a, b, c$  Teile enthält, wird zunächst eine Seite des Dreiecks, z. B.  $AB$ , in zehn oder hundert Teile geteilt. Dann wird ein Teil  $Bx = a$  abgetragen, welcher die Menge von  $A$  vorstellt, ebenso ein Teil  $Ax' = b$ , der die Menge von  $B$  vorstellt. Die Strecke  $xx' = c$  stellt dann die Menge von  $C$  vor. Von  $x$  und  $x'$  werden Linien parallel zu den Seiten des Dreiecks gezogen, und der Durchschnittspunkt  $P$  stellt die Zusammensetzung des ternären Gemisches dar, da, wie aus der Figur ersichtlich ist, die Abstände des Punktes  $P$  von den Seiten des Dreiecks, parallel zu den Seiten gemessen, gleich  $a, b, c$  sind. Aus der Teilung der Seite  $AB$  ist zu ersehen, daß z. B. der Punkt  $P$  in dieser Figur ein Gemisch von 0,5 Teilen  $A$ , 0,2 Teilen  $B$  und 0,3 Teilen  $C$  darstellt.

Bei Anwendung dieses dreieckigen Diagramms ist es nützlich, die folgende Eigenschaft des gleichseitigen Dreiecks zu beachten. Eine von einer Ecke nach der gegenüberliegenden Seite des Dreiecks gezogene Linie stellt die Zusammensetzung aller Gemische dar, in denen die relativen Mengen zweier Komponenten dieselben sind. Wenn z. B. die Komponente  $C$  zu einem Gemisch  $x$  hinzugefügt wird, in welchem  $A$  und  $B$  im Verhältnis  $a:b$  anwesend sind, so enthält ein Gemisch  $x'$ , welches dabei erhalten wird,  $A$  und  $B$  ebenfalls im Verhältnis  $a:b$ . Da nämlich (Fig. 82) die beiden Dreiecke  $ACx$  und  $BCx$  den beiden



Dreiecken  $HCx'$  und  $KCx'$  ähnlich sind, gilt die Proportion  $Ax:Bx = Hx':Kx'$ . Nun ist aber  $Ax = Dx$ ,  $Bx = Ex$ , ferner  $Hx' = Fx'$  und  $Kx' = Gx'$ , folglich  $Dx:Ex = Fx':Gx' = b:a$ . Folglich ist in allen Punkten der Linie  $Cx$  das Verhältnis von  $A$  zu  $B$  dasselbe.

Wenn es wünschenswert ist, zugleich die Änderung einer anderen unabhängigen Variablen, z. B. der Temperatur, darzustellen, so kann dies in der Weise geschehen, daß man die letztere auf Linien abträgt, die in den Ecken des Dreiecks auf der Ebene desselben senkrecht stehen. Man erhält in dieser Weise ein gerades Prisma (Fig. 83), und jeder Durchschnitt durch dasselbe parallel zur Basis repräsentiert daher eine isothermische Fläche.

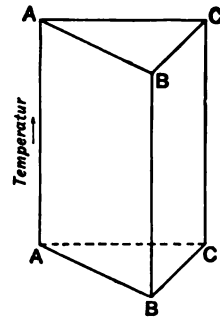


Fig. 83.

## Vierzehntes Kapitel.

### Lösungen von Flüssigkeiten in Flüssigkeiten.

Wenn zwei Flüssigkeiten zusammengebracht werden, so mischen sie sich, wie wir wissen (S. 59) entweder in allen Verhältnissen und bilden eine homogene flüssige Phase, oder die Mischbarkeit ist nur eine partielle und es entstehen zwei flüssige Phasen, die aus zwei gegenseitig gesättigten Lösungen bestehen. In dem letzteren Falle haben die Konzentration der Komponenten in jeder Phase, sowie der Dampfdruck des Systems bei gegebener Temperatur vollkommen bestimmte Werte. Drei flüssige Komponenten können ein ähnliches Verhalten zeigen, obwohl vollkommene Mischbarkeit unter Bildung von nur einer flüssigen Phase bei drei Komponenten viel seltener vorkommt als bei zwei Komponenten. Wenn die Mischbarkeit nur eine partielle ist, sind verschiedene Fälle zu unterscheiden, je nachdem die drei Komponenten ein, zwei oder drei Paar partiell mischbare Flüssigkeiten bilden. Wenn ferner zwei der Komponenten nur partiell mischbar sind, so kann die Hinzufügung der dritten entweder eine Zunahme oder eine Abnahme der gegenseitigen Löslichkeit derselben bewirken. Eine Zunahme der gegenseitigen Löslichkeit findet in der Regel dann statt, wenn sich die dritte Komponente in jeder der beiden anderen leicht löst. Wenn sich dagegen die dritte Komponente in den beiden anderen nur wenig löst, so vermindert die Hinzufügung derselben die gegenseitige Löslichkeit der letzteren.

Wir wollen hier nur wenige Beispiele betrachten, durch welche die drei Hauptfälle, welche eintreten können, erläutert werden: 1. *A* und *B* und auch *B* und *C* sind in allen Verhältnissen mischbar, während *A* und *C* nur partiell mischbar sind; 2. *A* und *B* sind in allen Verhältnissen mischbar, aber *A* und *C*, ebenso *B* und *C* sind nur partiell mischbar; 3. *A* und *B*, *B* und *C* und auch *A* und *C* sind nur partiell mischbar. *A*, *B* und *C* repräsentieren hier die drei Komponenten.

#### 1. Die drei Komponenten bilden nur ein Paar partiell mischbarer Flüssigkeiten.

Ein Beispiel dieses Falles bilden die drei Substanzen Chloroform, Wasser und Essigsäure<sup>1)</sup>. Chloroform und Essigsäure, ebenso Wasser und Essigsäure sind in allen Verhältnissen miteinander mischbar, Chloroform und Wasser dagegen sind nur partiell mischbar. Wenn daher Chloroform mit einer größeren Menge Wasser geschüttelt wird, als es lösen kann, so entstehen zwei Schichten, von denen die eine aus einer gesättigten Lösung von Wasser in Chloroform, die andere aus einer gesättigten Lösung von Chloroform in Wasser besteht. Die Zusammensetzung dieser beiden Lösungen bei einer Temperatur von ungefähr 18° wird durch die Punkte *a* und *b* in Fig. 84 repräsentiert. Der Punkt *a* bezeichnet eine Lösung, die 99 Prozent Chloroform und 1 Prozent Wasser enthält, der Punkt *b* eine Lösung, die 99,2 Prozent Wasser und 0,8 Prozent Chloroform

<sup>1)</sup> C. R. A. WRIGHT, Proc. Roy. Soc. 1891, 49, 174; 1892, 50, 375.

enthält. Wenn bei konstant gehaltener Temperatur Essigsäure hinzugefügt wird, so verteilt sie sich auf die beiden Flüssigkeitsschichten und es entstehen zwei aus Chloroform, Wasser und Essigsäure bestehende konjugierte ternäre Lösungen, die miteinander im Gleichgewicht sind und deren Zusammensetzung durch zwei Punkte innerhalb des Dreiecks angegeben wird. Auf diese Weise erhält man durch Hinzufügen von Essigsäure zu dem Gemisch von Chloroform und Wasser eine Reihe von Paaren ternärer Lösungen. Durch den Zusatz werden die beiden flüssigen Phasen fortwährend reicher an Essigsäure, aber außerdem nimmt auch die gegenseitige Löslichkeit von Chloroform und Wasser zu, so daß die Schicht *a* relativ reicher an Wasser, die Schicht *b* relativ reicher an Chloroform wird.

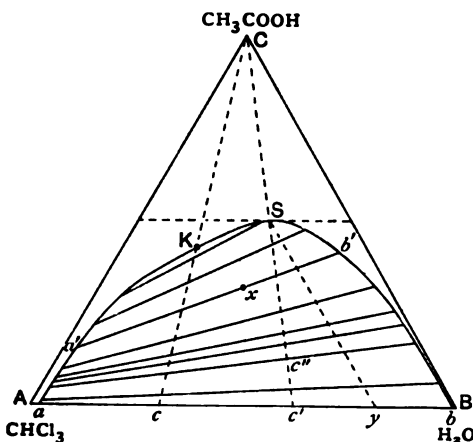


Fig. 84.

Dies geht aus der folgenden Tabelle hervor, welche die prozentische Zusammensetzung verschiedener konjugierter ternärer Lösungen bei 18° angibt.

| Schwerere Schicht |        |            | Leichtere Schicht |        |            |
|-------------------|--------|------------|-------------------|--------|------------|
| Chloroform        | Wasser | Essigsäure | Chloroform        | Wasser | Essigsäure |
| 99,01             | 0,99   | 0          | 0,84              | 99,16  | 0          |
| 91,85             | 1,38   | 6,77       | 1,21              | 73,69  | 25,10      |
| 80,00             | 2,28   | 17,22      | 7,30              | 48,58  | 44,12      |
| 70,13             | 4,12   | 25,75      | 15,11             | 34,71  | 50,18      |
| 67,15             | 5,20   | 27,65      | 18,33             | 31,11  | 50,56      |
| 59,99             | 7,93   | 32,08      | 25,20             | 25,39  | 49,41      |
| 55,81             | 9,58   | 34,61      | 28,85             | 23,28  | 47,87      |

Bei fortgesetzter Hinzufügung von Essigsäure wird also die Zusammensetzung der sukzessiven beiden konjugierten Lösungen, die miteinander im Gleichgewicht sind, wie aus der Tabelle zu ersehen ist, annähernd immer mehr dieselbe, und schließlich wird ein Punkt erreicht, bei welchem die beiden Lösungen identisch werden. Dies ist daher ein kritischer Punkt (S. 60). Weitere Hinzufügung von Essigsäure über diesen Punkt hinaus führt zur Bildung einer einzigen homogenen Lösung.

Diese Beziehungen werden graphisch dargestellt durch die Kurve *aKb*, Fig. 84. Die Punkte auf dem Zweig *aK* repräsentieren die Zusammensetzung der Lösungen, die relativ reich an Chloroform sind (die schwerere Schicht) und die Punkte auf dem Zweig *bK* die Zusammensetzung der Lösungen, die relativ reich an Wasser sind (die leichtere Schicht). Die Punkte auf diesen beiden Zweigen, welche konjugierte Lösungen repräsentieren, sind durch Linien verbunden.

Wenn aber Essigsäure zu einem heterogenen Gemisch von Chloroform und Wasser hinzugefügt wird, so tritt sie nicht in gleichen Mengen in die beiden Schichten ein, sondern die Mengen hängen vom Verteilungskoeffizienten der Essigsäure zwischen Chloroform und Wasser ab<sup>1)</sup>. Daher sind die Verbindungslinien

<sup>1)</sup> Der Verteilungskoeffizient ist nicht konstant, weil auch, abgesehen von anderen Gründen, die gegenseitige Löslichkeit von Chloroform und Wasser durch die Hinzufügung der Säure verändert wird.



der beiden Punkte für die konjugierten Lösungen nicht parallel zu  $AB$ , sondern gegen  $AB$  geneigt. Je mehr die Lösungen annähernd gleichartig werden, desto kürzer wird die Verbindungslinie, und wenn die Lösungen schließlich identisch werden, so schrumpft sie zu einem Punkt zusammen. Da die Verbindungslinien im allgemeinen nicht der Seite des Dreiecks parallel sind, liegt der kritische Punkt, bei welchem die Verbindungslinie verschwindet, nicht auf dem Gipfel der Kurve, sondern etwas unter demselben, wie es der Punkt  $K$  darstellt.

Die Kurve  $aKb$  bildet die Grenze zwischen den heterogenen und den homogenen Systemen. Ein Gemisch von Chloroform, Wasser und Essigsäure, welches durch einen Punkt außerhalb der Kurve  $aKb$  dargestellt wird, bildet nur eine homogene Phase. Dagegen scheidet sich ein Gemisch, welches durch einen Punkt innerhalb der Kurve dargestellt wird, in zwei flüssige Schichten, deren Zusammensetzung durch die Endpunkte der Verbindungslinie angegeben wird, die durch diesen Punkt geht. So zerfällt ein Gemisch von der Zusammensetzung  $x$  in zwei Schichten, deren Zusammensetzungen beziehungsweise  $a'$  und  $b'$  sind.

Da drei Komponenten in drei Phasen (zwei flüssigen und einer dampförmigen) ein bivariantes System bilden, so hängt das Endresultat, d. h. die Zusammensetzung der beiden Schichten und der Gesamtdampfdruck nicht nur, wie bei den Systemen aus zwei Komponenten (S. 64), von der Temperatur, sondern auch von der Zusammensetzung des Gemisches ab, von welchem man ausgeht. Bei konstanter Temperatur jedoch zerfallen alle Gemische, deren Zusammensetzung durch einen Punkt einer und derselben Verbindungslinie dargestellt wird, in dieselben beiden flüssigen Phasen, wenn auch die relativen Mengen der beiden Phasen variieren. Wenn wir auf die Dampfphase keine Rücksicht nehmen, so hängt der Zustand des Systems sowohl vom Druck, als auch von der Temperatur und der Zusammensetzung des ursprünglichen Gemisches ab. Wenn man den Druck konstant hält, z. B. wenn man unter dem Atmosphärendruck (in offenen Gefäßen) arbeitet, so wird das System wieder bivariant. Die Lage der Kurve  $aKb$  oder, mit anderen Worten, die Zusammensetzung der verschiedenen konjugierten ternären Lösungen ändert sich demnach mit der Temperatur, und zwar nur mit der Temperatur, wenn wir entweder Konstanz des Druckes oder Anwesenheit der Dampfphase annehmen. Da beim kritischen Punkt die beiden flüssigen Phasen identisch werden müssen, so geht hier ein Freiheitsgrad verloren und es bleibt daher nur noch ein Freiheitsgrad übrig. Der kritische Punkt hängt daher von der Temperatur ab, und zwar nur von der Temperatur, natürlich immer unter der Annahme, daß der Druck konstant ist oder daß eine Dampfphase anwesend ist. Figur 84 stellt daher eine Isotherme dar (S. 149).

Es verdient hervorgehoben zu werden, daß die Zusammensetzung der verschiedenen ternären Lösungen, welche man erhält, wenn man Essigsäure zu einem heterogenen Gemisch von Chloroform und Wasser hinzufügt, nicht nur von der Menge der hinzugefügten Essigsäure, sondern auch von den anfänglichen relativen Mengen von Chloroform und Wasser abhängt. Wir wollen z. B. annehmen, Chloroform und Wasser seien anfangs in dem durch den Punkt  $c'$  (Fig. 84) ausgedrückten Verhältnis miteinander gemischt. Dann entstehen zwei Schichten, deren Zusammensetzung den Punkten  $a$  und  $b$  entspricht. Da durch die Hinzufügung von Essigsäure die relativen Mengen dieser beiden Substanzen in dem ganzen System keine Änderung erleiden können, so muß die Zusammensetzung der verschiedenen ternären Systeme, welche man erhält, durch einen Punkt auf der Linie  $Cc'$  dargestellt werden (S. 148). Durch Hinzufügung von Essigsäure kann z. B. ein System erhalten werden, dessen Zusammensetzung durch den Punkt  $c''$  repräsentiert wird. Ein solches System scheidet sich aber in zwei konjugierte ternäre Lösungen, deren Zusammensetzung durch die Endpunkte der durch den Punkt  $c''$  gehenden Verbindungslinie angegeben wird. Solange die Zusammensetzung des ganzen Systems unterhalb des Punktes  $S$  liegt, d. h. des Durch-



mittelpunktes der Linie  $Cc'$  mit der Grenzkurve, entstehen zwei flüssige Schichten. Alle Systeme, deren Zusammensetzung durch einen oberhalb  $S$  liegenden Punkt der Linie  $Cc'$  dargestellt wird, nur eine homogene Lösung.

Wenn die Menge der Essigsäure erhöht wird, so werden, wie aus der Figur ersichtlich ist, die relativen Mengen der beiden entstehenden flüssigen Schichten immer verschieden, bis bei  $S$  ein Grenzzustand erreicht wird, bei dem die eine der beiden flüssigen Schichten verschwindet und nur eine homogene Lösung übrig bleibt.

Dieselben Schlußfolgerungen lassen sich für andere Anfangsmengen Chloroform und Wasser ziehen, aber es würde zwecklos sein, alle die verschiedenen Systeme, welche erhalten werden können, zu diskutieren. Durch die vorhergehende Diskussion sollte gezeigt werden, daß die Hinzufügung von Essigsäure einem Gemisch von Chloroform und Wasser zwar in allen Fällen schließlich einem Grenzsysteem führt, über welches hinaus Homogenität eintritt, daß aber der Punkt nicht notwendigerweise der kritische Punkt  $K$  ist. Im Gegenteil, wenn die Hinzufügung von Essigsäure zu dem kritischen Gemisch führen soll, so müssen von einem binären Gemisch von Chloroform und Wasser ausgehen, in welchem die beiden Bestandteile in dem durch den Punkt  $c$  ausgedrückten Verhältnis gehalten sind. In diesem Falle führt die Hinzufügung von Essigsäure zu einer Reihe von konjugierten ternären Lösungen, deren Zusammensetzungen sich einander immer mehr annähern und schließlich identisch werden.

Aus dem Vorhergehenden ergibt sich, daß die Menge der Essigsäure, welche erforderlich ist, um eine homogene Lösung zu erzeugen, von den relativen Mengen Chloroform und Wasser abhängt, von denen wir ausgehen und die durch ermittelt werden kann, daß man die Ecke  $C$  mit demjenigen Punkt der Linie  $AB$  verbindet, der die Zusammensetzung des anfänglichen binären Systems bezeichnet. Der Punkt, in welchem diese Linie die Grenzkurve  $aKb$  schneidet, ist die geringste Menge Essigsäure an, die unter diesen besonderen Umständen erforderlich ist, um eine homogene Lösung zu geben.

**Retrograde Löslichkeit.** — Da die Essigsäure sich auf das Chloroform und das Wasser ungleich verteilt und infolgedessen der kritische Punkt  $K$  nicht am Gipfel  $S$  der Kurve liegt, so ist es möglich,

von einer homogenen Lösung auszugehen, welcher der Prozentgehalt an Essigsäure größer ist als beim kritischen Punkt, und von dieser zuerst zu einem heterogenen und dann wieder zu einem homogenen System einfach durch überzugehen, daß man die relativen Mengen von Chloroform und Wasser ändert. Diese Erscheinung, welche man als retrograde Löslichkeit bezeichnet, wird nicht nur bei Chloroform, Wasser und Essigsäure beobachtet, sondern auch in allen anderen Systemen, in denen der kritische Punkt  $K$  innerhalb des höchsten Punktes  $S$  der Grenzkurve für flüssige heterogene Systeme liegt.

Es ist aus dem Diagramm, Fig. 85, zu ersehen. Wenn in dem homogenen flüssigen System, welches durch  $x$  repräsentiert wird und in welchem daher die Konzentration von  $C$  größer ist als in dem kritischen Gemisch ( $K$ ), die relativen Mengen von  $A$  und  $B$  in der Richtung  $xx'$  geändert werden, während die Menge von  $C$  konstant gehalten wird, so wird das System heterogen, wenn die Zusammensetzung den Punkt  $y$  erreicht, und es bleibt heterogen, wenn sich die Zusammensetzung weiter ändert, bis der Punkt  $y'$  erreicht wird. Wenn die relative Konzentration von  $C$  über den durch die Linie  $SS$  bezeichneten Wert erhöht wird, so wird natürlich diese Erscheinung nicht mehr beobachtet.

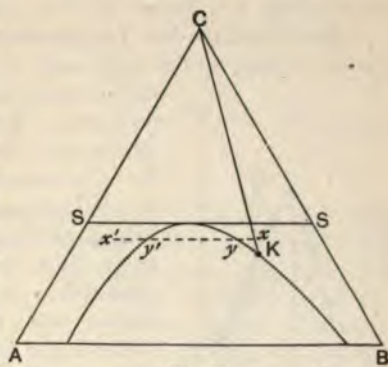


Fig. 85.

Beziehungen wie die für Chloroform, Wasser und Essigsäure beschrieben finden sich z. B. auch bei Äther, Wasser und Alkohol<sup>1)</sup>. Man hat sie auch bei einer beträchtlichen Anzahl geschmolzener Metalle beobachtet<sup>2)</sup>. So mischen sich z. B. geschmolzenes Blei und Silber, ebenso geschmolzenes Zink und Silber in allen Verhältnissen, geschmolzenes Blei und Zink sind dagegen nur partiell miteinander mischbar. Wenn daher die beiden letzteren Metalle zusammen-geschmolzen werden, so scheiden sie sich in zwei flüssige Schichten, von denen die eine reich an Blei und die andere reich an Zink ist. Wenn dann Silber hinzugefügt und die Temperatur über dem Gefrierpunkt des Gemisches gehalten wird, so geht das Silber nach dem Verteilungsgesetz größtenteils in die obere Schicht, die reich an Zink ist, indem das Silber in geschmolzenem Zink mehr löslich ist als in geschmolzenem Blei. Dies geht deutlich aus den folgenden Zahlen hervor<sup>3)</sup>:

| Schwerere Legierung |       |      | Leichtere Legierung |      |       |
|---------------------|-------|------|---------------------|------|-------|
| Menge in Prozenten  |       |      | Menge in Prozenten  |      |       |
| Silber              | Blei  | Zink | Silber              | Blei | Zink  |
| 1,25                | 96,69 | 2,06 | 38,91               | 3,12 | 57,97 |
| 1,71                | 96,43 | 1,86 | 45,01               | 3,37 | 51,62 |
| 5,55                | 93,16 | 1,29 | 54,93               | 4,21 | 40,86 |

Die Zahlen in derselben horizontalen Reihe geben die Zusammensetzung der konjugierten Lösungen an, und man sieht, daß die obere Schicht fast ganz aus Silber und Zink besteht. Wenn man das Gemisch langsam erkalten läßt, so erstarrt die obere Schicht zuerst und kann von der noch geschmolzenen Bleischicht getrennt werden. Auf diesem Verhalten des Silbers zu einem Gemisch von geschmolzenem Blei und Zink beruht das PARKESsche Verfahren der Bleientsilberung<sup>4)</sup>. Wenn außerdem auch Aluminium hinzugefügt wird, so geht eine noch größere Menge Silber in die leichtere Schicht und die Entsilberung des Bleies ist eine noch vollständigere<sup>5)</sup>.

**Der Einfluß der Temperatur.** — Ein in drei Phasen existierendes ternäres System besitzt, wie gesagt, zwei Freiheitsgrade, und der Zustand des Systems ist daher nicht nur von der relativen Konzentration der Komponenten, sondern auch von der Temperatur abhängig. Wenn sich daher die Temperatur ändert, so ändert sich die Grenzkurve des heterogenen Systems ebenfalls. Um diese Änderung darzustellen, müssen wir von dem geraden Prisma Gebrauch machen, in welchem die Temperatur von unten nach oben gemessen wird. Auf diese Weise geht die Grenzkurve in eine Grenzfläche (eine sogenannte dinerische Fläche oder Grenzfläche) über, wie sie Fig. 86 zeigt. In dieser Figur ist die Kurve  $akb$  die Isotherme für das ternäre System. Die Kurve  $aKb$  zeigt die Änderung in dem binären System  $AB$  mit der Temperatur.  $K$  ist ein kritischer Punkt. Diese Kurve hat dieselbe Bedeutung wie die im 6. Kapitel gegebene. Die Kurve  $kK$  ist eine kritische Kurve, welche die kritischen Punkte der verschiedenen Isothermen miteinander

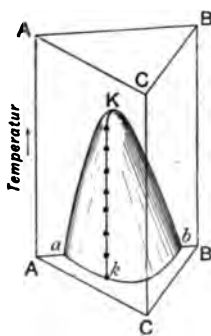


Fig. 86.

<sup>1)</sup> BANCROFT, *Physical Review*, 1895, 3, 21; SCHREINEMAKERS, *Zeitschr. phys. Chem.* 1897, 23, 652 u. folgende Bände.

<sup>2)</sup> C. R. A. WRIGHT, *Proc. Roy. Soc.* 1889—1893.

<sup>3)</sup> C. R. A. WRIGHT, *Proc. Roy. Soc.* 1892, 50, 390.

<sup>4)</sup> BODLANDER, *Berg- u. Hüttenm. Ztg.* 1897, 56, 331.

<sup>5)</sup> C. R. A. WRIGHT, *Proc. Roy. Soc. a. a. O.*



verbindet. In einem solchen Falle, wie ihn Fig. 86 darstellt, existiert keine wirkliche kritische Temperatur für das ternäre System, da mit steigender Temperatur die Menge von  $C$  in der „kritischen“ Lösung immer kleiner wird und bei  $K$  nur zwei Komponenten,  $A$  und  $B$ , anwesend sind. In dem durch Fig. 87 dargestellten Fall dagegen ist ein wirklicher ternärer kritischer Punkt vorhanden. In dieser Figur ist  $ak'b$  eine ternäre Isotherme,  $ak''b$  ist die Kurve für das binäre System, und  $K$  ist der ternäre kritische Punkt. Alle Punkte außerhalb der helmförmigen Grenzfläche repräsentieren homogene ternäre Lösungen, während alle Punkte innerhalb der Fläche heterogenen Systemen angehören. Oberhalb der Temperatur des Punktes  $K$  sind die drei Komponenten in allen Verhältnissen mischbar. Eine solche ternäre Grenzfläche liefert z. B. das ternäre System, welches aus Phenol, Wasser und Aceton besteht<sup>1)</sup>. In diesem Falle ist die kritische Temperatur  $K$  92° und die Zusammensetzung bei diesem ternären kritischen Punkte ist:

Wasser 59 Prozent,  
Aceton 12 „  
Phenol 29 „

Der Unterschied zwischen den beiden erwähnten Klassen von Systemen ist sehr deutlich in den Figuren 88 und 89 zu erkennen, welche die Projektionen der zu verschiedenen Temperaturen gehörenden Isothermen auf die Basis des

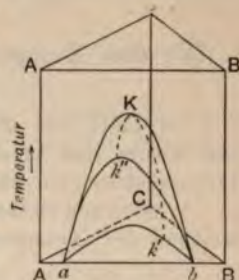


Fig. 87.

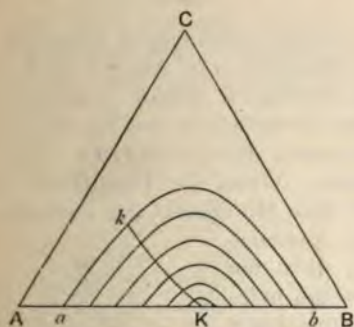


Fig. 88.

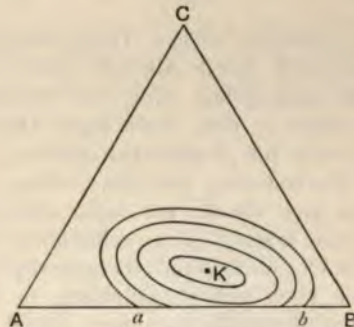


Fig. 89.

Prismas zeigen. In Fig. 88 bilden die Projektionen paraboloidische Kurven, deren beide Zweige von einer Dreiecksseite geschnitten werden. Der kritische Punkt  $K$  ist ein Punkt auf dieser Seite. Im zweiten Fall (Fig. 89) dagegen bilden die Isothermen elliptische Kurven, die die Projektion des obersten kritischen Punktes  $K$  umgeben, die jetzt innerhalb des Dreiecks liegt. Bei niedrigeren Temperaturen werden diese isothermischen Grenzkurven von einer Seite des Dreiecks geschnitten. Bei der kritischen Temperatur  $k''$  des binären Systems berührt die Grenzkurve die Seite  $AB$ , und bei noch höheren Temperaturen liegt die Grenzkurve ganz innerhalb des Dreiecks. Bei jeder beliebigen Temperatur zwischen dem kritischen Punkt des binären Systems ( $k''$ ) und dem obersten kritischen Punkt des ternären Systems ( $K$ ) ist daher jedes Paar der drei Komponenten in allen Verhältnissen mischbar, weil die Region der heterogenen flüssigen Systeme jetzt durch eine geschlossene Kurve begrenzt ist, die ganz innerhalb des Dreiecks liegt. Außerhalb dieser Kurve finden sich nur homogene flüssige Systeme. Daher

<sup>1)</sup> SCHREINEMAKERS, Zeitschr. phys. Chem. 1900, 33, 78.

müssen binäre Gemische, die durch einen Punkt auf einer der Seiten des Dreiecks repräsentiert werden, homogen sein, da sie alle außerhalb der Grenzkurve für heterogene flüssige Zustände liegen.

## 2. Die drei Komponenten können zwei Paare von partiell mischbaren Flüssigkeiten bilden.

Im Falle der drei Komponenten Wasser, Alkohol und Bernsteinsäurenitril sind Wasser und Alkohol in allen Verhältnissen mischbar, nicht aber Wasser und Bernsteinsäurenitril oder Alkohol und Bernsteinsäurenitril.

Wasser und Bernsteinsäurenitril können, wie wir bereits gesehen haben (S. 76), zwischen den Temperaturen  $13^{\circ}$  und  $31^{\circ}$  zwei flüssige Schichten bilden. Wenn

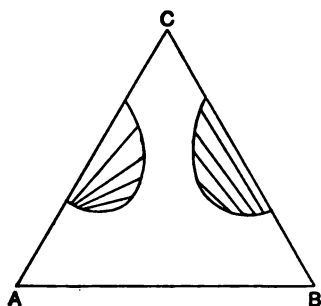


Fig. 90.

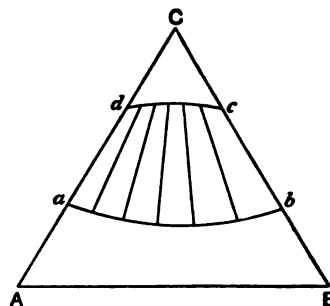


Fig. 91.

daher zwischen diesen Temperaturgrenzen zu einem heterogenen Gemisch von Wasser und Nitril Alkohol, oder zu einem Gemisch von Alkohol und Nitril Wasser hinzugefügt wird, so entstehen zwei heterogene ternäre Systeme, und man erhält in dem dreieckigen Diagramm zwei Grenzkurven, wie Fig. 90 zeigt<sup>1)</sup>. Wenn sich die Temperatur ändert, so erleiden auch die Grenzkurven eine ähnliche Veränderung wie die soeben beschriebene. Wenn die Temperatur sinkt, breiten sich die Kurven mehr und mehr nach dem Mittelpunkt des Dreiecks hin aus und können hier schließlich zusammen kommen. Bei noch niedrigeren Temperaturen würden sich die Kurven noch weiter ausdehnen, so daß die beiden heterogenen Regionen zu einem Band in dem dreieckigen Diagramm (Fig. 91) zusammenfließen. Dies ist allerdings bei den drei genannten Komponenten nicht beobachtet worden, da bereits bei einer höheren Temperatur als derjenigen, bei welcher die beiden heterogenen Regionen der flüssigen Phasen verschmelzen könnten, eine feste Phase ausgeschieden wird.

Die allmähliche Ausdehnung eines parabolischen in ein bandförmiges Feld flüssiger heterogener ternärer Systeme ist aber bei Wasser, Phenol und Anilin<sup>2)</sup> beobachtet worden. Fig. 92 zeigt drei Isothermen, nämlich diejenigen für  $148^{\circ}$ ,  $95^{\circ}$  und  $50^{\circ}$ . Bei  $148^{\circ}$  bilden Wasser und Anilin zwei Schichten von der folgenden Zusammensetzung:

Wasser 83,5 Prozent } und { Wasser 20 Prozent  
Anilin 16,5 „ }     { Anilin 80 „

und der kritische Punkt  $k'$  hat die Zusammensetzung:

Wasser 65, Phenol 13,2, Anilin 21,8 Prozent.

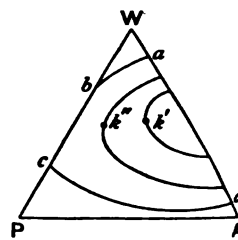


Fig. 92.

<sup>1)</sup> SCHREINEMAKERS, Zeitschr. phys. Chem. 1898, **27**, 95.

<sup>2)</sup> SCHREINEMAKERS, Zeitschr. phys. Chem. 1899, **29**, 577.



Bei  $95^{\circ}$  ist die Zusammensetzung der beiden binären Lösungen:

$$\left. \begin{array}{l} \text{Wasser } 93 \text{ Prozent} \\ \text{Anilin } 7 \text{ „} \end{array} \right\} \text{ und } \left\{ \begin{array}{l} \text{Wasser } 8 \text{ Prozent} \\ \text{Anilin } 92 \text{ „} \end{array} \right.$$

und der Punkt  $k''$  hat die Zusammensetzung:

$$\text{Wasser } 69,9, \text{ Phenol } 26,6, \text{ Anilin } 3,5 \text{ Prozent.}$$

Bei  $50^{\circ}$  bildet die Region der heterogenen flüssigen Zustände ein Band und die beiden von Wasser und Anilin gebildeten binären Schichten haben die Zusammensetzung:

$$\left. \begin{array}{l} \text{Wasser } 96,5 \text{ Prozent} \\ \text{Anilin } 3,5 \text{ „} \end{array} \right\} \text{ und } \left\{ \begin{array}{l} \text{Wasser } 5,5 \text{ Prozent,} \\ \text{Anilin } 94,5 \text{ „} \end{array} \right.$$

und die beiden von Wasser und Phenol gebildeten binären Schichten haben die Zusammensetzung:

$$\left. \begin{array}{l} \text{Wasser } 89 \text{ Prozent} \\ \text{Phenol } 11 \text{ „} \end{array} \right\} \text{ und } \left\{ \begin{array}{l} \text{Wasser } 38 \text{ Prozent} \\ \text{Phenol } 62 \text{ „} \end{array} \right.$$

Hier bilden ferner also alle ternären Gemische von Wasser, Phenol und Anilin, deren Zusammensetzung durch einen Punkt innerhalb des Bandes  $abcd$  repräsentiert wird, zwei ternäre Lösungen. Wenn dagegen die Zusammensetzung durch einen Punkt außerhalb des Bandes repräsentiert wird, so entsteht nur eine homogene Lösung.

### 3. Die drei Komponenten bilden drei Paare von partiell mischbaren Flüssigkeiten.

Der dritte Hauptfall, welcher vorkommen kann, ist der, daß keine zwei von den drei Komponenten vollkommen miteinander mischbar sind. In diesem Falle erhalten wir drei parabolische Grenzkurven wie in Fig. 93. Wenn wir uns nun

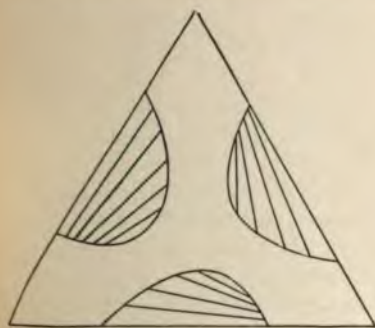


Fig. 93.

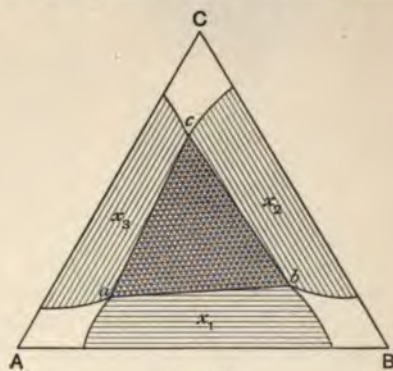


Fig. 94.

vorstellen, daß sich diese drei Kurven nach dem Mittelpunkt des Dreiecks hin ausbreiten, was z. B. eintreten kann, wenn die Temperatur erniedrigt wird, so wird ein Punkt erreicht, bei welchem die Kurven zum Teil aufeinander fallen und das Diagramm nimmt das Ansehen von Fig. 94 an.

Die Punkte  $a$ ,  $b$  und  $c$  stellen die Punkte vor, in denen sich die drei Kurven schneiden, und das Dreieck  $abc$  ist die Region, in welcher die Kurven sich überdecken. Aus diesem Diagramm ersehen wir, daß jedes Gemisch, dessen Zusammensetzung durch einen Punkt in den nicht schraffierten Teilen der Figur an den Ecken des großen Dreiecks dargestellt wird, eine homogene Lösung bildet. Wenn die Zusammensetzung einem Punkt entspricht, der in einer der viereckigen Regionen  $x_1$ ,  $x_2$  und  $x_3$  liegt, so entstehen zwei ternäre Lösungen. Wenn endlich die Zusammensetzung durch einen Punkt angegeben wird, der



in dem inneren Dreieck liegt, so findet eine Scheidung in drei flüssige Schichten statt.

Da wir in den nicht schraffierten Regionen an den Ecken des Dreiecks drei Komponenten in zwei Phasen haben, einer flüssigen und einer dampfförmigen, so haben diese Systeme drei Freiheitsgrade. Bei konstanter Temperatur ist daher der Zustand des Systems erst dann bestimmt, wenn die Konzentration zweier Komponenten fixiert ist. Ein System, welches einem der viereckigen Gebiete angehört, hat, wie wir gesehen haben, zwei Freiheitsgrade. Außer der Temperatur muß die eine Konzentration fixiert sein. Ein System endlich, dessen Zusammensetzung in das innere Dreieck  $abc$  fällt, bildet drei Schichten und besitzt daher nur einen Freiheitsgrad. Wenn nur die Temperatur fixiert ist, so ist auch schon die Zusammensetzung der drei Schichten bestimmt, sie ist nämlich die der Punkte  $a$ ,  $b$  und  $c$ , und eine Änderung in der Zusammensetzung des ursprünglichen Gemisches kann hier nur eine Verschiedenheit in den relativen Mengen der drei flüssigen, miteinander im Gleichgewicht befindlichen Schichten, nicht aber eine Verschiedenheit ihrer Zusammensetzung zur Folge haben.

Ein Beispiel eines solchen Systems, welches drei flüssige Phasen bilden kann, findet sich in Wasser, Äther und Bernsteinsäurenitril<sup>1)</sup>.

---

<sup>1)</sup> SCHREINEMAKERS, Zeitschr. phys. Chem. 1898, **25**, 543.

## Fünfzehntes Kapitel.

### Anwesenheit fester Phasen.

A) **Der ternäre eutektische Punkt.** — Indem wir zur Betrachtung der ternären Systeme übergehen, in denen eine oder mehrere feste Phasen zusammen mit einer flüssigen Phase existieren können, wollen wir nicht, wie bei Systemen aus zwei Komponenten, die Löslichkeitskurven diskutieren, sondern einfacheren Beziehungen, welche beim Gefrierpunkt beobachtet werden, zuwenden. Wir wollen vor allen Dingen die Gefrierpunktskurven der ternären Systeme untersuchen.

Da es notwendig ist, nicht nur die wechselnde Zusammensetzung der flüssigen Phase, sondern auch die Änderung der Temperatur in Betracht zu ziehen, so werden wir für die graphische Darstellung der Systeme ein

gerades Prisma (Fig. 95) benutzen.  $A'$ ,  $B'$  und  $C'$  der Figur bezeichnen daher die Schmelzpunkte der reinen Komponenten. Wenn wir von der Komponente  $A$  bei ihrem Schmelzpunkt ausgehen und  $B$  zufügen, welches in flüssigem  $A$  löslich ist, so wird der Gefrierpunkt von  $A$  erniedrigt. Ebenso wird der Gefrierpunkt von  $B$  durch Hinzufügung von  $A$  erniedrigt. Auf diese Weise erhalten wir die Gefrierpunktskurve  $k_1 B'$  für das binäre System;  $k_1$  ist ein eutektischer Punkt. Diese Kurve liegt natürlich in einer der Seitenflächen des Prismas. In ähnlicher Weise erhalten wir die Gefrierpunktskurven  $A k_2 C'$  und  $B' k_3 C'$ . Diese Kurven geben die Zusammensetzung der binären flüssigen Phasen an, die mit einer der reinen Komponenten oder, beim eutektischen Punkt, mit einem Gemisch der beiden Komponenten im Gleichgewicht sind. Wenn jetzt zu dem System, welches

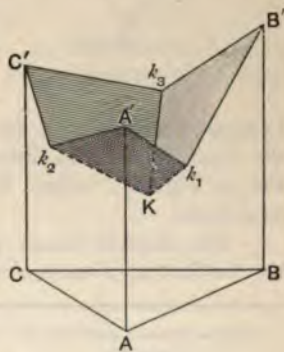


Fig. 95.

B. durch den Punkt  $k_1$  repräsentiert wird, eine kleine Menge der dritten Komponente  $C$  hinzugefügt wird, so wird die Temperatur, bei welcher die beiden festen Phasen  $A$  und  $B$  im Gleichgewicht mit der flüssigen Phase existieren können, erniedrigt, und diese Erniedrigung des eutektischen Punktes ist um so größer, je mehr von der Komponente  $C$  hinzugefügt wird. In dieser Weise erhalten wir die Kurve  $k_1 K$ , welche nach innen und unten läuft und die wechselnde Zusammensetzung der ternären flüssigen Phase angibt, mit der ein Gemisch von festem  $A$  und  $B$  im Gleichgewicht ist. Die Kurven  $k_2 K$  und  $k_3 K$  sind die entsprechenden eutektischen Kurven für die festen Phasen  $A$  und  $C$  und für die festen Phasen  $B$  und  $C$  im Gleichgewicht mit ternären Lösungen. Im Punkt  $K$  sind die drei festen Komponenten mit der flüssigen Phase im Gleichgewicht, und dieser Punkt repräsentiert daher die niedrigste Temperatur, welche von der flüssigen Schmelze im Gleichgewicht mit den drei gegebenen festen Komponenten erreicht werden kann. In jeder ternären eutektischen Kurven, wie man sie nennen kann, schneiden sich zwei

Flächen, und im ternären eutektischen Punkt drei Flächen, nämlich  $A'k_1Kk_2$ ,  $B'k_1Kk_3$  und  $C'k_2Kk_3$ . Jeder Punkt auf einer dieser Flächen repräsentiert eine ternäre Lösung im Gleichgewicht mit nur einer Komponente im festen Zustand. Die Durchschnittslinien oder Durchschnittskurven derselben repräsentieren Gleichgewichte mit zwei festen Phasen, und beim Punkt  $K$ , dem ternären eutektischen Punkt, sind drei feste Phasen im Gleichgewicht mit einer flüssigen und einer dampfförmigen Phase. Die erwähnten Flächen repräsentieren bivariate Systeme. Eine Komponente im festen Zustand kann mit einer ternären flüssigen Phase unter wechselnden Bedingungen der Temperatur und Konzentration der Komponenten in der Lösung im Gleichgewicht sein, und der Zustand des Systems ist nicht eher bestimmt, als bis diese beiden Variablen, die Temperatur und die Konzentration der flüssigen Phase, fixiert sind. Andererseits repräsentieren die Durchschnittskurven dieser Ebenen univariante Systeme. Bei einer gegebenen Temperatur können zwei feste Phasen mit einer ternären Lösung nur dann im Gleichgewicht existieren, wenn die letztere eine bestimmte

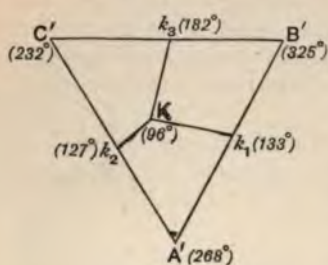


Fig. 96.

Zusammensetzung hat. Der ternäre eutektische Punkt  $K$  endlich repräsentiert ein invariantes System. Drei feste Phasen können mit Dampf und einer ternären Lösung nur dann im Gleichgewicht existieren, wenn die letztere eine einzige, ganz bestimmte Zusammensetzung hat und wenn die Temperatur einen einzigen, ganz bestimmten Wert hat. Dieser eutektische Punkt hat daher eine vollkommen bestimmte Lage, die nur von der Natur der drei Komponenten abhängt.

Anstatt das Prisma zu benutzen, kann man die Änderung in der Zusammensetzung der ternären

Lösungen auch durch die Projektionen der Kurven  $k_1K$ ,  $k_2K$  und  $k_3K$  auf die Grundfläche des Prismas angeben. Die betreffende Temperatur wird dann, wie in Fig. 96, neben die verschiedenen eutektischen Punkte und Kurven geschrieben.

Die Zahlen dieses Diagramms beziehen sich auf die eutektischen Punkte für das System Wismut-Blei-Zinn. Die Daten für dieses System sind die folgenden<sup>1)</sup>:

| Schmelzpunkt des reinen Metalls |      | Zusammensetzung des binären eutektischen Gemisches |    |    | Temperatur des binären eutektischen Punktes |
|---------------------------------|------|--|----|----|---|
|                                 |      | Bi   | Pb | Sn |   |
| Wismut                          | 268° | 55   | 45 | —  | Bi — Pb, 127°                               |
| Blei                            | 325° | 58   | —  | 42 | Bi — Sn, 133°                               |
| Zinn                            | 232° | —  | 37 | 63 | Pb — Sn, 182°                               |

| Zusammensetzung des ternären eutektischen Gemisches |    |    | Temperatur des ternären eutektischen Punktes |
|---|----|----|--|
| Bi  | Pb | Sn |  |
| 52  | 32 | 16 | 96°  |

**Bildung von Verbindungen.** — In dem soeben diskutierten Fall kristallisierten die Komponenten aus der Lösung im reinen Zustand aus. Wenn sich dagegen eine feste Verbindung zweier der Komponenten abscheiden kann, so

<sup>1)</sup> CHARPY, Compt. rend. 1898, 126, 1569. Vgl. die Kurven für das System  $KNO_3$  —  $NaNO_3$  —  $LiNO_3$  (H. R. CARVETH, Journ. Physical Chem. 1898, 2, 209) und Legierungen von Pb — Sn — Bi (E. S. SHEPHERD, Journ. Physical Chem. 1902, 6, 527).



werden die Beziehungen etwas anders. Die Kurven, welche man in einem solchen Fall erhält, sind in Fig. 97 dargestellt. Aus der Figur ersieht man, daß die beiden Komponenten  $B$  und  $C$  eine Verbindung bilden, und die Gefrierpunktskurve dieses binären Systems hat daher die durch Fig. 64 (S. 130) dargestellte Form. Ferner existieren zwei ternäre eutektische Punkte,  $K_1$  und  $K_2$ . Die anwesenden festen Phasen sind  $A$ ,  $B$  und die Verbindung, beziehungsweise  $A$ ,  $C$  und die Verbindung.

Ein Punkt, der besondere Beachtung verdient, ist der folgende. Man denke sich die ternären eutektischen Kurven auf eine Ebene projiziert, die derjenigen Fläche des Prismas parallel ist, die  $B$  und  $C$  enthält, d. h. man nehme an, die Konzentrationen der beiden Komponenten  $B$  und  $C$ , die aufeinander einwirken können, seien durch eine konstante Menge der dritten Komponente  $A$  ausgedrückt<sup>1)</sup>. Man erhält dann Kurven, die in jeder Hinsicht den Gefrierpunktskurven binärer Systeme analog sind. Man denke sich z. B. die eutektischen Kurven  $k_1 K$  und  $k_2 K$  in Fig. 95 auf die Seite  $BC$  des Prismas projiziert. Man erhält dann offenbar eine Kurve, die aus zwei Zweigen besteht, die in einem eutektischen Punkt zusammentreffen. Wenn man dagegen die ternären eutektischen Kurven in Fig. 97 auf die Seite  $BC$  des Prismas projiziert, so entsteht eine aus drei Teilen bestehende Kurve, deren Form aus der Gestalt der Konturlinie  $k_1 K_1 K_2 k_2$  der Figur zu erkennen ist.

Es sind verschiedene Beispiele hiervon untersucht worden, und die folgende Tabelle enthält einige Daten für das System Äthylenbromid ( $A$ ), Pikrinsäure ( $B$ ) und  $\beta$ -Naphthol ( $C$ ), die von BRUNI ermittelt worden sind<sup>2)</sup>.

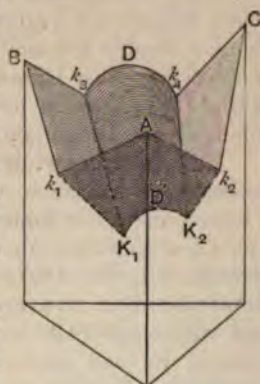


Fig. 97.

|                              | Temperatur | Anwesende feste Phasen.                                 |
|------------------------------|------------|---|
| Punkt $k_1$ . . . . .        | 9,41°      | Äthylenbromid, Pikrinsäure.                             |
| Kurve $k_1 K_1$ . . . . .    | —          | Äthylenbromid, Pikrinsäure.                             |
| Punkt $K_1$ . . . . .        | 9,32°      | Äthylenbromid, Pikrinsäure und $\beta$ -Naphtholpikrat. |
| Kurve $K_1 D' K_2$ . . . . . | —          | Äthylenbromid, $\beta$ -Naphtholpikrat.                 |
| Punkt $D'$ . . . . .         | 9,75°      | Äthylenbromid, $\beta$ -Naphtholpikrat.                 |
| Punkt $K_2$ . . . . .        | 8,89°      | Äthylenbromid, $\beta$ -Naphthol u. Pikrat.             |
| Kurve $K_2 k_2$ . . . . .    | —          | Äthylenbromid, $\beta$ -Naphthol.                       |
| Punkt $k_2$ . . . . .        | 9,04°      | Äthylenbromid, $\beta$ -Naphthol.                       |

Wenn die ternäre eutektische Kurve eines Systems aus drei Komponenten (in welchem eine der Komponenten in konstanter Menge anwesend ist) bestimmt wird, so ist es, wie aus dem Gesagten hervorgeht, möglich, aus der Form der erhaltenen Kurve zu schließen, ob die in wechselnden Mengen anwesenden Komponenten rein auskristallisieren oder sich dabei zu einer Verbindung vereinigen. Es mag dem Leser überlassen werden, die Kurven für die anderen möglichen Systeme auszuarbeiten. Es leuchtet ein, daß die Projektionen der ternären eutektischen Kurven in der angegebenen Weise eine Reihe von Kurven liefern,

<sup>1)</sup> Man muß sich erinnern, daß im dreieckigen Diagramm eine Linie parallel zu einer der Seiten bei einer gegebenen Temperatur eine konstante Menge der Komponente anzeigt, die durch die entgegengesetzte Ecke des Dreiecks angezeigt wird. Daher zeigen Punkte in einer Fläche parallel zu einer Seite eines geraden Prismas für verschiedene Temperaturen Änderungen in den Mengen zweier Komponenten, aber Konstanz in der Menge der dritten an.

<sup>2)</sup> Gazz. chim. ital. 1898, 28, II, 520.

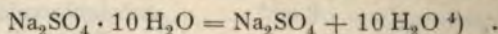


die in jeder Hinsicht mit den in Fig. 63 bis 65 (S. 130 bis 131) gegebenen binären Kurven übereinstimmen.

Da die Temperaturen der eutektischen Kurven vom Schmelzpunkt der dritten Komponente (*A*) abhängen, ist es möglich, wenn man Substanzen von sehr verschiedenen Schmelzpunkten benutzt, die gegenseitige Einwirkung zweier Komponenten (z. B. zweier optischer Antipoden) *B* und *C* innerhalb weiter Temperaturgrenzen zu untersuchen und so das Gebiet der Stabilität der Verbindung, falls eine solche entsteht, zu bestimmen. Da in manchen Fällen zwei Substanzen, die bei einer Temperatur Mischkristalle bilden, sich bei einer anderen Temperatur zu einer bestimmten Verbindung vereinigen, so können die beschriebenen Beziehungen benutzt werden und sind tatsächlich benutzt worden, um die Temperatur zu ermitteln, bei welcher diese Umwandlung eintritt<sup>1)</sup>. Vermittelt dieser Methode fand ADRIANI, daß *i*-Campherroxim unter 103° als racemische Verbindung existiert, während es über dieser Temperatur einen racemischen Mischkristall<sup>2)</sup> bildet (vgl. S. 136).

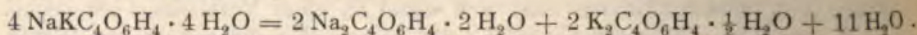
**B) Gleichgewichte bei höheren Temperaturen. Bildung von Doppelsalzen.** — Nachdem wir die Beziehungen studiert haben, die in der Nähe der Gefrierpunkte der Komponenten beobachtet werden, gehen wir jetzt zur Diskussion der Gleichgewichte über, die bei höheren Temperaturen eintreten können. Dabei wollen wir die Diskussion ganz auf die aus zwei Salzen und Wasser bestehenden Systeme beschränken und unsere Aufmerksamkeit besonders auf diejenigen Fälle richten, in denen das Wasser in relativ großer Menge anwesend ist und als Lösungsmittel wirkt. Auch noch eine andere Einschränkung muß beim Studium dieser Systeme gemacht werden, nämlich die, daß die einzelnen Salze entweder Salze derselben Base oder Salze derselben Säure sind, mit anderen Worten, daß sie ein gemeinsames Ion in der Lösung liefern können. Eine solche Einschränkung ist notwendig, weil andernfalls das System nicht aus drei, sondern aus vier Komponenten bestehen würde<sup>3)</sup>.

**Umwandlungspunkt.** — Bekanntlich gibt es eine Anzahl wasserhaltiger Salze, die beim Erhitzen anscheinend eine partielle Schmelzung erleiden, und im 5. Kapitel ist das Verhalten solcher Hydrate eingehender im Lichte der Phasenregel studiert worden. Wenn z. B. Glaubersalz oder Natriumsulfatdekahydrat auf ungefähr 32,5° erhitzt wird, so schmilzt es teilweise, indem das Kristallwasser entweicht und wasserfreies Natriumsulfat entsteht:



Die Temperatur 32,5° bildet, wie wir gelernt haben, den Umwandlungspunkt für das Dekahydrat und wasserfreies Salz plus Wasser. Oberhalb dieser Temperatur zerfällt das wasserhaltige Salz und unterhalb derselben vereinigt sich das wasserfreie Salz mit Wasser.

Analoge Erscheinungen kommen in Systemen vor, die von zwei Salzen und Wasser gebildet werden, in denen die Bildung von Doppelsalzen stattfinden kann. Wenn z. B. *d*-Natriumkaliumtartrat über 55° erhitzt wird, so tritt anscheinend partielle Schmelzung ein, und es werden die beiden einzelnen Salze, *d*-Natriumtartrat und *d*-Kaliumtartrat, ausgeschieden. Die Umwandlung wird durch die folgende Gleichung ausgedrückt:



<sup>1)</sup> BRUNI, Gazzetta chim. ital. 1898, 28, II, 508; 1900, 30, I, 35. Siehe auch: BRUNI und FINZI, Accad dei Lincei, 1904, 13, 349; BRUNI, daselbst, S. 373.

<sup>2)</sup> Zeitschr. phys. Chem. 1900, 36, 168.

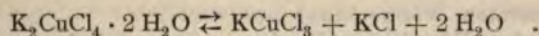
<sup>3)</sup> Siehe später 18. Kapitel, Reziproke Salzpaare. Vgl. VAN'T HOFF, Bildung und Spaltung von Doppelsalzen (Leipzig 1892).

<sup>4)</sup> Im Glaubersalz haben wir ein Beispiel eines sogenannten inkongruenten Schmelzpunktes oder eines Punktes, bei welchem das Hydrat unter Abscheidung eines niederen Hydrates oder des wasserfreien Salzes schmilzt. Siehe auch MEYERHOFFER, Zeitschr. phys. Chem. 1904, 48, 109, oder LANDOLT-BORNSTEIN-MEYERHOFFER, Tabellen, 2. Aufl. S. 518.



Wenn andererseits Natriumtartrat und Kaliumtartrat in dem durch die rechte Seite der Gleichung ausgedrückten Verhältnis mit Wasser gemischt werden, so bleibt das System teilweise flüssig, solange die Temperatur über  $55^{\circ}$  gehalten wird (in einem geschlossenen Gefäß, damit kein Wasser entweicht). Wenn dagegen die Temperatur unter diesen Punkt sinkt, so erstarrt die Masse vollständig unter Bildung des wasserhaltigen Doppelsalzes. Unter  $55^{\circ}$  ist daher das wasserhaltige Doppelsalz das stabile System, während über dieser Temperatur die beiden einzelnen Salze plus gesättigter Lösung stabil sind<sup>1)</sup>.

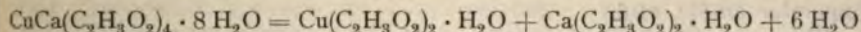
Ein ähnliches Verhalten zeigt das Doppelsalz Kupferdikaliumchlorid ( $\text{CuCl}_2 \cdot 2\text{KCl} \cdot 2\text{H}_2\text{O}$  oder  $\text{K}_2\text{CuCl}_4 \cdot 2\text{H}_2\text{O}$ )<sup>2)</sup>. Wenn dieses Salz auf  $92^{\circ}$  erhitzt wird, so wird es zum Teil flüssig, die ursprünglichen blauen tafelförmigen Kristalle verschwinden und es erscheinen braune Kristallnadeln und weiße Würfel. Läßt man die Temperatur sinken, so entsteht wieder das blaue Doppelsalz. Die Temperatur  $92^{\circ}$  ist also der Umwandlungspunkt, bei welchem die umkehrbare Reaktion



stattfindet.

Die Zersetzung des Natriumkaliumtartrats oder des Kupferdikaliumchlorids unterscheidet sich von der Zersetzung des Glaubersalzes dadurch, daß zwei neue Phasen entstehen. Beim Kupferdikaliumchlorid ist überdies eins der Zersetzungsprodukte selbst wieder ein Doppelsalz.

In den beiden angeführten Beispielen von Zersetzung von Doppelsalzen entstand genug Wasser, um eine sehr deutliche partielle Verflüssigung zu bewirken. Es sind aber auch Beispiele bekannt, bei denen dies nicht der Fall ist. Wenn z. B. Kupfercalciumacetat auf  $75^{\circ}$  erhitzt wird, so zerfällt zwar das Doppelsalz nach der Gleichung<sup>3)</sup>



in die beiden einfachen Salze, aber die Menge des abgespalteten Wassers ist nicht hinreichend, um die Erscheinung des partiellen Schmelzens sehr deutlich hervortreten zu lassen, und man beobachtet daher nur eine Umwandlung der Kristalle unter Feuchtwerden derselben.

Die vorhergehenden Beispiele, in denen die Zerlegung des Doppelsalzes durch Temperaturerhöhung bewirkt wird, wurden deshalb zuerst ausgewählt, weil sie der Zerlegung des Glaubersalzes mehr analog sind. Es sind aber auch nicht wenige Beispiele bekannt, bei denen das Entgegengesetzte stattfindet, Bildung des Doppelsalzes oberhalb des Umwandlungspunktes und Spaltung in die Bestandteile unterhalb desselben. Beispiele dieses Verhaltens finden sich in der Bildung von Strakanit aus Natriumsulfat und Magnesiumsulfat, sowie in der Bildung von Natriumammoniumracemat aus den beiden Natriumammoniumtartraten, auf die wir später zurückkommen werden. Zwischen diesen verschiedenen Systemen herrscht jedoch kein wesentlicher Unterschied. Ob Spaltung oder Bildung des Doppelsalzes bei Temperaturen über oder unter dem Umwandlungspunkt stattfindet, hängt natürlich von der Umwandlungswärme bei diesem Punkt ab. Nach dem VAN'T HOFF'schen Gesetz des beweglichen Gleichgewichtes (S. 36) findet nämlich bei der höheren Temperatur diejenige Umwandlung statt, welche von Wärmeabsorption begleitet ist. Wenn daher die Bildung des Doppelsalzes aus den einfachen Salzen von Wärmeabsorption begleitet ist, so entsteht das Doppelsalz aus den einfachen Salzen, wenn die Temperatur gesteigert wird. Wenn das

<sup>1)</sup> VAN LEEUWEN, Zeitschr. phys. Chem. 1897, **23**, 35.

<sup>2)</sup> MEYERHOFFER, Zeitschr. phys. Chem. 1889, **3**, 336; 1890, **5**, 97.

<sup>3)</sup> REICHER, Zeitschr. phys. Chem. 1887, **1**, 221.

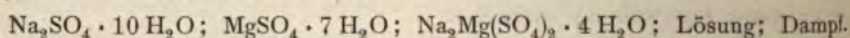


Entgegengesetzte der Fall ist, so zerfällt das Doppelsalz beim Erhitzen in die Einzelsalze<sup>1)</sup>.

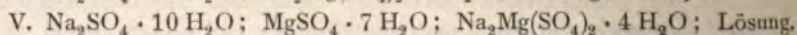
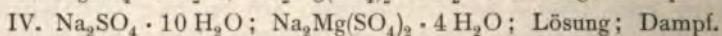
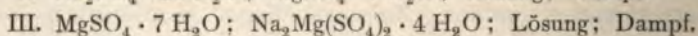
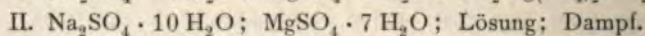
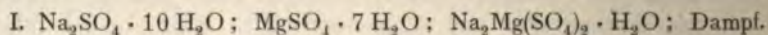
In denjenigen Fällen, welche bis jetzt studiert worden sind, ist die Umwandlung beim Umwandlungspunkt von einer Aufnahme oder Abspaltung von Wasser begleitet, und in solchen Fällen kann die allgemeine Regel gegeben werden, daß, wenn das Kristallwasser der beiden einfachen Salze zusammen größer ist als das Kristallwasser des Doppelsalzes, das letztere aus den ersteren durch Temperaturerhöhung erzeugt wird (z. B. Astrakanit aus Natriumsulfat und Magnesiumsulfat); wenn dagegen das Doppelsalz mehr Kristallwasser enthält als die beiden einfachen Salze, so bewirkt Erhöhung der Temperatur Spaltung des Doppelsalzes. Wenn wir nach dem Zusammenhang dieser Regel mit dem Gesetz von VAN'T HOFF suchen, so finden wir ihn darin, daß die mit der Hydratisierung oder Entwässerung von Salzen verbundene Wärmetönung viel größer ist als die der anderen Umwandlungen, welche stattfinden, und daß sie daher das Zeichen der gesamten Wärmetönung bestimmt<sup>2)</sup>.

**Dampfdruck. Fünffacher Punkt.** — Beim Glaubersalz schneidet, wie wir sahen, bei einer bestimmten Temperatur die Dampfdruckkurve des kristallwasserhaltigen, festen Salzes diejenige der gesättigten Lösung von wasserfreiem Natriumsulfat. Dieser Punkt ist, wie man sich erinnern wird, ein vierfacher Punkt, bei welchem die vier Phasen Natriumsulfatdekahydrat, wasserfreies Natriumsulfat, Lösung und Dampf koexistieren können. Er ist zugleich der Durchschnittspunkt der Kurven für vier univariante Systeme. Bei der Bildung von Doppelsalzen findet man ähnliche Beziehungen, aber auch gewisse Unterschiede, welche ihren Grund darin haben, daß wir es hier mit Systemen aus drei Komponenten zu tun haben. Es sollen hier zwei Fälle kurz beschrieben werden, einer, in welchem die Bildung, und einer, in welchem die Zersetzung eines Doppelsalzes stattfindet, wenn die Temperatur erhöht wird.

Wenn man ein Gemisch von festem Natriumsulfatdekahydrat und festem Magnesiumsulfatheptahydrat erhitzt, so findet bei 22° teilweises Schmelzen unter Bildung von Astrakanit statt. Bei dieser Temperatur können also die folgenden fünf Phasen koexistieren:



Unter diesen Bedingungen haben wir also einen fünffachen Punkt, und da drei Komponenten in fünf Phasen vorhanden sind, so ist das System invariant. Dieser Punkt ist also der Durchschnittspunkt von Kurven für fünf univariante Systeme, von denen in diesem Falle jedes aus vier Phasen bestehen muß. Diese Systeme sind:



Wenn man die Dampfdrucke dieser verschiedenen Systeme graphisch darstellt, so erhält man ein Diagramm wie in Fig. 98<sup>3)</sup>, in der die Kurven der gegebenen Aufzählung entsprechend numeriert sind. Wenn das System I erhitzt wird, so nimmt der Dampfdruck zu, bis beim fünffachen Punkt die flüssige Phase

<sup>1)</sup> Andere Beispiele der Bildung und Zersetzung von Doppelsalzen beim Umwandlungspunkt findet der Leser in dem bereits zitierten Werk von VAN'T HOFF: Über die Bildung und Spaltung von Doppelsalzen, auch in BANCROFT, Phase Rule, S. 180.

<sup>2)</sup> BANCROFT, Phase Rule, S. 183.

<sup>3)</sup> ROOZEBOOM, Zeitschr. phys. Chem. 1888, 2, 514.



entsteht, und es hängt dann von den relativen Mengen der verschiedenen ab, ob beim weiteren Erhitzen das System III, IV oder V entsteht. Wenn beiden ersten entsteht, so erhalten wir den Druck der Lösungen, die gleichzeitig in bezug auf Doppelsalz und je eins der einfachen Salze gesättigt sind. Wenn dagegen die Dampfphase vertritt, so erhält man den Druck der kondensierten Systeme, die aus Doppelsalz, zwei einfachen Salzen und Lösung bestehen. Diese Kurve gibt daher die Änderung des Umwandlungspunktes mit dem Druck an, und da wir es bei den gewöhnlichen Bestimmungen des Umwandlungspunktes in Gefäßen in Wirklichkeit mit kondensiertem Dampf unter dem Druck einer Atmosphäre zu tun haben, so kann offenbar der so bestimmte Umwandlungspunkt nicht genau mit dem fünffachen Punkt zusammenfallen (bei dem sich alle Kurven unter dem Druck seines eignen Dampfes befinden soll). Allein der Umwandlungspunkt, wie auch in anderen kondensierten Systemen, nur einen geringen Einfluß auf die Temperatur des Umwandlungspunktes. Ob der Druck den Umwandlungspunkt erhöht oder erniedrigt, hängt davon ab, ob die Umwandlung von Vergrößerung oder Verminderung des Volums begleitet ist (Satz von VAN'T HOFF und COLLIG, S. 36). Bei der Bildung von Astrakanit findet Ausdehnung statt, der Umwandlungspunkt wird daher durch Druckzunahme erhöht. Für dieses Verhalten sind zwar keine Messungen ausgeführt worden,

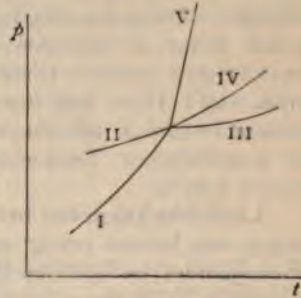


Fig. 98.

Die Existenz einer solchen Kurve ist für das Kupferacetat und Calciumacetat experimentell nachgewiesen worden (s. unten)<sup>1)</sup>.

Das Dampfdruckdiagramm für Kupfercalciumacetat und Wasser (Fig. 99) ist fast das umgekehrte des diskutierten Diagramms. In diesem Falle wird das Doppelsalz beim Erhitzen zersetzt und die Zersetzung ist von Kontraktion begleitet. Kurve I ist die Dampfdruckkurve für Doppelsalz, die zwei einfachen Salze (S. 163) und Dampf. Die Kurven II

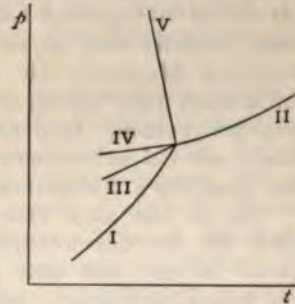
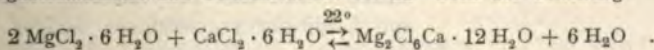


Fig. 99.

geben die Dampfdrucke von Lösungen an, die gesättigt sind auf das Doppelsalz und eins der einfachen Salze gesättigt sind. Kurve IV ist die Druckkurve für die in bezug auf die beiden einfachen Salze gesättigten Lösungen, und Kurve V repräsentiert auch die Änderung des Umwandlungspunktes mit dem Druck. Wenn man das Diagramm untersucht, so findet man, daß Kupfercalciumacetat nur unterhalb des fünffachen Punktes existieren kann, während Astrakanit oberhalb und unterhalb desselben existieren kann. Dieses Verhalten findet sich nur in den

Einfluß des Druckes auf den Umwandlungspunkt ist quantitativ von VAN'T HOFF, J. DAWSON (Zeitschr. phys. Chem. 39, 27, 34; VAN'T HOFF, Zur Bildung der ozeanischen Salze, I, 66, Braunschweig, 1905) für den Tachhydrit bestimmt worden. Dieses Salz ist Magnesiumchlorid und Calciumchlorid bei 22° nach der Gleichung



Der Umwandlungspunkt steigt um 0,016° für eine Druckzunahme von 1 Atm., da die Bildung des Tachhydrits von Ausdehnung begleitet ist. Die nach der theoretischen Formel (S. 36) berechnete Zahl ist 0,013° per Atm.

Man kann den Einfluß des Druckes des Meerwassers auf die Bildungstemperatur des Tachhydrits berechnen (was mit Rücksicht auf das natürliche Vorkommen dieses Salzes von Interesse ist). So ergibt sich, daß eine Wassertiefe von 1500 m, die einen Druck von 180 Atm. ausübt, die Bildungstemperatur des Tachhydrits nur um ungefähr 3° verändert. Die Wirkung ist also völlig unbedeutend.



jenigen Fällen, in denen das Doppelsalz durch Temperaturerhöhung zersetzt wird und die Zersetzung von einer Volumverminderung begleitet ist<sup>1)</sup>.

Die Zersetzung des Kupfercalciumacetats in die beiden einfachen Salze und gesättigte Lösung ist, wie bereits erwähnt wurde, von Kontraktion begleitet, und es war daher zu erwarten, daß Zunahme des Druckes den Umwandlungspunkt erniedrigen würde. Diese Erwartung ist durch den Versuch bestätigt worden, indem VAN'T HOFF und SPRING fanden, daß der Umwandlungspunkt unter dem Atmosphärendruck allerdings ungefähr  $75^{\circ}$  ist, daß aber das Doppelsalz sogar bei gewöhnlicher Temperatur zerfällt, wenn der Druck auf 6000 Atm. gesteigert wird<sup>2)</sup>.

**Löslichkeitskurven beim Umwandlungspunkt.** — Beim Umwandlungspunkt können, wie bereits gezeigt wurde, das Doppelsalz und die beiden einfachen Salze nebeneinander im Gleichgewicht mit derselben Lösung existieren. Der Umwandlungspunkt muß daher der Durchschnittspunkt zweier Löslichkeitskurven sein, der Löslichkeitskurve des Doppelsalzes und der Löslichkeitskurve des Gemisches der beiden einfachen Salze. Es muß hier bemerkt werden, daß wir es nicht mit den Löslichkeitskurven der einfachen Salze getrennt zu tun haben, denn da die Systeme aus drei Komponenten bestehen, so kann eine einzelne feste Phase bei einer gegebenen Temperatur mit Lösungen von verschiedener Zusammensetzung im Gleichgewicht sein, und erst zwei feste Phasen in Berührung mit Lösung (und Dampf) können daher notwendigerweise ein univariantes System geben. Dasselbe gilt natürlich für die Löslichkeit des Doppelsalzes, denn ein Doppelsalz bildet ebenfalls eine einzelne Phase und kann daher mit Lösungen von wechselnder Zusammensetzung im Gleichgewicht existieren. Wenn wir aber die Einschränkung machen (was wir im vorliegenden Falle zunächst tun), daß das feste Doppelsalz nicht durch Wasser zersetzt wird, so enthält die Lösung die einfachen Salze in denselben relativen Mengen, wie sie im festen Doppelsalz enthalten sind, und das System kann daher als ein solches von zwei Komponenten, Doppelsalz und Wasser, betrachtet werden. In diesem Falle genügt eine feste Phase nebst Lösung und Dampf, um ein univariantes System zu bilden, und die Löslichkeit hat daher bei einer gegebenen Temperatur einen vollkommen bestimmten Wert.

Da in fast allen Fällen die Löslichkeit in offenen Gefäßen bestimmt wird, wollen wir bei der folgenden Diskussion annehmen, daß die Dampfphase abwesend ist und daß sich das System unter einem konstanten Druck, nämlich dem Atmosphärendruck, befindet. Mit dieser Einschränkung bilden daher vier Phasen ein invariantes System, drei Phasen ein univariantes und zwei Phasen ein bivariantes System.

Wir wissen bereits, daß bei Natriumsulfat und Wasser die Löslichkeitskurve des Salzes beim Umwandlungspunkt eine plötzliche Änderung der Richtung erleidet und daß diese von einer Änderung der festen Phase begleitet ist, die mit der Lösung im Gleichgewicht ist. Dasselbe Verhalten findet sich auch bei Doppelsalzen. Um dies zu erläutern, wollen wir kurz die Löslichkeitsverhältnisse einiger Doppelsalze diskutieren, und zwar wollen wir mit einem der einfachsten Fälle beginnen, der Bildung von Rubidiumracemat aus *d*- und *l*-Rubidiumtartrat.

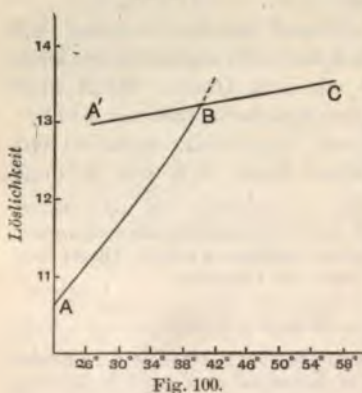


Fig. 100.

Die Löslichkeiten sind in Fig. 100 schematisch dargestellt, und die numerischen Daten sind in der folgenden Tabelle enthalten. Die Löslichkeit ist durch die

<sup>1)</sup> ROOZEBOOM, Zeitschr. phys. Chem. 1887, 1, 227.

<sup>2)</sup> Zeitschr. phys. Chem. 1887, 1, 227.



nzahl der Gramm-Moleküle  $\text{Rb}_2\text{C}_4\text{H}_4\text{O}_6$  ausgedrückt, die in 100 Gramm-Molekülen Wasser enthalten sind<sup>1)</sup>.

| Temperatur | Löslichkeit des Tartratgemisches | Löslichkeit des Racemats. |
|------------|----------------------------------|---------------------------|
| 25°        | 13,03                            | 10,91                     |
| 35°        | —                                | 12,63                     |
| 40,4°      | —                                | 13,48                     |
| 40,7°      | 13,46                            | —                         |
| 54°        | 13,83                            | —                         |

In Fig. 100 stellt die Kurve  $AB$  die Löslichkeit des Racemats, die Kurve  $A'BC$  die Löslichkeit des Tartratgemisches vor. Unterhalb des Umwandlungspunktes ist also die Löslichkeit des Racemats geringer als die des Tartratgemisches. Die in bezug auf das letztere gesättigte Lösung ist in bezug auf das Racemat übersättigt, wenn also ein fester Kristallkeim des letzteren zugesetzt wird, so scheidet sich Racemat aus, und wenn die beiden Tartrate im Gemisch in äquimolekularen Mengen anwesend sind, so verschwinden sie schließlich vollständig und es bleibt nur Racemat als feste Phase übrig. Die Lösung hat dann eine Zusammensetzung, die durch einen Punkt der Kurve  $AB$  angegeben wird. Oberhalb des Umwandlungspunktes würde umgekehrt die gesättigte Lösung des Racemats in bezug auf die beiden Tartrate übersättigt sein, und es würde Umwandlung in die letzteren erfolgen. Wenn man daher eine Lösung äquimolekularer Mengen von  $d$ - und  $l$ -Rubidiumtartrat bei einer Temperatur über 40° verdampfen läßt, so scheidet sich ein Gemisch der beiden Tartrate aus. Bei Temperaturen unter 40° dagegen scheidet sich das Racemat aus.

Ähnliche Beziehungen findet man zwischen  $d$ - und  $l$ -Natriumammoniumtartrat und Natriumammoniumracemat, aber in diesem Falle ist das Racemat in Berührung mit der Lösung oberhalb des Umwandlungspunktes (27°) die stabile Form<sup>2)</sup>. Unterhalb des Umwandlungspunktes liegt daher die Löslichkeitskurve der gemischten Tartrate unter der Löslichkeitskurve des Racemats. Unterhalb des Umwandlungspunktes zerfällt festes Natriumammoniumracemat in Berührung mit Lösung in ein Gemisch von festem  $d$ - und  $l$ -Natriumammoniumtartrat. Bei einer höheren Temperatur, 35°, zerfällt Natriumammoniumracemat in Natriumracemat und Ammoniumracemat<sup>3)</sup>.

Das Verhalten des Natriumammoniumracemats ist deshalb von Interesse, weil es die erste racemische Substanz war, die durch einen Kristallisationsprozeß in ihre optisch aktiven Formen zerlegt wurde. PASTEUR<sup>4)</sup> erhielt, indem er eine Lösung von Traubensäure halb mit Natron und halb mit Ammoniak neutralisierte und die Lösung verdampfen ließ, ein Gemisch von  $d$ - und  $l$ -Natriumammoniumtartrat. PASTEUR wußte nichts von der Existenz eines Umwandlungspunktes, und daß sein Versuch gelang, war dem günstigen Umstand zu danken, daß er die Lösung bei einer Temperatur unter 27° verdampfen ließ. Hätte er eine höhere Temperatur angewandt, so würde eine Spaltung des Racemats in die beiden enantiomorphen Formen nicht stattgefunden haben. Aus diesem Grunde mißlang der Versuch STAEDELS, dieselbe Spaltung zu bewirken<sup>5)</sup>.

**Zersetzung des Doppelsalzes durch Wasser.** — In den beiden beschriebenen Fällen besitzen die Löslichkeitsverhältnisse beim Umwandlungspunkt

<sup>1)</sup> VAN'T HOFF u. MÜLLER, Ber. 1898, 21, 2206.

<sup>2)</sup> VAN'T HOFF u. VAN DEVENTER, Zeitschr. phys. Chem. 1887, 1, 165.

<sup>3)</sup> Eine ausführliche Diskussion der Löslichkeitsverhältnisse von Natriumammoniumracemat findet sich bei VAN'T HOFF, Bildung und Spaltung von Doppelsalzen, S. 81.

<sup>4)</sup> Ann. chim. phys. 1848, [3], 24, 442.

<sup>5)</sup> Siehe VAN'T HOFF u. VAN DEVENTER, Zeitschr. phys. Chem. 1887, 1, 165.



einen einfacheren Charakter als bei den meisten Doppelsalzen. Bringt man bei einer Temperatur oberhalb des Umwandlungspunktes ein Gemisch von *d*- und *l*-Rubidiumtartrat in äquimolekularen Mengen in Berührung mit Wasser, so erhält man eine Lösung, die in bezug auf beide enantiomorphe Formen gesättigt ist, und da die Löslichkeit der beiden optischen Antipoden, ebenso die Wirkung des einen auf die Löslichkeit des anderen dieselbe ist, so enthält die Lösung äquimolekulare Mengen des *d*-Salzes und des *l*-Salzes. Wenn jetzt die Lösung in Berührung mit den festen Salzen bis gerade unter den Umwandlungspunkt abgekühlt wird, so wird sie in bezug auf das Racemat übersättigt und dieses scheidet sich aus. Hierdurch wird die Lösung in bezug auf das Gemisch der aktiven Salze ungesättigt und diese müssen daher in Lösung gehen. Da die letzteren in gleichem Grade löslich sind, so lösen sich gleiche Mengen von beiden, und es wird eine weitere Menge des Racemats ausgeschieden. Diese Prozesse der Auflösung und Ausscheidung schreiten so lange fort, bis die einfachen Tartrate vollständig verschwunden sind und nur Racemat als feste Phase übrig ist. Infolge der identischen Löslichkeit der beiden Tartrate wird beim Passieren des Umwandlungspunktes kein Überschuß einer der beiden Formen übrig bleiben. Hieraus folgt, daß das Racemat als einzige feste Phase in Berührung mit ihrer gesättigten Lösung beim Umwandlungspunkt existieren kann, oder, mit anderen Worten, das Racemat wird beim Umwandlungspunkt nicht durch Wasser zersetzt. Dasselbe Verhalten zeigt auch das Natriumammoniumracemat bei 27°, da die beiden enantiomorphen Natriumammoniumtartrate ebenfalls identische Löslichkeit besitzen.

Ein ganz anderes Verhalten zeigt dagegen z. B. der Astrakanit und die Mehrheit der Doppelsalze, da die Löslichkeit der einfachen Salze, aus denen sie bestehen, nicht dieselbe ist. Wenn z. B. ein Gemisch von Natriumsulfat und Magnesiumsulfat in äquimolekularen Mengen unterhalb des Umwandlungspunktes (22°) im Überschuß mit Wasser in Berührung gebracht wird, so löst sich mehr Magnesiumsulfat als Natriumsulfat. Die Löslichkeit dieser beiden Salze in einer gemeinsamen Lösung ist durch die folgenden Zahlen gegeben, welche die Anzahl der Salzmoleküle in 100 Molekülen Wasser ausdrücken<sup>1)</sup>.

Zusammensetzung von Lösungen,  
die in bezug auf  $\text{Na}_2\text{SO}_4 \cdot 10\text{H}_2\text{O}$  und  $\text{MgSO}_4 \cdot 10\text{H}_2\text{O}$   
gesättigt sind.

| Temperatur | $\text{Na}_2\text{SO}_4$ | $\text{MgSO}_4$ |
|------------|--------------------------|-----------------|
| 18,5°      | 2,16                     | 4,75            |
| 24,5°      | 3,43                     | 4,68            |

Beim Umwandlungspunkt enthält also die Lösung offenbar mehr Magnesiumsulfat als Natriumsulfat, und dies muß auch noch der Fall sein, wenn sich Astrakanit ausscheidet, der Natriumsulfat und Magnesiumsulfat in äquimolekularen Mengen enthält. Wenn daher die Temperatur ein wenig über den Umwandlungspunkt erhöht wird, so gehen Magnesiumsulfat und Natriumsulfat in Lösung, aber das erstere in größerer Menge als das letztere, und es scheidet sich Astrakanit aus. Dieser Prozeß schreitet solange fort, bis alles feste Magnesiumsulfat verschwunden ist und ein Gemisch von Astrakanit und Natriumsulfatdekahydrat als feste Phasen übrig bleibt. Da jetzt vier Phasen anwesend sind, so ist das System bivariant, wird aber univariant, weil wir angenommen haben, daß das System

<sup>1)</sup> MEYERHOFFER, Zeitschr. phys. Chem. 1890, 5, 121.

unter einem Drucke von  $p = 1$  Atm. ist, und wir daher die Zahl der Freiheiten eins vermindert haben, und folglich hat bei einer gegebenen Temperatur die Lösung eine bestimmte Zusammensetzung, die aus der folgenden Tabelle zu ersehen ist.

Zusammensetzung einer Lösung,  
die in bezug auf  $\text{Na}_2\text{Mg}(\text{SO}_4)_2 \cdot 4\text{H}_2\text{O}$  und  $\text{Na}_2\text{SO}_4 \cdot 10\text{H}_2\text{O}$   
gesättigt ist.

| Temperatur | $\text{Na}_2\text{SO}_4$ | $\text{MgSO}_4$ |
|------------|--------------------------|-----------------|
| 22°        | 2,95                     | 4,70            |
| 24,5°      | 3,45                     | 3,62            |

Aus diesen Zahlen geht hervor, daß bei einer Temperatur unmittelbar über dem Umwandlungspunkt eine Lösung in Berührung mit den beiden festen Phasen, Astrakanit und Glaubersalz, relativ weniger Natriumsulfat enthält als eine reine Lösung von Astrakanit enthalten würde, da in diesem Falle gleiche molekulare Mengen von  $\text{Na}_2\text{SO}_4$  und  $\text{MgSO}_4$  gelöst sein würden. Eine Lösung, die in bezug auf Astrakanit allein gesättigt ist, enthält mehr Natriumsulfat als die in bezug auf Astrakanit plus Glaubersalz gesättigte Lösung, und das letztere wird infolgedessen ausgeschieden. Wenn daher Astrakanit bei einer Umwandlungspunkt naheliegenden Temperatur mit Wasser in Berührung gebracht wird, so erleidet er eine Zersetzung unter Abscheidung von Glaubersalz (wenn Übersättigung ausgeschlossen ist).

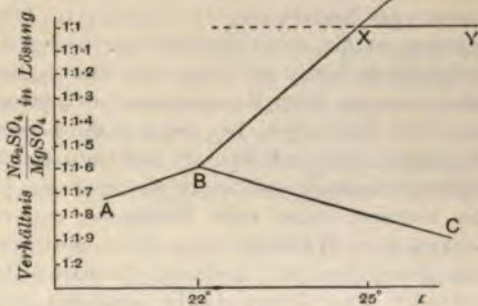


Fig. 101.

Dies wird vielleicht noch klarer, wenn man Fig. 101 betrachtet. In diesem Diagramm stellen die Ordinaten das Verhältnis von Natriumsulfat zu Magnesiumsulfat in den Lösungen dar, und die Abszissen bedeuten die Temperaturen. Die Linie  $AB$  repräsentiert Lösungen, die in bezug auf ein Gemisch der einfachen Salze gesättigt sind (S. 168);  $BC$  bezieht sich auf Lösungen im Gleichgewicht mit Astrakanit und Magnesiumsulfat, und  $BX$  gibt die Zusammensetzung von Lösungen an, die mit den festen Phasen Astrakanit und Glaubersalz in Berührung sind. Die Werte der Löslichkeit sind in der folgenden Tabelle und in der Tabelle auf S. 168 enthalten und sind, wie vorher, in Gramm-Molekülen in 100 Gramm-Molekülen Wasser ausgedrückt<sup>1)</sup>.

| Temperatur | Astrakanit + Natriumsulfat |                 | Astrakanit + Magnesiumsulfat |                 |
|------------|----------------------------|-----------------|------------------------------|-----------------|
|            | $\text{Na}_2\text{SO}_4$   | $\text{MgSO}_4$ | $\text{Na}_2\text{SO}_4$     | $\text{MgSO}_4$ |
| 18,5°      | —                          | —               | 3,41                         | 4,27            |
| 22°        | 2,95                       | 4,70            | 2,85                         | 4,63            |
| 24,5°      | 3,45                       | 3,62            | 2,68                         | 4,76            |
| 30°        | 4,58                       | 2,91            | 2,30                         | 5,31            |
| 35°        | 4,30                       | 2,76            | 1,73                         | 5,88            |

<sup>1)</sup> ROOZEBOOM, Zeitschr. phys. Chem. 1888, 2, 518.



Beim Umwandlungspunkt ist das Verhältnis von Natriumsulfat zu Magnesiumsulfat annähernd 1:1,6. In Lösungen, die in bezug auf Astrakanit und Glaubersalz gesättigt sind, nimmt die relative Menge von Natriumsulfat mit steigender Temperatur zu, in Lösungen, die in bezug auf Astrakanit und Magnesiumsulfat gesättigt sind, nimmt dagegen das Verhältnis von Natriumsulfat zu Magnesiumsulfat ab.

Wenn wir nur die Temperaturen oberhalb des Umwandlungspunktes betrachten, so ersehen wir aus der Figur, daß Lösungen, die durch Punkte über der Linie  $BX$  repräsentiert werden, relativ mehr Natriumsulfat enthalten als Lösungen in Berührung mit Astrakanit und Glaubersalz; und Lösungen, die unterhalb der Linie  $BC$  liegen, enthalten relativ mehr Magnesiumsulfat als Lösungen, die mit diesem Salz und Astrakanit gesättigt sind. Diese Lösungen sind daher nicht stabil, sondern sie scheiden in dem einen Falle Astrakanit und Glaubersalz, im anderen Falle Astrakanit und Magnesiumsulfat aus, bis ein Punkt auf  $BX$  oder  $BC$  erreicht wird. Alle Lösungen jedoch, die rechts von  $CBX$  liegen, sind in bezug auf diese beiden Paare von Salzen ungesättigt, und nur die durch die Linie  $XY$  repräsentierten Lösungen (die äquimolekulare Mengen von Natriumsulfat und Magnesiumsulfat enthalten) sind in bezug auf das reine Doppelsalz gesättigt.

**Umwandlungsintervall.** — Durch Fig. 101 wird noch ein anderer Punkt im Verhalten des Astrakanits und der Doppelsalze überhaupt aufgeklärt. Bei Temperaturen zwischen den durch die Punkte  $B$  und  $X$  repräsentierten wird das Doppelsalz, wenn es in Berührung mit Wasser gebracht wird, unter Abscheidung von Natriumsulfat zersetzt. Oberhalb der Temperatur des Punktes  $X$  dagegen ist die reine Bodenkörperlösung des Doppelsalzes stabil, weil sie ungesättigt ist in bezug auf jedes der Einzelsalze in Gegenwart von festem Doppelsalz, daher also von jeder Komponente noch etwas aufnehmen kann. Bei Temperaturen also über derjenigen, bei welcher die Lösung in gleichzeitiger Berührung mit dem Doppelsalz und dem weniger löslichen einfachen Salz die einfachen Salze in demselben Verhältnis enthält, in welchem sie im Doppelsalz enthalten sind, löst sich das letztere, ohne eine Zersetzung zu erleiden. Das Intervall zwischen derjenigen Temperatur, bei welcher die Möglichkeit der Bildung des Doppelsalzes anfängt (Umwandlungspunkt), und derjenigen, bei welcher das Doppelsalz aufhört, von Wasser zersetzt zu werden, heißt das Umwandlungsintervall<sup>1)</sup>. Wenn die beiden einfachen Salze beim Umwandlungspunkt identische Löslichkeit haben, so ist das Umwandlungsintervall gleich Null, wie z. B. im Falle des Rubidiumracemats.

In denjenigen Fällen, in denen das Doppelsalz die stabile Form unter dem Umwandlungspunkt ist, erstreckt sich das Umwandlungsintervall abwärts auf eine niedrigere Temperatur. Fig. 97 hat dann die umgekehrte Form.

**Rückblick.** — Wir haben gelernt, daß die Bildung der Doppelsalze aus den einfachen Salzen, sowie das Zerfallen der Doppelsalze in die einfachen Salze an eine bestimmte Temperatur, die sogenannte Umwandlungstemperatur, gebunden ist. Bei dieser Umwandlungstemperatur schneiden sich zwei Dampfdruckkurven, nämlich eine Dampfdruckkurve eines Gemisches der festen einfachen Salze und die Dampfdruckkurve der gesättigten Lösung des Doppelsalzes, oder die Dampfdruckkurve des festen Doppelsalzes und die Dampfdruckkurve der mit den gemischten einfachen Salzen gesättigten Lösung. Auch die Löslichkeitskurven dieser beiden Systeme schneiden sich beim Umwandlungspunkt, aber wenn auch die Bildung des Doppelsalzes beim Umwandlungspunkt beginnt, so kann vollständige Stabilität in Berührung mit Wasser doch erst bei einer Temperatur über (oder unter) diesem Punkt erreicht werden. Nur wenn die Temperatur außerhalb des Umwandlungsintervalls liegt, löst sich ein Doppelsalz (z. B. die Alaune) in Wasser ohne Zersetzung.

<sup>1)</sup> MEYERHOFFER, Zeitschr. phys. Chem. 1890, 5, 109. Über die Bedeutung des Umwandlungsintervalles bei optisch-aktiven Substanzen siehe MEYERHOFFER, Ber. 1904, 37, 2604.



## Isothermen und das räumliche Modell.

Im vorhergehenden Kapitel betrachteten wir die Änderungen der Löslichkeit von Doppelsalzen und von Gemischen der einfachen Salze, aus denen sie bestehen, mit der Temperatur. Dabei richteten wir unsere Aufmerksamkeit namentlich auf die Beziehungen zwischen den beiden Systemen beim Umwandlungspunkt. Wir wollen jetzt das Studium der Systeme aus drei Komponenten damit beschließen, daß wir ganz kurz die Löslichkeitsbeziehungen bei konstanter Temperatur oder die isothermischen Löslichkeitskurven diskutieren. Dies wird neues Licht verbreiten über die Änderung der Löslichkeit einer Komponente durch die Hinzufügung einer anderen Komponente, sowie auf die Bedingungen der Bildung und der stabilen Existenz von Doppelsalzen in Lösung. Mit Hilfe dieser Isothermen werden auch die Erscheinungen der Kristallisation bei konstanter Temperatur — Erscheinungen, die nicht nur wissenschaftliches Interesse haben, sondern die auch für die Fabrikation von Doppelsalzen von großer Bedeutung sind — besser verstanden werden<sup>1)</sup>.

Auch die Methode der bildlichen Darstellung der Änderung der Konzentration der beiden in Lösung befindlichen Salze mit der Temperatur soll kurz beschrieben werden.

**Nichtbildung von Doppelsalzen.** — Fig. 102 zeigt die Löslichkeitskurven zweier Salze *A* und *B*, die bei der gegebenen Temperatur kein Doppelsalz bilden<sup>2)</sup>. Die Ordinaten geben die Menge von *A*, die Abszissen die Menge von *B* in derselben Menge der dritten Komponente, des Lösungsmittels, an. Der Punkt *A* gibt also die Löslichkeit des Salzes *A* und der Punkt *B* die Löslichkeit des Salzes *B* bei der gegebenen Temperatur an. Da wir es mit einem System aus drei Komponenten zu tun haben, so bildet eine feste Phase in Berührung mit Lösung ein bivariantes System (in Abwesenheit der Dampfphase und unter konstantem Druck). Daher kann bei jeder gegebenen Temperatur die Konzentration der Lösung im Gleichgewicht mit der festen Phase eine Änderung erleiden. Wenn also zu einer reinen Lösung von *A* eine kleine Menge von *B* hinzugefügt wird, so wird in der Tat die Löslichkeit von *A* im allgemeinen verändert werden. In der Regel wird sie vermindert, zuweilen aber auch vermehrt<sup>3)</sup>. Die Kurve *AC* stellt die wechselnde Zusammensetzung der Lösung im Gleichgewicht mit der festen Komponente *A* dar. Ebenso stellt *BC* die Zusammensetzung der Lösungen in

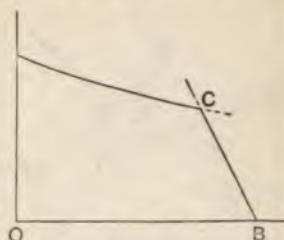


Fig. 102.

<sup>1)</sup> Vgl. namentlich VAN'T HOFF, Bildung und Spaltung von Doppelsalzen, S. 3 ff; ROOZEBOOM, Zeitschr. phys. Chem. 1892, 10, 158; BANCROFT, Phase Rule, S. 201, 209.

<sup>2)</sup> Hier muß dieselbe Einschränkung wie im vorigen Kapitel gemacht werden, nämlich daß die beiden Salze in Lösung ein gemeinsames Ion geben.

<sup>3)</sup> Z. B. bei Hinzufügung von Ammoniumchlorid zu Lösungen von Ferrichlorid (ROOZEBOOM, Zeitschr. phys. Chem. 1892, 10, 149).

Berührung mit reinem  $B$  als fester Phase dar. Beim Punkt  $C$ , in welchem sich die beiden Kurven schneiden, sind zwei feste Phasen, reines  $A$  und  $B$ , im Gleichgewicht mit Lösung, und das System wird bei gegebener Temperatur invariant. Bei diesem Punkt ist die Lösung in bezug auf beide Salze gesättigt und muß bei einer gegebenen Temperatur eine bestimmte Zusammensetzung haben. Wenn wir z. B. annehmen,  $A$  sei Natriumsulfatdekahydrat und  $B$  Magnesiumsulfatheptahydrat und die Temperatur sei  $18,5^\circ$  (d. h. unter dem Umwandlungspunkt), so würde der Punkt  $C$  eine Lösung repräsentieren, die 2,16 Gramm-Moleküle  $\text{Na}_2\text{SO}_4$  und 4,57 Gramm-Moleküle  $\text{MgSO}_4$  auf 100 Gramm-Moleküle Wasser enthält (S. 168). Die Kurve  $ACB$  ist die Grenzkurve für gesättigte Lösungen. Lösungen, welche außer

halb dieser Kurve liegen, sind übersättigt, Lösungen, die in der Fläche  $ACBO$  liegen, sind ungesättigt.

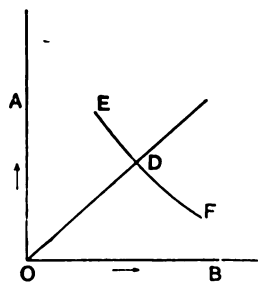


Fig. 103.

**Bildung eines Doppelsalzes.** — Wenn die Temperatur außerhalb<sup>1)</sup> des Umwandlungsintervalls liegt, so ist es, wie wir bereits im vorhergehenden Kapitel gelernt haben, möglich, eine reine gesättigte Lösung des Doppelsalzes zu bereiten. Wenn wir nun annehmen, das Doppelsalz enthalte die beiden einfachen Salze in äquimolekularen Mengen, so muß diese gesättigte Lösung durch einen Punkt repräsentiert werden, der auf der Halbierungslinie des Winkels  $AOB$  liegt, z. B. den Punkt  $D$  in Fig. 103. Ein Doppelsalz ist aber nur eine einzige

Phase und kann daher bei konstanter Temperatur in Berührung mit Lösungen von verschiedenen Konzentrationen existieren, wie sie durch  $EDF$  repräsentiert werden.

Wir wollen jetzt die Beziehungen zwischen der Löslichkeitskurve für das Doppelsalz und den Löslichkeitskurven für die einfachen Salze vergleichen. Wir wollen annehmen, das Doppelsalz entstehe aus den einfachen Salzen, wenn (wie bei der Bildung von Astrakanit) die Temperatur über einen gewissen Punkt gesteigert wird. Bei einer Temperatur unterhalb des Umwandlungspunktes ist, wie

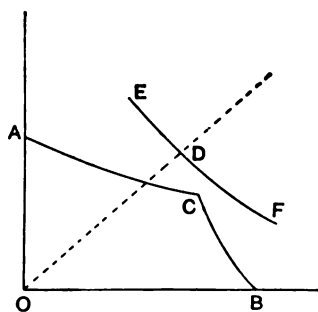


Fig. 104.

wir gesehen haben, die Löslichkeit des Doppelsalzes größer als die Löslichkeit des Gemisches der einfachen Salze. Die Kurve  $EDF$  muß daher über dem Punkt  $C$  liegen, in der Region, die Lösungen repräsentiert, welche in bezug auf die einfachen Salze übersättigt sind (Fig. 104). Eine solche Lösung würde aber metastabil sein, und wenn sie mit den einfachen festen Salzen in Berührung gebracht würde, so würden diese ausgeschieden werden und es würde eine Lösung entstehen, die durch den Punkt  $C$  repräsentiert wird. Bei dieser Temperatur würde also die isothermische Löslichkeitskurve nur aus zwei Zweigen bestehen.

Wir wollen jetzt annehmen, die Temperatur sei die des Umwandlungspunktes. Bei diesem Punkt kann das feste Doppelsalz zusammen mit den festen einfachen Salzen in Berührung mit der Lösung existieren. Die Löslichkeitskurve des Doppelsalzes muß daher, wie Fig. 105 zeigt, bei dieser Temperatur durch den Punkt  $C$  gehen.

Aus dieser Figur ist zu ersehen, daß in dem gewählten Beispiele eine Lösung, die nur in bezug auf das Doppelsalz gesättigt ist (Punkt  $D$ ), in bezug auf die Komponente  $A$  übersättigt ist. Wenn daher bei der Temperatur des Umwandlungs-

<sup>1)</sup> Die Temperatur muß natürlich auf derjenigen Seite des Umwandlungspunktes liegen, auf welcher das Doppelsalz stabil ist.



nktes ein Überschuß des Doppelsalzes in Berührung mit Wasser<sup>1)</sup> gebracht wird, und wenn Übersättigung ausgeschlossen ist, so erleidet das Doppelsalz eine Zersetzung und die Komponente *A* wird ausgeschieden. Die relative Konzentration der Komponente *B* in der Lösung nimmt daher zu und die Zusammensetzung der Lösung ändert sich hierdurch in der Richtung *DC*. Wenn die Lösung die Zusammensetzung von *C* hat, hört die Abscheidung des einfachen Salzes auf, weil bei diesem Punkt die Lösung sowohl für das Doppelsalz wie auch für das einfache Salz gesättigt ist und das System invariant wird.

Das Diagramm erklärt sehr deutlich die Erscheinung der Zersetzung eines Doppelsalzes beim Umwandlungspunkt. Diese Zersetzung wird natürlich eintreten, wenn die Lösung, welche bei der Temperatur des Umwandlungspunktes in bezug auf die beiden einfachen Salze gesättigt ist (Punkt *C*), diese Salze nicht in demselben Verhältnis enthält, in welchem sie im festen Doppelsalz vorhanden sind. Wenn der Punkt *C* aber auf der punktierten Halbierungslinie des rechten Winkels liegt, so würde die reine gesättigte Lösung des Doppelsalzes in bezug auf keins der beiden einfachen Salze übersättigt sein, und das Doppelsalz würde daher nicht durch Wasser zersetzt werden. Dies Verhalten findet sich, wie bereits erwähnt wurde, bei optisch aktiven Isomeren, deren Löslichkeiten identisch sind.

Beim Umwandlungspunkt besteht daher die isothermische Kurve ebenfalls aus zwei Zweigen, aber der Durchschnittspunkt der beiden Zweige repräsentiert eine Lösung, die nicht nur in bezug auf die einfachen Salze, sondern auch in bezug auf das Doppelsalz in Gegenwart der einfachen Salze gesättigt ist.

Wie wir soeben gesehen haben, bewirkt eine Temperaturänderung, daß sich die beiden Löslichkeitskurven, die für die beiden einfachen Salze und die für das Doppelsalz, einander nähern (vgl. Fig. 104 u. 105).

In einem früheren Kapitel fanden wir aber, daß beim Erhitzen des Umwandlungspunktes nach der Region der Stabilität für das Doppelsalz die Lösung, welche ein Gemisch der beiden einfachen Salze gesättigt ist, für das Doppelsalz übersättigt ist. In diesem Falle liegt daher der Punkt *C* über der Löslichkeitskurve des reinen Doppelsalzes (Fig. 106), und wenn eine Lösung von der Zusammensetzung *C* mit dem Doppelsalz in Berührung gebracht wird, so wird dieses ausgeschieden. Wenn auch die einfachen Salze anwesend sind, so würden diese, während sich das Doppelsalz abscheidet, in Lösung gehen, weil die Zusammensetzung der Lösung unverändert bleiben muß, solange die beiden einfachen Salze anwesend sind. Wenn eins der beiden einfachen Salze früher verschwindet als das andere, so bleibt festes Doppelsalz plus *A* oder Doppelsalz plus *B* übrig und die Zusammensetzung der Lösung wird entweder die dem Punkt *D* (gesättigt für festes Doppelsalz plus *A*) oder die dem Punkt *F* (gesättigt für festes Doppelsalz plus *B*) entsprechende sein.

In bezug auf die in Fig. 106 dargestellte Isotherme ist noch zu bemerken, daß bei dieser Temperatur eine für das reine Doppelsalz gesättigte Lösung nicht mehr in bezug auf eins der beiden einfachen Salze (Punkt *D*) übersättigt ist. Daher wird bei dieser Temperatur das Doppelsalz nicht durch Wasser zersetzt.

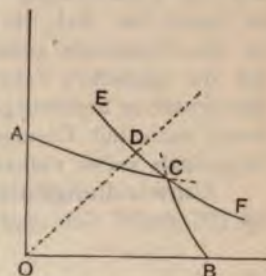


Fig. 105.

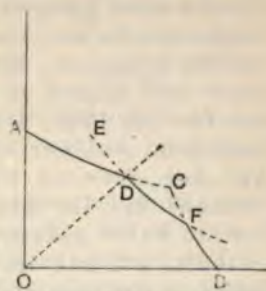


Fig. 106.

<sup>1)</sup> Ein Überschuß des Doppelsalzes muß genommen werden, da sonst eine ungesättigte Lösung entstehen könnte, die natürlich kein Salz ausscheiden würde.



Bei dieser Temperatur besteht ferner die Grenzkurve aus drei Zweigen,  $AD$ ,  $DF$  und  $FB$ , die die Zusammensetzung der Lösungen angeben, die beziehungsweise mit reinem  $A$ , mit Doppelsalz und mit reinem  $B$  im Gleichgewicht sind, während die Punkte  $D$  und  $F$  Lösungen repräsentieren, die für Doppelsalz plus  $A$  und für Doppelsalz plus  $B$  gesättigt sind.

Wenn man fortfährt, die Temperatur in derselben Richtung zu ändern, so tritt die Verschiebung der Löslichkeitskurven deutlicher hervor, wie in Fig. 107 zu sehen ist. Bei der Temperatur dieser Isotherme liegt die Lösung, welche für das Doppelsalz gesättigt ist, in einer Region, in welcher die Lösung in bezug auf die einfachen Salze nicht gesättigt ist, und das Doppelsalz kann jetzt als feste Phase in Berührung mit Lösungen existieren, die relativ mehr von  $A$  (Kurve  $ED$ ) sowie auch mit Lösungen, sich relativ mehr von  $B$  (Kurve  $DF$ ) enthalten, als Doppelsalz selbst enthalten ist.

**Umwandlungsintervall.** — Aus dem Gesagten, sowie aus den Figuren 104 bis 107 ergibt sich, daß ein System durch Änderung der Temperatur aus einem

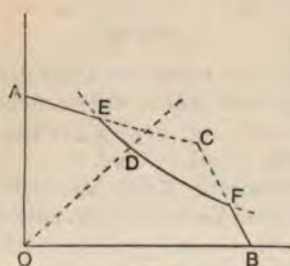


Fig. 107.

Zustand, in welchem das feste Doppelsalz ganz unfähig ist, in Berührung mit Lösung zu existieren (wenn Übersättigung ausgeschlossen ist), in einen Zustand übergehen kann, in welchem die Existenz des Doppelsalzes in Gegenwart von Lösung möglich wird, aber nur bei gleichzeitiger Gegenwart eines der beiden einfachen festen Salze (Umwandlungspunkt, Fig. 105). Eine weitere Änderung der Temperatur führt zu einem Zustand, in welchem die stabile Existenz des reinen Doppelsalzes in Berührung mit Lösung eben möglich wird (Fig. 106), und wenn dieser Punkt überschritten wird, so können reine gesättigte Lösungen des Doppelsalzes erhalten werden (Fig. 107). Daher erleidet das Doppelsalz bei jeder Temperatur zwischen der durch Fig. 105 und der durch Fig. 106 repräsentierten eine partielle Zersetzung unter Abscheidung eines der beiden einfachen Salze. Dieses Temperaturintervall zwischen dem Umwandlungspunkt und der Temperatur, bei welcher eine stabile gesättigte Lösung des reinen Doppelsalzes eben möglich zu werden anfängt, ist, wie wir wissen, das Umwandlungsintervall (S. 170). Das Umwandlungsintervall wird, wie aus den Figuren hervorgeht, auf der einen Seite von der Umwandlungstemperatur und auf der anderen Seite von derjenigen Temperatur begrenzt, bei welcher die für das Doppelsalz und das weniger lösliche der einfachen Salze gesättigte Lösung die letzteren in demselben Verhältnis enthält, wie sie im Doppelsalz enthalten sind. Je größer der Unterschied in der Löslichkeit der einfachen Salze ist, desto größer ist das Umwandlungsintervall.

**Isothermische Eindampfung.** — Die isothermischen Löslichkeitskurven sind von großer Bedeutung, wenn man einen Einblick in das Verhalten einer Lösung erhalten will, die der isothermischen Eindampfung unterworfen wird. Zur Vereinfachung der Diskussion der Beziehungen, die man hier beobachtet, wollen wir noch annehmen, daß das feste Doppelsalz die einfachen Salze in äquimolekularen Mengen enthält. Wir wollen ferner annehmen, daß die ungesättigte Lösung, von der wir ausgehen, ebenfalls die einfachen Salze in demselben Verhältnis enthält. Die Zusammensetzung der Lösung muß daher durch einen Punkt dargestellt werden, der auf der Linie  $OD$ , der Halbierungslinie des rechten Winkels, liegt.

Aus dem Gesagten geht hervor, daß, wenn die Bildung eines Doppelsalzes stattfinden kann, drei Temperaturintervalle unterschieden werden können, nämlich das Einzelsalzintervall, das Umwandlungsintervall und das Doppelsalz-



Intervall<sup>1)</sup>. Wenn die Temperatur in dem ersten Intervall liegt, so führt die Verdampfung zuerst zur Kristallisation eines der Einzelsalze und dann zur Abscheidung beider Einzelsalze nebeneinander. Im zweiten Temperaturintervall führt die Konzentration der Lösung ebenfalls zuerst zur Abscheidung eines der Einzelsalze, dann aber zur gleichzeitigen Kristallisation des Doppelsalzes. Im dritten Temperaturintervall kristallisiert nur das Doppelsalz aus. Dies ist deutlicher aus dem Folgenden zu ersehen.

Wenn eine ungesättigte Lösung der beiden einfachen Salze in äquimolekularen Gewichtsmengen (z. B. Punkt  $x$ , Fig. 108) bei einer Temperatur verdunstet, bei der die Bildung des Doppelsalzes unmöglich ist (im Einzelsalzintervall), so wird die Komponente  $A$ , deren Löslichkeitskurve von der Linie  $OD$  geschnitten wird, zuerst ausgeschieden, und die Lösung wird daher reicher an  $B$ . Bei fortgesetzter Verdunstung wird mehr  $A$  ausgeschieden, und die Zusammensetzung der Lösung ändert sich, bis die durch den Punkt  $C$  repräsentierte Zusammensetzung erreicht ist. Dann werden  $A$  und  $B$  nebeneinander ausgeschieden und die Zusammensetzung der Lösung bleibt unverändert. Das Produkt der Verdunstung ist daher ein Gemisch der beiden Komponenten.

Wenn die Bildung des Doppelsalzes möglich ist, aber die Temperatur innerhalb des Umwandlungsintervalls liegt, so werden die Beziehungen durch ein Diagramm wie Fig. 109 dargestellt. Isothermische Verdampfung der Lösung  $X$  führt zunächst zur Abscheidung der Komponente  $A$ , und die Zusammensetzung der Lösung ändert sich in der Richtung  $DE$ . Bei dem letzteren Punkt scheidet sich auch das Doppelsalz aus, und die Zusammensetzung der Lösung bleibt solange unverändert, als die beiden festen Phasen anwesend sind. Die Lösung in  $E$  enthält aber, wie aus der Figur zu ersehen ist, von der Komponente  $A$  weniger, als im Doppelsalz auf die gleiche Menge  $B$  enthalten ist. Daher würde die Abscheidung von Doppelsalz bei  $E$  eine relative Abnahme in der Konzentration von  $A$  in der Lösung zur Folge haben, und um dies auszugleichen, muß sich also dabei das anfangs ausgeschiedene Salz  $A$  wieder auflösen.

Da die Salze ursprünglich in äquimolekularen Mengen anwesend waren, so ist das Endprodukt der Verdampfung reines Doppelsalz. Wenn das Salz *A*, welches sich ausgeschieden hat, bis die Lösung den Punkt *E* erreicht hat, entfernt wird, so bleibt nur Doppelsalz als feste Phase übrig. Bei einer gegebenen Temperatur jedoch kann in diesen Systemen eine einzige feste Phase im Gleichgewicht mit Lösungen von verschiedener Zusammensetzung existieren. Wenn daher die isothermische Verdampfung nach Entfernung des Salzes *A* fortgesetzt wird, so wird Doppelsalz ausgeschieden, und die Zusammensetzung der Lösung ändert sich in der Richtung *E**F*. Beim Punkt *F* scheidet sich das Salz *B* aus, und beim Verdampfen scheidet sich sowohl das Doppelsalz, als auch das Salz *B* aus. Im ersteren Falle (wenn beim Eindampfen das feste Salz *A* verschwindet) haben wir es mit einer inkongruent gesättigten Lösung zu tun. Im letzteren Falle, in welchem beide feste Phasen ohne Unterbrechung ausgeschieden werden, wird die Lösung als eine kongruent gesättigte bezeichnet<sup>3)</sup>.

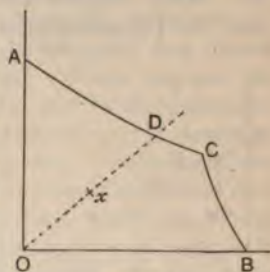


Fig. 108.

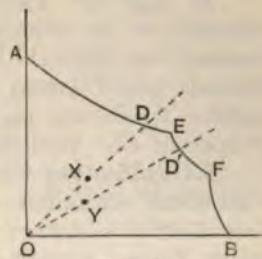


Fig. 109.

<sup>1</sup>) MEYERHOFFER, Ber. 1904, 37, 2605.

<sup>2</sup>) MEYERHOFER, (Wiener Akad. Ber. 104, IIb, Dez. 1895), Ber. d. d. chem. Ges. 1897, 0, 1809.





$EF$  ändert, so verwendet man am besten eine Lösung, deren Zusammensetzung nahe an der Linie  $OE$  liegt.

**Bildung von Mischkristallen.** — Wenn die beiden einfachen Salze  $A$  und  $B$  nicht als zwei feste Phasen aus der Lösung rein auskristallisieren, sondern eine ununterbrochene Reihe von Mischkristallen also nur eine feste Phase bilden, so kann natürlich ein invariantes System nicht entstehen. Die Löslichkeitskurve ist daher von  $A$  bis  $B$  kontinuierlich, indem die flüssigen Lösungen von wechselnder Zusammensetzung im Gleichgewicht mit den festen Lösungen von ebenfalls wechselnder Zusammensetzung sind. Wenn dagegen die Reihe von Mischkristallen nicht kontinuierlich ist, so zeigt die Löslichkeitskurve einen Knick, bei welchem zwei feste Lösungen von verschiedener Zusammensetzung nebeneinander im Gleichgewicht mit flüssiger Lösung sind. Dies bildet natürlich bei gegebener Temperatur ein invariantes System, und der Punkt entspricht dem Punkt  $C$  in Fig. 108. Eine eingehende Diskussion dieser Systeme würde uns jedoch zu weit führen, und die oben gegebene Andeutung ihres Verhaltens muß genügen<sup>1)</sup>.

**Anwendung auf die Charakterisierung von Racematen.** — Die Form der isothermischen Löslichkeitskurven ist ein wertvolles Mittel, um zu entscheiden, ob eine optisch inaktive Substanz eine racemische Verbindung ist oder ein Konglomerat gleicher Mengen der optischen Antipoden<sup>2)</sup>.

Es wurde bereits darauf hingewiesen, daß die Bildung racemischer Verbindungen aus den beiden enantiomorphen Isomeren der Bildung von Doppelsalzen analog ist. Auch die isothermischen Löslichkeitskurven haben eine ähnliche Form. Bei den letzteren werden allerdings die Beziehungen durch den Umstand vereinfacht, daß die beiden enantiomorphen Formen identische Löslichkeit haben, so daß die Löslichkeitskurven in bezug auf die Halbierungslinie des Koordinatenwinkels symmetrisch sind. Ferner existiert außer bei den später zu erwähnenden partiell racemischen Verbindungen kein Umwandlungsintervall.

In Fig. 111 sind schematisch zwei isothermische Löslichkeitskurven für optisch aktive Substanzen gegeben. Die Figur ist nach dem Gesagten leicht zu verstehen. Die obere Isotherme  $acb$  repräsentiert die Löslichkeitsbeziehungen, wenn die Bildung einer racemischen Verbindung ausgeschlossen ist, z. B. bei  $d$ - und  $l$ -Rubidiumtartrat oberhalb des Umwandlungspunktes (S. 166). Die Lösung beim Punkt  $c$  ist natürlich inaktiv und wird durch Hinzufügung der  $d$ -Form oder der  $l$ -Form nicht beeinflusst. Die untere Isotherme würde man dagegen bei einer Temperatur erhalten, bei der eine racemische Verbindung entstehen kann. Die Kurve  $a'e$  ist die Löslichkeitskurve für die  $l$ -Form,  $b'f$  diejenige für die  $d$ -Form und  $edf$  diejenige für die racemische Verbindung in Gegenwart von Lösungen von wechselnder Zusammensetzung. Der Punkt  $d$  entspricht der Sättigung für die reine racemische Verbindung.

Aus diesen Kurven geht hervor, daß es in allen Fällen möglich ist, zu entscheiden, ob ein inaktiver Körper ein Gemisch oder eine racemische Verbindung ist. Zu diesem Zwecke werden zwei Löslichkeitsbestimmungen ausgeführt, eine mit dem inaktiven Material allein (im Überschuß) und eine mit dem inaktiven Material plus einer der optisch aktiven Formen im Überschuß.

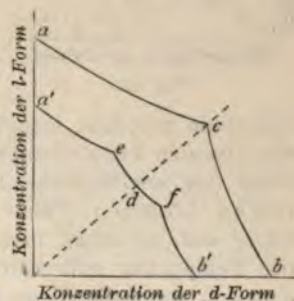


Fig. 111.

<sup>1)</sup> BANCROFT, Phase Rule, S. 203; ROOZEBOOM, Zeitschr. phys. Chem. 1891, 8, 504, 531; STORTENBEKER, daselbst, 1895, 17, 643; 1897, 22, 60; 1900, 34, 108.

<sup>2)</sup> ROOZEBOOM, Zeitschr. phys. Chem. 1899, 28, 494; Ber. 1899, 32, 537. Siehe besonders die schöne Schrift: „Gleichgewichte der Stereoisomeren“ von W. MEYERHOFFER† (Leipzig bei Teubner 1906).



Wenn es sich um ein Gemisch handelt, so sind die beiden so erhaltenen Lösungen identisch; beide haben die dem Punkt *c* entsprechende Zusammensetzung und sind inaktiv. Wenn dagegen das inaktive Material eine racemische Verbindung ist, so erhält man zwei verschiedene Lösungen, nämlich eine inaktive Lösung, die dem Punkt *d* (Fig. 111) entspricht, und eine aktive Lösung, die entweder dem Punkt *e* oder dem Punkt *f* entspricht, je nachdem die eine oder die andere der beiden enantiomorphen Formen hinzugefügt wurde.

**Partiell racemische Verbindungen<sup>1)</sup>.** — In diesem Falle haben wir es nicht mehr mit enantiomorphen Formen zu tun, und die Löslichkeit der beiden entgegengesetzt aktiven Isomeren ist nicht mehr dieselbe. Daher verschwindet die Symmetrie der Löslichkeitskurven und man erhält eine Figur, die in ihrer

allgemeinen Form mit derjenigen identisch ist, die für gewöhnliche Doppelsalze gilt (Fig. 112). In diesem Falle existiert ein Umwandlungsintervall.

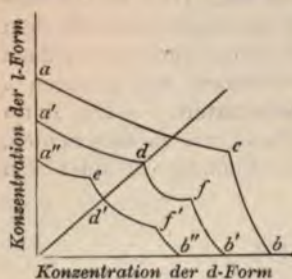


Fig. 112.

Die Kurven *acb* gehören zu einer Temperatur, bei der die partiell racemische Verbindung nicht entstehen kann, *a'dfb'* zu derjenigen Temperatur, bei der diese Verbindung eben anfängt, in Berührung mit Wasser stabil zu sein, und *a''ed'f'b''* zu einer Temperatur, bei der die feste partiell racemische Verbindung in Berührung mit Wasser vollkommen stabil ist. Wenn nun Löslichkeitsbestimmungen ausgeführt werden, und zwar zuerst mit dem ursprünglichen Material allein

und dann mit dem ursprünglichen Körper plus je einer der beiden Verbindungen, die von den enantiomorphen Substanzen einzeln gebildet werden, so erhält man, wenn der ursprüngliche Körper ein Gemisch war, in allen drei Fällen identische Lösungen (Punkt *c*). Wenn er dagegen eine racemische Verbindung war, so erhält man drei verschiedene Lösungen (*e*, *d'* und *f'*), wenn die Temperatur außerhalb des Umwandlungsintervalls lag, und zwei Lösungen, *d* und *f*, wenn die Temperatur dem Umwandlungsintervall angehörte.

### Darstellung im Raum.

**Räumliches Modell für Carnallit.** — Die isothermischen Löslichkeitskurven sind zwar interessant und wichtig, allein sie sind nicht hinreichend, um einen klaren Einblick in das gesamte Verhalten der Systeme von zwei Salzen und Wasser zu bekommen. Daher soll hier eine kurze Beschreibung der räumlichen Darstellung der Löslichkeitsverhältnisse von Kaliumchlorid und Magnesiumchlorid und des Doppelsalzes, welches sie bilden, des Carnallits<sup>2)</sup> gegeben werden.

Fig. 113 ist eine schematische Skizze des Modells für Carnallit, seitlich von oben gesehen. Auf der *X*-Achse ist die Konzentration des Magnesiumchlorids in der Lösung gemessen, auf der *Y*-Achse die Konzentration des Kaliumchlorids, während auf der *Z*-Achse die Temperatur gemessen ist. Die drei Achsen stehen aufeinander senkrecht. Die *XT*-Ebene enthält daher die Löslichkeitskurve des Magnesiumchlorids allein, die *YT*-Ebene die Löslichkeitskurve des Kaliumchlorids allein, und in dem Raum zwischen den beiden Ebenen ist die Zusammensetzung der Lösungen dargestellt, welche zugleich Magnesium-

<sup>1)</sup> Eine solche ist z. B. Strychninracemat, eine Verbindung von Traubensäure mit dem optisch-aktiven Strychnin. Dies würde in Strychnin-*d*-Tartrat und Strychnin-*l*-Tartrat zerfallen, die nicht enantiomorphe Formen sind.

<sup>2)</sup> VAN'T HOFF u. MEYERHOFFER, Zeitschr. phys. Chem. 1898, 27, 75; 1899, 30, 86. Fig. 113 ist der letzteren Abhandlung entlehnt.



chlorid und Kaliumchlorid enthalten. Jede Fläche zwischen den beiden Ebenen repräsentiert die verschiedenen Lösungen, die nur mit einer festen Phase (und Dampf) im Gleichgewicht sind. Sie stellen daher das Feld für die Existenz bivanter ternärer Systeme dar. Eine durch den Durchschnitt zweier Flächen gebildete Linie oder Kurve repräsentiert Lösungen im Gleichgewicht mit zwei festen Phasen (nämlich mit denjenigen, welche den sich schneidenden Flächen angehören, und mit der Dampfphase) und geben die Bedingungen für die Existenz univarianter Systeme an. Punkte endlich, die durch den Durchschnitt dreier Flächen gebildet werden, repräsentieren invariante Systeme, in denen die Lösung im Gleichgewicht mit ihrem Dampf und zugleich mit drei festen Phasen (den zu den drei Flächen gehörigen) existieren kann.

Wir wollen zunächst die Löslichkeitsverhältnisse der Einzelsalze betrachten. Die vollständige Gleichgewichtskurve für Magnesiumchlorid und Wasser wird in

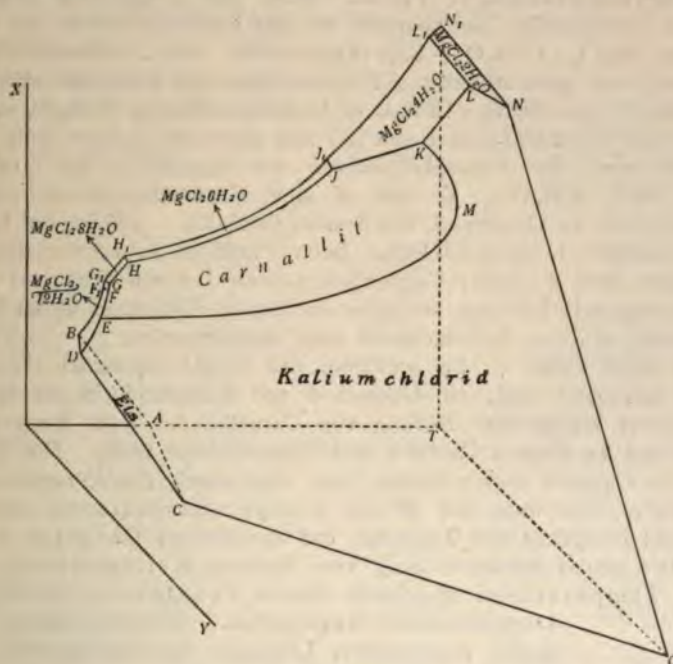


Fig. 113.

Fig. 113 von der Reihe von Kurven  $ABF_1G_1H_1J_1L_1N_1$  gebildet.  $AB$  ist die Gefrierpunktskurve von Eis in Berührung mit Lösungen, die Magnesiumchlorid enthalten, und  $B$  ist der kryohydratische Punkt, bei welchem die festen Phasen Eis und  $MgCl_2 \cdot 12H_2O$  mit der Lösung koexistieren können.  $BF_1G_1$  ist die Löslichkeitskurve von Magnesiumchloriddodekahydrat. Diese Kurve zeigt ein Temperaturmaximum im Punkt  $F_1$  und einen rückläufigen Teil  $F_1G_1$ . Die Kurve ist daher von derselben Form wie die des Calciumchloridhexahydrats oder die der Hydrate von Ferrichlorid (8. Kap.).  $G_1$  ist ein Umwandlungspunkt, bei welchem die feste Phase von Dodekahydrat in Oktahydrat übergeht, dessen Löslichkeit durch die Kurve  $G_1H_1$  angegeben wird. Bei  $H_1$  tritt an die Stelle des Oktahydrats das Hexahydrat, welches die feste Phase ist, die mit den durch die Kurve  $H_1J_1$  dargestellten Lösungen im Gleichgewicht ist.  $J_1$  und  $L_1$  sind ebenfalls Umwandlungspunkte, bei denen die feste Phase eine Umwandlung erleidet, im ersteren Falle vom Hexahydrat zum Tetrahydrat, im letzteren vom Tetrahydrat zum Dihydrat. Die vollständige Gleichgewichts-



kurve für Magnesiumchlorid und Wasser ist also etwas kompliziert und bildet ein gutes Beispiel von Löslichkeitskurven, die man bei Salzen erhält, welche mehrere Hydrate bilden können.

Die Löslichkeitskurve des Kaliumchlorids ist von der einfachsten Form. Sie besteht nur aus zwei Zweigen,  $AC$ , der Gefrierpunktskurve von Eis, und  $CO$ , der Löslichkeitskurve des Salzes.  $C$  ist der kryohydratische Punkt. Dieser Punkt und die beiden Kurven liegen in der  $YT$ -Ebene.

Bei den ternären Systemen, zu deren Betrachtung wir jetzt übergehen wollen, muß die Zusammensetzung der Lösungen durch Punkte oder Kurven repräsentiert werden, die zwischen den beiden Ebenen liegen.  $BD$  und  $CD$  sind ternäre eutektische Kurven (S. 179). Sie geben die Zusammensetzung von Lösungen an, die im Gleichgewicht mit Eis und festem Magnesiumchloriddodekahydrat ( $BD$ ) und mit Eis und festem Kaliumchlorid ( $CD$ ) sind.  $D$  ist ein ternärer kryohydratischer Punkt. Wird die Temperatur gesteigert, so daß das Eis verschwindet, so kommen wir zur Löslichkeitskurve für die beiden festen Phasen  $MgCl_2 \cdot 12H_2O + KCl$  (Kurve  $DE$ ). Bei  $E$  entsteht Carnallit und das Kaliumchlorid verschwindet;  $EFG$  ist dann die Löslichkeitskurve für die beiden festen Phasen  $MgCl_2 \cdot 12H_2O + \text{Carnallit}$  ( $KMgCl_3 \cdot 6H_2O$ ). Auch diese Kurve zeigt ein Temperaturmaximum ( $F$ ) und einen rückläufigen Teil.  $GH$  und  $HJ$  repräsentieren die Löslichkeitskurven von Carnallit +  $MgCl_2 \cdot 8H_2O$  und Carnallit +  $MgCl_2 \cdot 6H_2O$ .  $G$  und  $H$  sind Umwandlungspunkte der Chlormagnesiumhydrate in Gegenwart von festem Carnallit.  $JK$  ist die Löslichkeitskurve für Carnallit +  $MgCl_2 \cdot 4H_2O$ . Beim Punkt  $K$  haben wir die höchste Temperatur, bei welcher Carnallit neben festem Magnesiumchlorid in Berührung mit Lösung existieren kann. Oberhalb dieser Temperatur tritt Zersetzung ein und Kaliumchlorid wird ausgeschieden.

Wenn beim Punkt  $E$ , bei welchem die beiden einfachen Salze und das Doppelsalz anwesend sind, ein Überschuß von Kaliumchlorid hinzugefügt wird, so verschwindet infolge der Bildung von Carnallit das feste Magnesiumchlorid vollständig und es bleiben Carnallit und Kaliumchlorid übrig. Die Löslichkeitskurve für ein Gemisch dieser beiden Salze wird durch  $EMK$  repräsentiert, eine einfache Kurve, die aber bei  $M$  ein Temperaturmaximum zeigt. Dieser Maximalpunkt entspricht der Tatsache, daß trockener Carnallit bei dieser Temperatur unter Abscheidung von festem Kaliumchlorid schmilzt. Bei allen Temperaturen oberhalb dieses Punktes ist die Bildung des Doppelsalzes unmöglich. Der rückläufige Teil der Kurve repräsentiert Lösungen im Gleichgewicht mit Carnallit und Kaliumchlorid, in denen aber das Verhältnis  $MgCl_2 : KCl$  größer ist als im Doppelsalz.

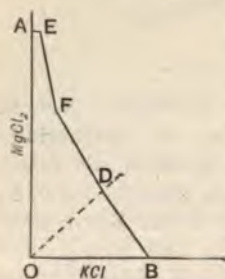


Fig. 114.

Die Kurve  $EMK$  repräsentiert in ihrem ganzen Verlauf Lösungen, in denen das Verhältnis  $MgCl_2 : KCl$  größer ist als im Doppelsalz. Um diesen nicht unwichtigen Punkt etwas näher zu erklären, ist in Fig. 114 eine der isothermischen Kurven, diejenige für  $10^\circ$ , in schematischer Darstellung gegeben.  $E$  und  $F$  repräsentieren gesättigte Lösungen für Carnallit + Magnesiumchloridhydrat und für Carnallit plus Kaliumchlorid. Der Punkt  $F$  liegt

über der Linie, welche äquimolekulare Mengen der beiden einfachen Salze repräsentiert ( $OD$ ).

**Übersicht und numerische Daten.** — Wir wollen jetzt die verschiedenen Systeme aufzählen, welche entstehen können, und die numerischen Daten geben, nach denen das Modell konstruiert ist<sup>1)</sup>.

<sup>1)</sup> Gipsmodelle sind von MAX KAEHLER und MARTINI in Berlin zu beziehen.

## I. Bivariante Systeme.

| Feste Phase                                | Existenzfeld                       |
|--|------------------------------------|
| Eis  | ABDC                               |
| KCl  | CDEMKLNO                           |
| Carnallit                                  | EFGHJKM                            |
| $\text{MgCl}_2 \cdot 12\text{H}_2\text{O}$ | $\text{BF}_1\text{G}_1\text{GFED}$ |
| $\text{MgCl}_2 \cdot 8\text{H}_2\text{O}$  | $\text{G}_1\text{H}_1\text{HG}$    |
| $\text{MgCl}_2 \cdot 6\text{H}_2\text{O}$  | $\text{H}_1\text{J}_1\text{JH}$    |
| $\text{MgCl}_2 \cdot 4\text{H}_2\text{O}$  | $\text{J}_1\text{L}_1\text{LKJ}$   |
| $\text{MgCl}_2 \cdot 2\text{H}_2\text{O}$  | $\text{L}_1\text{N}_1\text{NL}$    |

II. Univariante Systeme. — Die verschiedenen univarianten Systeme sind bereits beschrieben worden. Der Verlauf der Kurven ist hinreichend bestimmt, wenn die Temperatur und die Zusammensetzung der Lösungen für die verschiedenen invarianten Systeme gegeben sind.

## III. Invariante Systeme, binäre und ternäre.

| kt | Feste Phasen   | Temperatur | Zusammensetzung der Lösung<br>Gramm-Mol. Salz in 1000<br>Gramm-Mol. Wasser |
|----|--|------------|--|
|    | Eis  | 0°         | —  |
|    | Eis; $\text{MgCl}_2 \cdot 12\text{H}_2\text{O}$                      | −33,6°     | 49,2 $\text{MgCl}_2$   |
|    | Eis; KCl   | −11,1°     | 59,4 KCl   |
|    | Eis; $\text{MgCl}_2 \cdot 12\text{H}_2\text{O}$ ; KCl                | −34,3°     | 43 $\text{MgCl}_2$ ; 3 KCl   |
|    | { $\text{MgCl}_2 \cdot 12\text{H}_2\text{O}$ ; KCl; }<br>Carnallit } | −21°       | 66,1 $\text{MgCl}_2$ ; 4,9 KCl   |
|    | $\text{MgCl}_2 \cdot 12\text{H}_2\text{O}$                           | −16,4°     | 83,33 $\text{MgCl}_2$  |
|    | $\text{MgCl}_2 \cdot 12\text{H}_2\text{O}$ ; Carnallit               | −16,6°     | { Beinahe wie $\text{F}_1$ ; enthält<br>eine geringe Menge KCl }           |
|    | { $\text{MgCl}_2 \cdot 12\text{H}_2\text{O}$ ; }<br>Carnallit }      | −16,8°     | 87,5 $\text{MgCl}_2$   |
|    | { $\text{MgCl}_2 \cdot 8\text{H}_2\text{O}$ ; }<br>Carnallit }       | −16,9°     | { Beinahe wie $\text{G}_1$ ; enthält<br>eine geringe Menge KCl }           |
|    | { $\text{MgCl}_2 \cdot 12\text{H}_2\text{O}$ ; }<br>Carnallit }      | −16,9°     | { Beinahe wie $\text{G}_1$ ; enthält<br>eine geringe Menge KCl }           |
|    | { $\text{MgCl}_2 \cdot 8\text{H}_2\text{O}$ ; }<br>Carnallit }       | −3,4°      | 99 $\text{MgCl}_2$   |
|    | { $\text{MgCl}_2 \cdot 6\text{H}_2\text{O}$ ; }<br>Carnallit }       | ca. −3,4°  | { Beinahe wie $\text{H}_1$ ; enthält<br>eine geringe Menge KCl }           |
|    | { $\text{MgCl}_2 \cdot 8\text{H}_2\text{O}$ ; }<br>Carnallit }       | 116,67°    | 161,8 $\text{MgCl}_2$  |
|    | { $\text{MgCl}_2 \cdot 6\text{H}_2\text{O}$ ; }<br>Carnallit }       | 115,7°     | 162 $\text{MgCl}_2$ ; 4 KCl  |
|    | { $\text{MgCl}_2 \cdot 4\text{H}_2\text{O}$ ; }<br>Carnallit }       | 152,5°     | 200 $\text{MgCl}_2$ ; 24 KCl   |
|    | { $\text{MgCl}_2 \cdot 4\text{H}_2\text{O}$ ; KCl; }<br>Carnallit }  | 181°       | 238,1 $\text{MgCl}_2$  |
|    | { $\text{MgCl}_2 \cdot 4\text{H}_2\text{O}$ ; }<br>Carnallit }       | 176°       | 240 $\text{MgCl}_2$ ; 41 KCl   |
|    | { $\text{MgCl}_2 \cdot 2\text{H}_2\text{O}$ ; }<br>Carnallit }       | 167,5°     | 166,7 $\text{MgCl}_2$ ; 41,7 KCl   |
| 1) | $\text{MgCl}_2 \cdot 2\text{H}_2\text{O}$                            | 186°       | ca. 241 $\text{MgCl}_2$ ]  |
|    | $\text{MgCl}_2 \cdot 2\text{H}_2\text{O}$ ; KCl                      | 186°       | 240 $\text{MgCl}_2$ ; 63 KCl]  |
|    | KCl  | 186°       | 195,6 KCl]   |

1) Die Punkte  $\text{N}_1\text{NO}$  sind keine invarianten Systeme, sondern nur die Grenzen der Beobachtung bei 186°, wo die Beobachtungen aufhörten.



Mit Hilfe der Daten dieser Tabelle und des räumlichen Modells ist es nun möglich, für jeden beliebigen Fall anzugeben, welches das Verhalten eines aus Magnesiumchlorid, Kaliumchlorid und Wasser bestehenden Systems sein wird. Einige Fälle sollen kurz beschrieben werden, und es wird dem Leser keine Schwierigkeit bereiten, auch das Verhalten für andere Bedingungen mit Hilfe des Modells und der Tabelle zu ermitteln.

Es mag zunächst nochmals hervorgehoben werden, daß bei Temperaturen über  $167,5^{\circ}$  (Punkt *M*) Carnallit nicht existieren kann. Wenn daher eine Lösung von Magnesiumchlorid und Kaliumchlorid bei einer Temperatur über diesem Punkt eingedampft wird, so wird das Produkt ein Gemisch von festem Kaliumchlorid und entweder Magnesiumchloridtetrahydrat oder Magnesiumchloriddihydrat sein, je nachdem die Temperatur unter oder über  $176^{\circ}$  liegt. Die isothermische Kurve besteht also hier nur aus zwei Zweigen.

Ferner ist bereits erwähnt worden, daß alle Punkte des Carnallitfeldes Lösungen entsprechen, die im Gleichgewicht mit Carnallit sind, in denen aber das Verhältnis von  $MgCl_2$  zu  $KCl$  größer ist als in diesem Doppelsalz. Eine Lösung, die in bezug auf das Doppelsalz allein gesättigt ist, ist also in bezug auf Kaliumchlorid übersättigt. Daher wird der Carnallit bei allen Temperaturen von Wasser unter Abscheidung von festem Kaliumchlorid zersetzt, und alle Lösungen, die man durch Hinzufügen von festem Carnallit im Überschuß zu Wasser erhält, liegen über der Kurve *EM*. Eine reine gesättigte Lösung von Carnallit kann nicht erhalten werden.

Wenn eine gesättigte Lösung der beiden Salze in äquimolekularen Mengen eingedampft wird, so wird zuerst Kaliumchlorid ausgeschieden, weil die Ebene, welche den von der *X*-Achse und der *Y*-Achse gebildeten rechten Winkel halbiert, das Feld dieses Salzes schneidet. Ausscheidung von festem Kaliumchlorid führt nun also weiter zu einer relativen Zunahme der Konzentration des Magnesiumchlorids in der Lösung, und bei fortgesetzter Verdampfung wird ein Punkt (auf der Kurve *EM*) erreicht, bei welchem auch Carnallit ausgeschieden wird. Solange die beiden festen Phasen anwesend sind, muß die Zusammensetzung der Lösung unverändert bleiben. Da die Ausscheidung von Carnallit eine Abnahme der relativen Konzentration des Kaliumchlorids in der Lösung bewirkt, so muß sich der anfangs ausgeschiedene Teil dieses Salzes wieder auflösen, und wenn zur Trockne eingedampft wird, bleibt schließlich Carnallit zurück (inkongruent gesättigte Lösung).

Obgleich der Carnallit durch Wasser zersetzt wird, ist es doch möglich, ihn aus einer Lösung auszukristallisieren, deren Zusammensetzung durch einen Punkt des Carnallitfeldes repräsentiert wird. Da während der Ausscheidung des Doppelsalzes die relative Menge des Magnesiumchlorids größer wird, ist es vorteilhaft, mit einer Lösung anzufangen, deren Zusammensetzung durch einen Punkt angegeben wird, der unmittelbar über der Kurve *EM* liegt (vgl. S. 176 und 177).

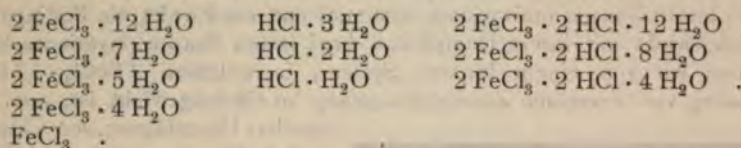
Aus der oben gegebenen Beschreibung des Verhaltens des Carnallits in Lösung wird das zur Gewinnung von Kaliumchlorid gewöhnlich angewandte Verfahren leicht zu verstehen sein<sup>1)</sup>.

**Ferrichlorid-Chlorwasserstoff-Wasser.** — In einem anderen System von drei Komponenten, welches noch kurz beschrieben werden soll, sind die Gleichgewichtsverhältnisse zwar bedeutend komplizierter als in den bereits erwähnten Systemen, aber sie verdienen angeführt zu werden, da sie eine Anzahl neuer Erscheinungen bieten.

<sup>1)</sup> Anstatt, wie es jetzt gebräuchlich ist, zum Zwecke der Gewinnung von Kaliumchlorid den Carnallit durch Wasser zu zersetzen, läßt sich vielleicht ein anderes Verfahren auf den Umstand begründen, daß der Carnallit beim Erhitzen auf  $168^{\circ}$  eine Zersetzung erleidet, bei der drei Viertel des Kaliumchlorids abgeschieden werden. (VAN'T HOFF, Acht Vorträge über physikalische Chemie, 1902, S. 32.)



In dem von den drei Komponenten Ferrichlorid, Chlorwasserstoff und Wasser gebildeten System können nicht nur verschiedene Verbindungen von Ferrichlorid und Wasser (S. 97) und von Chlorwasserstoff und Wasser entstehen, deren jede einen bestimmten Schmelzpunkt besitzt, sondern es sind auch verschiedene ternäre Verbindungen bekannt. So haben wir im ganzen die folgenden festen Phasen:



Das Studium der Temperatur- und Konzentrationsbedingungen, unter denen Lösungen entweder mit einer festen Phase oder mit zwei oder drei festen Phasen koexistieren können, ist daher, wie man sich leicht denken kann, äußerst kompliziert, und es sind auch bisher hauptsächlich nur wenige der möglichen Gleichgewichte untersucht worden. Es soll hier der Versuch gemacht werden, nur das wichtigste derselben kurz zu beschreiben<sup>1)</sup>.

Indem wir wie bei den soeben studierten Doppelsalzen das rechtwinklige Diagramm für die graphische Darstellung der Resultate benutzen, haben wir die beiden aufeinander senkrecht stehenden Ebenen  $XOT$  und  $YOT$  (Fig. 115).

Auf der  $X$ -Achse ist die Konzentration des Ferrichlorids, auf der  $Y$ -Achse die Konzentration des Chlorwasserstoffs und auf der  $T$ -Achse die Temperatur gemessen. Die Kurve  $ABCDEF G H J K$  ist daher die Löslichkeitskurve des Ferrichlorids in Wasser (S. 94), und die Kurve  $A'B'C'D'E'F'$  die Löslichkeitskurve von Chlorwasserstoff und seinen Hydraten.

$B'$  und  $D'$  sind die Schmelzpunkte der Hydrate  $\text{HCl} \cdot 3 \text{H}_2\text{O}$  und  $\text{HCl} \cdot 2 \text{H}_2\text{O}$ . In dem Raume zwischen diesen beiden Ebenen sind diejenigen Systeme dargestellt, in denen alle drei Komponenten anwesend sind. Von den möglichen ternären Systemen sind, wie gesagt, nur wenige untersucht worden, und diese werden durch Fig. 116 dargestellt. Die Figur zeigt das Modell<sup>2)</sup> auf der Ebene  $XOT$  ruhend, so daß die untere Kante die Löslichkeitskurve von Ferrichlorid in der Weise darstellt, daß die Konzentration von links nach rechts zunimmt. Die Konzentration von  $\text{HCl}$  wird nach oben und die Temperatur nach vorn gemessen. Das entferntere Ende des Modells repräsentiert die isothermische Ebene bei der Temperatur  $-30^\circ$ . Die Fläche des Modells auf der linken Seite entspricht nicht der Ebene  $YOT$  in Fig. 115, sondern einer zu dieser parallelen Ebene, die die Konzentrationsachse des Ferrichlorids in einem Punkt schneidet, welcher 65 Gramm-Moleküle  $\text{FeCl}_3$  in 100 Gramm-Molekülen Wasser repräsentiert, und die obere Fläche entspricht einer Ebene parallel zur Achse  $XOT$  in einer Entfernung, welche der Konzentration von 100 Gramm-Molekülen  $\text{HCl}$  in 100 Gramm-Molekülen Wasser entspricht.

**Ternäre Systeme.** — Wir übergangen die bereits diskutierten binären Systeme  $\text{FeCl}_3\text{—H}_2\text{O}$  (S. 94) und die Systeme  $\text{HCl—H}_2\text{O}$ , die einen ähnlichen Charakter besitzen (s. Fig. 108), und wenden uns zur Diskussion von einigen der

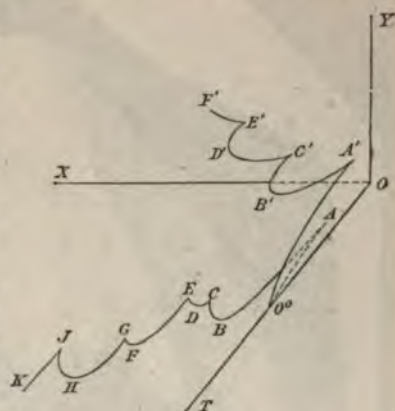


Fig. 115.

<sup>1)</sup> ROOZEBOOM u. SCHREINEMAKERS, Zeitschr. phys. Chem. 1894, 15, 588.

<sup>2)</sup> Das Gipsmodell wird von Herrn AMANUENSIS METSELAAR im anorg.-chem. Laboratorium Universität Leiden (Niederlande) angefertigt.



ternären Systeme, deren Zusammensetzung durch Punkte auf der Oberfläche des Modells zwischen den Ebenen  $XOT$  und  $YOT$  angegeben wird. Wie beim Carnallit repräsentiert eine Fläche die Bedingungen für die Zusammensetzung der Lösung und die Temperatur, unter denen eine ternäre Lösung im Gleichgewicht mit ihrem Dampf und einer festen Phase sein kann (bivariante Systeme), eine Linie die Bedingungen für die Koexistenz einer Lösung mit ihrem Dampf und zwei festen Phasen (univariante Systeme) und ein Punkt die Bedingungen für das Gleichgewicht mit ihrem Dampf und drei festen Phasen (invariante Systeme).

Gehen wir von einem binären System, in welchem  $2\text{FeCl}_3 \cdot 12\text{H}_2\text{O}$  mit einer Lösung von derselben Zusammensetzung im Gleichgewicht ist, aus, so muß

offenbar Hinzufügung von Chlorwasserstoff die Temperatur, bei welcher dieses Gleichgewicht existieren kann, erniedrigen, und dasselbe gilt natürlich für alle anderen binären Lösungen im Gleichgewicht mit dieser festen Phase. In dieser Weise erhalten wir die Fläche I, welche die Temperaturen und die Konzentrationen der Lösungen repräsentiert, in denen  $2\text{FeCl}_3 \cdot 12\text{H}_2\text{O}$  im Gleichgewicht mit einer ternären Lösung sein kann, die Ferrichlorid, Chlorwasserstoff und Wasser enthält. Diese Fläche ist analog der gekrümmten Fläche  $K_1K_2K_3$  in Fig. 97 (S. 161). In ähnlicher Weise repräsentieren die Flächen II, III, IV und V beziehungsweise die Bedingungen des Gleichgewichts zwischen den festen Phasen  $2\text{FeCl}_3 \cdot 7\text{H}_2\text{O}$ ;  $2\text{FeCl}_3 \cdot 5\text{H}_2\text{O}$ ;  $2\text{FeCl}_3 \cdot 4\text{H}_2\text{O}$ ;  $\text{FeCl}_3$  und ternären Lösungen. Die Linien  $CL$ ,  $EM$ ,  $GN$  und  $IO$  des Modells repräsentieren univariante Systeme, in denen eine ternäre Lösung im Gleichgewicht mit zwei festen Phasen ist, nämlich mit denjenigen, die durch die be-

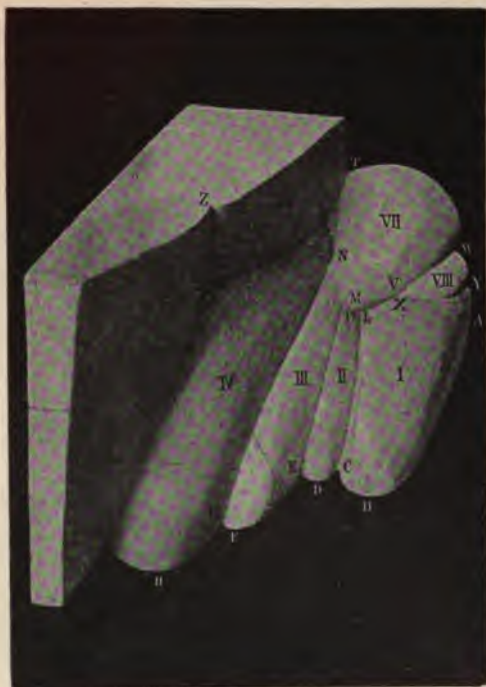
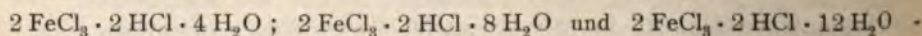


Fig. 116.

treffenden angrenzenden Felder repräsentiert werden. Diese Linien entsprechen den ternären eutektischen Kurven  $k_3K_1$  und  $k_4K_2$  in Fig. 97. Außer den erwähnten Flächen gibt es aber noch drei andere, VI, VII und VIII, welche ebenfalls die Bedingungen für Gleichgewichte zwischen einer ternären Lösung und einer festen Phase repräsentieren; aber in diesen Fällen ist die feste Phase nicht eine binäre Verbindung oder ein wasserfreies Salz, sondern eine ternäre Verbindung, welche alle drei Komponenten enthält. Die festen Phasen, welche mit den durch die Flächen VI, VII und VIII repräsentierten ternären Lösungen im Gleichgewicht sind, sind nämlich beziehungsweise



Das Modell für  $\text{FeCl}_3\text{—HCl—H}_2\text{O}$  zeigt gewisse andere Eigentümlichkeiten, die bei  $\text{MgCl}_2\text{—KCl—H}_2\text{O}$  nicht beobachtet werden. Wenn man das Modell genauer betrachtet, so findet man, daß das Feld der ternären Verbindungen  $2\text{FeCl}_3 \cdot 2\text{HCl} \cdot 8\text{H}_2\text{O}$  (Feld VII) der Oberfläche eines Zuckerhutes mit einer hervortretenden Spitze gleicht, deren Ende einer höheren Temperatur als irgend ein anderer Punkt der Oberfläche entspricht. Beim Punkt der Maximaltempe-



ur ist die Zusammensetzung der flüssigen Phase dieselbe wie die der festen. Dieser Punkt repräsentiert daher den echten Schmelzpunkt der ternären Verbindung von obiger Zusammensetzung.

Die Linien, welche univariante Systeme repräsentieren, sind von zweierlei Art. In dem einen Fall sind die beiden anwesenden festen Phasen beide binäre Verbindungen, oder die eine ist eine binäre Verbindung und die andere ist eine Komponente. Im anderen Falle ist entweder eine oder jede der beiden festen Phasen eine ternäre Verbindung. Linien, die zur ersten Klasse gehören (sogenannte Randlinien) gehen von binären eutektischen Punkten aus, und ihr Verlauf ist immer nach niedrigeren Temperaturen hin gerichtet, z. B. *CL*, *EM*, *N*, *JO*. Linien, die zu der zweiten Klasse gehören (sogenannte Mittelkurven) werden in einem dreieckigen Diagramm ganz innerhalb des Dreiecks liegen. Derartige Linien sind *YV*, *WV*, *VL*, *LM*, *MV*, *NS*, *ST*, *SO*, *OZ*. Diese Linien laufen immer von höheren nach niedrigeren Temperaturen, sondern sie können sogar eine Maximaltemperatur aufweisen. Solche Maximalpunkte finden sich z. B. bei *U* (Fig. 116 siehe auch die angeheftete Tafel 1), ebenso auf den Kurven *ST* und *LV*.

Während endlich alle übrigen ternären univarianten Kurven in Tälern zwischen den benachbarten Flächen laufen, haben wir bei *X* ein ähnliches Verhalten wie beim Carnallit, da sich hier die univariante Kurve über die umgebende Fläche erhebt. Der Punkt *X* entspricht daher nicht einem eutektischen Punkt, sondern einem Umwandlungspunkt. Bei diesem Punkt schmilzt die ternäre Verbindung  $2\text{FeCl}_3 \cdot 2\text{HCl} \cdot 12\text{H}_2\text{O}$  unter Abscheidung von festem  $2\text{FeCl}_3 \cdot 12\text{H}_2\text{O}$ , ebenso der Carnallit bei  $168^\circ$  unter Abscheidung von festem Kaliumchlorid schmilzt.

**Die isothermischen Kurven.** — Einen genaueren Einblick in das Verhalten des Systems  $\text{FeCl}_3\text{—HCl—H}_2\text{O}$  erhält man durch das Studium der isothermischen Kurven, deren vollständige Reihe, soweit sie studiert worden sind, in der angehefteten Tafel 1 gegeben sind<sup>1)</sup>. In dieser Figur stellen die schwachen Linien isothermischen Löslichkeitskurven dar. Die betreffende Temperatur ist neben der Kurve geschrieben<sup>2)</sup>. Die starken Linien geben die Zusammensetzung der univarianten Lösungen bei verschiedenen Temperaturen an. Der Durchschnittspunkt einer schwachen Kurve mit einer starken gibt die Zusammensetzung der univarianten Lösung bei der Temperatur der schwachen Lösung an; der Durchschnittspunkt zweier starker Kurven gibt die Zusammensetzung der invarianten Lösung im Gleichgewicht mit drei festen Phasen an. Die punktierten Kurven repräsentieren metastabile Systeme, und die Punkte *P*, *Q* und *R* repräsentieren Lösungen von der Zusammensetzung der ternären Salze  $2\text{FeCl}_3 \cdot 2\text{HCl} \cdot 4\text{H}_2\text{O}$ ;  $\text{FeCl}_3 \cdot 2\text{HCl} \cdot 8\text{H}_2\text{O}$  und  $2\text{FeCl}_3 \cdot 2\text{HCl} \cdot 12\text{H}_2\text{O}$ .

Das entferntere Ende des Modells (Fig. 116) entspricht, wie bereits erwähnt wurde, der Temperatur  $-30^\circ$ , so daß, wie man sieht, der Umriß die isothermische Kurve für diese Temperatur darstellt. Dies ist in der Tafel nicht zu sehen. Wir können aber die Isotherme für  $-20^\circ$  verfolgen. Dies ist in der Tafel die äußerste Kurve auf der rechten Seite. Der Punkt *A* repräsentiert die Löslichkeit von  $2\text{FeCl}_3 \cdot 12\text{H}_2\text{O}$  in Wasser. Wenn Chlorwasserstoff hinzugefügt wird, nimmt die Konzentration des Ferrichlorids in der Lösung zuerst ab, und dann kommt sie zu, bis beim Punkt 34 das ternäre Doppelsalz  $2\text{FeCl}_3 \cdot 2\text{HCl} \cdot 12\text{H}_2\text{O}$  entsteht. Wenn mit der Hinzufügung von Chlorwasserstoff fortgefahren wird, so verschwindet das feste Ferrichloridhydrat und es bleibt schließlich nur das ternäre Doppelsalz übrig. Dies kann mit Lösungen koexistieren, deren Zusammensetzung durch die Kurve angegeben wird, welche durch die Punkte 173, 174,

<sup>1)</sup> Diese Kurven stellen nur Teile der Isothermen vor, da die Systeme, in denen eine ternäre Lösung mit festem Chlorwasserstoff oder seinen Hydraten im Gleichgewicht ist, nicht untersucht worden sind.

<sup>2)</sup> Die neben die Punkte auf den Kurven gedruckten Zahlen beziehen sich auf die Nummer des Versuchs im Original.



175 geht. Beim letzten Punkt entsteht das feste ternäre Salz mit  $8\text{H}_2\text{O}$ . Die Zusammensetzung der Lösungen, mit denen dieses Salz bei  $-70^\circ$  im Gleichgewicht sein kann, ist durch die Kurve gegeben, die durch einen Punkt maximaler Konzentration in bezug auf  $\text{HCl}$  geht und die Kurve  $SN$  im Punkt 112 schneidet, bei welchem die Lösung mit den beiden festen Phasen  $2\text{FeCl}_3 \cdot 4\text{H}_2\text{O}$  und  $2\text{FeCl}_3 \cdot 2\text{HCl} \cdot 8\text{H}_2\text{O}$  im Gleichgewicht ist. Der folgende Teil der Isotherme gibt die Löslichkeitskurve von  $2\text{FeCl}_3 \cdot 4\text{H}_2\text{O}$  für  $-20^\circ$  an; dieser schneidet die starke Linie  $OS$  beim Punkt 113, bei dem die Lösung im Gleichgewicht mit den beiden festen Phasen  $2\text{FeCl}_3 \cdot 4\text{H}_2\text{O}$  und  $2\text{FeCl}_3 \cdot 2\text{HCl} \cdot 4\text{H}_2\text{O}$  ist. Dann folgt die Löslichkeitskurve der letzteren Verbindung.

In ähnlicher Weise können die anderen isothermischen Kurven in der angehefteten Tafel (Fig. 117) verfolgt werden. Wenn die Temperatur gesteigert wird, so wird das Existenzgebiet der ternären Doppelsalze immer kleiner, und bei einer Temperatur über  $30^\circ$  sind die ternären Salze mit  $12\text{H}_2\text{O}$  und  $8\text{H}_2\text{O}$  nicht mehr existenzfähig. Wenn die Temperatur über  $46^\circ$  gesteigert wird, so können nur noch die binären Verbindungen von Ferrichlorid und Wasser, sowie das wasserfreie Salz als feste Phasen existieren. Die isothermische Kurve für  $0^\circ$  stellt die Löslichkeitskurve für  $2\text{FeCl}_3 \cdot 12\text{H}_2\text{O}$ ;  $2\text{FeCl}_3 \cdot 7\text{H}_2\text{O}$ ;  $2\text{FeCl}_3 \cdot 5\text{H}_2\text{O}$  und  $2\text{FeCl}_3 \cdot 4\text{H}_2\text{O}$  dar.

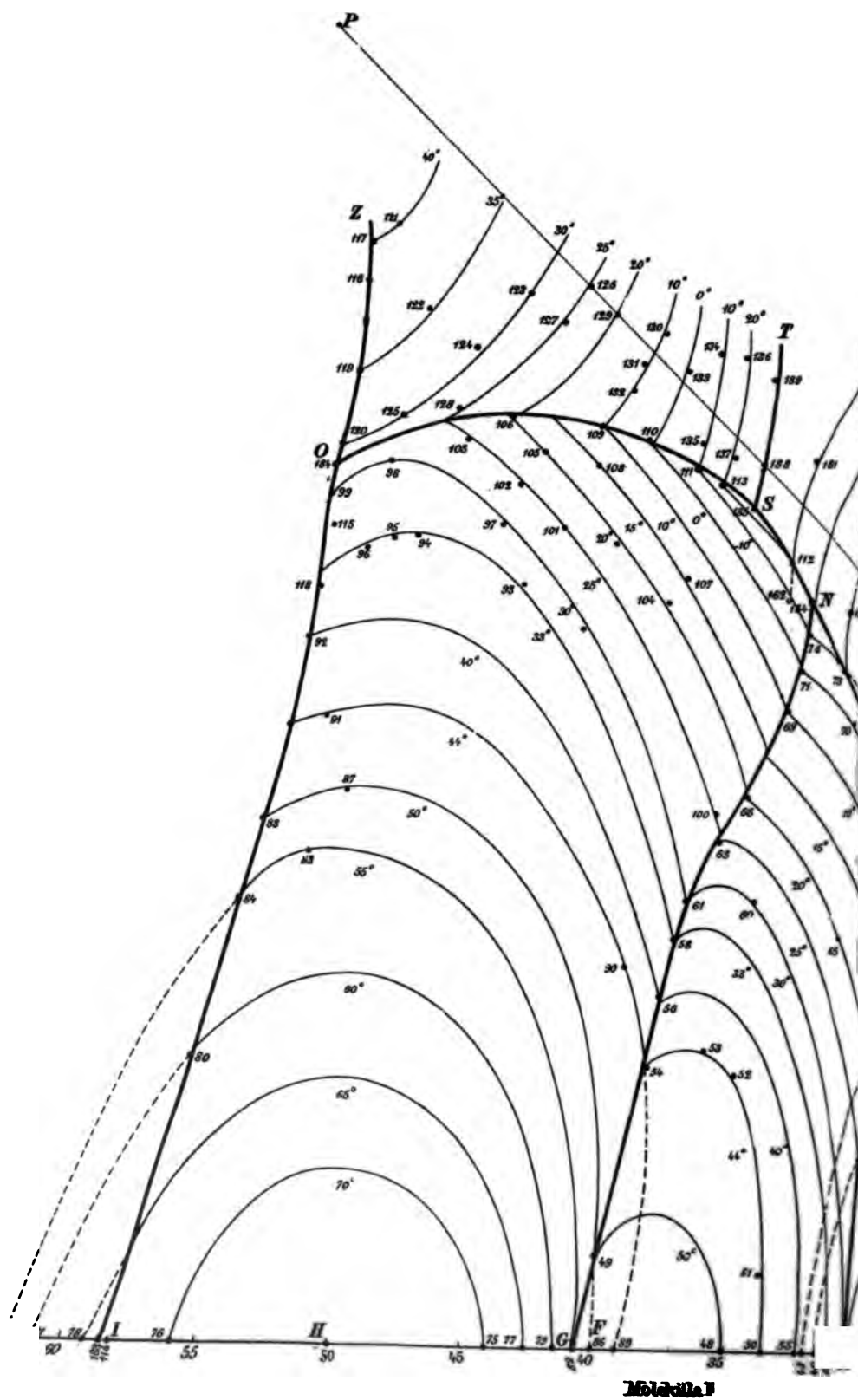
In dem System  $\text{FeCl}_3 - \text{HCl} - \text{H}_2\text{O}$  finden sich endlich auch geschlossene isothermische Kurven. Da, wie gesagt, das Salz  $2\text{FeCl}_3 \cdot 2\text{HCl} \cdot 8\text{H}_2\text{O}$  einen echten Schmelzpunkt hat, dessen Temperatur also höher ist als diejenige, bei der diese Verbindung mit einer Lösung von anderer Zusammensetzung im Gleichgewicht ist, so muß die Durchschnittslinie einer isothermischen Ebene, die einer Temperatur unmittelbar unter dem Schmelzpunkt des Salzes entspricht, mit der kegelförmigen Fläche seines Existenzgebietes eine geschlossene Löslichkeitskurve des ternären Salzes bilden. Dies ist in der Tafel die Isotherme für  $-4,5^\circ$ , die den Punkt  $Q$ , den Schmelzpunkt des ternären Salzes, umgibt.

Die folgende Tabelle enthält einige der numerischen Daten, aus denen die Kurven der Tafel und das Modell konstruiert worden sind.

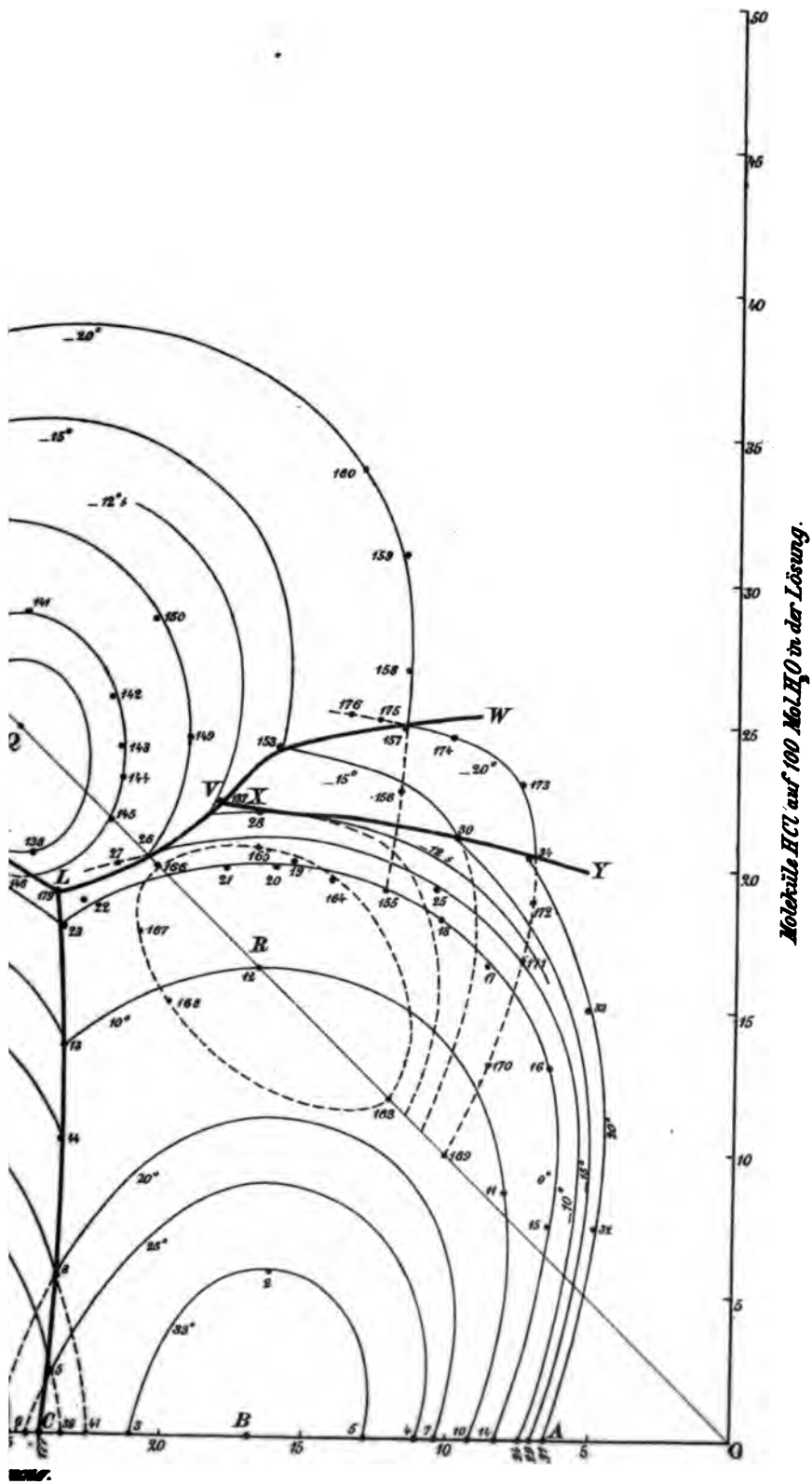
| Punkt | Feste Phasen  | Temperatur                | Zusammensetzung d. Lösung<br>in Gramm-Mol. Salz auf<br>100 Gramm-Mol. Wasser |                 |
|-------|---|---------------------------|--|-----------------|
|       |   |                           | $\text{HCl}$   | $\text{FeCl}_3$ |
| A     | $2\text{FeCl}_3 \cdot 12\text{H}_2\text{O}$   | $-20^\circ$               | —  | 6,56            |
| C     | $2\text{FeCl}_3 \cdot 12\text{H}_2\text{O}$ ; $2\text{FeCl}_3 \cdot 7\text{H}_2\text{O}$  | $27,4^\circ$              | —  | 24,30           |
| E     | $2\text{FeCl}_3 \cdot 7\text{H}_2\text{O}$ ; $2\text{FeCl}_3 \cdot 5\text{H}_2\text{O}$   | $30^\circ$                | —  | 30,24           |
| G     | $2\text{FeCl}_3 \cdot 5\text{H}_2\text{O}$ ; $2\text{FeCl}_3 \cdot 4\text{H}_2\text{O}$   | $55^\circ$                | —  | 40,64           |
| J     | $2\text{FeCl}_3 \cdot 4\text{H}_2\text{O}$ ; $\text{FeCl}_3$  | $66^\circ$                | —  | 58,40           |
| L     | $2\text{FeCl}_3 \cdot 12\text{H}_2\text{O}$ ; $2\text{FeCl}_3 \cdot 7\text{H}_2\text{O}$ ;<br>$2\text{FeCl}_3 \cdot 2\text{HCl} \cdot 8\text{H}_2\text{O}$                    | $-7,5^\circ$              | 19,22  | 23,72           |
| M     | $2\text{FeCl}_3 \cdot 7\text{H}_2\text{O}$ ; $2\text{FeCl}_3 \cdot 5\text{H}_2\text{O}$ ;<br>$2\text{FeCl}_3 \cdot 2\text{HCl} \cdot 8\text{H}_2\text{O}$                     | $-7,3^\circ$              | 23,08  | 28,55           |
| N     | $2\text{FeCl}_3 \cdot 5\text{H}_2\text{O}$ ; $2\text{FeCl}_3 \cdot 4\text{H}_2\text{O}$ ;<br>$2\text{FeCl}_3 \cdot 2\text{HCl} \cdot 8\text{H}_2\text{O}$                     | $-16^\circ$               | 28,40  | 31,89           |
| S     | $2\text{FeCl}_3 \cdot 4\text{H}_2\text{O}$ ; $2\text{FeCl}_3 \cdot 2\text{HCl} \cdot 8\text{H}_2\text{O}$ ;<br>$2\text{FeCl}_3 \cdot 2\text{HCl} \cdot 4\text{H}_2\text{O}$   | $-27,5^\circ$             | 32,33  | 34,21           |
| O     | $2\text{FeCl}_3 \cdot 4\text{H}_2\text{O}$ ; $\text{FeCl}_3$ ;<br>$2\text{FeCl}_3 \cdot 2\text{HCl} \cdot 4\text{H}_2\text{O}$  | $29^\circ$                | 33,71  | 49,84           |
| U     | $2\text{FeCl}_3 \cdot 7\text{H}_2\text{O}$ ; $2\text{FeCl}_3 \cdot 2\text{HCl} \cdot 8\text{H}_2\text{O}$   | $-4,5^\circ$              | 20,66  | 25,74           |
| V     | $2\text{FeCl}_3 \cdot 12\text{H}_2\text{O}$ ; $2\text{FeCl}_3 \cdot 2\text{HCl} \cdot 12\text{H}_2\text{O}$ ;<br>$2\text{FeCl}_3 \cdot 2\text{HCl} \cdot 8\text{H}_2\text{O}$ | $-13^\circ$               | 22,40  | 18,00           |
| X     | $2\text{FeCl}_3 \cdot 12\text{H}_2\text{O}$ ; $2\text{FeCl}_3 \cdot 2\text{HCl} \cdot 12\text{H}_2\text{O}$   | $-12,5^\circ$             | 22,14  | 16,69           |
| Q     | $2\text{FeCl}_3 \cdot 2\text{HCl} \cdot 8\text{H}_2\text{O}$  | $-3^\circ$ (Schmelzpunkt) |  |                 |







Tafel 1.







**Basische Salze.** — Eine andere Klasse von Systemen, bei deren Studium die Phasenregel ausgezeichnete Dienste leistet, ist die der basischen Salze. In vielen Fällen ist es unmöglich, durch gewöhnliche Analyse zu entscheiden, ob man es mit einem bestimmten chemischen Individuum oder mit einem Gemisch zu tun hat. Die Frage, ob die feste Phase ein chemisches Individuum ist, läßt sich jedoch mit Hilfe der Prinzipien, die wir im vorhergehenden gelernt haben, in den meisten Fällen entscheiden. Wir wollen z. B. die Bildung basischer Salze aus Wismutnitrat und Wasser betrachten. In diesem Falle können wir als Komponenten  $\text{Bi}_2\text{O}_3$ ,  $\text{N}_2\text{O}_5$  und  $\text{H}_2\text{O}$  wählen, und alle Systeme bestehen aus diesen in wechselnden Mengen. Wenn es sich nun um einen Gleichgewichtszustand bei konstanter Temperatur zwischen festen und flüssigen Phasen handelt, so können drei Fälle unterschieden werden<sup>1)</sup>.

1. Die Lösungen haben bei verschiedenen Versuchen identische Zusammensetzung, während die Zusammensetzung der Niederschläge wechselt. In diesem Falle müssen zwei feste Phasen existieren.

2. Die Lösungen bei verschiedenen Versuchen können verschiedene Zusammensetzung haben, während die Zusammensetzung des Niederschlags unverändert bleibt. In diesem Falle existiert nur eine feste Phase, und zwar ist sie eine bestimmte chemische Verbindung.

3. Die Zusammensetzung der Lösung und auch die Zusammensetzung des Niederschlags variiert. In diesem Falle ist die feste Phase eine „feste Lösung“ oder ein Mischkristall.

Um daher zu entscheiden, welches die Natur eines Niederschlags ist, der bei der Hydrolyse eines normalen Salzes entsteht, hat man nur nötig, zu ermitteln, ob und wie sich der Niederschlag mit der Änderung der Zusammensetzung der Lösung ändert. Wenn die Zusammensetzung der Lösung durch Abszissen und die Zusammensetzung des Niederschlags durch Ordinaten dargestellt würden, so würde uns die Form der erhaltenen Kurven in den Stand setzen, die Frage zu beantworten. Es würden nämlich vertikale Linien die Anwesenheit zweier fester Phasen anzeigen (1. Fall), horizontale Linien die Anwesenheit von Mischkristallen (3. Fall). Diese Art der Darstellung ist jedoch in den meisten Fällen nicht ausführbar, dagegen ist es im allgemeinen möglich, ein Paar oder mehrere Paare von Komponenten zu finden, deren Verhältnis in der Lösung oder im Niederschlag sich ändert, sobald und nur dann, wenn sich die Zusammensetzung der Lösung oder des Niederschlags ändert. So können wir in dem Falle von Wismutnitrat und Wasser das Verhältnis  $\frac{\text{Bi}_2\text{O}_3}{\text{N}_2\text{O}_5}$  im Niederschlag

als Ordinaten, und  $\frac{\text{N}_2\text{O}_5}{\text{H}_2\text{O}}$  in der Lösung als Abszissen darstellen. Eine horizontale Linie zeigt dann eine einzige feste Phase und eine vertikale Linie zwei feste Phasen an. Ein Beispiel hiervon ist in Fig. 118 gegeben<sup>2)</sup>.

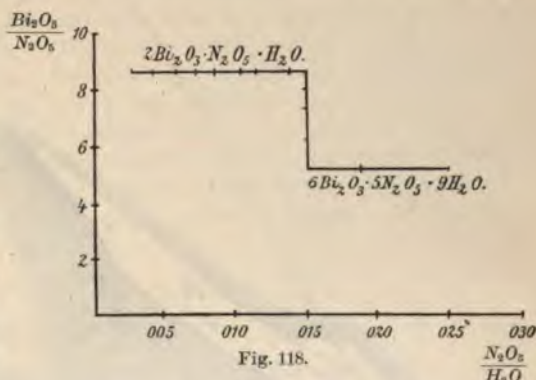


Fig. 118.

<sup>1)</sup> LASH MILLER u. KENRICK, Journ. Physical. Chem. 1903, 7, 259; ALLAN, Amer. Chem. Journ. 1901, 25, 307.

<sup>2)</sup> ALLAN, Amer. Chem. Journ. 1901, 25, 307.

**$\text{Bi}_2\text{O}_3\text{—N}_2\text{O}_5\text{—H}_2\text{O}$ .** — Obgleich verschiedene Systeme studiert worden sind, in denen die Bildung basischer Salze vorkommt<sup>1)</sup>, wollen wir uns hier darauf beschränken, einige der Bedingungen für die Bildung basischer Wismutnitrats und für ihr Gleichgewicht in Berührung mit Lösungen kurz zu beschreiben<sup>2)</sup>.

Man kennt drei normale Salze von Wismutoxyd und Salpetersäure,  $\text{Bi}_2\text{O}_3 \cdot 3 \text{N}_2\text{O}_5 \cdot 10 \text{H}_2\text{O}$ , bezeichnet durch ( $\text{S}_{10}$ );  $\text{Bi}_2\text{O}_3 \cdot 3 \text{N}_2\text{O}_5 \cdot 4 \text{H}_2\text{O}$ , bezeichnet durch ( $\text{S}_4$ ) und  $\text{Bi}_2\text{O}_3 \cdot 3 \text{N}_2\text{O}_5 \cdot 3 \text{H}_2\text{O}$ , bezeichnet durch ( $\text{S}_3$ ). Außer diesen normalen Salzen gibt es die folgenden basischen Salze:

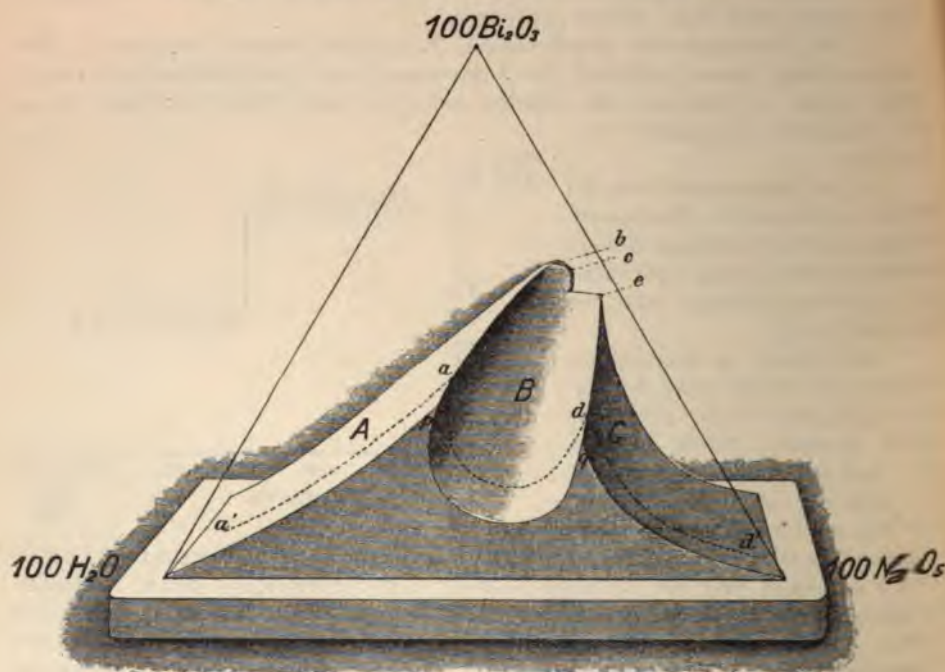
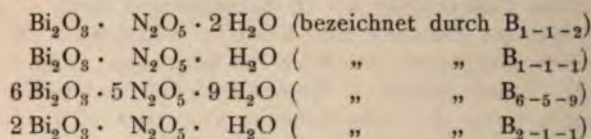


Fig. 119.

Wahrscheinlich gibt es noch einige andere. Es fragt sich nun, die Bedingungen zu finden, unter denen diese vier verschiedenen normalen und basischen Salze mit Lösungen von wechselnder Konzentration der drei Komponenten im Gleichgewicht sein können. Wenn man die Gleichgewichtsbedingungen für die verschiedenen Salze ermittelt, so ist es möglich ein ähnliches Modell wie das für  $\text{MgCl}_2\text{—KCl—H}_2\text{O}$  (S. 179) oder  $\text{FeCl}_3\text{—HCl—H}_2\text{O}$  (S. 184) zu konstruieren, welches es uns ermöglicht, die Grenzen der Stabilität der verschiedenen Salze zu bestimmen und anzugeben, was eintreten wird, wenn wir die Salze bei verschiedenen Temperaturen mit Lösungen von Salpetersäure von wechselnder Konzentration in Berührung bringen.

<sup>1)</sup> HOITSEMA, Zeitschr. phys. Chem. 17, 651; ALLAN, a. a.O.

<sup>2)</sup> RUTTEN, Zeitschr. anorg. Chem. 1902, 30, 342. Vgl. das System  $\text{BeO—SO}_3\text{—H}_2\text{O}$ ; PARSONS, Zeitschr. anorg. Chem. 42, 1904.



Für unseren gegenwärtigen Zweck genügt es, nur einige von den Gleichgewichten hervorzuheben, welche untersucht worden sind und welche in dem Modell Fig. 119 dargestellt sind. In diesem Falle ist die Dreiecksmethode der Darstellung benutzt worden, so daß die Oberfläche des Modells<sup>1)</sup> innerhalb des Prismas liegt (S. 149). Die dreieckige Basis ist in unserer Figur 118 hier senkrecht gestellt.

Dieses Modell zeigt drei Flächen *A*, *B* und *C*, von denen je eine die Bedingungen für die stabile Existenz je eines der Salze  $B_{1-1-1}$ ,  $S_{10}$  und  $S_3$  in Berührung mit Lösungen bei verschiedenen Temperaturen darstellt. Die Vorderseite des Modells repräsentiert die Temperatur 9°, und das hintere Ende die Temperatur 75,5°. Die punktierte Linie repräsentiert die Isotherme für 20°. Die Kanten zwischen den Flächen repräsentieren natürlich Lösungen, die in bezug auf zwei feste Phasen gesättigt sind. So repräsentiert z. B. die Kante *pabc* die Lösungen im Gleichgewicht mit festem  $B_{1-1-1}$  und  $S_{10}$ , und die Kante *qde* Lösungen im Gleichgewicht mit festem  $S_{10}$  und  $S_3$ . Der Punkt *b*, welcher bei 75,5° liegt, ist der Punkt der maximalen Existenztemperatur für  $S_{10}$ . Wenn über diese Temperatur erwärmt wird, so zerfällt festes  $S_{10}$  in das feste basische Salz  $B_{1-1-1}$  und Lösung. Dieser Punkt ist daher analog dem Punkt *M* im Carnallitmodell, bei welchem dieses Salz in Lösung und festes Kaliumchlorid zerfällt (S. 179) oder dem Punkt, bei welchem das feste Salz  $2\text{FeCl}_3 \cdot 2\text{HCl} \cdot 12\text{H}_2\text{O}$  in Lösung und festes  $2\text{FeCl}_3 \cdot 12\text{H}_2\text{O}$  zerfällt (S. 184). Die Kurve *pab* ist bis zur Temperatur von 72° (Punkt *c*) verfolgt worden. Das Ende des Modells ist unvollständig, aber es ist wahrscheinlich, daß in der Nähe des Punktes *c* ein fünffacher Punkt existiert, bei welchem noch das feste basische Salz  $B_{1-2-2}$  auftritt. Auch in der Nähe von *c* existiert wahrscheinlich ein weiterer fünffacher Punkt, bei welchem  $S_4$  auftritt. Diese Systeme sind jedoch noch nicht näher studiert worden.

Es mögen hier einige von den numerischen Daten folgen.

## Isotherme für 20°.

| Feste Phase         | Zusammensetzung der Lösung<br>Gramm-Mol. in 1000 Gramm-Mol.<br>Wasser |                        |
|---------------------|---|------------------------|
|                     | $\text{Bi}_2\text{O}_3$   | $\text{N}_2\text{O}_5$ |
| $B_{1-1-1}$         | 10,50   | 38,65                  |
| —                   | 27,20   | 83,84                  |
| $B_{1-1-1}; S_{10}$ | 30,15   | 97,97                  |
| $S_{10}$            | 29,70   | 96,57                  |
| —                   | 19,65   | 98,76                  |
| —                   | 10,51   | 162,58                 |
| —                   | 33,51   | 355,87                 |
| $S_{10}; S_3$       | 51,00   | 403,00                 |
| $S_3$               | 14,35   | 492,0                  |
| —                   | 7,45  | 592,9                  |

<sup>1)</sup> Das Gipsmodell ist ebenfalls von METSELAAR in Leiden zu beziehen.



Systeme im Gleichgewicht mit  $B_{1-1-1}$  und  $S_{10}$  (Kurve  $pa\delta c$ ).

| Temperatur              | Zusammensetzung der Lösung<br>Gramm-Mol. in 1000 Gramm-Mol.<br>Wasser |          |
|-------------------------|---|----------|
|                         | $Bi_2O_3$   | $N_2O_5$ |
| 9°                      | 26,7  | 88,2     |
| 20° (Punkt $a$ )        | 30,15   | 97,97    |
| 30°                     | 33,6  | 112,3    |
| 50°                     | 41,8  | 148,4    |
| 65°                     | 57,21   | 190,8    |
| 75,5° (Punkt $\delta$ ) | 87,9  | 288,4    |
| 72° (Punkt $c$ )        | 96,0  | 327,0    |

Systeme im Gleichgewicht mit  $S_{10}$  und  $S_3$  (Kurve  $qde$ ).

| Temperatur | Zusammensetzung der Lösung<br>Gramm-Mol. in 1000 Gramm-Mol.<br>Wasser |          |
|------------|---|----------|
|            | $Bi_2O_3$   | $N_2O_5$ |
| 11,5°      | 44,5  | 396      |
| 20°        | 51,0  | 405,4    |
| 50°        | 66,5  | 444,2    |
| 65°        | 80,0  | 454,4    |

**Basische Quecksilbersalze.** — Anwendung von der Phasenregel ist auch von A. J. Cox<sup>1)</sup> in einer Untersuchung der basischen (und neuerdings auch der sauren) Quecksilbersalze gemacht worden, und die Untersuchung hat zu dem Ergebnis geführt, daß von den in den Lehrbüchern erwähnten Salzen eine ganze Anzahl mit Unrecht als chemische Verbindungen oder chemische Individuen (S. 57) bezeichnet werden. Die Untersuchung, welche im wesentlichen in der oben (S. 187) angegebenen Weise ausgeführt wurde, umfaßte die in der folgenden Tabelle angeführten Salze; und von den basischen Salzen, die sich angeblich von ihnen ableiten, existieren nur die angeführten. In der Tabelle geben die Zahlen der zweiten Kolonne die Minimalwerte der Konzentration der Säure, ausgedrückt in Äquivalentnormalität, an, welche für die Existenz der entsprechenden festen Salze in Berührung mit Lösung bei der in der dritten Kolonne gegebenen Temperatur erforderlich ist:

<sup>1)</sup> Cox, Zeitschr. anorg. Chem. 1904, **40**, 148; derselbe 1906, **50**, 226.

| Punkt | Salz  | Konzentration<br>der Säure<br>(Normalität) | Temperatur |
|-------|---|--|------------|
| I.    | $\text{HgCrO}_4$  | 1,41                                       | 50°        |
|       | $3 \text{ HgO} \cdot \text{CrO}_3$  | 0,00026                                    | 50°        |
| II.   | $\text{Hg}(\text{NO}_3)_2 \cdot \text{H}_2\text{O}$                                 | 18,72                                      | 25°        |
|       | $3 \text{ HgO} \cdot \text{N}_2\text{O}_5$  | 0,159                                      | 25°        |
| III.  | $\text{HgSO}_4$   | 6,87                                       | 25°        |
|       | $3 \text{ HgO} \cdot \text{SO}_3$   | 0,0013                                     | 25°        |
| IV.   | $\text{HgF}_2$  | 1,14                                       | 25°        |
| V.    | $\text{HgNO}_3 \cdot \text{H}_2\text{O}$  | 2,95                                       | 25°        |
|       | $5 \text{ Hg}_2\text{O} \cdot 3 \text{ N}_2\text{O}_5 \cdot 2 \text{ H}_2\text{O}$  | ca. 0,293                                  | 25°        |
|       | $2 \text{ Hg}_2\text{O} \cdot \text{N}_2\text{O}_5$ (?)                             | 0,110                                      | 25°        |
|       | $3 \text{ Hg}_2\text{O} \cdot \text{N}_2\text{O}_5 \cdot 2 \text{ H}_2\text{O}$ (?) | 0,0017                                     | 25°        |
| VI.   | $\text{Hg}_2\text{SO}_4$  | 0,0042                                     | 25°        |
|       | $2 \text{ Hg}_2\text{O} \cdot \text{SO}_3 \cdot \text{H}_2\text{O}$                 | 0,00056                                    | 25°        |

Merkurifluorid bildet kein basisches Salz.

Da zwei aufeinander folgende Glieder der Reihe bei gegebener Temperatur nur in Berührung mit einer Säurelösung von einer einzigen, ganz bestimmten Konzentration koexistieren können, so können wir Säurelösungen von bestimmter Konzentration dadurch herstellen, daß wir zwei solche Salze im Überschuß in Berührung mit Wasser bringen.

**Indirekte Bestimmung der Zusammensetzung der festen Phase.** — Es ist bereits gezeigt worden (S. 142), wie sich die Zusammensetzung der festen Phase in einem System aus zwei Komponenten ermitteln läßt, ohne sie zu analysieren, und wir wollen jetzt zeigen, wie sich dies in einem System aus drei Komponenten ausführen läßt<sup>1)</sup>.

Wir wollen annehmen, es handle sich um die wässrige Lösung zweier Salze, die ein Doppelsalz bilden können. Wir können dann die Löslichkeitsverhältnisse in einem rechtwinkligen Koordinatensystem graphisch darstellen. So würden wir, wie vorher, die Isotherme  $adcb$  (Fig. 120) erhalten, wenn die Zusammensetzung der Lösung durch die Anzahl der Gramm-Moleküle von A und von B auf 100 Gramm-Moleküle Wasser ausgedrückt wird.

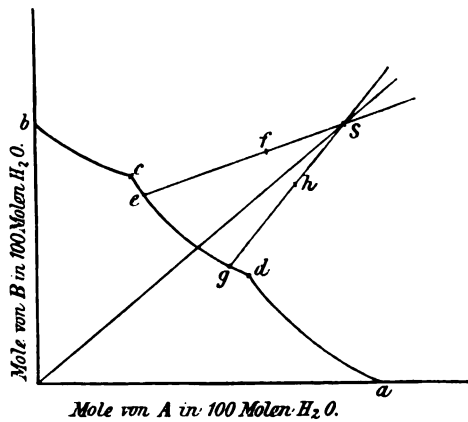


Fig. 120.

Wir wollen nun annehmen, das feste Doppelsalz sei mit der Lösung bei einer bestimmten Temperatur im Gleichgewicht und die Zusammensetzung der Lösung sei durch den Punkt  $c$  repräsentiert. Der größere Teil der Lösung wird jetzt von der festen Phase abgetrennt und die letztere wird samt der anhaftenden Mutterlauge analysiert. Die Zusammensetzung (ausgedrückt, wie vorher, in

<sup>1)</sup> SCHREINEMAKERS, Zeitschr. phys. Chem. 1893, 11, 76; BANCROFT, Journ. Physical Chem. 1902, 6, 179.

Gramm-Molekülen von  $A$  und  $B$  auf 100 Gramm-Moleküle Wasser) wird durch einen Punkt (z. B.  $f$ ) der Linie  $eS$  dargestellt, wenn  $S$  die Zusammensetzung des Doppelsalzes repräsentiert. Daß dies so ist, leuchtet ein, wenn man bedenkt, daß, einerlei welches die relativen Mengen der festen Phase und der Mutterlauge sind, die Zusammensetzung des Ganzen zwischen derjenigen der Lösung allein und derjenigen des Doppelsalzes allein liegen muß.

Wenn wir in ähnlicher Weise eine Lösung von anderer Zusammensetzung im Gleichgewicht mit demselben Doppelsalz (nicht notwendigerweise bei derselben Temperatur wie vorher) und auch das Gemisch von fester Phase und Lösung analysieren, so erhalten wir zwei andere Punkte wie z. B.  $g$  und  $h$ , und die Verbindungslinie dieser Punkte muß ebenfalls durch  $S$  gehen. Das Verfahren, die Zusammensetzung eines unbekannten festen Doppelsalzes zu finden, besteht daher also darin, nach der eben beschriebenen Methode die Lage von zwei Linien wie  $ef$  und  $gh$  zu finden. Der Durchschnittspunkt der beiden Linien gibt dann die Zusammensetzung des Doppelsalzes an.

Wenn das Doppelsalz wasserfrei ist, so liegt der Punkt  $S$  im Unendlichen, und die Linien  $ef$  und  $gh$  sind einander parallel. In diesem Falle kommt man aber auch zu einem Resultat vermittels der Darstellungsmethode im Dreiecksdiagramm<sup>1)</sup>. Wenn wir von den drei Komponenten in bekannten Mengen ausgehen und die Anfangszusammensetzung des Ganzen durch einen Punkt im Dreieck angeben, und dann die Endzusammensetzung der Lösung im Gleichgewicht mit der festen Phase bei einer bestimmten Temperatur ermitteln, so geht die Verbindungslinie der Punkte der Anfangs- und der Endkonzentration durch den Punkt, welcher die Zusammensetzung der festen Phase angibt. Macht man also zwei Bestimmungen mit Lösungen von verschiedener Anfangs- und Endzusammensetzung, die mit derselben festen Phase im Gleichgewicht sind, so gibt der Durchschnittspunkt der beiden Linien, welche man so erhält, die Zusammensetzung der festen Phase an. Bei wasserfreien Salzen liegt dann dieser Punkt natürlich in einer Dreiecksseite.

<sup>1)</sup> BANCROFT, Zeitschr. anorg. Chem. 1904, 40, 148.



## Siebzehntes Kapitel.

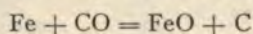
### Abwesenheit einer flüssigen Phase.

In den vorhergehenden Kapiteln, die über die Gleichgewichte in Systemen mit drei Komponenten handelten, richteten wir unsere Aufmerksamkeit nur auf diejenigen Fälle, in denen flüssige Lösungen eine oder mehrere Phasen bildeten. Wir müssen jedoch auch noch gewisse Systeme erwähnt werden, in denen keine flüssigen Phasen vorkommen und in denen nur feste Phasen und Gase im Gleichgewicht sind. Da wir es in allen Fällen nur mit einer gasförmigen Phase zu tun haben, so sind vier feste Phasen erforderlich, um ein invariantes System zu bilden. Wenn nur drei feste Phasen anwesend sind, so ist das System univariant, und wenn nur zwei feste Phasen mit Gas koexistieren, so ist es bivariant. Wenn wir aber die Einschränkung machen, daß der Gasdruck konstant sein soll, so vermindern wir die Anzahl der Freiheitsgrade des Systems um eins.

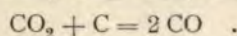
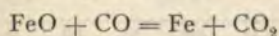
Einige der Systeme dieser Klasse sollen, wenn auch nur kurz, beschrieben werden, da sie von großer industrieller Bedeutung sind.

**Eisen, Kohlenoxyd und Kohlendioxyd.** — Einige der wichtigsten Systeme mit drei Komponenten, in denen Gleichgewicht zwischen festen und gasförmigen Phasen existiert, sind diejenigen, welche von den drei Komponenten Eisen, Kohlenoxyd und Kohlendioxyd gebildet werden. Sie sind namentlich für die in den Hochöfen verlaufenden Prozesse von Wichtigkeit<sup>1)</sup>.

Leitet man Kohlenoxyd über reduziertes Eisenpulver bei einer Temperatur von ungefähr 600°, so wird das Eisen oxydiert und das Kohlenoxyd reduziert, so daß Kohlenstoff abgeschieden wird, wie es die Gleichung

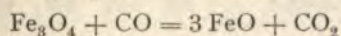


ausdrückt. Auf diese Reaktion folgen dann die beiden Reaktionen



Die erste Reaktion findet nicht vollständig statt, sondern führt zu einem bestimmten Gleichgewicht. Das Resultat der verschiedenen Reaktionen ist daher ein Gleichgewicht zwischen den drei festen Phasen Kohlenstoff, Eisen und Eisenoxydul und der gasförmigen Phase, die aus Kohlenoxyd und Kohlendioxyd besteht. Wir haben hier vier Phasen, und wenn der Gesamtdruck konstant gehalten wird, so kann also nach der Phasenregel hier Gleichgewicht bei einer einzigen bestimmten Temperatur stattfinden.

Da unter gewissen Bedingungen auch die weitere Reaktion



in Betracht kommt, so kann eine zweite Reihe von Gleichgewichten von ähnlichem Charakter wie die erste erhalten werden.

<sup>1)</sup> Siehe E. BAUR u. A. GLAESSNER, Zeitschr. phys. Chem. 1903, **43**, 354.

Die verschiedenen Gleichgewichte sind von BAUR und GLAESSNER (a. a. untersucht worden, und über die Ergebnisse dieser Untersuchung soll hier berichtet werden:

Gemische der festen Phasen wurden in Berührung mit Kohlenoxyd Kohlendioxyd in einem Porzellanrohr so lange auf eine bestimmte Temperatur erhitzt, bis Gleichgewicht eintrat, und dann wurde das Gas abgepumpt und analysiert.

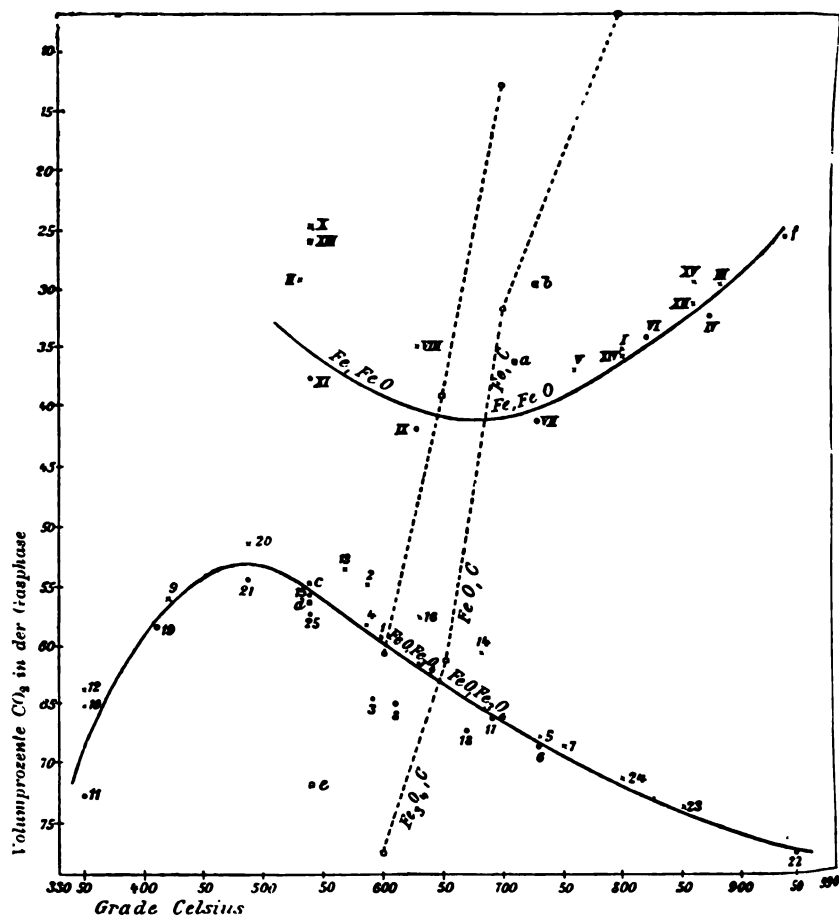
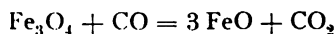


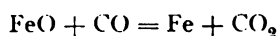
Fig. 121.

Die Resultate, welche erreicht wurden, sind in den beiden folgenden Tabellen gegeben und in Fig. 121 graphisch dargestellt.

Wie aus den gegebenen Zahlen und aus den Kurven in Fig. 121 zu ersehen ist, weist die Gleichgewichtskurve der Reaktion



ein Maximum für das Verhältnis  $\frac{\text{CO}}{\text{CO}_2}$  bei 490° auf, während für die Reaktion



ein Minimum für dieses Verhältnis bei 680° liegt. Aus diesen Kurven können wir nun die Bedingungen ableiten, unter denen die verschiedenen

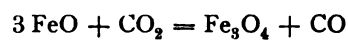
Feste Phasen:  $\text{Fe}_3\text{O}_4$ ;  $\text{FeO}$ .

| Nr. | Röhre<br>beschickt mit | Dauer<br>des Versuches | Temperatur | Prozentgehalt an |      |
|-----|------------------------|------------------------|------------|------------------|------|
|     |                        |                        |            | $\text{CO}_2$    | CO   |
| 1   | CO                     | 14 <sup>h</sup>        | 600°       | 59,3             | 40,7 |
| 2   | CO                     | 15                     | 590        | 54,7             | 45,3 |
| 3   | $\text{CO}_2$          | 16                     | 590        | 64,6             | 35,4 |
| 4   | CO                     | 24                     | 590        | 58,4             | 41,6 |
| 5   | CO                     | 22                     | 730        | 67,7             | 32,3 |
| 6   | $\text{CO}_2$          | 22                     | 730        | 86,1             | 31,9 |
| 7   | CO                     | 22                     | 750        | 68,4             | 31,6 |
| 8   | $\text{CO}_2$          | 22                     | 610        | 64,9             | 35,1 |
| 9   | CO                     | 23                     | 420        | 56,0             | 44,0 |
| 10  | CO                     | 47                     | 350        | 65,6             | 34,4 |
| 11  | $\text{CO}_2$          | 46                     | 350        | 72,8             | 27,2 |
| 12  | CO                     | 53                     | 350        | 64,0             | 36,0 |
| 13  | CO                     | 18                     | 570        | 53,4             | 46,6 |
| 14  | CO                     | 19                     | 680        | 60,5             | 39,5 |
| 15  | $\text{CO}_2$          | 24                     | 540        | 55,5             | 44,5 |
| 16  | CO                     | 21                     | 630        | 57,5             | 42,5 |
| 17  | $\text{CO}_2$          | 17                     | 690        | 65,5             | 34,5 |
| 18  | $\text{CO}_2$          | 17                     | 670        | 67,0             | 33,0 |
| 19  | $\text{CO}_2$          | 24                     | 410        | 58,5             | 41,5 |
| 20  | CO                     | 24                     | 490        | 51,7             | 48,8 |
| 21  | $\text{CO}_2$          | 23                     | 590        | 54,4             | 45,6 |
| 22  | $\text{CO}_2$          | 4                      | 950        | 77,0             | 23,0 |
| 23  | $\text{CO}_2$          | 15                     | 850        | 73,4             | 26,6 |
| 24  | CO                     | 8                      | 800        | 71,2             | 28,8 |
| 25  | $\text{CO}_2$          | 24                     | 540        | 56,7             | 43,3 |

Feste Phasen:  $\text{FeO}$ ;  $\text{Fe}$ .

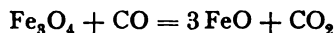
| Nr.   | Röhre<br>beschickt mit | Dauer<br>des Versuches | Temperatur | Prozentgehalt an |      |
|-------|------------------------|------------------------|------------|------------------|------|
|       |                        |                        |            | $\text{CO}_2$    | CO   |
| I.    | CO                     | 15 <sup>h</sup>        | 800°       | 35,2             | 64,8 |
| II.   | CO                     | 18                     | 530        | 29,1             | 70,9 |
| III.  | CO                     | 13                     | 880        | 30,2             | 69,6 |
| IV.   | $\text{CO}_2$          | 24                     | 870        | 32,3             | 67,7 |
| V.    | CO                     | 18                     | 760        | 36,9             | 63,1 |
| VI.   | $\text{CO}_2$          | 16                     | 820        | 34,7             | 65,3 |
| VII.  | $\text{CO}_2$          | 18                     | 730        | 41,1             | 58,9 |
| VIII. | CO                     | 18                     | 630        | 34,9             | 65,1 |
| IX.   | $\text{CO}_2$          | 17                     | 630        | 61,6             | 58,4 |
| X.    | CO                     | 18                     | 540        | 25,0             | 75,0 |
| XI.   | $\text{CO}_2$          | 25                     | 540        | 36,5             | 63,5 |

sten Phasen in Berührung mit Gas existieren können. So können B. bei einer Temperatur von 690°  $\text{FeO}$  und  $\text{Fe}_3\text{O}_4$  mit einem Gemisch von 5,5 Prozent  $\text{CO}_2$  und 34,5 Prozent CO koexistieren. Wenn aber der Partialdruck an  $\text{CO}_2$  gesteigert wird, so findet die Reaktion





statt, und wenn Kohlendioxyd in hinreichender Menge hinzugefügt wird, so verschwindet das Eisenoxydul schließlich. Wenn andererseits der Partialdruck von CO gesteigert wird, so findet die Reaktion



statt und sämtliches Eisenoxyd kann verschwinden. Wir sehen also, daß  $\text{Fe}_3\text{O}_4$  nur bei solchen Temperaturen und in Berührung mit solchen Gemischen von Kohlenoxyd und Kohlendioxyd existieren kann, die durch die Fläche repräsentiert werden, welche unterhalb der unteren Kurve in Fig. 121 liegt. In ähnlicher Weise ist das Existenzgebiet von FeO dasjenige, welches durch die Fläche zwischen den beiden Kurven repräsentiert wird, während metallisches Eisen unter den Bedingungen der Temperatur und der Zusammensetzung des Gases existieren kann, welche durch die Fläche oberhalb der oberen Kurve in Fig. 121 repräsentiert werden. Wenn daher Eisenoxyd oder metallisches Eisen eine hinreichend lange Zeit in einem Gasstrom mit einem Volumgehalt von 50% Kohlenoxyd und 50% Kohlendioxyd auf Temperaturen über  $700^\circ$  erhitzt wird, so tritt schließlich vollständige Umwandlung in Eisenoxydul ein.

Bei einer anderen Reihe von Gleichgewichten, die erhalten werden können, ist der Kohlenstoff eine der festen Phasen. In Fig. 121 sind die Gleichgewichte zwischen Kohlenstoff, Kohlenoxyd und Kohlendioxyd unter einem Druck von einer und von einer viertel Atmosphäre durch punktierte Linien dargestellt<sup>1)</sup>.

Wenn wir nur die punktierte Linie auf der rechten Seite betrachten, welche die Gleichgewichte unter dem Atmosphärendruck repräsentiert, so sehen wir, daß die Punkte, in denen die punktierte Linie die beiden anderen Kurven schneidet, Systeme repräsentieren müssen, in denen Kohlenoxyd und Kohlendioxyd einerseits mit den drei festen Phasen  $\text{FeO} - \text{Fe}_3\text{O}_4 - \text{C}$  und andererseits mit den drei festen Phasen  $\text{Fe} - \text{FeO} - \text{C}$  im Gleichgewicht sind. Diese Systeme können nach der Phasenregel nur bei einer bestimmten Temperatur existieren, wenn wir die Einschränkung machen, daß der Druck konstant gehalten wird (Atmosphärendruck). Wenn wir daher vom Gleichgewicht  $\text{FeO} + \text{Fe}_3\text{O}_4 + \text{CO} + \text{CO}_2$  bei einer Temperatur von etwa  $670^\circ$  ausgehen und dann zu dem System Kohlenstoff hinzufügen, so wird die Reaktion  $\text{C} + \text{CO}_2 = 2\text{CO}$  eintreten, weil die Konzentration von  $\text{CO}_2$  größer ist als die dem System  $\text{FeO} - \text{Fe}_3\text{O}_4 - \text{C}$  im Gleichgewicht mit Kohlenoxyd und Kohlendioxyd entsprechende. Dabei wird aber das Gleichgewicht  $\text{FeO} - \text{Fe}_3\text{O}_4 - \text{C}$  gestört und der Änderung in der Konzentration wirkt das Eintreten der Reaktion  $\text{Fe}_3\text{O}_4 + \text{CO} = 3\text{FeO} + \text{CO}_2$  entgegen, und diese Reaktion verläuft so lange, bis entweder sämtlicher Kohlenstoff oder sämtliches Eisenoxyd verbraucht ist. Wenn das Eisenoxyd zuerst verschwindet, so entspricht das Gleichgewicht einem Punkt auf der punktierten Linie, die in dem mittleren Feld der Fig. 121 Gleichgewichte zwischen FeO und C als festen Phasen und  $\text{CO} + \text{CO}_2$  als gasförmiger Phase repräsentiert. Wenn die Temperatur höher als  $685^\circ$  ist, bei der die Kurve für das System  $\text{C} - \text{CO}, \text{CO}_2$  diejenige für  $\text{Fe} - \text{FeO} - \text{CO}, \text{CO}_2$  schneidet, ist, nachdem sämtliches Eisenoxyd verschwunden ist, die Konzentration von CO für die Koexistenz von FeO und C noch zu groß. Infolgedessen findet die Reaktion  $\text{C} + \text{CO}_2 = 2\text{CO}$  statt, und die Zusammensetzung der gasförmigen Phase ändert sich, bis ein Punkt auf der oberen Kurve erreicht wird. Einer weiteren Zunahme der Konzentration von CO wirkt jetzt die Reaktion  $\text{FeO} + \text{CO} = \text{Fe} + \text{CO}_2$  entgegen und der Druck bleibt konstant, bis sämtliches Eisenoxydul reduziert ist und nur noch Eisen und Kohlenstoff mit Gas koexistiert. Wenn die Mengen der Substanzen richtig bemessen sind, so erreichen wir schließlich einen Punkt in der punktierten Linie im oberen Teil der Fig. 121.

<sup>1)</sup> Diese Gleichgewichte wurden von BOUDOUARD erhalten, Ann. chim. phys. [7], 24, (1901). Siehe auch HAHN, Zeitschr. phys. Chem. 1903, 42, 705; 44, 513.

Aus Fig. 121 ist auch leicht zu ersehen, unter welchen Bedingungen Reduktion von Eisenoxyd oder Eisenoxydul durch Kohlenstoff stattfinden kann. Wir wollen z. B. annehmen, wir gingen von einem Gemisch von Kohlenoxyd und Kohlendioxyd bei etwa  $600^{\circ}$  (dem tiefsten Punkte der punktierten Linie) aus und hielten den Gesamtdruck konstant gleich einer Atmosphäre. Wenn die Temperatur gesteigert wird, so nimmt die Konzentration des Kohlendioxyds infolge der Reaktion  $C + CO_2 = 2CO$  ab, aber das Eisenoxyd erleidet keine Veränderung, bevor die Temperatur auf  $647^{\circ}$  steigt, d. h. auf den Durchschnittspunkt der punktierten Kurve mit der Kurve für  $FeO - Fe_3O_4$ . Bei diesem Punkt wirkt einer weiteren Erhöhung der Konzentration des Kohlenoxyds die Reduktion von Eisenoxyd der Gleichung  $Fe_3O_4 + CO = 3FeO + CO_2$  entsprechend entgegen. Der Druck bleibt daher konstant, bis sämtliches Eisenoxyd verschwunden ist. Wenn die Temperatur noch weiter gesteigert wird, so kommen wir wieder zu einem univarianten System,  $FeO + C$ , im Gleichgewicht mit Gas (univariant, weil der Gesamtdruck konstant ist); und wenn die Temperatur erhöht wird, so muß sich die Zusammensetzung des Gases ändern. Dies wird durch die Reaktion  $C + CO_2 = 2CO$  bewirkt. Wenn die Temperatur  $685^{\circ}$  erreicht wird, bei welcher die punktierte Kurve die Kurve für  $Fe - FeO$  schneidet, so wird eine weitere Vermehrung der CO-Konzentration durch die Reaktion  $FeO + CO = Fe + CO_2$  verhindert. Wenn sämtliches Eisenoxydul verbraucht ist, so erhalten wir das System  $Fe + C$  im Gleichgewicht mit Gas. Wenn jetzt die Temperatur erhöht wird, so ändert sich die Zusammensetzung der gasförmigen Phase, wie es die punktierte Linie angibt. Die beiden Temperaturen  $647^{\circ}$  und  $685^{\circ}$  geben, wie man sieht, die Grenzen an, innerhalb deren Eisenoxyd oder Eisenoxydul direkt durch Kohlenstoff reduziert werden kann.

Man sieht ferner, daß bei jeder Temperatur rechts von der punktierten Linie der Kohlenstoff in Gegenwart von Eisen oder seinen Oxyden unbeständig ist, während er bei Temperaturen unter der durch die punktierte Linie repräsentierten beständig ist. Im Hochofen kann daher Ausscheidung von Kohlenstoff nur bei niedrigeren Temperaturen stattfinden, und der Kohlenstoff muß verschwinden, wenn die Temperatur erhöht wird.

Schließlich mag bemerkt werden, daß die Gleichgewichtskurven zeigen, daß Eisenoxydul am leichtesten bei  $680^{\circ}$  reduziert wird, da die Konzentration des Kohlenoxyds, die bei dieser Temperatur erforderlich ist, ein Minimum ist. Andererseits ist Eisenoxyd am schwierigsten bei  $490^{\circ}$  zu reduzieren, da bei dieser Temperatur die erforderliche Konzentration des Kohlenoxyds ein Maximum erreicht.

Andere Gleichgewichte zwischen festen und dampfförmigen Phasen sind: Gleichgewicht zwischen Eisen, Eisenoxyd, Wasserdampf und Wasserstoff<sup>1)</sup>, und die Gleichgewichte zwischen Kohlenstoff, Kohlenoxyd, Kohlendioxyd, Wasserstoff und Wasserdampf<sup>2)</sup> (wichtig für die Fabrikation von Wassergas).

<sup>1)</sup> G. PREUNER, Zeitschr. phys. Chem. 1903, **47**, 385.

<sup>2)</sup> Vgl. dieses Handbuch d. angew. phys. Chem.: Physik. chem. Technologie der Verbrennung und Heizung von HABER; HAHN, Zeitschr. phys. Chem. 1903, **42**, 705; **44**, 513; BOUDOUARD, Bull. Soc. chim. [3], **25**, 484; BODLÄNDER, Zeitschr. f. Elektrochem. 1902, **8**, 833; R. SCHENK, ZIMMERMANN u. HELLER, Ber. d. d. chem. Ges. **36**, 1231 u. 3663 (1903); **38**, 2132 (1905); Zeitschr. f. Elektrochem. **9**, 691 (1903) F. HABER, Thermodynamik techn. Gasreaktionen S. 293 (München (1903).



## Achtzehntes Kapitel.

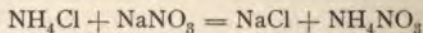
### Systeme aus vier Komponenten.

In den Systemen, die wir bis jetzt studiert haben, haben wir Fälle kennen gelernt, in denen zwei oder drei Komponenten in Verbindung treten konnten. Aber in keinem Falle beobachteten wir das Eintreten einer doppelten Zersetzung. Dies hat seinen Grund darin, daß in den früher studierten Systemen, in denen eine doppelte Zersetzung hätte möglich sein können, nämlich in denjenigen Systemen, in denen zwei Salze als Komponenten vorkommen, die Einschränkung gemacht wurde, daß entweder der basische oder der saure Bestandteil dieser Salze derselbe sein sollte. Diese Einschränkung wurde gerade zu dem Zwecke gemacht, um doppelte Zersetzung auszuschließen. Jetzt wollen wir aber diese Einschränkung fallen lassen und so das Gebiet des Studiums erweitern.

Bis jetzt hat man, was die Systeme aus vier Komponenten betrifft, die Aufmerksamkeit hauptsächlich auf das Studium wässriger Lösungen von Salzen gerichtet, und zwar namentlich derjenigen Salze, welche im Meerwasser vorkommen, also hauptsächlich der Sulfate und Chloride von Magnesium, Kalium und Natrium. Die Wichtigkeit dieser Untersuchungen wird man erkennen, wenn man sich erinnert, daß durch Verdunsten von Meerwasser die ungeheuren Salzlager von Staßfurt entstanden sind, welche gegenwärtig die Hauptquelle für die Sulfate und Chloride von Magnesium und Kalium bilden. Die Untersuchungen sind daher nicht nur von großem geologischen Interesse, indem sie die Bedingungen aufklären, unter denen diese Salzlager entstanden sind, sondern sie sind auch von großer Bedeutung für die industrielle Verarbeitung der Salzlager.

Wir wollen indessen hier nicht auf eine eingehende Beschreibung der verschiedenen Systeme eingehen, die bis jetzt studiert worden sind, ebensowenig auf die zuweilen sehr komplizierten Beziehungen, denen man begegnet, sondern es sollen nur einige der wichtigsten Punkte über diese Systeme hervorgehoben werden<sup>1)</sup>.

**Reziproke Salzpaare. Wahl der Komponenten.** — Wenn zwei Salze eine sogenannte doppelte Umsetzung erleiden, so läßt sich der Vorgang durch eine Gleichung wie



ausdrücken. Da aus dem einen Salzpaar,  $\text{NaCl} + \text{NH}_4\text{NO}_3$ , durch diese doppelte Umsetzung das andere Paar,  $\text{NH}_4\text{Cl} + \text{NaNO}_3$ , entsteht, werden die beiden Salzpaare als reziproke Salzpaare bezeichnet<sup>2)</sup>. Die Systeme, mit denen wir

<sup>1)</sup> Eine gute Übersicht über die von VAN'T HOFF und seinen Schülern ausgeführten Untersuchungen über die Bildung des Stassfurter Salzlagers gibt VAN'T HOFF; Zur Bildung der ozeanischen Salzablagerungen I. Braunschweig 1905, E. F. ARMSTRONG in den Reports of the British Association for 1901, S. 262. Vgl. Handbuch der angew. phys. Chem.: Spezielle Probleme der Phasenregel und ihre Anwendungen auf technische und geologische Fragen von G. BRUNI.

<sup>2)</sup> Siehe namentlich MEYERHOFFER, Sitzungsber. Wien. Akad. 1895, 104, IIb, 840; MEYERHOFFER u. SAUNDERS, Zeitschr. phys. Chem. 1899, 28, 453; 31, 370. Die Untersuchung der Gleichgewichte zwischen reziproken Salzpaaren allein (Systeme aus drei Komponenten) sind von großer Bedeutung für die künstliche Darstellung von Mineralien, ebenso in der analytischen Chemie für das richtige Verständnis der Methoden der Umwandlung unlöslicher Systeme in lösliche durch Schmelzung (Siehe MEYERHOFFER, Zeitschr. phys. Chem. 1901, 38, 307.)



es hier zu tun haben, sind solche, in denen die Komponenten von reziproken Salzpaaren gebildet werden.

Es ist jedoch zu beachten, daß die vier Salze, welche zwei reziproke Salzpaare bilden, nicht ein System von vier, sondern nur von drei Komponenten bilden. Dies wird man verstehen, wenn man sich erinnert, daß nur so viel Bestandteile als Komponenten gewählt werden dürfen, als erforderlich sind, um die Zusammensetzung aller anwesenden Phasen ausdrücken zu können (S. 8). Man wird finden, daß sich die Zusammensetzung eines jeden der vier Salze, die zusammen anwesend sein können, durch drei derselben ausdrücken läßt. So können wir z. B. bei den vier Salzen  $\text{NH}_4\text{Cl}$ ,  $\text{NaNO}_3$ ,  $\text{NH}_4\text{NO}_3$ ,  $\text{NaCl}$  die Zusammensetzung von  $\text{NH}_4\text{Cl}$  durch  $\text{NH}_4\text{NO}_3 + \text{NaCl} - \text{NaNO}_3$  oder die Zusammensetzung von  $\text{NaNO}_3$  durch  $\text{NH}_4\text{NO}_3 + \text{NaCl} - \text{NH}_4\text{Cl}$  ausdrücken. In allen diesen Fällen müssen, wie man sieht, negative Mengen der einen oder anderen Komponente angewandt werden, was aber, wie wir wissen (S. 8), durchaus zulässig ist. Die Anzahl der Komponenten ist daher drei, und es ist einerlei, welche drei von den vier Salzen man wählt.

Da also zwei reziproke Salzpaare nur drei Komponenten oder unabhängig variable Bestandteile bilden, so ist noch eine weitere Komponente erforderlich, um ein System aus vier Komponenten zu bekommen. Als solche wollen wir das Wasser wählen.

**Umwandlungspunkt.** — Bei der Bildung von Doppelsalzen aus zwei einfachen Salzen existiert, wie wir gesehen haben, ein Punkt — der fünffache Punkt —, bei welchem fünf Phasen koexistieren können. Dieser Punkt ist, wie wir weiter gesehen haben, ein Umwandlungspunkt. Auf der einen Seite desselben ist das Doppelsalz, auf der anderen Seite sind die beiden einfachen Salze in Berührung mit Lösung das stabile System. Ein ähnliches Verhalten zeigen die reziproken Salzpaare. Die Systeme aus vier Komponenten, zwei reziproken Salzpaaren und Wasser, können zur Bildung eines invarianten Systems führen, in welchem sechs Phasen, nämlich vier feste Salze, Lösung und Dampf koexistieren können. Die Temperatur, bei welcher dies möglich ist, bildet einen sechsfachen Punkt. Auch dieser sechsfache Punkt ist ein Umwandlungspunkt. Auf der einen Seite desselben ist das eine Salzpaar, auf der anderen Seite das reziproke Salzpaar in Berührung mit Lösung stabil.

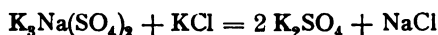
Der sechsfache Punkt ist der Durchschnittspunkt der Kurven von sechs unvarianten Systemen. Diese Kurven sind vier Löslichkeitskurven, jede mit drei festen Phasen, eine Dampfdruckkurve für das aus zwei reziproken Salzpaaren und Dampf bestehende System und eine Umwandlungskurve für das aus zwei reziproken Salzpaaren und Lösung bestehende kondensierte System. Wenn wir die dampfförmige Phase vernachlässigen und unter dem Atmosphärendruck (in offenen Gefäßen) arbeiten, so finden wir, daß der Umwandlungspunkt der Durchschnittspunkt von vier Löslichkeitskurven ist.

Ebenso wie bei den Systemen aus drei Komponenten die Anwesenheit eines der einfachen festen Salze neben dem festen Doppelsalze, Lösung und Dampf erforderlich ist, um ein unvariantes System zu geben, so ist auch in den Systemen aus vier Komponenten die Anwesenheit eines dritten Salzes als feste Phase neben einem der Salzpaare erforderlich. In dem oben erwähnten Falle der reziproken Salzpaare würde der Umwandlungspunkt der Durchschnittspunkt der vier Löslichkeitskurven der Systeme mit den folgenden Gruppen von Salzen als feste Phasen sein: Unter dem Umwandlungspunkt:  $\text{NH}_4\text{Cl} + \text{NaNO}_3 + \text{NaCl}$ ;  $\text{NH}_4\text{Cl} + \text{NaNO}_3 + \text{NH}_4\text{NO}_3$ ; über dem Umwandlungspunkt:  $\text{NaCl} + \text{NH}_4\text{NO}_3 + \text{NaNO}_3$ ;  $\text{NaCl} + \text{NH}_4\text{NO}_3 + \text{NH}_4\text{Cl}$ . Hieraus ist zu ersehen, daß die beiden Salze  $\text{NH}_4\text{Cl}$  und  $\text{NaNO}_3$  unter dem Umwandlungspunkt, aber nicht über demselben nebeneinander in Berührung mit Lösung koexistieren können. Dieser Umwandlungspunkt ist in diesem Beispiele bisher nicht ermittelt worden.

**Bildung von Doppelsalzen.** — In allen Fällen von Systemen aus vier Komponenten, welche bisher untersucht worden sind, waren die Umwandlungspunkte nicht Punkte, bei denen ein Salzpaar in das reziproke überging, sondern bei denen ein Doppelsalz entstand. So bilden bei 4,4° Glaubersalz und Kaliumchlorid das Doppelsalz Glaserit und Natriumchlorid:



Oberhalb des Umwandlungspunktes würden also  $\text{K}_3\text{Na}(\text{SO}_4)_2$ ,  $\text{NaCl}$  und  $\text{KCl}$  vorhanden sein, und man kann annehmen, daß erst bei höherer Temperatur das Doppelsalz auf das Kaliumchlorid nach der Gleichung



einwirkt und also das reziproke des ursprünglichen Salzpaares entsteht. Dieser Punkt ist jedoch nicht experimentell realisiert worden<sup>1)</sup>.

**Umwandlungsintervall.** — Wenn ein Doppelsalz beim Umwandlungspunkt mit Wasser in Berührung gebracht wird, so erleidet es, wie wir gelernt haben (S. 174), eine partielle Zersetzung unter Abscheidung eines der beiden einfachen Salze, und erst, wenn ein gewisses Temperaturintervall, das Umwandlungsintervall, durchlaufen ist, kann eine reine gesättigte Lösung erhalten werden. Ein ähnliches Verhalten zeigen auch die reziproken Salzpaare. Wenn eins der Salzpaare beim Umwandlungspunkt mit Wasser in Berührung gebracht wird, so wirken die Salze aufeinander ein und eins der Salze des andern reziproken Salzpaares wird abgeschieden. Dies findet innerhalb eines gewissen Temperaturintervalls statt, und erst, wenn dies durchlaufen ist, ist es möglich, eine nur für das eine Salzpaar gesättigte Lösung darzustellen. Bei Ammoniumchlorid und Natriumnitrat ist die untere Grenze des Umwandlungsintervalls 5,5°. Oberhalb dieser Temperatur und bis zum (unbekannten) Umwandlungspunkt entsteht daher aus Ammoniumchlorid und Natriumnitrat in Berührung mit Wasser durch doppelte Zersetzung ein drittes festes Salz, und zwar Natriumchlorid<sup>2)</sup>.

**Graphische Darstellung.** — Für die graphische Darstellung von Systemen aus vier Komponenten können vier Achsen gewählt werden, die sich in einem Punkt wie die Kanten eines regelmäßigen Oktaeders (Fig. 122) schneiden<sup>3)</sup>. Auf diesen verschiedenen Achsen werden die Mengen der verschiedenen Salze in Äquivalenten oder Gramm-Molekülen gemessen.

Um ein System darzustellen, welches aus  $x$  Äquivalenten des Salzes  $B$ ,  $y$  Äquivalenten des Salzes  $C$  und  $z$  Äquivalenten des Salzes  $D$  in einer gegebenen Menge Wasser besteht (wenn  $B$ ,  $C$  und  $D$  drei von den vier reziproken Salzen bedeuten), mißt man auf  $OB$  und  $OC$  Längen ab, die beziehungsweise gleich  $x$  und  $y$  sind. Der Durchschnittspunkt  $a$  (Fig. 122) dieser zu  $OC$  und  $OB$  parallelen Ordinaten repräsentiert eine Lösung, die  $x$  Äquivalente  $B$  und  $y$  Äquivalente  $C$  enthält ( $ab = x$ ;  $ac = y$ ). Von  $a$  wird eine Linie  $aP$  parallel zu  $OD$  und gleich  $z$  gezogen.  $P$  repräsentiert dann die Lösung von der genannten Zusammensetzung.

Es ist jedoch gebräuchlich, nicht die dreidimensionale Figur, sondern ihre Horizontalprojektion und Vertikalprojektion zu benutzen. Wenn Fig. 122 auf die

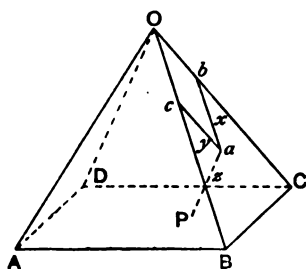


Fig. 122.

<sup>1)</sup> Siehe MEYERHOFFER, Zeitschr. phys. Chem. 1899, 28, 459.

<sup>2)</sup> Vgl. die reziproken Salzpaare  $\text{NaCl} + \text{NH}_4\text{HCO}_3$  (S. 203). In diesem Falle wurde das obere Ende des Umwandlungsintervalls durch Extrapolation der Löslichkeitskurve für  $\text{NaHCO}_3 + \text{NH}_4\text{Cl} + \text{NH}_4\text{HCO}_3$  und  $\text{NaHCO}_3 + \text{NH}_4\text{Cl} + \text{NaCl}$  bei 32° gefunden (FREDOTIEFF, Zeitschr. phys. Chem. 1904, 40, 179).

<sup>3)</sup> LÖWENHERZ, Zeitschr. phys. Chem. 1894, 13, 464.

Basis des Oktaeders projiziert wird, so entsteht ein Diagramm wie Fig. 123. Die Projektion der Kanten des Oktaeders bilden zwei sich rechtwinklig schneidende Achsen und erzeugen vier Quadranten ähnlich wie diejenigen, die zur Darstellung von ternären Lösungen dienen (S. 171). Hier bedeutet der Punkt  $a$  eine ternäre Lösung, die in bezug auf  $B$  und  $C$  gesättigt ist, und  $aP$  quaternäre Lösungen im Gleichgewicht mit denselben beiden Salzen als festen Phasen. Ein solches Diagramm repräsentiert die Gleichgewichtsbedingungen nur für eine bestimmte Temperatur und entspricht daher den isothermischen Diagrammen für ternäre Systeme (S. 171). In einem solchen Diagramm für vier Komponenten repräsentiert eine Fläche, weil Temperatur und Druck konstant sind (offene Gefäße), eine Lösung im Gleichgewicht mit nur einer festen Phase, eine Linie eine Lösung im Gleichgewicht mit zwei festen Phasen und ein Punkt eine Lösung im Gleichgewicht mit drei festen Phasen.

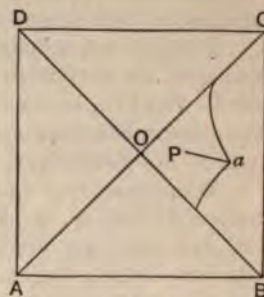


Fig. 123.

**Beispiel.** — Als Beispiel des vollständigen isothermischen Diagramms mag dasjenige für das Gleichgewicht in dem Systeme dienen, welches aus Wasser und dem reziproken Salzpaare Natriumsulfat-Kaliumchlorid bei  $0^\circ$  (Fig. 124) gebildet wird<sup>1)</sup>. Die Mengen der verschiedenen Salze sind auf den vier Achsen gemessen, und die Zusammensetzung der Lösung ist in äquivalenten Gramm-Molekülen auf 1000 Gramm-Moleküle Wasser ausgedrückt<sup>2)</sup>.

Der Umriss der Figur repräsentiert vier ternäre Lösungen, in denen die betreffenden Salze einen gemeinsamen sauren oder basischen Bestandteil haben, nämlich Natriumchlorid-Natriumsulfat, Natriumsulfat-Kaliumsulfat, Kaliumsulfat-Kaliumchlorid, Kaliumchlorid-Natriumchlorid. Diese vier Paare von Kurven sind daher denjenigen ähnlich, welche im vorigen Kapitel diskutiert worden

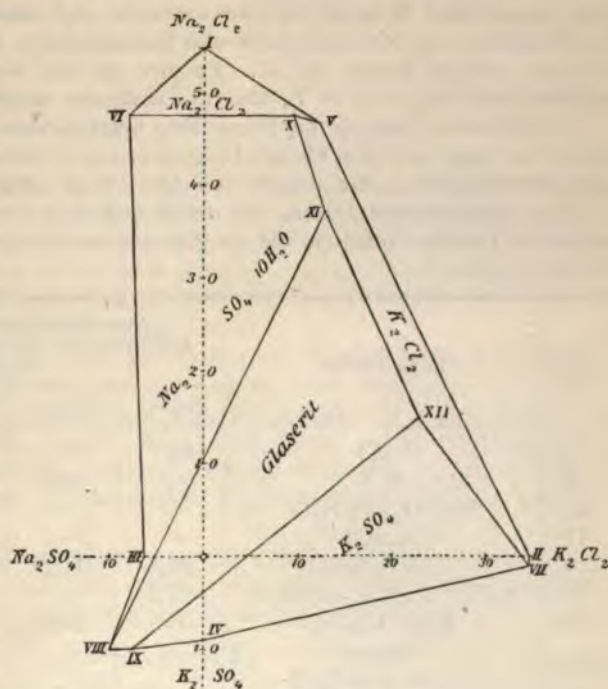


Fig. 124.

sind. Im Falle von Natriumsulfat und Kaliumsulfat entsteht ein Doppelsalz, Glauberit,  $K_2Na(SO_4)_2$ . Ob der Glauberit wirklich eine bestimmte Verbindung ist oder nicht, ist immer noch etwas zweifelhaft, da man isomorphe Mischungen von  $Na_2SO_4$

<sup>1)</sup> MEYERHOFFER u. SAUNDERS, Zeitschr. phys. Chem. 1899, 28, 479.

<sup>2)</sup> Da die Mengen der Salze in äquivalenten Anzahlen von Gramm-Molekülen ausgedrückt werden sollen, so muß das Molekül von Natriumchlorid und Kaliumchlorid verdoppelt werden, damit es dem Natriumsulfat und dem Kaliumsulfat äquivalent ist.



und  $K_2SO_4$  erhalten hat. Nach VAN'T HOFF und BARSCHALL<sup>1)</sup> ist Glaserit eine isomorphe Mischung; GOSSNER<sup>2)</sup> dagegen nimmt für die Individualität des Glaserits die Formel  $K_3Na(SO_4)_2$  an. Punkt VIII und Punkt IX repräsentieren Lösungen, die in bezug auf Glaserit und Natriumsulfat, beziehungsweise Glaserit und Kaliumsulfat gesättigt sind.

Die Linien, welche von diesen Grenzkurven nach innen gehen, repräsentieren Lösungen, die drei Salze enthalten, aber in Berührung mit nur zwei festen Phasen, und die Punkte, in denen drei Linien zusammentreffen oder in denen drei Felder zusammentreffen, repräsentieren Lösungen im Gleichgewicht mit drei festen Phasen, nämlich mit denjenigen, welche den drei zusammentreffenden Feldern angehören.

Wenn man eine Lösung repräsentieren will, die von den drei Salzen z. B. die Mengen  $51 Na_2Cl_2$ ,  $9,5 K_2Cl_2$ ,  $3,5 K_2SO_4$  enthält, so begegnet man der Schwierigkeit, daß zwei von den Salzen, Natriumchlorid und Kaliumsulfat, auf entgegengesetzten Achsen liegen. Um diese Schwierigkeit zu überwinden, wird die Differenz  $51 - 3,5 = 47,5$  genommen und auf der Achse des Natriumchlorids abgemessen, und die Lösung wird daher durch den Punkt  $47,5 Na_2Cl_2$ ,  $9,5 K_2Cl_2$  repräsentiert. Um daher die Menge des anwesenden Kaliumsulfats aus einem solchen Diagramm zu finden, muß man die Gesamtzahl der Salzmoleküle in der Lösung kennen. Wenn diese bekannt ist, hat man nur nötig, von ihr die Summe der Moleküle von Natriumchlorid und Kaliumchlorid abzuziehen, und das Resultat ist gleich der doppelten Anzahl der Kaliumsulfatmoleküle. So ist in dem angeführten Beispiel die Gesamtzahl der Salzmoleküle 64. Die Anzahl der Moleküle von Natriumchlorid und Kaliumchlorid, wie man sie aus dem Diagramm ablesen würde, ist 57. Folglich ist die doppelte Anzahl der Kaliumsulfatmoleküle  $64 - 57 = 7$ , also die wirkliche Anzahl derselben 3,5.

Eine andere Methode der Darstellung besteht darin, daß man die Mengen von nur zweien der Salze in einem ebenen Diagramm angibt und die Gesamtzahl der Moleküle auf einer vertikalen Achse abmißt. Auf diese Weise erhält man ein räumliches Modell.

Die numerischen Daten, aus denen Fig. 124 konstruiert wurde, sind in der folgenden Tabelle enthalten, die die Zusammensetzung der verschiedenen Lösungen bei 0° angibt<sup>3)</sup>:

| Punkt | Feste Phasen                                    | Zusammensetzung der Lösung<br>in Gramm-Mol. auf 1000 Gramm-Mol.<br>Wasser |           |            |           | Gesamt-<br>zahl der<br>Salzmole-<br>küle |
|-------|---|---|-----------|------------|-----------|--|
|       |   | $Na_2Cl_2$  | $K_2Cl_2$ | $Na_2SO_4$ | $K_2SO_4$ |  |
| I.    | NaCl  | 55  | —         | —          | —         | 55                                       |
| II.   | KCl   | —   | 34,5      | —          | —         | 34,5                                     |
| III.  | $Na_2SO_4 \cdot 10 H_2O$                        | —   | —         | 6          | —         | 6  |
| IV.   | $K_2SO_4$                                       | —   | —         | —          | 9         | 9  |
| V.    | NaCl: KCl                                       | 46,5  | 12,5      | —          | —         | 59                                       |
| VI.   | NaCl: $Na_2SO_4 \cdot 10 H_2O$                  | 47,5  | —         | 8          | —         | 55,5                                     |
| VII.  | KCl: $K_2SO_4$                                  | —   | 34,5      | —          | 1         | 35,5                                     |
| VIII. | { Glaserit<br>$Na_2SO_4 \cdot 10 H_2O$ }        | —   | —         | 10         | 10        | 20                                       |
| IX.   | Glaserit: $K_2SO_4$                             | —   | —         | 7,5        | 10        | 17,5                                     |
| X.    | { $Na_2SO_4 \cdot 10 H_2O$ ; KCl;<br>NaCl }     | 51  | 9,5       | —          | 3,5       | 64                                       |
| XI.   | { $Na_2SO_4 \cdot 10 H_2O$ ; KCl;<br>Glaserit } | 40,5  | 13        | —          | 3,5       | 57                                       |
| XII.  | $K_2SO_4$ ; KCl: Glaserit                       | 18  | 23        | —          | 3         | 44                                       |

<sup>1)</sup> Sitz.-Ber. der kgl. preuß. Akad. der Wiss. 1903, S. 359. VAN'T HOFF: „Zur Bildung der ozeanischen Salzablagerungen“ I, 34 (Braunschweig, 1905).

<sup>2)</sup> Zeitschr. f. Kristallographie 1904, 30, 155.

<sup>3)</sup> MEYERHOFFER u. SAUNDERS, Zeitschr. phys. Chem. 1899, 28, 479.

In diesem Diagramm sind die Bedingungen, unter denen die Salze existieren können, ohne weiteres zu entnehmen. So ist z. B. aus Fig. 124 zu sehen, daß bei 0° Glaubersalz und Kaliumchlorid zusammen als „Bodenlösung“ existieren können, nämlich in Berührung mit Lösungen, die die Zusammensetzung X—XI besitzen. Diese Temperatur muß daher unter dem Umwandlungspunkt dieses Salzpaars liegen (S. 199). Wird die Temperatur auf 4,4° erhöht, so bewegt sich die Linie III—XI so, daß der Punkt XI mit dem Punkt X zusammenfällt. Bei 4,4° treffen daher bei 4,4° vier Salze zusammen, nämlich für Glaubersalz, Glaserit und Natriumchlorid. Diese vier Salze können aber nur beim Umwandlungspunkt 4,4° existieren, so daß 4,4° die Umwandlungstemperatur des Salzpaars Glaubersalz—Kaliumchlorid ist. Bei höheren Temperaturen bewegt sich die Linie III—XI noch weiter nach links, so daß für Glaubersalz von dem Kaliumchlorid vollständig getrennt wird. Dies beweist, daß bei Temperaturen oberhalb des Umwandlungspunktes das Salzpaar Glaubersalz—Kaliumchlorid in Gegenwart von Lösung existieren kann.

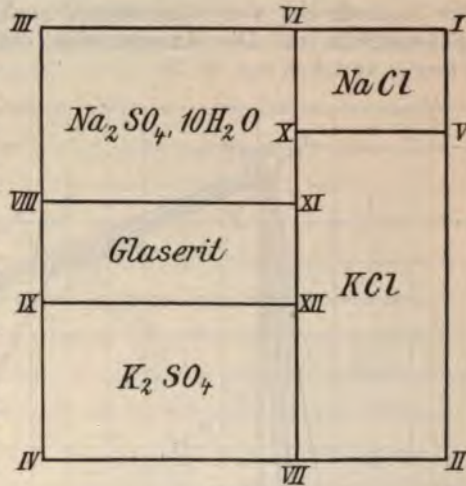
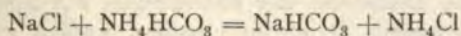


Fig. 125.

Um nur die gegenseitigen Beziehungen der verschiedenen Bestandteile und die Grenzen der Koexistenz (Paragenese) angegeben werden sollen, so kann dieses Diagramm als das in Fig. 124 gegebene benutzt werden. Wenn die Linien von Fig. 124 so gezogen werden, daß sie sich unter rechten Winkeln schneiden, so erhält man eine ähnliche Figur wie 125, in welcher die Linien den in Fig. 124 entsprechenden Punkten entsprechen.

**Ammoniaksodaprozeß.** — Eine der wichtigsten Anwendungen der Phasendiagramme von vier Komponenten mit reziproken Salzpaaren ist neuerdings (P. FEDOTIEFF<sup>1)</sup>) in seinen Untersuchungen über die Bedingungen der Gewinnung von Natriumkarbonat durch den sogenannten Ammoniaksodaprozeß (s. Verfahren) gemacht worden<sup>2)</sup>. Dieses Verfahren besteht bekanntlich darin, daß man in eine mit Ammoniak gesättigte Kochsalzlösung Kohlendioxid einleitet.

Die Verschiedenheiten auch in den Einzelheiten des Prozesses, wie er in verschiedenen Fabriken ausgeführt wird, existieren mögen, die Reaktion, die im ganzen Prozesse zugrunde liegt, ist die durch die Gleichung



beschriebene doppelte Zersetzung. Wir haben es daher hier auch mit reziproken Salzpaaren zu tun, deren Verhalten auf den unmittelbar vorhergehenden Seiten schon besprochen ist. Allein der vorliegende Fall ist insofern einfacher als der Fall des  $\text{Na}_2\text{SO}_4 \cdot 10\text{H}_2\text{O} + \text{KCl}$ , als unter den Versuchsbedingungen keine noch Doppelsalze auftreten. Da das Studium der Reaktion daher von Wert wird, daß Ammoniumbikarbonat in Lösung unter dem Atmo-

<sup>1)</sup> hr. phys. Chem. 1904, 49, 162; Zeitschr. f. angew. Chem. 1904, 17, 1644.

<sup>2)</sup> Anderer technischer Prozeß, bei dem die Phasenregel gute Dienste leistet, ist die Gewinnung der Alkalisalze (G. BODLANDER, Zeitschr. f. Elektrochem. 1905, 11, 186; selbst, 418).

sphärendruck bei Temperaturen über  $15^{\circ}$  eine Zersetzung erleidet, so wurde diese Temperatur gewählt, um die Gleichgewichtsbedingungen eingehend zu studieren. Weil ferner BODLÄNDER<sup>1)</sup> gezeigt hat, daß die Bikarbonate nur dann eine bestimmte Löslichkeit besitzen, wenn der Druck des Kohlendioxyds in der Lösung einen bestimmten Wert hat, so wurden die Messungen der Löslichkeit in Lösungen ausgeführt, die mit dem Gas gesättigt waren. Dieses bildet jedoch keine weitere Komponente, da vorausgesetzt wird, daß die Summe der Partialdrucke von Kohlendioxyd und von Wasserdampf gleich einem Atmosphärendruck ist. Die Konzentration des Kohlendioxyds ist daher nicht unabhängig variabel (vgl. S. 7).

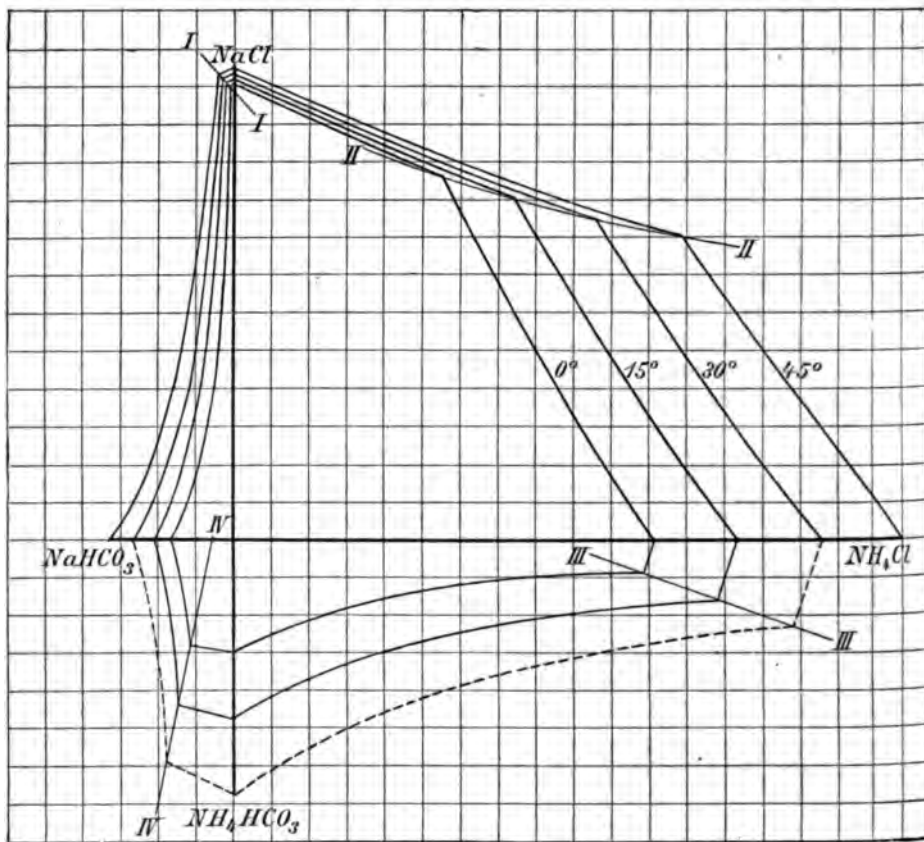


Fig. 126.

Um die für eine Diskussion der Bedingungen der Sodabildung nach dem Ammoniaksodaprozeß nötigen Daten zu erhalten, wurden zunächst Löslichkeitsbestimmungen für die vier Salze  $\text{NaCl}$ ,  $\text{NH}_4\text{Cl}$ ,  $\text{NH}_4\text{HCO}_3$  und  $\text{NaHCO}_3$ , erst einzeln und dann paarweise, ausgeführt. Die erhaltenen Resultate sind graphisch dargestellt in Fig. 126, die ein isothermisches Diagramm ähnlich wie das in Fig. 124 gegebene ist. Die Punkte I, II, III und IV repräsentieren die Zusammensetzung von Lösungen im Gleichgewicht mit je zwei festen Salzen. Wir haben aber auf S. 199 gesehen, daß der Umwandlungspunkt, wenn man unter konstantem Druck (Atmosphärendruck) arbeitet, der Durchschnittspunkt von vier Löslichkeitskurven ist, von denen jede die Zusammensetzung von Lösungen im Gleichgewicht mit je drei festen Salzen repräsentiert, nämlich mit einem von den

<sup>1)</sup> Zeitschr. phys. Chem. 1900, 35, 32.



proben Salzpaaren nebst einem dritten Salz. Da sich nun ergab, daß bei Temperaturen zwischen  $0^\circ$  und  $30^\circ$  das stabile Salzpaar Natriumbikarbonat und Ammoniumchlorid ist, so wurde die Zusammensetzung von Lösungen ermittelt, die mit  $\text{NaHCO}_3 + \text{NH}_4\text{Cl} + \text{NH}_4\text{HCO}_3$  und 2. mit  $\text{NaHCO}_3 + \text{NH}_4\text{Cl} + \text{NaCl}$  als einzigen Phasen im Gleichgewicht sind. Unter den Versuchsbedingungen ( $t = 15^\circ$ ) können festes Natriumchlorid und Ammoniumbikarbonat nicht in Berührung miteinander koexistieren. Diese Bestimmungen gaben dann die zur Konstruktion des isothermischen Diagramms, Fig. 127, erforderlichen Daten. Die wichtigsten numerischen Daten, aus denen diese Figur konstruiert wurde, sind in der folgenden Tabelle gegeben (Temperatur  $15^\circ$ ).

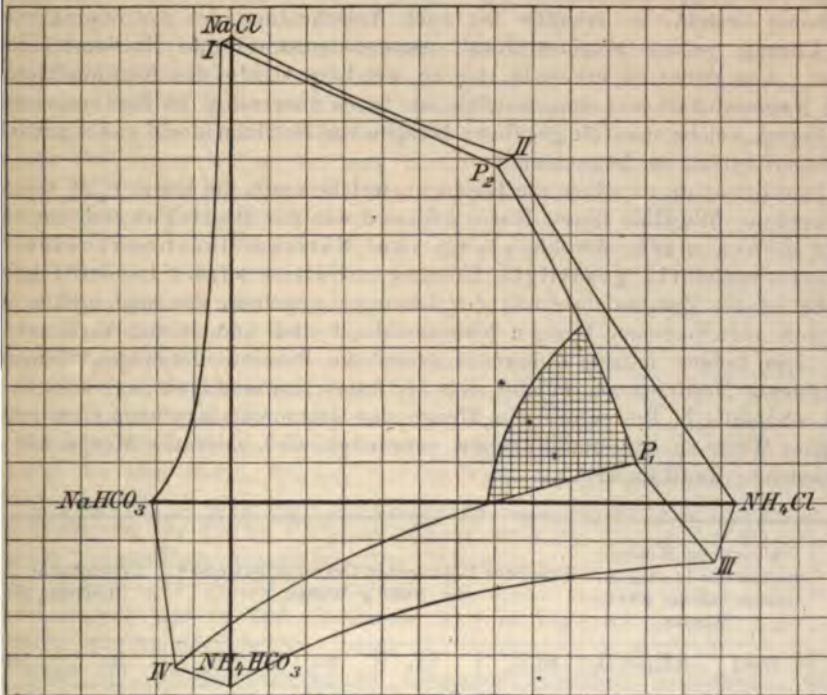


Fig. 127.

| Zust. | Feste Phasen  | Zusammensetzung der Lösung in Gramm-Mol.<br>auf 1000 Gramm Wasser |               |                           |                        |
|-------|---|---|---------------|---------------------------|------------------------|
|       |   | $\text{NaHCO}_3$  | $\text{NaCl}$ | $\text{NH}_4\text{HCO}_3$ | $\text{NH}_4\text{Cl}$ |
| —     | $\text{NaHCO}_3$  | 1,08  | —             | —                         | —                      |
| —     | $\text{NaCl}$   | —   | 6,12          | —                         | —                      |
| —     | $\text{NH}_4\text{HCO}_3$   | —   | —             | 2,36                      | —                      |
| —     | $\text{NH}_4\text{Cl}$  | —   | —             | —                         | 6,64                   |
| I.    | $\text{NaHCO}_3; \text{NaCl}$   | 0,12  | 6,06          | —                         | —                      |
| L.    | $\text{NaCl}; \text{NH}_4\text{Cl}$   | —   | 4,55          | —                         | 3,72                   |
| L.    | $\text{NH}_4\text{Cl}; \text{NH}_4\text{HCO}_3$   | —   | —             | 0,81                      | 6,40                   |
| 7.    | $\text{NaHCO}_3; \text{NH}_4\text{HCO}_3$   | 0,71  | —             | 2,16                      | —                      |
| 1     | $\left. \begin{array}{l} \text{NaHCO}_3; \text{NH}_4\text{HCO}_3; \\ \text{NH}_4\text{Cl} \end{array} \right\}$ | 0,93  | 0,51          | —                         | 6,28                   |
| 2     | $\left. \begin{array}{l} \text{NaHCO}_3; \text{NaCl}; \\ \text{NH}_4\text{Cl} \end{array} \right\}$             | 0,18  | 4,44          | —                         | 3,73                   |

Was die durch  $P_1$  repräsentierte Lösung betrifft, so mag bemerkt werden, daß sie eine inkongruent gesättigte Lösung ist (S. 175). Beim isothermischen Eindampfen derselben in Berührung mit den festen Phasen vermindert sich die Menge des festen Ammoniumbikarbonates. Wenn Natriumchlorid zu dieser Lösung hinzugefügt wird, so ändert sich die Zusammensetzung der Lösung, und wenn eine hinreichende Menge Salz hinzugefügt wird, so erhält man die Lösung  $P_2$ .

Indem wir uns jetzt der praktischen Anwendung der so erhaltenen Daten zuwenden, wollen wir zunächst untersuchen, welchen Einfluß die Konzentration auf die Ausbeute an Soda ausübt. Da die Reaktion im wesentlichen in einer sogenannten doppelten Umsetzung zwischen Natriumchlorid und Ammoniumbikarbonat besteht, so erhalten wir nach Ausscheidung des Natriumbikarbonats eine Lösung, welche Natriumchlorid, Ammoniumchlorid und Natriumbikarbonat enthält. Um daher zu ermitteln, bis zu welchem Grade das Natriumchlorid in festes Natriumbikarbonat umgewandelt ist, ist es notwendig, die Zusammensetzung der Lösung, welche man für gegebene Mengen von Natriumchlorid und Ammoniumbikarbonat erhält, zu betrachten.

Man betrachte vor allem die Lösungen, welche durch die Kurve  $P_2P_1$  repräsentiert werden. Mit Hilfe dieser Kurve können wir die Bedingungen angeben, unter denen nach Abscheidung von Natriumbikarbonat eine mit Ammoniumchlorid gesättigte Lösung erhalten wird. In der folgenden Tabelle ist die Zusammensetzung der Lösungen gegeben, die man erhält, wenn man von verschiedenen Mengen Natriumchlorid und Ammoniumbikarbonat ausgeht. Die beiden letzten Spalten geben die Prozente derjenigen Menge des verwendeten Natriums an, welche sich als festes Natriumbikarbonat ausscheiden, sowie, ebenfalls in Prozenten, die Menge des Ammoniumbikarbonats, welche in nutzbarer Weise in Natriumbikarbonat verwandelt wird, oder die Menge des ausgeschiedenen Radikals  $\text{HCO}_3$ .

|       | Anfängliche Konzentration der Lösungen:<br>Gramm Salz auf 1000 g Wasser |                           | Erhaltene Lösungen in Grammäquivalenten<br>für 1000 g Wasser |      |      |               | Prozentische Ausnützung für |               |
|-------|---|---------------------------|--|------|------|---------------|-----------------------------|---------------|
|       | NaCl  | $\text{NH}_4\text{HCO}_3$ | $\text{HCO}_3$   | Cl   | Na   | $\text{NH}_4$ | Na                          | $\text{NH}_4$ |
| $P_2$ | 479   | 295                       | 0,18   | 8,17 | 4,62 | 3,73          | 43,4                        | 95,1          |
| —     | 448   | 360                       | 0,31   | 7,65 | 3,39 | 4,56          | 55,7                        | 93,4          |
| —     | 417   | 431                       | 0,51   | 7,13 | 2,19 | 5,45          | 69,2                        | 90,5          |
| $P_1$ | 397   | 496                       | 0,92   | 6,79 | 1,44 | 6,28          | 78,8                        | 85,1          |

Je größer der Überschuß von Natriumchlorid ist, desto größer ist, wie aus dieser Tabelle zu ersehen ist, die prozentische Ausnützung des Ammoniaks (Punkt  $P_2$ ), und je mehr die Menge des Natriumchlorids abnimmt, desto mehr nimmt die Menge des in Bikarbonat verwandelten Natriumchlorids zu, dagegen nimmt die Ausnützung des Ammoniumbikarbonats ab, d. h. im letzteren Falle wird weniger Natriumbikarbonat ausgeschieden oder es bleibt mehr von demselben in der Lösung.

Man betrachte jetzt in derselben Weise die Bedingungen, welche wir für Lösungen erhalten, die durch die Kurve  $P_1$  IV dargestellt werden, welche die Zusammensetzung von Lösungen angibt, die gleichzeitig in bezug auf Natriumbikarbonat und Ammoniumbikarbonat gesättigt sind. In diesem Falle erhalten wir die folgenden Resultate:

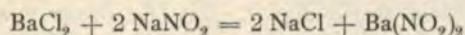


| Anfängliche Konzentration der Lösungen:<br>Gramm Salz in 1000 g Wasser |                                  | Erhaltene Lösungen in Grammäquivalenten<br>für 1000 g Wasser |      |      |                 | Prozentische Ausnützung für |                 |
|--|----------------------------------|--|------|------|-----------------|-----------------------------|-----------------|
| NaCl   | NH <sub>4</sub> HCO <sub>3</sub> | HCO <sub>3</sub>   | Cl   | Na   | NH <sub>4</sub> | Na                          | NH <sub>4</sub> |
| 397  | 496                              | 0,92   | 6,79 | 1,44 | 6,28            | 78,8                        | 85,1            |
| 351  | 446                              | 0,99   | 6,00 | 1,34 | 5,65            | 77,7                        | 82,5            |
| 316  | 412                              | 1,07   | 5,41 | 1,27 | 5,21            | 76,4                        | 79,5            |
| 294  | 389                              | 1,12   | 5,03 | 1,23 | 4,92            | 75,5                        | 75,1            |
| 234  | 327                              | 1,30   | 4,00 | 1,16 | 4,14            | 71,0                        | 68,6            |

Wie aus dieser Tabelle hervorgeht, übt die Verminderung der relativen des Natriumchlorids nur einen geringen Einfluß auf die Ausnützung dieses aus, dagegen ist sie von einer schnellen Abnahme in der nutzbaren Umwandlung des Ammoniumkarbonats begleitet. Was die Nutzbarmachung des Salzes betrifft, so sehen wir, daß sie ihr Maximum beim Punkt  $P_1$  erreicht, ab dann sie sowohl mit Zunahme als auch mit Abnahme der relativen Menge verwendeten Natriumchlorids abnimmt, und zwar im ersteren Falle schneller als im letzteren. Die Nutzbarmachung des Ammoniumbikarbonats andererseits erreicht ihr Maximum beim Punkt  $P_2$  und nimmt ab, wenn die relative Menge verwendeten Ammoniumbikarbonats zunimmt. Da nun Natriumchlorid im Vergleich mit Ammoniak — selbst wenn dieses regeneriert wird — ein billigeres Material ist, so ist es offenbar vorteilhafter, mit Lösungen zu operieren, die reich an Natriumchlorid sind (Lösungen, die durch die Kurve  $P_1P_2$  charakterisiert werden). Diese Tatsache ist auch empirisch festgestellt worden. Wenn wir es, wie in der industriellen Praxis, mit Lösungen zu tun haben, die nicht für zwei Salze, sondern nur für Natriumbikarbonat gesättigt sind, so ist es ein, daß es sich dann um Lösungen handelt, deren Zusammensetzung den Punkten in der Fläche  $P_1P_2I, IV$  dargestellt wird. Da in der Technik eine möglichst vollständige Ausnützung der Materialien erstrebt werden muß, so liegen die in der Praxis verwendeten Lösungen in der Nähe der Kurven  $IV$  liegen, wie es der schraffierte Teil in Fig. 127 angibt. Die besten Lösungen, vom technischen Standpunkt aus betrachtet, werden, wie gesagt, erreicht, wenn die Zusammensetzung der Lösungen derjenigen nahekommt, welche einen Punkt der Kurve  $P_2P_1$  angegeben wird. Vom chemischen Standpunkt aus betrachtet führen nach FEDOTIEFF die Ergebnisse der Versuche zu dem Resultat, daß das SOLVAYSsche Verfahren, d. h. Einleiten von Kohlendioxyd in eine Ammoniak gesättigte Lösung von Natriumchlorid, theoretisch weniger gut als die neuere Methode von SCHLÖSING, welche darin besteht, daß Natriumchlorid und Ammoniumbikarbonat mit Wasser zusammengebracht werden<sup>1)</sup>.

**Darstellung von Bariumnitrit.** — Auch die Darstellung von Bariumnitrit durch doppelte Umsetzung von Bariumchlorid und Natriumnitrit mag hier erwähnt werden<sup>2)</sup>.

Die Reaktion, mit der wir es hier zu tun haben, wird durch die Gleichung



ausgedrückt. Es wurde gefunden, daß bei gewöhnlicher Temperatur NaCl und  $\text{Ba}(\text{NO}_2)_2$  das stabile Salzpaar bilden. Wenn daher Bariumchlorid mit Natrium-

<sup>1)</sup> Auch die Gleichgewichte zwischen Magnesiumkarbonat und Kaliumkarbonat, obwohl kein reziprokes Salzpaar bilden, mögen hier erwähnt werden; F. AUERBACH, Zeitschr. f. anorg. chem. 1904. 10, 161.

<sup>2)</sup> O. N. WITT u. K. LUDWIG, Ber. 1903, 36, 4384; W. MEYERHOFFER, daselbst, 1904, 37, 1116.



nitrit und einer solchen Menge Wasser, die zur vollständigen Lösung nicht hinreicht, zusammengebracht wird, so findet die Umwandlung in das stabilere Salzpaar statt und Natriumchlorid und Bariumnitrit werden ausgeschieden. Wenn sich aber ein stabiles Salzpaar in seinem Umwandlungsintervall befindet (S. 200), so wird, wie wir gesehen haben, noch ein drittes Salz ausgeschieden, und zwar in diesem Falle Bariumchlorid. Wenn wir also Bariumchlorid und Natriumnitrit mit Wasser zusammenbringen, so erhalten wir drei feste Phasen,  $\text{BaCl}_2$ ,  $\text{NaCl}$  und  $\text{Ba}(\text{NO}_2)_2$ . Diese drei festen Phasen bilden zusammen mit Lösung und Dampf ein univariantes System, so daß die Zusammensetzung der Lösung bei jeder Temperatur konstant sein muß.

WITT und LUDWIG fanden, daß die Anwesenheit von festem Bariumchlorid durch einen Überschuß von Natriumnitrit verhindert werden kann, was nach dem vorhergehenden leicht zu erklären ist. Da die Lösung in Gegenwart der drei festen Phasen bei einer bestimmten Temperatur eine bestimmte Zusammensetzung haben muß, so muß die Hinzufügung von Natriumnitrit zu der Lösung die Auflösung einer äquivalenten Menge Bariumchlorid und die Ausscheidung einer äquivalenten Menge Natriumchlorid + Bariumnitrit zur Folge haben. Durch Hinzufügung von Natriumnitrit in hinreichender Menge kann bewirkt werden, daß Bariumchlorid vom Boden verschwindet und nur das stabile Salzpaar, Natriumchlorid und Bariumnitrit, übrig bleibt. Das Verschwinden des Bariumchlorids aus dem Gemische der festen Phasen wird aber, wie MEYERHOFFER hervorhob, nicht durch eine Änderung in der Zusammensetzung der Lösung bewirkt, wobei ein „Aussalzen“ des Bariumchlorids durch Natriumchlorid verhindert wird, sondern im Gegenteil durch die Notwendigkeit, daß die Zusammensetzung der Lösung konstant bleibt.

**Bariumkarbonat und Kaliumsulfat.** — Diese beiden Salze sind, wie MEYERHOFFER<sup>1)</sup> gefunden hat, die stabilen, und zwar bei gewöhnlichen wie auch bei Schmelztemperaturen. Für die gewöhnlichen Temperaturen wies er dies wie folgt nach: eine Lösung mit den Bodenkörpern  $\text{K}_2\text{SO}_4 + \text{K}_2\text{CO}_3 \cdot 2\text{H}_2\text{O}$  im Überschuß kann nur entweder mit  $\text{BaCO}_3$  oder  $\text{BaSO}_4$  in Berührung bleiben, da in einer der beiden Gruppen offenbar das stabile System vorhanden sein muß. Es wurden nun zwei Lösungen, beide mit Überschuß von  $\text{K}_2\text{SO}_4 + \text{K}_2\text{CO}_3 \cdot 2\text{H}_2\text{O}$  hergestellt, die eine mit  $\text{BaCO}_3$ , die andere mit  $\text{BaSO}_4$  versetzt, worauf nach einigen Tagen Rührens das  $\text{BaSO}_4$  vollständig in  $\text{BaCO}_3$  umgewandelt war, während das  $\text{BaCO}_3$  ganz unverändert blieb. Somit ist  $\text{BaCO}_3 + \text{K}_2\text{SO}_4 + \text{K}_2\text{CO}_3 \cdot 2\text{H}_2\text{O}$  stabil und daher auch  $\text{BaCO}_3 + \text{K}_2\text{SO}_4$ . Daß auch bei den Schmelztemperaturen  $\text{BaCO}_3 + \text{K}_2\text{SO}_4$  das stabile System ist, wurde durch eine eigene analytische Methode nachgewiesen, die gestattet,  $\text{K}_2\text{CO}_3$  in einem Gemenge der vier festen Salze nachzuweisen. Diese Analyse zeigte nämlich, daß  $\text{BaCO}_3 + \text{K}_2\text{SO}_4$  nach dem Schmelzen und Erstarren nur kleine Mengen von  $\text{K}_2\text{CO}_3$  enthält, was lediglich darauf zurückzuführen ist, daß  $\text{BaCO}_3 + \text{K}_2\text{SO}_4$  beim Schmelzen ein wenig  $\text{BaSO}_4$  abscheiden, wobei sich natürlich auch eine äquivalente Menge von  $\text{K}_2\text{CO}_3$  abscheidet.

Fig. 128 gibt alle in Betracht kommenden Löslichkeiten bei 25° wieder.

Bei diesem Diagramm ist die Löslichkeit der beiden Ba-Salze vernachlässigt. A ist die Löslichkeit von  $\text{K}_2\text{CO}_3 \cdot 2\text{H}_2\text{O}$ . Zusatz von  $\text{BaCO}_3$  ändert dieselbe nicht. B ist die Löslichkeit von  $\text{K}_2\text{CO}_3 \cdot 2\text{H}_2\text{O} + \text{K}_2\text{SO}_4 + \text{BaCO}_3$ . A und B fallen fast zusammen, da das  $\text{K}_2\text{SO}_4$  in der konzentrierten  $\text{K}_2\text{CO}_3$ -Lösung sehr wenig löslich ist. D gibt die Konzentration von  $\text{K}_2\text{SO}_4 + \text{BaSO}_4$ . Der interessanteste Punkt ist C. Man erhält diese Lösung, wenn man  $\text{BaCO}_3 + \text{K}_2\text{SO}_4$  mit wenig Wasser versetzt, worauf sich, da ein Umwandlungsintervall (S. 200) vorliegt,  $\text{BaSO}_4$

<sup>1)</sup> W. MEYERHOFFER, Zeitschr. f. phys. Chem. 1905, 53, 513; vgl. auch daselbst 1903, 38, 307.

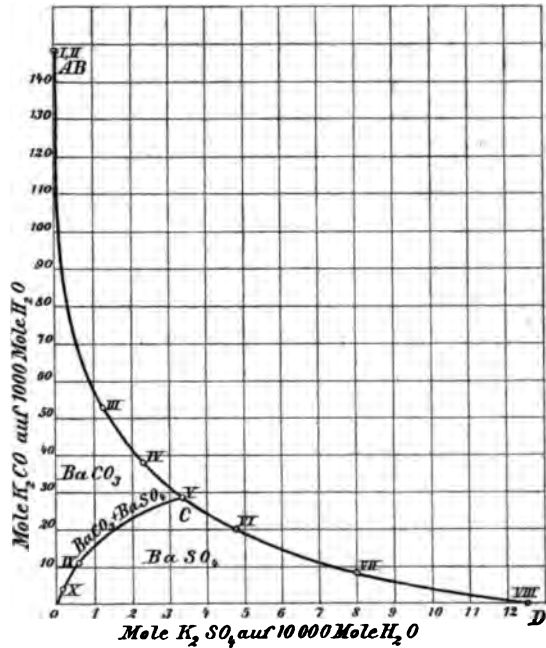
scheidet und eine äquivalente Menge  $K_2CO_3$  in Lösung geht.  $C$  ist der Endpunkt für die Kurve  $CO$ , welche die GULDBERG-WAAGESche Kurve genannt wird, die diese beiden Autoren bei ihren Untersuchungen verschiedene Punkte auf derselben bestimmt haben. Sie ist für die beiden Bodenkörper  $CO_3$  und  $BaSO_4$ .

Bei ihren Versuchen fanden GULDBERG und WAAGE das Verhältnis  $\frac{K_2CO_3}{K_2SO_4}$  in der Lösung

Konst. = 4. Dies Ergebnis jedoch nicht genau, die Kurve ist keine gerade, bei der der Quotient konstant wäre, sondern sie ist gegen die Abszissenachse konkav, und zwar in niedrigeren Temperaturen stärker als bei höheren.

Folgende Tabelle gilt für 100°. Die in der ersten Kolonne stehenden römischen Zahlen beziehen sich auf die Punkte der Fig. 128. In der zweiten Kolonne stehen die Bodenkörper, in der dritten die  $\Sigma k_2$ , d. h. die Menge von  $(K_2CO_3 + K_2SO_4)$  in Molen, die in 1000 Molen  $H_2O$  enthalten sind, in der letzten das Verhältnis  $\frac{K_2CO_3}{K_2SO_4}$ . Ebenso er-

läßt die Festlegung der GULDBERG-WAAGESchen Kurve für 100°, daß auch da der Quotient  $\frac{K_2CO_3}{K_2SO_4}$  keine Konstante ist, auch wenn er nicht so variierte wie bei 25°.



(Der größeren Deutlichkeit halber ist die Abszisse zehnmal größer gemacht als die Ordinate.)

Fig. 128.

### Zusammenstellung der Löslichkeitsbestimmungen bei 25°.

| Bodenkörper                            | 100 g der Lösung<br>enthalten |             | 1000 Mole $H_2O$<br>enthalten |               | $\Sigma k_2$ | $\frac{K_2CO_3}{K_2SO_4}$ |
|--|-------------------------------|-------------|-------------------------------|---------------|--------------|---------------------------|
|  | g $K_2CO_3$                   | g $K_2SO_4$ | Mol $K_2CO_3$                 | Mol $K_2SO_4$ |              |                           |
| $K_2CO_3 \cdot 2aq + BaCO_3$           | 53,2                          | —           | 147,9                         | —             | —            | —                         |
| $K_2CO_3 \cdot 2aq + K_2SO_4 + BaCO_3$ | 53,0                          | 0,023       | 147,8                         | 0,051         | —            | —                         |
| $K_2SO_4 + BaCO_3$                     | 28,5                          | 0,886       | 52,58                         | 1,296         | —            | —                         |
|  | 22,1                          | 1,72        | 37,79                         | 2,333         | —            | —                         |
| $BaCO_3 + K_2SO_4 + BaSO_4$            | 17,81                         | 2,485       | 29,11                         | 3,220         | 32,32        | 9,03                      |
| $K_2SO_4 + BaSO_4$                     | 12,6                          | 3,92        | 19,66                         | 4,853         | —            | —                         |
|  | 5,85                          | 6,76        | 8,724                         | 7,995         | —            | —                         |
| $K_2SO_4 + BaSO_4$                     | —                             | 10,76       | —                             | 12,47         | —            | —                         |
| $BaCO_3 + BaSO_4$                      | 7,35                          | 0,602       | 10,43                         | 0,676         | 11,11        | 15                        |
|  | 2,85                          | 0,173       | 3,828                         | 0,184         | 4,0          | 21                        |

## G. W.sche Kurve bei 100°.

| Bodenkörper  | 1000 Mole H <sub>2</sub> O<br>enthalten |                                    | $\Sigma k_2$ | $\frac{K_2CO_3}{K_2SO_4}$ |
|--|---|------------------------------------|--------------|---------------------------|
|  | Mol K <sub>2</sub> CO <sub>3</sub>      | Mol K <sub>2</sub> SO <sub>4</sub> |              |                           |
| BaCO <sub>3</sub> + K <sub>2</sub> SO <sub>4</sub> + BaSO <sub>4</sub> | 23,0                                    | 12,65                              | 35,65        | 1,82                      |
| BaCO <sub>3</sub> + BaSO <sub>4</sub>                                  | 6,28                                    | 2,02                               | 8,3          | 3,1                       |
| „ „  | 3,17                                    | 0,851                              | 4,025        | 3,7                       |



## Anhang.

### Experimentelle Bestimmung des Umwandlungspunktes.

Zur Bestimmung des Umwandlungspunktes sind zahlreiche Methoden angewandt worden, und die wichtigsten derselben sollen hier kurz beschrieben werden. Zuweilen ist es möglich, in einem bestimmten Falle mehrere Methoden anzuwenden, aber es ist nicht immer eine so brauchbar wie die andere, und die nach verschiedenen Methoden ermittelten Werte für den Umwandlungspunkt sind nicht immer ganz identisch. Ja, die verschiedenen Werte können infolge der Versuchsfehler um mehrere Grade voneinander abweichen<sup>1)</sup>. Man muß daher darauf bedacht sein, für jeden Fall die geeignetste Methode zu wählen.

**I. Die dilatometrische Methode.** — Da in den meisten Fällen die Umwandlung beim Umwandlungspunkt von einer merklichen Volumänderung begleitet ist, hat man nur die Temperatur zu ermitteln, bei welcher diese Volumänderung eintritt, um den Umwandlungspunkt zu bestimmen. Zu diesem Zwecke dient das Dilatometer, ein Apparat, der aus einem kugelförmigen oder zylindrischen Gefäß nebst einer angeschmolzenen Kapillarröhre besteht und eine Art langes Thermometer bildet (Fig. 129). Etwas von der zu untersuchenden Substanz wird durch die Röhre *B* in das Gefäß *A* gebracht und die Röhre wird dann zugeschmolzen. Der Rest des Gefäßes und ein kleiner Teil der Kapillarröhre wird dann mit einer Flüssigkeit gefüllt, die auf die zu untersuchende Substanz keine chemische Wirkung ausübt. Dagegen kann eine Flüssigkeit verwendet werden, welche die Substanz löst, da, wie wir gesehen haben (S. 44), die Umwandlung beim Umwandlungspunkt in der Regel durch die Anwesenheit eines Lösungsmittels beschleunigt wird. Anderseits darf sich die Flüssigkeit nicht in der zu untersuchenden Substanz lösen, da hierdurch die Umwandlungstemperatur eine Änderung erleiden würde.

Beim Gebrauch des Dilatometers können zwei verschiedene Methoden befolgt werden. Nach der ersten Methode wird das Dilatometer, welches die bei niedrigeren Temperaturen stabile Form enthält, in einem Thermostaten auf konstanter Temperatur gehalten, bis es die Temperatur des Bades angenommen hat. Dann wird die Höhe des Meniskus an einer Millimeterteilung abgelesen. Die Temperatur des Thermostaten wird dann Grad für Grad erhöht und die Höhe des Meniskus für jeden Grad festgestellt. Wenn nun in dem festen Körper keine Veränderung stattfindet, so ist die Ausdehnung so gut wie gleichförmig oder das Ansteigen des Meniskus ist bei den verschiedenen Temperaturen für jeden Grad fast dasselbe, wie es in Fig. 130 durch die Linie *AB* schematisch dargestellt wird. Beim Passieren des Umwandlungspunktes wird sich jedoch eine mehr oder weniger plötzliche Zunahme in dem Steigen des Meniskus per Grad (Linie *BC*) bemerkbar machen, wenn das spezifische Volum der bei höheren Temperaturen stabilen Form größer



Fig. 129.

<sup>1)</sup> Siehe SCHWARZ, Beiträge zur Kenntnis der umkehrbaren Umwandlungen polymorpher Körper (Göttingen, 1892); oder ROOZEBOOM, Heterogene Gleichgewichte, I. S. 125.

Sodann wird die Ausdehnung  
 Ebenfalls wird beim Abkühlen die Kontrak-  
 tion zunächst gleichförmig sein, beim Um-  
 wandlungspunkt aber wird eine verhältnis-  
 mäßig starke Volumverminderung stattfinden.

Wenn nun die Umwandlung immer un-  
 mittelbar nach Erreichung des Umwandlungs-  
 punktes eintritt, so würde in der Tat die  
 obige Ausdehnung und Kontraktion bei  
 derselben Temperatur stattfinden. Es findet  
 jedoch in der Regel eine Verzögerung statt.  
 Bei steigender Temperatur tritt die relativ  
 starke Ausdehnung erst ein, wenn eine Tem-  
 peratur erreicht ist, die etwas höher als der  
 Umwandlungspunkt liegt, und bei sinkender  
 Temperatur tritt die Kontraktion bei einer  
 Temperatur ein, die etwas tiefer als der Um-

Wird nun Fig. 130 durch die Linien *BC* und *EF* aus-  
 gezeichnet, so ändert sich von Fall zu Fall und hängt  
 davon ab, während der das Dilatometer auf konstanter

Kapillare dienen, die bei Bestimmung des Um-  
 wandlungspunktes bei welchem Natriumsulfat und Magnesium-  
 sulfat. Das Dilatometer war mit einem Gemisch

Steigen für 1°

|     |    |
|-----|----|
| 134 |    |
| 141 | 7  |
| 148 | 7  |
| 154 | 6  |
| 161 | 7  |
| 168 | 7  |
| 241 | 73 |
| 243 | 2  |
| 251 | 8  |
| 259 | 8  |

so ungefähr bei 21,6° (S. 168).

Es ist darauf, daß oberhalb und unterhalb des Um-  
 wandlungspunktes eine Form in die andere stattfinden kann.  
 Da die beiden Formen keine Umwandlung er-  
 zeugen, wird daher mit einem Gemisch der stabilen  
 Formen in einer geeigneten Flüssigkeit beschickt und dann  
 in einer Temperatur eingetaucht. Nachdem es die Tempe-  
 ratur erreicht hat, wird von Zeit zu Zeit die Höhe des Meniskus  
 abgelesen. Wenn eine Ausdehnung oder Kontraktion stattfindet,  
 so wird die Temperatur des Thermostaten so  
 verändert, bis erreicht wird, bei der eine allmähliche Kon-  
 traktion eintritt. Der Umwandlungspunkt muß dann zwischen diesen beiden

Temperaturen liegen, und durch Wiederholung der Bestimmungen ist es möglich, den Unterschied der beiden Temperaturen, bei denen Ausdehnung und Kontraktion stattfindet, auf etwa  $1^{\circ}$  zu reduzieren, also die Temperatur des Umwandlungspunktes auf einen halben Grad genau zu ermitteln. Nach dieser Methode wurde z. B. gefunden, daß der Umwandlungspunkt des Schwefels unter einem Druck von 4 Atm. bei  $95,6$  liegt<sup>1)</sup>. REICHER benutzte ein Gemisch von 1 Teil Schwefelkohlenstoff (als Lösungsmittel für Schwefel) und 5 Teile Terpentin als Meßflüssigkeit. Die Zahlen, welche sich bei diesen Versuchen ergaben, sind die folgenden:

Temperatur  $95,1^{\circ}$ .

| Zeit in Minuten | Niveau der Flüssigkeit |
|-----------------|------------------------|
| 5               | 343,5                  |
| 30              | 340,5                  |
| 55              | 335,75                 |
| 65              | 333                    |

Temperatur  $96,1^{\circ}$ .

| Zeit in Minuten | Niveau der Flüssigkeit |
|-----------------|------------------------|
| 5               | 342,75                 |
| 30              | 354,75                 |
| 55              | 360,5                  |
| 60              | 361,5                  |

Temperatur  $95,6^{\circ}$ .

| Zeit in Minuten | Niveau der Flüssigkeit |
|-----------------|------------------------|
| 5               | 368,75                 |
| 100             | 368                    |
| 110             | 368,75                 |

Bei einer Temperatur von  $95,1^{\circ}$  findet Kontraktion statt, d. h. der monokline Schwefel geht in rhombischen Schwefel über, indem das spezifische Volum des ersteren größer ist als das des letzteren. Bei  $96,1^{\circ}$  dagegen findet Ausdehnung statt, was beweist, daß bei dieser Temperatur der rhombische Schwefel in den monoklinen übergeht. Bei  $95,6^{\circ}$  findet weder Ausdehnung noch Kontraktion statt. Dies ist daher die Umwandlungstemperatur, und da das Dilatometer zugeschmolzen war, um Verdampfung der Flüssigkeit zu verhindern, so konnte der Druck in demselben dabei gleich vier Atmosphären gemacht werden.

**II. Messung des Dampfdruckes.** — Im vorhergehenden haben wir wiederholt gesehen, daß die Dampfdrucke der beiden Systeme, welche eine reziproke Umwandlung erleiden, beim Umwandlungspunkt (genauer beim dreifachen bzw. vielfachen Punkt) identisch werden. Daher kann der letztere dadurch bestimmt werden, daß man die Temperatur ermittelt, bei welcher diese

<sup>1)</sup> REICHER, Zeitschr. f. Kristallogr. 1884, 8, 593.



Gleichheit des Dampfdruckes eintritt. Der Apparat, welcher gewöhnlich zu diesem Zwecke benutzt wird, ist das BREMER-FROWEINSche Tensimeter (S. 56).

Diese Methode ist zwar bis jetzt noch nicht auf Systeme fest-fest-Dampf aus einer Komponente, aber in vielen Fällen auf Systeme angewandt worden, die Wasser oder eine andere flüchtige Komponente enthalten. Ein Beispiel wurde bereits im Glaubersalz gegeben (S. 87).

**III. Löslichkeitsmessungen.** — Die Temperatur des Umwandlungspunktes kann auch durch Löslichkeitsmessungen bestimmt werden, da bei diesem Punkt die Löslichkeit der beiden Systeme identisch wird. Wir haben früher die Anwendung dieser Methode auf Ammoniumnitrat (S. 70), Glaubersalz (S. 84), Astrakanit, Natriumsulfat und Magnesiumsulfat (S. 168) kennen gelernt.

Die Löslichkeitsbestimmungen können in verschiedener Weise ausgeführt werden. Eine der einfachsten Methoden, die auch hinreichend genaue Resultate liefert, wenn die Temperatur nicht zu hoch ist oder wenn das Lösungsmittel nicht sehr flüchtig ist, läßt sich in der folgenden Weise ausführen. Die feste Substanz wird fein gepulvert (um den Lösungsprozeß zu beschleunigen) und zusammen mit einer hinreichenden Menge des Lösungsmittels in eine Glasröhre gebracht, die sorgfältig mit einem Glasstopfen verschlossen wird. Der letztere wird von einer Gummikappe von der Form eines Gummifingerlings umschlossen. Die Röhre wird dann in einem Thermostaten, dessen Temperatur sich nicht mehr als um ein oder zwei Zehntel Grad ändert, in Rotation versetzt, bis Sättigung eingetreten ist. Die Lösung wird mittelst einer Pipette weggenommen, mit der ein Glasröhrchen verbunden ist, welches mit Baumwolle gefüllt ist und als Filter wirkt. Die Lösung wird dann in ein Wägegläschen gebracht und gewogen, und hierauf wird die Menge der darin gelösten Substanz in geeigneter Weise bestimmt.

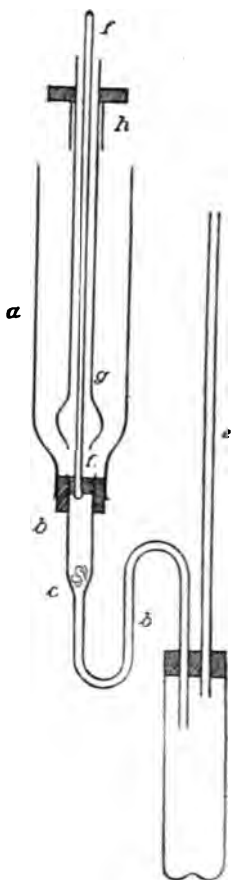


Fig. 131.

Für genauere Löslichkeitsbestimmungen, namentlich wenn das Lösungsmittel bei der Versuchstemperatur sehr flüchtig ist, sind andere Methoden vorzuziehen. In Fig. 131 ist der Apparat abgebildet, der von H. GOLDSCHMIDT<sup>1)</sup> benutzt wird und der in dem Laboratorium von VAN'T HOFF ausgedehnte Anwendung findet. Er besteht im wesentlichen aus drei Teilen, dem Rohr *a*, welches das Lösungsmittel und das Salz enthält und am unteren Ende mit einem Gummistopfen verschlossen ist, der gebogenen Röhre *c* und dem Wägeglas *d*, welches durch *cb* mit *a* verbunden ist. Bei *c* befindet sich als Filter ein Baumwollpfropf. Die Röhre *c* ist unten und oben offen. Der weitere Teil der Röhre *cb*, die durch den Gummistopfen in *a* geht, kann durch einen Stopfen verschlossen werden, der an dem Glasstab *ff* befestigt ist, welcher durch einen hohlen WITTSchen Rührer *g* hindurchgeht. Nachdem der Apparat zusammengesetzt ist, wird er in einen Thermostaten gebracht. Wenn die Lösung gesättigt ist, wird der Stopfen der gebogenen Röhre mittelst des Stabes *ff* gehoben und bei *c* wird eine Saugpumpe angelegt. Die Lösung wird in das Wägeglas *d* gesogen, während das ungelöste Salz durch den Baumwollpfropf bei *c* zurückgehalten wird. Dann wird der Apparat aus dem Thermostaten herausgenommen, das Wägeglas *d* abgenommen und sofort durch einen eingeschliffenen Stopfen

<sup>1)</sup> Zeitschr. phys. Chem. 1895. 17. 153.

hlossen. Dann wird es sorgfältig getrocknet, gewogen und sein Inhalt siert.

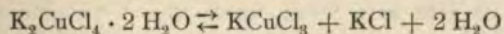
Eine andere Form wurde dem Löslichkeitsgefäß von MEYERHOFFER und SAUNDERS gegeben. Sie ist in Fig. 132<sup>1)</sup> abgebildet. Der Apparat besteht aus einem einzigen Gefäß und das Umrühren wird durch eine Glasröhre bewirkt.

Um zu ermitteln, ob die Lösung gesättigt ist, von Zeit zu Zeit die Dichte der Lösung bis zur Konstanz bestimmt werden. Dies läßt sich sehr leicht durch die in Fig. 133<sup>2)</sup> abgebildete Methode ausführen. Mit dieser Pipette kann nicht nur die Lösung aus dem Gefäß herausgenommen, sondern zugleich auch das Volum derselben ermittelt werden. Sie besteht aus dem weiten Rohr *a*, an dem die graduierte Kapillare *b* angeschmolzen ist, die mit der Kappe *c* verschlossen werden kann. Das untere Ende der Pipette kann das Rohr *e*, das einen Baumwollenpfropf als Filter enthält, eingesetzt werden. Nachdem die Pipette durch Saugen am oberen Ende von *b* gefüllt worden ist, wird der Hahn *d* geschlossen und die Kappe *c* auf die Kapillare gesetzt. Der Apparat kann dann gewogen und das Volum der Lösung mit der Teilung ermittelt werden.

Wie bereits hervorgehoben wurde, muß auf die Charakterisierung der festen Substanz in Berührung mit der Lösung große Sorgfalt verwendet werden.

**IV. Thermometrische Methode.** — Wenn man einer Substanz allmählich und nicht zu schnell Wärme zuführt, so steigt die Temperatur so lange, bis der Schmelzpunkt erreicht ist. Dann bleibt die Temperatur konstant, bis die feste Substanz vollständig in den flüssigen Zustand übergegangen ist. Wenn ebenso eine Substanz, die eine Umwandlung erleiden kann, erhitzt wird, so steigt ebenfalls die Temperatur, bis der Umwandlungspunkt erreicht ist. Dann bleibt sie konstant, bis vollständige Umwandlung stattgefunden hat. Ebenso bleibt die Temperatur beim Abkühlen an diesem Punkte eine Zeit lang konstant.

Diese Methode wurde zuerst von FRANKENHEIM und von HITTORF verwendet und z. B. auch, wie man sich erinnern wird, von RICHARDS bei der Bestimmung des Umwandlungspunktes von Natriumsulfatdekahydrat benutzt (S. 85). Die folgenden Zahlen geben die Resultate, die MEYERHOFFER für die Umwandlung



erhalten. Die Temperatur wurde von Minute zu Minute notiert: 95°, 93°, 91,7°, 92°, 92,3°, 92,4°, 92,2°, 92,2°, 92°, 90,5°, 89° und dann folgte ein schnelles Fallen der Temperatur. Hieraus ist zu ersehen, daß der Umwandlungspunkt ungefähr 92,2° ist. Man erkennt auch, daß infolge einer Untererwärmung der Umwandlung eine geringe Unterkühlung (bis 91,7°) eintrat, daß dann die Temperatur auf den Umwandlungspunkt stieg. Dies ist analog der Unterkühlung einer Flüssigkeit.

Einen ähnlichen Stillstand in der Temperatur würde man beim Übergang von niedrigeren zu höheren Temperaturen beobachten, aber infolge einer Verwärmung in der Umwandlung erhält man nicht immer genau dieselbe Temperatur.

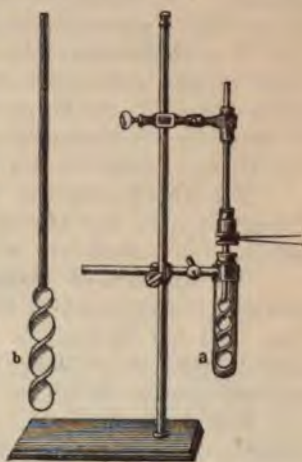


Fig. 132.



Fig. 133.

<sup>1)</sup> Zeitschr. phys. Chem. 1899, 28, 464.

<sup>2)</sup> MEYERHOFFER u. SAUNDERS, a. a. O. S. 466.

**V. Optische Methode.** — Der Umwandlungspunkt läßt sich zuweilen durch Beobachtung der Temperatur bestimmen, bei welcher die Substanz eine sichtbare Veränderung, z. B. eine Änderung der Farbe oder der Kristallform erleidet. So verwandelt sich die gelbe Farbe des Quecksilberjodids beim Passieren des Umwandlungspunktes in Rot, und die blauen quadratischen Kristalle von Kupfercalciumacetat verwandeln sich in grüne rhombische Kristalle von Kupferacetat und weiße Nadeln von Calciumacetat (S. 163). Ferner können Änderungen in der Doppelbrechung von Kristallen benutzt werden, um die Temperatur des Umwandlungspunktes zu bestimmen. Diese Umwandlungen werden am besten vermittelst des Mikroskops beobachtet.

Zur Regulierung der Temperatur der Substanz dient ein kleines kupfernes Luftbad<sup>1)</sup> oder ein kleiner elektrischer Ofen<sup>2)</sup> oder ein mit Heizflamme versehener Objektisch am Mikroskop<sup>3)</sup>.

**VI. Elektrische Methoden.** — Die elektrischen Methoden zur Bestimmung des Umwandlungspunktes stützen sich zum Teil auf Messungen der Leitfähigkeit, zum Teil auf Messungen der elektromotorischen Kraft. Beide Methoden sind in ihrer Anwendung beschränkt, aber da, wo sie anwendbar sind, liefern sie sehr genaue Resultate.

Die erste Methode, welche in einigen Fällen Anwendung gefunden hat, braucht hier nicht beschrieben zu werden. Die zweite Methode dagegen ist von großem Interesse und von großer Wichtigkeit und muß näher beschrieben werden.

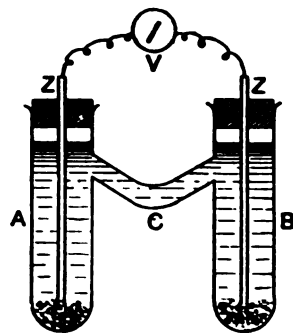


Fig. 134.

Wenn zwei Stücke Zink durch einen leitenden Draht verbunden und in die Lösung eines Zinksalzes, z. B. Zinksulfat, eingetaucht werden, so haben beide Elektroden dasselbe Potential und in dem Verbindungsdraht entsteht kein Strom. Wenn dagegen die Zinkelektroden in zwei Lösungen von verschiedener Konzentration eingetaucht werden, die in getrennten Gefäßen enthalten, aber durch ein gebogenes Rohr verbunden sind, welches mit einer leitenden Lösung gefüllt ist, so sind die Potentiale an den Elektroden nicht mehr gleich und es geht jetzt ein Strom durch den Verbindungsdraht, und zwar geht der Strom in dem Element von der schwächer zu der stärker konzentrierten Lösung.

Je größer der Unterschied in der Konzentration der Lösungen in bezug auf Zinksalz ist, desto größer ist die Potentialdifferenz zwischen den beiden Elektroden oder desto größer ist die elektromotorische Kraft des Elementes. Wenn die Konzentration der beiden Lösungen identisch wird, so wird die elektromotorische Kraft gleich Null und es geht kein Strom durch den Verbindungsdraht.

Wie diese Methode benutzt werden kann, um den Umwandlungspunkt eines Salzes zu bestimmen, wird man verstehen, wenn man bedenkt, daß beim Umwandlungspunkt die Löslichkeit der beiden Formen identisch wird. So konnte z. B. der Umwandlungspunkt von Zinksulfatheptahydrat in Hexahydrat in folgender Weise bestimmt werden. Das Rohr A (Fig. 134) enthält eine gesättigte Lösung des Heptahydrats und etwas festes Salz, das Rohr B eine gesättigte Lösung des Hexahydrats und festes Salz. Das Rohr C ist ein Verbindungsrohr, welches nach unten gebogen ist, um zu verhindern, daß die Lösungen durch Konvek-

<sup>1</sup> Siehe VAN EYK, Zeitschr. phys. Chem. 1899, 30, 446.

<sup>2</sup> C. DOELTER, Zeitschr. f. Elektrochem. 1906, 12, 618; dieses Handb. d. angew. phys. Chem. 2, 130.

<sup>3</sup> H. SIEMENOFF, Zeitschr. f. Elektrochem. 1906, 12, 593; O. LEHMANN, Kristallanalyse, Leipzig 1891, S. 5.



röme vermischt werden. ZZ sind zwei in die Lösung eingetauchte Zink-  
den. Das Element wird in einen Thermostaten gestellt und die Zink-  
den werden mit einem Galvanometer verbunden. Da nun bei Temperaturen  
halb des Umwandlungspunktes die Löslichkeit des Hexahydrats (der meta-  
n Form) größer ist als die Löslichkeit des Heptahydrats, so entsteht ein  
der im Element vom Heptahydrat nach dem Hexahydrat fließt. Wenn  
emperatur gesteigert wird und sich dem Umwandlungspunkt nähert, so  
sich die Löslichkeiten der beiden Hydrate einander und der Strom wird  
schwächer, weil der Unterschied der elektromotorischen Kraft im Element  
wird, und wenn der Umwandlungspunkt erreicht wird, so wird die elektro-  
sche Kraft gleich Null und der Strom hört auf. Wenn die Temperatur  
weiter gesteigert wird, so wird die Löslichkeit des Heptahydrats größer als  
slichkeit des Hexahydrats und es entsteht wieder ein Strom, aber in der  
engesetzten Richtung. Daher läßt sich durch Ermittlung der Temperatur,  
elcher der Strom aufhört, d. h. die elektromotorische Kraft gleich  
wird, die Umwandlungstemperatur bestimmen.

1 dem beschriebenen Falle bestanden die Elektroden aus demselben  
welches in dem Salz enthalten war. In manchen Fällen, z. B. Natrium-  
können Elektroden von dem im Salz enthaltenen Metall nicht verwendet  
u. Trotzdem läßt sich die beschriebene Methode auch in solchen Fällen  
en, wenn eine geeignete, nicht polarisierbare Quecksilberelektrode an-  
it wird<sup>1)</sup>).

Wenn auch kein Strom entsteht, wenn zwei Stücke Zink in dieselbe Zink-  
ung eingetaucht werden, so erhält man doch einen Strom, wenn zwei ver-  
ene Metalle oder selbst zwei verschiedene Modifikationen desselben  
ls benutzt werden. So entsteht z. B. eine elektromotorische Kraft, wenn  
: Elektrode von grauem und von weißem Zinn in dieselbe Zinnsalzlösung  
ucht werden, aber beim Umwandlungspunkt der beiden Metallformen in-  
er wird die elektromotorische Kraft gleich Null. Vermittelt dieser Methode  
HEN den Umwandlungspunkt von grauem und weißem Zinn bestimmt (S. 26).

---

Vgl. VAN'T HOFF, Bildung und Spaltung von Doppelsalzen, S. 48 ff.; E. COHEN, Zeitschr.  
hem. 1894, 14, 53; 1898, 25, 300; derselbe u. G. BREIDIG, ebenda 1894, 14, 535; der-  
VAN EIJK, ebenda 1899, 30, 612 u. 623; E. BAUR, ebenda 1895, 18, 180.

1. The first part of the document is a list of names and addresses of the members of the committee.

2. The second part of the document is a list of names and addresses of the members of the committee.

3. The third part of the document is a list of names and addresses of the members of the committee.

4. The fourth part of the document is a list of names and addresses of the members of the committee.

5. The fifth part of the document is a list of names and addresses of the members of the committee.

6. The sixth part of the document is a list of names and addresses of the members of the committee.

## Namenverzeichnis.

- |   |   |  |
|---|---|--|
| <p>6, 134, 162.<br/>         78.<br/>         68, 145.<br/>         32.<br/>         25.<br/>         123, 198.<br/>         34, 135.<br/>         207.<br/>         5, 100, 123, 126,<br/>         1, 164, 171, 177,<br/>         202.<br/>         193.<br/>         30.<br/>         139.<br/>         2, 5.<br/>         113, 154, 197, 203,<br/>         ski 45.<br/>         196, 197.<br/>         31, 46.<br/>         217.<br/>         28.<br/>         161, 162, 198.<br/>         27.<br/>         29.<br/>         139.<br/>         8, 160.<br/>         er 98.<br/>         29.<br/>         31, 110.<br/>         J.<br/>         37.<br/>         26, 85, 88, 217.</p> | <p><b>Day</b> 145.<br/>         Debray 46, 50, 87.<br/>         de Kock 32, 113, 121.<br/>         Deville 30, 46.<br/>         Dewar 16, 31, 111.<br/>         Doelter 145, 216.<br/>         Dreyer 45.<br/>         Duhem 33, 94.<br/> <b>Eichwald</b> 32.<br/>         Etard 71, 84.<br/> <b>Fahrenheit</b> 18.<br/>         Faraday 51, 55.<br/>         Fedotieff 200, 203.<br/>         Findlay 69, 128, 136.<br/>         Foote 43.<br/>         Friedländer 45.<br/>         Fritsche 25.<br/>         Frowein 56.<br/>         Füchtbauer 46.<br/>         Fyffe 89.<br/> <b>Gattermann</b> 31, 32.<br/>         Gautier 137, 138.<br/>         Gay-Lussac 84.<br/>         Gernez 45.<br/>         Gibbs 5, 94, 147.<br/>         Goldschmidt 20, 25, 214.<br/>         Gossens 17.<br/>         Goßner 202.<br/>         Graham 20, 111.<br/>         Guldberg 5.<br/>         Guthrie 60, 65, 73, 74, 145.<br/> <b>Haber</b> 197.<br/>         Hahn 196, 197.<br/>         Hallock 21.<br/>         Hammerl 90.<br/>         Hautefeuille 28, 30, 31, 111.<br/>         Heller 197.<br/>         Henry 58.<br/>         Herold 203.<br/>         Hertz 30.<br/>         Heycock 121, 138.<br/>         Heyn 139, 141.<br/>         Hickmans 136.<br/>         Hiorns 141.<br/>         Hissink 72, 119.<br/>         Hoitsema 10, 56, 110, 111,<br/>         188.<br/>         Hollmann 128.</p> | <p>Holsboer 68.<br/>         Horstmann 6, 49, 51, 55.<br/>         Hudson 63.<br/>         Hulett 7, 29, 32, 33, 42, 68.<br/> <b>Isambert</b> 49, 51.<br/> <b>Jaffé</b> 43, 46.<br/>         Joulin 110.<br/>         Juhlin 14, 15, 19.<br/>         v. Jüptner 139.<br/> <b>Kastle</b> 44.<br/>         Kaufler 30.<br/>         Kaufmann 70.<br/>         Kayser 110.<br/>         Keeling 139.<br/>         Kelvin 16.<br/>         Kenrick 187.<br/>         Ketner 142.<br/>         Kipping 136.<br/>         Kirchhoff 19.<br/>         Knorr 127.<br/>         Königsberger 145.<br/>         Konowalow 64, 65.<br/>         Krasnicki 89.<br/>         Kremann 91, 134.<br/>         Kuenen 60, 65, 100.<br/>         Kultascheff 145.<br/>         Kuriloff 130.<br/>         Kurnakoff 138, 143.<br/>         Küster 45, 113, 114.<br/> <b>Laar</b> 122.<br/>         Ladenburg 134.<br/>         Le Chatelier 36, 38, 40, 41,<br/>         50, 54, 66, 68, 75, 145.<br/>         Lehmann 20, 32, 216.<br/>         Lidbury 91.<br/>         Lindeck 143.<br/>         Loewel 83, 84.<br/>         Loewenberg 83, 200.<br/>         Lowry 123, 124.<br/>         Ludwig 207.<br/>         Lumsden 49, 68.<br/>         Lus-ana 42.<br/>         Luther 14.<br/> <b>Mack</b> 42.<br/>         Magnus 14.<br/>         Mathews 137.<br/>         Meußler 88.</p> |
|---|---|--|



- Meyer 29, 44.  
 Meyerhoffer 68, 98, 145, 162, 163, 168, 170, 175, 176, 178, 183, 198, 200, 201, 202, 207, 208, 215.  
 Middelburg 72.  
 Miller 187.  
 Mitscherlich 20, 30.  
 Molary 123.  
 Mond 111.  
 Moore 45.  
 Moß 41.  
 Muir 123.  
 Müller 70, 145.  
**Naumann** 30.  
 Neville 121, 137, 138.  
**Offer** 74.  
 Osmond 139.  
 Ostwald 6, 7, 9, 11, 27, 36, 42, 43, 46, 52, 54, 57, 64, 68, 73, 76, 78, 79, 81, 88, 113, 124, 147.  
 Otto 20.  
**Padoa** 46, 113.  
 Parsons 188.  
 Pasteur 167.  
 Paterno 132.  
 Payen 46.  
 Pedler 28.  
 Pfandler 74.  
 Philip 132, 133.  
 v. Pickhardt 45.  
 Planck 42.  
 Plato 143.  
 Pope 136.  
 Poynting 42.  
 Preuner 197.  
**Quincke** 32.  
**Rabe** 70.  
 Ramsay 2, 14, 15, 19, 40, 41, 49, 56, 69, 102.  
 Raoult 112.  
 Reed 44.  
 Regnault 14, 19.  
 Reicher 22, 23, 68, 163, 213.  
 Reinders 44, 115, 117.  
 Reinitzer 31, 32.  
 Richards 85, 87.  
 Riddle 29.  
 Riecke 29, 34.  
 Roberts-Austen 40, 121, 138, 139.  
 Roloff 73.  
 Roozeboom 7, 27, 29, 30, 31, 33, 35, 38, 39, 42, 54, 64, 78, 90, 91, 93, 94, 97, 100, 105, 108, 111, 113, 123, 126, 132, 134, 139, 147, 164, 166, 169, 171, 177, 183, 211.  
 Rotarski 32.  
 Rothmund 60, 61, 65.  
 Rutter 188.  
**Saposhnikoff** 134.  
 Saunders 198, 201, 202, 215.  
 Saurel 94.  
 Schaum 30, 46.  
 Scheel 14, 19.  
 Schenck 30, 32, 45, 197.  
 Schneider 32.  
 Schönbeck 46.  
 Schreinemakers 76, 78, 154, 155, 156, 158, 191.  
 v. Schukowski 32.  
 Schwarz 211.  
 Seitz 32.  
 Shenstone 68, 71, 84.  
 Shepherd 160.  
 Shields 111.  
 Siedentopf 145, 216.  
 Skirrow 81.  
 Spring 40, 166.  
 v. Stackelberg 66, 68.  
 Staedel 167.  
 Stansfield 121, 137.  
 Steger 29.  
 Stokes 147.  
 Stortenbecker 27, 91, 100, 102, 177.  
**Tammann** 17, 20, 23, 24, 29, 32, 41, 42, 43, 45, 87, 94, 110, 143.  
 Thiesen 14, 19.  
 Thomson, J. 16, 17, 19.  
 Thomson, W. 16.  
 Tilden 68, 71, 84.  
 Trevor 10.  
 Troost 28, 30, 31, 111.  
 Tumlirz 45.  
**Van Bijlert** 142.  
 Van Bemmelen 112.  
 Van Deventer 68, 87, 167, 212.  
 Van Eyk 25, 26, 119, 216.  
 Van't Hoff 22, 24, 36, 44, 55, 57, 58, 67, 68, 74, 79, 87, 102, 112, 113, 139, 162, 164, 165, 167, 171, 178, 182, 198, 202, 212, 214, 217.  
 Van Leeuwen 163.  
 Van Wyk 115.  
**Waage** 5.  
 Wald 57.  
 Walden 98.  
 Walker 49, 76, 78, 89.  
 Wegscheider 7, 30, 126.  
 Wells 85.  
 Wenzel 2, 5.  
 Wiebe 14.  
 Witt 207.  
 Wolf 145.  
 Wright 150, 154.  
 v. Wrochem 68, 89.  
**Young** 2, 14, 15, 19, 40, 41, 49, 65, 69, 102.  
**Zacharias** 112.  
 Zawidski 39.  
 Zenghelis 21.  
 Zimmermann 197.  
 Zincke 27.  
 Ziz 88.

## Sachverzeichnis.

- Acetaldehyd und Paraldehyd** 128.  
**Aceton**, Phenol, Wasser 155.  
**Adsorption** 109.  
**Äther**, Alkohol, Wasser 154 — Bernstein-säurenitril, Wasser 158.  
**Äthylenbromid**, Pikrinsäure,  $\beta$ -Naphtol 161.  
**Alkohol**, Äther, Wasser 154 — Chloroform, Wasser 153.  
**Ammoniak**sodaprozeß 203.  
**Ammoniakverbindungen** der Metallchloride 50.  
**Ammoniumchlorid**, Dissoziation von A. 2, 49.  
**Ammoniumcyanid**, Dissoziation von A. 49.  
**Ammoniumhydrosulfid**, Dissoziation von A. 49.  
**Ammoniumnitrat**, Löslichkeit von A. 70.  
**Anilin**, Phenol, Wasser 156.  
**Astrakanit** 163, 164, 168, 172.  
**Ausscheidung** von Salz beim Verdampfen 81.  
  
**BABO und WÜLLNER**, Gesetz von B. u. W. 78.  
**Bariumacetat**, Löslichkeit von B. 89.  
**Bariumkarbonat** und Kaliumsulfat 208.  
**Bariumnitrit** 207.  
**Basische Salze** 187.  
**Benzaldoxime** 127.  
**Benzol** und Pikrinsäure 133.  
**Bestandteile** 7.  
**Bivariate Systeme** 10.  
**Bleientsilberung** 154.  
**Blei**, Silber, Zink 154 — Wismut, Zinn 160.  
**Brennen** des Kalkes 2.  
**Bromwasserstoff** und Wasser 108.  
**Bromzimmtaldehyd** und Chlorzimmtaldehyd 114.  
  
**Calciumchloridhexahydrat**, Löslichkeit von C. 90.  
**Calciumchloridhydrate**, Löslichkeit der C. 92 — Dampfdruck der C. 54.  
**Calciumkarbonat**, Dissoziation von C. 2, 7, 50.  
**Carnallit** 178, 180 — Modell für C. 178.  
**Carvoxime** 116, 136.  
**Chlor** und Jod 100.  
**Chloroform**, Alkohol, Wasser 153 — Essigsäure, Wasser 150.  
**Chlorwasserstoff**, Ferrichlorid, Wasser 182 — und Wasser 108.  
  
**Dampfdruck**, Abhängigkeit von der festen Phase 53 — Einfluß der Oberflächenspannung 1 — in Systemen aus drei Komponenten 164 — kleiner Tropfen 7 — Konstanz und Bildung von Verbindungen 55 — Messung 26, 213 — von Calciumchloridlösungen 92 — von Eis 16, 19 — von Fest-Flüssig-Dampf 78 — von Natriumsulfat und Wasser 86 — von Wasser 13, 19.  
**Destillation** von unterkühlten Flüssigkeiten 20, 30.  
**Dilatometer**, Bestimmung des Umwandlungspunktes mit dem 211.  
**Dimethyltartrat** 135.  
**Dinerische Fläche** 154.  
**Dissoziation** der Ammoniakverbindungen der Metallchloride 50 — von Ammoniumchlorid 2, 45 — von Ammoniumcyanid 49 — von Ammoniumhydrosulfid 49 — von Calciumkarbonat 2, 50 — von Phosphoniumbromid 49 — von Salzhydraten 52.  
**Dissoziationsdruck** 50.  
**Dissoziationserscheinungen** 48.  
**Dissoziationsgleichgewicht**, Einfluß der Dissoziationsprodukte auf die D. 2.  
**Doppelsalze**, Auskristallisieren der D. 176 — Bildung der D. 162, 172 — Zersetzung durch Wasser 167.  
**Dreieckiges Diagramm**, graphische Darstellung durch ein d. D. 147.  
**Dreifacher Punkt** 17, 34, 36 — Eis, Wasser, Dampf 17 — Eis II, Eis III, Wasser 20 — Fest-Fest-Dampf 39 — metastabiler d. P. 23 — monokliner Schwefel, Flüssigkeit, Dampf 23 — monokliner Schwefel, rhombischer Schwefel, flüssiger Schwefel 23 — monokliner Schwefel, rhombischer Schwefel, Dampf 21 — rhombischer Schwefel, flüssiger Schwefel, Dampf 23 — roter Phosphor, flüssiger Phosphor, Dampf 29 — weißer Phosphor, flüssiger Phosphor, Dampf 29.  
**Druck-Konzentrationsdiagramme** für zwei Flüssigkeiten 64.  
**Druck-Temperaturdiagramme** für Lösungen 78.  
  
**Eis** I, II, III 20 — und Wasser, Gleichgewicht zwischen E. 15 — Dampfdruck von E. 16, 19 — Einfluß des Druckes auf den Schmelzpunkt von E. 16 — Sublimationskurve von E. 15.

- Eisen, Kohlenoxyd, Kohlendioxyd 193.  
 Eisen-Kohlenstofflegierungen 138.  
 Elektrische Methode der Bestimmung der Umwandlungspunkte 2.6.  
 Enantiotropie 27, 31.  
 Essigsäure, Chloroform, Wasser 150.  
 Eutektischer Punkt 73, 130, 132, 159.  
 Eutektische Gemische 73, 119, 130, 161.
- Ferrichlorid**, Chlorwasserstoff, Wasser 182.  
 Ferrichloride, Eindampfung der Lösungen 97.  
 Ferrichloridhydrate 94, 95.  
 Ferrit, verschiedene Modifikationen 139.  
 Freiheitsgrade 10.  
 Fünffacher Punkt 146, 164.
- Gemische von konstantem Schmelzpunkt** 73, 116, 117, 119, 130, 160, 161 — von konstantem Siedepunkt 65.  
 Glaserit 200, 201.  
 Glaubersalz 9, 83.  
 Gleichgewicht, bewegliches 36 — chemisches 2, 11 — heterogenes 3 — homogenes 3 — metastabiles 43 — physikalisches 2, 11 — scheinbares 4 — wirkliches 4 — Unabhängigkeit von den Mengen der Phasen 6 — zwischen Eis und Lösung 72 — zwischen Eis und Wasser 15 — zwischen Eis, Wasser und Dampf 17 — zwischen Wasser und Dampf 13.  
 Gleichgewichte, Gibbssche Theorie der G. 5.  
 Graphische Darstellung im Raume 48, 178.
- Hydrate**, Grenzen für die Existenz der H. 55.  
 Hylotrope Substanzen 124.
- Indifferenten Punkt** 93.  
 Individuum, chemisches 57.  
 Isomeren, dynamische 123 — Umwandlung der instabilen in die stabile Form 126.  
 Isomorphe Mischungen 113.  
 Isothermische Eindampfung 174 — Löslichkeitskurven 171.
- Jod und Chlor** 100.
- Kaliumnitrat und Thalliumnitrat** 119.  
 Kaliumsulfat und Bariumkarbonat 208.  
 Kältemischungen 75.  
 Kampferoxime 136, 162.  
 Klassifikation der Systeme 11.  
 Komponente 6, 7, 8 — Systeme von einer K. 13, 34.  
 Komponenten, Änderung der Zahl der K. 7, 10 — Bestimmung der Zahl der K. 9 — Systeme von drei K. 146 — Systeme von vier K. 198 — Systeme von zwei K. 47, 129 — zwei flüchtige K. 100.  
 Kondensierte Systeme 22.  
 Konzentrations-Temperaturkurve für zwei Flüssigkeiten 63.
- Kristalle, flüssige 31, 32.  
 Kritische Konzentration 60, 151 — Lösungstemperatur 60, 61 — Temperatur des Wassers 14.  
 Kritischer Druck des Wassers 14.  
 Kryohydrate 73.  
 Kryohydratischer Punkt 73, 74 — für Silbernitrat und Eis 72.
- Le Chatelier und VAN'T HOFF**, Satz von L. Ch. u. v. H. 35.  
 Legierungen, Gleichgewicht von L. 137 — von Eisen und Kohlenstoff 138 — von Kupfer und Zinn, Flüssigwerden beim Abkühlen 121 — ternäre 154.  
 Liquiduskurve 114.  
 Löslichkeit, Bestimmung der Umwandlungstemperatur mittels der L. 214 — Einfluß des Druckes auf die L. 66 — Einfluß der Temperatur auf die L. 67 — metastabiler Formen 29, 70, 85 — polymorpher Formen 69 — retrograde L. 153 — von unterkühlten Flüssigkeiten 78 — von Salzhydraten 83.  
 Löslichkeitskurve, Form der L. 67 — bei höherer Temperatur 71 — rückläufige 91, 94, 101 — wasserfreier Salze 69.  
 Löslichkeitskurven, Interpolation und Extrapolation der L. 69 — von Systemen aus drei Komponenten 166.  
 Lösung, Definition 57 — gesättigte 66, 67 — übersättigte 67 — ungesättigte 67.  
 Lösungen bivanter Systeme 100 — feste 107, 112 — inkongruent gesättigte 175, 182 — kongruent gesättigte 175 — kongjugierte 60, 151 — uneinengbare 97 — von festen Körpern in Flüssigkeiten 66 — von festen Körpern in festen Körpern 112 — von Flüssigkeiten in Flüssigkeiten 58, 150 — Einfluß der Temperatur auf L. 154 — von Gasen in festen Körpern 100 — von Gasen in Flüssigkeiten 58 — univarianter Systeme 79.  
 Lösungstemperatur, kritische 60.  
 Lösungswärme 68.
- Mandelsäure** 135.  
 Martensit 139.  
 Massenwirkung, Gesetz der M. 5.  
 Merkuribromid und Merkurijodid 117.  
 Metastabile Gleichgewichte 43.  
 Metastabiler Zustand 18.  
 Methyläthylketon und Wasser 62.  
 Mineralien, Bildung von M. 144.  
 Mischbarkeit von Flüssigkeiten, partielle 59, 76 — vollständige 59, 65, 71.  
 Mischungen, isomorphe 113.  
 Mischkristalle 109, 112, 177 — Beispiele 114, 116, 117, 119, 136, 138 — Bildung 113 — Einfluß der Temperatur auf M. 120 — Erstarrungspunkte der M. 114 — fraktionierte Kristallisation der M. 117 — pseudoracemische 136 — Schmelzpunkte der M. 114, 115.  
 Modell für Carnallit 178 — für Ferrichlorid, Chlorwasserstoff, Wasser 184.  
 Monotropie 27, 31.  
 Multivariante Systeme 10.



- Naphthalin** und Monochloressigsäure 119  
— und  $\beta$ -Naphthol, Mischkristalle von N. 114.  
 **$\beta$ -Naphthol**, Äthylenbromid, Pikrinsäure 161.  
 **$\alpha$ -Naphthylamin** und Phenol 132.  
**Natriumammoniumtartrate** 167.  
**Natriumkaliumtartrat** 163.  
**Natriumnitrat** und Silbernitrat 119.  
**Natriumsulfat**, Dampfdruck von N. 86, 87 — Entwässerung 86 — Löslichkeit 84 — und Wasser, Gleichgewicht 83.  
**Natriumsulfatdekahydrat**, Löslichkeit 84 — Umwandlungspunkt 85, 87.  
**Natriumsulfatheptahydrat**, Löslichkeit 85 — Umwandlungspunkt 86.  
**Nickeljodat**, Löslichkeit 88.  
**Nitrophenol** und  $p$ -Toluidin 132.  
**Okklusion** von Gasen 109.  
**Optisch aktive Substanzen**, Gefrierpunktskurve 135.  
**Optische Methode** zur Bestimmung der Umwandlungspunkte 216.  
**Ordnung** eines Systems 9.  
**Organische Verbindungen**, Anwendung der Phasenregel auf o. V. 132.  
**Palladium** und Wasserstoff 56.  
**Paraldehyd** und Acetaldehyd 128.  
**Partialdrucke** zweier Verbindungen 64.  
**Perlit** 139.  
**Phase** 5.  
**Phasen**, Anzahl der Ph. 6 — Bildung, neuer Ph. 43.  
**Phasenregel** 5, 10.  
**Phenol**, Aceton, Wasser 155 — Anilin, Wasser 156 — und  $\alpha$ -Naphthylamin 133 — und  $p$ -Toluidin 133 — und Wasser, Löslichkeit 60.  
**Phosphoniumbromid**, Dissoziation von Ph. 49.  
**Phosphoniumchlorid** 41.  
**Phosphor** 28 — Dampfdruck des weißen und des roten Ph. 28 — Destillation von weißem zu rotem Ph. 31 — Löslichkeit des weißen und des roten Ph. 29 — Schmelzpunkt des roten Ph. 29 — Schmelzpunkt des weißen Ph. 29.  
**Pikrinsäure**, Äthylenbromid und  $\beta$ -Naphthol 161 — und Benzol 133.  
**Polymorphe Formen**, Löslichkeit 69 — Substanzen 39.  
**Polymorphie** 31.  
**Potential**, chemisches 18.  
**Pseudomonotropie** 27.  
**Quecksilbersalze**, basische 190.  
**Racemate**, Charakterisierung der R. 134, 177.  
**Reaktionsstufen**, Regel der R. 46.  
**Reziproke Salzpaare** 198, 199.  
**Rubidiumtartrate** 166.  
**Salzhydrate** 52 — Unbestimmtheit des Dampfdruckes der S. 54 — mit bestimmtem Schmelzpunkt 90.  
**Satz von VAN'T HOFF und LE CHATELIER** 35.  
Schmelzen unter dem Lösungsmittel 76.  
Schmelzkurve 41, 42 — von Eis 16.  
Schmelzpunkt, natürlicher 124 — Einfluß des Druckes auf den Sch. 42.  
Schmelzung, partielle 87.  
Schwefel 20, 21, 23, 24 — Umwandlungspunkt von rhombischem und monoklinem Sch. 22.  
Schwefeldioxyd und Kaliumjodid 98 — und Wasser 105.  
Silber, Blei, Zink 154.  
Silberchloridammoniak 50 — Dissoziationsdruck von S. 51.  
Silbernitrat, Löslichkeit von S. 71 — und Natriumnitrat 119.  
Silikate, wasserhaltige 109.  
Soliduskurve 114.  
Stabilitätsgrenze 127.  
Stahl, Bildung von S. 139.  
Sublimationskurve 39 — von Eis 15 — ohne Schmelzen 41.  
Substanz, gelöste 41.  
Succinonitril und Wasser 76.  
Systeme, kondensierte 22 — aus einer Komponente 13 — aus zwei Komponenten 47, 129.  
**Tautomere Substanzen** 122.  
Tensimeter 56.  
Thalliumnitrat und Kaliumnitrat 119.  
Thermometrische Bestimmung des Umwandlungspunktes 215.  
 $p$ -Toluidin und  $o$ -Nitrophenol 132 — und Phenol 133.  
Triäthylamin und Wasser 62.  
**Übersättigung** 70, 77.  
Überschreitungen 43, 85, 96.  
Umwandlung optisch aktiver Substanzen 136 — verzögerte 23, 55, 70.  
Umwandlungsgeschwindigkeit 44.  
Umwandlungsintervall 170, 174, 200.  
Umwandlungskurve 40 — von rhombischem und monoklinem Schwefel 23.  
Umwandlungspunkt 21 — für Doppelsalze 162 — Einfluß des Druckes auf den U. 42.  
Umwandlungspunkte als feste Punkte für Thermometer 87 — Methoden zur Bestimmung der U. 211 — polymorpher Substanzen 39.  
Umwandlungstemperatur 22.  
Univariante Systeme 10.  
**VAN'T HOFF und LE CHATELIER**, Satz von v. H. u. L. Ch. 35.  
Varianz eines Systems 10.  
Veränderlichkeit eines Systems 10.  
Verdampfungskurve 61 — Interpolation und Extrapolation der V. 41 — von Wasser 13, 14.  
Verwitterung 53.  
Vierfacher Punkt 72.

- W**asser 13 — Aceton, Phenol 155 —  
 Alkohol, Äther 154 — Alkohol, Chloro-  
 form 153 — Anilin, Phenol 156 — bi-  
 variante Systeme 18 — Dampfdruck von  
 W. 14 — Essigsäure, Chloroform 150 —  
 Ferrichlorid, Chlorwasserstoff 182 —  
 Gleichgewicht zwischen Eis und W. 15  
 — Gleichgewicht zwischen Dampf und  
 W. 13 — kritischer Druck 14 — kritische  
 Temperatur 14 — unterkühltes W. 18 —  
 Verdampfungskurve von W. 13.  
 Wismut, Blei, Zinn 160.  
 Wismutnitrate, basische 188.
- Z**eolithe 109.  
 Zementit 139.  
 Zerfließlichkeit 81.  
 Zink, Blei, Silber 154.  
 Zinn 25 — Blei, Wismut 160 — Umwa-  
 lung von weißem in graues Z. 25.  
 Zinnpest 26.  
 Zusammensetzung, Bestimmung o.  
 Analyse 142 — indirekte Bestimmung  
 der Z. der festen Phase 191.
-

Verlag von Johann Ambrosius Barth in Leipzig.

**Journal für praktische Chemie**, begründet von Erdmann, fortgeführt von Kollie, herausgegeben von E. v. Meyer. Jährlich 24 Hefte, in 2 Bänden (Bd. 75 und 76 im Jahre 1907). M. 24.—.  
Durch Nachdruck der vergriffenen Jahrgänge 1870–75 kann die neue Folge Bd. 1 bis 20 (1870 bis 1894) in einigen wenigen Expl. wieder komplett abgegeben werden.

**LAAR, J. I. van**, Lehrbuch der mathematischen Chemie. Mit einer Einleitung von Professor H. W. Bakhuis-Roozeboom. 8°. [IX, 224 S. mit 28 Figuren.] 1901. M. 7.—; geb. M. 8.—.

Hiermit empfehle ich das Buch allen denjenigen, die etwas tiefer in die thermodynamische Behandlung der Gleichgewichtsprobleme eindringen wollen. Mögen darin nach qualitativer Seite bis zu einem gewissen Punkte auch chemische mathematische Behandlung noch vielerlei Resultate zu gewinnen sein — das Bedürfnis nach tieferem Eindringen nach der quantitativen Seite hin, zumal bei größeren Konzentrationen, macht sich bereits mehrfach bemerkbar, und in dieser Richtung ist nur auf dem in diesem Buche betretenen Wege Aussicht auf bedeutende Erfolge.

**LAEBURG's Handwörterbuch der Chemie**. Unter Mitwirkung von hervorragenden Fachgelehrten herausgegeben. 13 Bände und Generalregister. Mit Holzschnitten und Tafeln. Lex.-8. 1883 bis 1896. M. 220.—; geb. M. 250.—; herabgesetzt auf M. 90.—; in Halbfranz geb. M. 118.—.

**LEHMANN, O.**, Flüssige Kristalle und die Theorien des Lebens. Vortrag, gehalten in der Hauptversammlung der 78. Versammlung deutscher Naturforscher und Ärzte zu Stuttgart am 21. September 1906, ergänzt durch den Vortrag in der Sitzung der physikalischen Abteilung am 17. September 1906. [75 Seiten mit 30 Illustrationen.] 1906. Kart. M. 1.20.

In den Lehrbüchern der Physik, Chemie und Kristallographie sind bisher höchstens flüchtige Andeutungen gegeben, die Existenz flüssiger Kristalle sei behauptet worden, während Abbildungen und nähere Beschreibung der Erscheinungen vollkommen fehlen. Hierdurch findet die Überraschung, welche den Äußerungen in der Presse anlöset, die Vorträge in weiteren Kreisen hervorgerufen haben, ihre Erklärung, und die Herausgabe dieser Schrift dürfte einem vielfach empfundenen Bedürfnis entgegenkommen. Die beigegebenen 30 Abbildungen werden die vorgezogenen Lichtbilder und Projektionen der Erscheinungen in natura sinngemäßen ersetzen.

**LOEB, JACQUES**, Untersuchungen über künstliche Parthenogenese und das Wesen des Befruchtungsvorganges. Deutsche Ausgabe unter Mitwirkung des Verf. herausgegeben von Professor Dr. E. Schwalbe in Heidelberg. [VIII, 532 Seiten mit 12 Abbildungen.] 1906. M. 7.50, geb. M. 8.50.

Die höchstinteressanten Versuche des Verfassers, Einsicht in das Wesen des Befruchtungsvorganges zu gewinnen, werden hier von ihm selbst dargestellt. Sie zeigen, daß sicher die Eier der Würmer und Mollusken zur künstlichen Parthenogenese veranlaßt werden, und es scheinen nur noch technische und nicht prinzipielle Schwierigkeiten zu bestehen, wenn irgend eine Grenze für das Gelingen weiterer Versuche besteht.

**MACH, E.**, Erkenntnis und Irrtum. Skizzen zur Psychologie der Forschung. 2. Auflage. [XII, 474 S. mit 35 Abbildungen.] 1906. M. 10.—; geb. M. 11.—.

Die Zeit: Was das Buch dem gebildeten Leser wertvoll und nützlich macht, ist vor allem die Tatsache, daß es der typische Repräsentant des modernen naturwissenschaftlichen Denkens ist, das sich nicht innerhalb der Grenzen einer Spezialforschung einnistet, sondern einen Teil jener Domäne übernimmt, die früher ausschließlich von den Philosophen bearbeitet wurde, wie Erkenntnispsychologie, Ethik, Ästhetik, Soziologie. — Mach's Werke sind weiter in Schönheitsgedacht, noch in Hieroglyphen geschrieben. Es gibt überall nur große Gesichtspunkte und gerade Wege. Nirgends begegnen wir dem kleinaligen Mäuselchen der Kunst, der Schadenfreude am Entdecken menschlicher Fehler, der übermütigen Tendenz des Reinerwissens oder niedriger Rachsucht wegen ungünstiger Kritik. Selbst wo gegenteilige Meinungen bekämpft werden, geschieht dies mit Ruhe und Noblesse der Gedankung.

**MACH, E.**, Populär-wissenschaftliche Vorlesungen. 3. Aufl. [XII, 403 Seiten mit 30 Abbildungen.] 1903. M. 6.—; geb. M. 6.80.

Naturwissenschaftliche Wochenschrift: Die geistreichen Vorträge des trefflichen Gelehrten gehören zu dem Gelingensten, was die Literatur in diesem Genre besitzt. Sie stehen auf derselben Stufe, wie etwa Helmholtz' Vorträge.

**MEYER, Geheimrat Prof. Dr. Ernst von**, Aus Justus Liebig's Lehr- und Wanderjahren. Ein Gedenkblatt zu seinem 100. Geburtstage. [16 Seiten mit Jugendbildnis.] 1903. M. — 60.

**PAULI, Dr. ROBERT**, Die Synthese der Azofarbstoffe auf Grund eines symbolischen Systems unter Berücksichtigung der Deutschen Patentschriften Nr. 1—140000 der Klassen 8, 12 und 22, desgleichen anderer Quellen. [XXVIII, 528 Seiten.] 1904. M. 30.—; geb. M. 32.—.

Das Werk ist mit der Absicht geschrieben, denjenigen, welche sich mit der Synthese von Azofarben beschäftigen wollen, ein wissenschaftlicher und technischer Ratgeber zu sein. Das Werk soll es vor allem ermöglichen, sich über dasjenige in kurzer Zeit zu orientieren, was bis jetzt auf dem Gebiete der Azofarbstofffabrikation erreicht ist.

**Ztschr. f. angew. Chemie** . . . es verdient der bewundernswürdige Fleiß, mit dem das ungelobte Material nach dem vom Verf. bevorzugten Gesichtspunkte geordnet wurde, in hohem Maße Anerkennung. . . Das Pauli'sche Buch wird denjenigen, die mit den Azofarbstoffen und ihrer Darstellung schon etwas vertraut sind und sich deshalb vor einem eingehenden Studium des Pauli'schen Systems nicht scheuen, insbesondere also für alle Farbstoffchemiker, als Nachschlagewerk in dem vom Verf. gedachten Sinne sicherlich nicht ohne Wert und Nutzen sein. Buchhändler.

**PAULI, WOLFGANG**, Beziehungen der Kolloidchemie zur Physiologie. Vorgelesen in der naturwissenschaftlichen Hauptsitzung der 78. Versammlung deutscher Naturforscher und Ärzte in Stuttgart am 20. September 1906. [35 Seiten.] 1906. Kart. M. 1.—.

Der Verfasser beschränkt sich in seinem Vortrag darauf, jene allgemeinen Gesichtspunkte, die sich an Hand der neueren Beobachtungen gewinnen lassen, sowie Beziehungen, welche bisher weniger Würdigung gefunden haben, wiederzugeben und von der Anführung hypothetischer Erklärungen möglichst absehen. Die von ihm angelegten, noch leicht zu ergänzenden Anwendungen der Kolloidchemie lassen erkennen, daß dieselbe wie kaum ein anderes Gebiet den Forscher in ständiger Berührung mit den verschiedenartigsten Problemen der Biologie erhält, offenbar weil sie nahe herankommt an die Fundamente der Lebenserscheinungen.



**PLATTNER-HUCHTER, Die Probierkunst mit dem Lötrohre oder vollständige Anleitung zu qualitativen und quantitativen Lötrohr-Untersuchungen.** 6. Auflage gänzlich umgearbeitet von Professor Dr. Kolbeck. [XVI, 488 Seiten mit 72 Abbildungen.] 1897. M. 10.—; geb. M. 11.—.

Chem. lab. Das vorliegende Buch ist für jeden Chemiker, der in der Praxis mit Mineraluntersuchungen zu tun hat, ein ganz vorzügliches Lehr- und Nachschlagebuch, das bei sorgfältiger Befolgung der gegebenen Anleitung ein erfolgreiches Arbeiten gewährleistet.

**POGGENDORFF's Biographisch-literarisches Handwörterbuch zur Geschichte der exakten Wissenschaften,** enthaltend Nachweisungen über Lebensverhältnisse u. Leistungen von Mathematikern, Astronomen, Physikern, Chemikern, Mineralogen, Geologen, Geographen usw. aller Völker und Zeiten. 4 Bände (bis 1904 reichend). M. 157.—; geb. M. 171.—.

Über den Nutzen des Werkes ist kaum etwas hinzuzufügen nötig. Nicht nur wer in einer der exakten Wissenschaften selbst arbeitet, sondern auch wer sich historisch orientieren will, wird es als ein unentbehrliches Hilfsmittel schätzen.

**RAMSAY, SIR WILLIAM, Einige Betrachtungen über das periodische System der chemischen Elemente.** Vortrag, gehalten auf der 75. Versammlung deutscher Naturforscher und Ärzte zu Kassel. [29 S. mit 1 Abb.] 1903. M. 1.—.

Zeitschr. für phys. Chemie: Wie bekannt, hat Ramsay der großen Zahl seiner fundamentalen Entdeckungen eine höchst unerwartete neue hinzugefügt: die fortwährende Bildung von Helium aus Radium. Man wird daher mit dem lebhaftesten Interesse in diesem Vortrage das Nähere hierüber, sowie über die allgemeinen Betrachtungen annehmen, welche diese Tatsache bei dem geistvollen englischen Forscher ausgelöst hat.

**SCHLOEMILCH's Handbuch der Mathematik.** 2. Aufl. Herausgegeben von Prof. Dr. R. Henke und Dr. R. Heger. 3 Bände. Mit vielen Abbildungen im Text und auf Tafeln. 1904. M. 60.—; geb. M. 67.50.

I. Band. Elementarmathematik. [XII, 611 S. mit 331 Fig.] 1904. II. Band. Höhere Mathematik. I. Teil. [VIII, 765 S. mit 281 Fig. und 12 Tafeln.] 1904. III. Band. Höhere Mathematik. II. Teil. [VIII, 622 Seiten mit 94 Fig. und 20 Tafeln.] 1904.

Zeitschr. f. physikal. Chemie: Man findet die Darstellung überall ungemein schlicht bei aller sachlichen Strenge, und so wird der Jünger, der sich diesen seit der halbvergessenen Schulzeit vom Geruch außerordentlicher Schwierigkeiten erfüllten Hellen, der Not gehorchend, nicht dem tigen Trieb, zu nähern wagt, sich freundlich berührt fühlen von der Unmittelbarkeit, mit der er geführt wird.

Es ist keinem Zweifel unterworfen, daß das bewährte Werk sich auch den neu heranwachsenden Geschlechtern als ein zuverlässiger und verhältnismäßig bequemer Führer bewähren und lieb machen wird.

**SODDY, M. A., FREDERICK, Die Radioaktivität vom Standpunkte der Desaggregations-theorie elementar dargestellt.** Übersetzt von Prof. G. Siebert. [VI, 216 S., mit 38 Abbild.] 1904. M. 5.60, geb. M. 6.40.

Der Verfasser hat hier eine zusammenhängende Darstellung der bemerkenswerten Reihe von Untersuchungen gegeben, welche Becquerel's bekannte Entdeckung zur Folge hatte. Das Buch ist dazu bestimmt, Studierenden und solchen, die sich im allgemeinen für den Gegenstand interessieren, die Hauptergebnisse und die wichtigsten experimentellen Daten vorzuführen, durch welche man die Resultate erreicht hat, es dient auch als Einleitung für das Studium ausführlicherer Werke, sowie der Originalabhandlungen von Curie, Rutherford etc.

**TAMMANN, GUSTAV, Kristallisieren und Schmelzen.** Ein Beitrag zur Lehre der Änderungen des Aggregatzustandes. 8<sup>o</sup>. [X, 348 S. mit 88 Abb.] 1903. M. 8.—; geb. M. 9.—.

Zeitschrift für Elektrochemie: Veröffentlichte und unveröffentlichte Früchte siebenjähriger experimenteller Arbeiten vereint das vorliegende Werk mit neuen originalen Gedanken zu einem statischen Gesamtwerk. Es handelt namentlich vom Studium eines Parameters beim Übergang der beiden Aggregatzustände, dessen Effekt im gewöhnlichen Leben wenig beachtet wird, nämlich des Druckes, der in bedeutsamem Maße nur unter Aufwendung großer Feinmechanik variierbar ist. Derartige Untersuchungen haben den Verf. zu einer neuen Anschauung über die Form der Gleichgewichtskurven geführt, welche den Übergang von kristallisierten (anisotropen) in isomorphe (flüssige oder amorpheste) Körper darstellen.

**WAGNER, JULIUS, Über den Anfangsunterricht in der Chemie.** Eintrittsvorlesung. [17 S.] 1901. M. 1.20.

Das viel umstrittene und moderne Thema findet hier von einem berufenen Vertreter eine eingehende und geistreiche Besprechung. Die Broschüre ist für alle Chemiker von Interesse.

**Zeitschrift für wissenschaftliche Photographie, Photophysik und Photochemie, unter Mitwirkung von H. Kayser, herausgegeben von K. Schaum.** Jährlich 12 Hefte. M. 20.—.

Die Zeitschrift ist nicht nur eine Sammelstätte für alle Arbeiten auf wissenschaftlich-photographischen Gebieten, sei es, daß diese die Aufklärung photographischer Vorgänge im weitesten Sinne bezwecken, sei es, daß sie die Veränderungen der Photographie in Wissenschaft und Technik behandeln, sondern wendet ihr Interesse allem an, was der Physik und Chemie der Strahlung mit Einschluß der Elektronenlehre zusammenhängt, und zieht besonders die Spektroskopie in den Bereich ihrer Betrachtungen.

**ZSIGMONDY, R., Über Kolloidchemie mit besonderer Berücksichtigung der anorganischen Kolloide.** Vortrag in der Sitzung der naturwissenschaftlichen Hauptgruppe der 78. Versammlung deutscher Naturforscher und Ärzte zu Stuttgart am 20. September 1906. In ausführlicher Darstellung. [46 Seiten mit 2 Tafeln in Dreifarbendruck.] 1907. Kart. M. 1.—.

In der vorliegenden Publikation werden einige Fundamentalfragen der Kolloidforschung ausführlicher behandelt, als es in einem Vortrage von 45 Minuten Dauer möglich war. Manche Leser dürfte es an die Wichtigkeit der in der Veranlassung demonstrierten Ablösungen kolloidaler Gelösungen, ihrer Lichtbeuge und wärmestromerzeugender Wirkung in Umarmendruck willkommen sein.





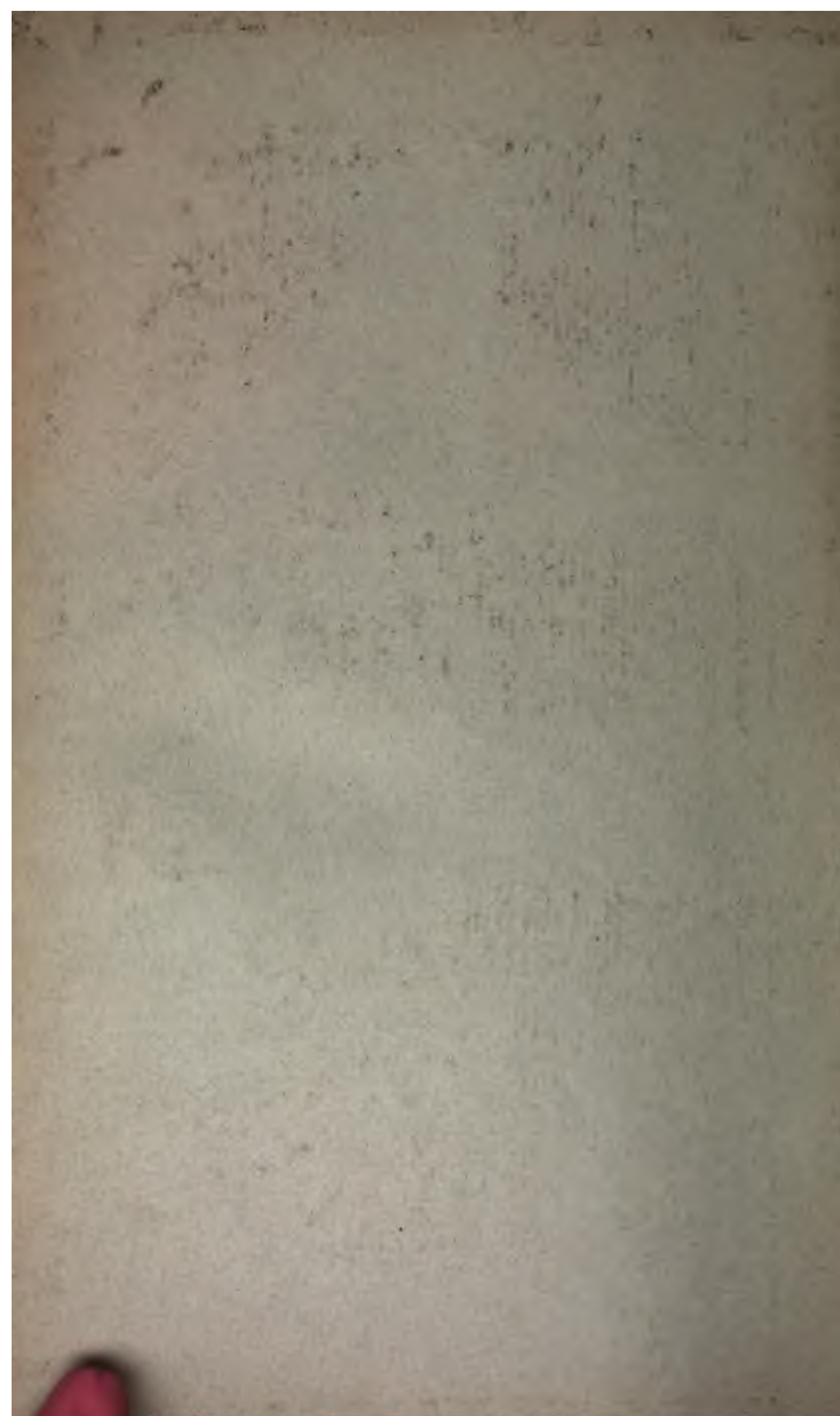












8,000 1914

